



# THÈSE

En vue de l'obtention du

## DOCTORAT DE L'UNIVERSITÉ DE TOULOUSE

Délivré par :

Université Toulouse - Jean Jaurès

---

**Présentée et soutenue par :**

**Cécile Rivals**

le jeudi 17 septembre 2015

**Titre :**

La construction d'une ville de confluence : les dynamiques spatiales de Saint-Antonin-Noble-Val (82) du Moyen Âge à la période pré-industrielle

Volume 2 : Illustrations

---

**École doctorale et discipline ou spécialité :**

ED TESC : Histoire

**Unité de recherche :**

TRACES UMR 5608

**Directeur/trice(s) de Thèse :**

Nelly Pousthomis et Florent Hautefeuille

**Jury :**

Bourgeois Luc (rapporteur), professeur, Université de Caen Basse-Normandie

Deligne Chloé, chercheuse qualifiée du FR/FNRS, Université libre de Bruxelles

Hautefeuille Florent, maître de conférences HDR, Université Toulouse Jean Jaurès

Jouve Bertrand, directeur de recherche, FRAMESPA UMR 5136, Toulouse

Pélaquier Elie (rapporteur), directeur de recherche émérite, CRISES EA 4424, Montpellier

Pousthomis Nelly, professeur, Université Toulouse Jean Jaurès

# THÈSE

En vue de l'obtention du

DOCTORAT DE L'UNIVERSITÉ DE TOULOUSE

Délivré par :  
Université Toulouse Jean Jaurès

---

Présentée et soutenue par :  
**Cécile RIVALS**

le jeudi 17 septembre 2015

Titre :  
La construction d'une ville de confluence : les dynamiques spatiales de Saint-Antonin-Noble-Val (82) du Moyen Âge à la période pré-industrielle

**Volume 2 : illustrations**

---

École doctorale et discipline ou spécialité :  
ED TESC : Histoire

Unité de recherche :  
TRACES UMR 5608

Directeur/trice(s) de Thèse :

Nelly Pousthomis et Florent Hautefeuille

Jury :

**Bourgeois Luc** (rapporteur), professeur, Université de Caen Basse-Normandie  
**Deligne Chloé**, chercheuse qualifiée du FR/FNRS, Université libre de Bruxelles  
**Hautefeuille Florent**, maître de conférences HDR, Université Toulouse Jean Jaurès  
**Jouve Bertrand**, directeur de recherche, FRAMESPA UMR 5136, Toulouse  
**Pélaquier Élie** (rapporteur), directeur de recherche émérite, CRISES, EA 4424, Montpellier  
**Pousthomis Nelly**, professeur, Université Toulouse Jean Jaurès





# Table des illustrations

Fig. 1 : vues générales de la ville dans son environnement.....	19
Fig. 2 : Saint-Antonin-Noble-Val dans le département du Tarn-et-Garonne.....	20
Fig. 3 : Saint-Antonin-Noble-Val chef-lieu de canton.....	20
Fig. 4 : limites des sénéchaussées sous l’Ancien Régime.....	21
Fig. 5 : limites des diocèses sous l’Ancien Régime.....	21
Fig. 6 : découpage du territoire de Saint-Antonin-Noble-Val en quartier ruraux.....	22
Fig. 7 : limites de la commune de Saint-Antonin-Noble-Val d’après le cadastre napoléonien.....	22
Fig. 8 : relief autour de Saint-Antonin-Noble-Val.....	23
Fig. 9 : la confluence de la vallée de la Bonnette et des gorges de l’Aveyron.....	23
Fig. 10 : la position de la ville encaissée, sur fond de cadastre napoléonien.....	24
Fig. 11 : les quatre gaches urbaines, sur fond de cadastre napoléonien.....	25
Fig. 12 : un relief marqué dans la ville.....	26
Fig. 13 : géologie du département de Tarn-et-Garonne.....	27
Fig. 14 : géologie de la commune de Saint-Antonin.....	27
Fig. 15 : principales entités géographiques de la commune de Saint-Antonin.....	28
Fig. 16 : carte de localisation des sites préhistoriques, protohistoriques et antiques autour de Saint-Antonin.....	29
Fig. 17 : empreinte du sceau d’un prieur découvert par l’abbé Galabert à la fin du XIX <sup>e</sup> siècle.....	30
Fig. 18 : sceau de la communauté de Saint-Antonin-Noble-Val.....	30
Fig. 19 : fragment de peinture murale conservé dans la maison ID76, représentant la légende de saint Antonin.....	31
Fig. 20 : vitrail provenant de l’ancienne église de Saint-Antonin.....	31
Fig. 21 : carte de localisation des édifices religieux médiévaux et modernes de Saint-Antonin-Noble-Val.....	32
Fig. 22 : éléments de lapidaire provenant de l’abbaye de Saint-Antonin, découverts de manière fortuite et conservés au musée municipal de Saint-Antonin.....	33
Fig. 23 : reconstitution généalogique de la lignée des vicomtes de Saint-Antonin et Lautrec.....	34
Fig. 24 : l’église et le couvent des Génovéfains, vus depuis le roc d’Anglars au sud.....	34
Fig. 25 : plan d’alignement en vue de la construction de la route de Caylus à Saint-Antonin, 1824.....	35
Fig. 26 : plan du projet de percement du boulevard des Thermes, 1813.....	35
Fig. 27 : plan de la ville de Saint-Antonin, non signé, vers 1860.....	36
Fig. 28 : feuilles AB et AC du cadastre actuel de Saint-Antonin-Noble-Val.....	37
Fig. 29 : détail de la feuille AC du cadastre actuel de Saint-Antonin-Noble-Val.....	38
Fig. 30 : tableau d’assemblage du plan cadastral napoléonien de la commune de Saint-Antonin.....	39
Fig. 31 : feuille de la section L2 “dite de la ville”, du cadastre napoléonien.....	40
Fig. 32 : plan géométrique de la ville réalisé en 1782.....	41
Fig. 33 : emprise du plan terrier de 1688.....	42
Fig. 34 : plan du fief d’Aliguières tiré du terrier de 1688.....	42
Fig. 35 : plan du territoire de l’Olmét, 1601, contenant des vues figurées de Saint-Antonin, Caylus et La Vaurette.....	43
Fig. 36 : détail du plan du territoire de l’Olmét, représentant la vue cavalière de Saint-Antonin.....	43

## Volume 2 - Illustrations

Fig. 37 : copie réalisée au XIX <sup>e</sup> siècle du plan représentant l'emplacement des ruines du monastère.....	44
Fig. 38 : Plan des fortifications de la ville de Saint-Antonin-Noble-Val lors du siège de 1622.....	45
Fig. 39 : copie de la gravure précédente, après rectification du cours de la Bonnette à l'ouest de la ville...	45
Fig. 40 : plan des fortifications de la ville de Saint-Antonin-Noble-Val lors du siège de 1622.....	46
Fig. 41 : copie à l'envers du plan des fortifications de la ville.....	46
Fig. 42 : plan des remparts de la ville, XVIII <sup>e</sup> siècle.....	47
Fig. 43 : plan du jardin du chapitre dans l'enclos de l'ancien monastère .....	48
Fig. 44 : carte postale du début du XX <sup>e</sup> siècle, représentant une vue de la ville depuis le sud.....	49
Fig. 45 : rues de Saint-Antonin-Noble-Val sur des cartes postales du début du XX <sup>e</sup> siècle.....	49
Fig. 46 : pontet sur la rue de Somart, ancienne rue de la Juiverie en 1895.....	50
Fig. 47 : passage Thouron en 1896.....	50
Fig. 48 : passage Lacassagne en 1897.....	50
Fig. 49 : moulin du Bessarel en 1897.....	51
Fig. 50 : canal de la dérivation inférieure dans le quartier du Bessarel.....	51
Fig. 51 : rue Rive Valat.....	51
Fig. 52 : canaux du quartier du Bessarel à la fin du XIX <sup>e</sup> siècle.....	52
Fig. 53 : canal de la dérivation inférieure, quartier du Bessarel en 1904.....	52
Fig. 54 : berge de l'Aveyron en 1895.....	53
Fig. 55 : planche du premier projet de restauration de l'ancien hôtel de ville.....	53
Fig. 56 : la silhouette du beffroi de l'hôtel de ville comme emblème de la ville.....	54
Fig. 57 : façade principale de l'hôtel de ville, après la restauration de E. Viollet-le-Duc.....	54
Fig. 58 : façade de la maison n° 12 et 14 rue de la Pelisserie, dessinée par E. Viollet-le-Duc.....	55
Fig. 59 : arcade de boutique dessinée par Eugène Emmanuel Viollet-le-Duc.....	56
Fig. 60 : cheminées de Saint-Antonin-Noble-Val dessinées par Eugène Emmanuel Viollet-le-Duc.....	56
Fig. 61 : façade d'une maison de Saint-Antonin-Noble-Val dessinée par A. Verdier et F. Cattois.....	57
Fig. 62 : croquis ayant servi à la restitution de la façade.....	57
Fig. 63 : localisation des vestiges médiévaux repérés par le service de l'Inventaire.....	58
Fig. 64 : exemple de relevé réalisé dans le cadre de l'atelier de l'école de Chaillot en 2011.....	58
Fig. 65 : moulons et îlots du cadastre napoléonien.....	59
Fig. 66 : localisation des îlots sélectionnés pour l'approche archéologique et des moulons où a été appliquée la modélisation des sources fiscales.....	60
Fig. 67 : recto de la fiche d'enregistrement de terrain.....	61
Fig. 68 : verso de la fiche d'enregistrement de terrain.....	62
Fig. 69 : utilisation d'une perche télescopique pour la réalisation de photographies des élévations.....	63
Fig. 70 : clichés thermiques de deux façades crépies de Saint-Antonin.....	64
Fig. 71 : localisation des maisons contenant des vestiges médiévaux et modernes.....	65
Fig. 72 : localisation des parcelles dont les maisons ont pu être étudiée à l'intérieur.....	66
Fig. 73 : localisation des secteurs documentés par l'archéologie.....	66
Fig. 74 : recherches sur le réseau hydrographique de Saint-Antonin.....	67
Fig. 75 : localisation des points de décollage du drone pour les vols statiques.....	68
Fig. 76 : vue générale de la ville depuis le nord-est.....	68
Fig. 77 : localisation des secteurs prospectés dans l'espace péri-urbain.....	69

Fig. 78 : nature des parcelles d'après le plan parcellaire de 1782.....	70
Fig. 79 : tesson de céramique sigillée sud-gauloise provenant des fouilles archéologiques menées par Serge Robert en 1987 à l'emplacement de l'abbaye.....	71
Fig. 80 : localisation des sites antiques repérés autour de Saint-Antonin-Noble-Val.....	71
Fig. 81 : fragment de sarcophage en marbre blanc du VII <sup>e</sup> siècle découvert dans le jardin d'un particulier...	72
Fig. 82 : Saint-Antonin à la frontière de plusieurs départements.....	73
Fig. 83 : province du Rouergue.....	73
Fig. 84 : exemple de représentation de quais urbains.....	74
Fig. 85 : localisation des possessions de l'abbaye de Saint-Antonin mentionnées dans les actes de 818, 869, 926 et 1175 .....	75
Fig. 86 : possessions des prieurés par les établissements conventuels autour de Saint-Antonin au XIII <sup>e</sup> siècle.....	76
Fig. 87 : détail du plan des fortifications de la ville de Saint-Antonin lors du siège de 1622.....	77
Fig. 88 : détail du plan représentant l'emplacement des ruines du monastère, dressé en 1760.....	77
Fig. 89 : façade nord de l'actuel presbytère.....	78
Fig. 90 : croquis à l'échelle de l'élévation nord de l'actuel presbytère.....	78
Fig. 91 : section de mur nord-sud, appartenant probablement à l'ancienne forteresse.....	78
Fig. 92 : salle circulaire et couloir en baïonnette situés à l'arrière de la chapelle.....	79
Fig. 93 : intérieur de la salle circulaire (B), vu de l'ouest.....	80
Fig. 94 : mur sud du chai construit par les Génovéfains en 1666 dans l'enclos du monastère.....	80
Fig. 95 : logis aménagé au-dessus du chai et servant actuellement de presbytère.....	81
Fig. 96 : plan représentant l'emplacement des ruines du monastère, dressé en 1760.....	82
Fig. 97 : proposition de restitution du plan représentant l'emplacement des ruines du monastère.....	82
Fig. 98 : emplacement de l'enclos de l'abbaye vu depuis le sud-est.....	83
Fig. 99 : mur de clôture de l'abbaye sur la Bonnette.....	83
Fig. 100 : détail de l'extrémité droite du plan représentant l'emplacement des ruines du monastère.....	84
Fig. 101 : vestiges d'une bretèche sur le mur ouest de clôture de l'abbaye.....	84
Fig. 102 : plan représentant le jardin du chapitre dans l'enclos de l'ancien monastère.....	85
Fig. 103 : carte postale ancienne présentant une vue générale de la ville.....	085
Fig. 104 : planche représentant les éléments découverts lors de la construction du complexe thermal en 1912, à l'emplacement du monastère.....	86
Fig. 105 : couvercle de sarcophage découvert en 1912.....	86
Fig. 106 : fragment de bas relief découvert en 1912.....	86
Fig. 107 : école construite dans l'enclos du monastère au début du XX <sup>e</sup> siècle.....	87
Fig. 108 : chapiteau découvert en 1912, réemployé à l'angle nord-est de l'école.....	87
Fig. 109 : base de la colonne reconstituée dans le jardin du presbytère.....	87
Fig. 110 : colonne reconstituée à partir d'éléments retrouvés dans la rivière.....	87
Fig. 111 : colonnes et chapiteau provenant de l'abbaye, réutilisés dans le jardin du presbytère.....	88
Fig. 112 : chapiteau provenant de l'abbaye, réutilisé dans le jardin du presbytère.....	88
Fig. 113 : colonne provenant de l'abbaye, exposée sur le parking de la maison de retraite.....	88
Fig. 114 : tambours de fûts de colonnes en emploi dans maison ID237.....	89
Fig. 115 : tambours de fûts de colonnes en emploi dans la maçonnerie de la maison ID191.....	89
Fig. 116 : chapiteau engagé représentant des scènes de la Genèse.....	90

## Volume 2 - Illustrations

Fig. 117 : fragments de chapiteaux conservés au musée municipal.....	91
Fig. 118 : modillon représentant un animal gueule ouverte, conservé au musée municipal.....	92
Fig. 119 : fragment de sculpture correspondant à une tête de lion.....	92
Fig. 120 : bloc sculpté en remploi représentant sainte Marguerite entre les mâchoires d'un monstre.....	92
Fig. 121 : chevet de l'église abbatiale révélé par les fouilles de sauvetage de la promenade des Moines réalisées par Serge Robert en 1987.....	93
Fig. 122 : plan de l'église abbatiale de Saint-Martin-aux-Bois (Oise).....	93
Fig. 123 : pilier de la claire-voie de la maison romane représentant l'empereur Justinien.....	94
Fig. 124 : fragments d'un <i>bacino</i> provenant d'une des alvéoles de la façade de l'ancien hôtel de ville ID4, conservés au musée municipal.....	94
Fig. 125 : établissements religieux et emprise des parcelles appartenant aux ordres religieux dans l'espace urbain et péri-urbain sur fond de cadastre napoléonien.....	95
Fig. 126 : l'église paroissiale, reconstruite au milieu du XIX <sup>e</sup> siècle.....	96
Fig. 127 : plan des sépultures de la phase 1 mises au jour dans le cadre des fouilles de sauvetage réalisées à l'emplacement de l'enclos du monastère en 1987.....	97
Fig. 128 : plan des sépultures des phases 2 et 3, mises au jour dans le cadre des fouilles de sauvetage réalisées à l'emplacement de l'enclos du monastère en 1987.....	97
Fig. 129 : clé de voûte découverte lors de travaux réalisés en 1982 à l'emplacement de la supérette située dans la partie basse de la côte Rodanèse.....	98
Fig. 130 : détail du plan géométrique de la ville réalisé en 1782, représentant l'enclos des Capucins.....	99
Fig. 131 : emplacement du logis, de l'église et du cloître du couvent des Capucins.....	99
Fig. 132 : vestiges de l'église du couvent des Capucins.....	100
Fig. 133 : coffret en plomb découvert dans un mur du couvent des Capucins.....	100
Fig. 134 : localisation des infrastructures d'assistance médiévales.....	101
Fig. 135 : emplacement d'un camp d'infanterie à la maladrerie d'Orbaneste.....	102
Fig. 136 : mobilier archéologique découvert en prospection au lieu-dit La Maladrerie d'Orbaneste.....	102
Fig. 137 : le pont sur l'Aveyron avant 1873, vu depuis l'ouest.....	103
Fig. 138 : le pont sur l'Aveyron avant 1873, vu depuis l'est.....	103
Fig. 139 : le pont sur le cadastre napoléonien.....	103
Fig. 140 : détail de la gravure éditée dans Jean Valdor.....	103
Fig. 141 : blason de la ville de Saint-Antonin.....	104
Fig. 142 : plan du pont sur l'Aveyron.....	104
Fig. 143 : pont sur l'Aveyron aujourd'hui, vu depuis l'ouest.....	104
Fig. 144 : axe de circulation nord-sud relié à un pont primitif ?.....	105
Fig. 145 : vestiges au débouché de la rue Frézal, vus depuis le roc d'Anglars au sud.....	105
Fig. 146 : traces d'arrachement d'un mur sur l'Aveyron.....	106
Fig. 147 : débouché de la rue Frézal sur l'Aveyron.....	106
Fig. 148 : détail d'une carte postale ancienne des bords de l'Aveyron en amont du pont.....	107
Fig. 149 : corbeau de la façade latérale de la maison ID83.....	107
Fig. 150 : emplacement des ponts sur la Bonnette.....	108
Fig. 151 : pont des Estafets sur la Bonnette vu depuis le sud.....	108
Fig. 152 : noms des rues de Saint-Antonin sur fond de cadastre napoléonien.....	109
Fig. 153 : rues orthonormées sur fond de cadastre napoléonien.....	110

## Volume 2 - Illustrations

Fig. 154 : tableau synthétique des rues de Saint-Antonin.....	111
Fig. 155 : empiètements du domaine privé sur l'espace public.....	113
Fig. 156 : exemple de rue étroite, rue Guillem Peyre vue depuis l'ouest.....	114
Fig. 157 : maisons en encorbellement de la rue Bombecul sur une carte postale du début du XX <sup>e</sup> siècle..	114
Fig. 158 : escalier empiétant sur l'espace public, place de la Jogaria.....	114
Fig. 159 : pontet au-dessus de la rue Bombecul.....	114
Fig. 160 : localisation des places <i>intra-muros</i> de Saint-Antonin.....	115
Fig. 161 : carte postale du début du XX <sup>e</sup> siècle représentant la place Mazerac, avant la destruction de l'îlot..	116
Fig. 162 : la place Mazerac aujourd'hui.....	116
Fig. 163 : le parcellaire du moulon A d'après le cadastre actuel.....	117
Fig. 164 : le moulon A d'après le cadastre napoléonien.....	118
Fig. 165 : graphe du moulon A d'après le cadastre napoléonien de 1814.....	119
Fig. 166 : le moulon A d'après le plan de 1782.....	120
Fig. 167 : graphe du moulon A d'après le plan cadastral de 1782.....	121
Fig. 168 : graphe du moulon A d'après le compoix de 1670.....	122
Fig. 169 : graphe du moulon A d'après le terrier de 1609.....	123
Fig. 170 : graphe du moulon A d'après le terrier de 1459.....	124
Fig. 171 : graphe du moulon A d'après le terrier de 1397.....	125
Fig. 172 : évolution des accès du moulon A à partir de la modélisation des registres fiscaux.....	126
Fig. 173 : ruelle de service A, vue depuis l'ouest.....	127
Fig. 174 : ruelle de service B, vue depuis l'ouest.....	127
Fig. 175 : rue du Mur (E), vue depuis l'est à l'intérieur de l'îlot.....	127
Fig. 176 : rue de Roquescalière (F), vue depuis l'ouest.....	127
Fig. 177 : ruelle de la Sabaterie (D), vue depuis l'ouest.....	128
Fig. 178 : côté sud de la ruelle de la Sabaterie (D).....	128
Fig. 179 : côté nord de la ruelle de la Sabaterie (D).....	128
Fig. 180 : localisation des espaces économiques (marchés, boucheries, fours).....	129
Fig. 181 : couverts sur la place du Buoc.....	130
Fig. 182 : repérage de la parcelle correspondant à la boucherie en 1670, puis aux écuries en 1782 et 1814 sur les graphes issus du compoix de 1670 et des plans de 1782 et 1814.....	131
Fig. 183 : les fortifications de Saint-Antonin.....	132
Fig. 184 : emplacement de la tour du moulin de Roumégous.....	133
Fig. 185 : vestiges des fortifications sur le mur oriental de la maison ID54.....	134
Fig. 186 : chemin de ronde de la maison ID54.....	135
Fig. 187 : parement interne du rempart à l'intérieur du rez-de-chaussée de la maison ID237.....	136
Fig. 188 : vue cavalière de Saint-Antonin sur le plan du territoire de l'Olmet, 1601.....	137
Fig. 189 : mur en grand appareil, bordant la Bonnette au nord-ouest de la ville.....	137
Fig. 190 : vestige d'une échauguette sur une portion de rempart conservée au sud-est.....	138
Fig. 191 : plan des fortifications de la ville de Saint-Antonin lors du siège de 1622.....	138
Fig. 192 : plan des fortifications de la ville de Saint-Antonin lors du siège de 1622.....	139
Fig. 193 : détail de la gravure représentant les fortifications de la ville de Saint-Antonin.....	139
Fig. 194 : copie de la gravure de 1649 avec rectification du cours de la Bonnette à l'ouest de la ville.....	140



## Volume 2 - Illustrations

Fig. 195 : détail de la copie de la gravure de 1649.....	140
Fig. 196 : projet de construction d'un aqueduc sous le chemin de grande communication n° 5, 1914.....	141
Fig. 197 : sortie vers la Bonette de l'aqueduc moderne qui draine l'eau du fossé.....	141
Fig. 198 : intérieur de l'aqueduc moderne qui draine l'eau du fossé.....	141
Fig. 199 : traces d'ancrage d'une grille métallique fermant l'accès à la ville au nord.....	141
Fig. 200 : moulon A d'après le cadastre napoléonien de 1814.....	142
Fig. 201 : graphe du moulon A d'après le cadastre napoléonien de 1814.....	143
Fig. 202 : graphe du moulon A d'après le compoix de 1670.....	144
Fig. 203 : graphe du moulon A d'après le terrier de 1397.....	145
Fig. 204 : plan des remparts de la ville, XVIII <sup>e</sup> siècle.....	146
Fig. 205 : portion de l'enclos du monastère au sud.....	147
Fig. 206 : carte postale du début du XX <sup>e</sup> siècle représentant les berges de l'Aveyron en aval du pont..	147
Fig. 207 : photographie ancienne du pont sur l'Aveyron, vu depuis l'ouest.....	147
Fig. 208 : portion nord/sud des remparts de la ville, conservée au sud-est.....	148
Fig. 209 : façades méridionales des maisons situées en amont du pont sur l'Aveyron.....	148
Fig. 210 : ouverture dans le rempart, maison ID242.....	149
Fig. 211 : baie géminée dans le mur sud de la maison ID194 correspondant au rempart.....	149
Fig. 212 : localisation des maisons contenant des vestiges des XII <sup>e</sup> -XVI <sup>e</sup> siècles.....	150
Fig. 213 : maisons contenant des vestiges datés du XII <sup>e</sup> siècle.....	150
Fig. 214 : maisons contenant des vestiges datés du XIII <sup>e</sup> siècle.....	151
Fig. 215 : maisons contenant des vestiges datés du XIV <sup>e</sup> siècle.....	151
Fig. 216 : maisons contenant des vestiges datés du XV <sup>e</sup> siècle.....	152
Fig. 217 : maisons contenant des vestiges datés du XVI <sup>e</sup> siècle.....	152
Fig. 218 : aperçu des techniques constructives des maisons de Saint-Antonin-Noble-Val.....	153
Fig. 219 : exemples de couverture de maisons de Saint-Antonin-Noble-Val.....	154
Fig. 220 : plans réguliers de maisons saint-antoninoises du XIII <sup>e</sup> siècle.....	155
Fig. 221 : plans irréguliers de maisons saint-antoninoises du XIII <sup>e</sup> siècle.....	156
Fig. 222 : restitution graphique des élévations des maisons ID32 et ID60 dans leur état du XIII <sup>e</sup> siècle..	157
Fig. 223 : largeur des façades du corpus.....	157
Fig. 224 : vestiges de baies géminées à arcs monolithes en plein cintre.....	158
Fig. 225 : éléments sculptés répartis sur une façade du XII <sup>e</sup> siècle.....	158
Fig. 226 : jours d'écoinçon entre les arcs de baies géminées.....	159
Fig. 227 : baies brisées à remplage du XIII <sup>e</sup> ou XIV <sup>e</sup> siècle.....	160
Fig. 228 : décor sculpté sur des façades de maisons des XIII <sup>e</sup> -XIV <sup>e</sup> siècles.....	161
Fig. 229 : architecture des XV <sup>e</sup> et XVI <sup>e</sup> siècles.....	162
Fig. 230 : façades de maisons d'angle.....	163
Fig. 231 : embrasures de baies géminées.....	164
Fig. 232 : système de fermeture d'une baie géminée de la maison ID13.....	165
Fig. 233 : restitution du fonctionnement des portes bannes.....	165
Fig. 234 : localisation des cheminées recensées.....	166
Fig. 235 : hottes et souches de quelques cheminées saint-antoninoises.....	167
Fig. 236 : manteaux de quelques cheminées saint-antoninoises.....	168

## Volume 2 - Illustrations

Fig. 237 : placards muraux dans diverses maisons saint-antoninoises.....	169
Fig. 238 : succession de niches au second étage de la maison n° 3 rue Saint-Angel.....	169
Fig. 239 : exemple de peintures murales conservées à Saint-Antonin.....	170
Fig. 240 : programmes des maisons étudiées.....	171
Fig. 241 : nombre de contribuables résidant en ville, d'après les rôles de la taille entre 1376 et 1652..	172
Fig. 242 : nombre de contribuables par gache, d'après les rôles de taille de 1559, 1585 et 1628.....	172
Fig. 243 : effectifs des catégories socioprofessionnelles des propriétaires résidant en ville, d'après le terrier royal de 1459.....	173
Fig. 244 : effectifs des catégories socioprofessionnelles des propriétaires résidant en ville, d'après le compoix de 1670.....	173
Fig. 245 : effectifs des catégories socioprofessionnelles des contribuables d'après les registres de taille de 1559, 1585 et 1628.....	174
Fig. 246 : répartition du nombre de feux appartenant à la catégorie des métiers de la terre en ville et à la campagne, d'après les registres de taille de 1559, 1585 et 1628.....	175
Fig. 247 : répartition du nombre de feux appartenant à la catégorie des métiers de la terre en ville et à la campagne, d'après les registres de taille de 1559, 1585 et 1628.....	175
Fig. 248 : contributions fiscales d'après le registre de 1455-56.....	175
Fig. 249 : localisation des maisons appartenant aux consuls de l'année 1464-1465.....	176
Fig. 250 : répartition des membres du gouvernement urbain dans les gaches d'après le registre de 1455-56..	176
Fig. 251 : densité de population dans les gaches urbaines entre 1377 et 1722 d'après les rôles de la taille..	177
Fig. 252 : proportion du nombre de contribuable dans chaque gache par rapport au total de la population urbaine.....	177
Fig. 253 : répartition des catégories de professions par gaches entre 1459 et 1814.....	178
Fig. 254 : répartition des catégories de professions par gaches d'après le terrier de 1459, les registres de taille de 1559, 1585, 1628 et le compoix de 1670.....	179
Fig. 255 : répartition des classes de fortune, d'après le rôle de la taille de 1559.....	179
Fig. 256 : localisation, dans les moulons, des 20 parcelles habitées dont le montant de l'allivrement rapporté à la cane <sup>2</sup> est le plus fort et des 20 parcelles habitées dont il est le plus faible, d'après le compoix de 1670..	180
Fig. 257 : répartition des professions des propriétaires par rue d'après le compoix de 1670.....	181
Fig. 258 : les professions des propriétaires de parcelles d'après le cadastre napoléonien.....	182
Fig. 259 : répartition des professions sur le graphe parcellaire du moulon A d'après le terrier royal de 1459..	183
Fig. 260 : répartition des professions sur le graphe parcellaire du moulon A d'après le terrier royal de 1609..	184
Fig. 261 : répartition des métiers sur le graphe parcellaire du moulon A d'après le compoix de 1670..	185
Fig. 262 : répartition des métiers sur le graphe parcellaire du moulon A d'après le cadastre napoléonien de 1814.....	186
Fig. 263 : répartition des métiers sur le cadastre napoléonien dans le moulon A.....	187
Fig. 264 : répartition du montant de l'allivrement rapporté à la cane <sup>2</sup> des parcelles du moulon A sur le graphe parcellaire issu du compoix de 1670.....	188
Fig. 265 : seigneurs mentionnés dans le registre des <i>Maniffests</i> de 1500.....	189
Fig. 266 : répartition par moulon des parcelles sur lesquelles pèse un cens, d'après le registre des <i>Maniffests</i> de 1500.....	189
Fig. 267 : nombre de parcelles déclarées dans les registres de reconnaissances au roi et au chapitre, au sein des moulons, aux XIV <sup>e</sup> , XV <sup>e</sup> et XVI <sup>e</sup> siècles.....	190
Fig. 268 : famille laïques recevant un cens, mentionnées dans le registre des <i>Maniffests</i> de 1500.....	191
Fig. 269 : répartition par moulon des parcelles dont le cens est du aux trois familles laïques les plus possessionnées en ville, d'après les <i>Maniffests</i> de 1500.....	192



## Volume 2 - Illustrations

Fig. 270 : seigneur auquel les propriétaires des parcelles du moulon M doivent un cens, sur le graphe parcellaire issu des <i>Maniffests</i> de 1500.....	193
Fig. 271 : fiefs de l'îlot E7 au Moyen Âge et à la période moderne.....	194
Fig. 272 : parcelles déclarées franches dans le registre des <i>Maniffests</i> de 1500.....	195
Fig. 273 : datation des vestiges identifiés dans les maisons de Saint-Antonin-Noble-Val.....	196
Fig. 274 : parcellaire du cadastre napoléonien.....	197
Fig. 275 : îlots du cadastre napoléonien.....	198
Fig. 276 : le moulon K, noyau primitif de l'agglomération ?.....	198
Fig. 277 : les chemins qui mènent à Caylus et en direction de Villefranche-de-Rouergue, responsables de la forme atypique du moulon C.....	199
Fig. 278 : deux secteurs fortement contraints par la présence des fortifications, les moulons P et Q...199	199
Fig. 279 : répartition des espaces bâtis et non bâtis d'après le plan de 1782.....	200
Fig. 280 : répartition des espaces bâtis et non bâtis d'après le cadastre napoléonien.....	200
Fig. 281 : surfaces des parcelles <i>intra muros</i> d'après le plan de 1782.....	201
Fig. 282 : surfaces des parcelles <i>intra muros</i> d'après le cadastre napoléonien.....	201
Fig. 283 : proportion de parcelles bâties, mixtes et non bâties par gaches d'après le registre des <i>Maniffests</i> de 1500, le compoix de 1670, le plan parcellaire de 1782 et le cadastre napoléonien de 1814.....	202
Fig. 284 : emplacement des venelles connues d'après les plans anciens et les vestiges.....	203
Fig. 285 : venelle rue des Claustres (A).....	203
Fig. 286 : venelle rue Droite, à l'est de la maison ID32 (B).....	203
Fig. 287 : organisation du tissu urbain à l'est de la rue de la Bride.....	204
Fig. 288 : reconstitution hypothétique de la densification du bâti autour de la maison ID109, constituée des corps de bâtiments A, B et C.....	204
Fig. 289 : détail du plan de 1782.....	205
Fig. 290 : maison ID151, élévation sur la rue des Grandes Boucheries.....	205
Fig. 291 : graphe de l'îlot K5 d'après le compoix de 1670.....	206
Fig. 292 : graphe de l'îlot K5 d'après le plan de 1782.....	206
Fig. 293 : parcellaire régulier de l'îlot H3.....	207
Fig. 294 : nature des parcelles du lotissement dans la partie orientale du moulon Z d'après le cadastre napoléonien.....	207
Fig. 295 : parcellaire laniéré des îlots J1 et H9 correspondants à un gain de rive.....	208
Fig. 296 : surface des parcelles du moulon A d'après les plans de 1814 et 1782 et le compoix de 1670..209	209
Fig. 297 : orientations dominantes des limites de parcelles, dont le gisement est compris entre 15° et 25° ..210	210
Fig. 298 : orientations parcellaires basées sur quelques rues remarquables.....	211
Fig. 299 : orientations parcellaires basées sur quelques maisons des XII <sup>e</sup> et XIII <sup>e</sup> siècles.....	212
Fig. 300 : catégories de natures des parcelles d'après le plan de 1782.....	213
Fig. 301 : catégories de natures des parcelles d'après le cadastre napoléonien de 1814.....	214
Fig. 302 : natures des parcelles dans les sources fiscales.....	215
Fig. 303 : natures des parcelles dans les gaches d'après le registre des <i>Maniffests</i> de 1500, le compoix de 1670, le plan parcellaire de 1782 et le cadastre napoléonien de 1814.....	216
Fig. 304 : distribution spatiale des catégories de parcelles dans les rues de la ville d'après le compoix de 1670.....	217
Fig. 305 : répartition des grandes arcades en arc brisé médiévales repérées dans l'espace <i>intra-muros</i> ....218	218
Fig. 306 : natures des parcelles sur les graphes du moulon A, d'après les terriers de 1397 et 1459.....	219

## Volume 2 - Illustrations

Fig. 307 : natures des parcelles sur les graphes du moulon A, d'après le terrier de 1609 et le compoix de 1670.....	220
Fig. 308 : natures des parcelles sur les graphes du moulon A, d'après les plans de 1782 et 1814.....	221
Fig. 309 : le moulon M sur le cadastre actuel.....	222
Fig. 310 : orientations des parcelles du moulon M sur le plan de 1782 et le cadastre napoléonien.....	223
Fig. 311 : largeur des parcelles du moulon M sur les rues Droite et du Bessarel.....	224
Fig. 312 : nature des parcelles du moulon M d'après le plan de 1782 et le cadastre napoléonien.....	225
Fig. 313 : natures des parcelles du moulon M sur les graphes parcellaires issus du cadastre napoléonien et du plan de 1782.....	226
Fig. 314 : natures des parcelles du moulon M sur les graphes parcellaires issus du compoix de 1670 et des <i>Manifests</i> de 1500.....	227
Fig. 315 : natures des parcelles du moulon M sur le graphe parcellaire issu du terrier de 1459.....	228
Fig. 316 : maison du XIII <sup>e</sup> siècle, sur la rue Droite dans le moulon M (ID36).....	228
Fig. 317 : venelle visible dans la rue du Bessarel.....	228
Fig. 318 : parcellaire autour de la rue de la Pélisserie sur le plan de 1782 et le cadastre napoléonien.....	229
Fig. 319 : largeur des parcelles de la rue de la Pélisserie.....	230
Fig. 320 : croquis à l'échelle des élévations des maisons sur la rue de la Pélisserie.....	231
Fig. 321 : rue de la Pélisserie vue depuis le sud.....	231
Fig. 322 : maisons médiévales du côté impair (ouest) de la rue de la Pélisserie.....	232
Fig. 323 : maisons médiévales du côté pair (est) de la rue de la Pélisserie.....	232
Fig. 324 : maisons médiévales du côté pair (est) de la rue de la Pélisserie.....	233
Fig. 325 : porte bannes formé d'un anneau surmonté de trois antennes, placé dans le joint au-dessus du trumeau des baies géminées du second étage de la maison ID 17.....	234
Fig. 326 : dessin de E. Viollet-le-Duc, illustrant l'utilisation des portes bannes de la maison ID110.....	234
Fig. 327 : orientations des limites parcellaires autour des rues de la Pélisserie et des Cordeliers.....	235
Fig. 328 : emplacement du moulon S.....	236
Fig. 329 : le moulon S aujourd'hui.....	237
Fig. 330 : les parcelles du moulon S sur les plans parcellaires de 1814 et 1782.....	238
Fig. 331 : natures des parcelles du moulon S sur le graphe du plan de 1814.....	239
Fig. 332 : natures des parcelles du moulon S sur le graphe du plan de 1782.....	239
Fig. 333 : natures des parcelles du moulon S sur le graphe du compoix de 1670.....	240
Fig. 334 : natures des parcelles du moulon S sur le graphe du terrier de 1459.....	240
Fig. 335 : natures des parcelles aux portes de la ville d'après le cadastre napoléonien.....	241
Fig. 336 : parcellaire autour de la ville d'après le cadastre napoléonien.....	242
Fig. 337 : localisation des faubourgs de Saint-Antonin.....	243
Fig. 338 : localisation des toponymes de la Condamine d'après le cadastre napoléonien.....	244
Fig. 339 : nature des parcelles sur le graphe du secteur de la Condamine d'après le compoix de 1670.....	245
Fig. 340 : natures des parcelles du lieu-dit la Condamine d'après le cadastre napoléonien.....	246
Fig. 341 : nature des parcelles sur le graphe du secteur de la Condamine d'après les <i>Manifests</i> de 1500.....	247
Fig. 342 : surfaces des parcelles de la juridiction de Saint-Antonin d'après le cadastre napoléonien.....	248
Fig. 343 : relief de la commune de Saint-Antonin.....	248
Fig. 344 : natures des parcelles de la juridiction de Saint-Antonin d'après le cadastre napoléonien.....	249
Fig. 345 : natures des parcelles du terrier de 1688.....	250
Fig. 346 : découpage du territoire de Saint-Antonin en quartier ruraux.....	251

## Volume 2 - Illustrations

Fig. 347 : proportion de parcelles rurales appartenant à des propriétaires résidant en ville d'après les <i>Manifests</i> de 1500.....	251
Fig. 348 : proportion de parcelles rurales appartenant à des propriétaires résidant en ville d'après le compoix de 1670.....	251
Fig. 349 : métiers des propriétaires résidant en ville et possédant des parcelles à la campagne d'après le compoix de 1670.....	252
Fig. 350 : métiers des propriétaires résidant en ville et possédant des parcelles à la campagne d'après le terrier de 1688.....	252
Fig. 351 : professions des propriétaires des parcelles, d'après le terrier de 1688.....	253
Fig. 352 : professions des propriétaires des parcelles résidant en ville, d'après le terrier de 1688.....	253
Fig. 353 : localisation des parcelles dont le propriétaire réside en ville, d'après le cadastre napoléonien..	254
Fig. 354 : professions des propriétaires qui résident en ville, d'après le cadastre napoléonien.....	255
Fig. 355 : possessions rurales de Guillaume Lacombe, d'après le cadastre napoléonien.....	256
Fig. 356 : localisation des chenevières sur le territoire de la commune de Saint-Antonin, d'après le cadastre napoléonien.....	257
Fig. 357 : localisation des chenevières autour de la ville d'après le cadastre napoléonien.....	257
Fig. 358 : profession des propriétaires de chenevières d'après le compoix de 1670.....	258
Fig. 359 : cheptel vif mentionné dans les registres de rôles de la taille du milieu du XV <sup>e</sup> siècle.....	258
Fig. 360 : localisation des moulins battants et des foulons mentionnés dans le compoix de 1670.....	259
Fig. 361 : restitution d'une inondation jusqu'à la cote 125 m NGF, soit celle environ atteinte par les crues de 1394, 1618, 1906 1940 et 1981.....	260
Fig. 362 : mentions de crues et de tempêtes relevées dans la documentation saint-antoninoise jusqu'au XVIII <sup>e</sup> siècle.....	261
Fig. 363 : histogramme du niveau de l'eau mesuré à Montricoux lors des crues du XIX <sup>e</sup> siècle.....	261
Fig. 364 : histogramme de l'altitude du niveau de l'eau à Saint-Antonin lors des crues du XX <sup>e</sup> siècle..	261
Fig. 365 : exemples de marques apposées sur les façades pour se remémorer le niveau des principales crues du XX <sup>e</sup> siècle.....	262
Fig. 366 : vue du quartier du Bessarel lors de la décrue en 1927.....	263
Fig. 367 : vue du pont sur l'Aveyron depuis l'ouest, lors de la crue de 1981.....	263
Fig. 368 : représentation du niveau de l'eau atteint par les crues de 1930 et 1981.....	264
Fig. 369 : coupes nord / sud et nord-ouest / sud-est de la ville avec la restitution du niveau de l'eau atteint par les crues de 1930 et 1981.....	265
Fig. 370 : localisation des aménagements sur la Bonnette.....	266
Fig. 371 : aménagement de berge correspondant à la lettre D sur la figure 370.....	267
Fig. 372 : aménagement de berge correspondant à la lettre B sur la figure 370.....	267
Fig. 373 : aménagement de berge correspondant à la lettre C sur la figure 370.....	268
Fig. 374 : aménagement de berge correspondant à la lettre E sur la figure 370.....	268
Fig. 375 : aménagement de berge correspondant à la lettre D sur la figure 370.....	268
Fig. 376 : aménagement de berge correspondant à la lettre F sur la figure 370.....	269
Fig. 377 : aménagement de berge correspondant à la lettre A sur la figure 370, construit au XVII <sup>e</sup> siècle en vue d'assécher le méandre.....	269
Fig. 378 : secteurs touchés par une inondation atteignant la cote 125 m NGF.....	270
Fig. 379 : nature des parcelles situées au lieu-dit Entre Deux Eaux, au nord de la ville, d'après le registre des <i>Manifests</i> de 1500, le compoix de 1670 et le cadastre napoléonien de 1814.....	271
Fig. 380 : parcelles de jardin sur le cadastre napoléonien de 1814.....	271

## Volume 2 - Illustrations

Fig. 381 : dérivations hors les murs sur fond de cadastre napoléonien.....	272
Fig. 382 : vue aérienne de Saint-Antonin et des dérivations hors les murs.....	273
Fig. 383 : digue de la dérivation supérieure, vue depuis le nord-ouest.....	274
Fig. 384 : canal de la dérivation supérieure en dehors de la ville, vu depuis le nord.....	274
Fig. 385 : digue de la dérivation inférieure, vu depuis le sud-est.....	275
Fig. 386 : canaux de dérivation <i>extra-muros</i> sur le cadastre napoléonien.....	275
Fig. 387 : dérivations de la Bonnette en ville sur fond de cadastre actuel.....	276
Fig. 388 : canal de la dérivation supérieure avant son entrée en ville, au niveau du boulevard.....	277
Fig. 389 : canal de la dérivation supérieure sous le boulevard.....	277
Fig. 390 : partie sud du canal de la dérivation supérieure sous le boulevard, vue depuis le sud.....	278
Fig. 391 : détail de la partie souterraine du canal de la dérivation supérieure sous le boulevard.....	278
Fig. 392 : canal de la dérivation supérieure dans la rue Rive Valat, vu depuis le nord.....	279
Fig. 393 : canal de la dérivation supérieure dans la rue Rive Valat, vu depuis le sud.....	279
Fig. 394 : pont au-dessus du canal de la dérivation supérieure.....	280
Fig. 395 : départ de la partie souterraine du canal de la dérivation supérieure dans la rue Rive Valat....	280
Fig. 396 : canal de la dérivation supérieure, place Mazerac, vu depuis le sud.....	281
Fig. 397 : canal de la dérivation supérieure, place Mazerac, vu depuis le nord.....	281
Fig. 398 : canal de la dérivation supérieure, vu depuis le sud dans la maison ID228.....	282
Fig. 399 : canal de la dérivation supérieure, vu depuis le nord dans la maison ID228.....	282
Fig. 400 : couverture du canal de la dérivation supérieure dans la maison ID228.....	283
Fig. 401 : bloc servant de couverture au canal de la dérivation supérieure dans la maison ID228.....	283
Fig. 402 : regard place du Timplé.....	284
Fig. 403 : canal de la dérivation supérieure, observé dans le regard place du Timplé.....	284
Fig. 404 : canal de la dérivation supérieure, observé dans le regard place du Timplé.....	284
Fig. 405 : regard situé place de la Jogaria.....	285
Fig. 406 : canal de la dérivation supérieure, observé dans le regard situé place de la Jogaria.....	285
Fig. 407 : débouché de la dérivation supérieure dans la dérivation inférieure.....	285
Fig. 408 : accès au canal de la dérivation inférieure depuis le rez-de-chaussée de la maison ID133.....	286
Fig. 409 : canal de la dérivation inférieure, observé au niveau du regard rue Droite.....	287
Fig. 410 : canal de la dérivation inférieure, observé au niveau du regard rue du Moulin du Bessarel...	288
Fig. 411 : réunion de plusieurs canaux secondaires dans le canal de la dérivation inférieure.....	289
Fig. 412 : canal de la dérivation inférieure dans le quartier du Bessarel, vu depuis le sud.....	290
Fig. 413 : canal de la dérivation inférieure dans le quartier du Bessarel, vu depuis le nord.....	290
Fig. 414 : canal de la dérivation inférieure, vu depuis le Nord.....	291
Fig. 415 : canal de la dérivation inférieure, vu depuis le Sud.....	291
Fig. 416 : confluence de la Bonnette et de la dérivation inférieure.....	292
Fig. 417 : altitude du fond des canaux de dérivation de la Bonnette en ville.....	293
Fig. 418 : accès au canal de la dérivation inférieure depuis la rue Orbe.....	294
Fig. 419 : ancien accès au canal de la dérivation inférieure.....	294
Fig. 420 : accès au canal de la dérivation inférieure et débouchés de canaux secondaires.....	294
Fig. 421 : escaliers d'accès au canal de la dérivation inférieure.....	295
Fig. 422 : canaux connus par les plans cadastraux, sur fond de cadastre napoléonien.....	296

## Volume 2 - Illustrations

Fig. 423 : canaux connus par les observations faites sur le terrain, sur fond de cadastre napoléonien.....	297
Fig. 424 : canaux mentionnés dans les textes et non identifiés sur les plans et le terrain.....	298
Fig. 425 : proposition de restitution du réseau de canaux à partir des tracés connus par les plans cadastraux et les observations faites sur le terrain.....	299
Fig. 426 : hypothèses de l'emplacement d'une troisième dérivation.....	300
Fig. 427 : dérivation de la Bonnette pour le moulin de Ponget au nord de la ville.....	301
Fig. 428 : clichés classiques et thermiques du secteur au nord de la ville.....	302
Fig. 429 : canal transversal à ciel ouvert dans le moulon M.....	303
Fig. 430 : vestiges d'un système de vannes au niveau du canal transversal à ciel ouvert dans le moulon M.....	304
Fig. 431 : canal secondaire souterrain, orienté est-ouest débouchant dans le canal de dérivation inférieure.....	305
Fig. 432 : collecteur de canaux secondaires débouchant dans la dérivation inférieure.....	305
Fig. 433 : canal transversal débouchant dans la dérivation inférieure.....	306
Fig. 434 : canal orienté est-ouest mis au jour dans la section septentrionale de la rue du Four Neuf.....	307
Fig. 435 : canal orienté nord-sud mis au jour dans la section orientale de la rue du Four Neuf.....	308
Fig. 436 : canal transversal observé dans la cave de la maison ID240.....	309
Fig. 437 : canal orienté est-ouest, vu vers l'est, se jettant dans le canal de la dérivation supérieure.....	309
Fig. 438 : canaux mis au jour lors de travaux rue Cayssac par Serge Robert.....	310
Fig. 439 : canal transversal observé au niveau de la sixième arche du pont sur l'Aveyron.....	311
Fig. 440 : sortie d'un canal dans l'Aveyron.....	311
Fig. 441 : hiérarchie des canaux <i>intra-muros</i> .....	312
Fig. 442 : localisation des moulins <i>intra-muros</i> .....	313
Fig. 443 : vanne de répartition dans la rue Droite, permettant de réguler le débit du canal de la dérivation supérieure.....	313
Fig. 444 : restitution de l'utilisation de la vanne de répartition.....	313
Fig. 445 : planches de l' <i>Encyclopédie</i> de Diderot et D'Alembert, article "Tanner".....	314
Fig. 446 : mentions d'ateliers et d'équipements liés à l'artisanat du cuir dans les registres et plans fiscaux.....	315
Fig. 447 : répartition des ateliers et équipements liés à l'artisanat du cuir par moulon, d'après les registres et plans fiscaux.....	315
Fig. 448 : localisation des ateliers liés au travail du cuir d'après le plan de 1782.....	316
Fig. 449 : vestiges de la tannerie ID163.....	317
Fig. 450 : vestiges de la tannerie ID164.....	318
Fig. 451 : vestiges d'une tannerie du XIX <sup>e</sup> siècle dans le moulon M.....	319
Fig. 452 : tannerie du Martinet sur une carte postale du début du XX <sup>e</sup> siècle.....	319
Fig. 453 : le quartier du Bessarel au début du XX <sup>e</sup> siècle.....	320
Fig. 454 : occurrences des métiers du cuir dans les sources fiscales.....	321
Fig. 455 : allivrement moyen par contribuable pour chaque métier du cuir en 1670.....	321
Fig. 456 : répartition des maisons détenues par des artisans du cuir entre 1397 et 1563.....	322
Fig. 457 : répartition des maisons détenues par des artisans du cuir entre 1609 et 1814.....	323
Fig. 458 : localisation des parcelles dont le propriétaire exerce la profession de tanneur, d'après le compoix de 1670.....	324
Fig. 459 : localisation des parcelles dont le propriétaire exerce une profession liée à l'artisanat du cuir d'après le cadastre napoléonien.....	325
Fig. 460 : localisation des teintureries mentionnées sur le plan parcellaire de 1782.....	326



## Volume 2 - Illustrations

Fig. 461 : occurrences des métiers du textile dans les sources fiscales, en ville et à la campagne.....	327
Fig. 462 : localisation des parcelles dont le propriétaire exerce une profession liée à la fabrication de tissu, d'après le cadastre napoléonien.....	328
Fig. 463 : allivrement moyen par contribuable pour chaque métier du cuir en 1670.....	328
Fig. 464 : répartition des maisons détenues par des artisans du textile entre 1397 et 1668.....	329
Fig. 465 : répartition des maisons détenues par des artisans du textile entre 1670 et 1814.....	330
Fig. 466 : localisation des boucheries sur fond de cadastre actuel.....	331
Fig. 467 : localisation des latrines, sur fond cadastral actuel.....	332
Fig. 468 : croquis à l'échelle de six latrines médiévales de Saint-Antonin.....	333
Fig. 469 : latrines des maisons ID 28, 109, 240 et 13.....	334
Fig. 470 : latrines des maisons ID17, 53 et 49.....	335
Fig. 471 : latrines des maisons 32, 72, 210 et 109.....	336
Fig. 472 : latrines vues de l'extérieur.....	337
Fig. 473 : conduits d'évacuation de latrines insérés dans la maçonnerie des maisons ID 17 et 53.....	337
Fig. 474 : latrines en encorbellement au-dessus d'un canal ou d'une venelle.....	338
Fig. 475 : localisation des éviers conservés.....	339
Fig. 476 : exemples d'éviers observés à Saint-Antonin.....	340
Fig. 477 : collecteurs d'eaux usées provenant de maisons et se déversant dans un canal transversal dans la rue du Four Neuf.....	341
Fig. 478 : canalisation insérée dans la maçonnerie de la maison ID94.....	341
Fig. 479 : synthèse des évacuations dans des égouts souterrains, sur fond cadastral actuel.....	342
Fig. 480 : lien entre les hôpitaux <i>intra-muros</i> et le réseau hydrographique.....	342
Fig. 481 : le secteur des bains.....	343
Fig. 482 : clé de l'arcade du rez-de-chaussée de la maison ID27.....	343
Fig. 483 : ouverture percée dans la voute au rez-de-chaussée de la maison ID 206, rue Rive Valat.....	344
Fig. 484 : enluminures de la fin du Moyen Âge illustrant l'utilisation de ciels dans des bains.....	344
Fig. 485 : localisation des puits connus, sur fond cadastral actuel.....	345
Fig. 486 : tableau des dimensions des puits observés, en mètres.....	345
Fig. 487 : puits des maisons ID14, 72,133 et 239.....	346
Fig. 488 : puits des maisons ID 232, 149 et 212.....	347
Fig. 489 : exemples de systèmes d'évacuation de l'eau de pluie.....	348
Fig. 490 : localisation des fontaines hors les murs.....	349
Fig. 491 : fontaine de la Maladrerie d'Orbaneste.....	349
Fig. 492 : fontaine de Fondaurade, au moulin de Roumégous.....	350
Fig. 493 : fontaine de Bouteillou.....	351
Fig. 494 : synthèse des équipements liés à la présence de canaux au Moyen Âge et à la période moderne..	352
Fig. 495 : le moulon K, inséré entre les deux canaux de dérivation.....	353
Fig. 496 : réseau viaire orthonormé et canaux transversaux.....	353
Fig. 497 : réseau hydrographique souterrain et à ciel ouvert.....	354
Fig. 498 : nature des parcelles du moulon M d'après les plans de 1782 et 1814.....	355
Fig. 499 : nature de parcelles du moulon M sur les graphes parcellaires issus du compoix de 1670 et du terrier royal de 1459.....	356

## Volume 2 - Illustrations

Fig. 500 : répartition des professions des propriétaires des parcelles du moulon M sur les graphes parcellaires issus du compoix de 1670 et du cadastre napoléonien.....	357
Fig. 501 : surfaces des parcelles du moulon M sur les graphes parcellaires issus du compoix de 1670 et du cadastre napoléonien.....	358
Fig. 502 : répartition du montant de l'allivrement rapporté à la cane <sup>2</sup> des parcelles du moulon M sur le graphe parcellaire issu du compoix de 1670.....	359
Fig. 503 : entité à laquelle les propriétaires des parcelles du moulon M doivent un cens, sur les graphes parcellaires issus des <i>Maniffests</i> de 1500.....	359
Fig. 504 : synthèse de la construction de la ville, phases I à IV.....	360
Fig. 505 : synthèse de la construction de la ville, phases V à VIII.....	361
Fig. 506 : synthèse de la construction de la ville, phases IX à XII.....	362









Depuis Pech Dax, au nord-ouest



Depuis le Roc Deymié, à l'est

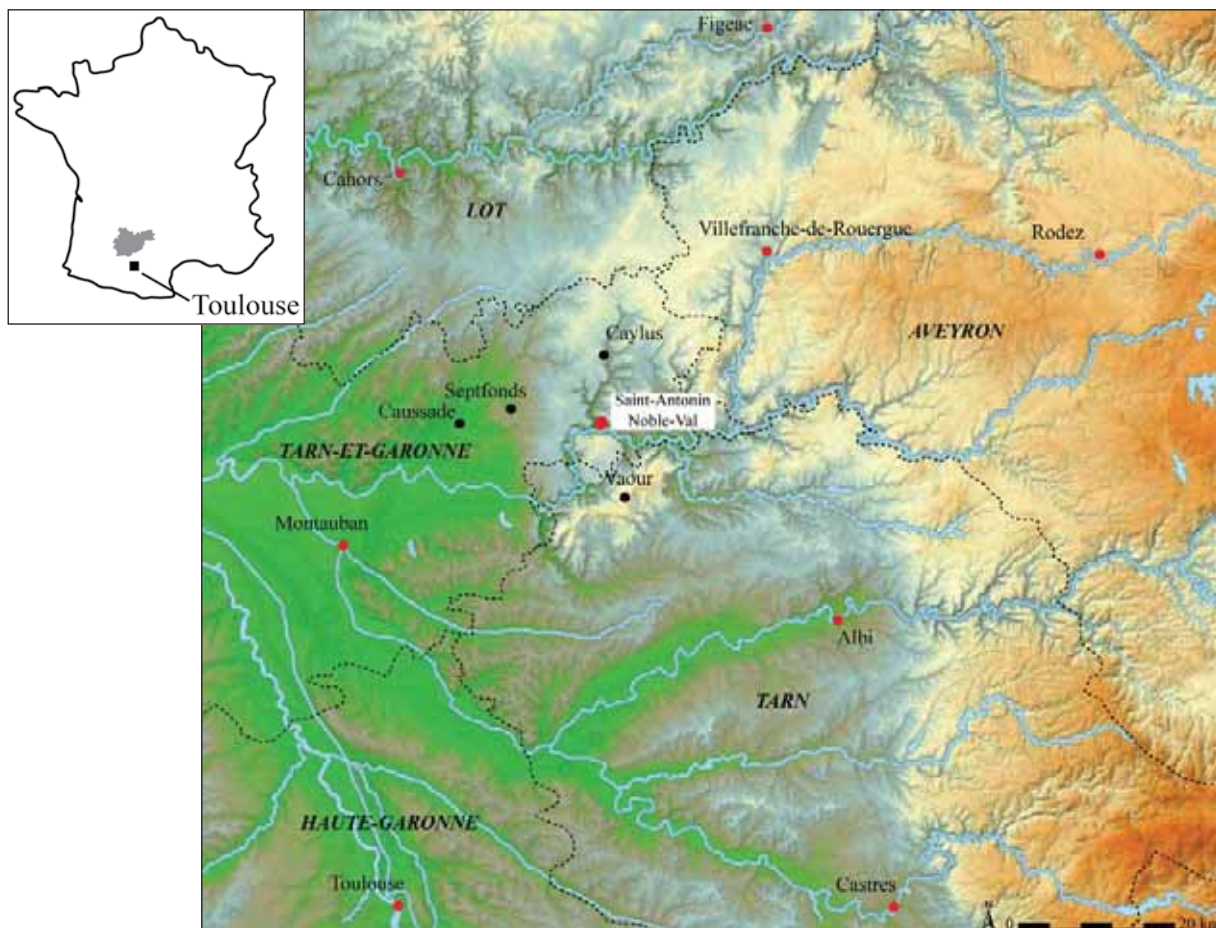


Depuis le roc d'Anglars, au sud

clichés : C. Rivals

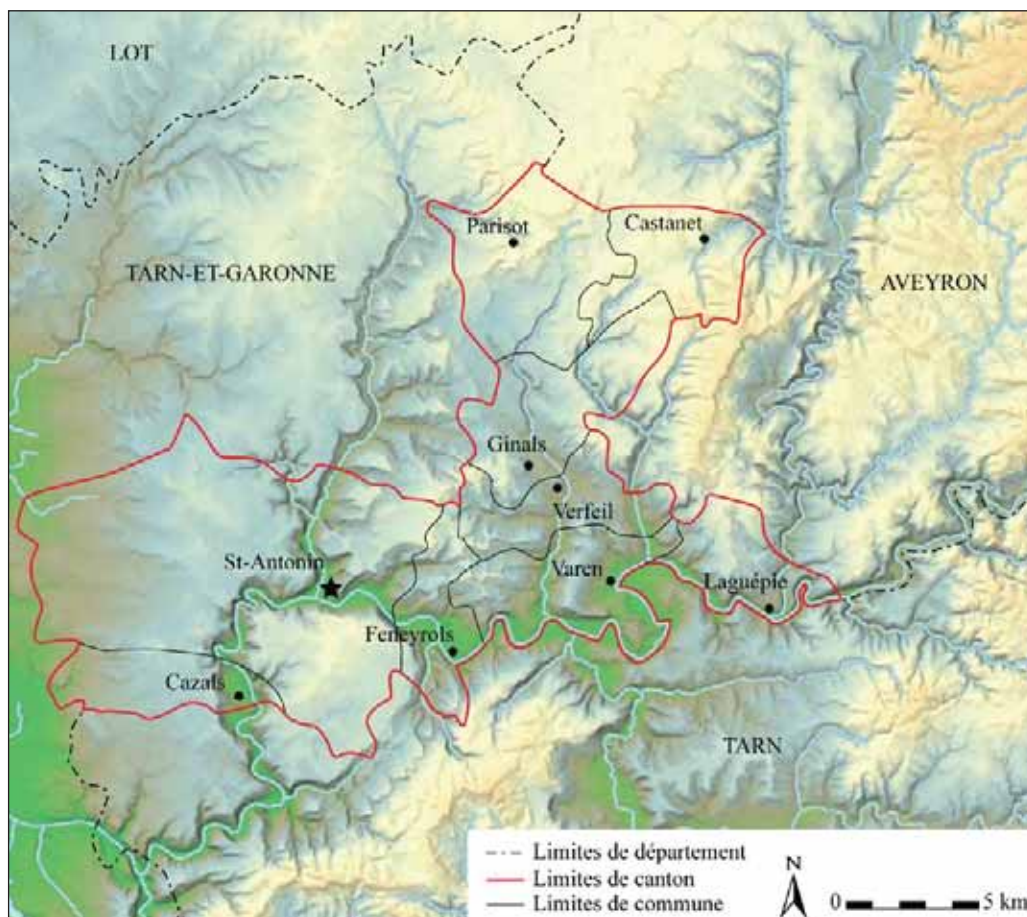
Fig. 1 : vues générales de la ville dans son environnement





cliché : C. Rivals, fond de carte : Géoportail

Fig. 2 : Saint-Antonin-Noble-Val dans le département du Tarn-et-Garonne



cliché : C. Rivals, fond de carte : Géoportail

Fig. 3 : Saint-Antonin-Noble-Val chef-lieu de canton



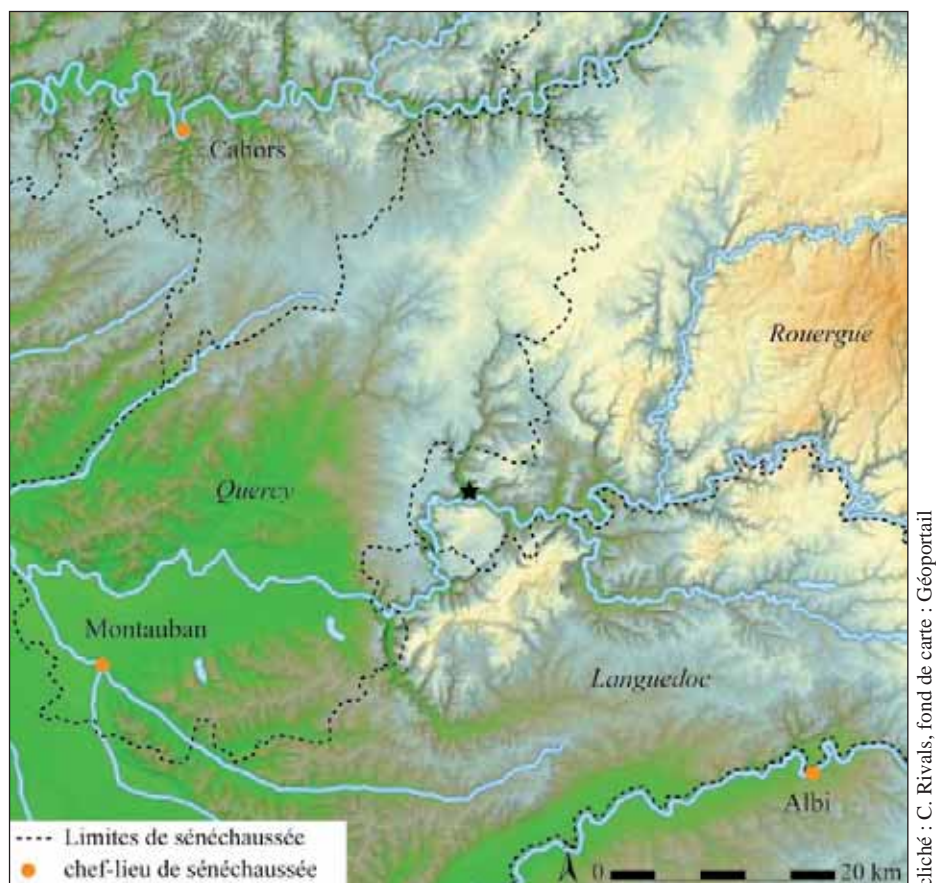
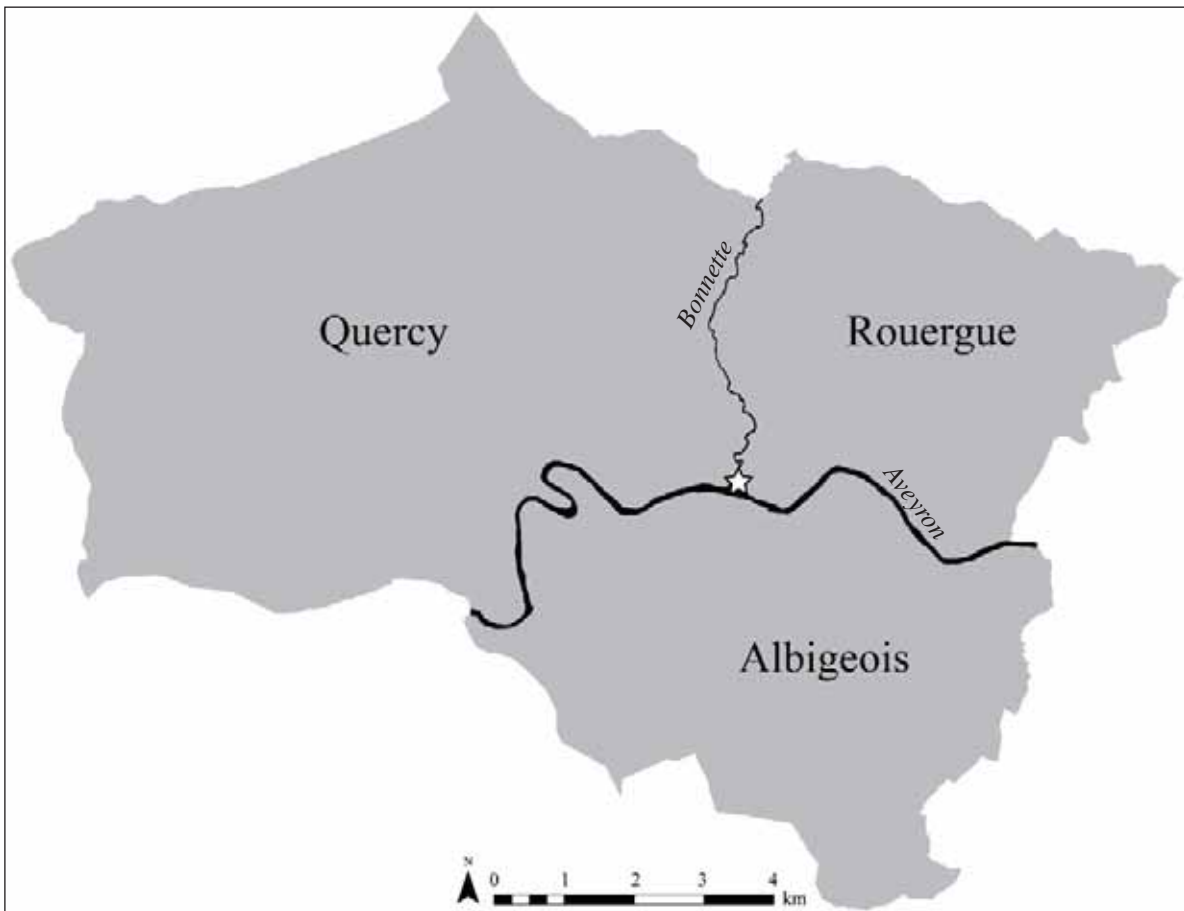


Fig. 4 : limites des sénéchaussées sous l’Ancien Régime  
D’après Bernard Loncan (dir.), *Caylus et Saint-Antonin-Noble-Val...op. cit.*, p. 35

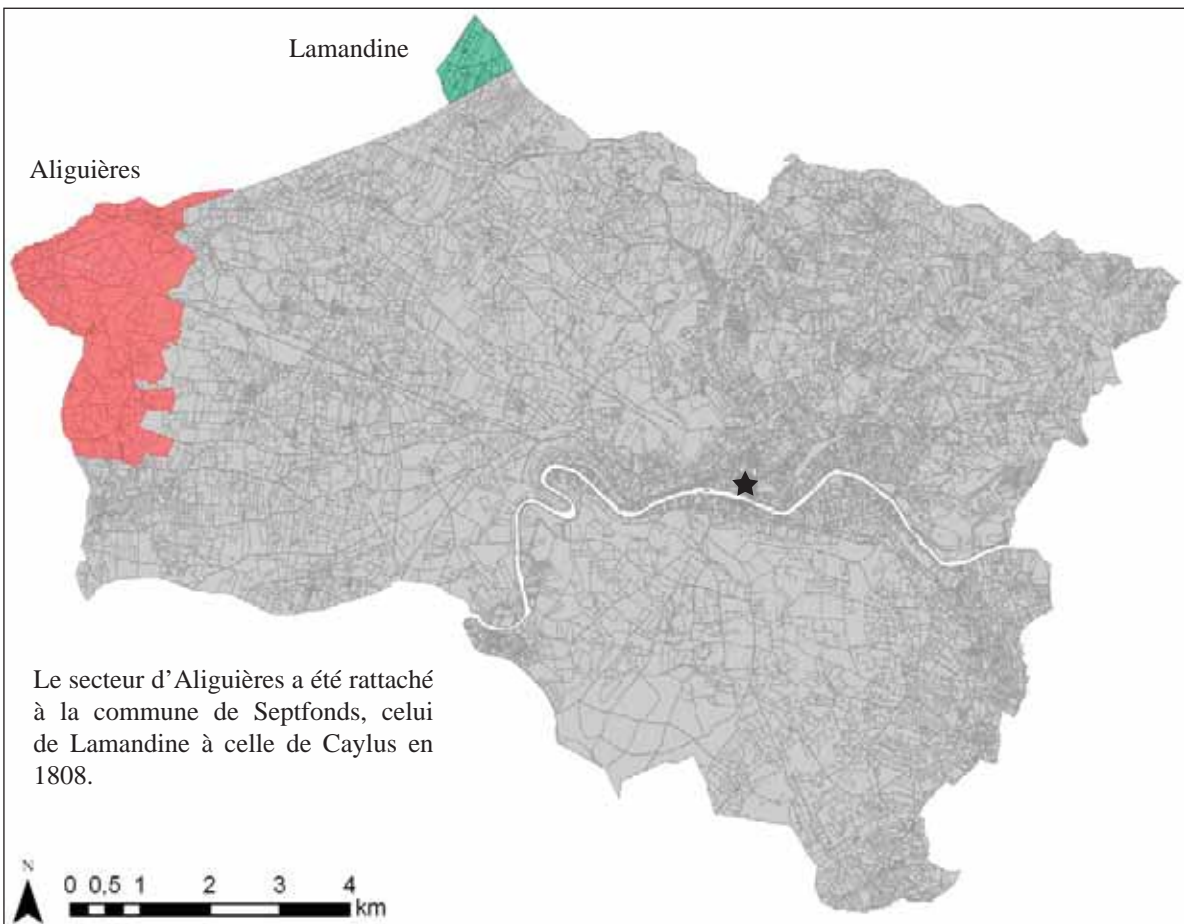


Fig. 5 : limites des diocèses sous l’Ancien Régime  
D’après Bernard Loncan (dir.), *Caylus et Saint-Antonin-Noble-Val...op. cit.*, p. 35



réal. : C. Rivals

Fig. 6 : découpage du territoire de Saint-Antonin-Noble-Val en quartier ruraux



réal. : C. Rivals

Fig. 7 : limites de la commune de Saint-Antonin-Noble-Val d'après le cadastre napoléonien



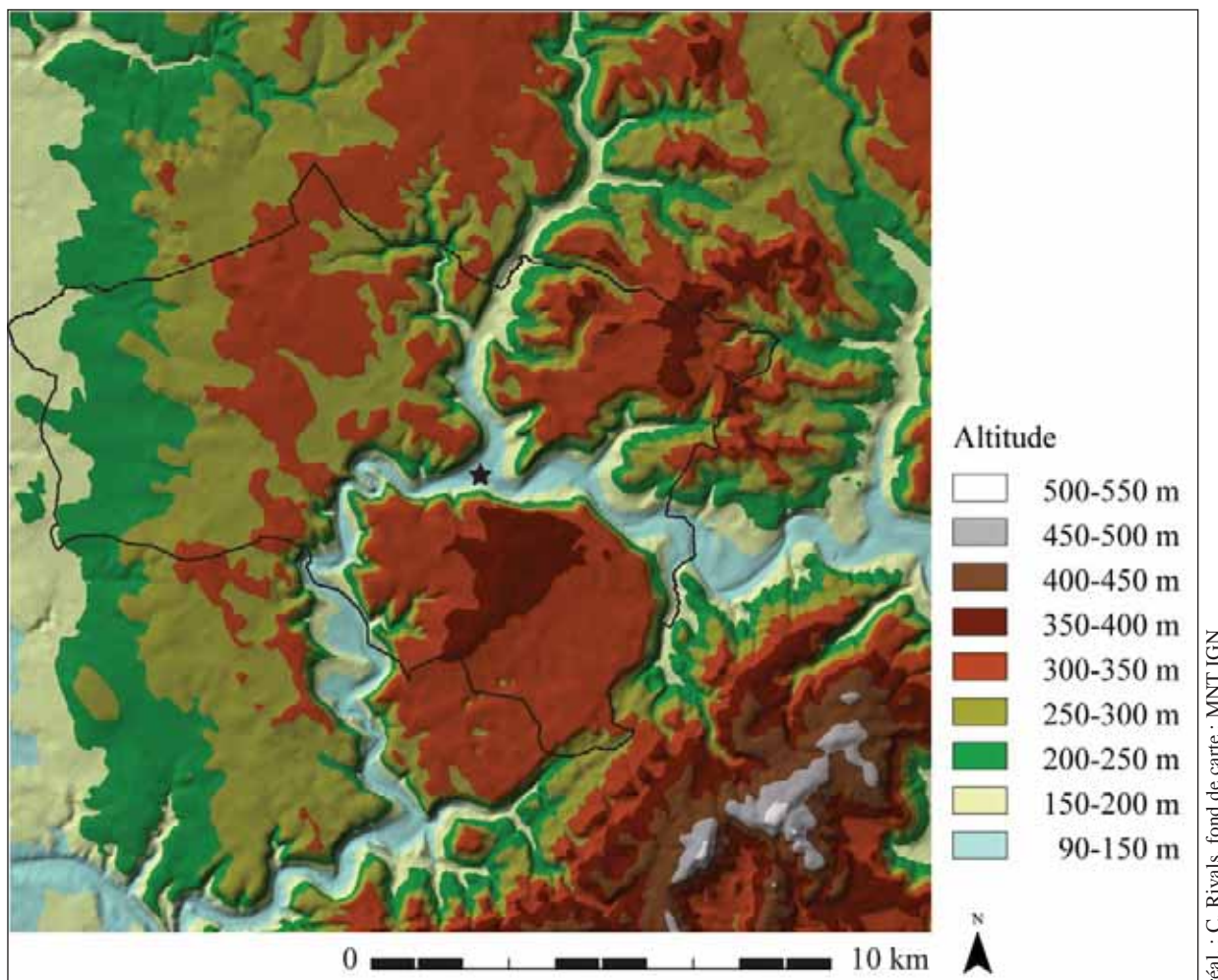


Fig. 8 : le relief autour de Saint-Antonin-Noble-Val

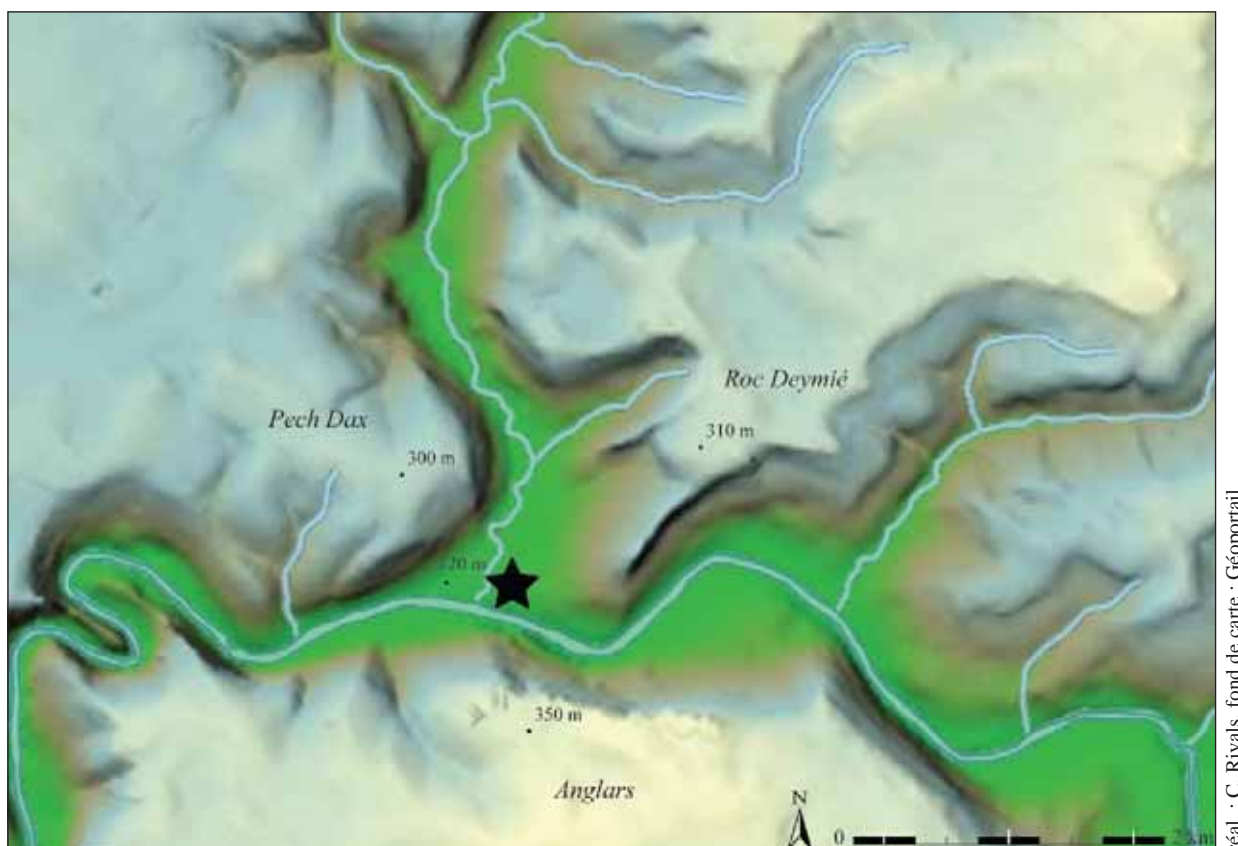


Fig. 9 : la confluence de la vallée de la Bonnette et des gorges de l'Aveyron

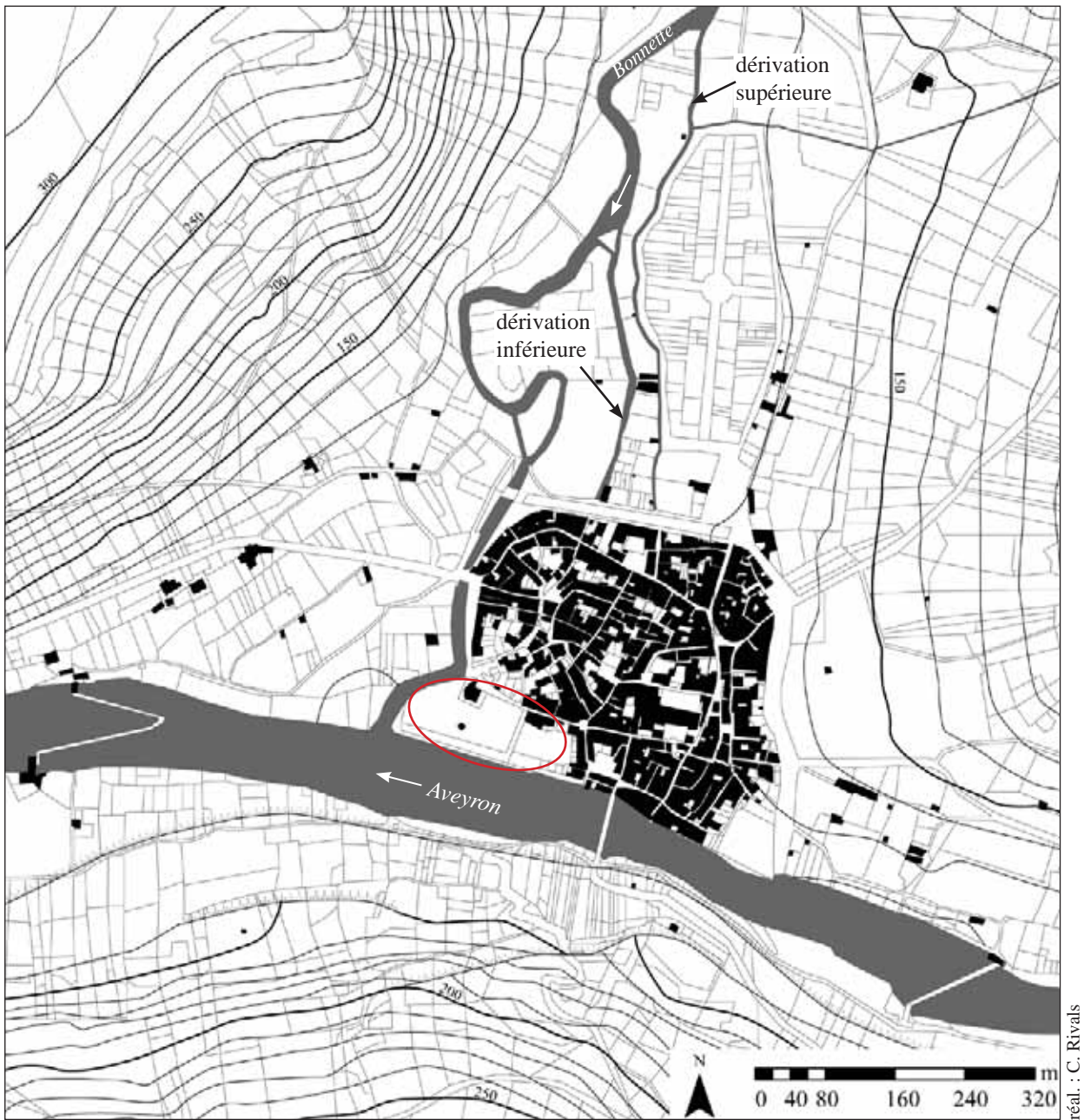
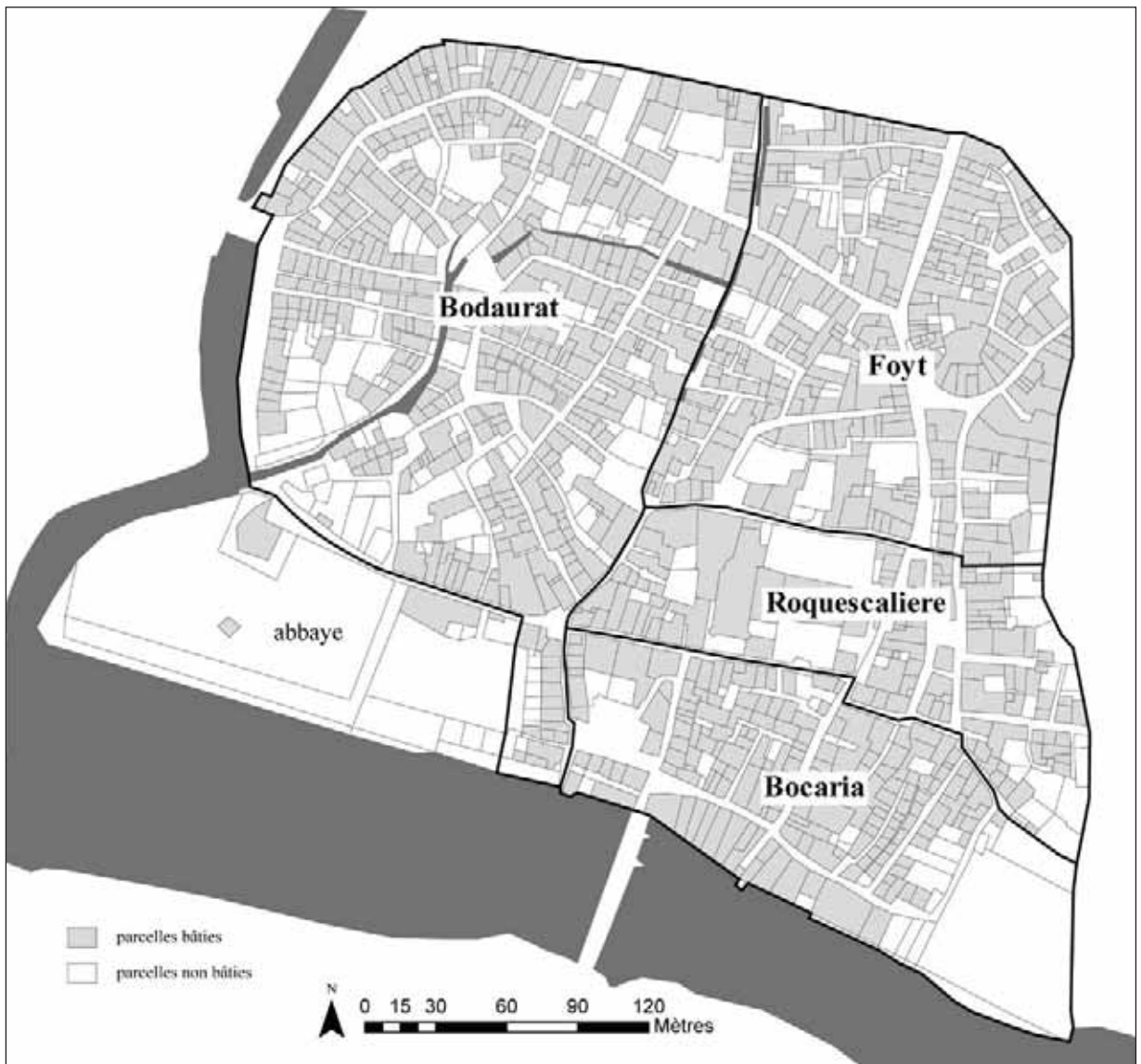


Fig. 10 : la position de la ville encaissée, sur fond de cadastre napoléonien





réal. : C. Rivals

Fig. 11 : les quatre gaches urbaines, sur fond de cadastre napoléonien



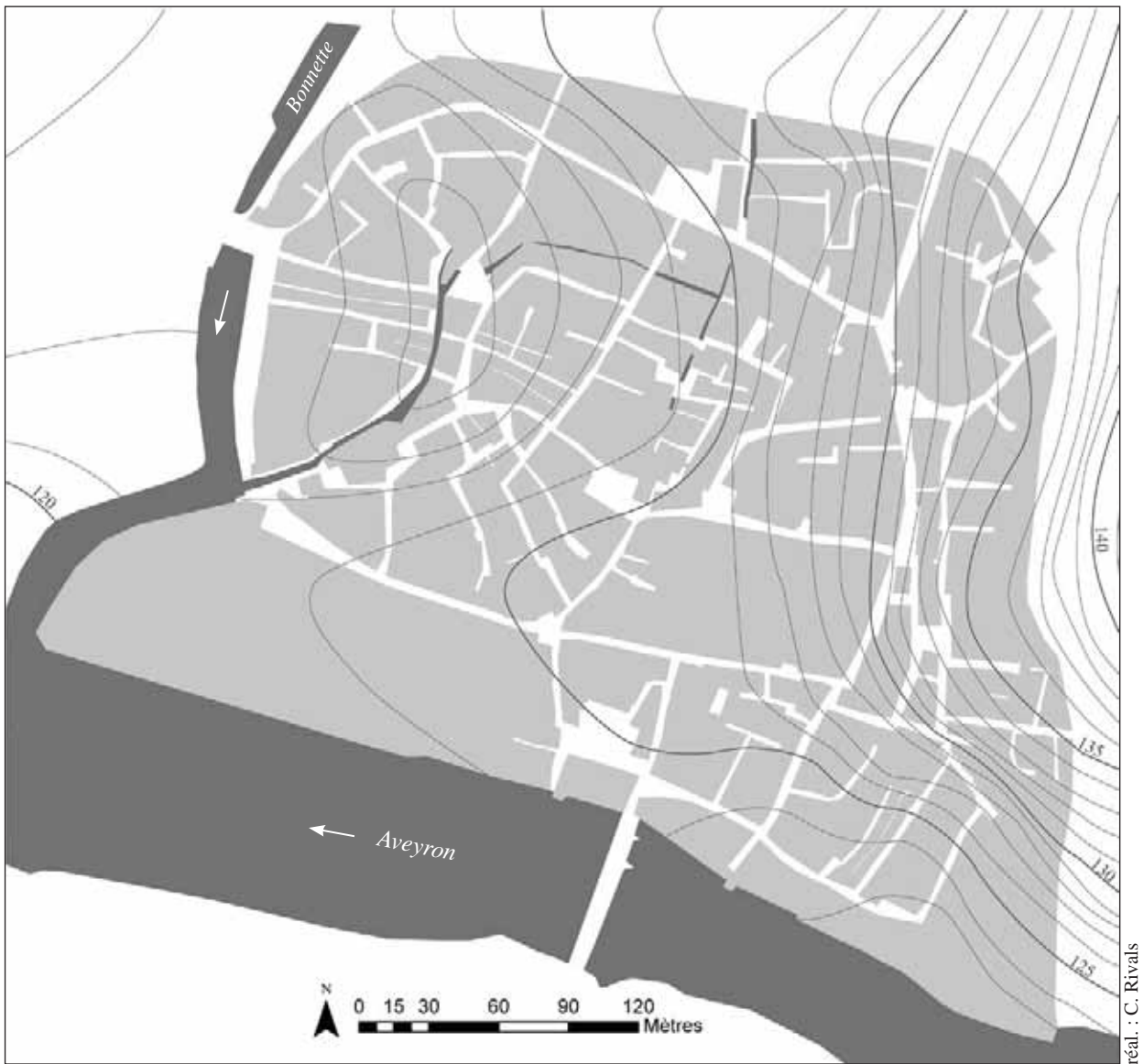


Fig. 12 : un relief marqué dans la ville

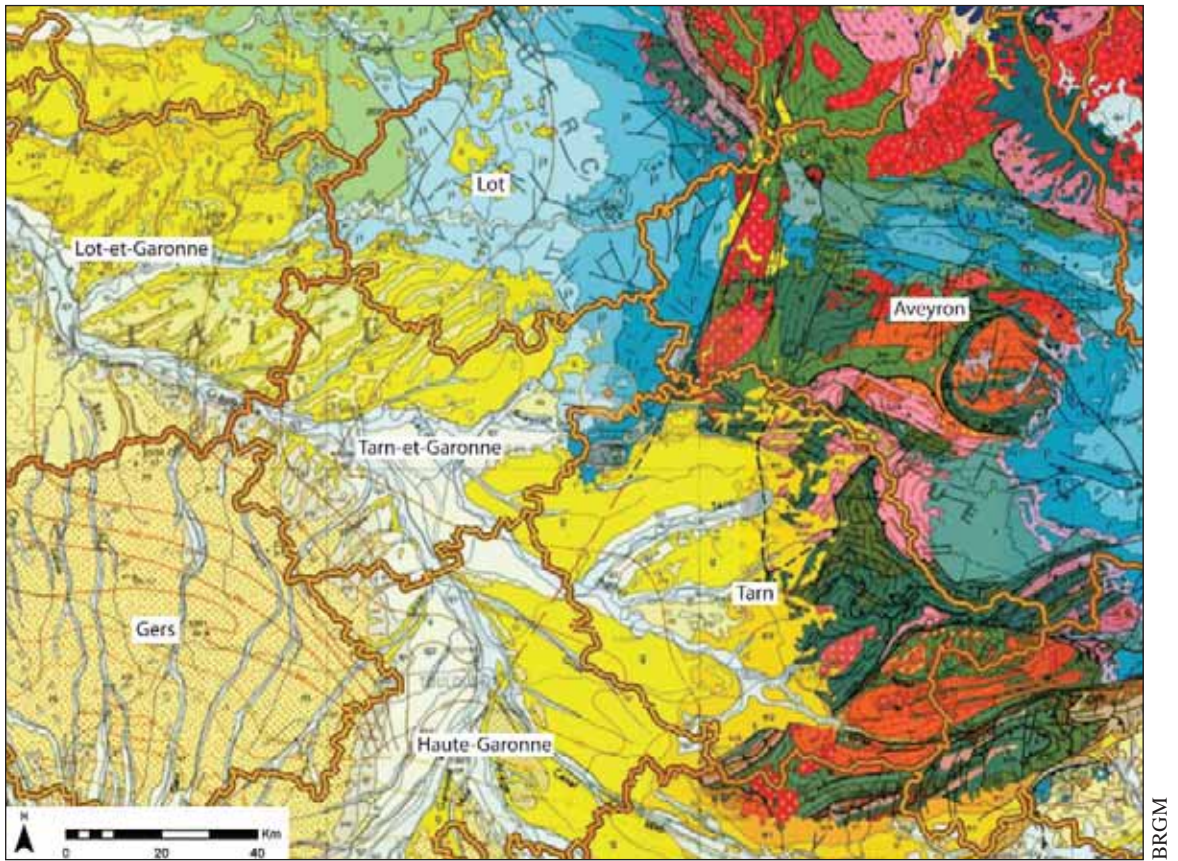


Fig. 13 : géologie du département de Tarn-et-Garonne

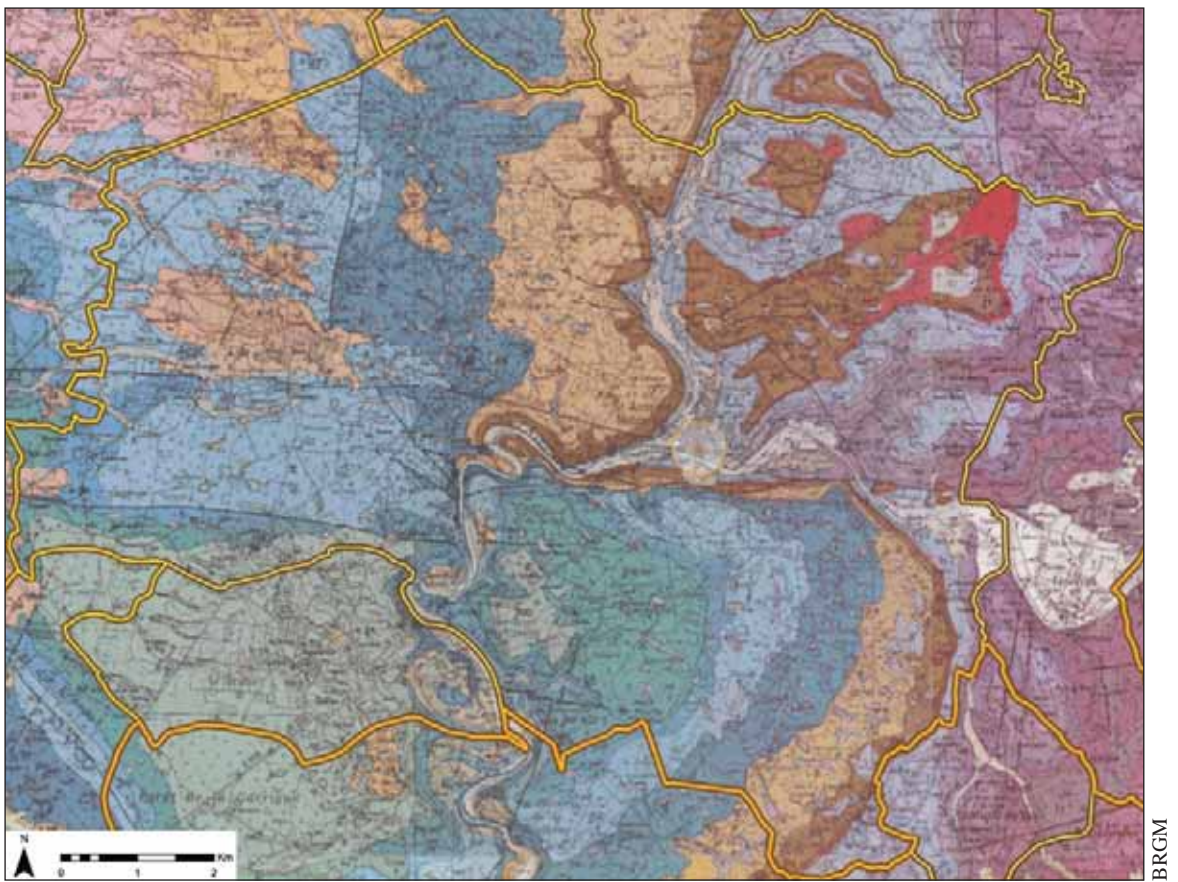
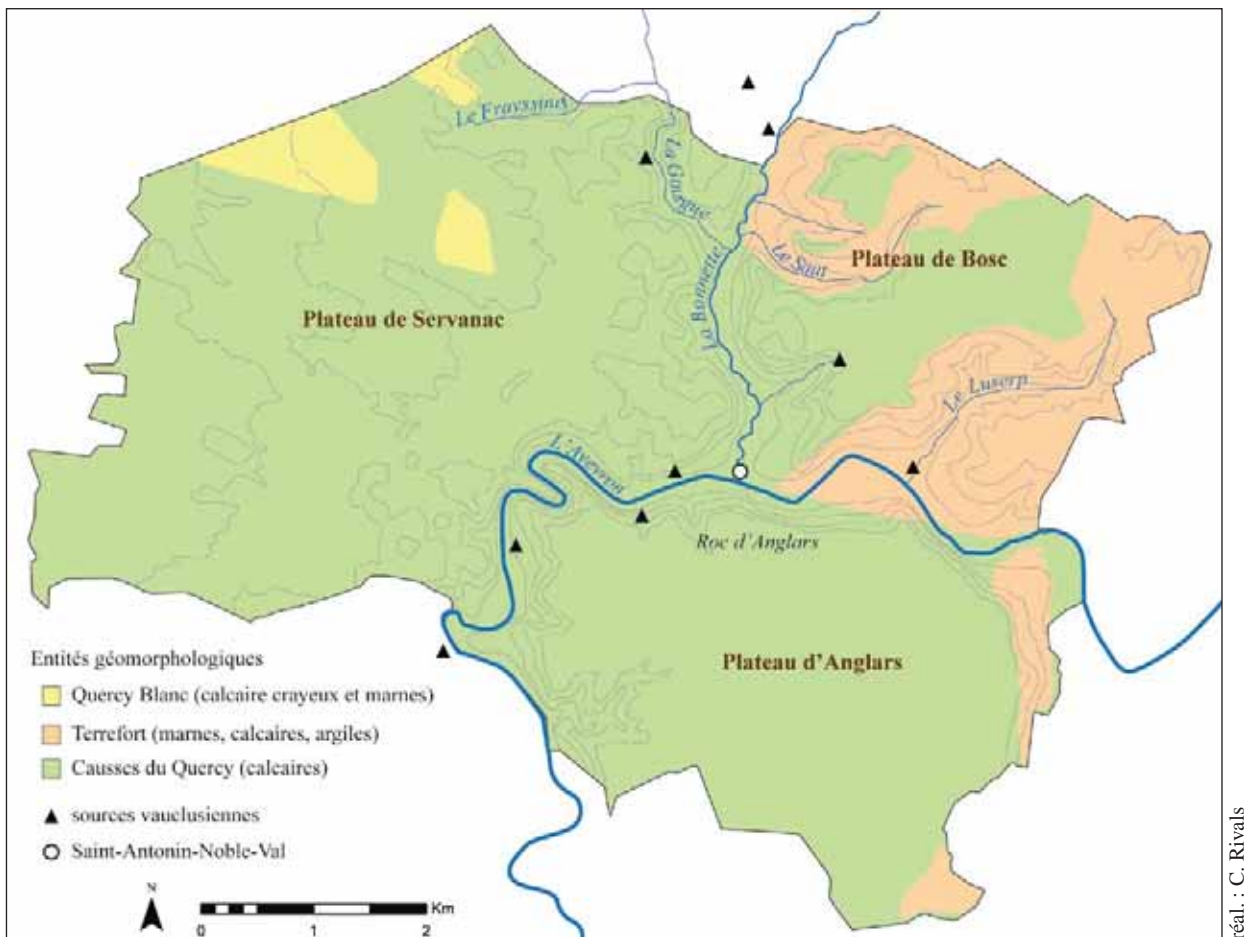


Fig. 14 : géologie de la commune de Saint-Antonin





réal. : C. Rivals

Fig. 15 : principales entités géographiques de la commune de Saint-Antonin (limites actuelles)  
 D'après Alexia Aleyrangues et Diane Joy, *Saint-Antonin-Noble-Val, Ville et hameaux... op. cit.*, planche hors texte (source : BRGM, cartes géologiques Caussade, Najac et carte IGN au 1:25000 n°2140E)

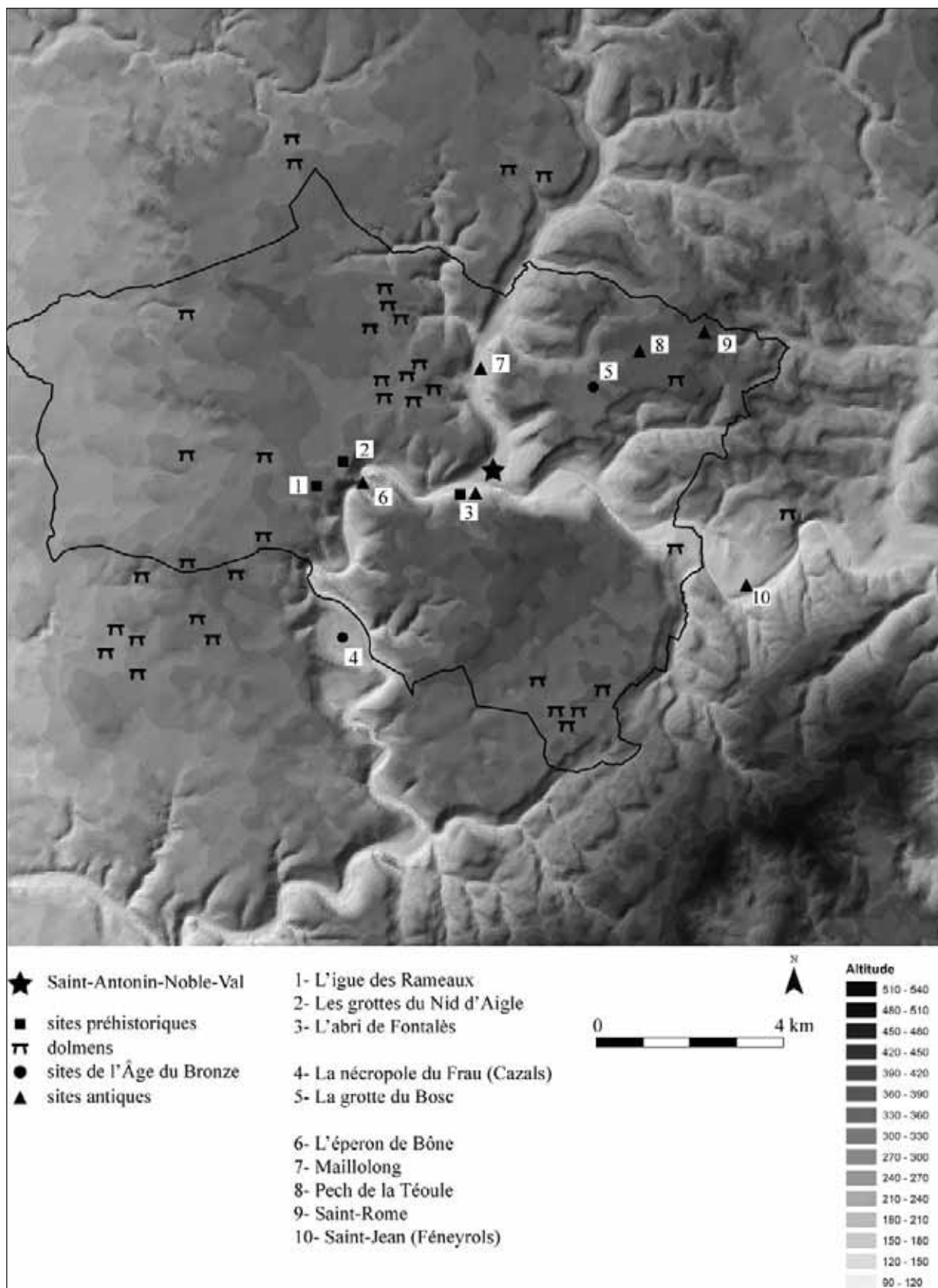


Fig. 16 : carte de localisation des sites préhistoriques, protohistoriques et antiques autour de Saint-Antonin

D'après Loncan B., *Caylus et Saint-Antonin-Noble-Val... op. cit.*, p. 23 (fond de carte : modèle numérique de travail IGN)



Fig. 17 : empreinte du sceau d'un prieur découvert par l'abbé Galabert à la fin du XIX<sup>e</sup> siècle  
Publié dans Camille Daux, « Les statuts du chapitre de Saint-Antonin en 1548 », *BSATG*, 1880, planche IV.



Fig. 18 : sceau de la communauté de Saint-Antonin-Noble-Val  
D'après Framond de M., *Sceaux rouergats du Moyen Âge étude et corpus*, Rodez, 1982, n°388, p. 303.





cliché : C. Rivals

Fig. 19 : fragment de peinture murale conservé dans la maison ID76 (1 rue du Vallon), représentant la légende de saint Antonin

Le saint est allongé dans une barque et lève son bras vers le ciel, un oiseau aux ailes déployées est placé sur la proue tandis que des poissons symbolisent le cours d'eau sous l'embarcation



Fig. 20 : vitrail provenant de l'ancienne église de Saint-Antonin (collection particulière)

D'après Mathieu Méras, *Saint-Antonin-Noble-Val*, Rodez, 1969, p. 3.

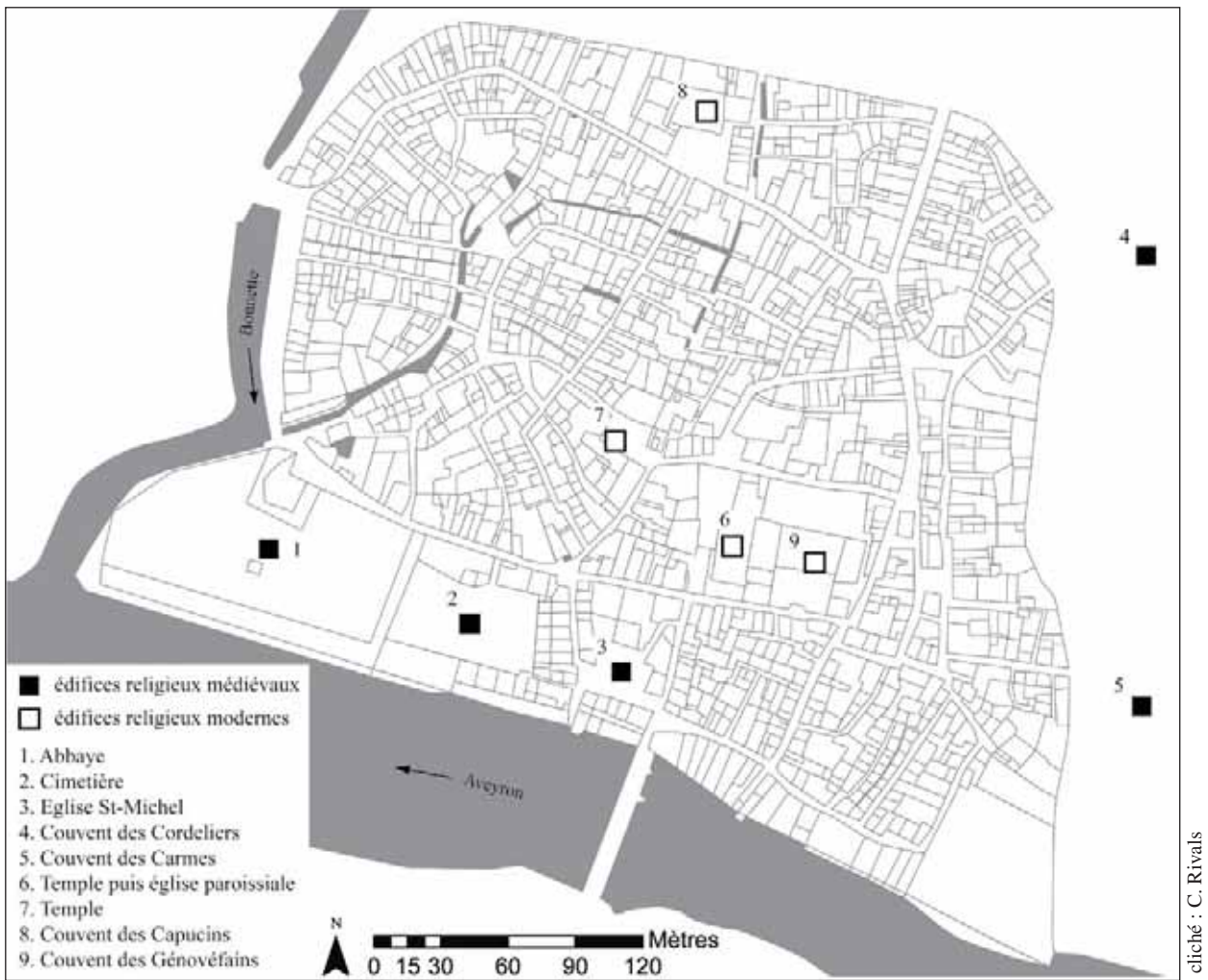


Fig. 21 : carte de localisation des édifices religieux médiévaux et modernes de Saint-Antonin-Noble-Val sur fond de cadastre napoléonien



1. Chapiteau et fragment de bas-relief.



2. Fragment de bas-relief roman



3. Fragment de bas-relief roman

clichés : C. Rivals

Fig. 22 : éléments de lapidaire provenant de l'abbaye de Saint-Antonin, découverts de manière fortuite et conservés au musée municipal de Saint-Antonin



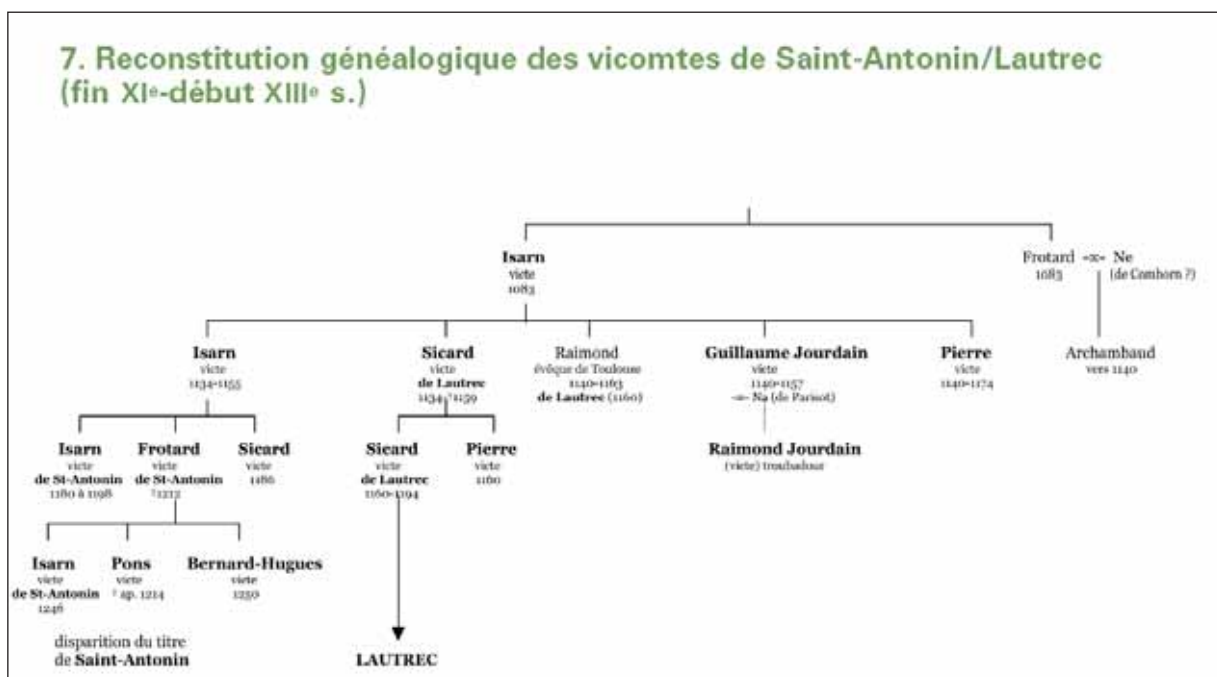
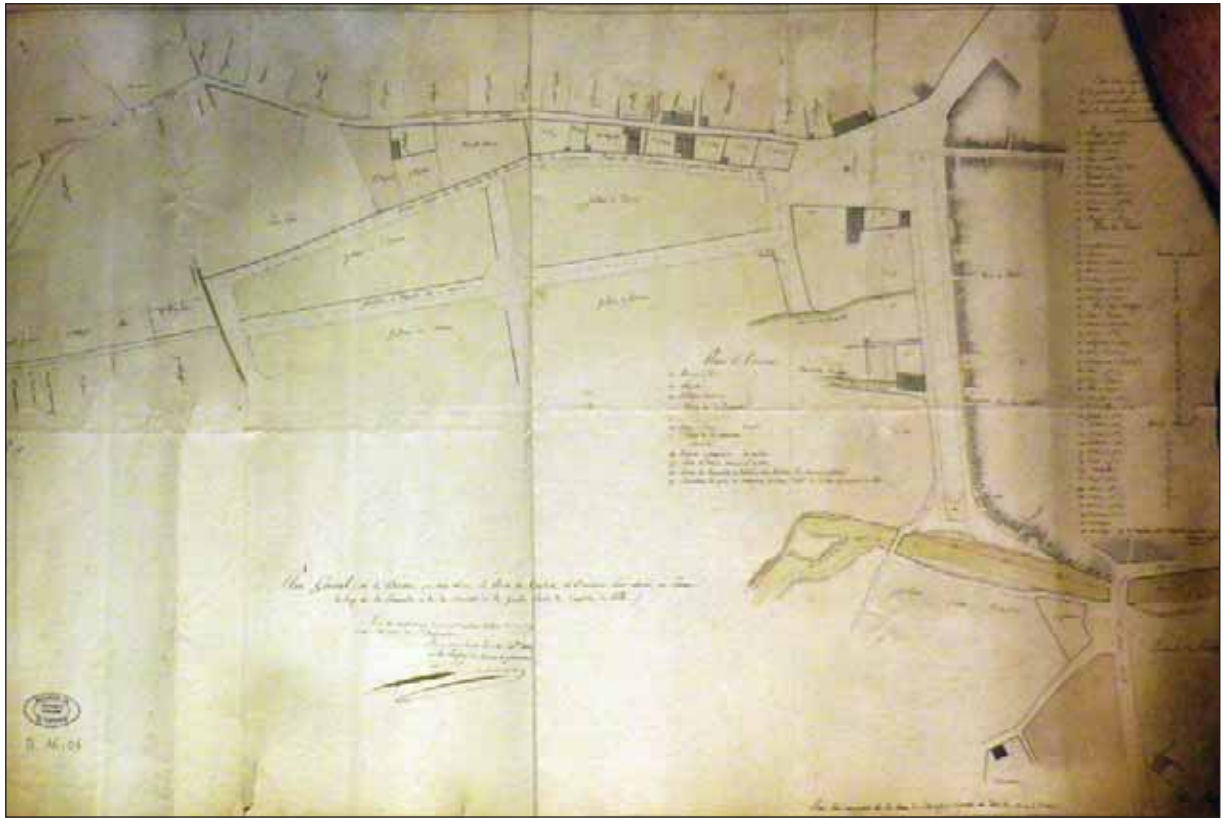


Fig. 23 : reconstitution généalogique de la lignée des vicomtes de Saint-Antonin et Lautrec  
 Tiré de Didier Panfili, « Bas-Quercy et Haut-Toulousain, un kaléidoscope à vicomtes - IX<sup>e</sup>-XII<sup>e</sup> siècles », in *Vicomtes et vicomtés dans l'Occident médiéval*, Toulouse, 2008, Annexe 7.

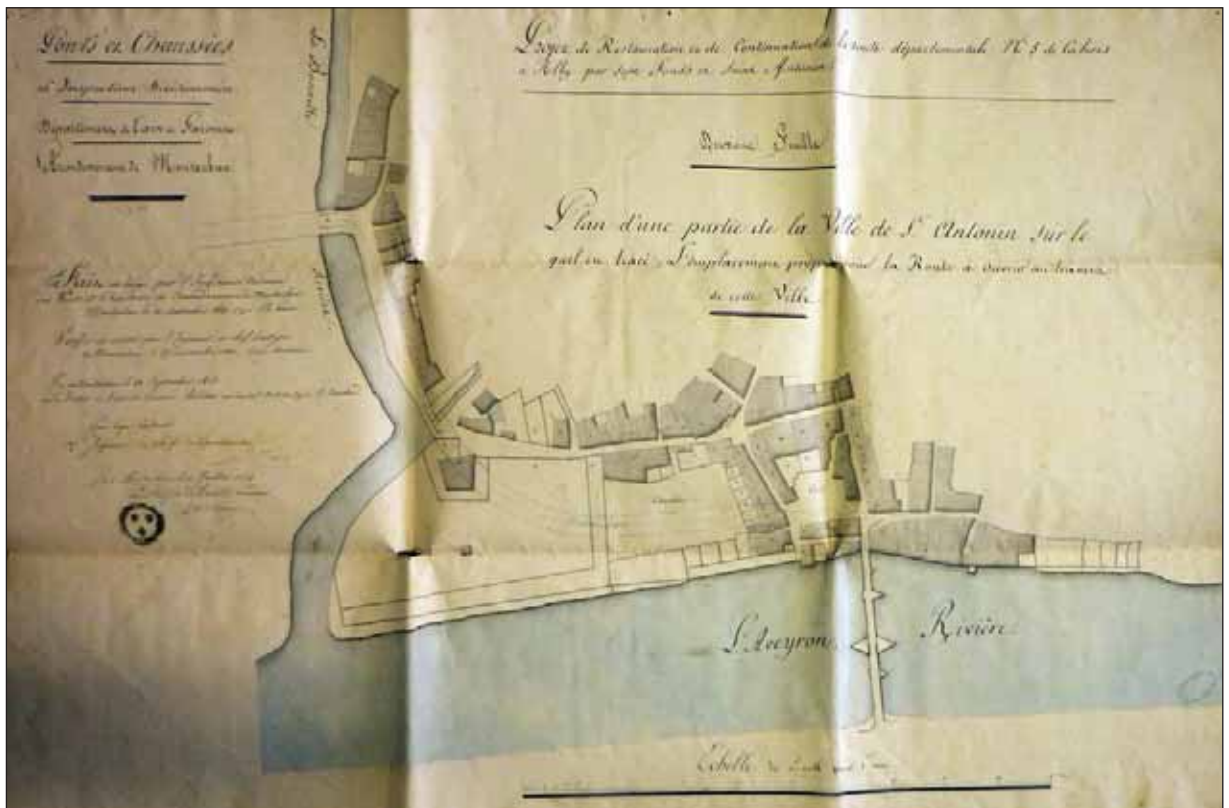


Fig. 24 : l'église et le couvent des Génovéfains, vus depuis le roc d'Anglars au sud



cliché : C. Rivals

Fig. 25 : plan d'alignement en vue de la construction de la route de Caylus à Saint-Antonin, 1824 (AC Saint-Antonin, B16)



cliché : C. Rivals

Fig. 26 : plan du projet de percement du boulevard des Thermes, 1813 (AC Saint-Antonin, O216)







Fig. 28 : feuilles AB et AC du cadastre actuel de Saint-Antonin-Noble-Val







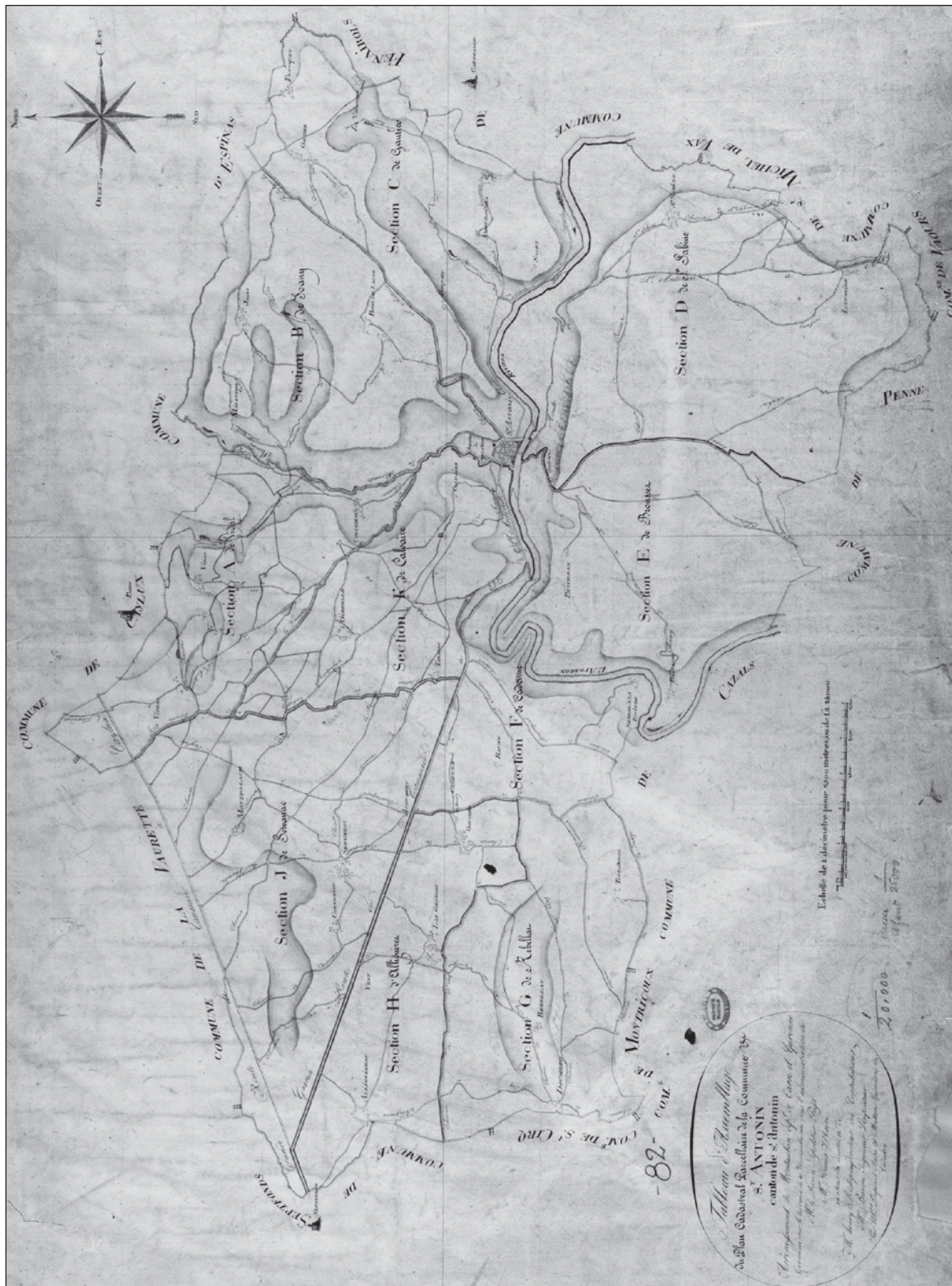


Fig. 30 : tableau d'assemblage du plan cadastral napoléonien de la commune de Saint-Antonin (ADTG, 3P2457-1).





Fig. 31 : feuille de la section L2 "dite de la ville", du cadastre napoléonien (ADTG, 3P2457-80).



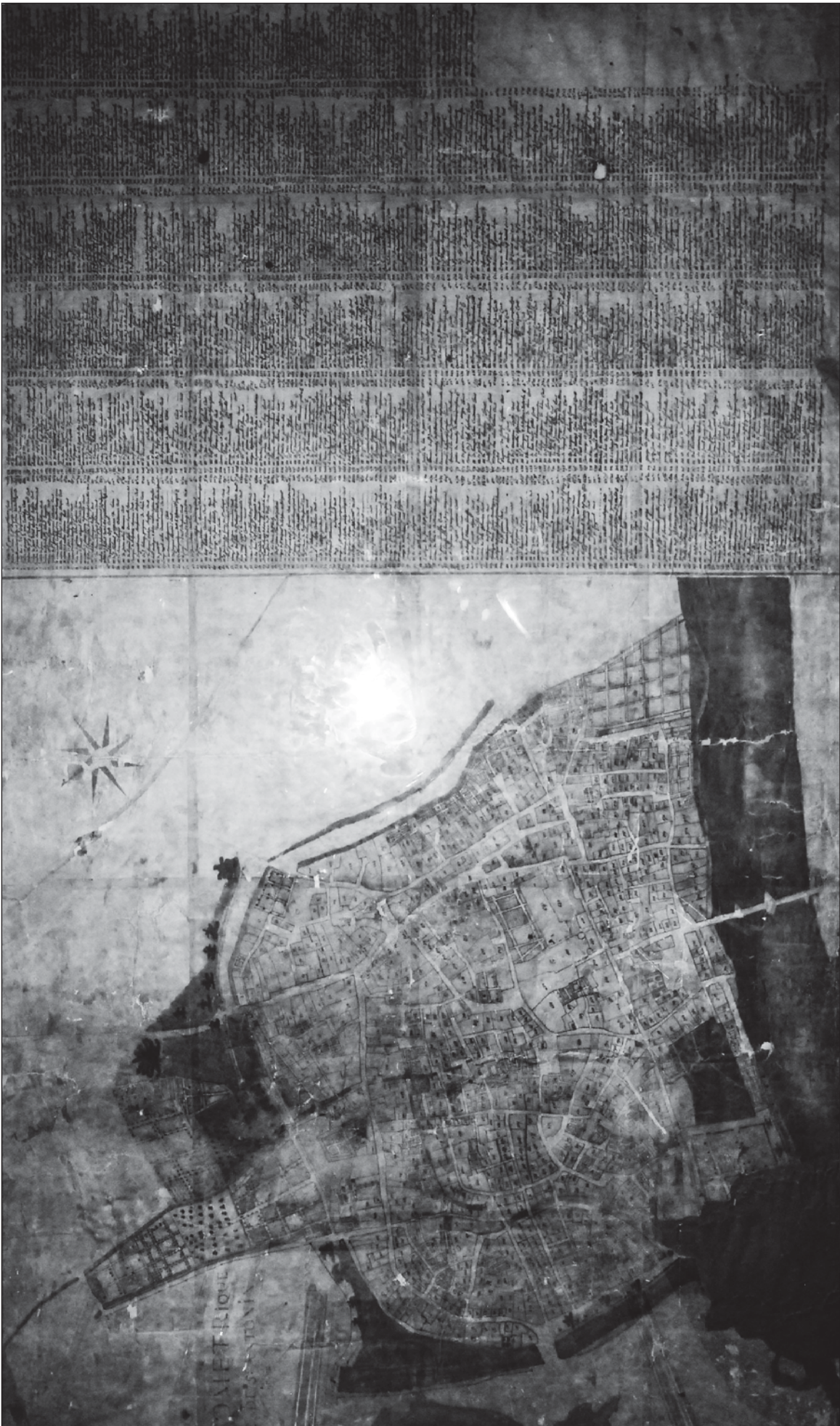
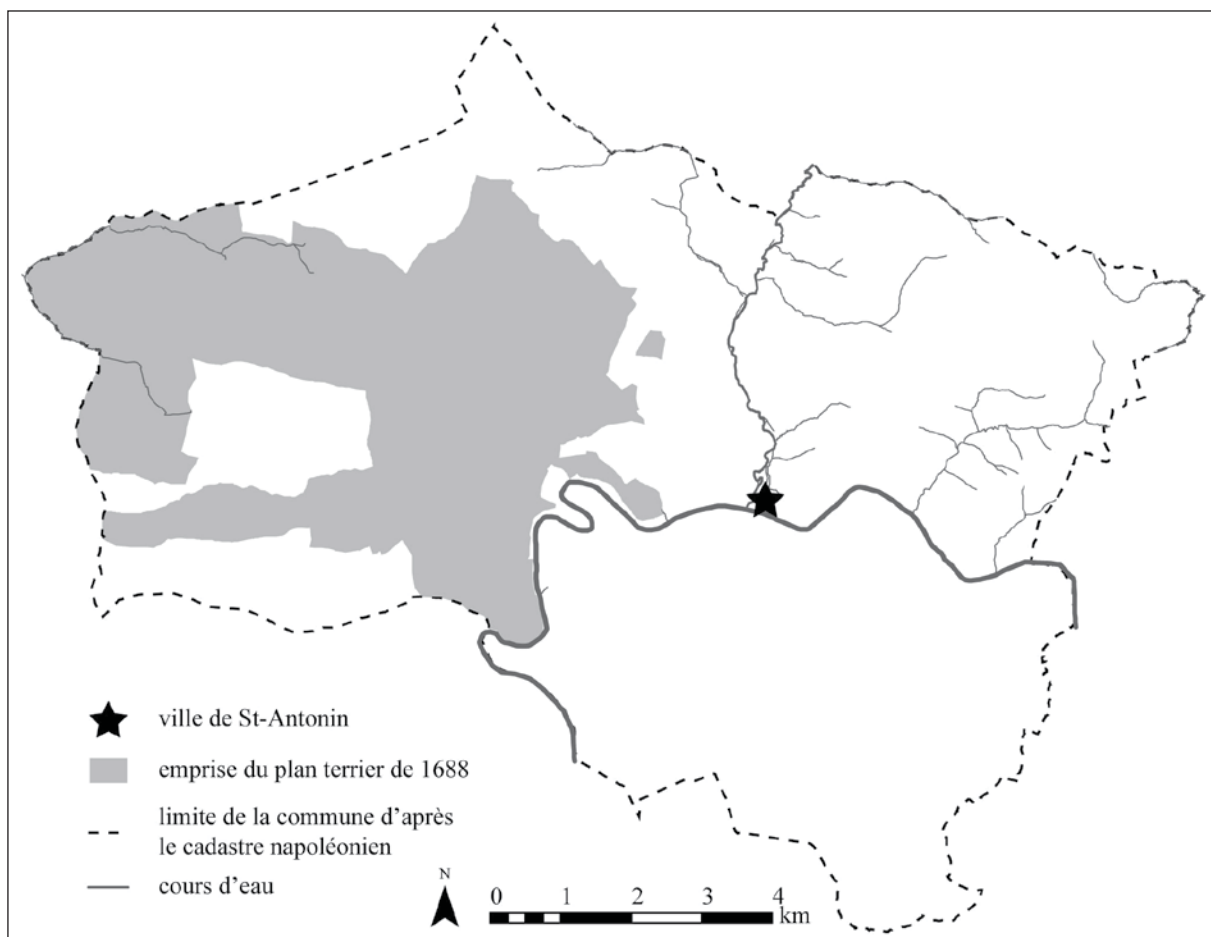


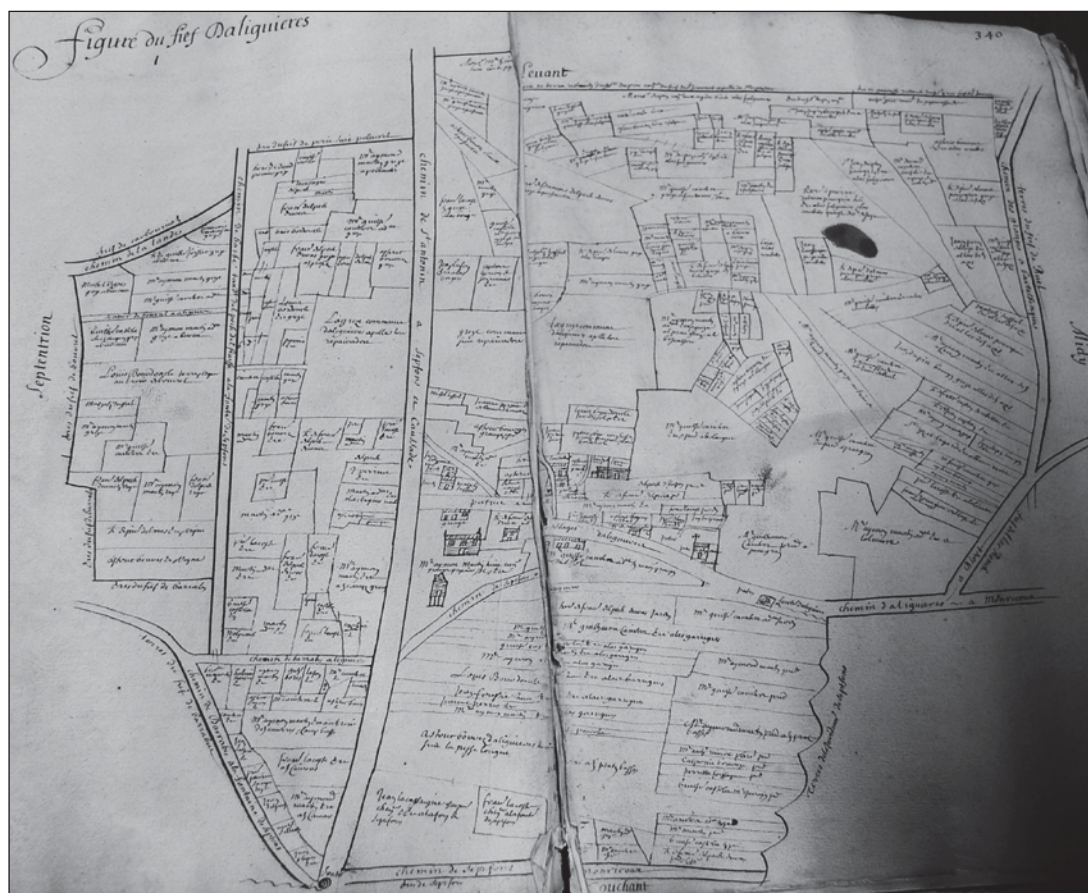
Fig. 32 : plan géométrique de la ville réalisé en 1782. AC Saint-Antonin, JJ13





réal. : C. Rivals

Fig. 33 : emprise du plan terrier de 1688



cliché : C. Rivals

Fig. 34 : plan du fief d'Aliquières tiré du terrier de 1688 (AC Saint-Antonin, DD2-bis, fol. 339v-340)



cliché : C. Rivals

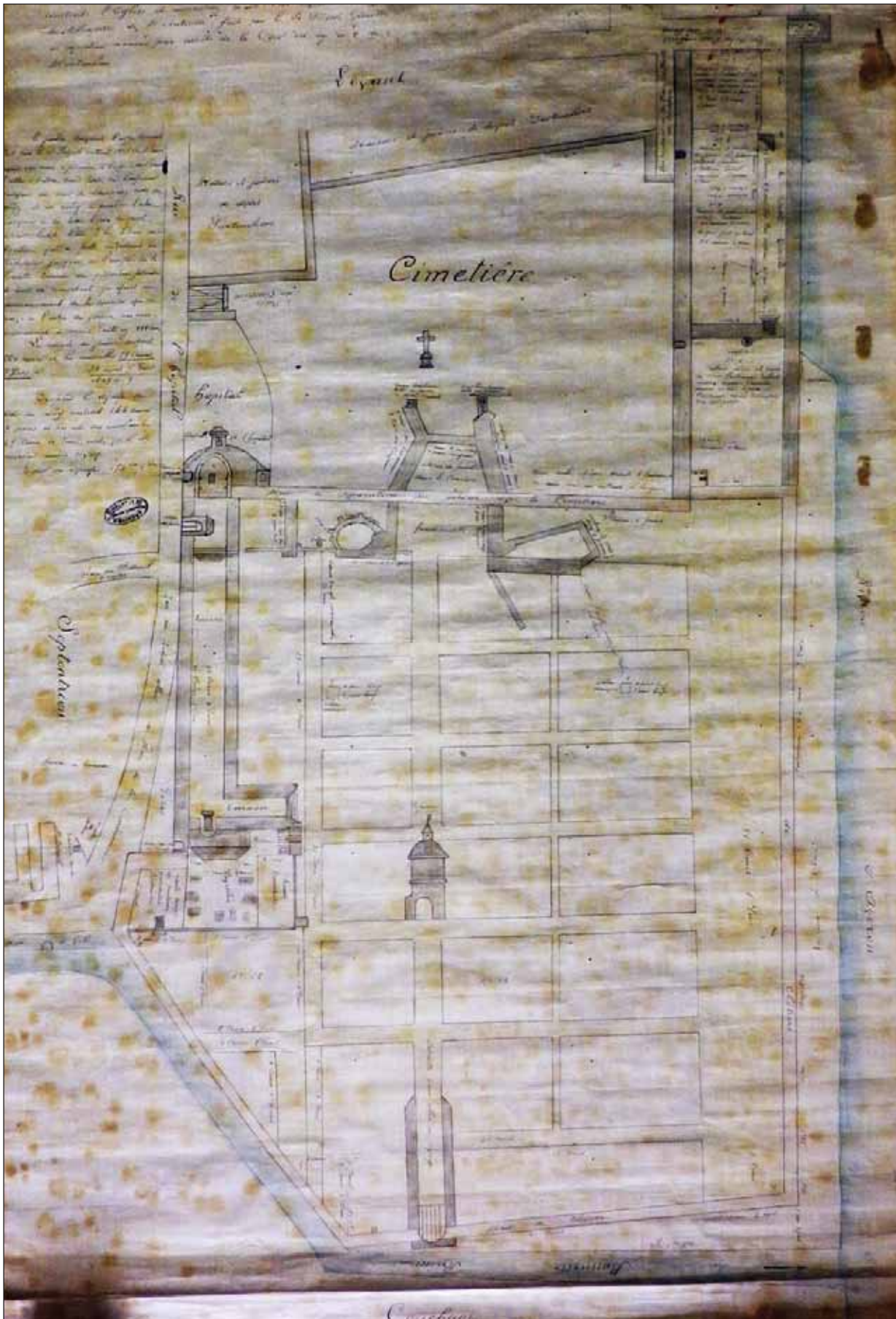
Fig. 35 : plan du territoire de l'Olmet, 1601, contenant des vues figurées de Saint-Antonin, Caylus et La Vaurette (AC Saint-Antonin, FF15).  
Le nord se trouve vers le bas



cliché : C. Rivals

Fig. 36 : détail du plan du territoire de l'Olmet, 1601, représentant la vue cavalière de Saint-Antonin située dans l'angle supérieur gauche (AC Saint-Antonin, FF15)

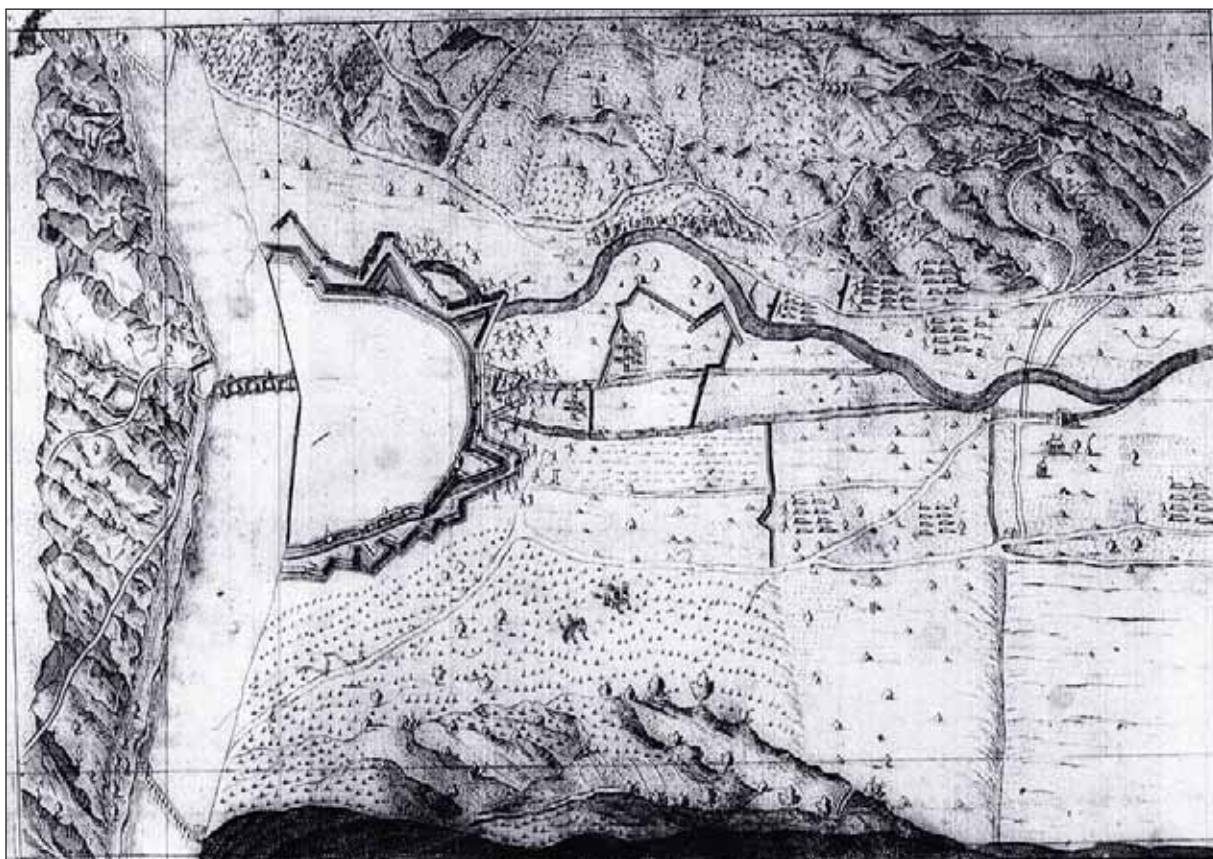




cliché : C. Rivals

Fig. 37 : copie réalisée au XIX<sup>e</sup> siècle du plan représentant l'emplacement des ruines du monastère, dressé en 1760 (AC Saint-Antonin, non côté)

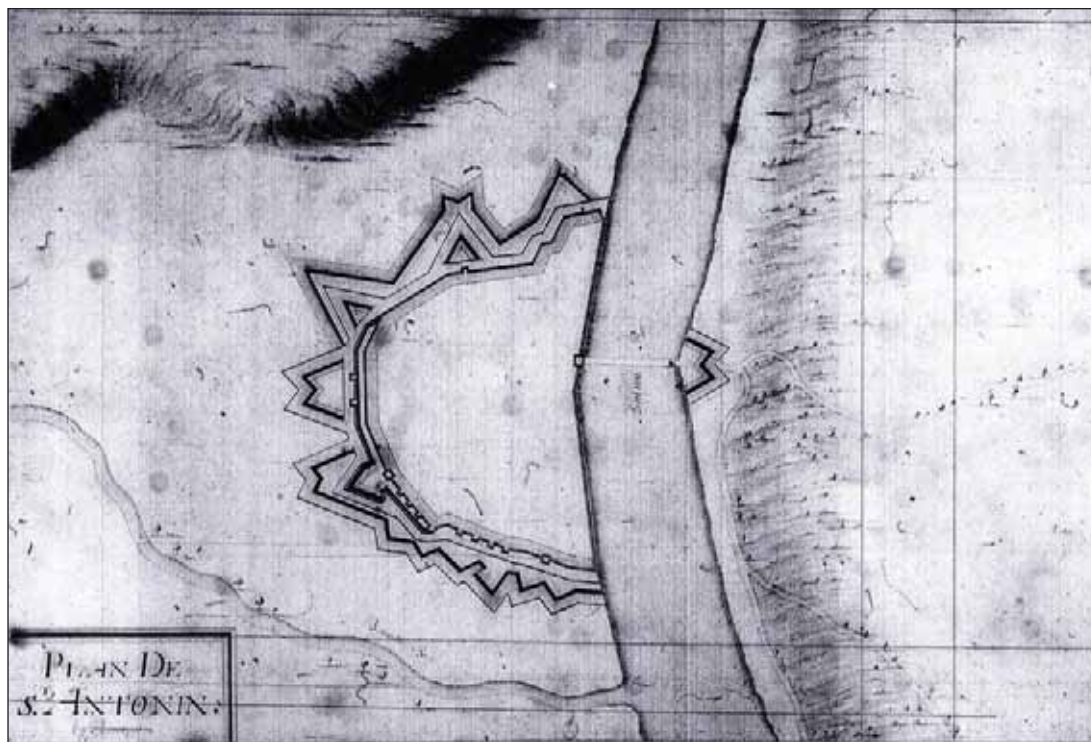




cliché : BnF, Topographie française, Va 82, H158435, microforme

Fig. 38 : Plan des fortifications de la ville de Saint-Antonin-Noble-Val lors du siège de 1622  
Gravure éditée dans Jean Valdor *et al.*, *Les triomphes de Louis le Juste XIII. du nom, roy de France et de Navarre...*, Paris, 1649.

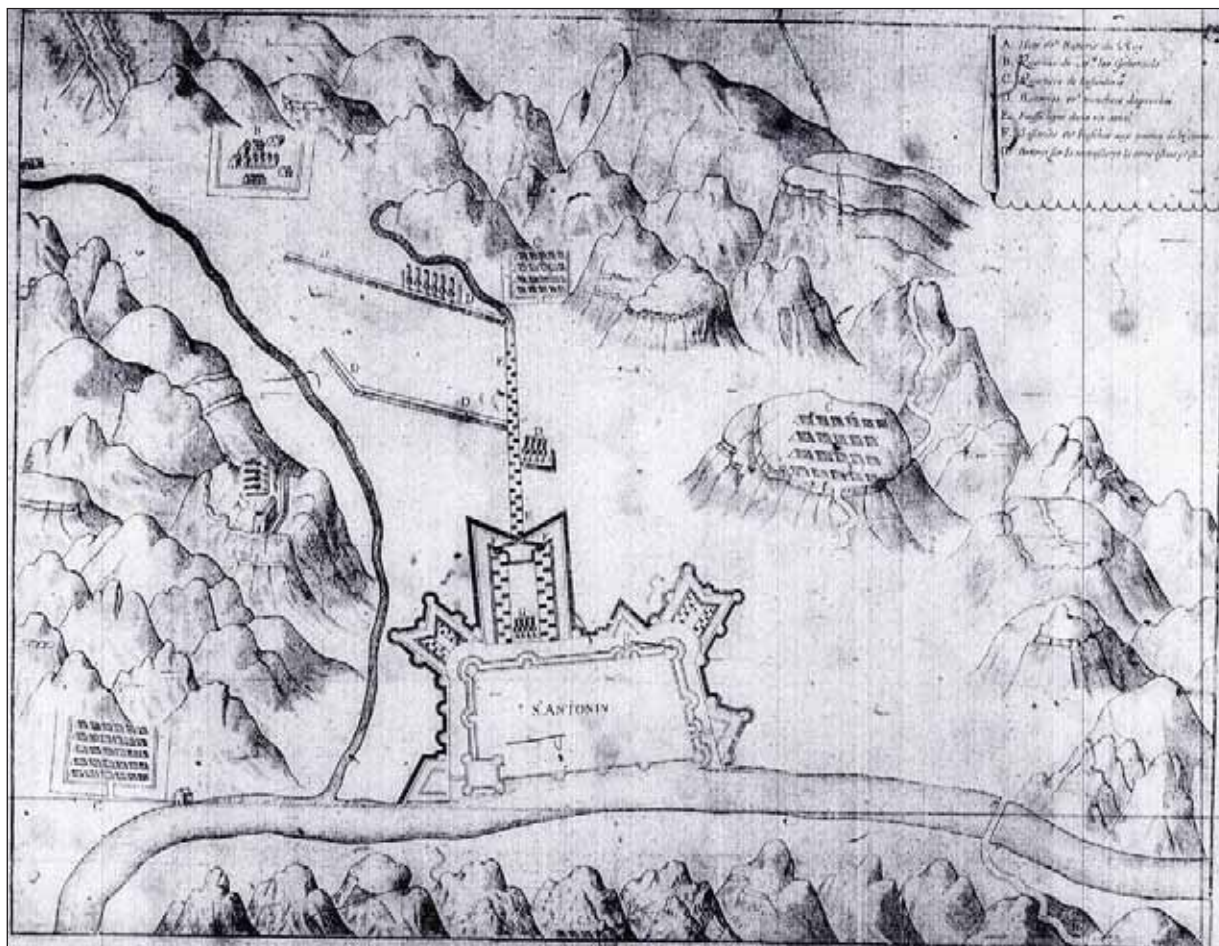
L'image a été retournée pour rendre compte de son orientation originelle, la gravure l'ayant inversé. Le nord se trouve donc vers la droite.



cliché : BnF, Topographie française, Va 82, H158436, microforme

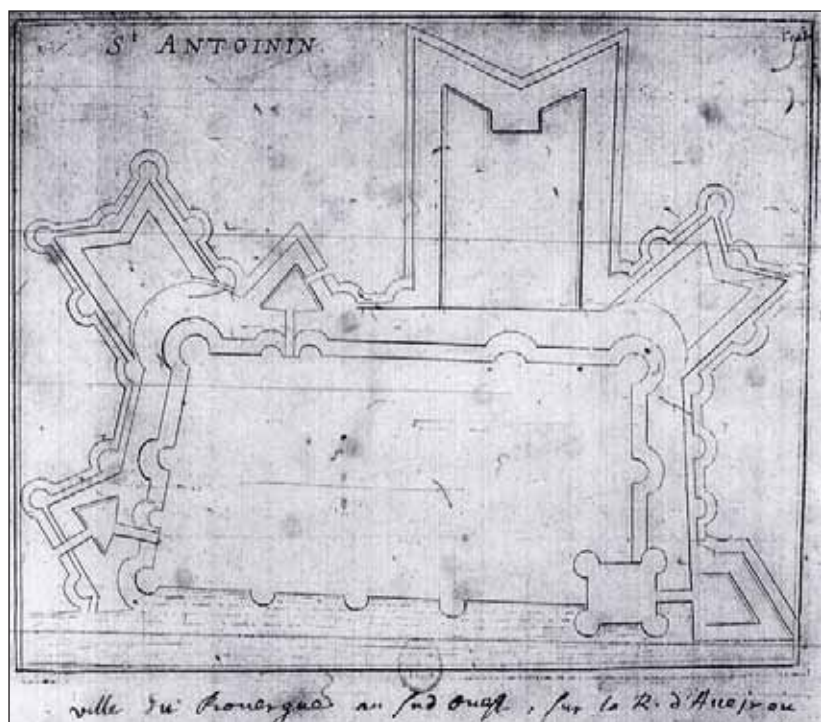
Fig. 39 : copie de la gravure précédente diffusée par l'édition, après rectification du cours de la Bonnette à l'ouest de la ville





cliché : BnF, Topographie française, Va 82, H158437, microforme

Fig. 40 : plan des fortifications de la ville de Saint-Antonin-Noble-Val lors du siège de 1622  
Publié dans Louys de Chabans, *Histoire de la guerre des Huguenots faite en France, sous le règne du roy Louis XIII., avec les plans des Sièges de ville*, Paris, 1634

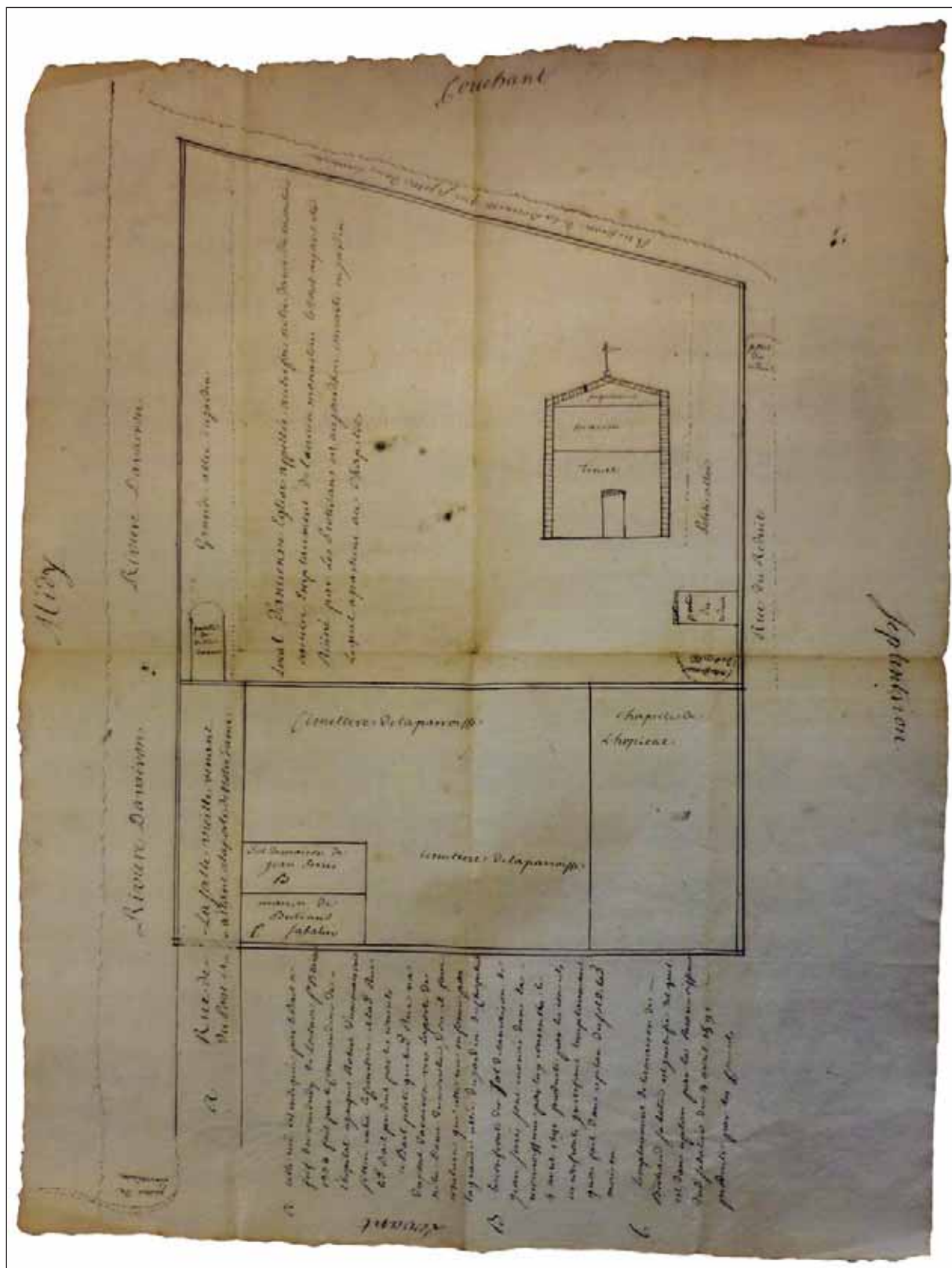


cliché : BnF, Topographie française, Va 82, H158438, microforme

Fig. 41 : copie à l'envers du plan précédent  
Publié dans Louys de Chabans, *Histoire de la guerre des Huguenots...*







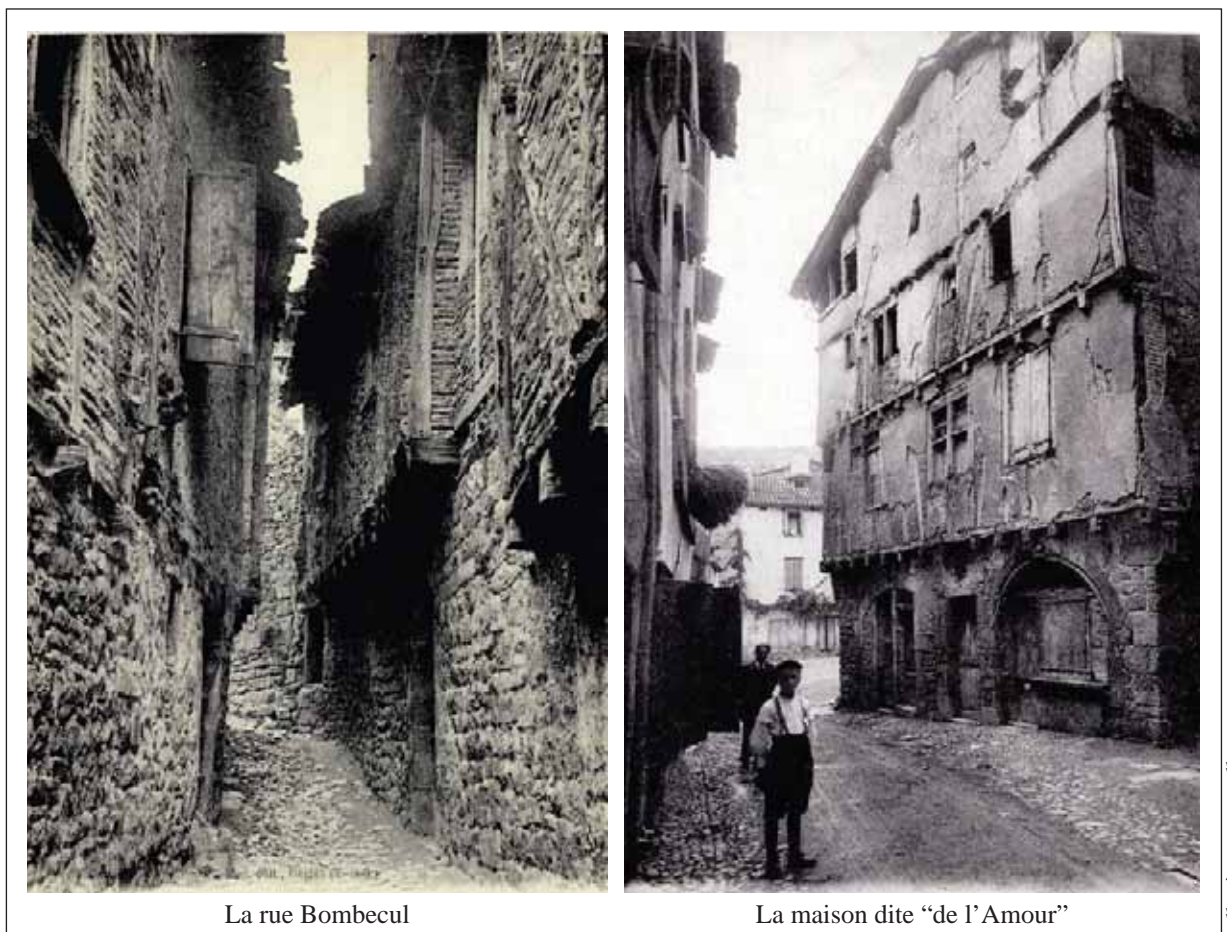
cliché : C. Rivals

Fig. 43 : plan du jardin du chapitre dans l'enclos de l'ancien monastère (ADTG, G897)



collection personnelle

Fig. 44 : carte postale du début du XX<sup>e</sup> siècle, représentant une vue de la ville depuis l'avenue de la gare au sud



collection personnelle

Fig. 45 : rues de Saint-Antonin-Noble-Val sur des cartes postales du début du XX<sup>e</sup> siècle





cliché : A. Galup

Fig. 46 : pontet sur la rue de Somart, ancienne rue de la Juiverie en 1895  
(MAP, GLP00012)



cliché : A. Galup

Fig. 47 : passage Thouron en 1896  
(MAP, GLP00726).



cliché : A. Galup

Fig. 48 : passage Lacassagne en 1897  
(MAP, GLP00876).





cliché : A. Galup

Fig. 49 : moulin du Bessarel en 1897  
(MAP, GLP00149).



cliché : A. Galup

Fig. 50 : canal de la dérivation inférieure  
dans le quartier du Bessarel  
(MAP, GLP00148).



cliché : A. Galup

Fig. 51 : rue Rive Valat,  
Légende : « rue Fouillon »  
(MAP, GLP00901).





1889 (BM Toulouse, TRU B 754).



1895 (BM Toulouse, TRU C 1107).

clichés : E. Trutat

Fig. 52 : canaux du quartier du Bessarel à la fin du XIX<sup>e</sup> siècle



cliché : E. Trutat

Fig. 53 : canal de la dérivation inférieure, quartier du Bessarel en 1904 (BM Toulouse, TRU C 1112).





Fig. 54 : berge de l'Aveyron en 1895  
(BM Toulouse, TRU C 1104).

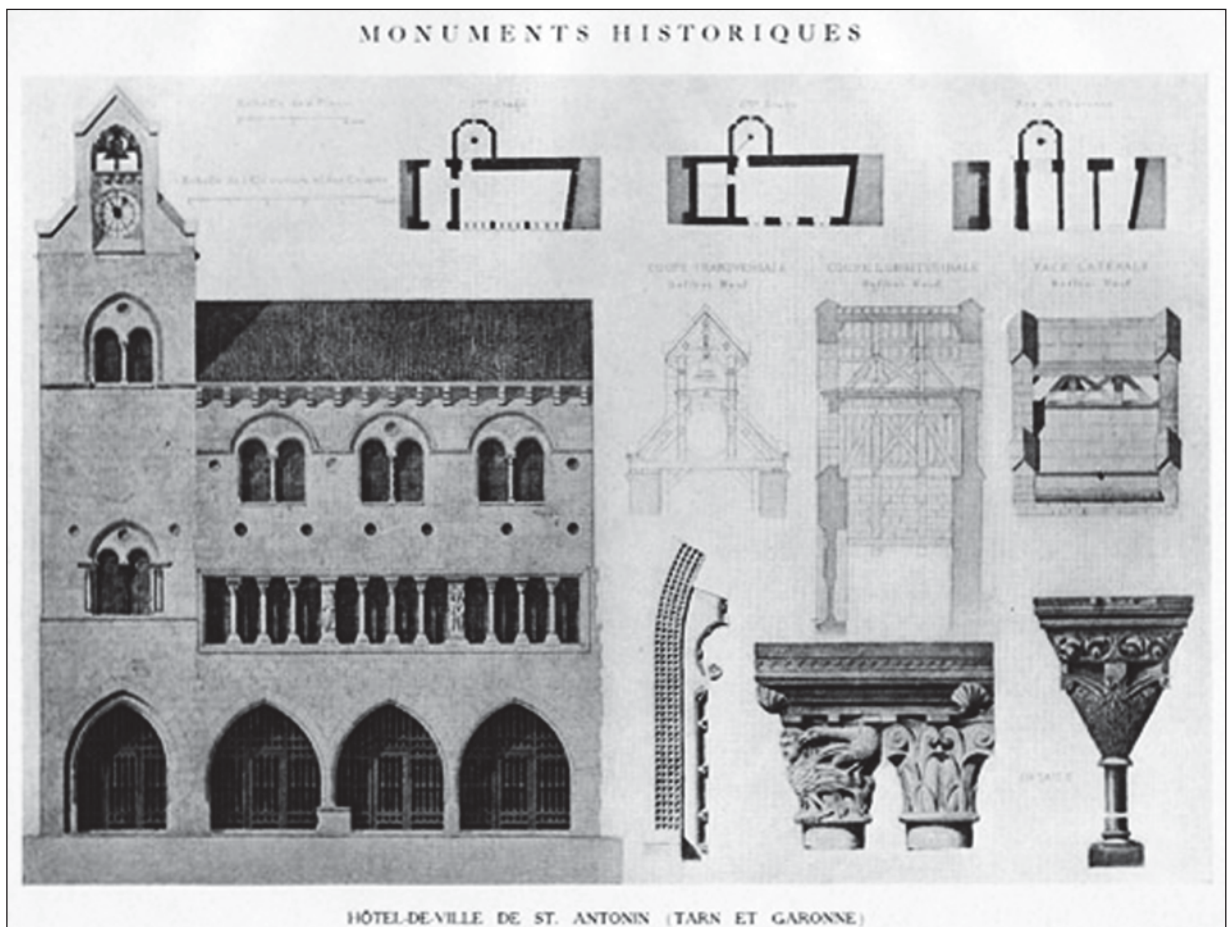


Fig. 55 : planche du premier projet de restauration de l'ancien hôtel de ville proposé par Eugène Viollet-le-Duc en 1843  
(A. de Baudot, A. Perrault-Dabot, *Archives de la commission des Monuments Historiques*, Paris, tome V, planche 77).

Fig. 56 : la silhouette du beffroi de l'hôtel de ville de la restauration de E. Viollet-le-Duc comme emblème de la ville, ici sur une publicité pour l'eau minérale de Salet.

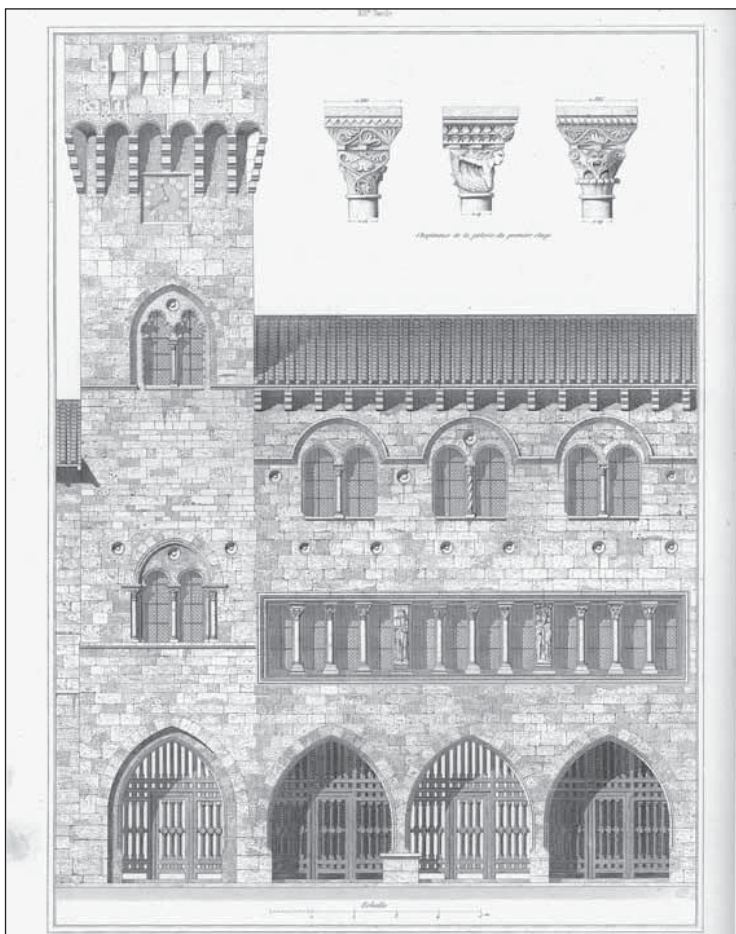


Fig. 57 : façade principale de l'hôtel de ville, après la restauration de E. Viollet-le-Duc  
Planche tirée de Aymar Verdier et François Cattois, *Architecture civile et domestique au Moyen Âge et à la Renaissance dessinée et décrite*, tome 2, Paris, 1855, planche hors texte.



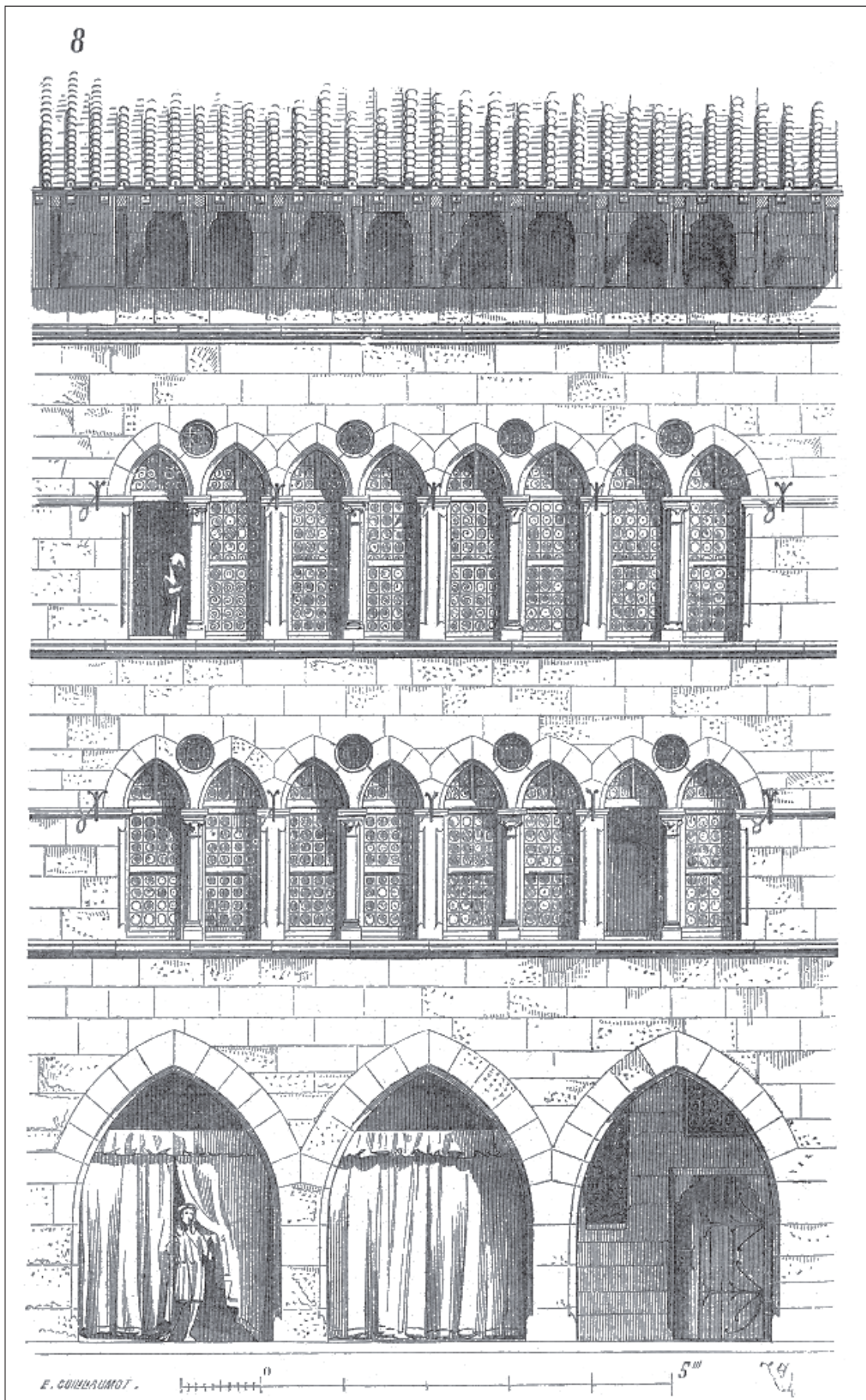


Fig. 58 : façade de la maison n° 12 et 14 rue de la Pelisserie (ID110), dessinée par E. Viollet-le-Duc

Dessin tiré de Eugène Emmanuel Viollet-le-Duc, *Dictionnaire raisonné de l'architecture française du XI<sup>e</sup> au XVI<sup>e</sup> siècle*, Paris, 1867, article « maison », p. 554-555, ill. 8-9.



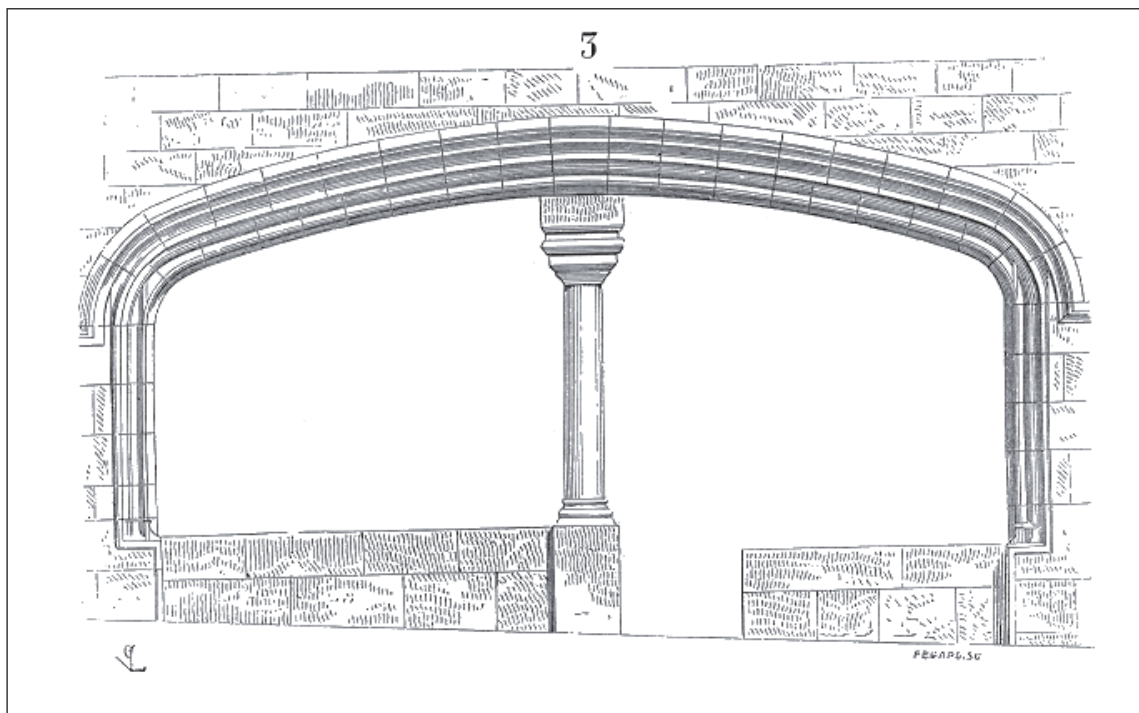


Fig. 59 : arcade de boutique dessinée par Eugène Emmanuel Viollet-le-Duc  
Tiré de Eugène Emmanuel Viollet-le-Duc, *Dictionnaire raisonné de l'architecture française du XI<sup>e</sup> au XVI<sup>e</sup> siècle*, Paris, 1867, article « boutique », p. 174.

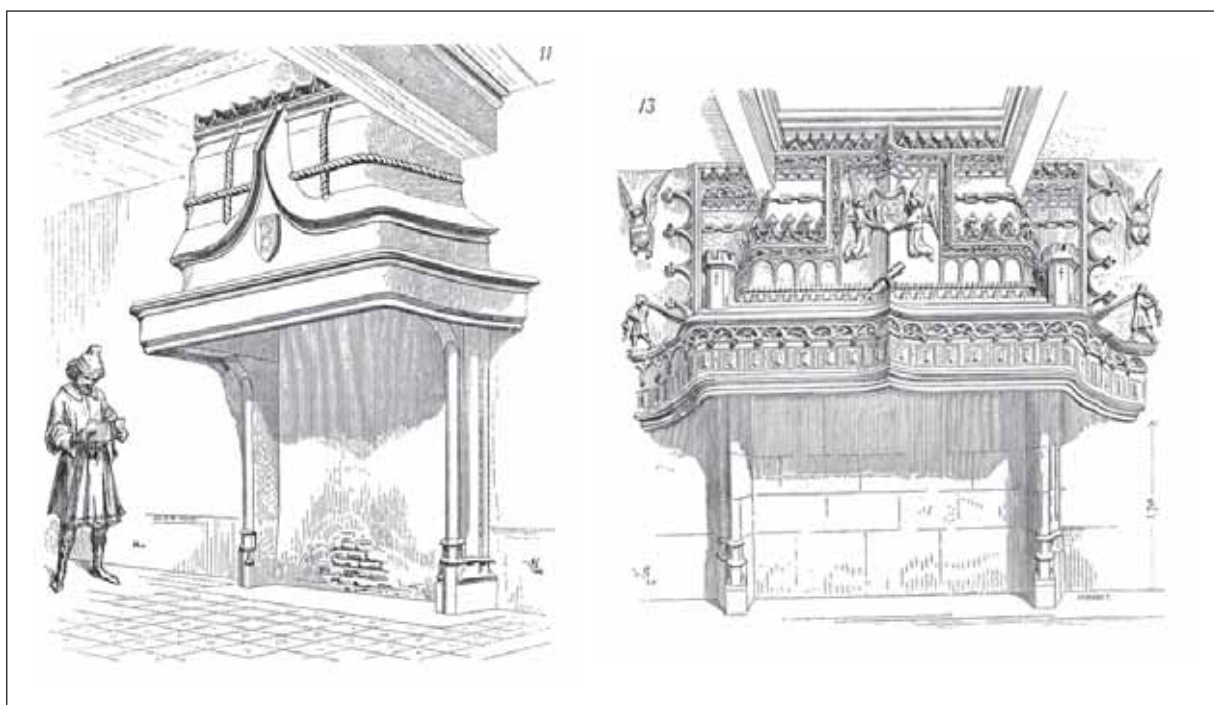


Fig. 60 : cheminées de Saint-Antonin-Noble-Val dessinées par Eugène Emmanuel Viollet-le-Duc  
Tirées de Eugène Emmanuel Viollet-le-Duc, *Dictionnaire raisonné de l'architecture française du XI<sup>e</sup> au XVI<sup>e</sup> siècle*, Paris, 1867, article « cheminée », p. 324.

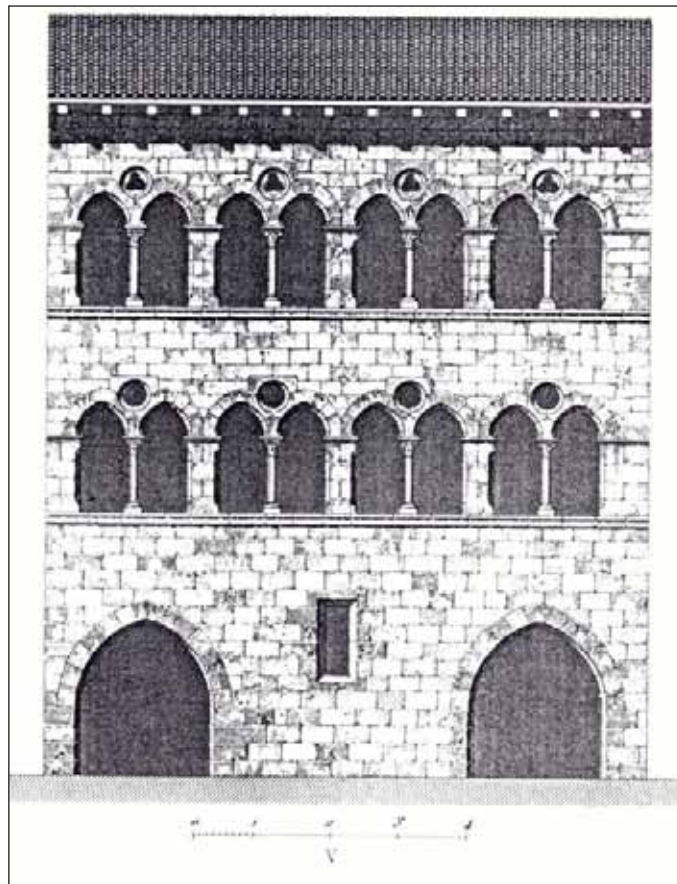


Fig. 61 : façade d'une maison de Saint-Antonin-Noble-Val dessinée par Aymar Verdier et François Cattois  
Détail de la planche tirée de Aymar Verdier et François Cattois, *Architecture civile et domestique au Moyen Âge et à la Renaissance dessinée et décrite*, tome 2, Paris, 1855

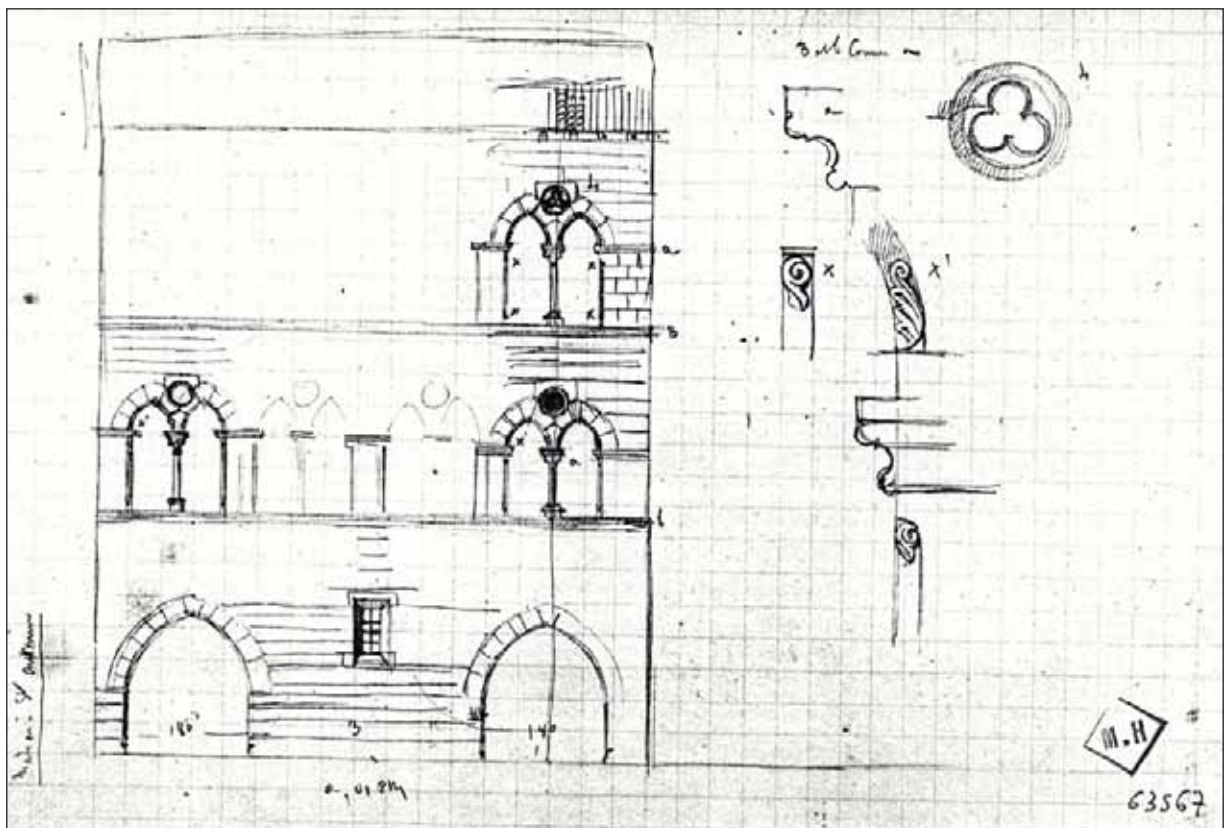


Fig. 62 : croquis ayant servi à la restitution de la façade  
Conservé à la MAP (cote : 0080/112/2005).



Fig. 63 : localisation des vestiges médiévaux repérés par le service de l'Inventaire  
Figure extraite de Bernard (dir.) Loncan, *Caylus et Saint-Antonin-Noble-Val... op. cit.*, 1993, p. 194, fig. 213.



Fig. 64 : exemple de relevé réalisé dans le cadre de l'atelier de l'école de Chaillot en 2011, façade nord de la maison ID13

réal. : élèves de l'école de Chaillot





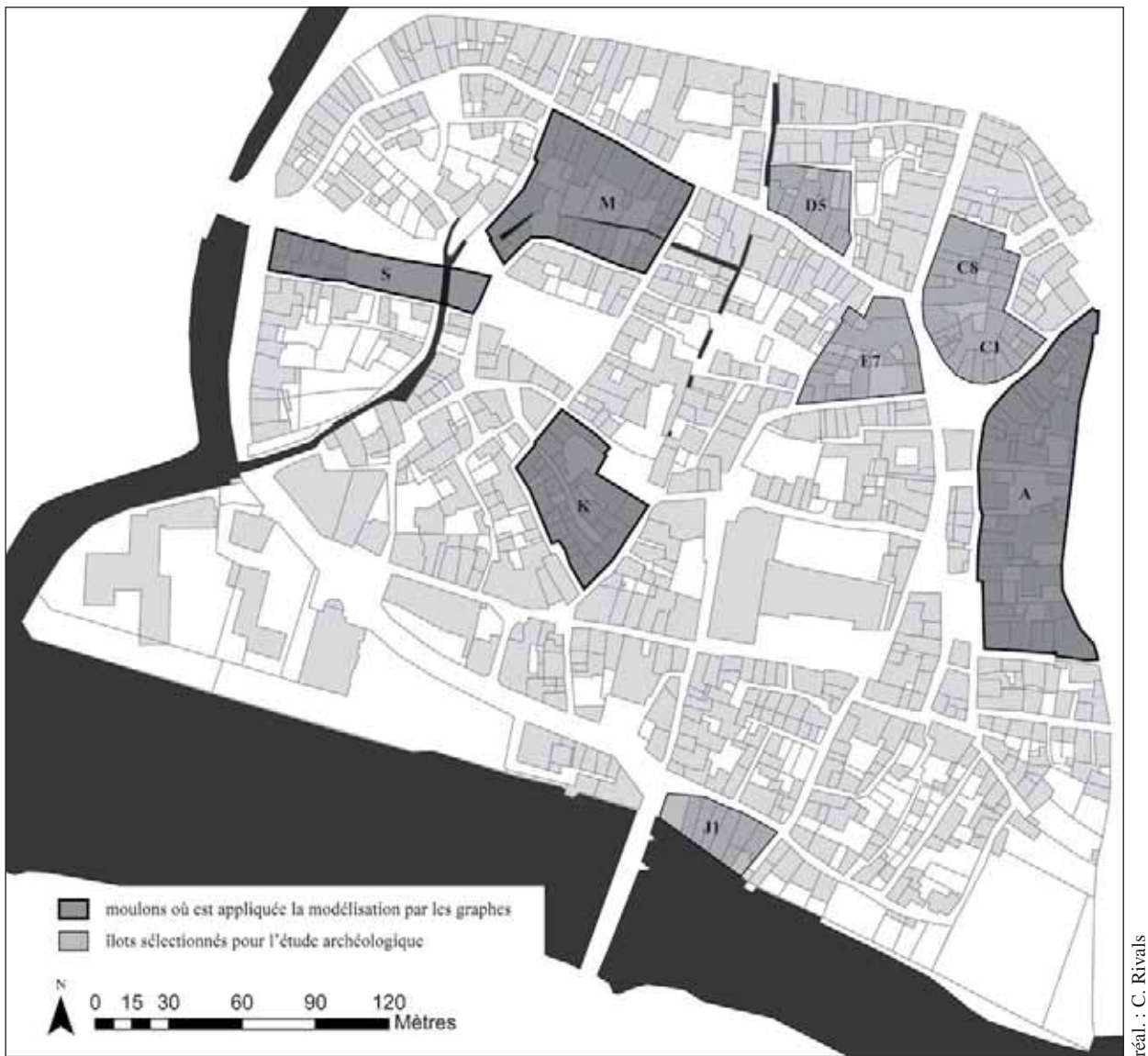


Fig. 66 : localisation des îlots sélectionnés pour l'approche archéologique et des moulons où a été appliquée la modélisation des sources fiscales



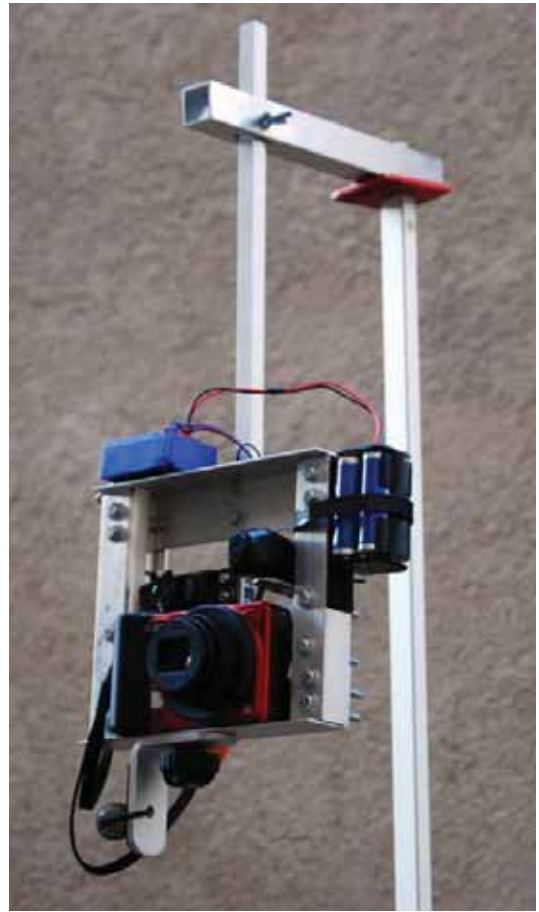
<b>ID</b>	<input type="text"/>	<b>adresse</b>	<input type="text"/>
<b>quartier</b>	<input type="text"/>	<b>référence cadastrale</b>	<input type="text"/>
<b>dénomination</b>	<input type="text"/>		<b>ilot napo</b>
<b>appellation et titre</b>	<input type="text"/>		<input type="text"/>
<b>destinations successives et actuelle</b>	<input type="text"/>		
<b>datation principale</b>	<input type="text"/>		
<b>datation secondaire</b>	<input type="text"/>		
<b>commentaire historique</b>	<input type="text"/>		
<b>bibliographie</b>	<input type="text"/>		
<b>matériaux et mise en oeuvre</b>	<input type="text"/>		
<b>matériaux couverture</b>	<input type="text"/>		
<b>forme de la couverture</b>	<input type="text"/>		
<b>étages</b>	<input type="text"/>		
<b>plan</b>	<input type="text"/>		
<b>élévation extérieure</b>	<input type="text"/>		
<b>fenêtres</b>	<input type="text"/>		
<b>portes portails</b>	<input type="text"/>		
<b>technique du décor</b>	<input type="text"/>		
<b>représentation</b>	<input type="text"/>		

Fig. 67 : recto de la fiche d'enregistrement de terrain

<b>commentaire descriptif</b>	
<div style="border: 1px solid black; height: 120px;"></div>	
<b>forme plan</b>	<input type="text"/>
<b>volume</b>	<input type="text"/>
<b>position par rapport à la rue</b>	<input type="text"/>
<b>axe de la maison par rapport à la rue</b>	<input type="text"/>
<b>empiètement</b>	<input type="text"/>
<b>venelle</b>	<input type="text"/>
<b>caves</b>	<input type="text"/>
<b>croquis</b>	<div style="border: 1px solid black; height: 300px;"></div>
<b>remarques</b>	
<div style="border: 1px solid black; height: 100px;"></div>	
<b>rédacteurs</b>	<input type="text"/>

Fig. 68 : verso de la fiche d'enregistrement de terrain





Nacelle en aluminium placée à l'extrémité d'une pique de mesure télescopique de 10 m, recevant un appareil de photographie numérique, une caméra vidéo avec retour au sol et un servomoteur. Une télécommande permet de déclencher à distance.



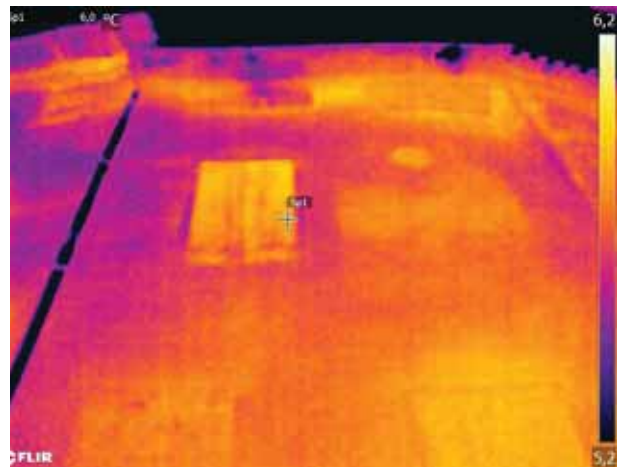
Exemple de photographie obtenue avec la perche télescopique : baie géminée située au deuxième étage de la maison ID32.

clichés : C. Rivals

Fig. 69 : utilisation d'une perche télescopique pour la réalisation de photographies des élévations



Maison ID231, rue de la Pélisserie  
Structure en pan-de-bois dissimulée sous le crépis au deuxième étage



Maison ID220, rue de la Porte Rodanèse  
Baie géminée dissimulée sous le crépis au deuxième étage

clichés : C. Calastrenc

Fig. 70 : clichés thermiques de deux façades crépies de Saint-Antonin  
Cette figure illustre l'apport de la photographie thermique pour révéler des éléments architecturaux dissimulés par le revêtement : pan-de-bois et baie géminée bouchée

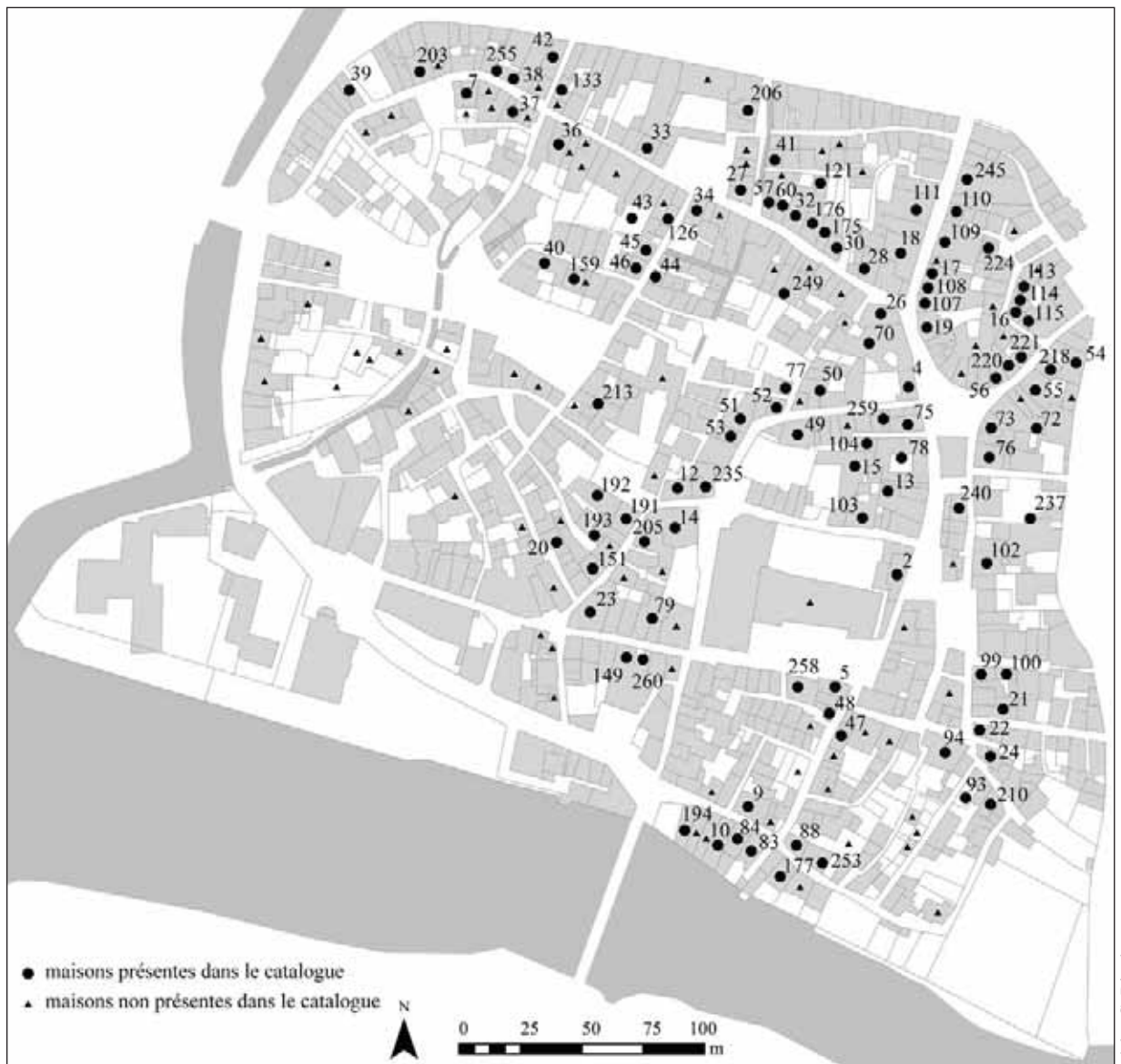


Fig. 71 : localisation des maisons contenant des vestiges médiévaux et modernes  
Les numéros renvoient aux notices du catalogue (volume 3).





Fig. 72 : localisation des parcelles dont les maisons ont pu être étudiée à l'intérieur, sur fond de cadastre actuel (en gris foncé)

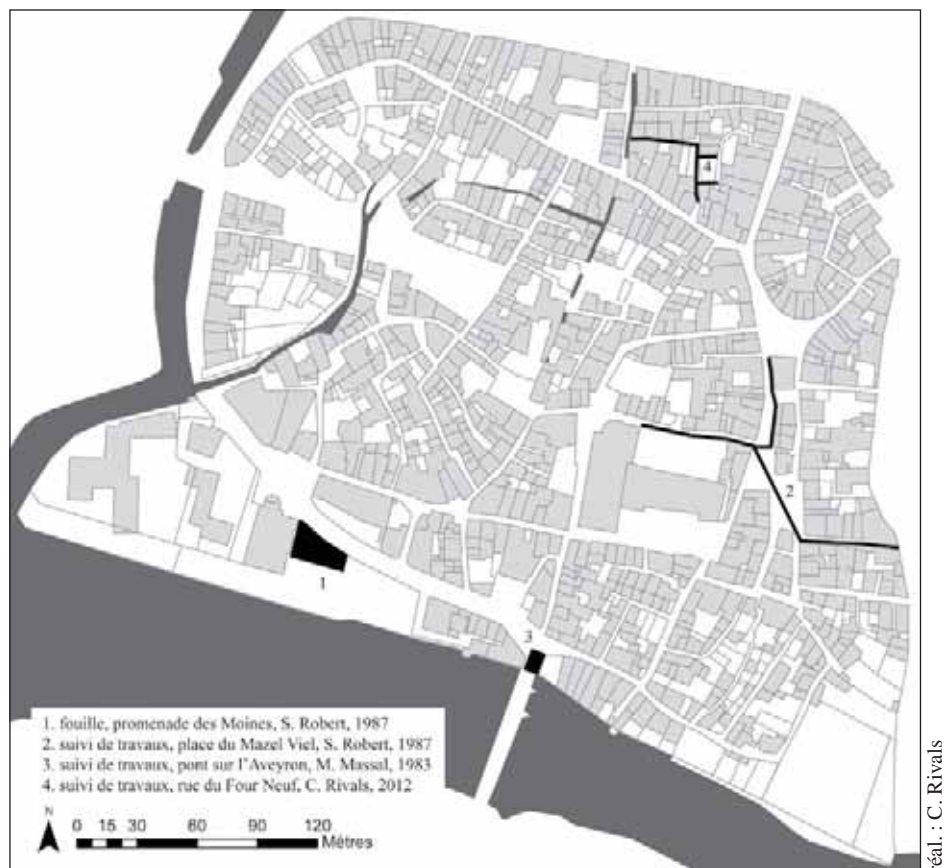


Fig. 73 : localisation des secteurs documentés par l'archéologie, sur fond de cadastre actuel

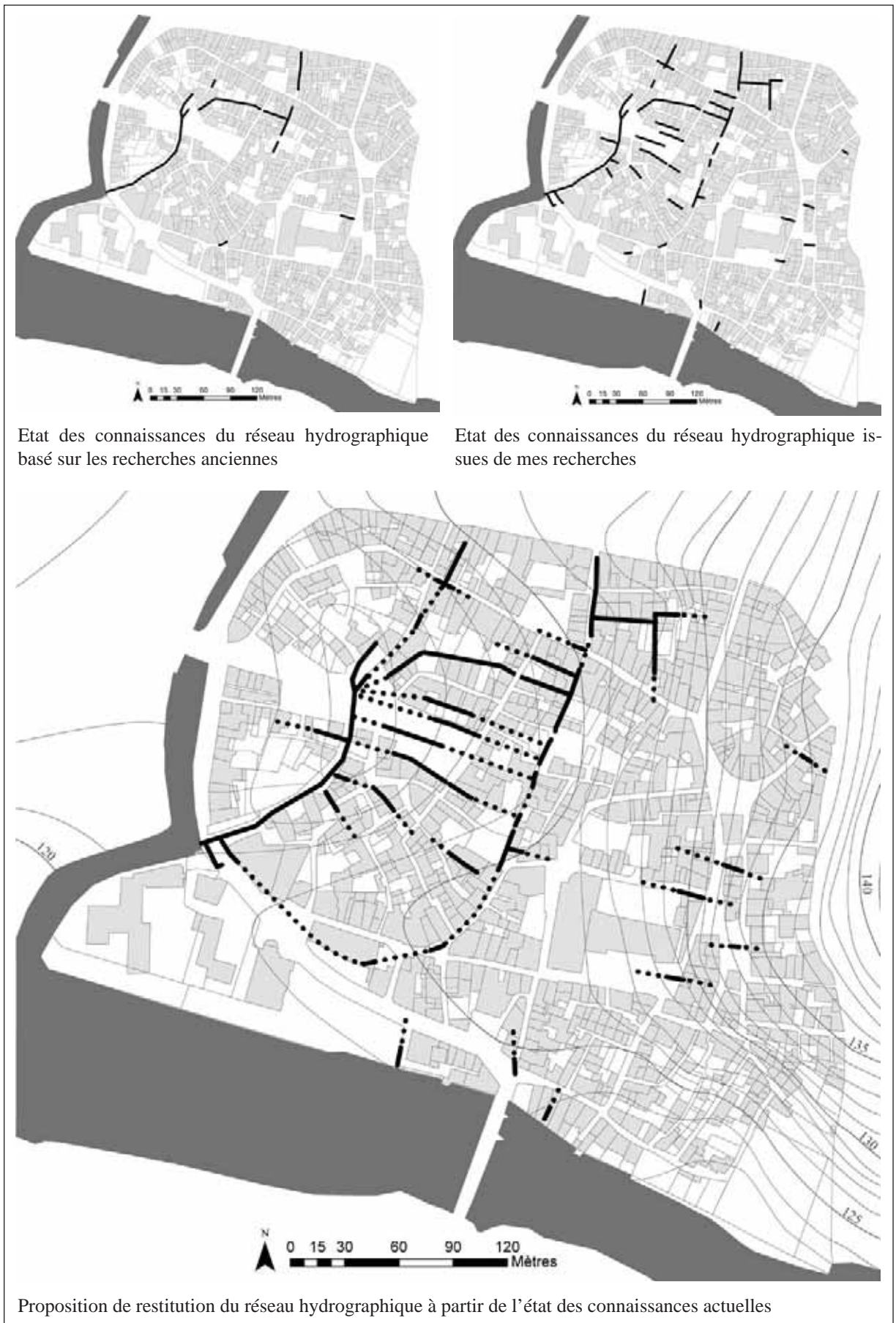


Fig. 74 : recherches sur le réseau hydrographique de Saint-Antonin





réal. : C. Rivals, fond de carte : Géoportail

Fig. 75 : localisation des points de décollage du drone pour les vols statiques



cliché : C. Calastrenc, N. Poirier

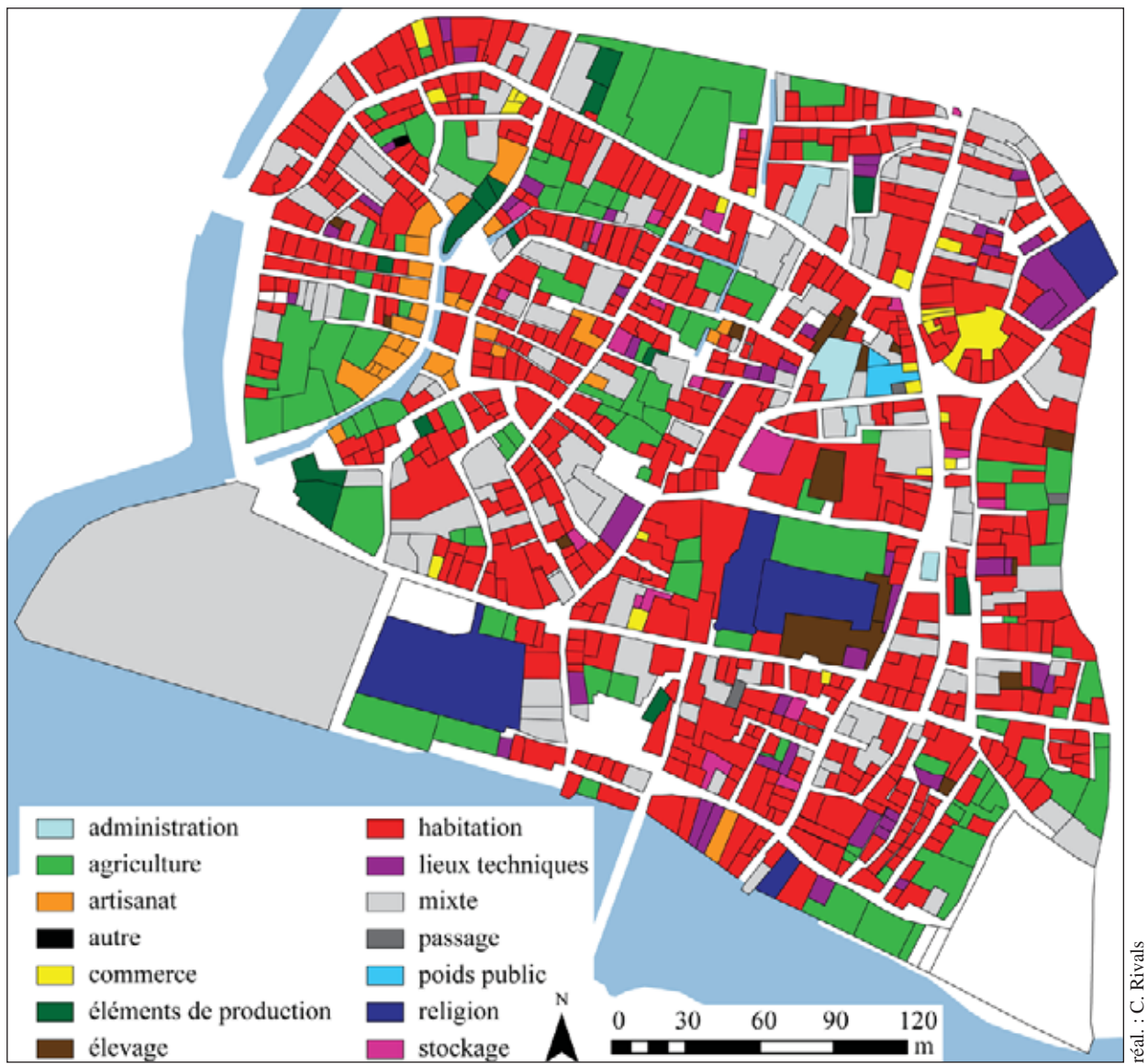
Fig. 76 : vue générale de la ville depuis le nord-est, réalisée par un appareil photo embarqué sur un drone





réal. : C. Rivals, fond de carte : Géoportail

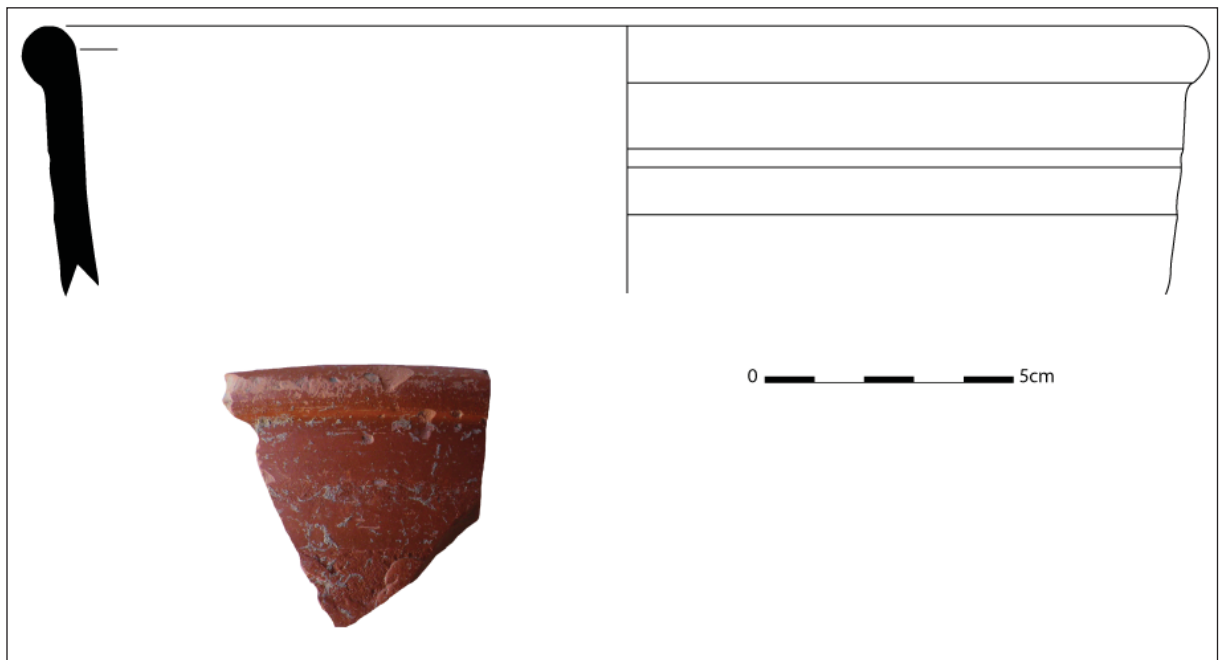
Fig. 77 : localisation des secteurs prospectés dans l'espace péri-urbain



réal. : C. Rivals

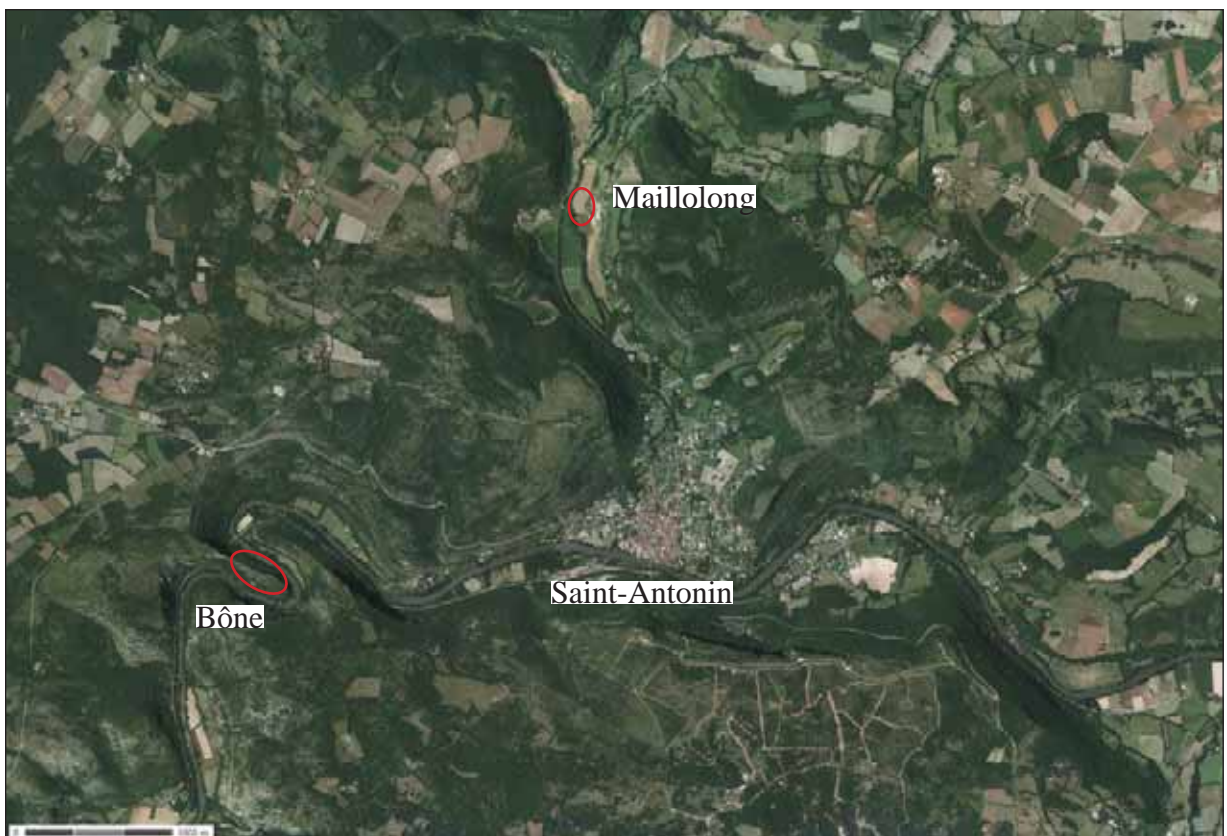
Fig. 78 : nature des parcelles d'après le plan parcellaire de 1782





dessin : N. Clément ; DAO, cliché : C. Rivals

Fig. 79 : tesson de céramique sigillée sud-gauloise de type SIG SG-DR37b (première moitié du II<sup>e</sup> siècle de notre ère), provenant des fouilles archéologiques menées par Serge Robert en 1987 à l'emplacement de l'abbaye



réal. : C. Rivals, fond de carte : Géoportail

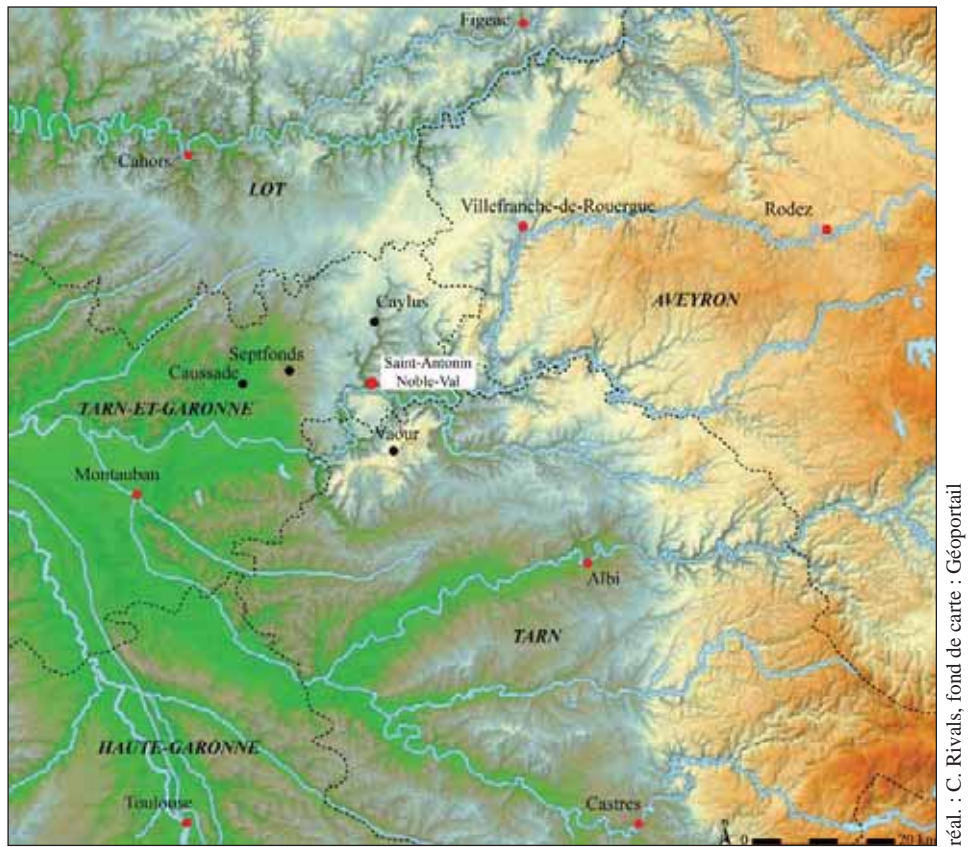
Fig. 80 : localisation des sites antiques repérés autour de Saint-Antonin-Noble-Val



clichés : C. Rivals

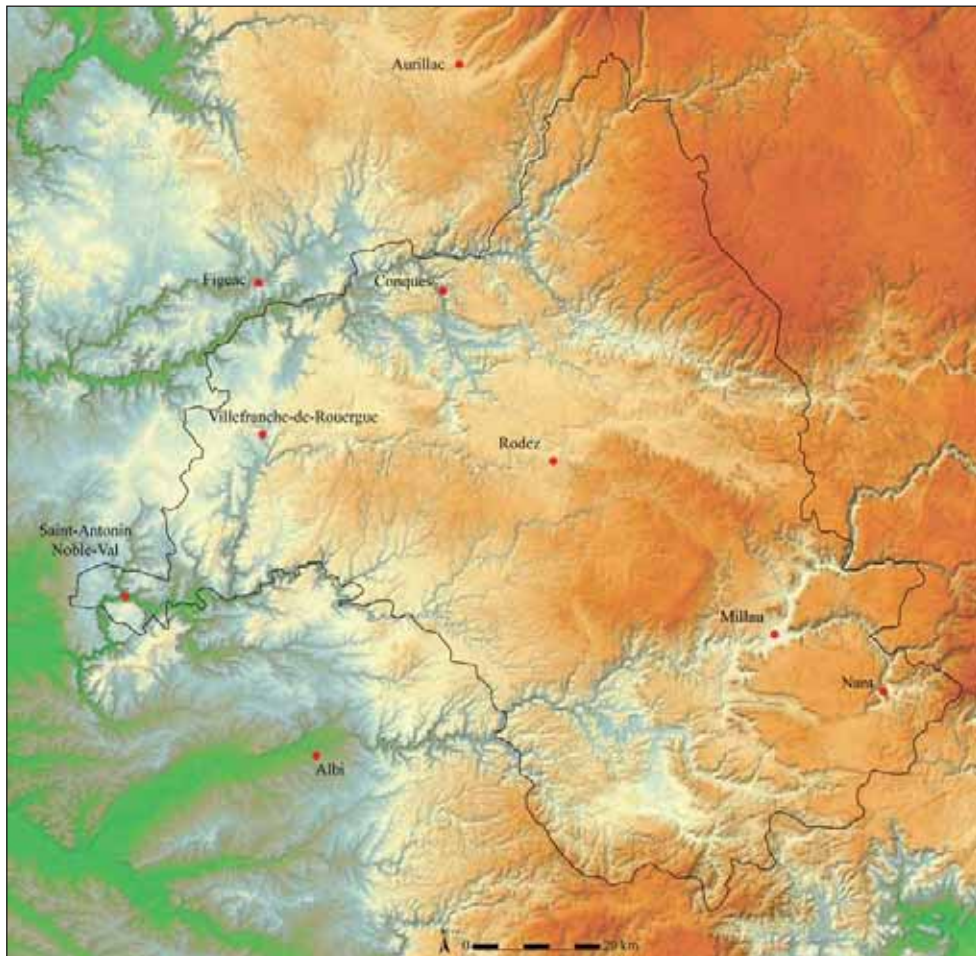
Fig. 81 : fragment de sarcophage en marbre blanc du VII<sup>e</sup> siècle conservé au musée municipal de Saint-Antonin et découvert dans le jardin d'un particulier





réal. : C. Rivals, fond de carte : Géoportail

Fig. 82 : Saint-Antonin à la frontière de plusieurs départements



réal. : C. Rivals, fond de carte : Géoportail

Fig. 83 : province du Rouergue

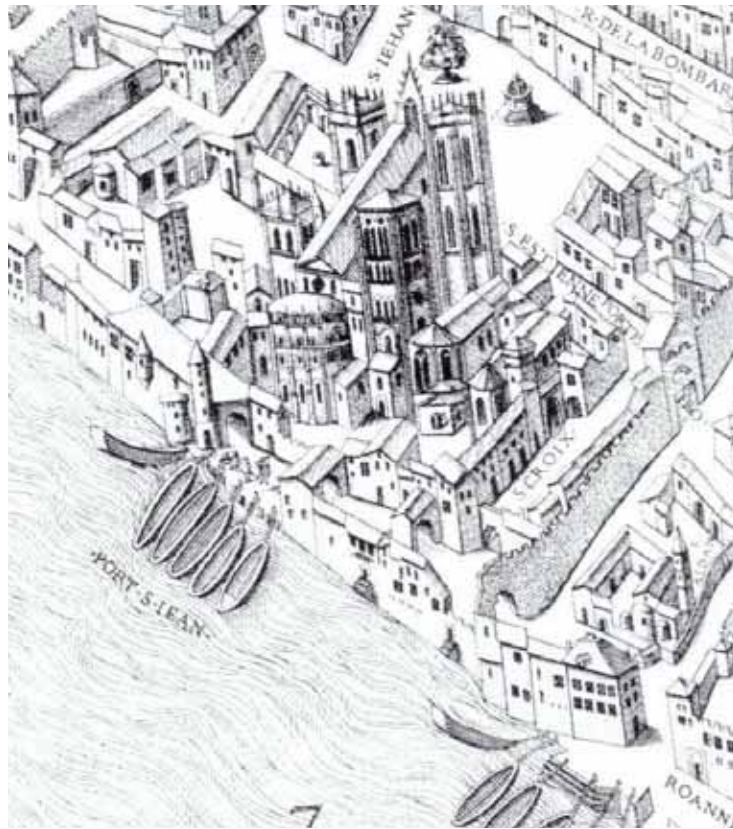




*Très Riches Heures du duc de Berry, mois de juin (détail)*

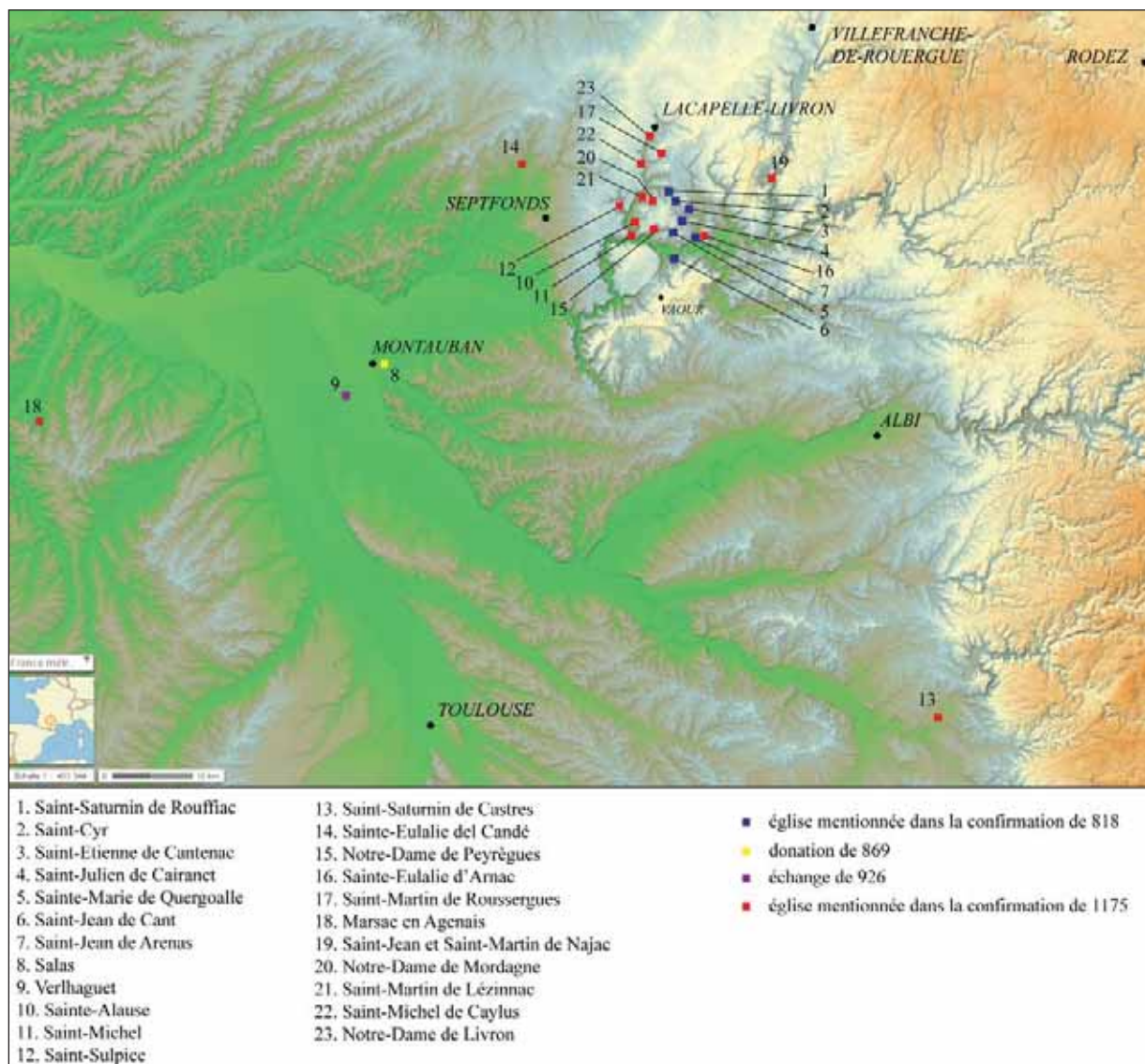


*Très Riches Heures du duc de Berry, mois d'octobre (détail)*



Détail du plan scénographique de Lyon, dressé au milieu XVI<sup>e</sup> siècle (Archives communales de Lyon, 1S165), publié dans Arlaud C. *et al.*, *Lyon Saint-Jean : les fouilles de l'îlot Tramassac*, Lyon, 1994.

Fig. 84 : exemple de représentation de quais urbains.



réal. : C. Rivals, fond de carte : Géoportail

Fig. 85 : localisation des possessions de l'abbaye de Saint-Antonin mentionnées dans les actes de 818 (*HGL*, tome 2, *Preuves*, col.122-123), 869 (*ADTG*, G239, fol. 84), 926 et 1175 (*BnF*, fonds Doat, vol.124, fol.345-346)



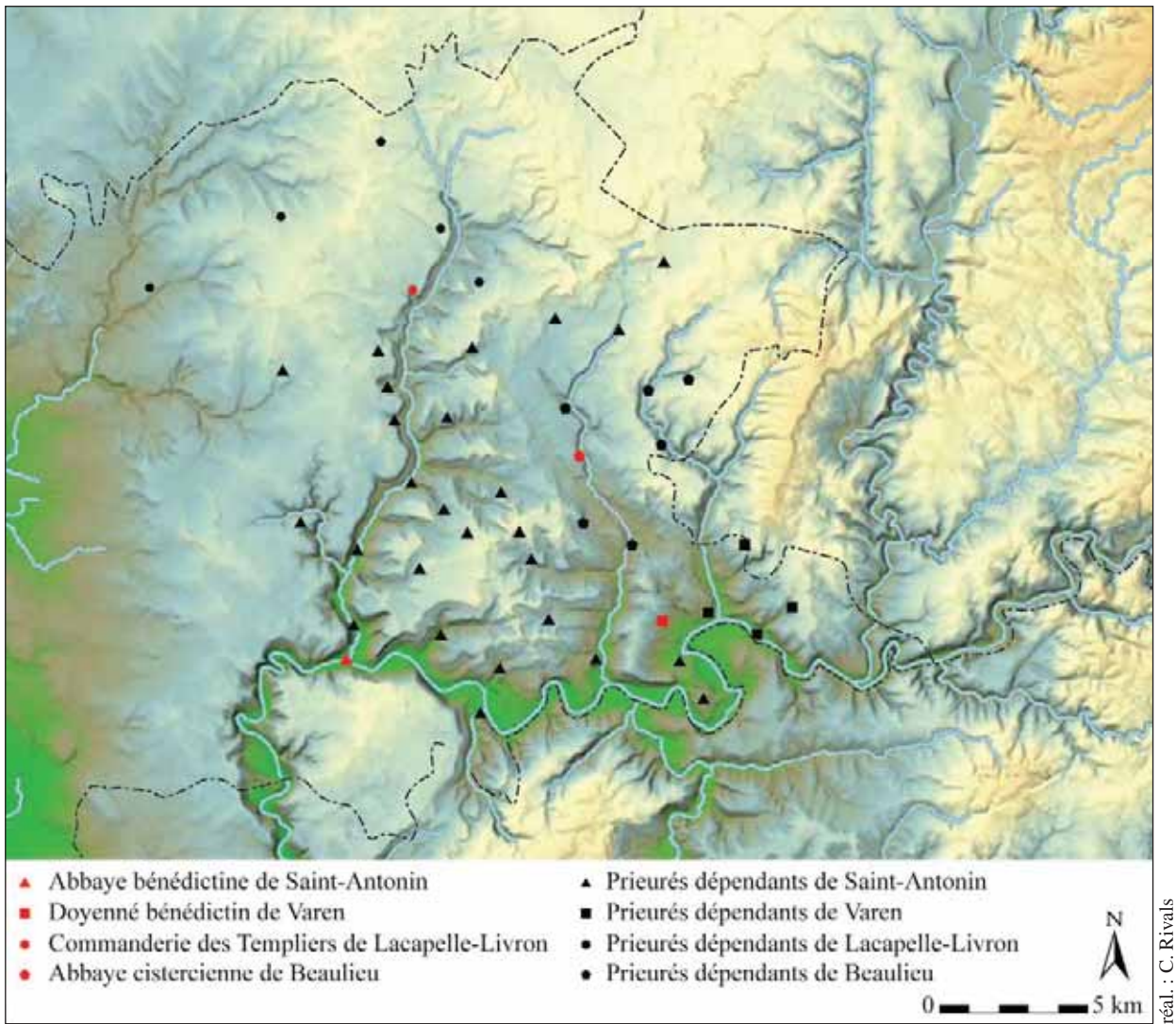


Fig. 86 : possessions des prieurés par les établissements conventuels autour de Saint-Antonin au XIII<sup>e</sup> siècle

D'après Bernard Loncan (dir.), *Caylus et Saint-Antonin-Noble-Val...op. cit.*, p. 43.

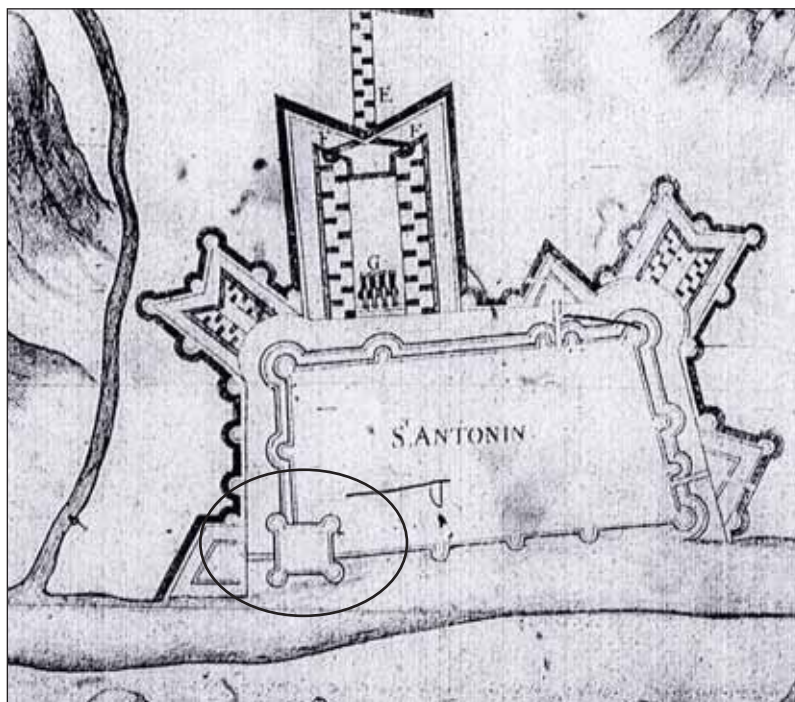


Fig. 87 : détail du plan des fortifications de la ville de Saint-Antonin lors du siège de 1622  
 Publié dans Louys de Chabans, *Histoire de la guerre des Huguenots ... op. cit.*

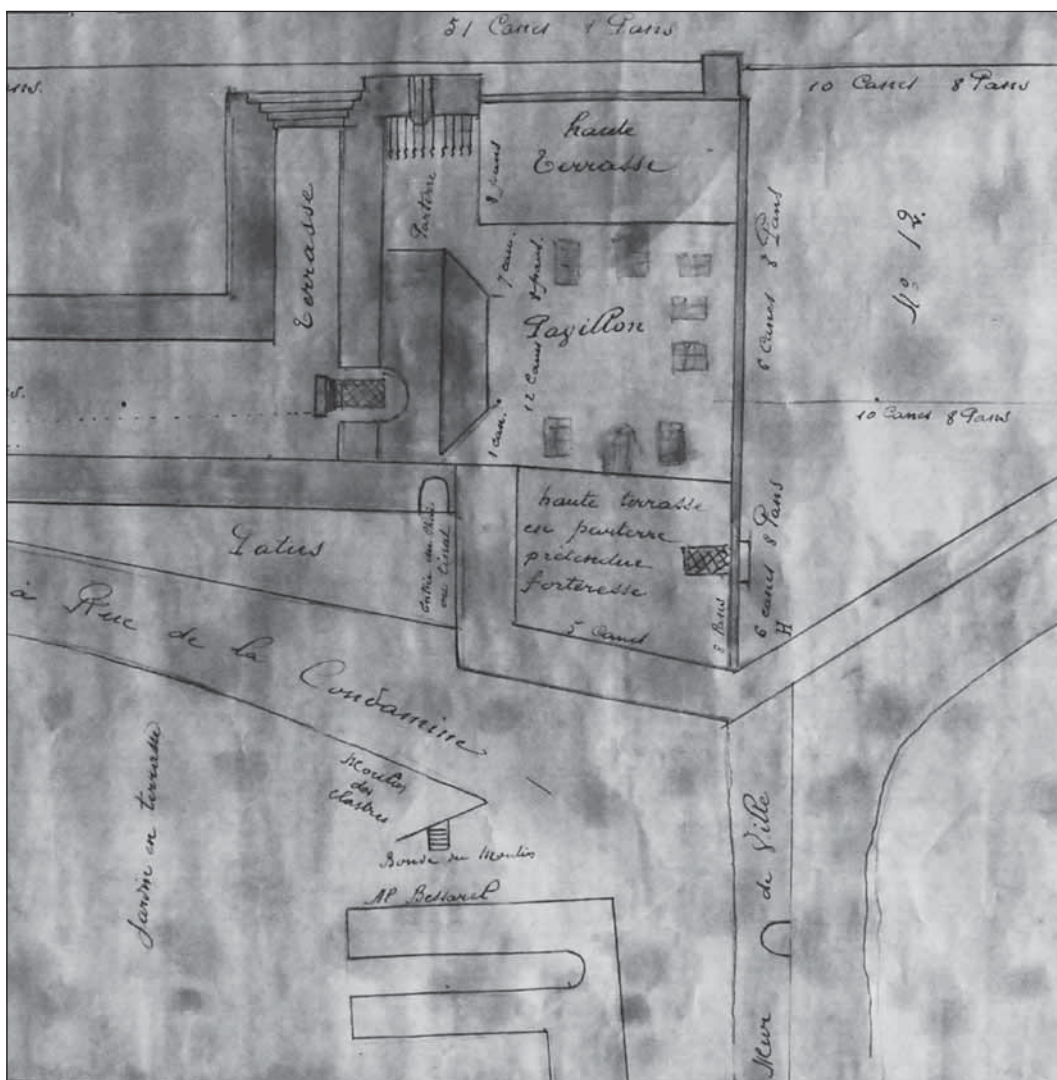


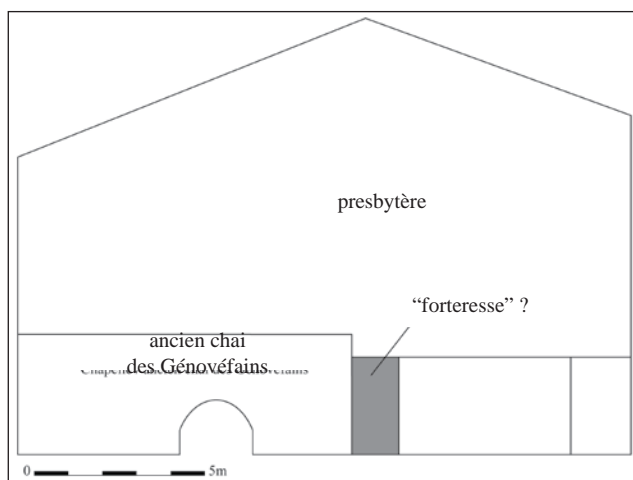
Fig. 88 : détail du plan représentant l'emplacement des ruines du monastère, dressé en 1760  
 (AC Saint-Antonin, non côté). Le nord est en bas.





cliché : C. Rivals

Fig. 89 : façade nord de l'actuel presbytère  
La porte à gauche donne accès à l'ancien chai. Au centre se trouve la section du mur arraché.



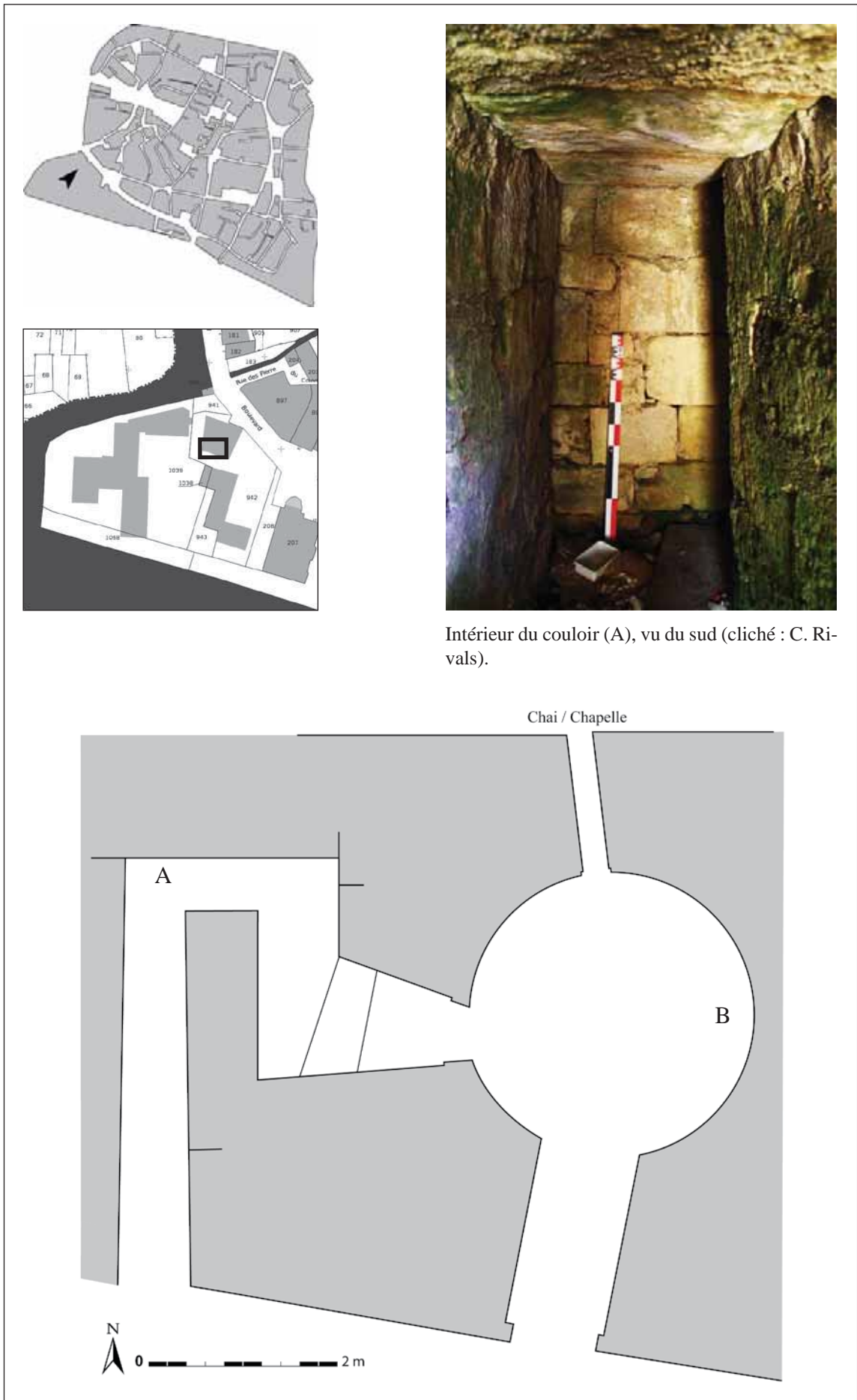
réal. : C. Rivals

Fig. 90 : croquis à l'échelle de l'élévation nord de l'actuel presbytère



cliché : C. Rivals

Fig. 91 : section de mur nord-sud, appartenant probablement à l'ancienne forteresse



Intérieur du couloir (A), vu du sud (cliché : C. Rivals).

Fig. 92 : salle circulaire et couloir en baïonnette situés à l'arrière de la chapelle

réal. : C. Rivals





cliché : C. Rivals

Fig. 93 : intérieur de la salle circulaire (B), vu de l'ouest



cliché : C. Rivals

Fig. 94 : mur sud du chai construit par les Génovéfains en 1666 dans l'enclos du monastère et réutilisé en chapelle

La partie en moyen appareil de pierre de taille à droite appartient certainement au fortin construit pendant les guerres de Religion. La fenêtre de droite donne dans la petite salle circulaire.



Arcades du mur ouest, vues de l'ouest



Croquis à l'échelle des arcades du mur ouest



Arcades du mur ouest, vues de l'est, à l'intérieur

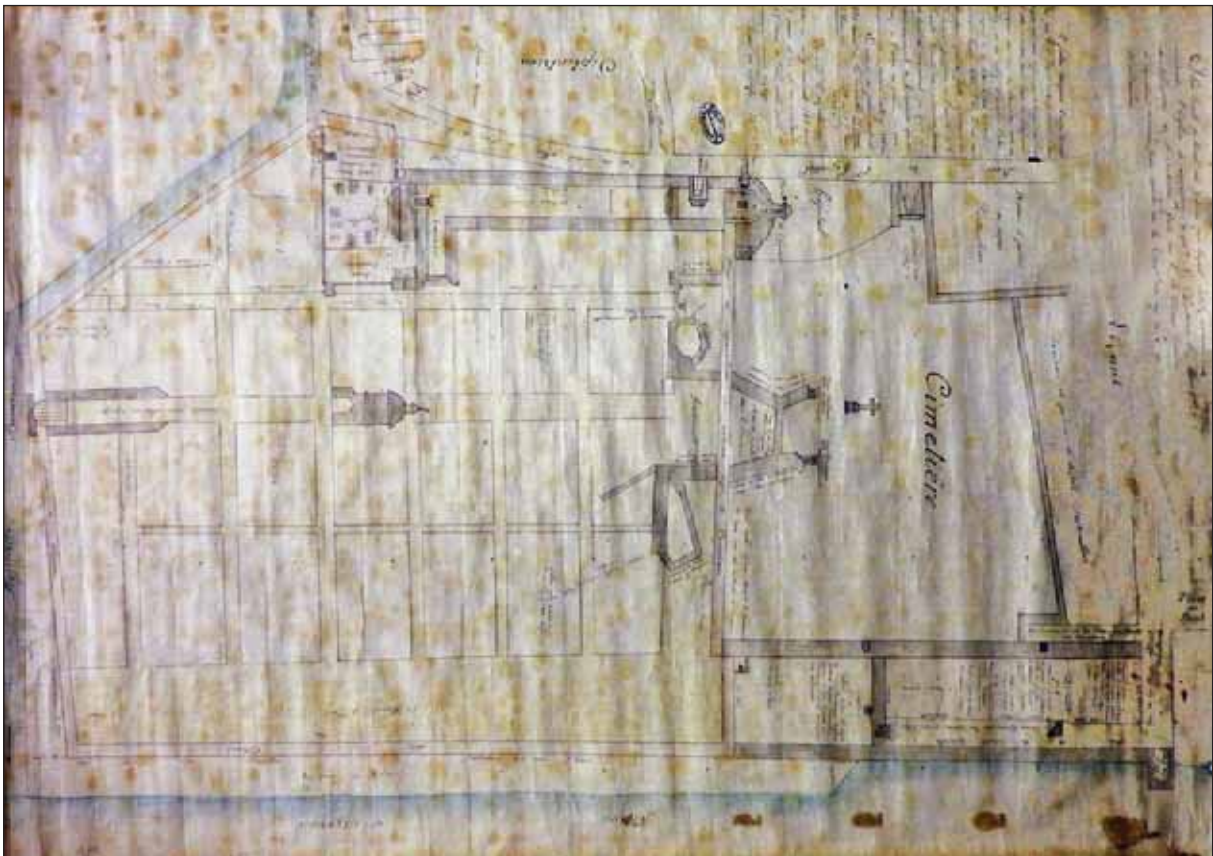


Vestige d'une baie au premier étage du mur ouest

clichés : C. Rivals

Fig. 95 : logis aménagé au-dessus du chai et servant actuellement de presbytère

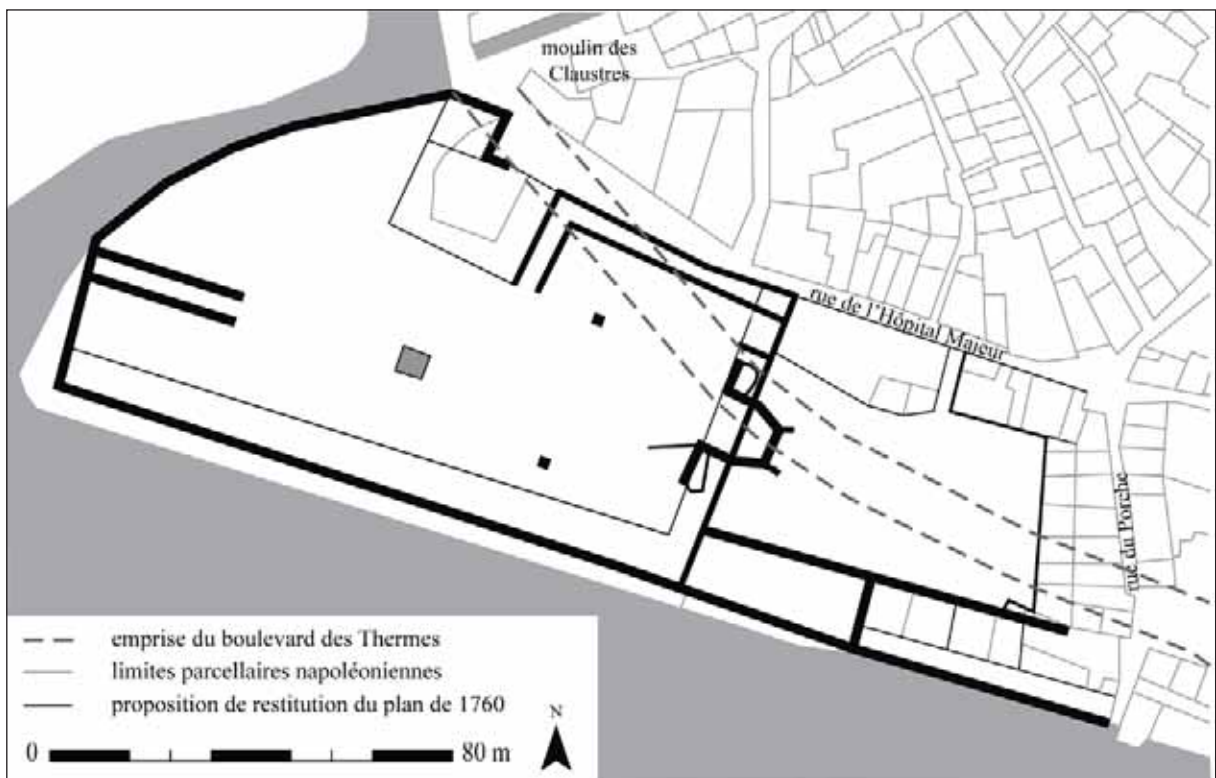




cliché : C. Rivals

Fig. 96 : plan représentant l'emplacement des ruines du monastère, dressé en 1760 (AC Saint-Antonin, non côté)

Le nord est vers le haut.



réal. : C. Rivals

Fig. 97 : proposition de restitution du plan représentant l'emplacement des ruines du monastère, sur fond de cadastre napoléonien





cliché : C. Rivals

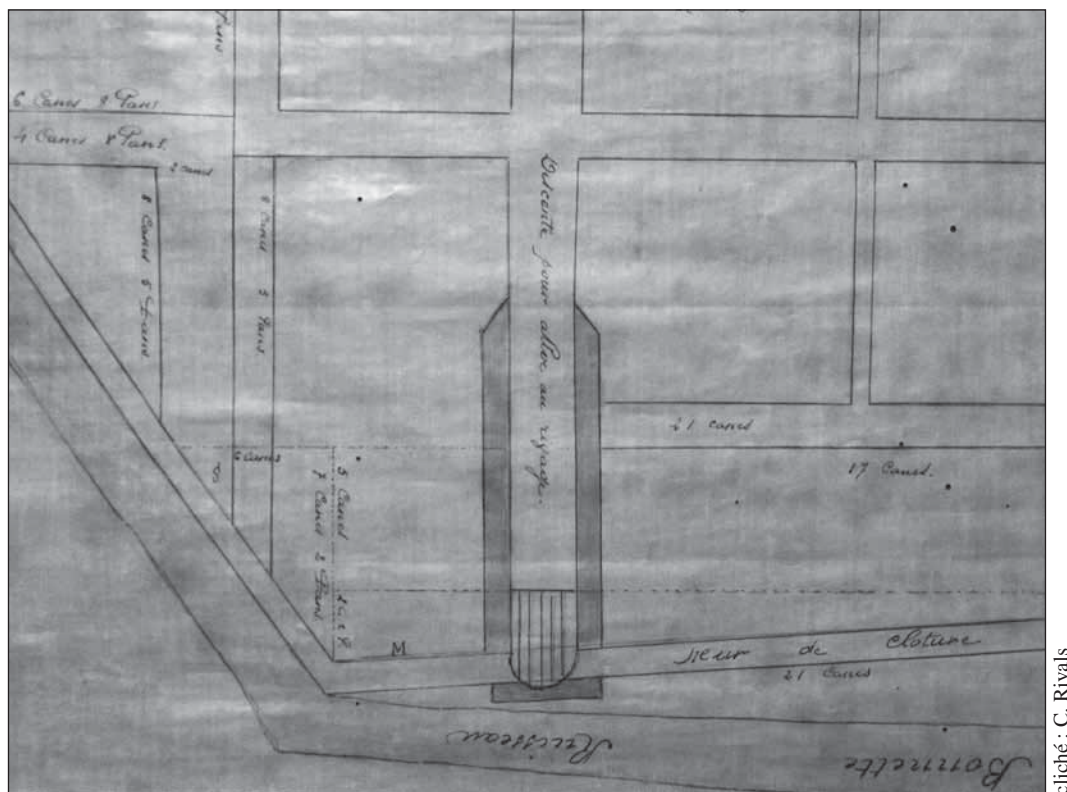
Fig. 98 : emplacement de l'enclos de l'abbaye vu depuis le sud-est  
Le trait pointillé représente la limite nord de l'enclos.



cliché : C. Rivals

Fig. 99 : mur de clôture de l'abbaye sur la Bonnette  
La partie du mur plus claire correspond à une reprise, peut-être le bouchage de la porte.





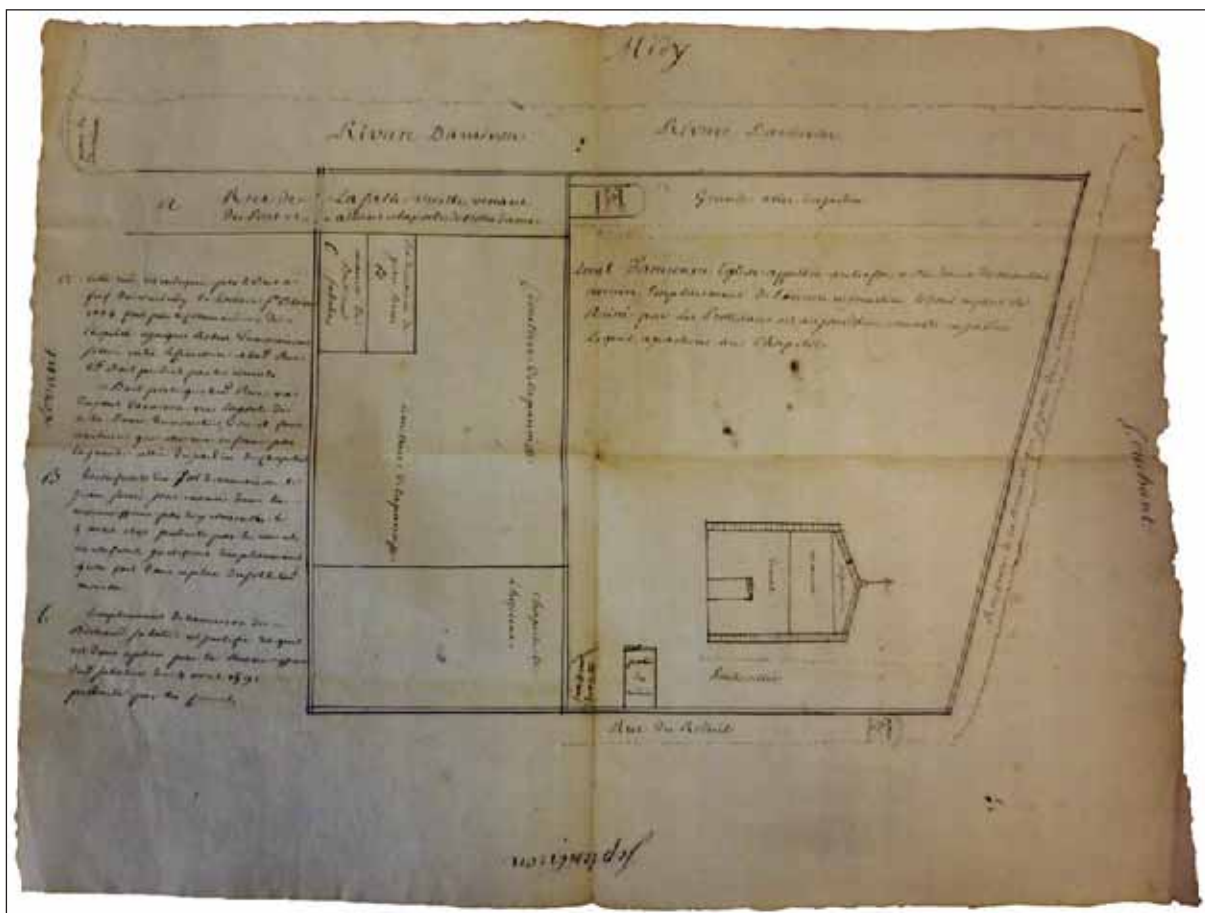
cliché : C. Rivals

Fig. 100 : détail de l'extrémité droite du plan représentant l'emplacement des ruines du monastère (AC Saint-Antonin, non côté)  
Le nord est vers la gauche



clichés : C. Rivals

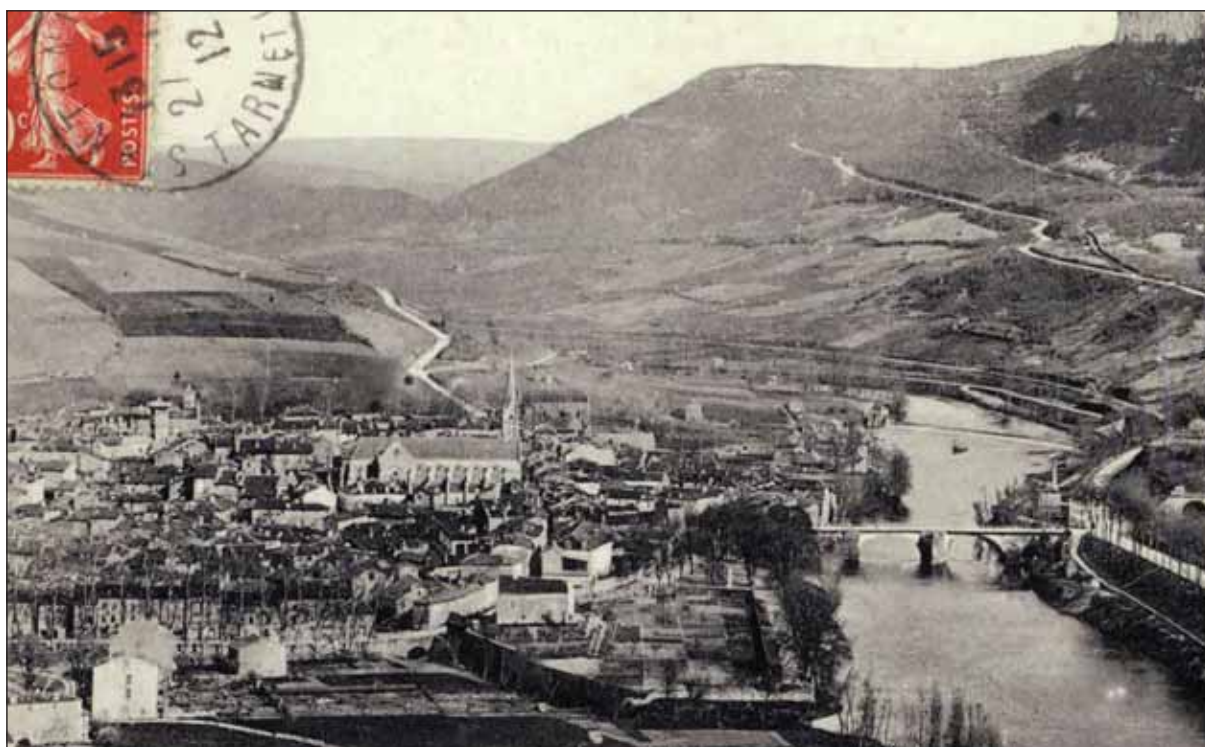
Fig. 101 : vestiges d'une bretèche sur le mur ouest de clôture de l'abbaye, avec un coup de sabre à droite



cliche : C. Rivals

Fig. 102 : plan représentant le jardin du chapitre dans l'enclos de l'ancien monastère (ADTG, G897)

Le nord est vers le bas.



collection personnelle

Fig. 103 : carte postale ancienne présentant une vue générale de la ville, depuis l'ouest  
L'enclos de l'abbaye est au premier plan, aucune construction n'y a été réalisée au moment de cette prise de vue (antérieurement à 1912, date figurant sur le cachet de la poste).



Fig. 104 : planche représentant les éléments découverts lors de la construction du complexe thermal en 1912, à l'emplacement du monastère  
Publiée dans « Procès verbal de séance », *BSATG*, 1912, n°40, p. 312.

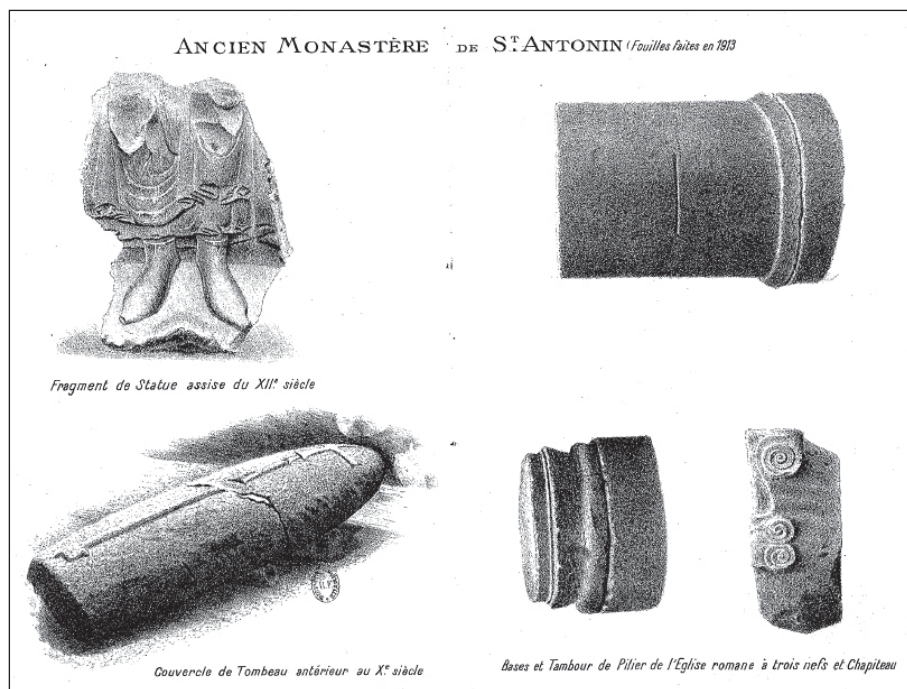


Fig. 105 : couvercle de sarcophage découvert en 1912, conservé au musée municipal



cliché : C. Rivals



cliché : C. Rivals

Fig. 106 : fragment de bas relief découvert en 1912, conservé au musée municipal

Fig. 107 : école construite dans l'enclos du monastère au début du XX<sup>e</sup> siècle. Une colonne provenant de l'abbaye est réemployée



cliché : C. Rivals



cliché : C. Rivals

Fig. 108 : chapiteau découvert en 1912, réemployé à l'angle nord-est de l'école



cliché : C. Rivals

Fig. 109 : base de la colonne reconstituée dans le jardin du presbytère



cliché : C. Rivals

Fig. 110 : colonne reconstituée à partir d'éléments retrouvés dans la rivière, exposée dans le jardin du presbytère





cliché : C. Rivals

Fig. 111 : colonnes et chapiteau provenant de l'abbaye, réutilisés en support de treille dans le jardin du presbytère



cliché : C. Rivals

Fig. 112 : chapiteau provenant de l'abbaye, réutilisé dans le jardin du presbytère



cliché : C. Rivals

Fig. 113 : colonne provenant de l'abbaye, exposée sur le parking de la maison de retraite





clichés : C. Rivals

Fig. 114 : tambours de fûts de colonnes en remploi dans maison ID237



cliché : C. Rivals

Fig. 115 : tambours de fûts de colonnes en remploi dans la maçonnerie de la maison ID191





- 1 - La création d'Adam
- 2 - Adam et Eve au Paradis
- 3 - Le péché originel.

clichés : J.-C. Fau

Fig. 116 : chapiteau engagé représentant des scènes de la Genèse, conservé au musée municipal



clichés : C. Rivals

Fig. 117 : fragments de chapiteaux conservés au musée municipal





cliché : C. Rivals



cliché : C. Rivals

Fig. 119 : fragment de sculpture correspondant à une tête de lion

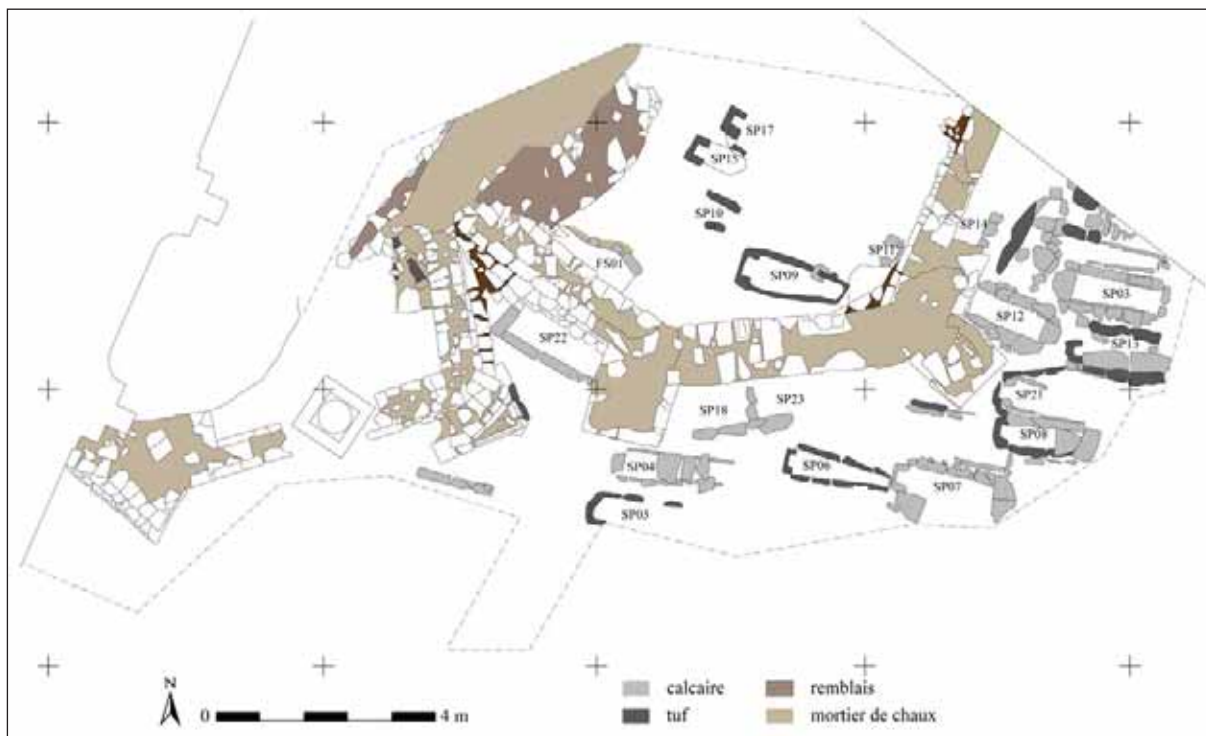
Fig. 118 : modillon représentant un animal gueule ouverte, conservé au musée municipal



cliché : C. Rivals

Fig. 120 : bloc sculpté en remploi sur la façade de la maison n°2 rue de l'Eglise, représentant sainte Marguerite entre les mâchoires d'un monstre

La présence d'un fragment de tuyau en plomb dans l'orifice laisse penser que ce bloc appartenait à une fontaine.



relevé : C. Allios ; DAO : C. Rivals

Fig. 121: chevet de l'église abbatiale révélé par les fouilles de sauvetage de la promenade des Moines réalisées par Serge Robert en 1987

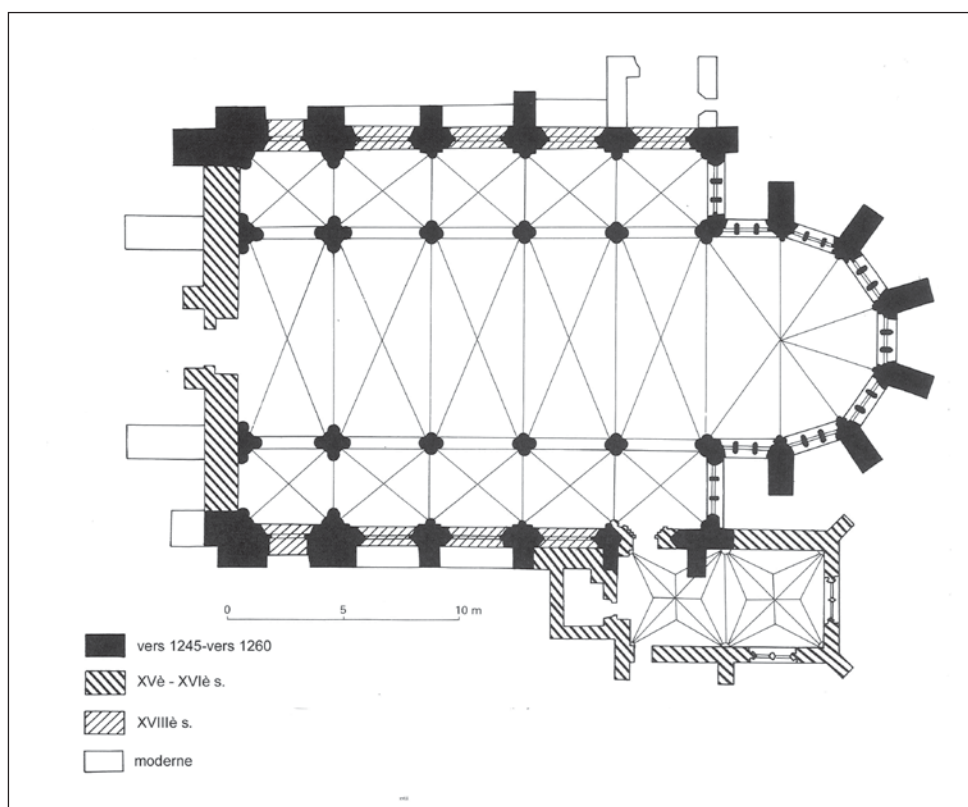


Fig. 122 : plan de l'église abbatiale de Saint-Martin-aux-Bois (Oise).  
Le chevet polygonal à contreforts est à rapprocher de celui dégagé à Saint-Antonin lors des fouilles de la promenade des Moines (Base Mérimée, notice n°PA00114868, <http://www.culture.gouv.fr/public/mistral/merimee.PA00114868>).





cliché : C. Rivals

Fig. 123 : pilier de la claire-voie de la maison romane représentant l'empereur Justinien  
Sur le livre qu'il tient ouvert sont peints les premiers mots de l'*incipit* des *Institutes*



Tessons remontés au plâtre, musée municipal

cliché : C. Rivals



Essai de restitution du *bacino* (Maurice Scellès, "La maison romane de Saint-Antonin", *MSAMF*, n°XLIX, 1989, p. 96, fig. 52).

Fig. 124 : fragments d'un *bacino* provenant d'une des alvéoles de la façade de l'ancien hôtel de ville ID4, conservés au musée municipal

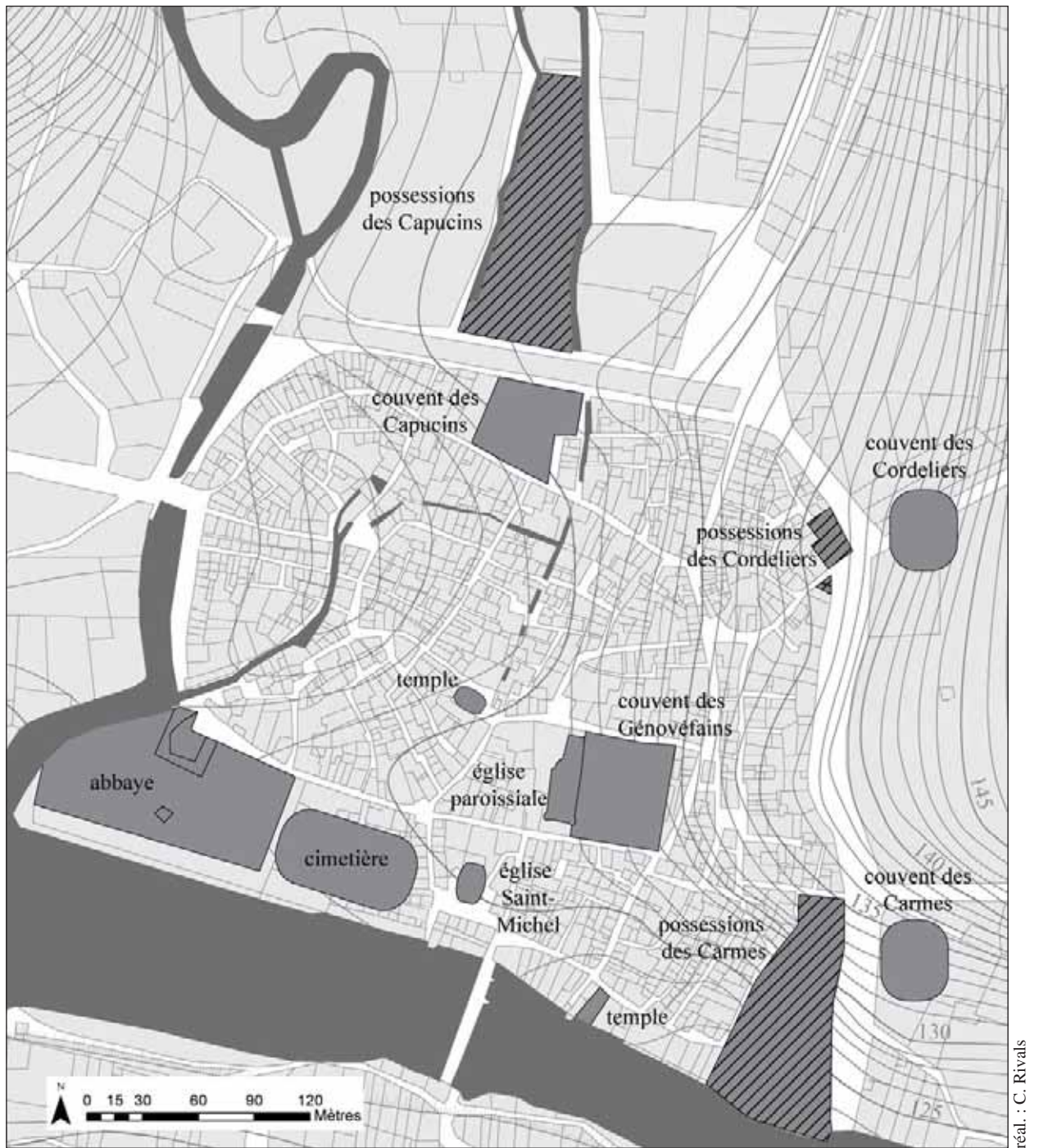
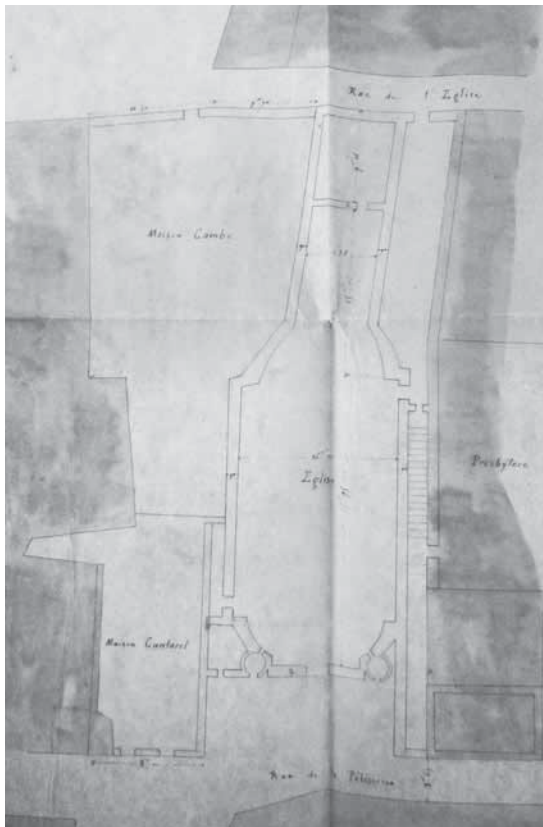
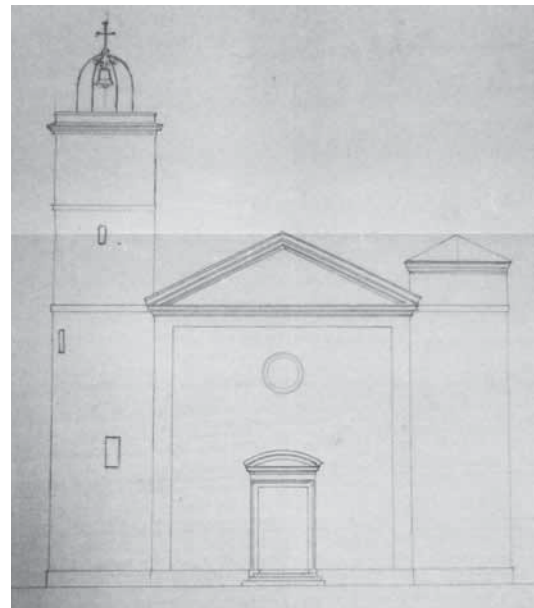


Fig. 125 : établissements religieux et emprise des parcelles appartenant aux ordres religieux dans l'espace urbain et péri-urbain sur fond de cadastre napoléonien  
Les formes aux angles arrondis indiquent que l'emplacement n'est pas connu avec exactitude.





Plan, 1858 (ADTG, O629)



Elévation, 1858 (ADTG, O629)



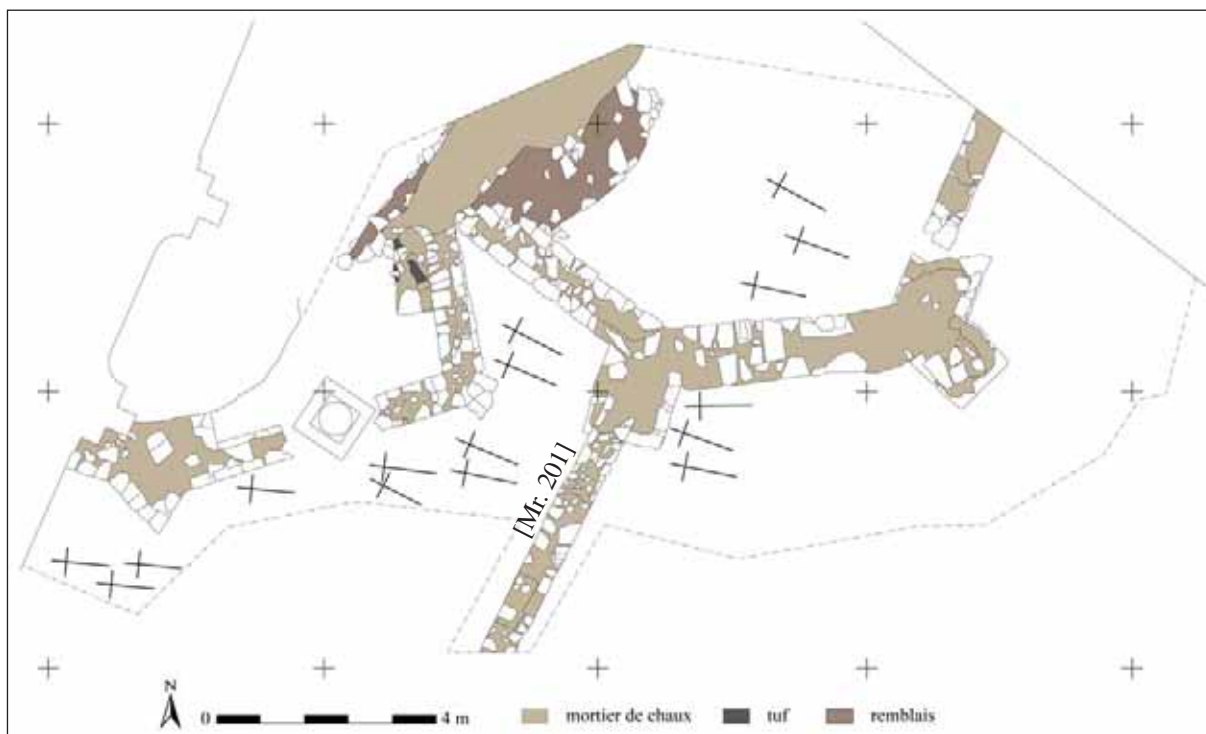
tympan, légende de saint Antonin



L'église paroissiale et le couvent des Génovéfains, vus depuis le roc d'Anglars au sud

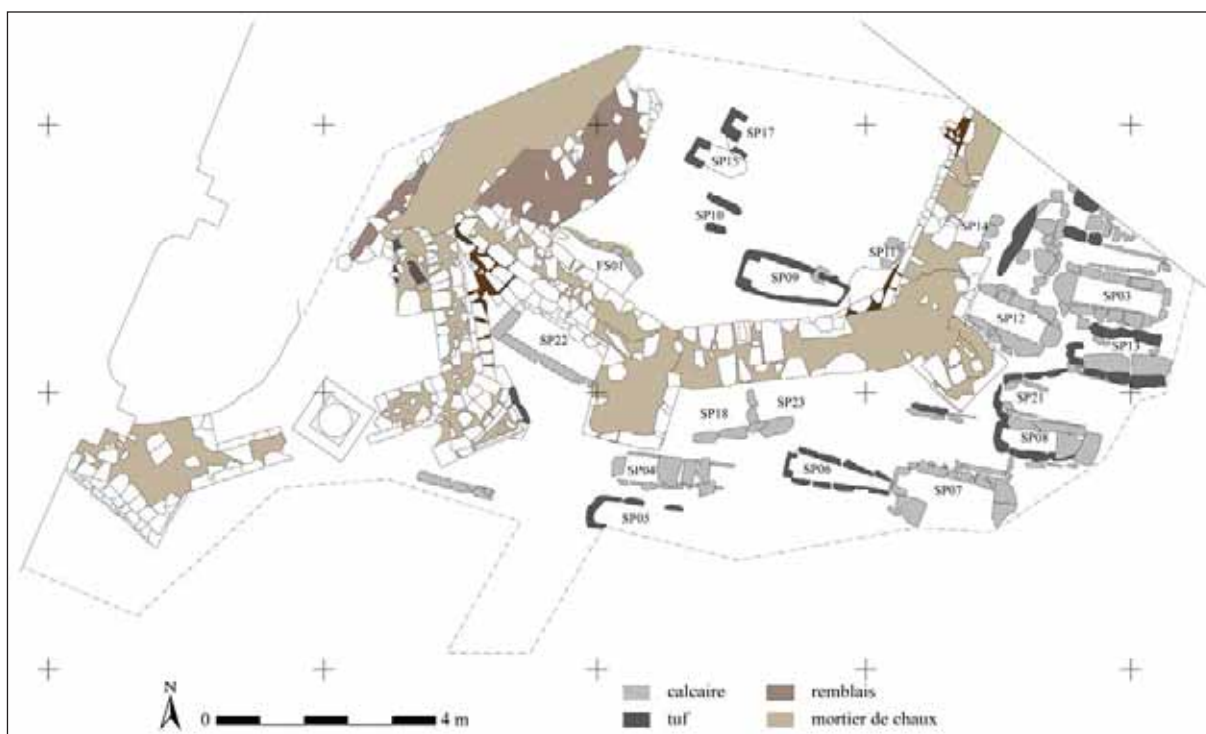
clichés : C. Rivals

Fig. 126 : l'église paroissiale, reconstruite au milieu du XIX<sup>e</sup> siècle



relevé : C. Allios, S. Robert ; DAO : C. Rivals

Fig. 127 : plan des sépultures de la phase 1 mises au jour dans le cadre des fouilles de sauvetage réalisées à l'emplacement de l'enclos du monastère en 1987



relevé : C. Allios, S. Robert ; DAO : C. Rivals

Fig. 128 : plan des sépultures des phases 2 et 3, mises au jour dans le cadre des fouilles de sauvetage réalisées à l'emplacement de l'enclos du monastère en 1987





cliché : C. Rivals

Fig. 129 : clé de voûte découverte lors de travaux réalisés en 1982 à l'emplacement de la supérette située dans la partie basse de la côte Rodanèse.  
Cette clé de voûte, datée du XV<sup>e</sup> siècle, pourrait provenir à l'église des Cordeliers dont le couvent était installé dans cette zone entre les XIII<sup>e</sup> et XVII<sup>e</sup> siècles



Fig. 130 : partie haute du plan géométrique de la ville réalisé en 1782, représentant l'enclos des Capucins (AC Saint-Antonin, JJ13)

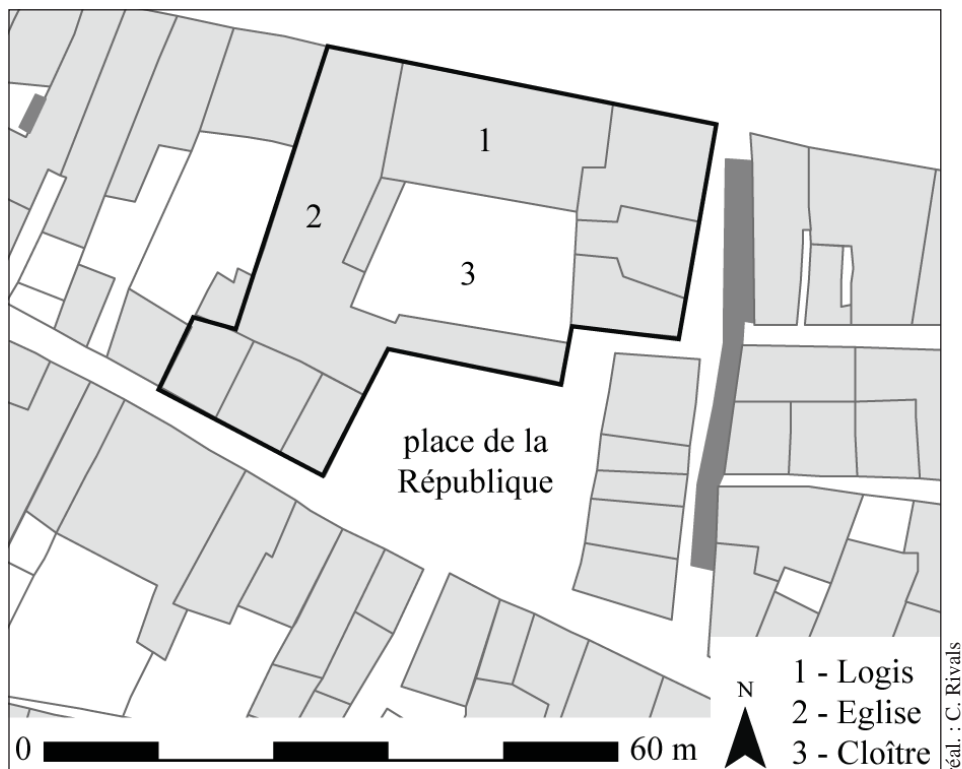


Fig. 131 : emplacement du logis, de l'église et du cloître du couvent des Capucins sur fond de cadastre actuel





Fenêtre en plein cintre du mur gouttereau oriental



Contrefort de l'église

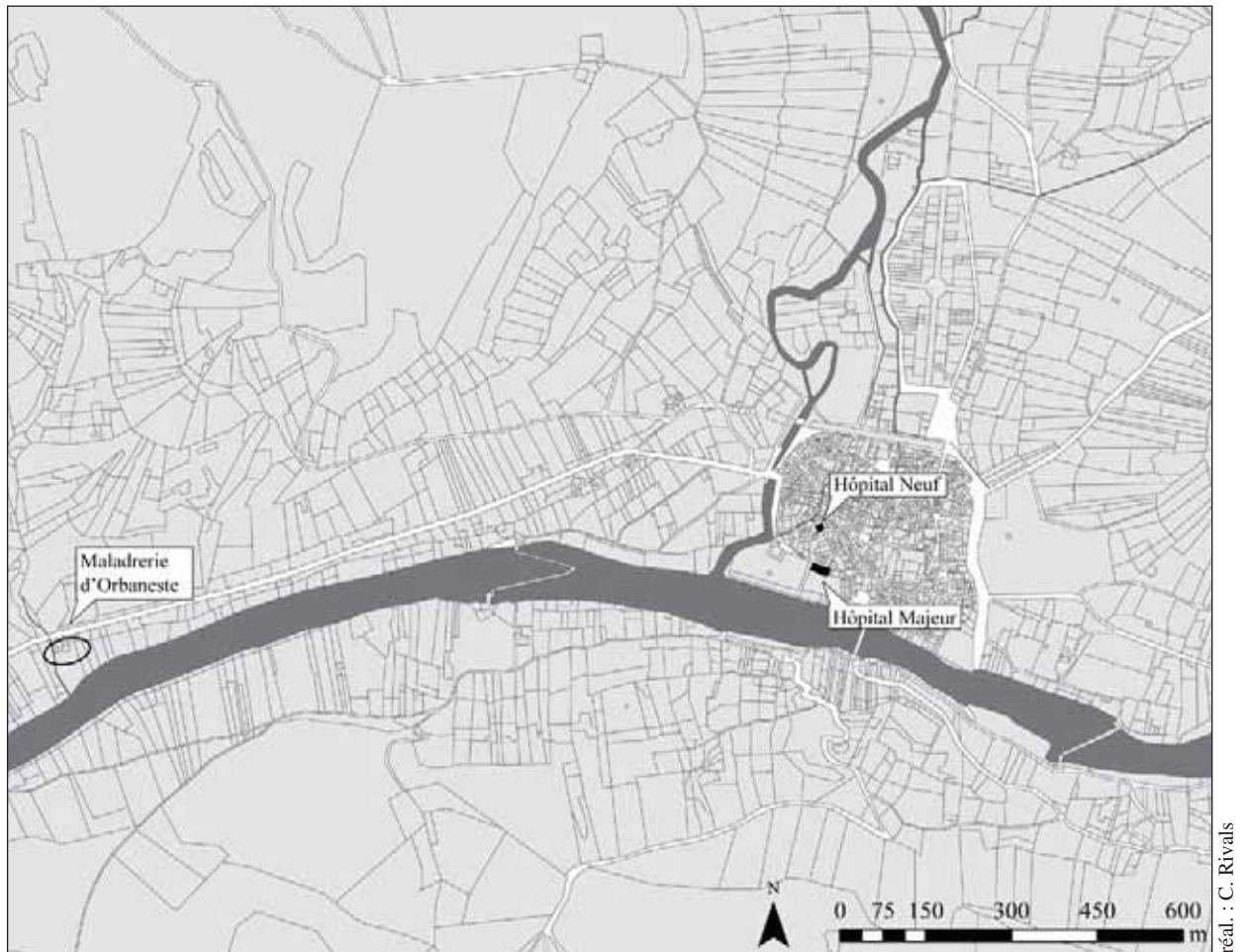
clichés : C. Rivals

Fig. 132 : vestiges de l'église du couvent des Capucins



cliché : C. Rivals

Fig. 133 : coffret en plomb découvert dans un mur du couvent des Capucins, conservé au musée privé de la grotte du Bosc



réal. : C. Rivals

Fig. 134 : localisation des infrastructures d'assistance médiévales, sur fond cadastral napoléonien



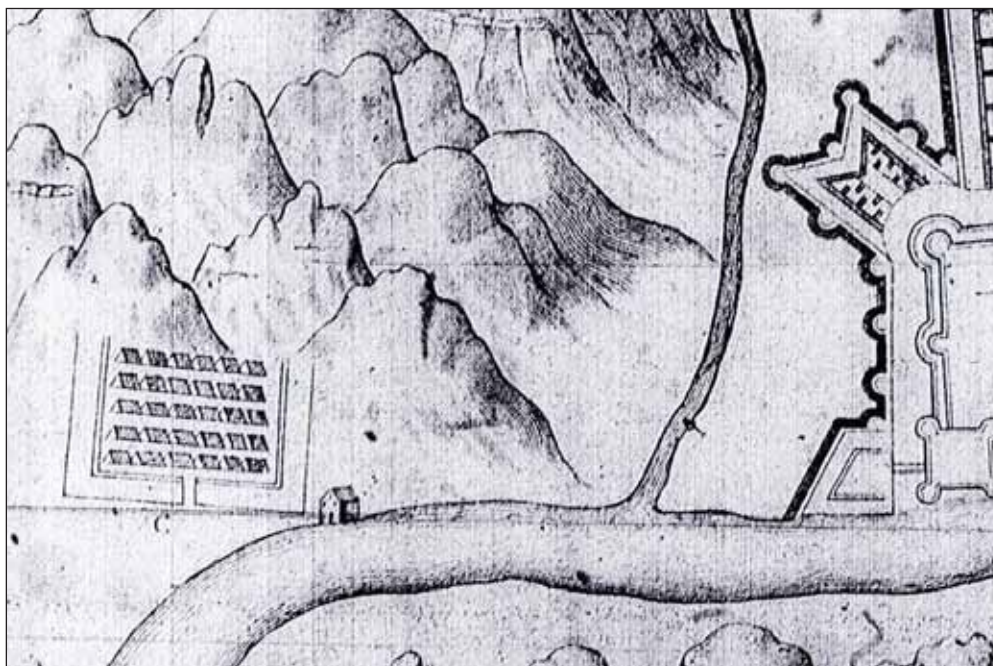


Fig. 135 : emplacement d'un camp d'infanterie à la maladrerie d'Orbaneste lors du siège de 1622

Détail du plan publié dans Louys de Chabans, *Histoire de la guerre des Huguenots faite en France, sous le règne du roy Louis XIII., avec les plans des Sièges de ville*, Paris, 1634 (cliché : BnF, Topographie française, Va 82, H158437, microforme).



Fig. 136 : mobilier archéologique découvert en prospection au lieu-dit La Maladrerie d'Orbaneste



Fig. 137 : le pont sur l'Aveyron avant 1873, vu depuis l'ouest (AC Saint-Antonin, O216)

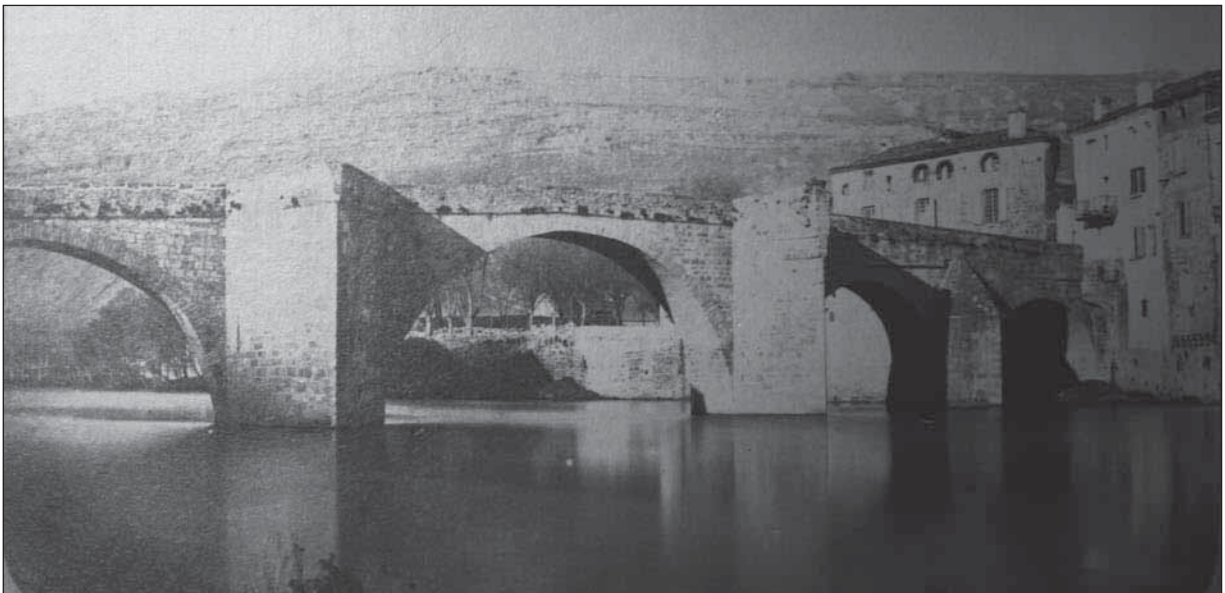


Fig. 138 : le pont sur l'Aveyron avant 1873, vu depuis l'est (AC Saint-Antonin, O216)



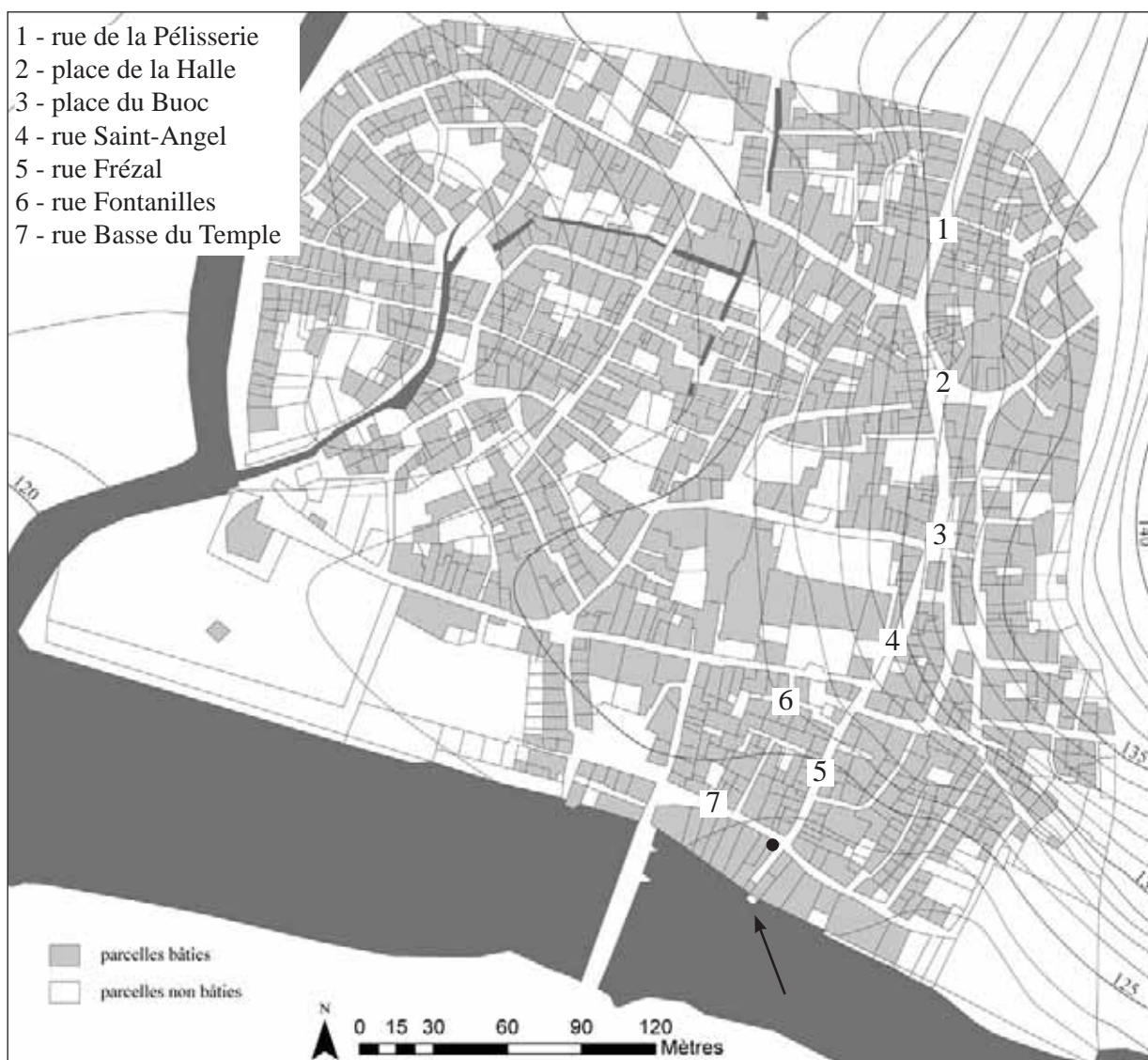
Fig. 139 : le pont sur le cadastre napoléonien (ADTG, 3P2457\_80) Le nord est vers la gauche.



Fig. 140 : détail de la gravure éditée dans Jean Valdor *et al.*, *Les triomphes de Louis le Juste... op. cit.*, Paris, 1649. Le nord est vers la gauche.







cliché : C. Rivals

Fig. 144 : axe de circulation nord-sud relié à un pont primitif ?, sur fond de cadastre napoléonien  
 La flèche indique le massif maçonné à l'est du débouché de la rue Frézal. Le cercle noir indique l'emplacement du corbeau de la figure 149.



cliché : C. Rivals

Fig. 145 : vestiges au débouché de la rue Frézal, vus depuis le roc d'Anglars au sud





cliché : C. Rivals

Fig. 146 : traces d'arrachement d'un mur sur l'Aveyron



cliché : C. Rivals

Fig. 147 : débouché de la rue Frézal sur l'Aveyron, avec traces d'arrachement à gauche et massif maçonné à droite





Fig. 148 : détail d'une carte postale ancienne des bords de l'Aveyron en amont du pont  
La flèche indique le massif maçonné à l'est du débouché de la rue Frézal.



Fig. 149 : corbeau de la façade  
latérale de la maison ID83



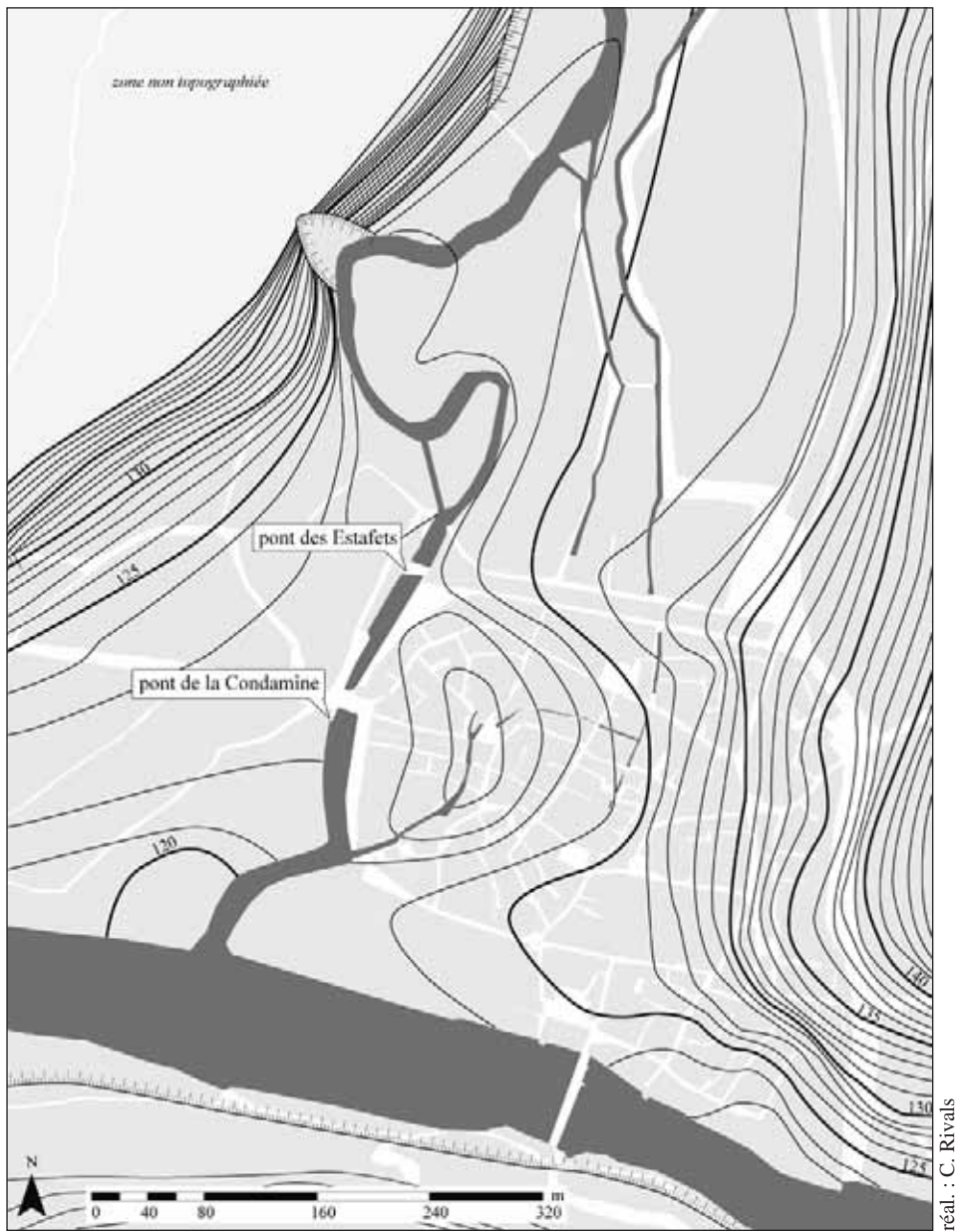


Fig. 150 : emplacement des ponts sur la Bonnette



Fig. 151 : pont des Estafets sur la Bonnette vu depuis le sud

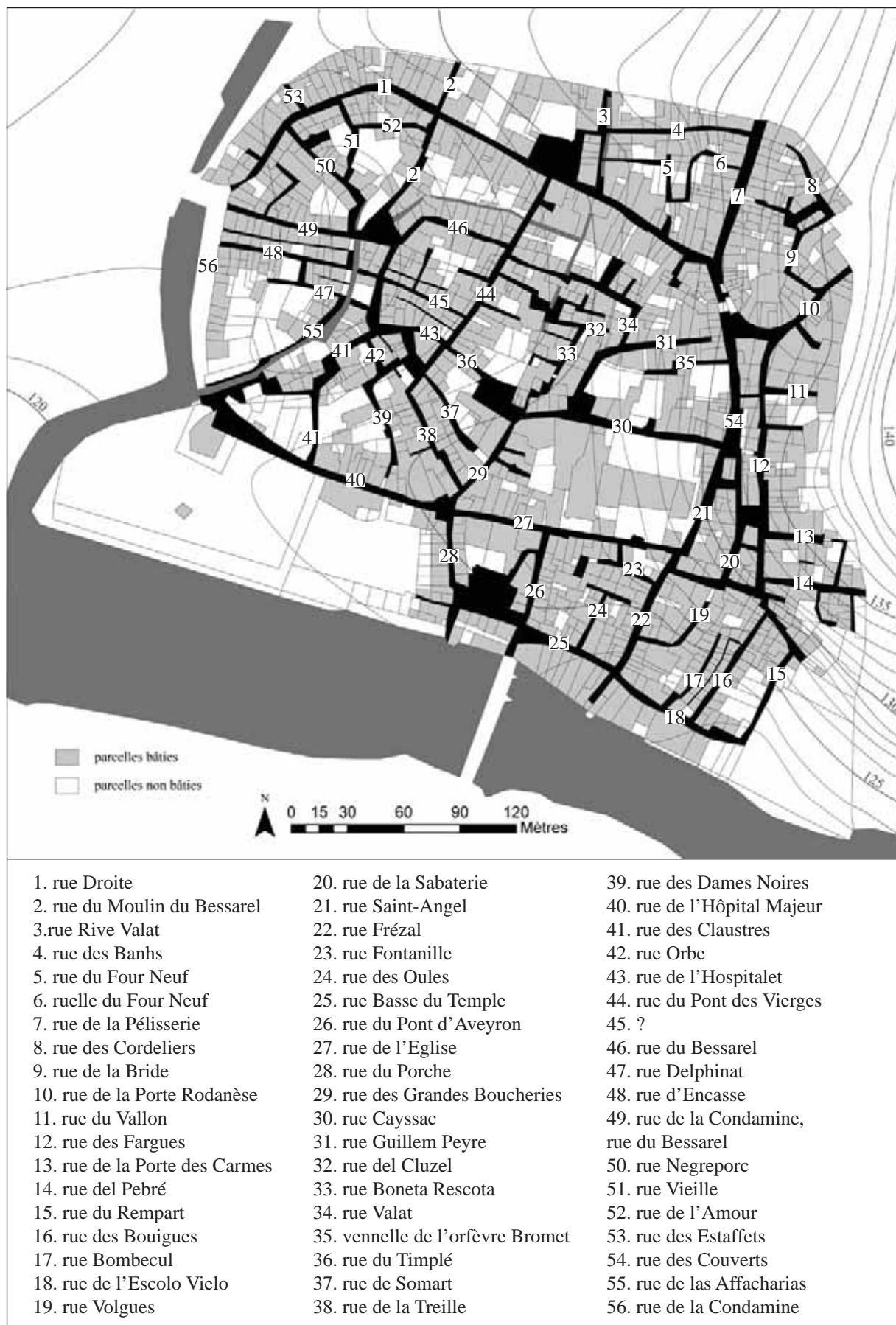


Fig. 152 : noms des rues de Saint-Antonin sur fond de cadastre napoléonien



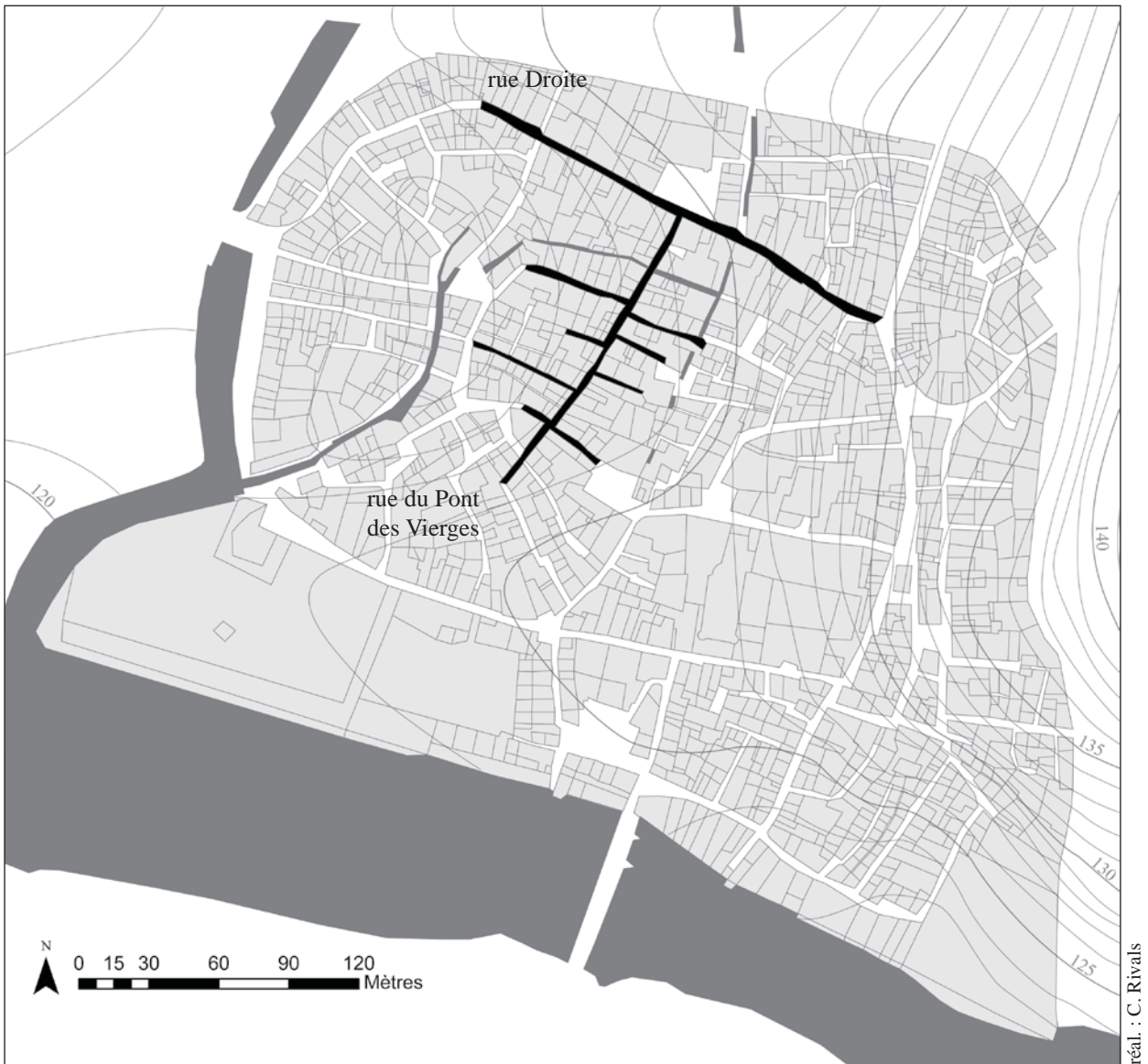


Fig. 153 : rues orthonormées sur fond de cadastre napoléonien

nom	première mention relevée	étymologie	largeur moyenne
Amour	1670 (AC Saint-Antonin, CC7, fol. 434)		2,2
Banhs	1397 (ADTG, A120, fol. 32)	bains	2,3
Basse des Carmes			3,3
Bessarel	1397 (ADTG, A120, fol. 11)	de "besa", bief de moulin	2,7
Bombecul			2,2
Bonneta Rescota	1420 (ADTG, G1003)	"la bonnette recouverte, cachée"	2,1
Bouigues	1670 (AC Saint-Antonin, CC8, fol. 50)	friche, espace non entretenu	2,6
Bride	1397 (ADTG, A120, fol. 41)	petite catapulte	2,2
Cayssac	1397 (ADTG, A120, fol. 40)	famille saint-antoninoise mentionnée à partir du milieu du XIV <sup>e</sup> s.	3,2
Claustres	1500 (AC Saint-Antonin, CC2, fol. 65v)	monastère	3,3
Cluzel			2,1
Condamine	1397 (ADTG, A120, fol. 26)	terre affranchie de charges	2,8
Cordeliers	1670 (AC Saint-Antonin, CC8, fol. 254)		2,3
Couverts	1397 (ADTG, A120, fol. 45)		3,3
Dames Noires			2,3
Delphinat	1670 (AC Saint-Antonin, CC7, fol. 316)		2,7
Droite	1397 (ADTG, A120, fol. 40)	directe	3,9
Eglise	1670 (AC Saint-Antonin, CC8, fol. 118)		3,2
En Casse	1668 (ADTG, C371, fol. 123)		2,5
Escolo Vielo	1670 (AC Saint-Antonin, CC7, fol. 141)	ancienne école, celle du couvent des Carmes au sud-est	3,4
Estaffets	1397 (ADTG, A120, fol. 18)	?	2,2
Fargues	1363 (AC Saint-Antonin, JJ11, fol. 123)	forges	2,9
Fontanilles	1397 (ADTG, A120, fol. 12)	famille saint-antoninoise (?), mentionnée à partir du milieu du XIII <sup>e</sup> s.	2,3
Four Neuf	1397 (ADTG, A120, fol. 17)		2
Frézal	1397 (ADTG, A120, fol. 43)	famille saint-antoninoise (?), mentionnée à partir du milieu du XIV <sup>e</sup> s.	3,8
Grandes Boucheries	1500 (AC Saint-Antonin, CC2, fol. 24)		2,9
Guillem Peyre	1305 (ADTG, G906)	bourgeois saint-antoninois, mentionné à partir du milieu du XIV <sup>e</sup> s.	3,3
Hôpital Majeur	1397 (ADTG, A120, fol. 9)		3,47
Hospitalet	1670 (AC Saint-Antonin, CC7, fol. 488)		3,1

Fig. 154 : tableau synthétique des rues de Saint-Antonin, classées par ordre alphabétique



nom	première mention relevée	étymologie	largeur moyenne
Jogaria	1393 (AC, Saint-Antonin, JJ11, fol. 142v)		/
Mazel Viel	1397 (ADTG, A120, fol. 7)	ancienne boucherie	/
Mazerac	1397 (ADTG, A120, fol. 48)	?	/
Moulin du Bessarel	1538 (ADTG, C369, fol. 177)		2,5
Negreporc	1500 (AC Saint-Antonin, CC2, fol. 331)	?	2,8
Orbe	1397 (ADTG, A120, fol. 41)	rue borne, cul-de-sac	2,2
Orfèvre Bro-met			2,2
Oules	1670 (AC Saint-Antonin, CC7, fol. 149)	de "marmite"	1,9
Pebré	1500 (AC Saint-Antonin, CC3, fol. 26)		3,2
Pélisserie	1397 (ADTG, A120, fol.52)	fabrication et vente de fourrures	5,5
Pont d'Aveyron	1397 (ADTG, A120, fol. 29)		3,3
Pont des Vierges	1459 (ADTG, A121, fol. 54)	mauvaise traduction de "carriera del Pont de las Riejas" qui signifie "rue du Pont des Grilles"	2,8
Porche	1670 (AC Saint-Antonin, CC7, fol. 420)		2,6
Porte des Carmes	1500 (AC Saint-Antonin, CC3, fol. 24)		3,5
Porte Rodanèse	1397 (ADTG, A120, fol. 41)		3,2
Remparts	1500 (AC Saint-Antonin, CC2, fol. 104)		2,7
Rive Valat	1459 (ADTG, A121, fol. 57)	rue qui borde un fossé, ici le canal	2,9
Sabaterie	1312 (AC Saint-Antonin, JJ11, fol. 60v)	fabrication et vente de chaussures	3,9
Saint-Angel	1320 (AC Saint-Antonin, JJ11, fol. 90v)		3
Somart	1450 (AC Saint-Antonin, JJ11, fol. 156v)		2,6
Timplé	1397 (ADTG, A120, fol. 48)	temple	4,2
nom			
Treille	1500 (AC Saint-Antonin, CC2, fol. 169)		2,5
Vallon	1814 (ADTG, 3P1662)	fossé	2,7
Volgues			2,2

Fig. 154 : suite du tableau synthétique des rues de Saint-Antonin, classées par ordre alphabétique

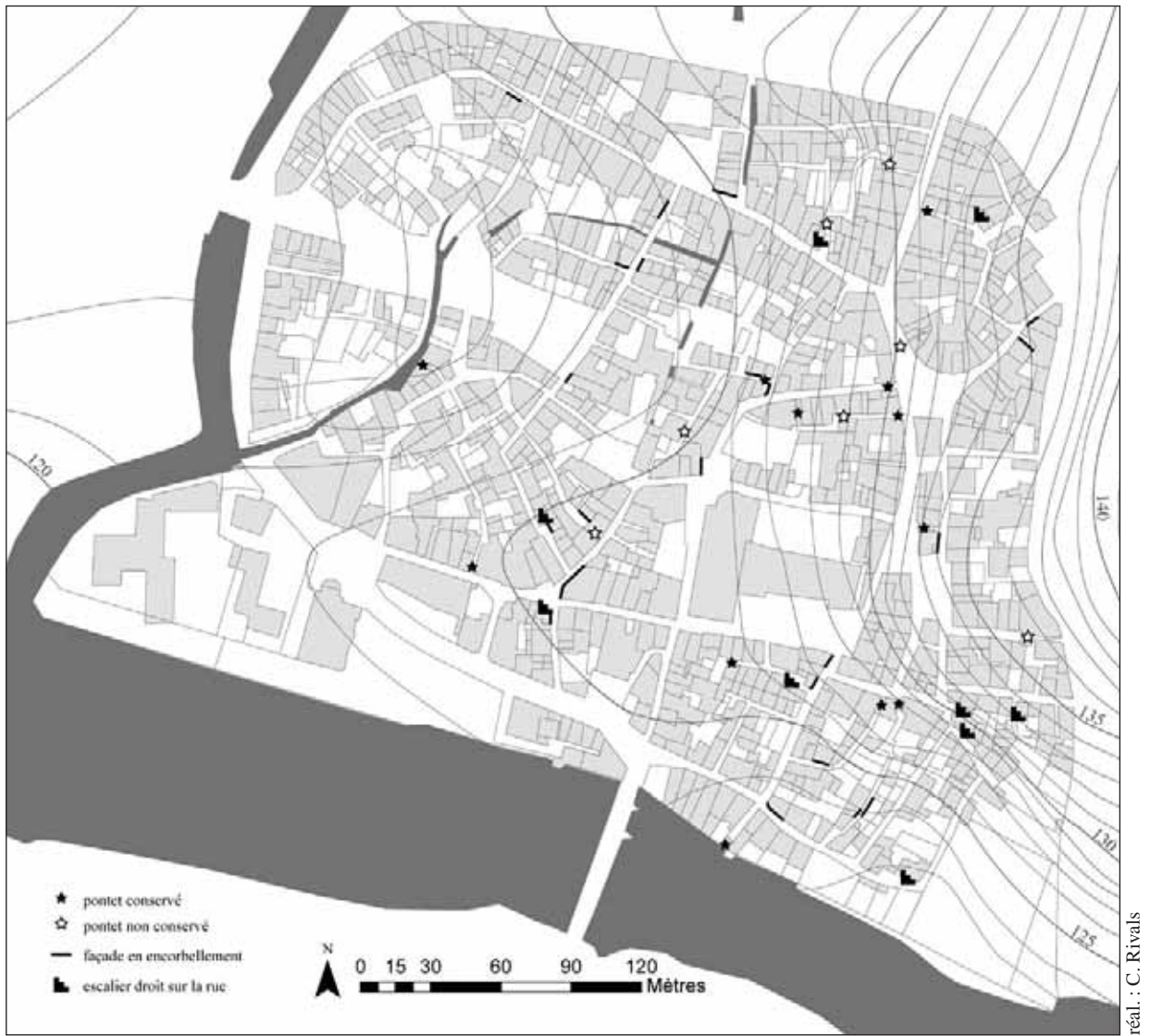


Fig. 155 : empiètements du domaine privé sur l'espace public, sur fond de cadastre actuel





cliché : C. Rivals

Fig. 156 : exemple de rue étroite, rue Guillem Peyre vue depuis l'ouest



collection personnelle

Fig. 157 : maisons en encorbellement de la rue Bombecul sur une carte postale du début du XX<sup>e</sup> siècle



cliché : C. Rivals

Fig. 158 : escalier empiétant sur l'espace public, place de la Jogaria



cliché : C. Rivals

Fig. 159 : pontet au-dessus de la rue Bombecul

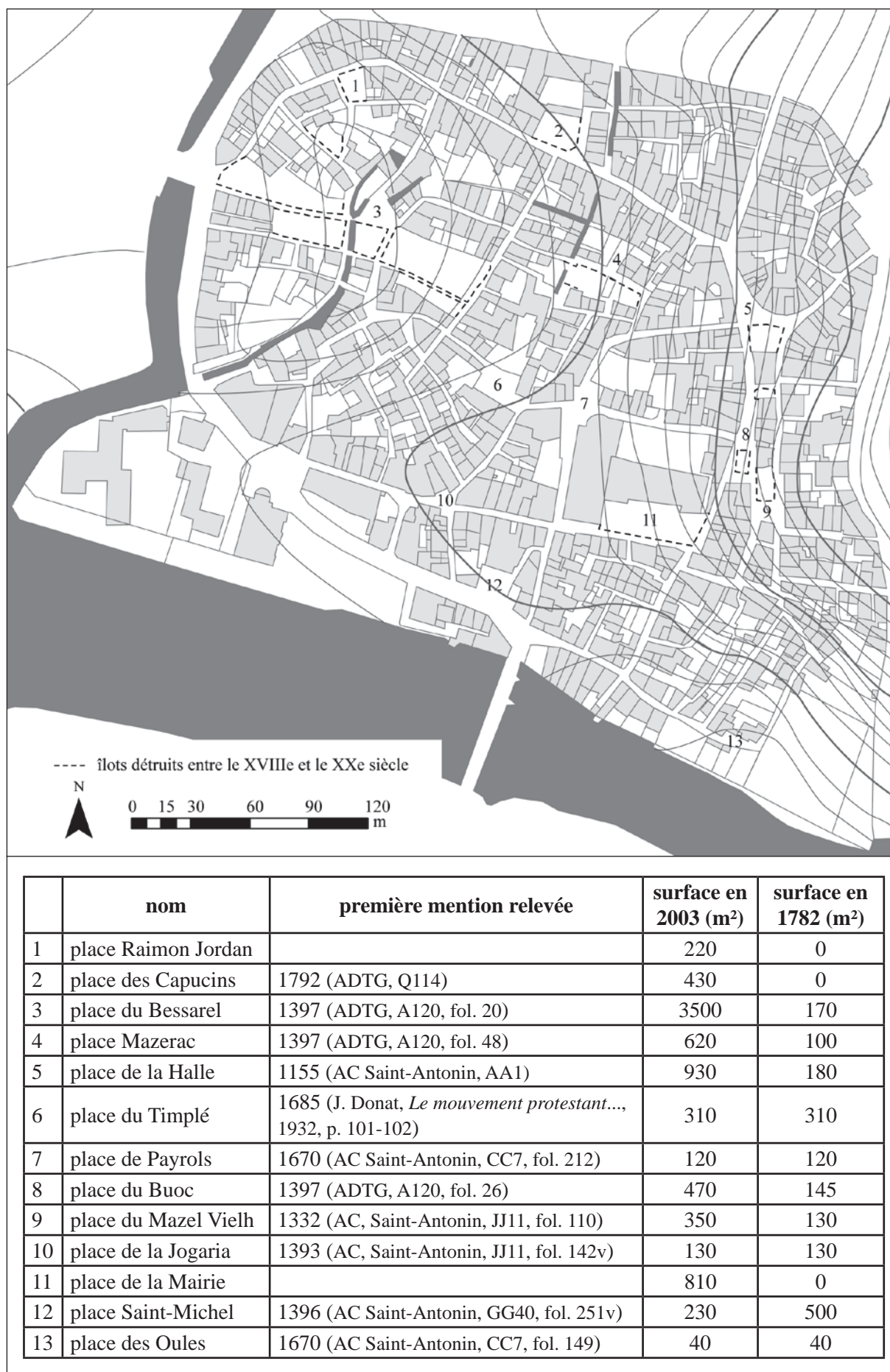


Fig. 160 : localisation des places *intra-muros* de Saint-Antonin



Fig. 161 : carte postale du début du XX<sup>e</sup> siècle représentant la place Mazerac, avant la destruction de l'îlot bâti situé à droite sur l'image



collection P. Barthelet



cliché : C. Rivals

Fig. 162 : la place Mazerac aujourd'hui  
Le rectangle rouge correspond à l'emprise de la carte postale ci-dessus.



réal. : C. Rivals

Fig. 163 : le parcellaire du moulin A d'après le cadastre actuel



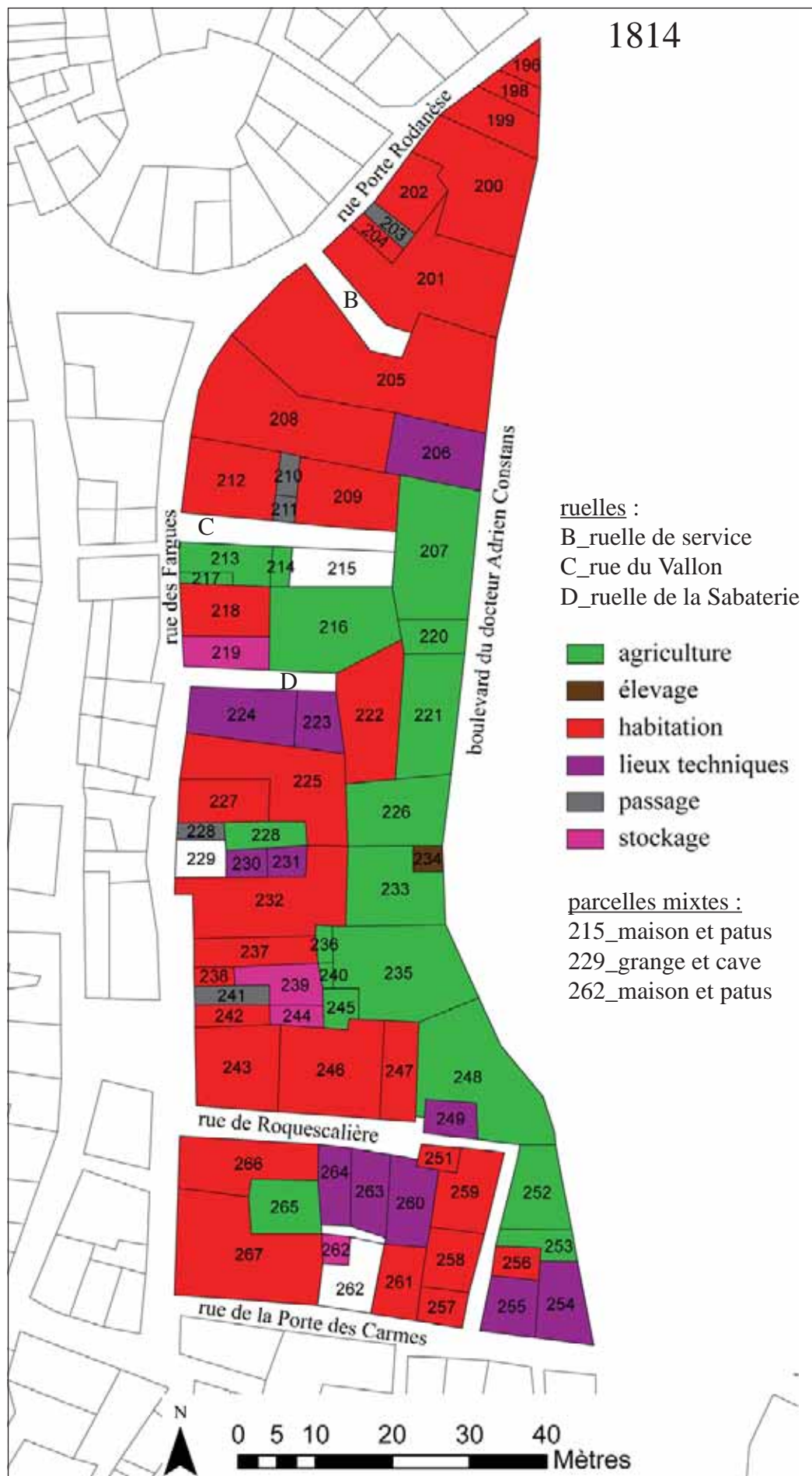
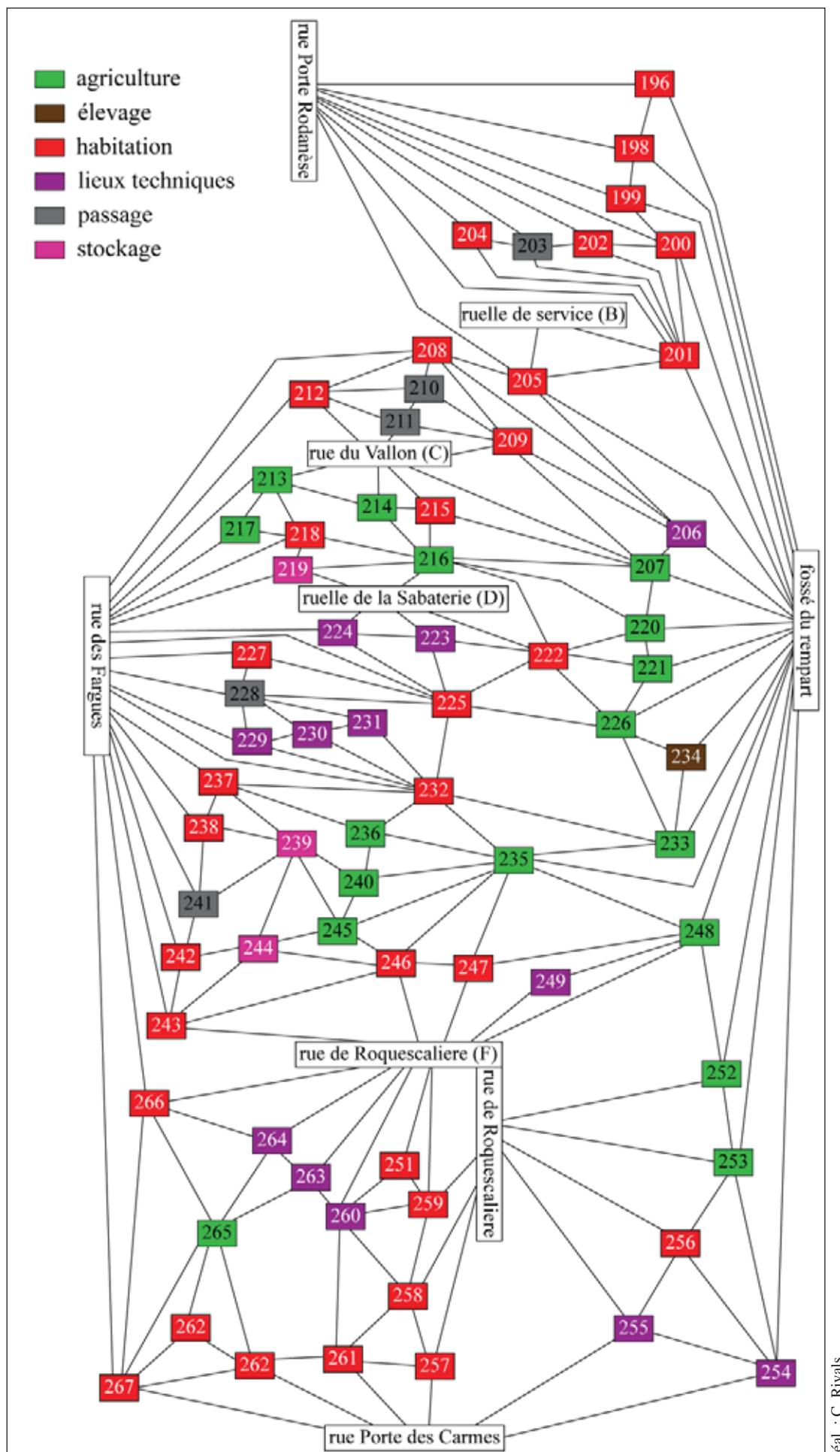


Fig. 164 : le moulin A d'après le cadastre napoléonien



réal. : C. Rivals

Fig. 165 : graphe du moulin A d'après le cadastre napoléonien de 1814



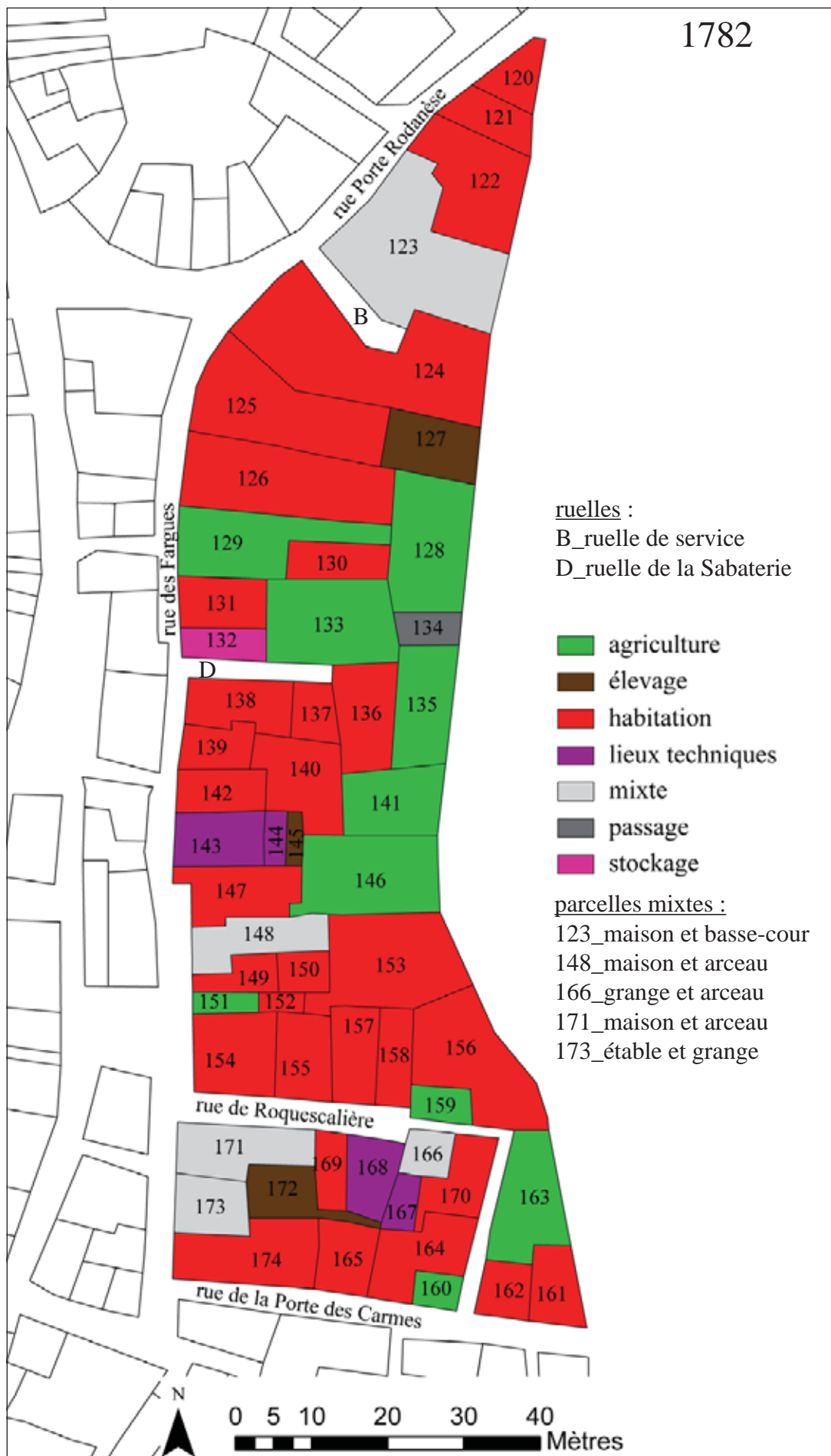
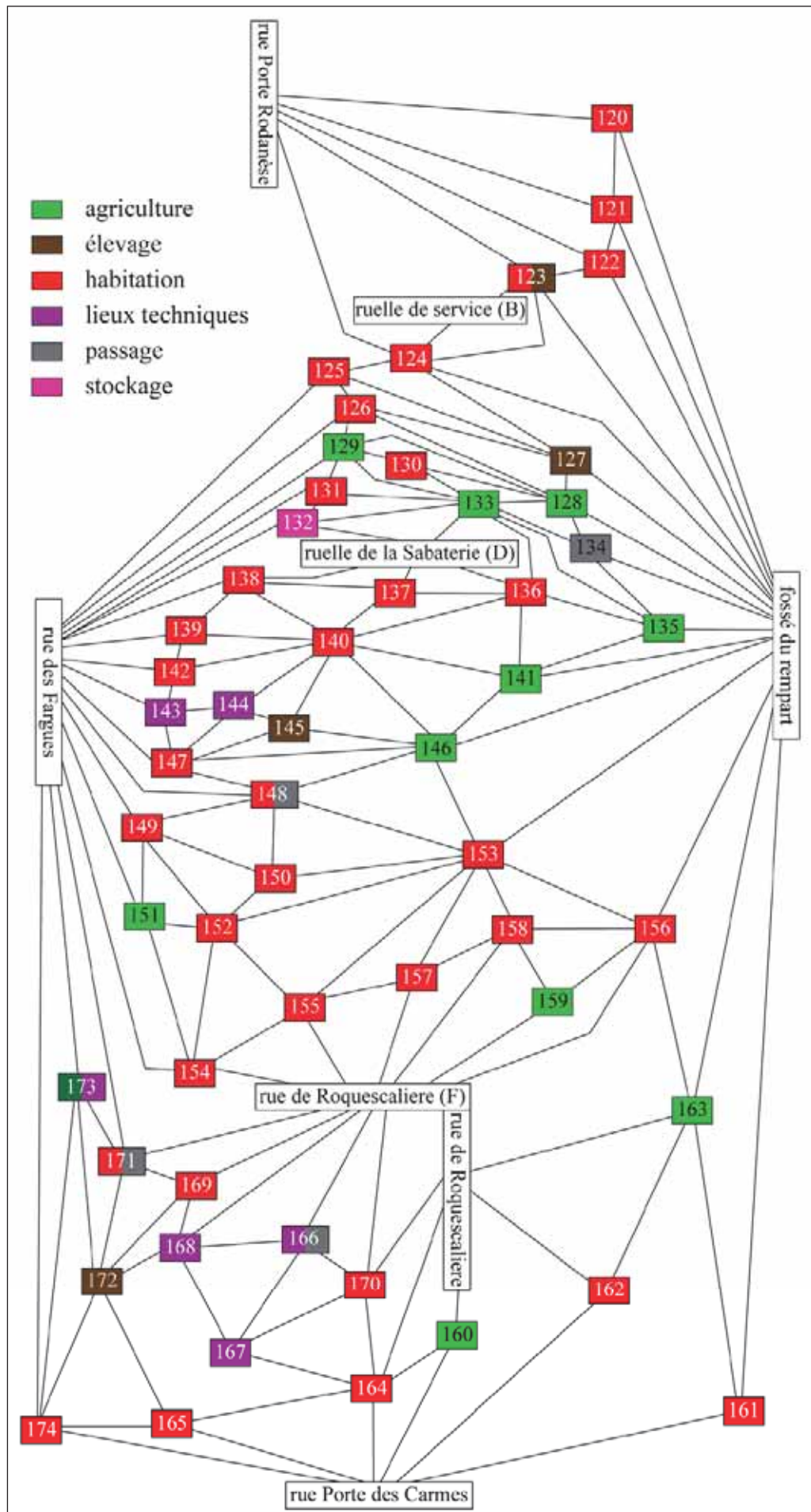


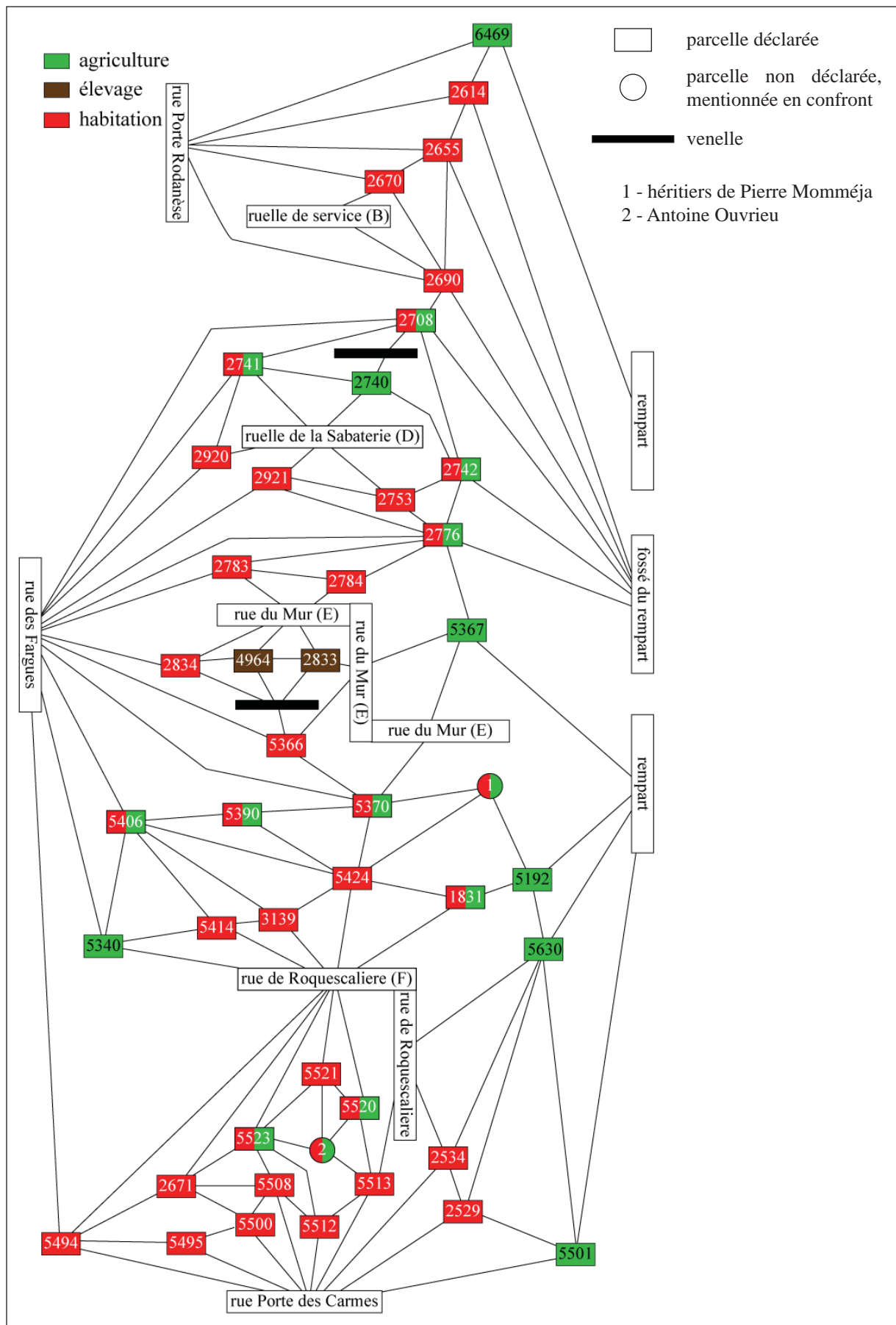
Fig. 166 : le moulin A d'après le plan de 1782



réal. : C. Rivals

Fig. 167 : graphe du moulin A d'après le plan cadastral de 1782





réal. : C. Rivals

Fig. 168 : graphe du moulon A d'après le compoix de 1670

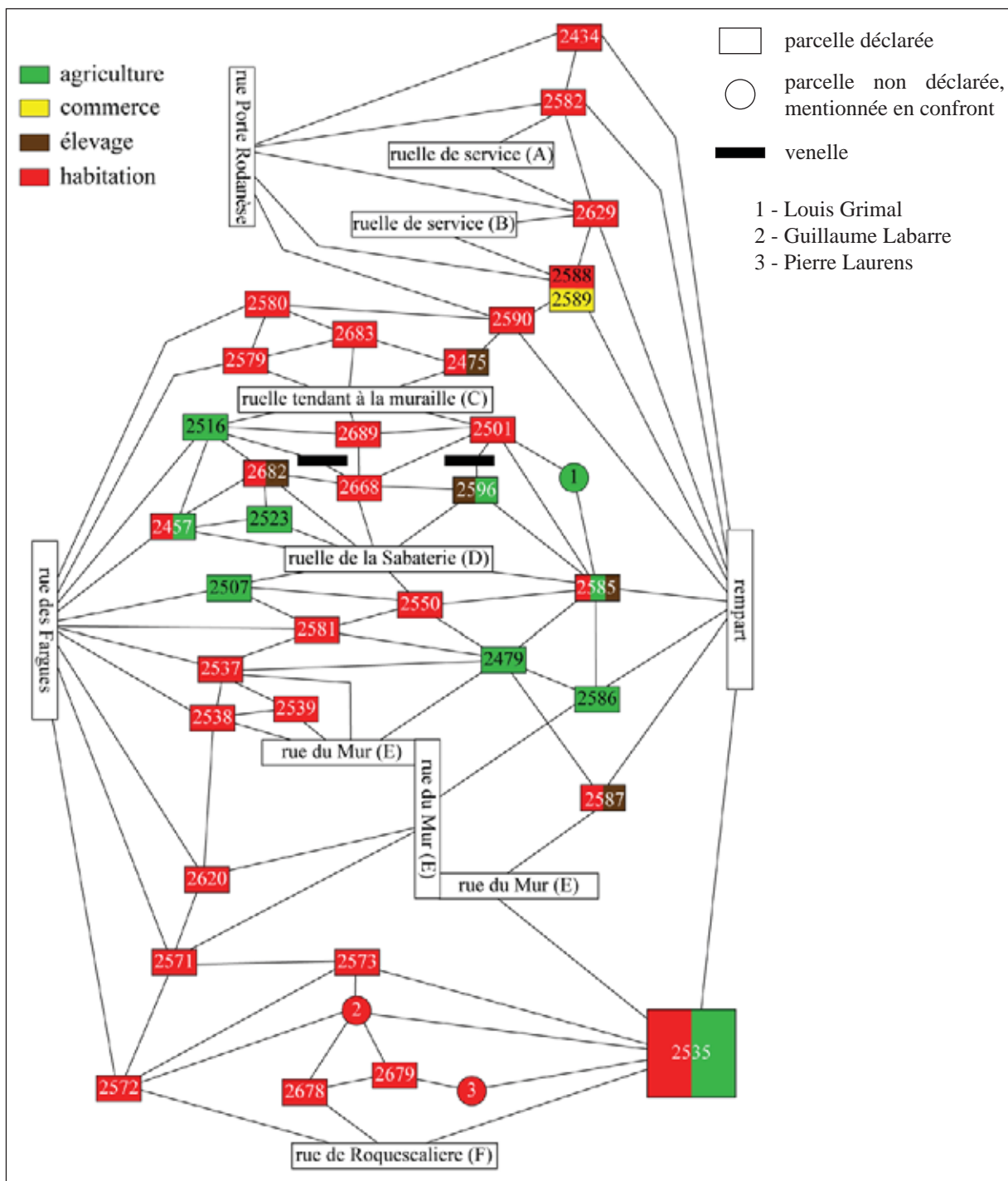
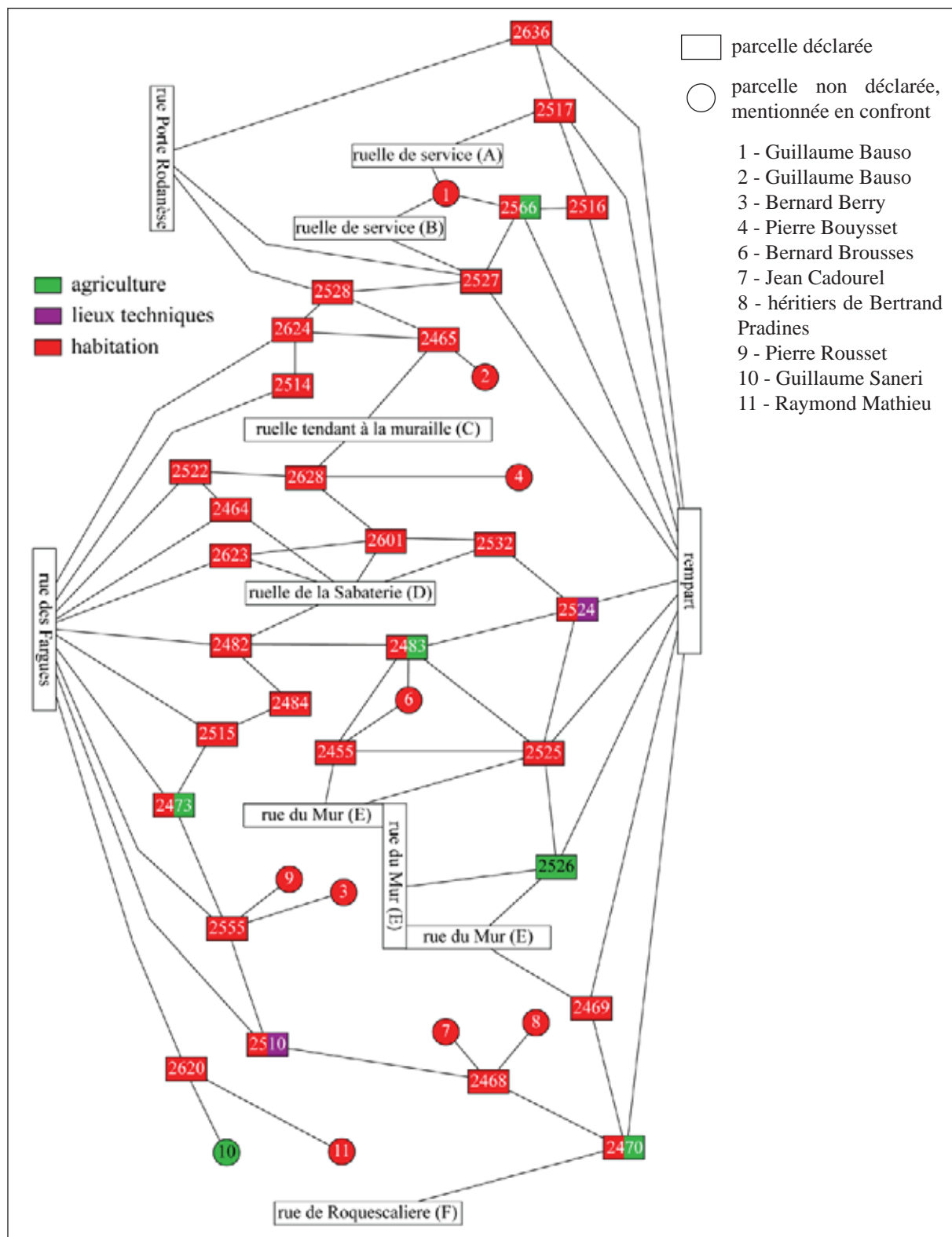


Fig. 169 : graphe du moulin A d'après le terrier de 1609

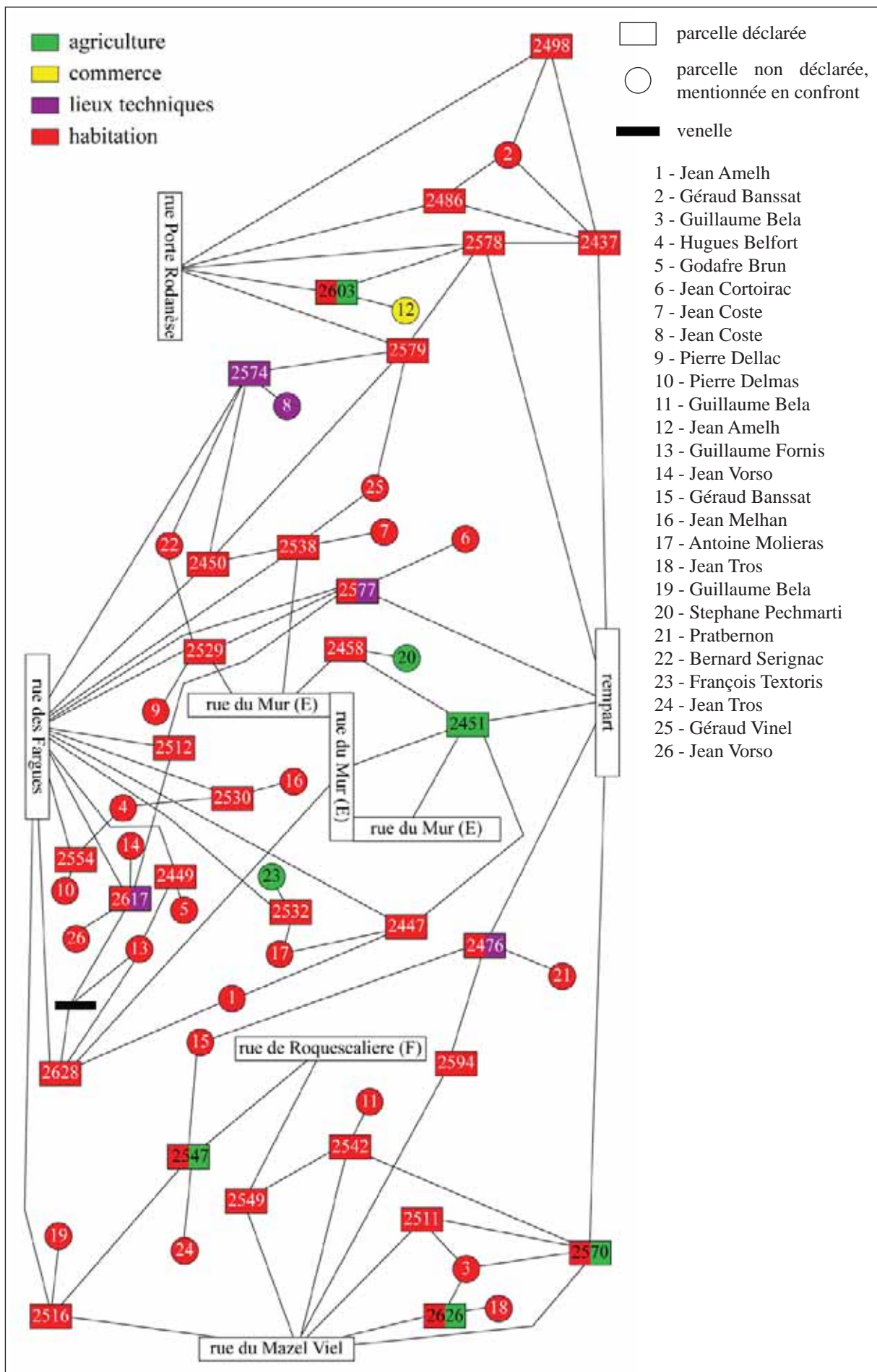
réal. : C. Rivals





réal. : C. Rivals

Fig. 170 : graphe du moulon A d'après le terrier de 1459



réal. : C. Rivals

Fig. 171 : graphe du moulon A d'après le terrier de 1397



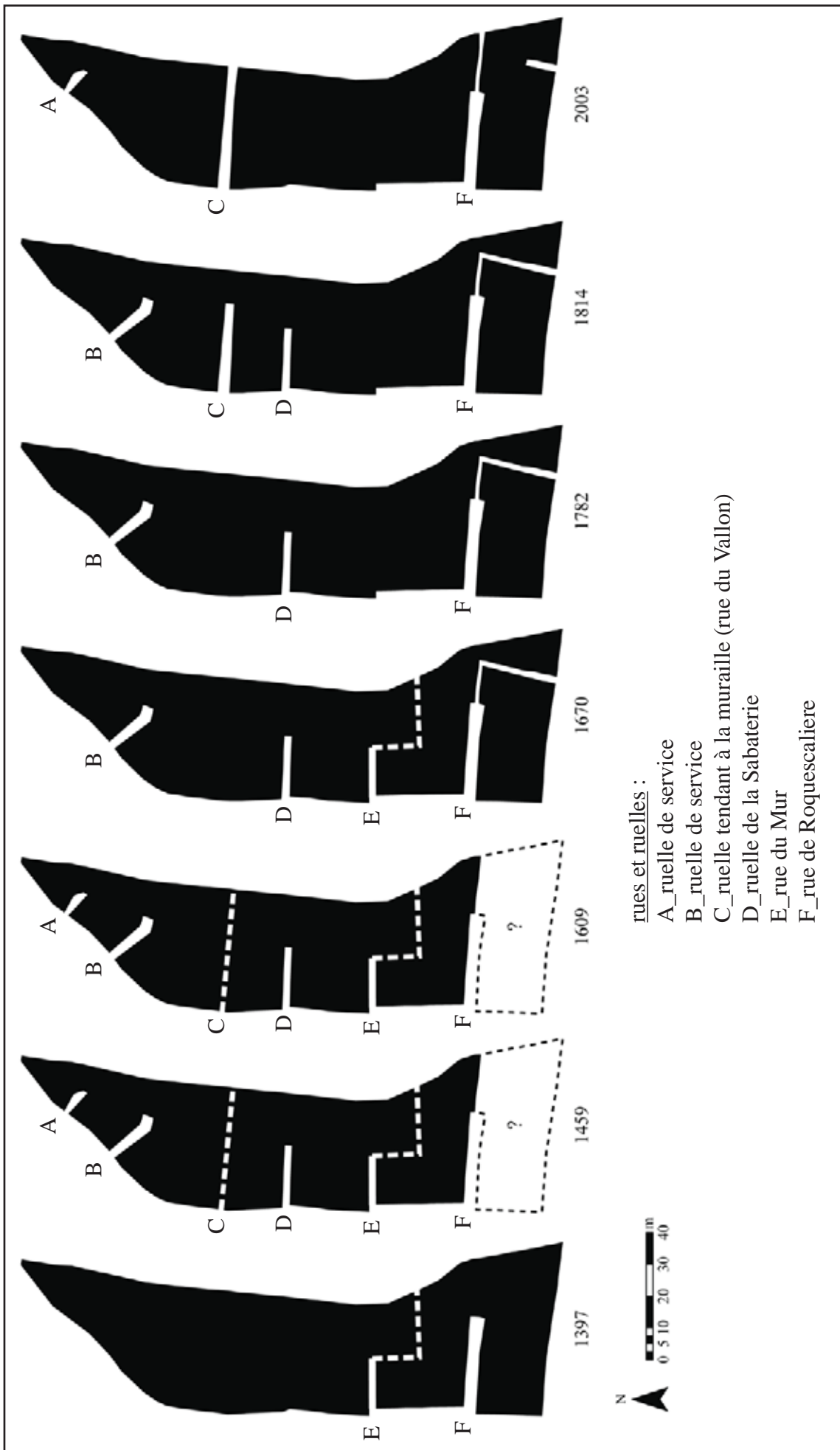


Fig. 172 : évolution des accès du moulin A à partir de la modélisation des registres fiscaux



cliché : C. Rivals

Fig. 173 : ruelle de service A, vue depuis l'ouest



cliché : C. Rivals

Fig. 174 : ruelle de service B, vue depuis l'ouest



cliché : C. Rivals

Fig. 175 : rue du Mur (E), vue depuis l'est à l'intérieur de l'îlot



cliché : C. Rivals

Fig. 176 : rue de Roquescalière (F), vue depuis l'ouest





Fig. 177 : ruelle de la Sabaterie (D), vue depuis l'ouest

cliché : C. Rivals



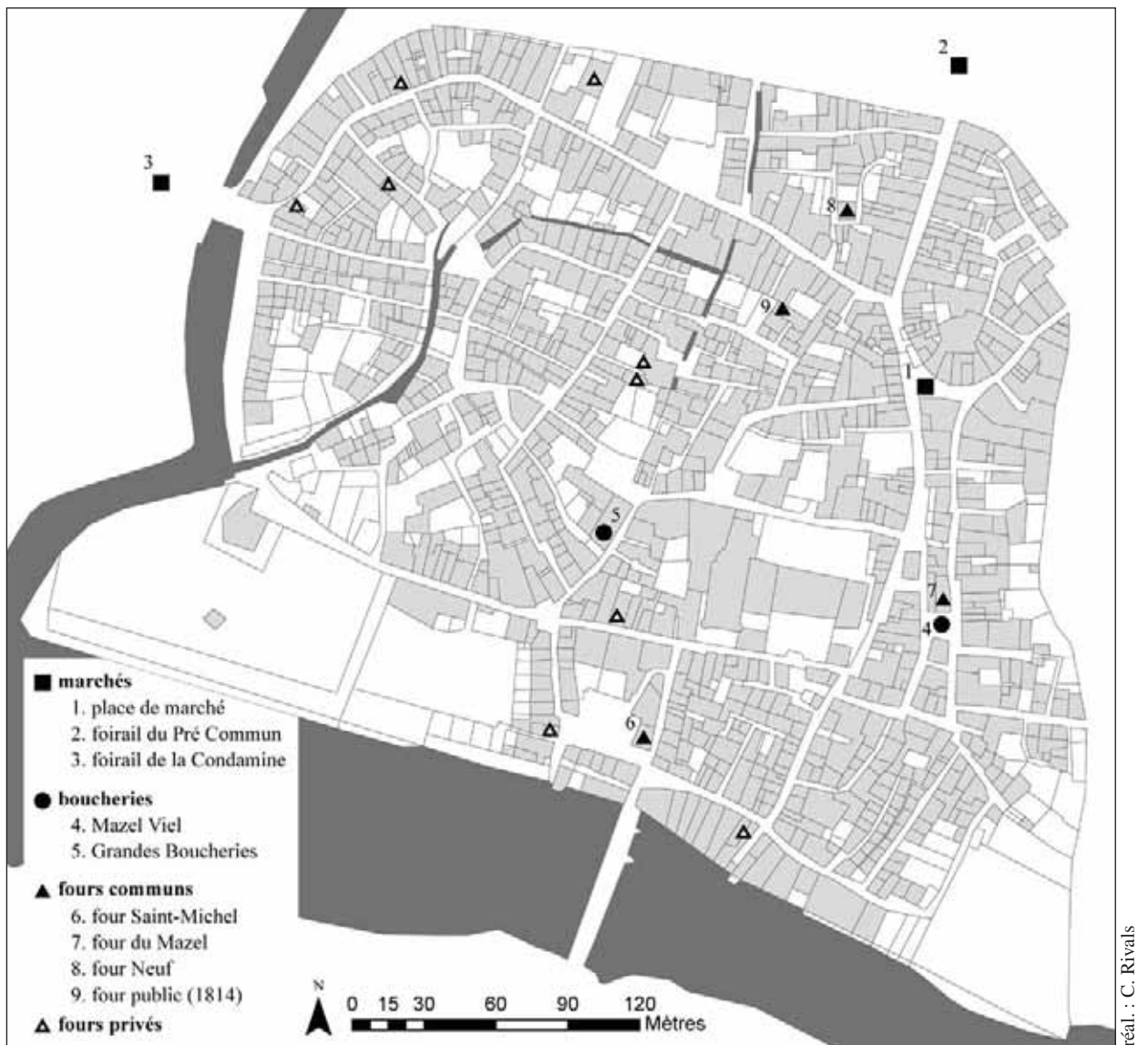
Fig. 178 : côté sud de la ruelle de la Sabaterie (D)

cliché : C. Rivals



Fig. 179 : côté nord de la ruelle de la Sabaterie (D)

cliché : C. Rivals



réal. : C. Rivals

Fig. 180 : localisation des espaces économiques (marchés, boucheries, fours), sur fond de cadastre napoléonien

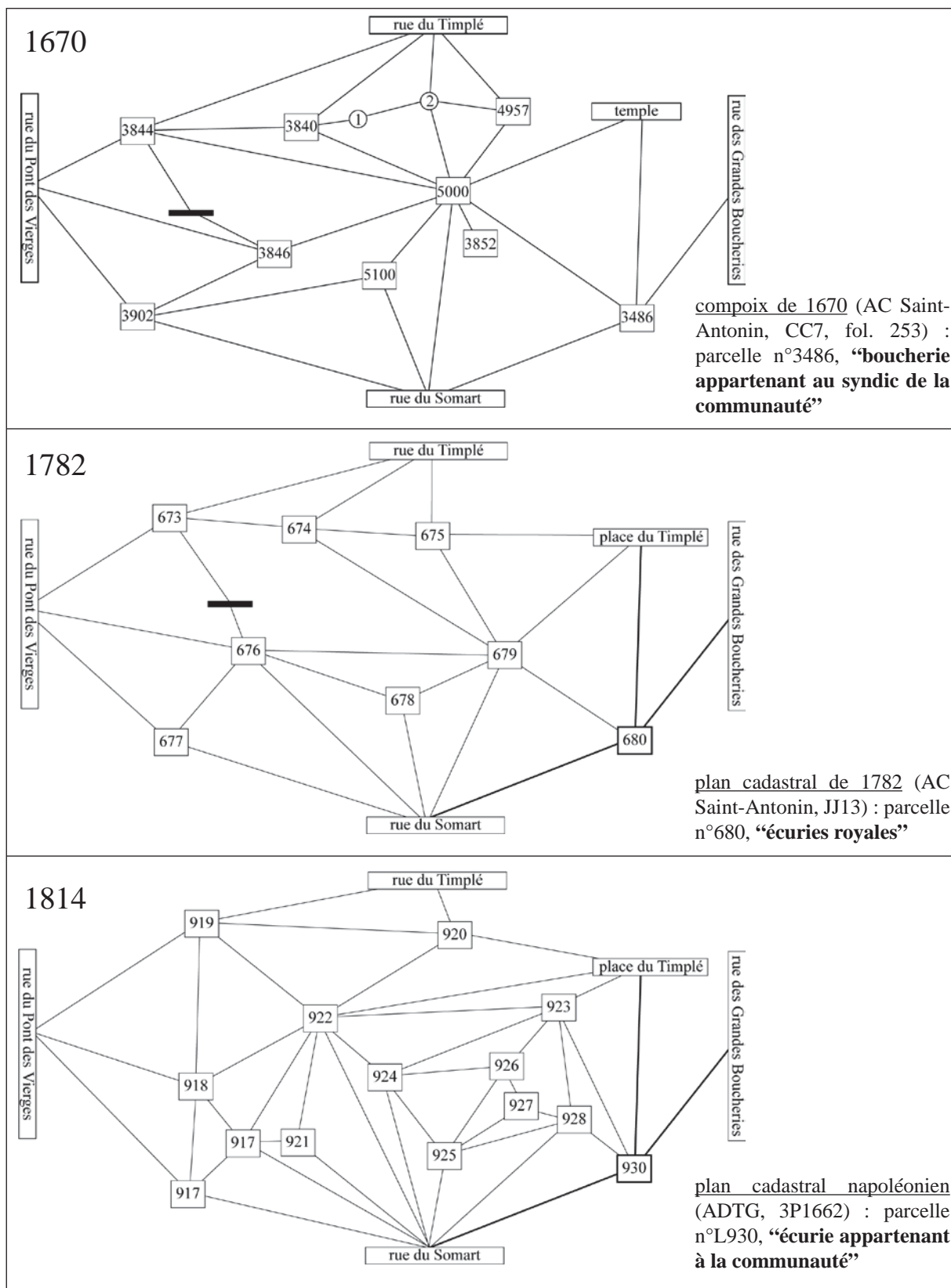
Les fours privés sont connus d'après les plans parcellaires de 1782, 1814 et les observations de terrain.





cliché : C. Rivals

Fig. 181 : couverts sur la place du Buoc



réal. : C. Rivals

Fig. 182 : repérage de la parcelle correspondant à la boucherie en 1670, puis aux écuries en 1782 et 1814 sur les graphes issus du compoix de 1670 et des plans de 1782 et 1814  
 La parcelle en question est positionnée à l’angle des rues de Somart et des Grandes Boucheries, elle est donc repérable sur les graphes par un chemin de longueur 2 entre les sommets qui représentent ces deux rues perpendiculaires



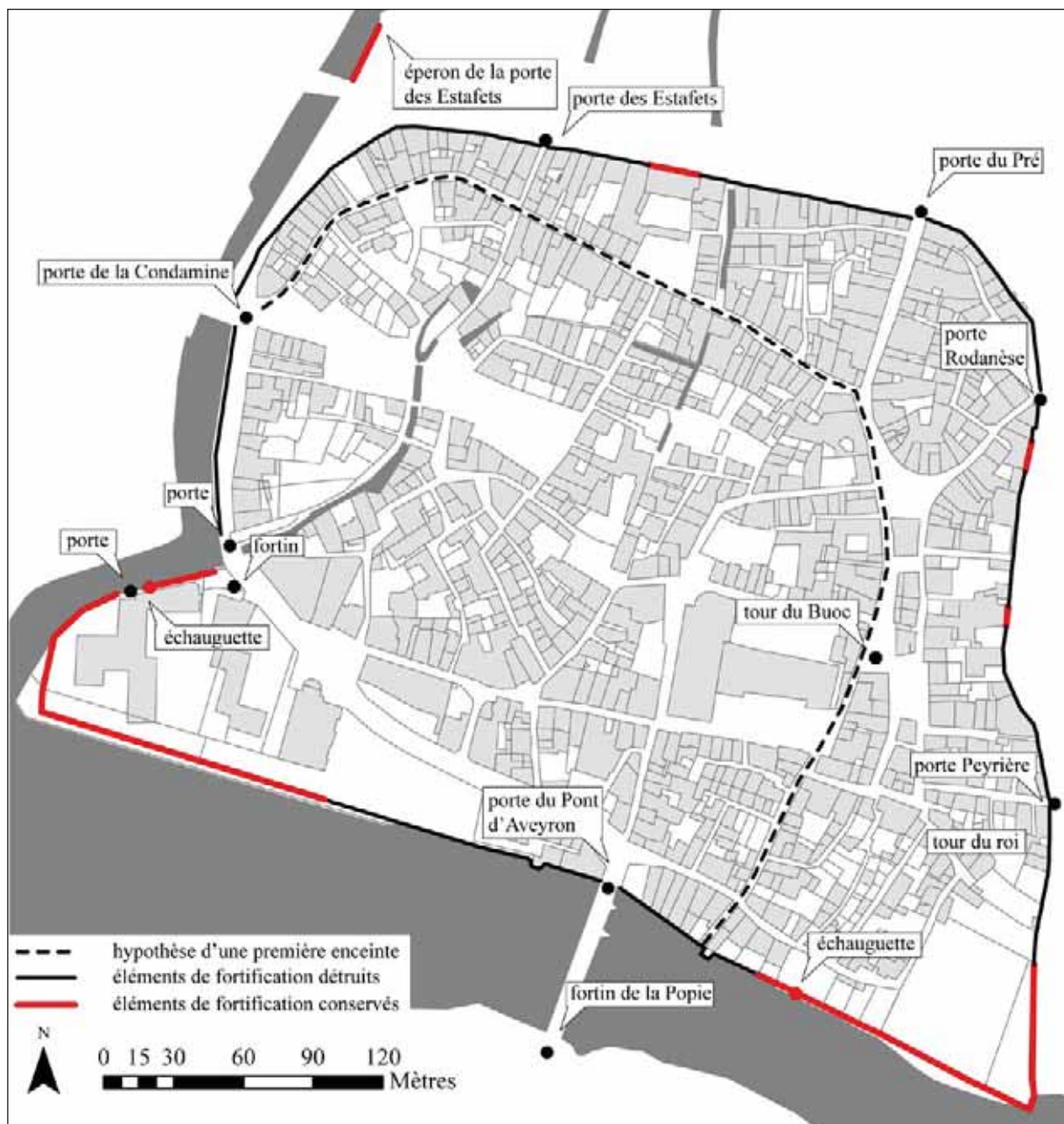


Fig. 183 : les fortifications de Saint-Antonin

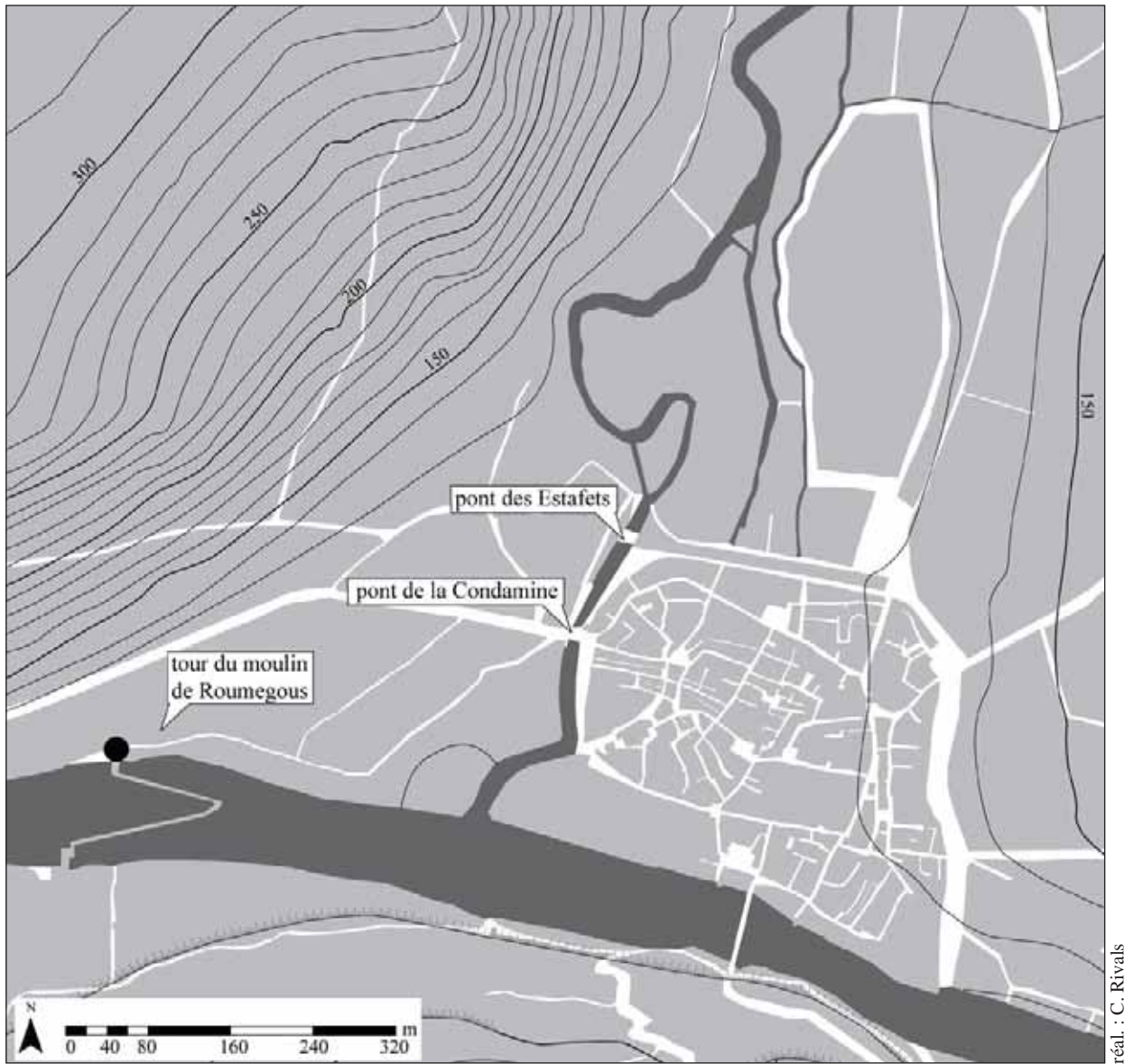


Fig. 184 : emplacement de la tour du moulin de Roumegous, démantelée au milieu du XV<sup>e</sup> siècle





réal. : C. Rivals

Fig. 185 : vestiges des fortifications sur le mur oriental de la maison ID54

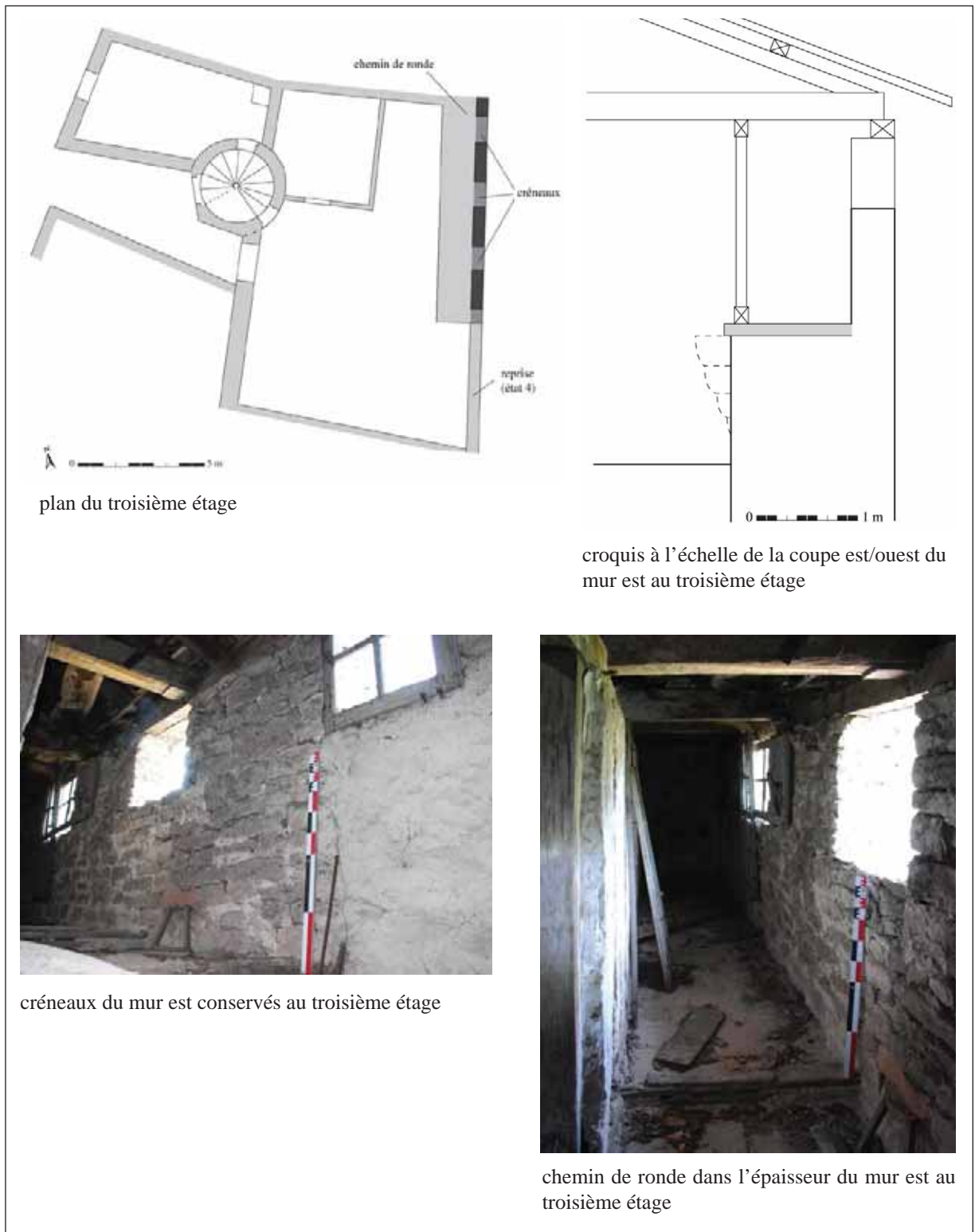


Fig. 186 : chemin de ronde de la maison ID54





clichés : C. Rivals

Fig. 187 : parement interne du rempart visible à l'intérieur du rez-de-chaussée de la maison ID237



cliché : C. Rivals

Fig. 188 : vue cavalière de Saint-Antonin sur le plan du territoire de l'Olmét, 1601 (AC Saint-Antonin, FF15)



cliché : C. Rivals

Fig. 189 : mur en grand appareil, bordant la Bonnette au nord-ouest de la ville. Il pourrait s'agir d'un vestige de l'éperon de la porte des Estafets.





cliché : C. Rivals

Fig. 190 : vestige d'une échauguette sur une portion de rempart conservée au sud-est

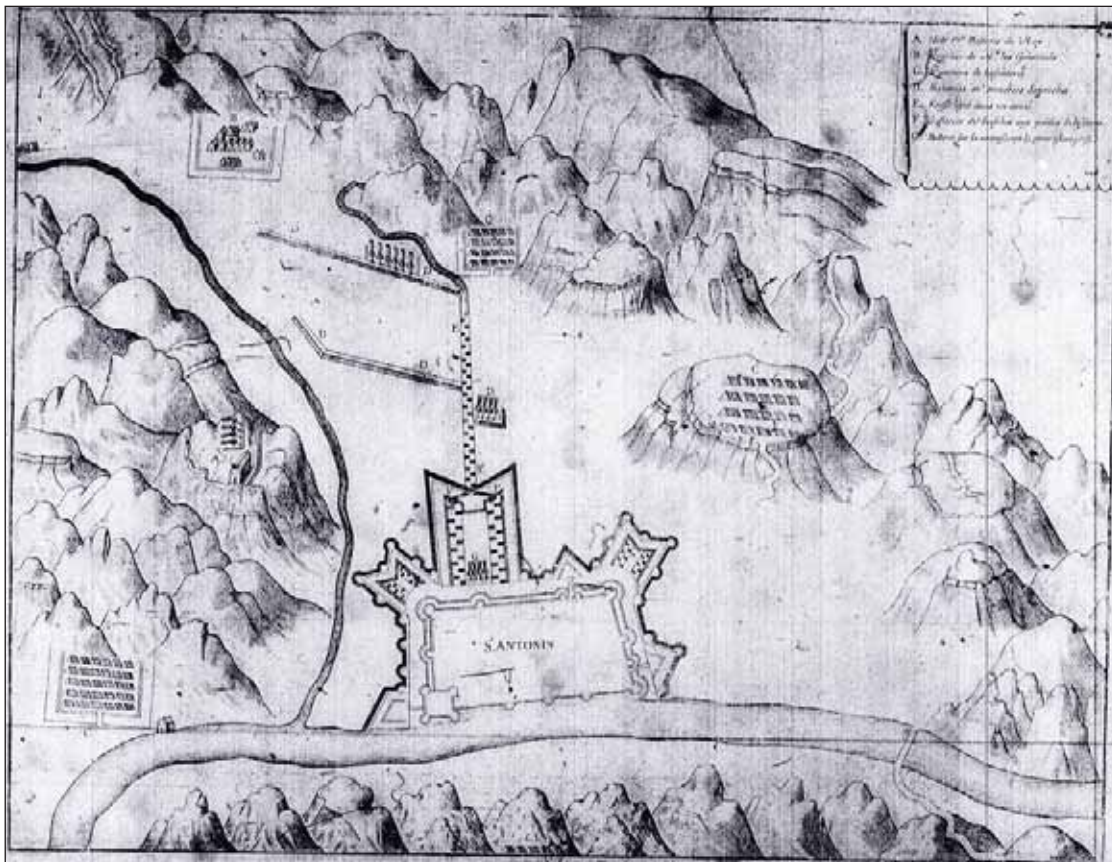
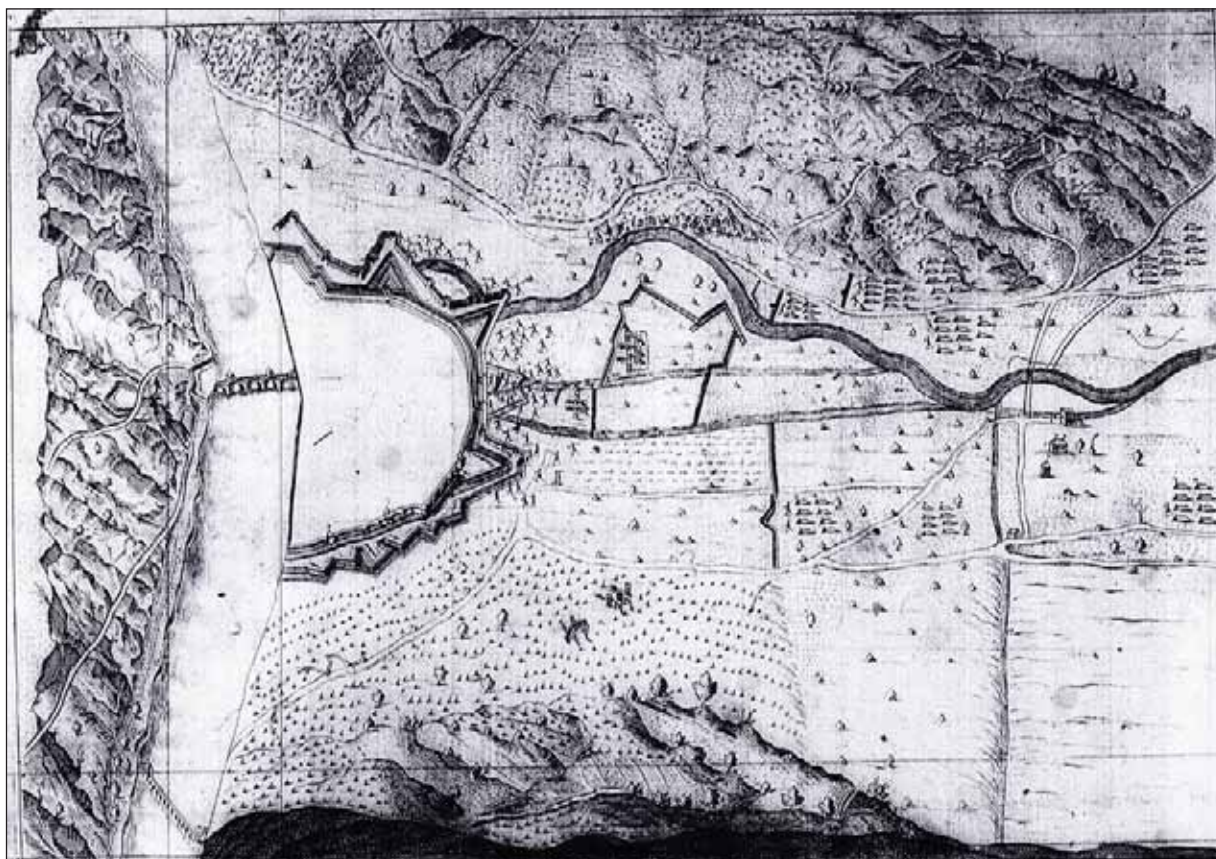


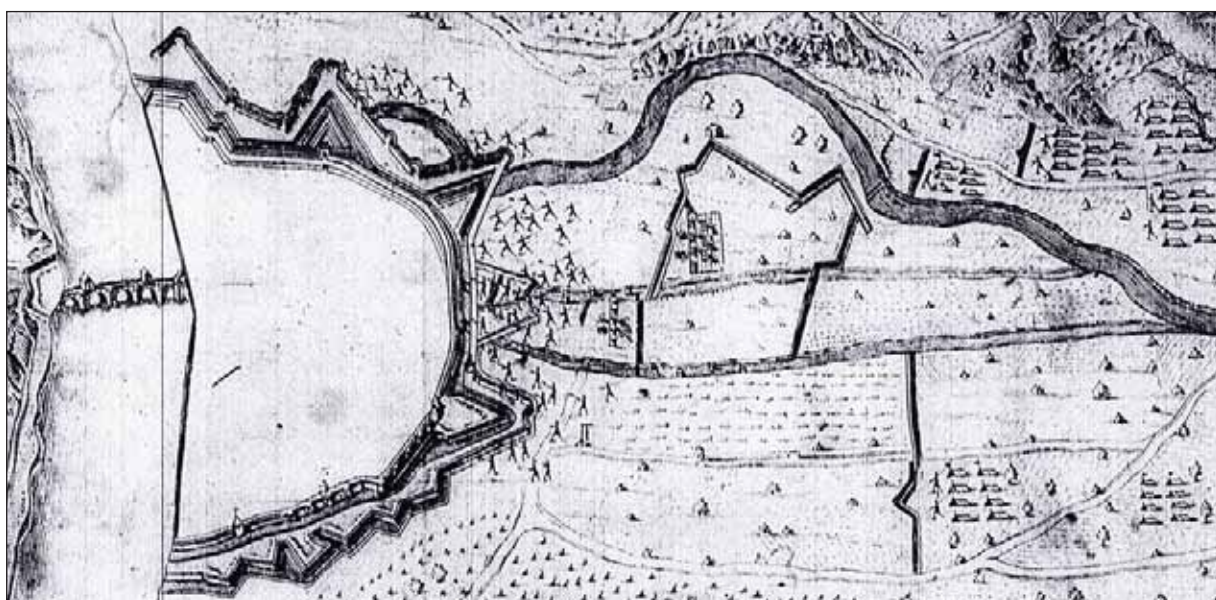
Fig. 191 : plan des fortifications de la ville de Saint-Antonin lors du siège de 1622  
Publié dans Louys de Chabans, *Histoire de la guerre des Huguenots faite en France, sous le règne du roy Louis XIII., avec les plans des Sièges de ville*, Paris, 1634 (cliché : BnF, Topographie française, Va 82, H158437, microforme).





cliché : BnF, Topographie française, Va 82, HI.58435, microforme

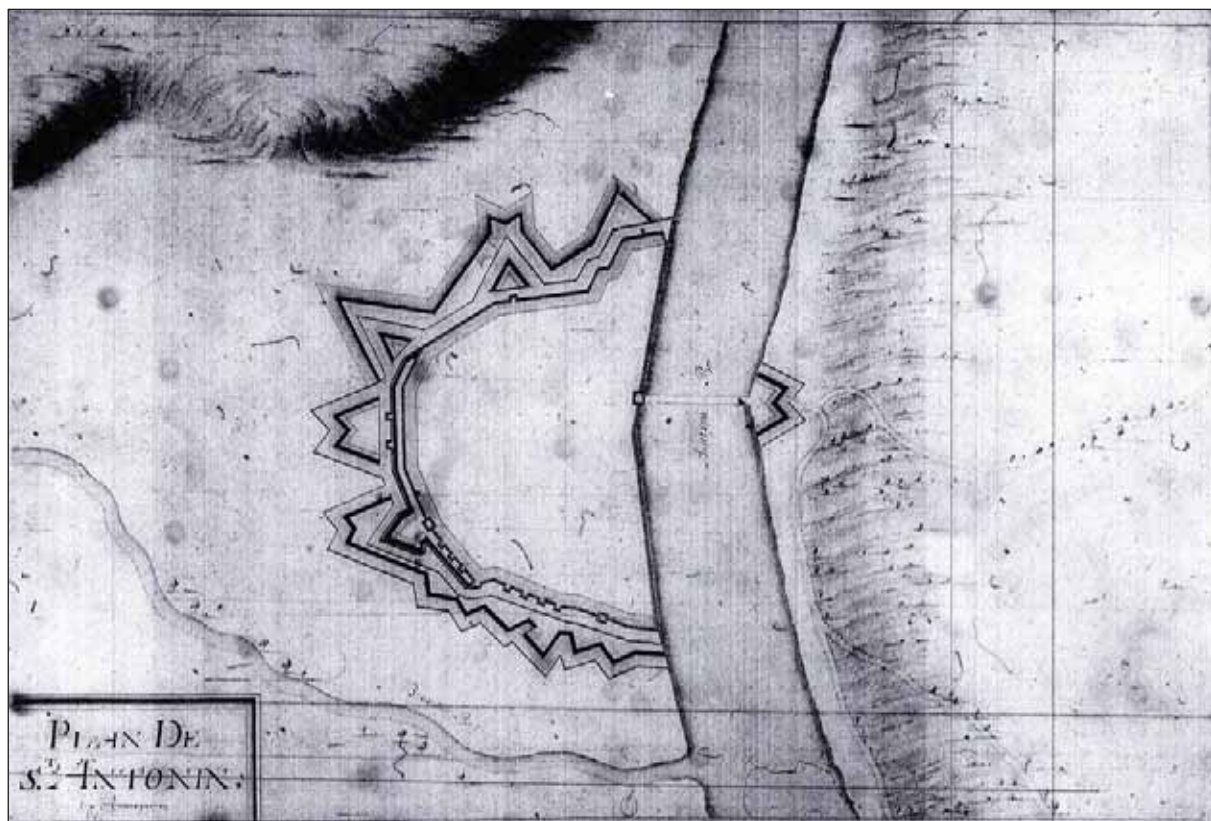
Fig. 192 : plan des fortifications de la ville de Saint-Antonin lors du siège de 1622  
Gravure éditée dans Jean Valdor *et al.*, *Les triomphes de Louis le Juste XIII. du nom, roy de France et de Navarre...*, Paris, 1649. L'image a été retournée pour rendre compte de son orientation originelle, la gravure l'ayant inversé. Le nord se trouve donc vers la droite.



cliché : BnF, Topographie française, Va 82, HI.58435, microforme

Fig. 193 : détail de la gravure représentant les fortifications de la ville de Saint-Antonin lors du siège de 1622.

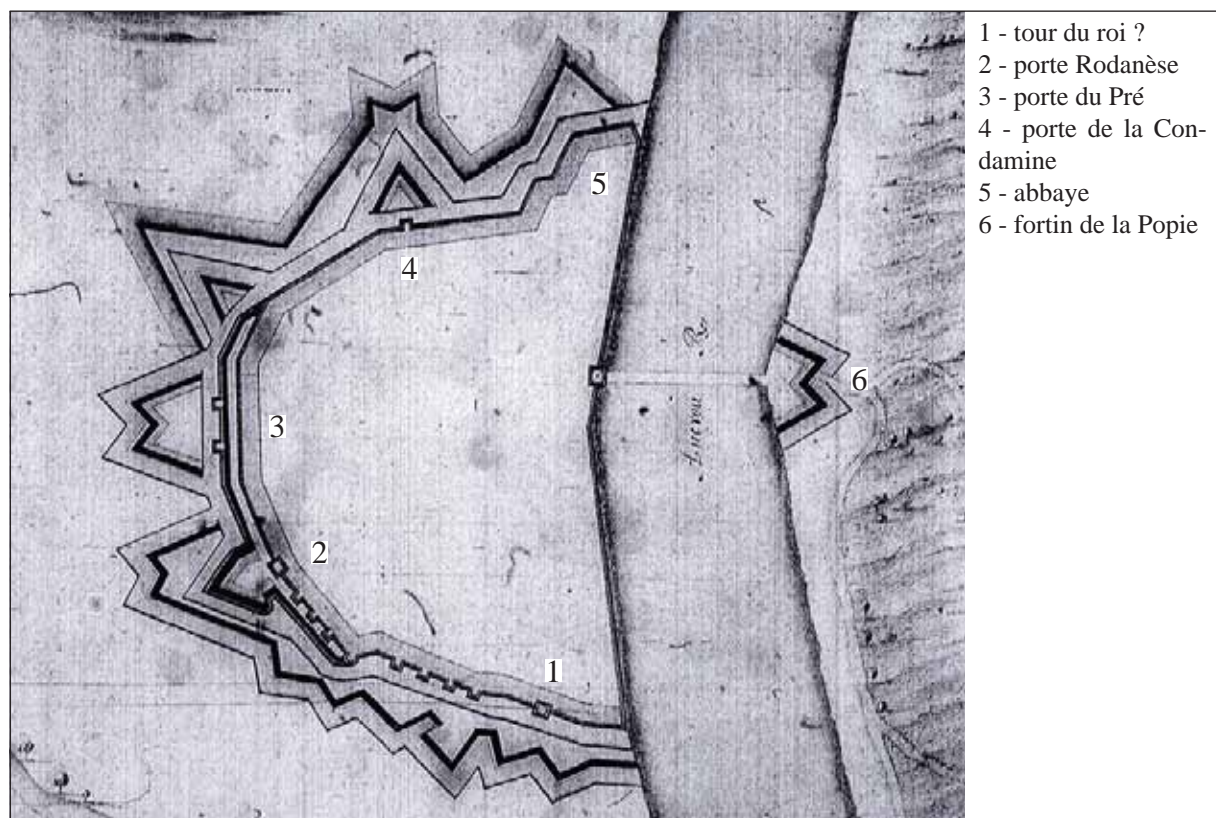




cliché : BnF, Topographie française, Va 82, H158436, microforme.

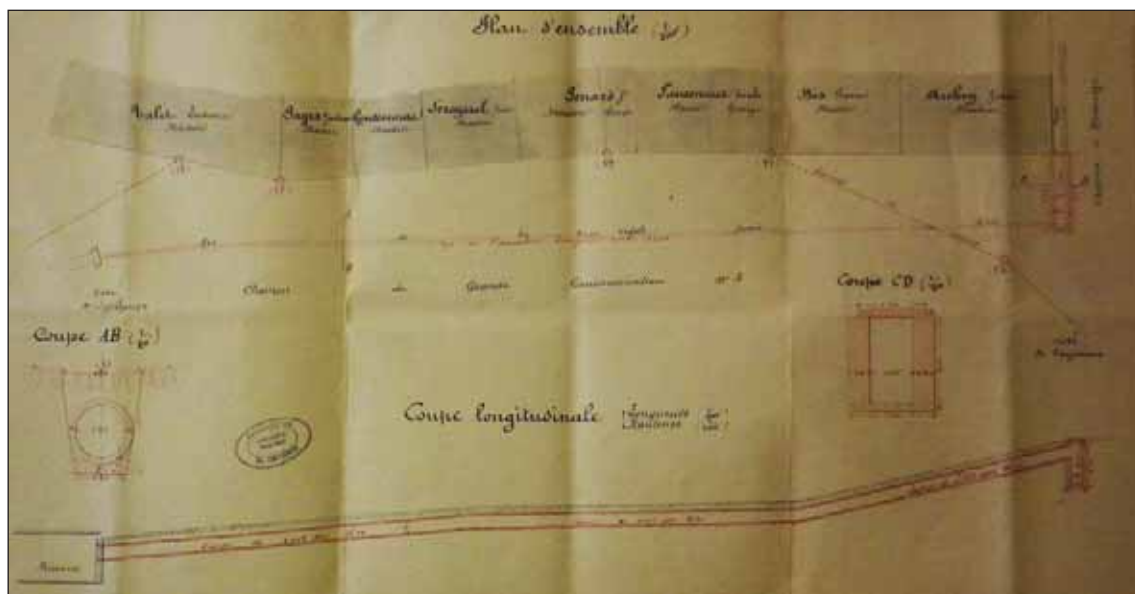
Fig. 194 : copie de la gravure de 1649 avec rectification du cours de la Bonnette à l'ouest de la ville

Sur cette image, le nord est vers la gauche. Au lieu d'inverser l'image, l'auteur de cette copie s'est contenté de déplacer le lit de la Bonnette, ce qui fausse la représentation.



- 1 - tour du roi ?
- 2 - porte Rodanèse
- 3 - porte du Pré
- 4 - porte de la Condamine
- 5 - abbaye
- 6 - fortin de la Popie

Fig. 195 : détail de la copie de la gravure de 1649.



cliché : C. Rivals

Fig. 196 : projet de construction d'un aqueduc sous le chemin de grande communication n°5, 1914 (AC Saint-Antonin, O 217 n°1)



cliché : C. Rivals

Fig. 197 : sortie vers la Bonette de l'aqueduc moderne qui draine l'eau du fossé



cliché : C. Rivals

Fig. 198 : intérieur de l'aqueduc moderne qui draine l'eau du fossé

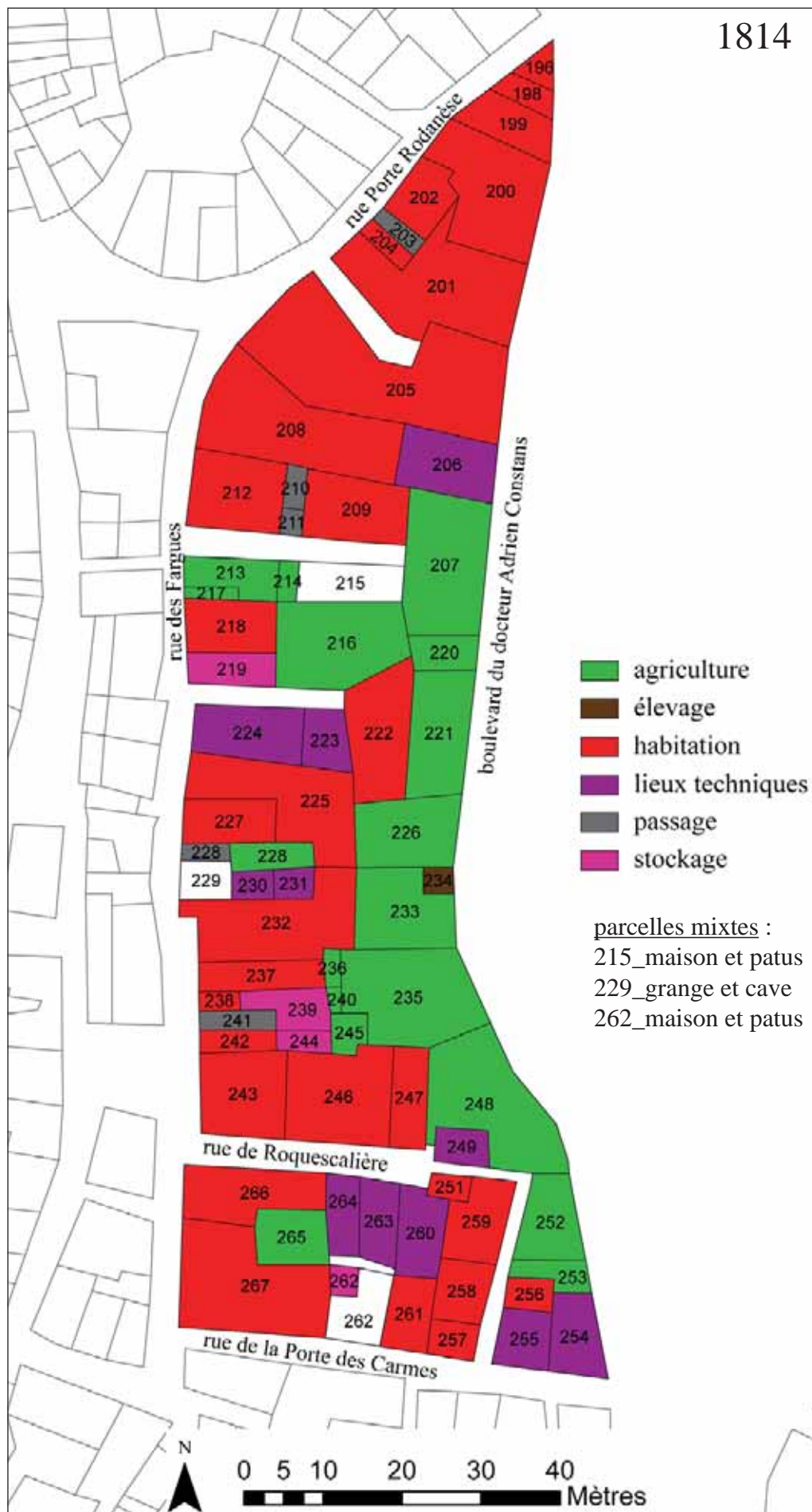


cliché : C. Rivals

Fig. 199 : traces d'ancrage d'une grille métallique fermant l'accès à la ville au nord, au niveau de la dérivation supérieure, vues depuis le sud

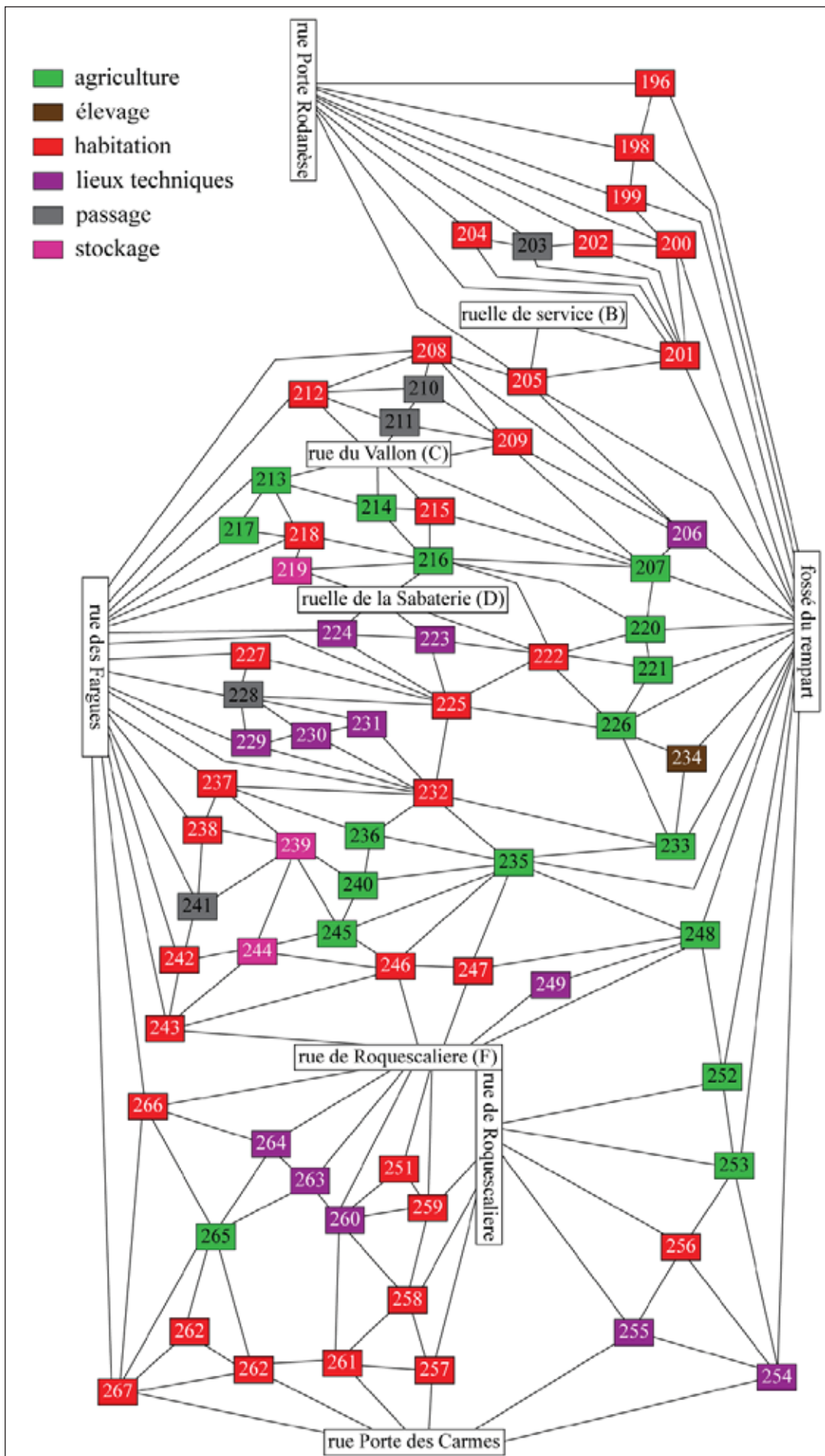


1814



réal. : C. Rivals

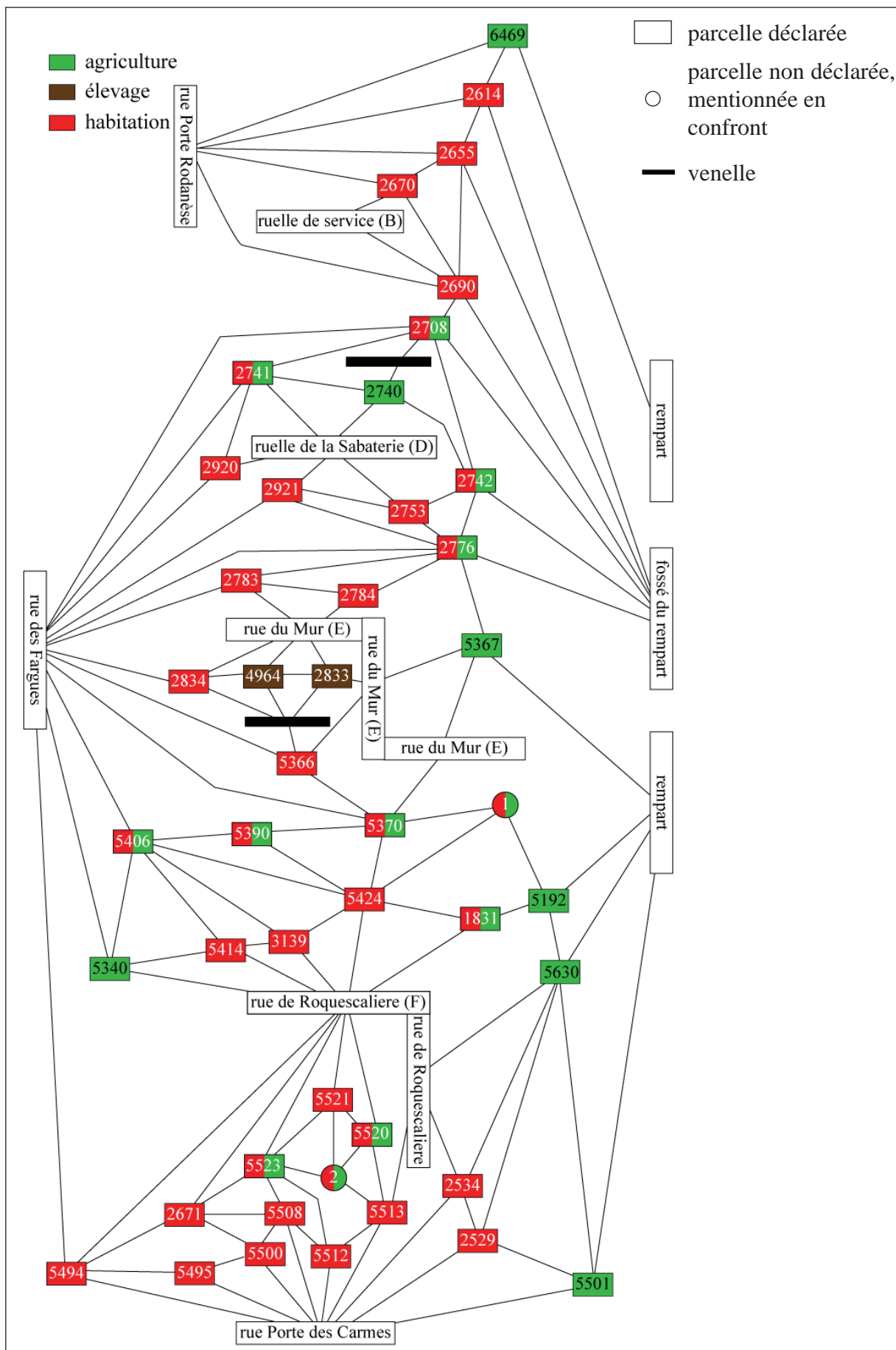
Fig. 200 : moulon A d'après le cadastre napoléonien de 1814.



réal. : C. Rivals

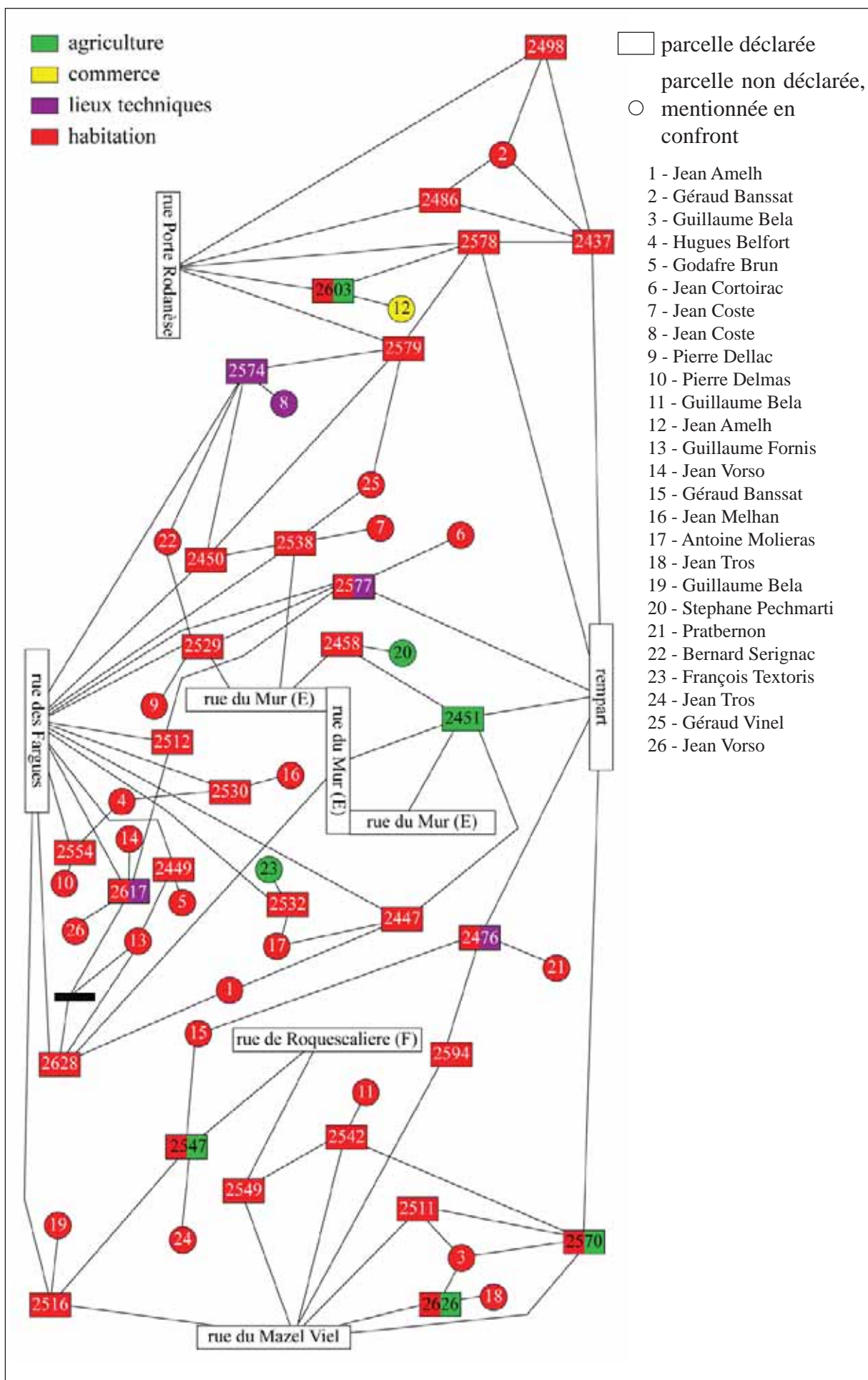
Fig. 201 : graphe du moulin A d'après le cadastre napoléonien de 1814





réal. : C. Rivals

Fig. 202 : graphe du moulin A d'après le compoix de 1670



réal. : C. Rivals

Fig. 203 : graphe du moulon A d'après le terrier de 1397







cliché : C. Rivals

Fig. 205 : portion de l'enclos du monastère au sud



collection personnelle

Fig. 206 : carte postale du début du XX<sup>e</sup> siècle représentant les berges de l'Aveyron en aval du pont



Fig. 207 : photographie ancienne du pont sur l'Aveyron, vu depuis l'ouest  
A gauche, les déblais des remparts sur le bord de la rivière (AC Saint-Antonin, O216).





cliché : C. Rivals

Fig. 208 : portion nord/sud des remparts de la ville, conservée au sud-est



cliché : C. Rivals

Fig. 209 : façades méridionales des maisons situées en amont du pont sur l'Aveyron





cliché : C. Rivals

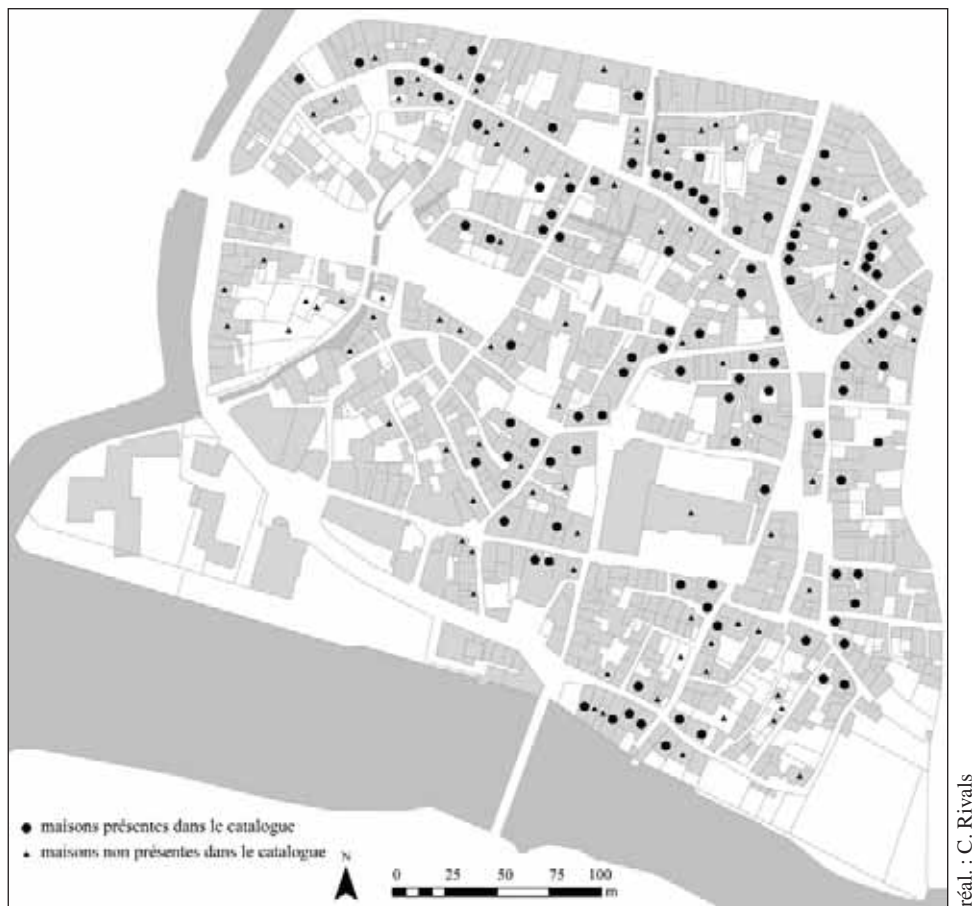
Fig. 210 : ouverture dans le rempart, maison ID242



cliché : C. Rivals

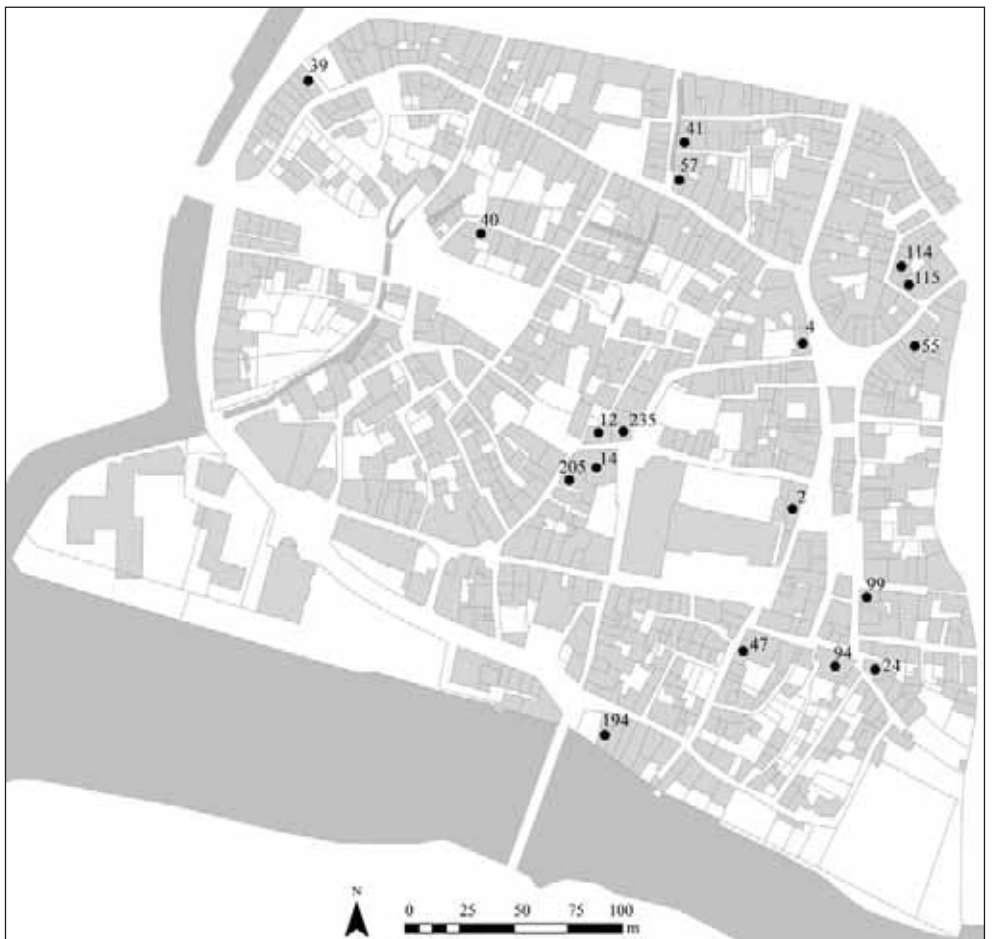
Fig. 211 : baie géminée dans le mur sud de la maison ID194 correspondant au rempart





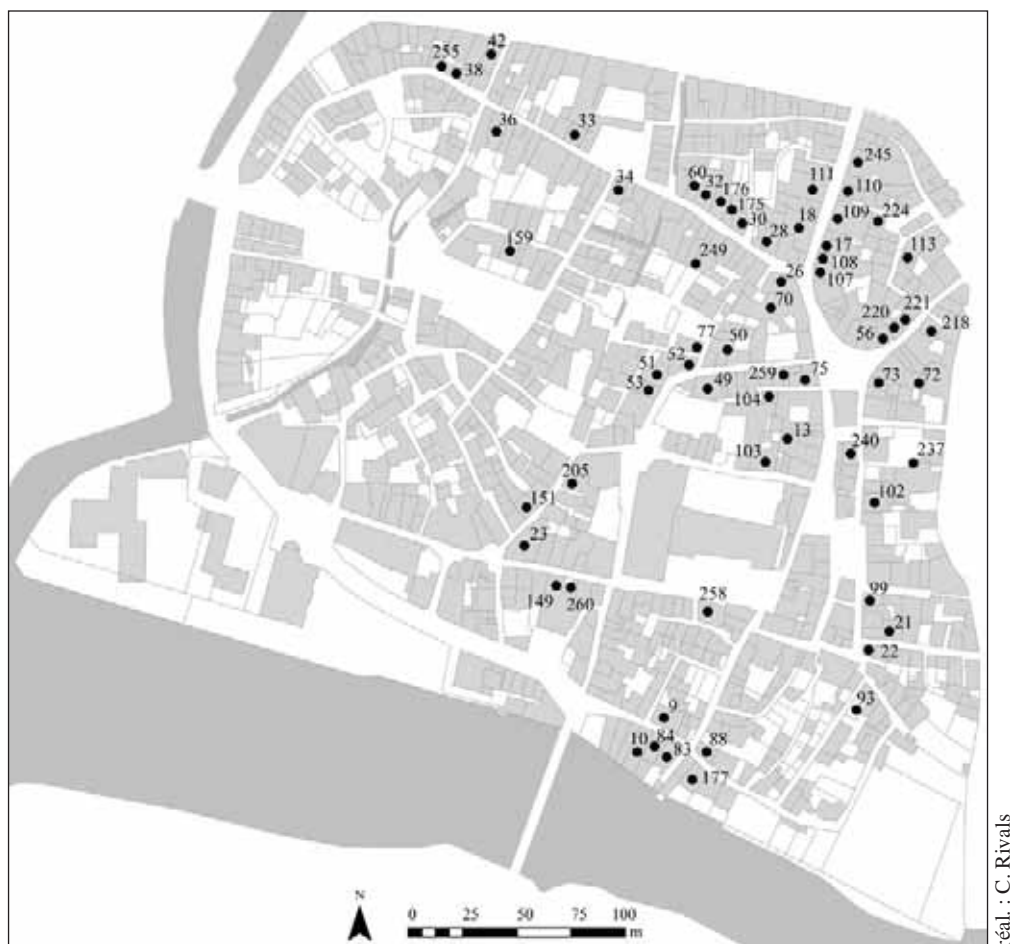
réal. : C. Rivals

Fig. 212 : localisation des maisons contenant des vestiges des XII<sup>e</sup>-XVI<sup>e</sup> siècles, sur fond de cadastre actuel



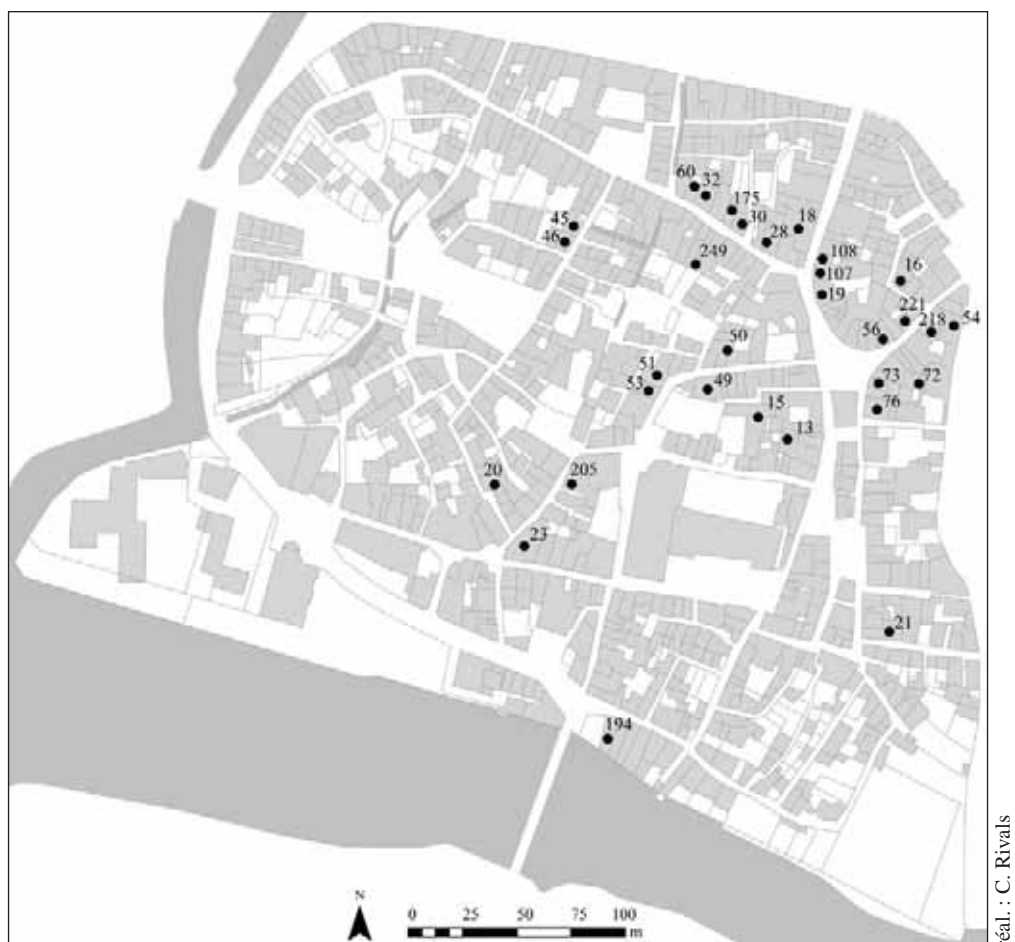
réal. : C. Rivals

Fig. 213 : maisons contenant des vestiges datés du XII<sup>e</sup> siècle



réal. : C. Rivals

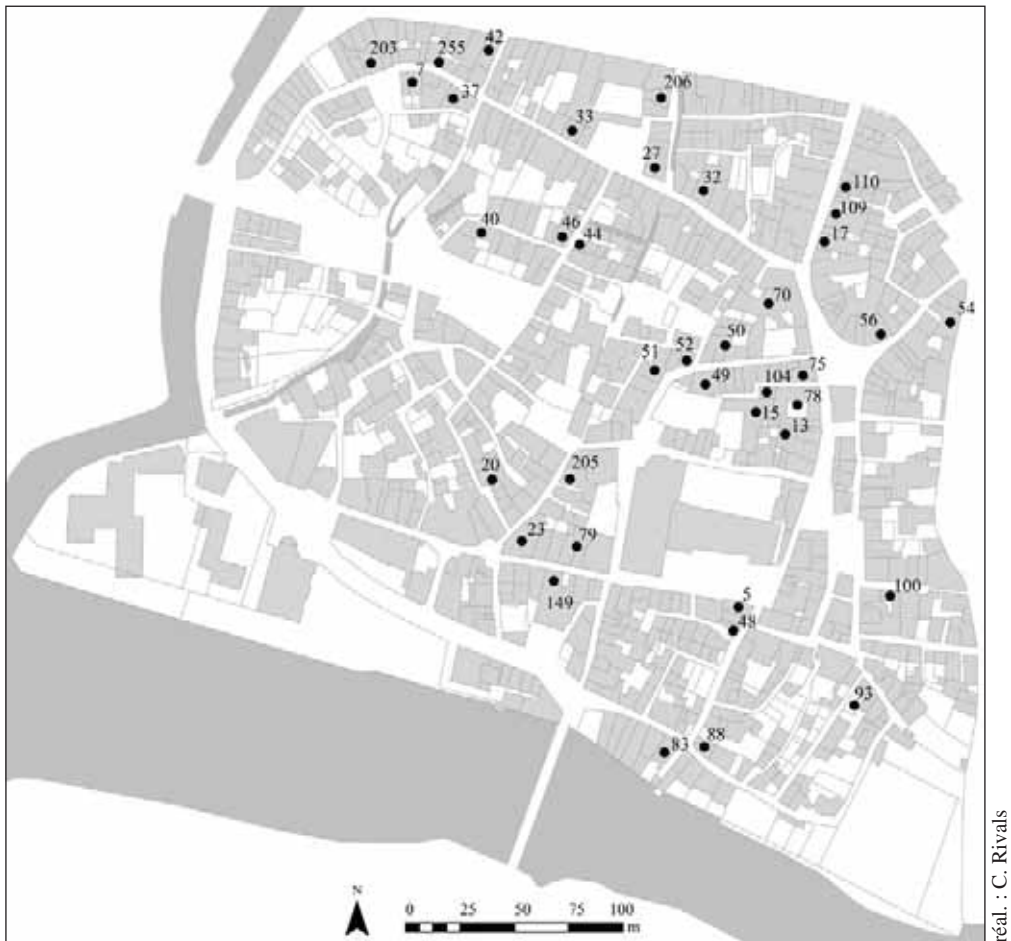
Fig. 214 : maisons contenant des vestiges datés du XIII<sup>e</sup> siècle



réal. : C. Rivals

Fig. 215 : maisons contenant des vestiges datés du XIV<sup>e</sup> siècle





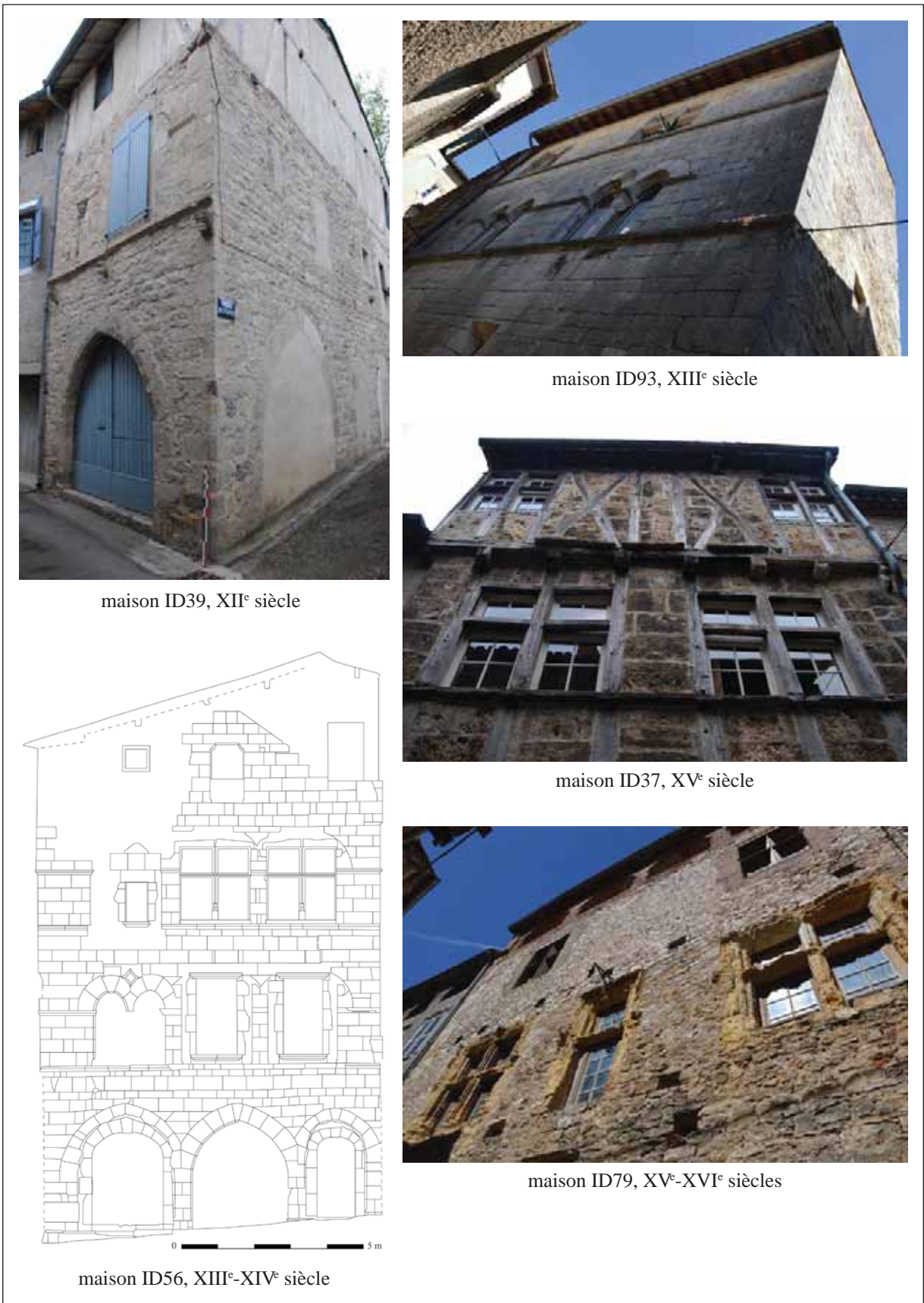
réal. : C. Rivals

Fig. 216 : maisons contenant des vestiges datés du XV<sup>e</sup> siècle



réal. : C. Rivals

Fig. 217 : maisons contenant des vestiges datés du XVI<sup>e</sup> siècle



clichés : C. Rivals, relevé : P. Roques, DAO : C. Rivals

Fig. 218 : aperçu des techniques constructives des maisons de Saint-Antonin-Noble-Val





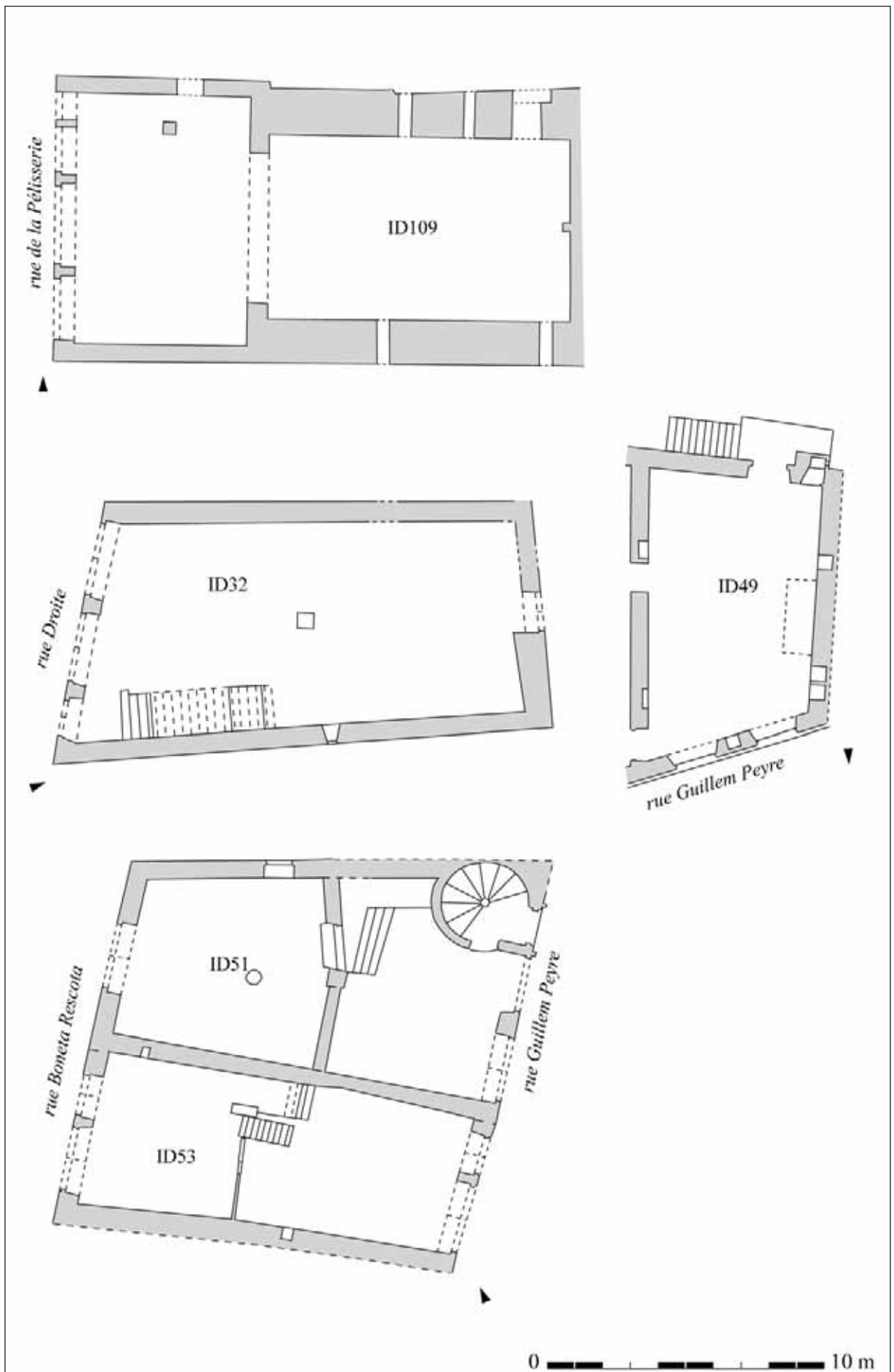
Vestiges de toiture en lauzes sur le pignon de la maison ID217



Vestiges de la toiture d'origine en *tegulae* et *imbrices* de la maison ID2

clichés : C. Rivals

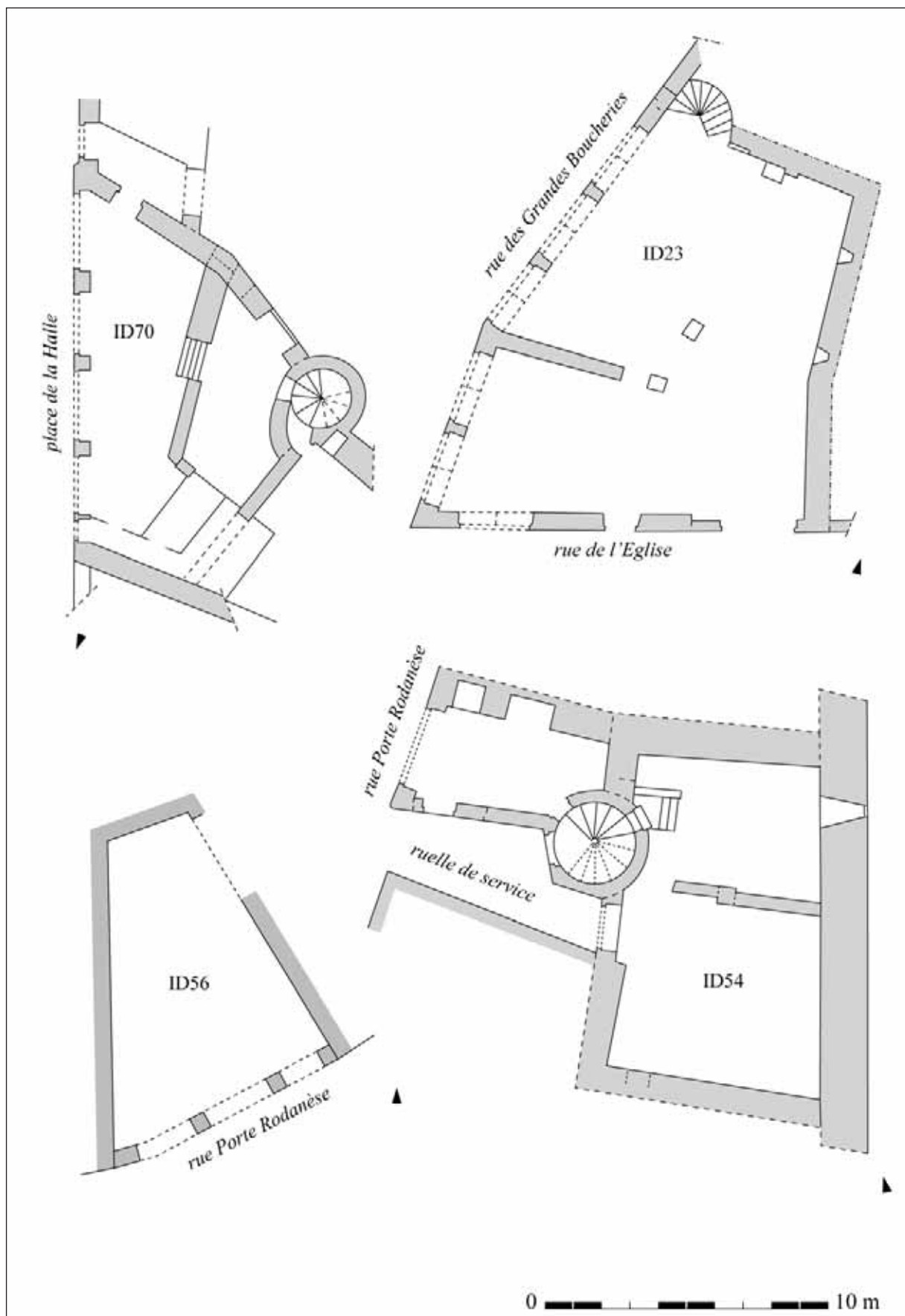
Fig. 219 : exemples de couverture de maisons de Saint-Antonin-Noble-Val



relevé : C. Rivals, P. Roques, DAO : C. Rivals

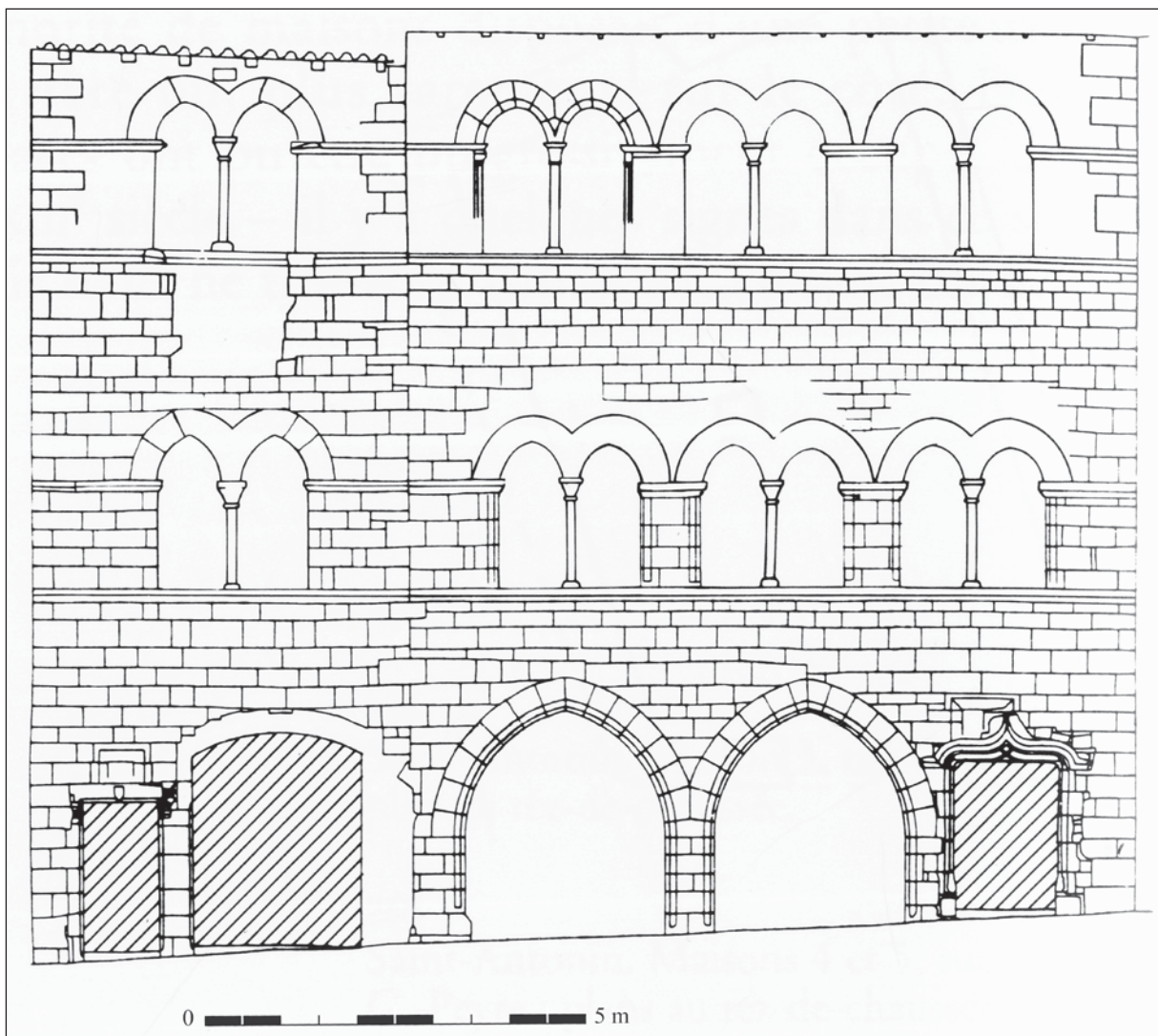
Fig. 220 : plans réguliers de maisons saint-antoninoises du XIII<sup>e</sup> siècle





relevé : B. Brossard, B. Loncan, G. Muratet, C. Rivals, P. Roques ; DAO : C. Rivals

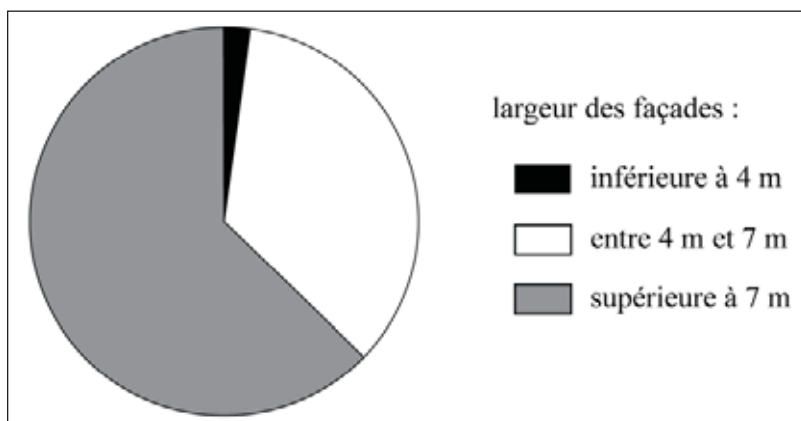
Fig. 221 : plans irréguliers de maisons saint-antoninoises du XIII<sup>e</sup> siècle



réal. : P. Roques

Fig. 222 : restitution graphique des élévations des maisons ID32 et ID60 dans leur état du XIII<sup>e</sup> siècle, réalisée à partir d'un levé photogrammétrique  
Les zones blanches et hachurées correspondent à des reprises ultérieures.

Fig. 223 : largeur des façades du corpus



réal. : C. Rivals





cliché : C. Rivals

Fig. 224 : vestiges de baies géminées à arcs monolithes en plein cintre, caractéristiques des façades du XII<sup>e</sup> siècle, maison ID2



cliché : C. Rivals

Fig. 225 : éléments sculptés répartis sur une façade du XII<sup>e</sup> siècle, maison ID39



Baie géminée du premier étage de la maison ID56



Baie géminée du premier étage de la maison ID49



Baie géminée du premier étage de la maison ID109



Oculus de la baie géminée du premier étage de la maison ID23



Oculus de la baie géminée du deuxième étage de la maison ID220



Oculus de la baie géminée du premier étage de la maison ID107

clichés : C. Rivals

Fig. 226 : jours d'écoinçon entre les arcs de baies géminées





Baies du deuxième étage de la maison ID72



Baie du premier étage de la façade ouest de la maison ID72



Baie du deuxième étage de la maison ID73

clichés : C. Rivals

Fig. 227 : baies brisées à remplage du XIII<sup>e</sup> ou XIV<sup>e</sup> siècle



Congé du chanfrein de l'angle abattu de la maison ID70



Chapiteau d'une baie géminée au premier étage de la maison ID13



Corbeau de la maison ID70



Cordon d'appui de la maison ID17



Motif sculpté sur le sommier d'une baie géminée de la maison ID51



Motif sculpté sur le sommier d'une baie géminée de la maison ID56

Fig. 228 : décor sculpté sur des façades de maisons des XIII<sup>e</sup>-XIV<sup>e</sup> siècles





Croisées aménagées sur la façade du XIII<sup>e</sup> siècle de la maison ID51



Demi croisée au premier étage de la maison ID79



Baie géminée transformée en croisée au second étage de la maison ID32

Fig. 229 : architecture des XV<sup>e</sup> et XVI<sup>e</sup> siècles





maison ID22



maison ID99



maison ID151



maison ID9

clichés : C. Rivals

Fig. 230 : façades de maisons d'angle





cliché : J.-P. Le Maréchal

Embrasures des baies géminées du premier étage de la maison ID13



cliché : C. Rivals

Embrasures des baies géminées, dont deux ont été transformées en croisées au XV<sup>e</sup> siècle, au second étage de la maison ID32

Fig. 231 : embrasures de baies géminées



cliché : J.-P. Le Maréchal

Fig. 232 : système de fermeture d'une baie géminée de la maison ID13

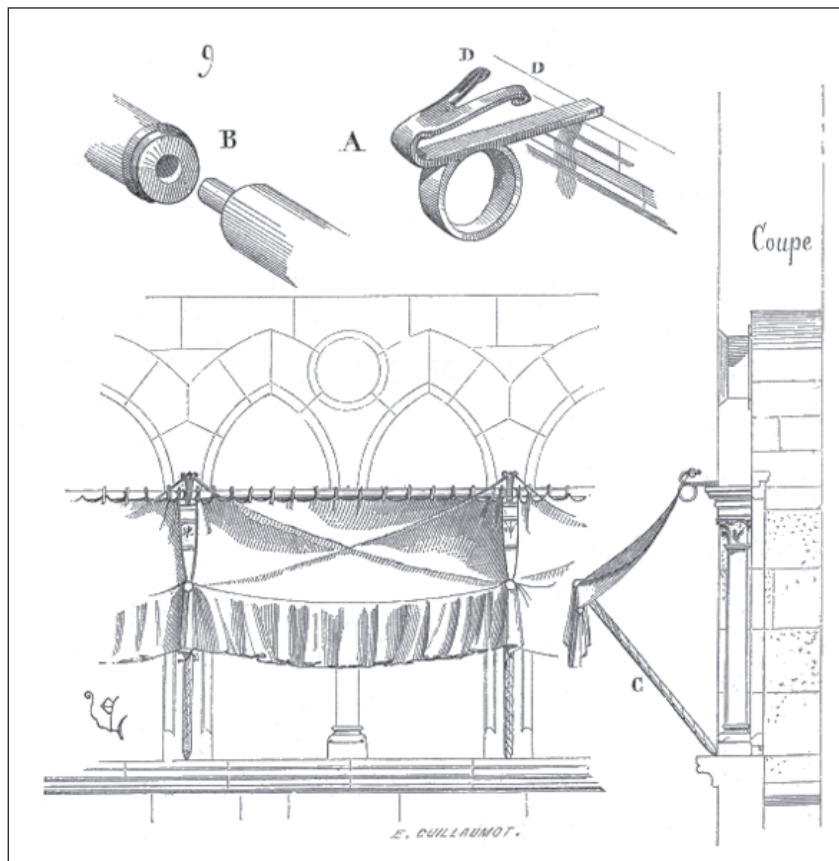
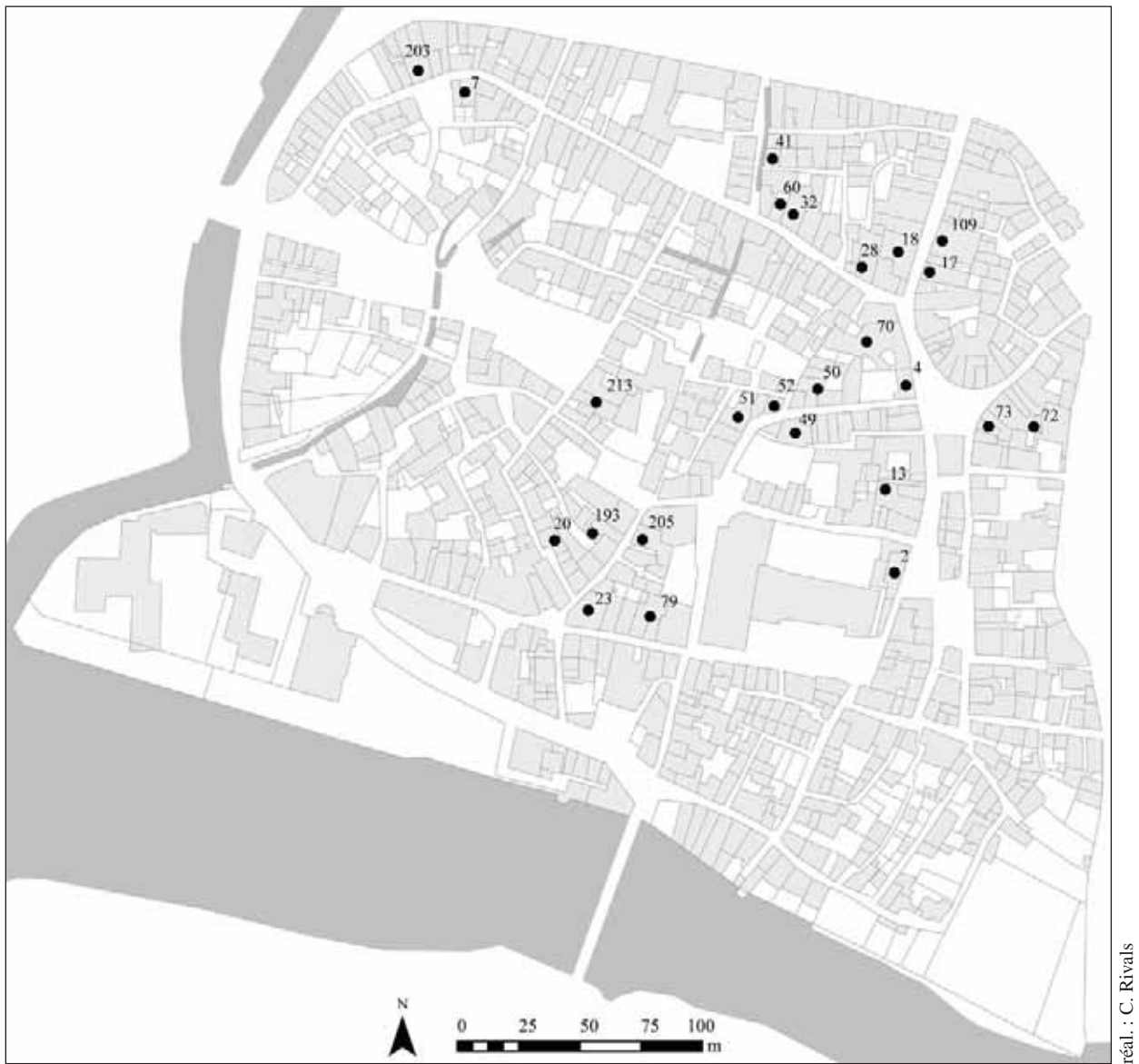


Fig. 233 : restitution du fonctionnement des portes bannes à partir de ceux de la maison ID110 (E. Viollet-le-Duc, *Dictionnaire... op. cit.*, p. 554.





réal. : C. Rivals

Fig. 234 : localisation des cheminées recensées



Hotte triangulaire et souche circulaire en tuf de la cheminée placée sur le mur de refend de la maison ID2



Souche quadrangulaire en pierre de la cheminée placée sur le mur pignon de la maison ID17



Souche quadrangulaire en pierre de la cheminée placée sur le mur pignon de la maison ID73



Hotte triangulaire de la cheminée placée sur le mur pignon de la maison ID17

clichés : C. Rivals

Fig. 235 : hottes et souches de quelques cheminées saint-antoninoises

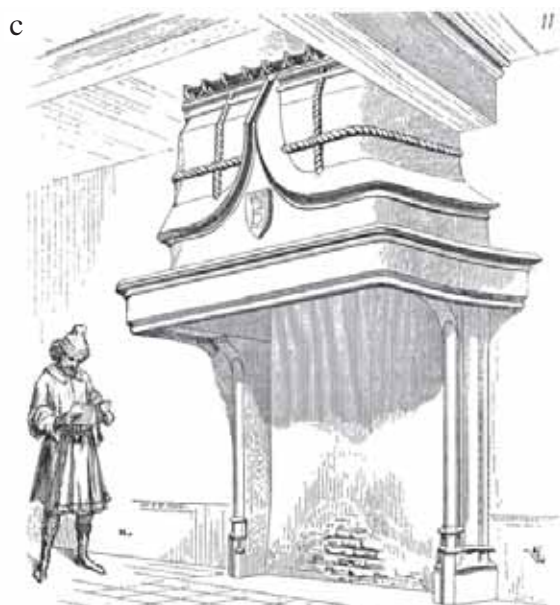




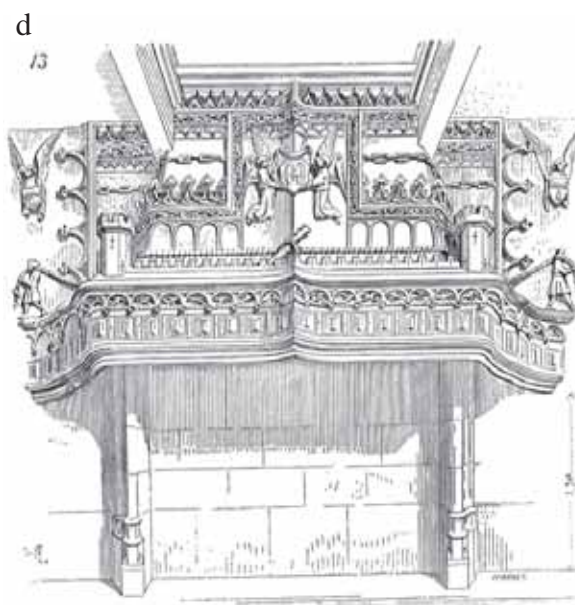
Cheminée de la maison ID79



Cheminée de la maison ID109



Cheminée du XV<sup>e</sup> siècle de Saint-Antonin dessinée par E. Viollet-le-Duc (*Dictionnaire... op. cit.*, article « cheminée », p. 324).



Cheminée du XVI<sup>e</sup> siècle de Saint-Antonin dessinée par E. Viollet-le-Duc (*Dictionnaire... op. cit.*, article « cheminée », p. 324).



Cheminée de la maison ID205



Cheminée de la maison ID23

clichés : C. Rivals

Fig. 236 : manteaux de quelques cheminées saint-antoninoises



Fig. 237 : placards muraux dans diverses maisons saint-antoninoises



Fig. 238 : succession de niches au second étage de la maison n°3 rue Saint-Angel





cliché : B.-M. Muñoz

Décor peint de la pièce principale au premier étage de la maison ID51, XIII<sup>e</sup> siècle



cliché : J.-P. Le Maréchal

Décor peint d'une pièce secondaire au premier étage de la maison ID13, XIII<sup>e</sup> siècle



cliché : C. Rivals

Panneau peint sur une cloison du premier étage de la maison ID70, milieu XIII<sup>e</sup> siècle



cliché : C. Rivals

Panneau peint au premier étage de la maison ID76, représentant la légende de saint Antonin, XIV<sup>e</sup> siècle

Fig. 239 : exemple de peintures murales conservées à Saint-Antonin

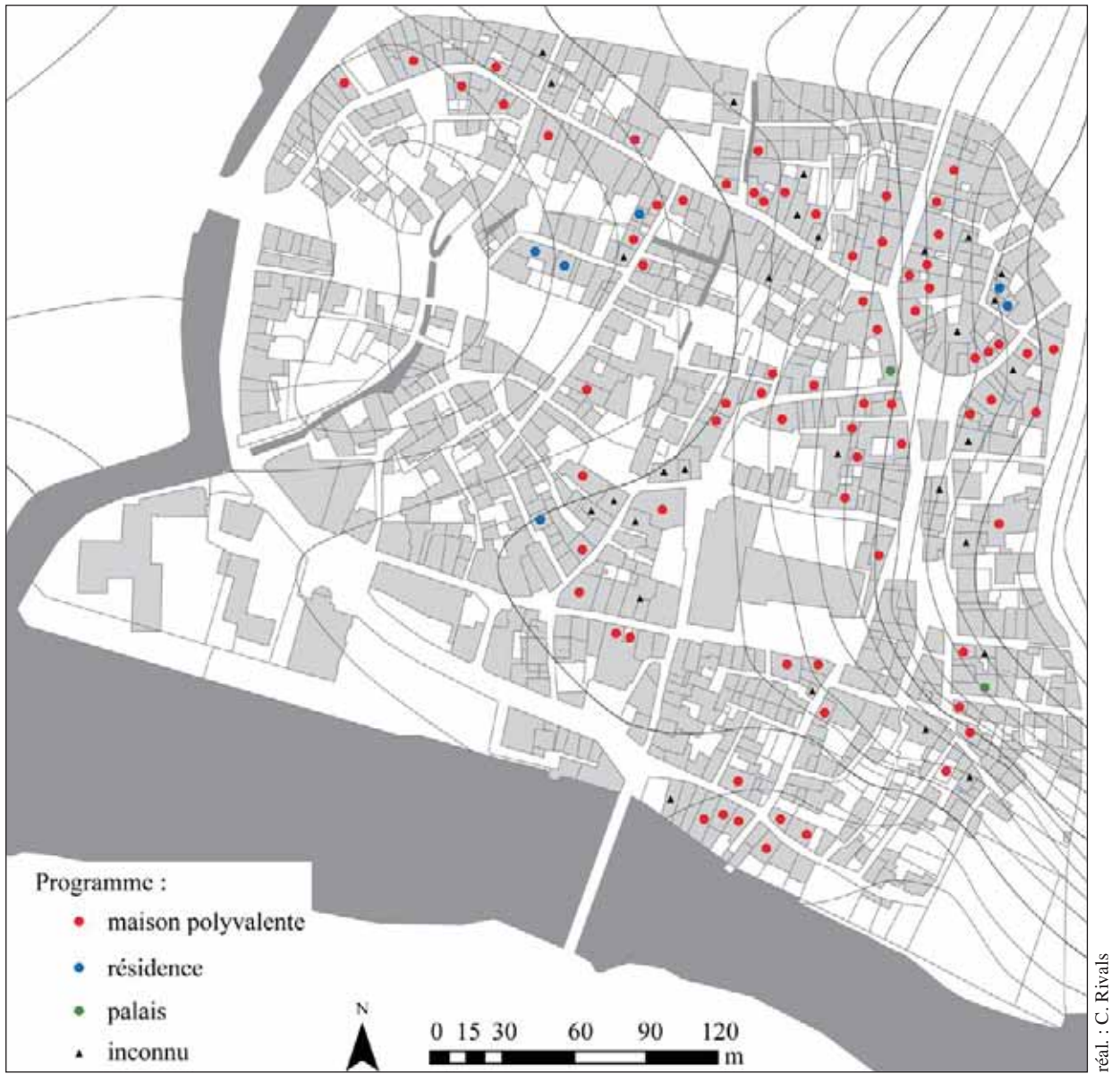


Fig. 240 : programmes des maisons étudiées



Volume 2 - Illustrations

année	nombre de contribuables (en feux) résidant en ville	référence (AC Saint-Antonin)
1376-1377	545	CC45
1455-1456	552	CC48
1464-1465	748	CC49
1539	888	CC24
1559	1163	CC20
1584-1585	799	CC23
1628	694	CC30
1652	620	CC32

Fig. 241 : nombre de contribuables résidant en ville, d'après les rôles de la taille entre 1376 et 1652

	1559	1585	1628
<b>total intra-muros</b>	1163	799	694
<b>forains</b>	566	165	120
<b>total global</b>	1729	964	814
<b>gache de Bocaria</b>	246	160	134
<b>gache de Bodaurat</b>	481	330	300
<b>gache de Foyt</b>	246	195	160
<b>gache de Roquescalière</b>	190	114	100

Fig. 242 : nombre de contribuables par gache, d'après les rôles de taille de 1559, 1585 et 1628

Volume 2 - Illustrations

catégories de métiers	nombre de parcelle par catégorie	nombre de propriétaires par catégorie	nombre moyen de parcelle par propriétaire par catégorie	proportion de propriétaire par rapport au total
agents	1	1	1,00	0,6%
artisanat du cuir	21	19	1,11	11,9%
artisanat du métal	9	8	1,13	5,0%
artisanat du textile	18	17	1,06	10,7%
autres	3	2	1,50	1,3%
bourgeois	7	2	3,50	1,3%
métiers de la construction	3	2	1,50	1,3%
métiers de la loi	1	1	1,00	0,6%
métiers de la médecine	1	1	1,00	0,6%
métiers de la terre	12	11	1,09	6,9%
métiers de l'alimentation	8	7	1,14	4,4%
métiers de l'hébergement	2	1	2,00	0,6%
métiers du commerce	30	11	2,73	6,9%
noblesse	2	2	1,00	1,3%
religieux	10	7	1,43	4,4%
NR	75	67		42,1%

Fig. 243 : effectifs des catégories socioprofessionnelles des propriétaires résidant en ville, d'après le terrier royal de 1459 (ADTG, A121)

catégories de métiers	nombre de parcelle par catégorie	nombre de propriétaires par catégorie	nombre moyen de parcelle par propriétaire par catégorie	proportion de propriétaire par rapport au total
agents	112	20	5,60	3,5%
artisanat du cuir	195	38	5,13	6,6%
artisanat du métal	64	18	3,56	3,1%
artisanat du textile	448	88	5,09	15,3%
autres	59	9	6,56	1,6%
autres artisanats	18	3	6,00	0,5%
bourgeois	365	14	26,07	2,4%
métiers de la construction	103	19	5,42	3,3%
métiers de la loi	423	25	16,92	4,3%
métiers de la médecine	139	21	6,62	3,6%
métiers de la terre	1115	144	7,74	25,0%
métiers de l'alimentation	77	11	7,00	1,9%
métiers de l'hébergement	40	6	6,67	1,0%
métiers du commerce	831	58	14,33	10,1%
noblesse	64	5	12,80	0,9%
religieux	72	10	7,20	1,7%
NR	502	87		15,1%

Fig. 244 : effectifs des catégories socioprofessionnelles des propriétaires résidant en ville, d'après le compoix de 1670 (AC Saint-Antonin, CC7 à CC10)



Volume 2 - Illustrations

catégories de métiers	total <i>intra-muros</i>	forains	total global	gache de Bodaurat	gache de Foyt	gache de Bocaria	gache de Roquescaliere
<b>1559</b>							
nombre total de contribuables	1163	566	1729	481	246	246	190
agents	1	2	3				1
artisanat du cuir	28	8	36	8	12	5	3
artisanat du métal	4	2	6			2	2
artisanat du textile	4	1	5	1		3	
autres	10	18	28	2	2	3	3
métiers de la construction	1	1	2		1		
métiers de la loi	10	1	11		5	3	2
métiers de la médecine	3	2	5		2		1
métiers de la terre	1021	519	1540	430	195	227	169
métiers de l'alimentation	9	8	17	2	1	1	5
métiers du commerce	61	1	62	37	22	1	1
noblesse	11	3	14	1	6	1	3
<b>1585</b>							
nombre total de contribuables	799	165	964	330	195	160	114
agents	4	1	5		4		
artisanat du cuir	31	4	35	21	6	1	3
artisanat du métal	1		1		1		
artisanat du textile	11	4	15	6	4	1	
autres	3	1	4		2	1	
métiers de la construction	8		8	4	1		3
métiers de la loi	8	2	10		5	2	1
métiers de la médecine	7	1	8	1	4		2
métiers de la terre	644	139	783	271	130	147	96
métiers de l'alimentation	22	4	26	9	3	6	4
métiers du commerce	55	2	57	17	31	2	5
noblesse	5	7	12	1	4		
<b>1628</b>							
nombre total de contribuables	694	120	814	300	160	134	100
agents	7	2	9	2	4		1
artisanat du cuir	6	1	7	5	1		
artisanat du métal	4		4	2	1		1
artisanat du textile	12	5	17	4	5	1	2
autres	1		1				1
métiers de la construction	3		3	1	1	1	
métiers de la loi	8		8		5	1	2
métiers de la médecine	9	1	10	2	6		1
métiers de la terre	584	101	685	266	117	127	74
métiers de l'alimentation	7	1	8	4		2	1
métiers du commerce	48	5	53	12	18	2	16
noblesse	5	4	9	2	2		1

Fig. 245 : effectifs des catégories socioprofessionnelles des contribuables d'après les registres de taille de 1559, 1585 et 1628

	1559	1585	1628
<i>intra-muros</i>	1021	644	584
forains	519	139	101
campagne	1200	515	457
<b>total</b>	<b>2740</b>	<b>1298</b>	<b>1142</b>

Fig. 246 : répartition du nombre de feux appartenant à la catégorie des métiers de la terre en ville et à la campagne, d'après les registres de taille de 1559, 1585 et 1628

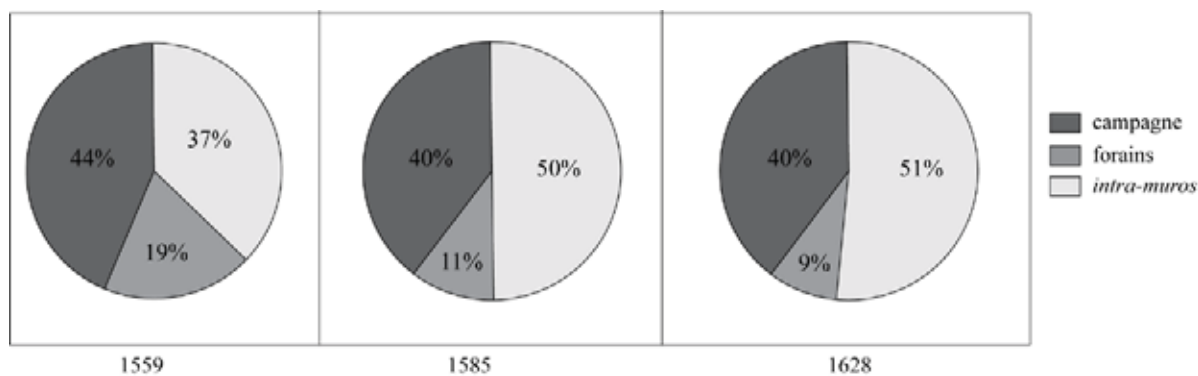
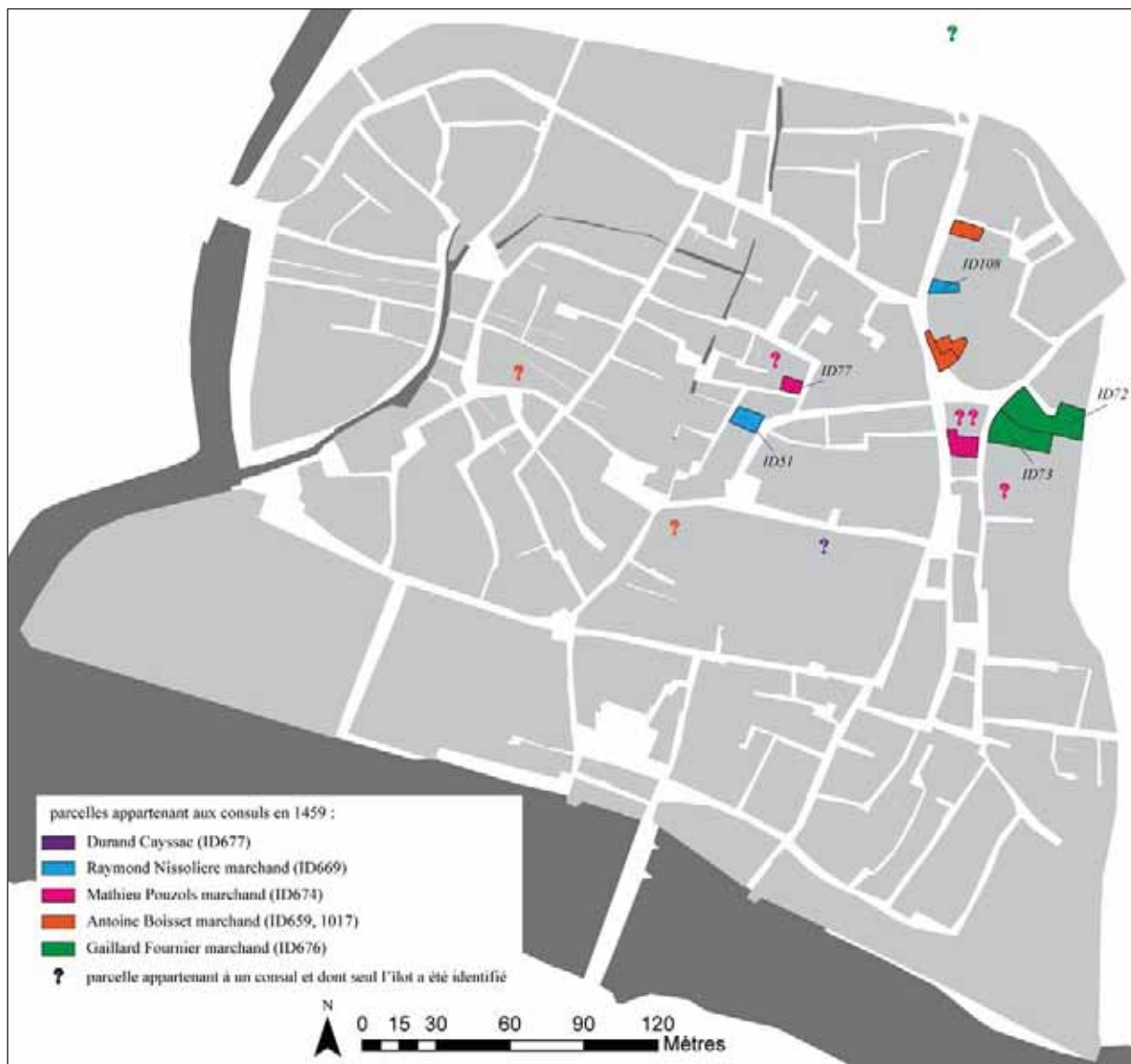


Fig. 247 : répartition du nombre de feux appartenant à la catégorie des métiers de la terre en ville et à la campagne, d'après les registres de taille de 1559, 1585 et 1628

	quista moyenne en deniers	quista personal en deniers
<b>population fiscale</b>	366,5	291
<b>consuls</b>	736	708
<b>conseillers</b>	660,8	577
<b>gardes</b>	472,4	388

Fig. 248 : contributions fiscales d'après le registre de 1455-56 (AC Saint-Antonin, CC48)





réal. : C. Rivals

Fig. 249 : localisation des maisons appartenant aux consuls de l'année 1464-1465 (AC Saint-Antonin, CC49), d'après le registre fiscal de 1459 (ADTG, A121), positionnées sur les îlots du plan parcellaire de 1782 (AC Saint-Antonin, JJ13). Le sixième consul n'a pas été identifié dans le terrier

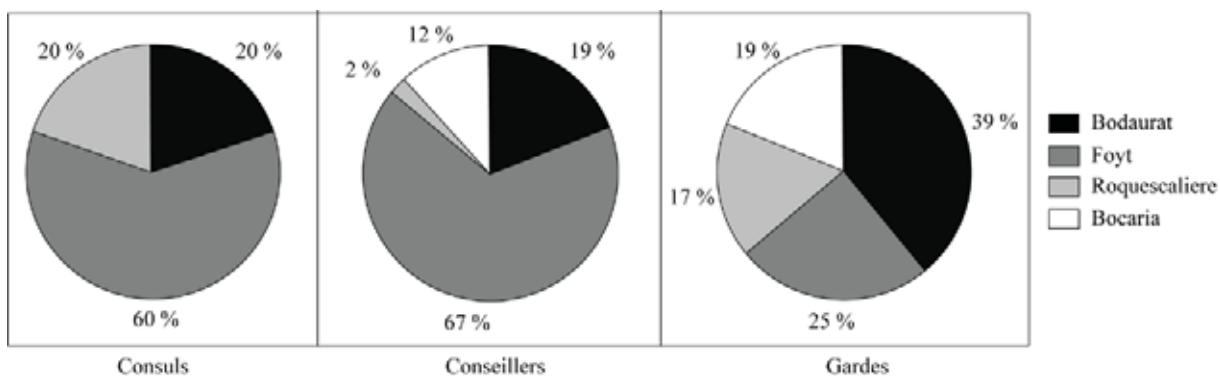


Fig. 250 : répartition des membres du gouvernement urbain dans les gaches d'après le registre de 1455-56 (AC Saint-Antonin, CC48)

gache	surface en ha	nombre de contribuable par hectare							
		1377	1456	1465	1559	1585	1628	1652	1722
<b>Bodaurat</b>	4	56	45,5	60,8	120,3	82,5	75	72,3	65,8
<b>Foyt</b>	2,6	52,3	63,8	63,5	94,6	75	61,5	83,5	67,3
<b>Roquescaliere</b>	1,5	43,3	48	46	126,7	76	66,7	76	76,7
<b>Bocaria</b>	1,9	51,6	69,5	142,6	129,5	84,2	70,5	NR	66,3
<b>total espace intra muros</b>	10	52,3	55,2	74,8	116,3	79,9	69,4	62	67,9

Fig. 251 : densité de population dans les gaches urbaines entre 1377 et 1722 d'après les rôles de la taille

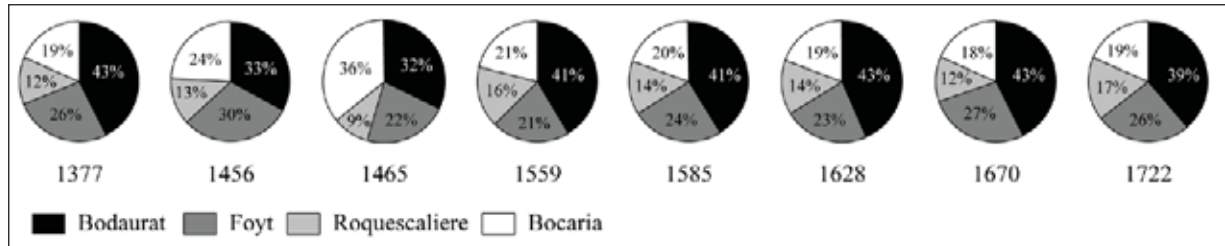


Fig. 252 : proportion du nombre de contribuable dans chaque gache par rapport au total de la population urbaine



Volume 2 - Illustrations

catégories de métiers	Bodaurat						Foyt					
	1459	1559	1585	1628	1670	1814	1459	1559	1585	1628	1670	1814
agents				0,7%	3,7%	7,2%	1,5%		2,1%	2,5%	3,8%	6,1%
artisanat du cuir	11,8%	1,7%	6,4%	1,7%	7,8%	12,6%	15,2%	4,9%	3,1%	0,6%	7,1%	5,1%
artisanat du métal	3,9%			0,7%	3,3%	4,1%	7,6%		0,5%	0,6%	3,8%	5,6%
artisanat du textile	11,8%	0,2%	1,8%	1,3%	21,2%	14,5%	6,1%		2,1%	3,1%	7,1%	8,5%
autres		0,4%			2,9%	2,4%	3,0%	0,8%	1,0%		0,6%	2,4%
autres artisanats					0,8%							
bourgeois					1,6%		3,0%				5,1%	
fonctionnaires						2,6%						1,3%
métiers de la construction	2,0%		1,2%	0,3%	4,1%	6,7%	1,5%	0,4%	0,5%	0,6%	1,9%	6,9%
métiers de la loi					0,8%	0,2%	1,5%	2,0%	2,6%	3,1%	10,3%	3,2%
métiers de la médecine	2,0%		0,3%	0,7%	0,8%	0,9%		0,8%	2,1%	3,8%	7,1%	1,1%
métiers de la terre	9,8%	89,4%	82,1%	88,7%	31,4%	32,3%	3,0%	79,3%	66,7%	73,1%	10,9%	23,1%
métiers de l'alimentation	3,9%	0,4%	2,7%	1,3%	1,2%	2,4%	4,5%	0,4%	1,5%		0,6%	2,7%
métiers de l'hébergement						1,1%	1,5%				2,6%	3,5%
métiers du commerce	2,0%	7,7%	5,2%	4,0%	4,5%	3,9%	13,6%	8,9%	15,9%	11,3%	19,9%	7,2%
noblesse		0,2%	0,3%	0,7%	0,4%		3,0%	2,4%	2,1%	1,3%	1,9%	
religieux	11,8%				1,6%		1,5%				0,6%	0,8%
NR	41,2%				13,9%	9,1%	33,3%				16,7%	22,6%

catégories de métiers	Bocaria						Roquescaliere					
	1459	1559	1585	1628	1670	1814	1459	1559	1585	1628	1670	1814
agents					2,8%	3,5%		0,5%		1,0%	2,9%	8,2%
artisanat du cuir		2,0%	0,6%		4,7%	8,0%	12,5%	1,6%	2,6%		4,3%	10,2%
artisanat du métal	5,0%	0,8%			2,8%	4,9%		1,1%		1,0%	1,4%	4,1%
artisanat du textile	15,0%	1,2%	0,6%		13,2%	13,7%	12,5%			2,0%	15,9%	8,2%
autres		1,2%	0,6%	0,7%		0,4%		1,6%		1,0%	1,4%	5,1%
autres artisanats											1,4%	
bourgeois							4,2%				2,9%	
fonctionnaires						0,9%						4,1%
métiers de la construction	5,0%				2,8%	4,4%			2,6%		4,3%	1,0%
métiers de la loi		1,2%	1,3%	0,7%	2,8%			1,1%	0,9%	2,0%	5,8%	1,0%
métiers de la médecine				0,7%	1,9%	6,6%		0,5%	1,8%	1,0%	8,7%	3,1%
métiers de la terre	10,0%	92,3%	91,9%	94,8%	36,8%	37,2%	12,5%	88,9%	84,2%	74,0%	15,9%	35,7%
métiers de l'alimentation	15,0%	0,4%	3,8%	1,5%	1,9%	3,5%		2,6%	3,5%	1,0%	7,2%	2,0%
métiers de l'hébergement					0,9%						1,4%	
métiers du commerce	5,0%	0,4%	1,3%	1,5%	10,4%	4,0%	16,7%	0,5%	4,4%	16,0%	7,2%	2,0%
noblesse		0,4%						1,6%		1,0%	1,4%	
religieux	5,0%				3,8%						1,4%	3,1%
NR	40,0%				15,1%	12,8%	41,7%				15,9%	12,2%

Fig. 253 : répartition des catégories de professions par gaches entre 1459 et 1814

D'après le terrier de 1459 (ADTG, A121), les registres de taille de 1559 (AC Saint-Antonin, CC20), 1585 (AC Saint-Antonin, CC23), 1628 (AC Saint-Antonin, CC30) et le compoix de 1670 (AC Saint-Antonin, CC7-10). Les données tirées des rôles de la taille sont en italique. Les valeurs sont exprimées en pourcentage du nombre de contribuable par gache.

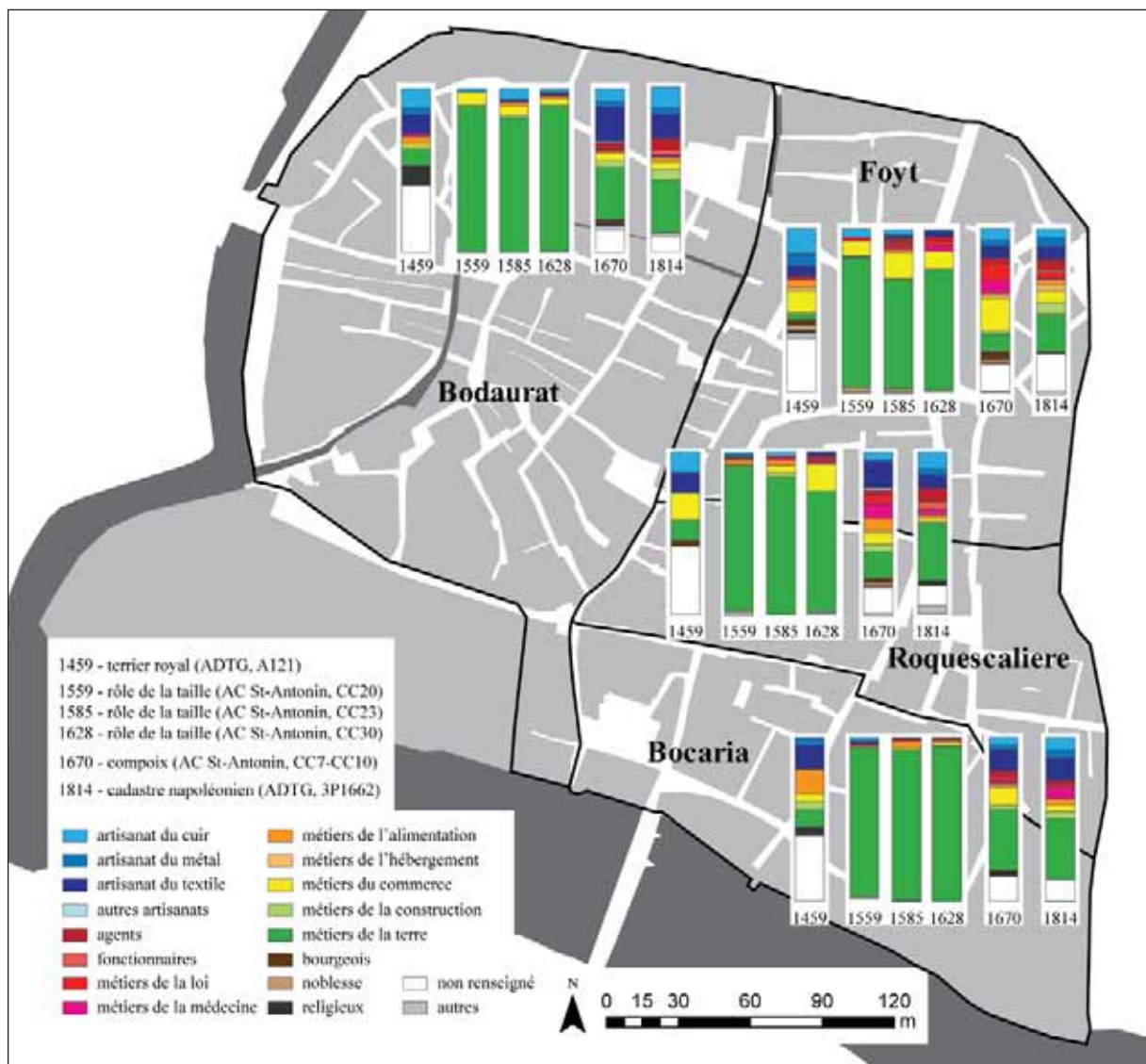


Fig. 254 : répartition des catégories de professions par gaches d'après le terrier de 1459, les registres de taille de 1559, 1585, 1628 et le compoix de 1670  
 Les valeurs sont exprimées en pourcentage du nombre de contribuable par gache (fig. 253)

	nombre de feux			pourcentage de chaque classe			pourcentage de la population totale		
	classe 1	classe 2	classe 3	classe 1	classe 2	classe 3	classe 1	classe 2	classe 3
ville	632	414	117	100%	100%	100%	56%	35%	10%
Bodaurat	249	183	49	39%	44%	42%	52%	38%	10%
Foyt	116	85	45	18%	21%	38%	48%	35%	18%
Bocaria	141	90	15	22%	22%	13%	58%	37%	6%
Roquescalière	126	56	8	20%	14%	7%	66%	29%	4%

classe 1 : allivrement inférieur à 10 sous  
 classe 2 : allivrement entre 10 et 40 sous  
 classe 3 : allivrement supérieur à 40 sous

Fig. 255 : répartition des classes de fortune, d'après le rôle de la taille de 1559  
 Les catégories sont celles définies par Bernard Jouven.



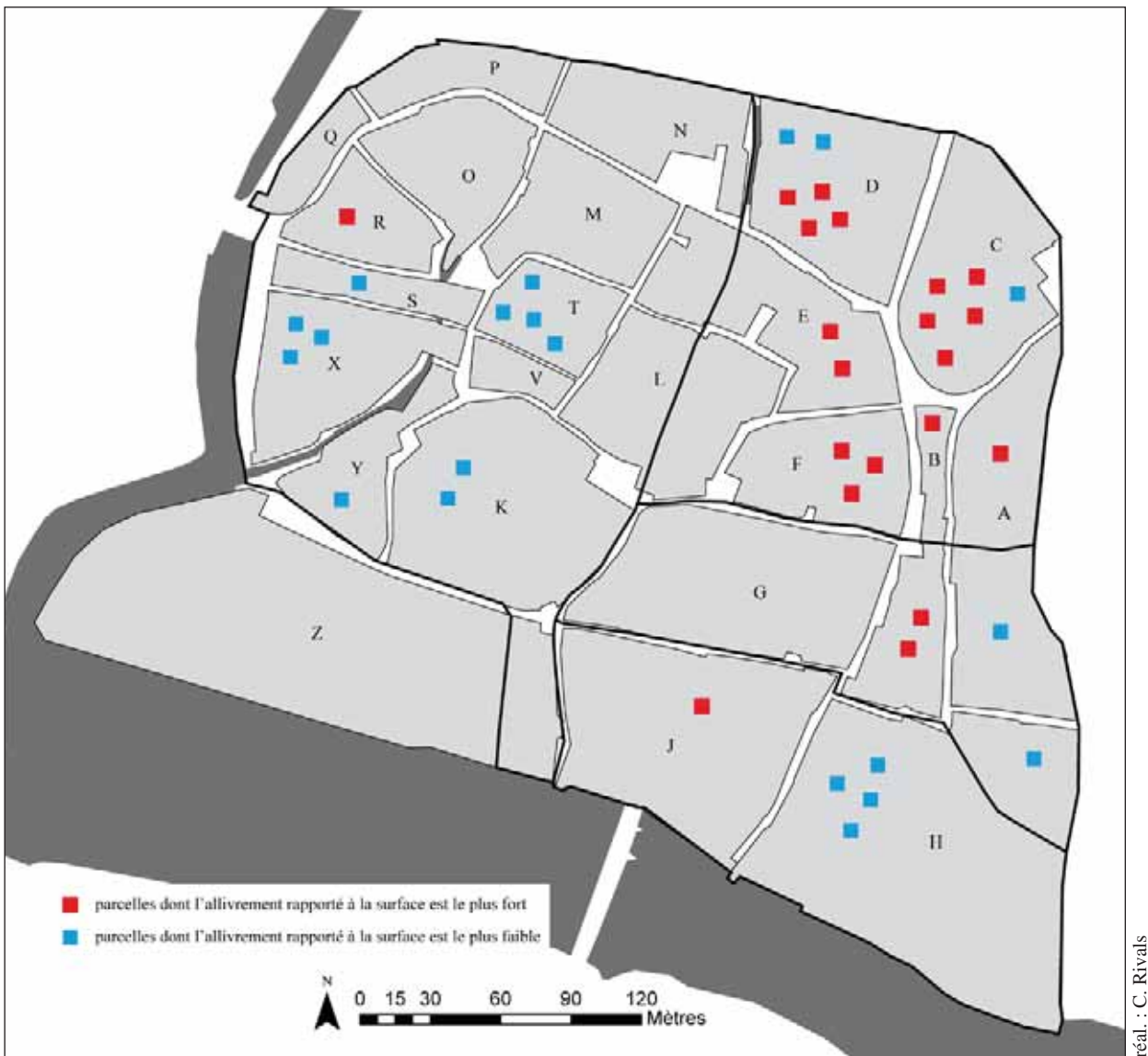
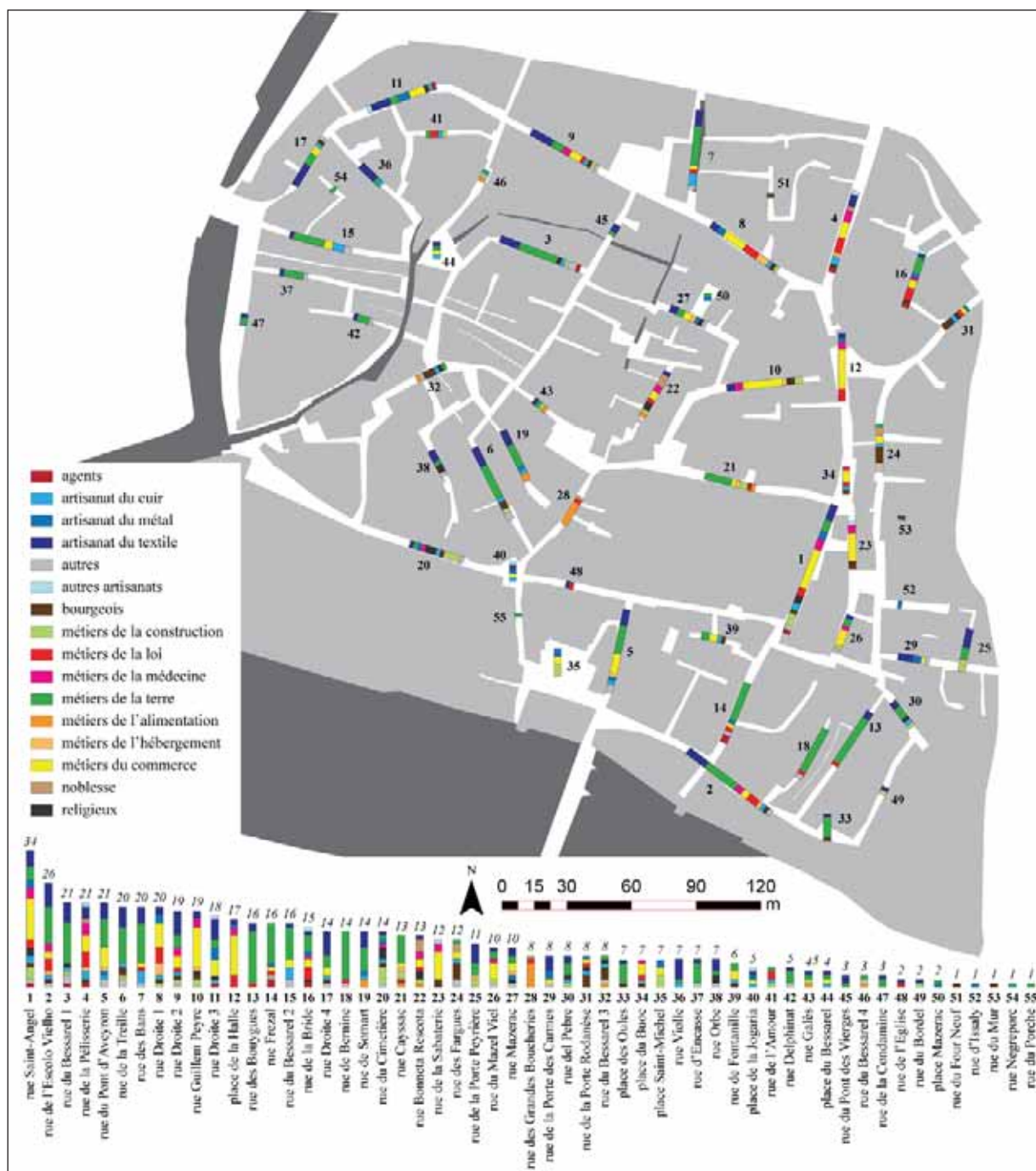


Fig. 256 : localisation, dans les moulons, des 20 parcelles habitées dont le montant de l'allivrement rapporté à la cane<sup>2</sup> est le plus fort et des 20 parcelles habitées dont il est le plus faible, d'après le compoix de 1670



réal. : C. Rivals

Fig. 257 : répartition des professions des propriétaires par rue d'après le compoix de 1670  
 Il s'agit d'une double grille de lecture, les diagrammes sont placés sur les rues et reproduits en-dessous. Les nombres en italique correspondent au nombre de parcelles dont le propriétaire appartient à chaque catégorie. Les nombres en gras permettent d'identifier les rues. Les parcelles pour lesquelles la profession ou le statut du propriétaire n'est pas indiqué n'ont pas été prises en compte pour faciliter la lecture.



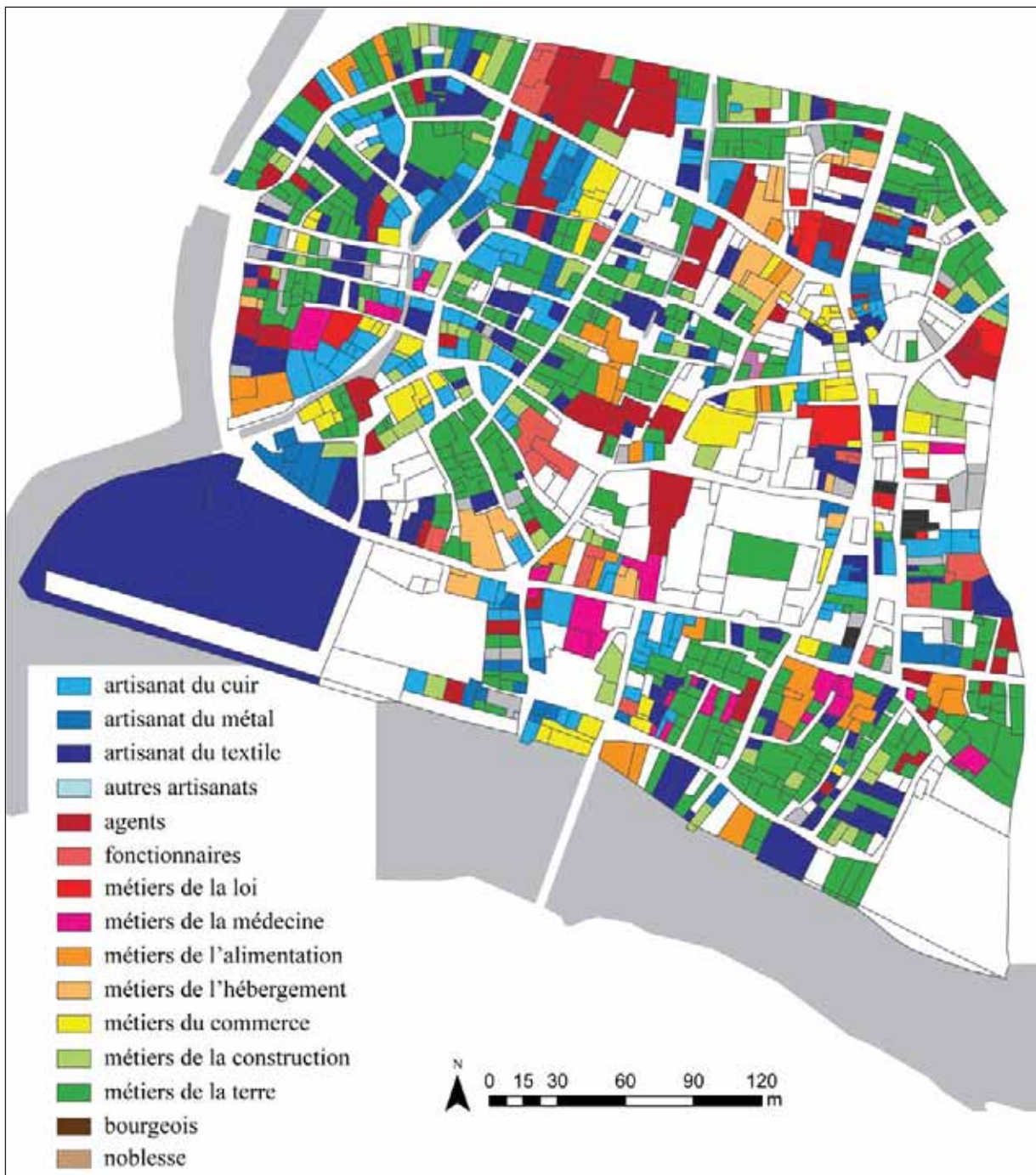
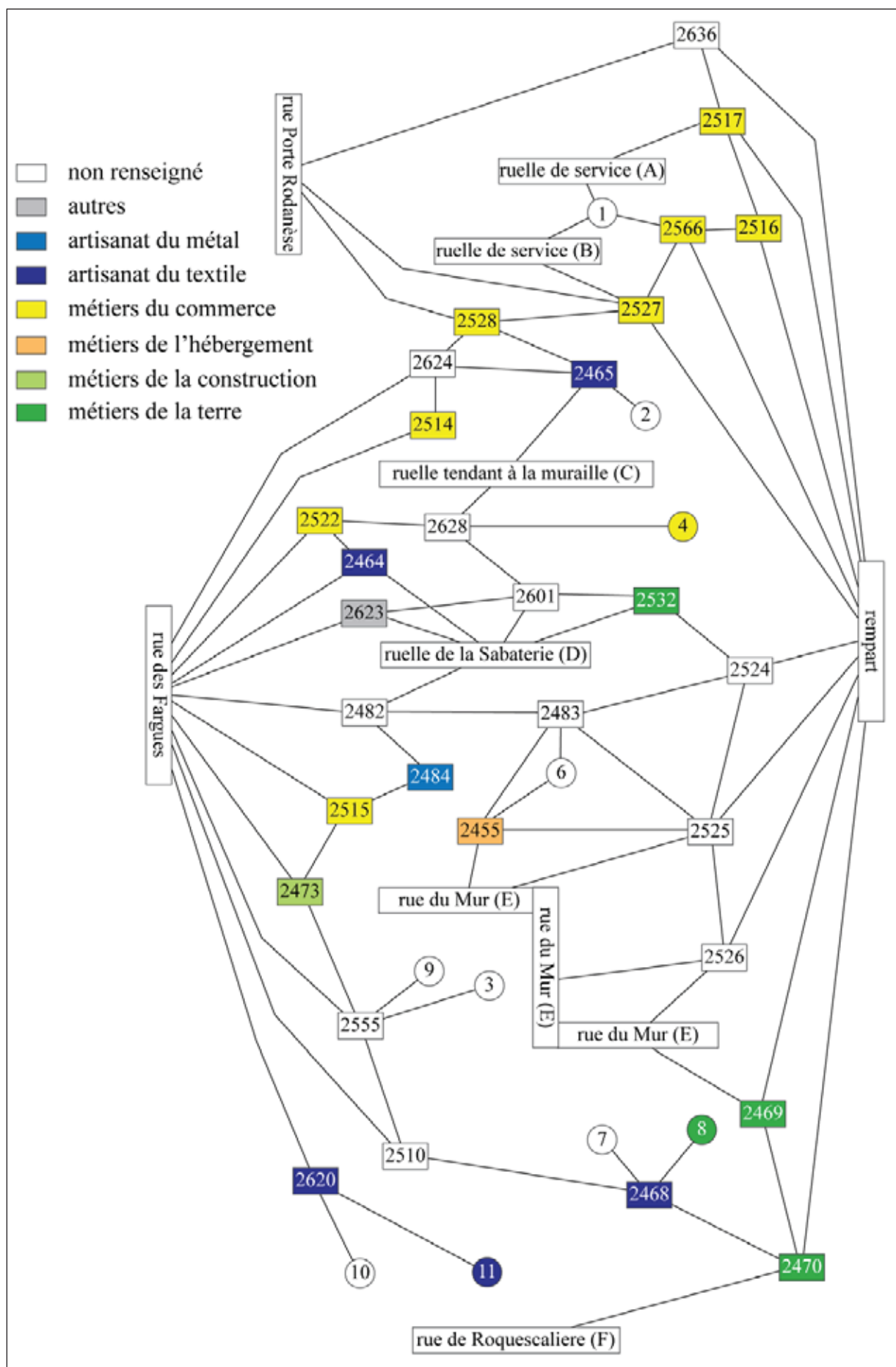


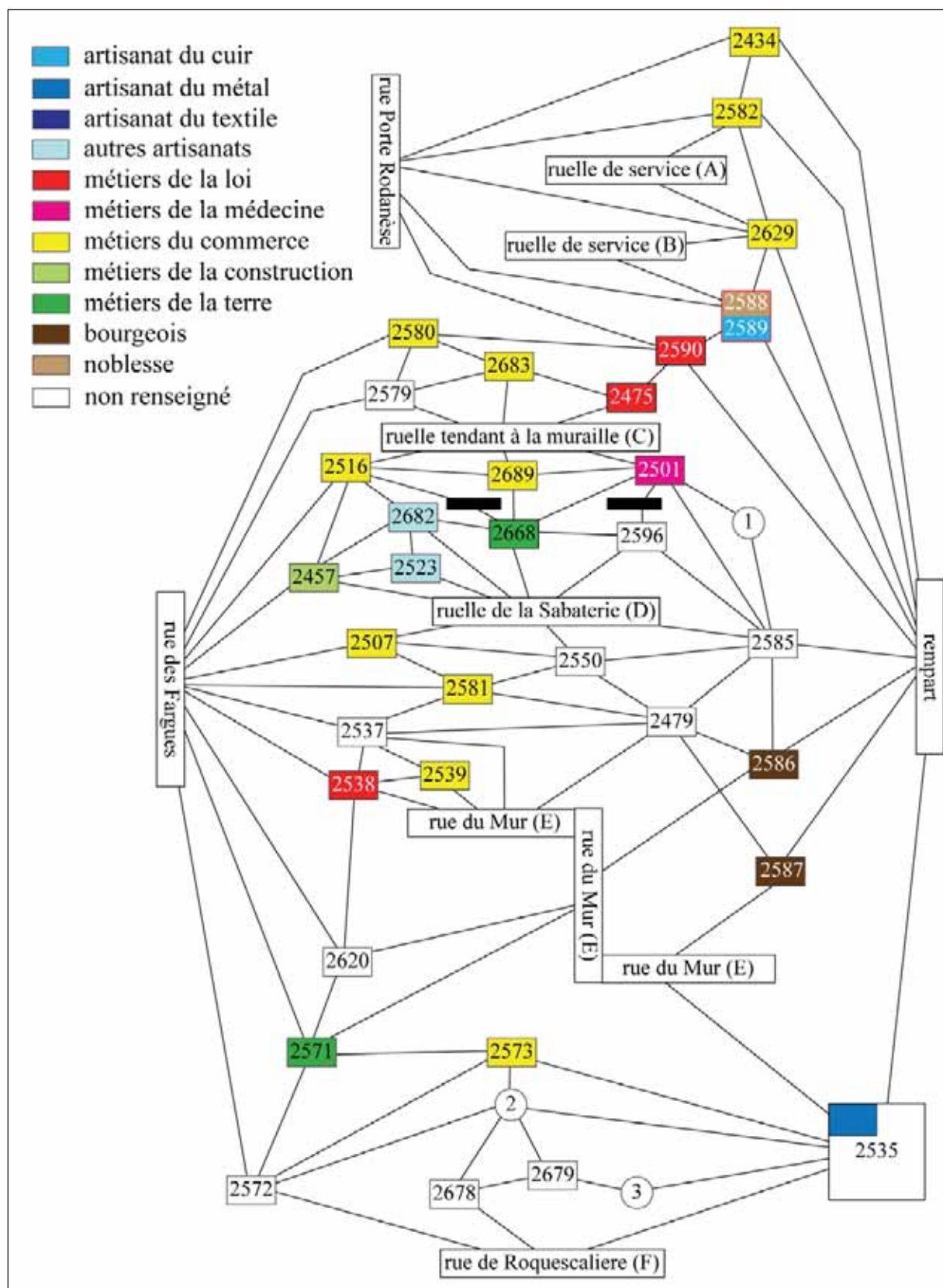
Fig. 258 : les professions des propriétaires de parcelles d'après le cadastre napoléonien



réal. : C. Rivals

Fig. 259 : répartition des professions sur le graphe parcellaire du moulin A d'après le terrier royal de 1459



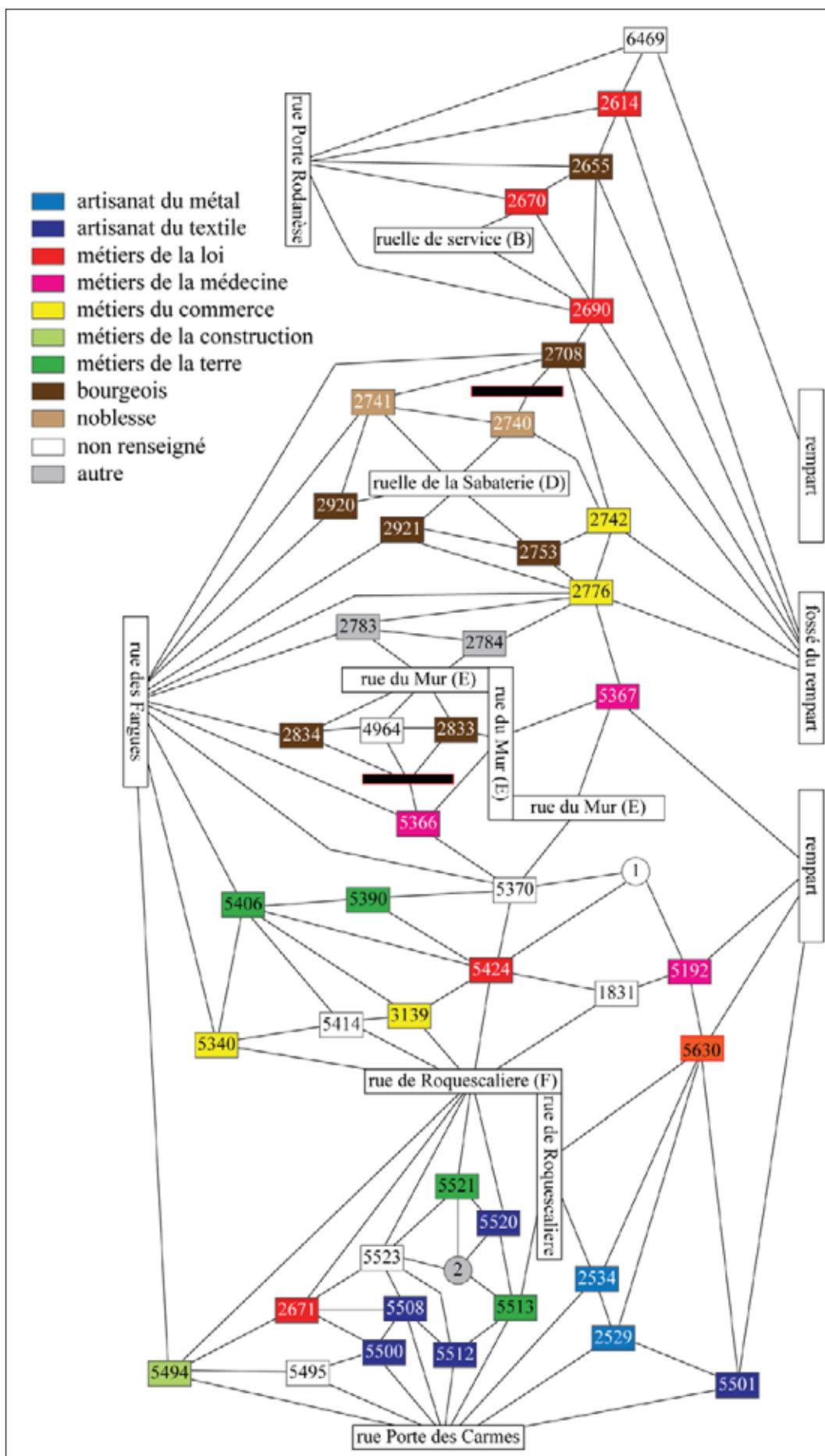


réal. : C. Rivals

Fig. 260 : répartition des professions sur le graphe parcellaire du moulin A d'après le terrier royal de 1609

La parcelle n°2535 était détenue par cinq propriétaires et correspondait à plusieurs maisons et bouigues. L'un des propriétaires était serrurier, la profession des autres n'est pas indiquée.

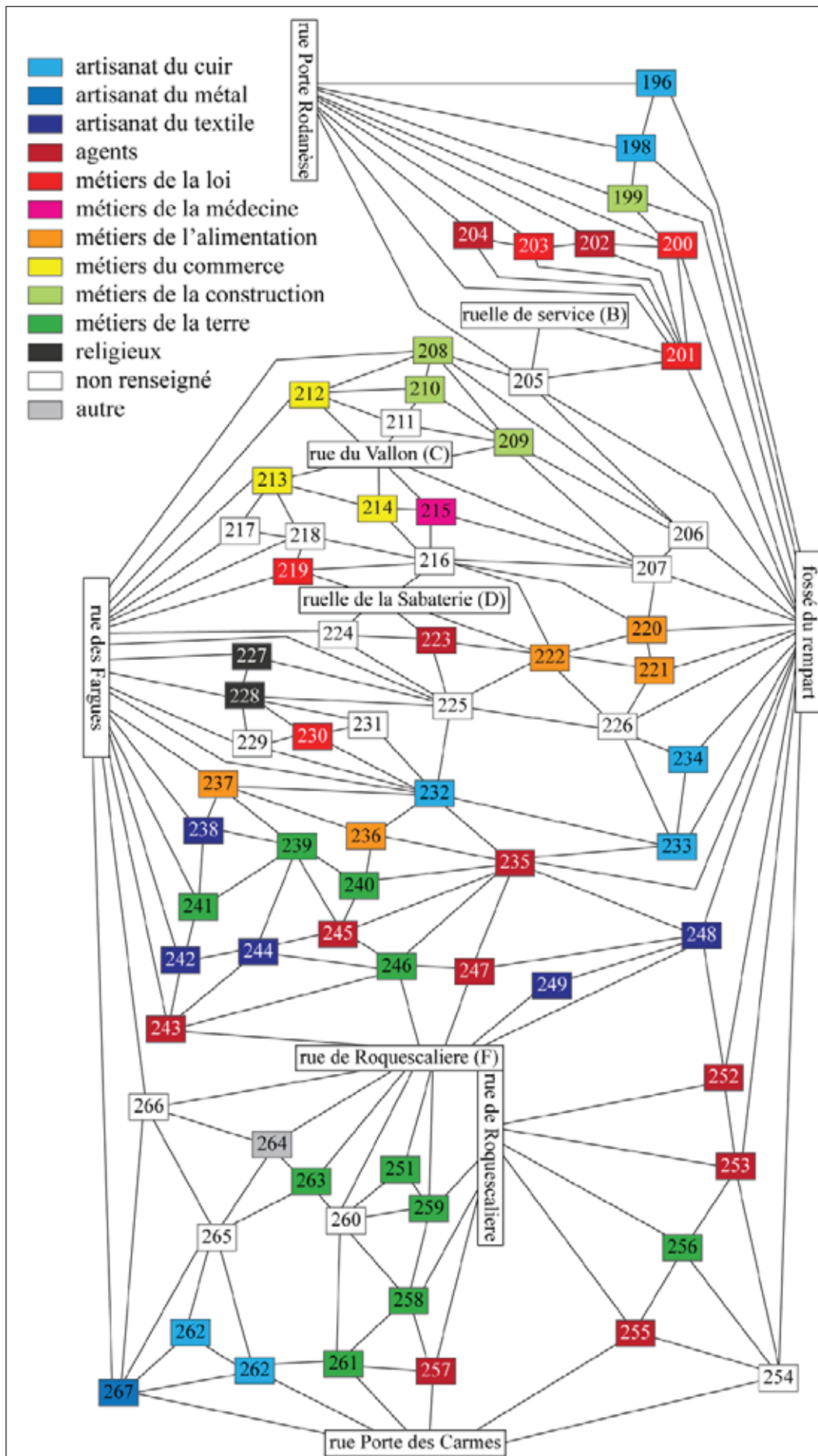
La parcelle n°2589 était une boutique située au rez-de-chaussée de la maison n°2588.



réal. : C. Rivals

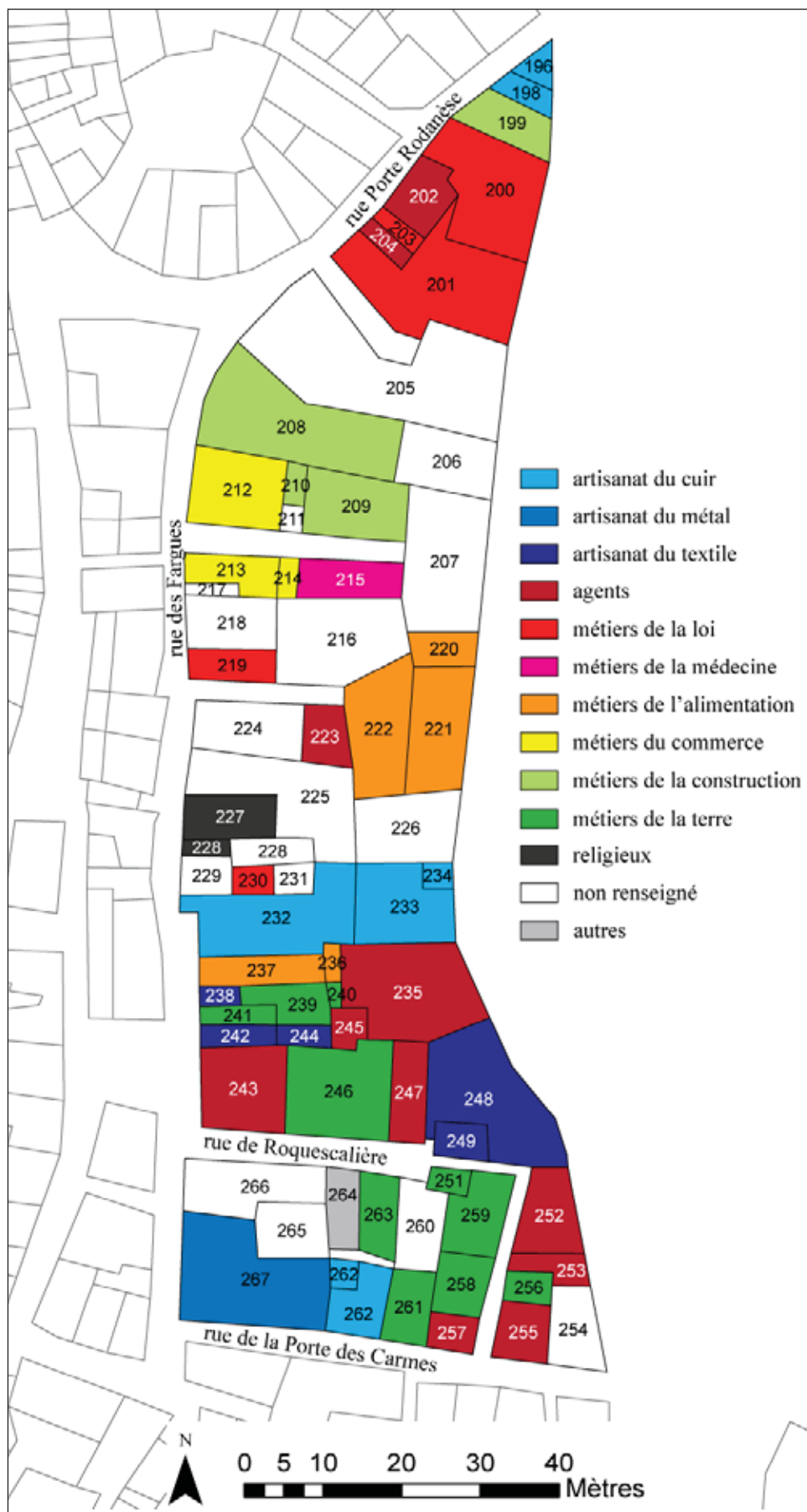
Fig. 261 : répartition des métiers sur le graphe parcellaire du moulin A d'après le compoix de 1670





réal. : C. Rivals

Fig. 262 : répartition des métiers sur le graphe parcellaire du moulin A d'après le cadastre napoléonien de 1814



réal. : C. Rivals

Fig. 263 : répartition des métiers sur le cadastre napoléonien dans le moulin A



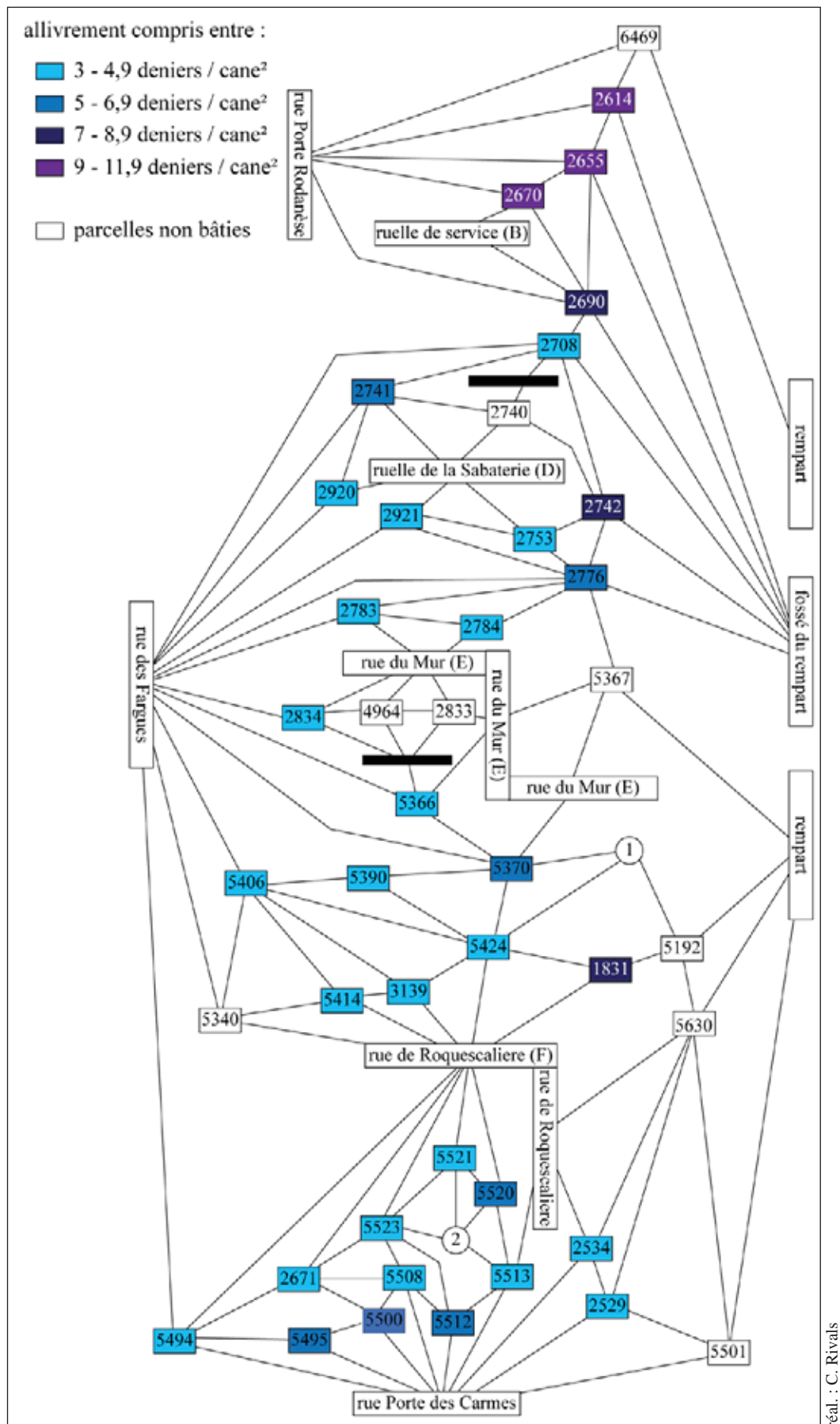
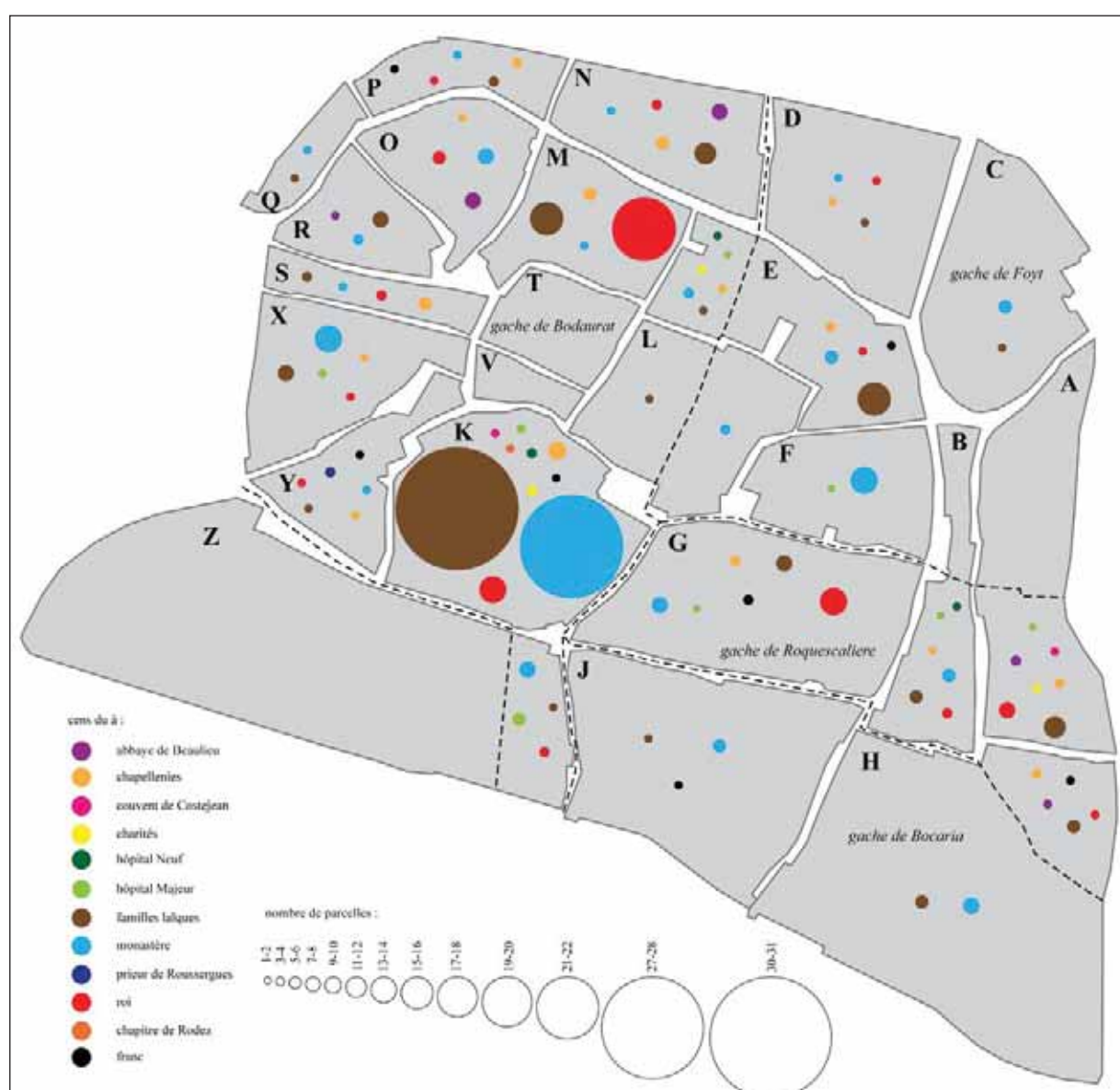


Fig. 264 : répartition du montant de l'allivrement rapporté à la cane<sup>2</sup> des parcelles du moulon A sur le graphe parcellaire issu du compoix de 1670

Les parcelles non bâties ayant un allivrement nettement inférieur (entre 2 et 4 deniers / cane<sup>2</sup>), elles n'ont pas été prises en compte et sont laissées blanches.

gache	seigneur											
	roi	moustier	familles laïques	alleu franc	abbaye de Beaulieu	prieuré de Costejean	chapitre de Rodez	charités	hôpital Majeur	hôpital Neuf	prieur de Roussergues	chapellemies
Foyt	2	33	6	2					1			6
Bocaria	1	26	9	2								2
Bodaurat	79	109	232	9	22	1	2	7	16	5	4	59
Roquescaliere	34	19	51	8	4	2		2	5	2		19
non localisé		7	3						1			0
total	116	194	301	21	26	3	2	9	23	7	4	86

Fig. 265 : seigneurs mentionnés dans le registre des *Maniffests* de 1500



réal. : C. Rivals

Fig. 266 : répartition par moulin des parcelles sur lesquelles pèse un cens, d'après le registre des *Maniffests* de 1500

Les registres qui concernent les gaches de Foyt et Bocaria ont disparu. Aussi, les parcelles présentes dans ces gaches appartenaient à des propriétaires résidant dans les gaches de Bodaurat ou Roquescaliere. Cette carte n'est donc pas représentative de l'ensemble des parcelles urbaines.



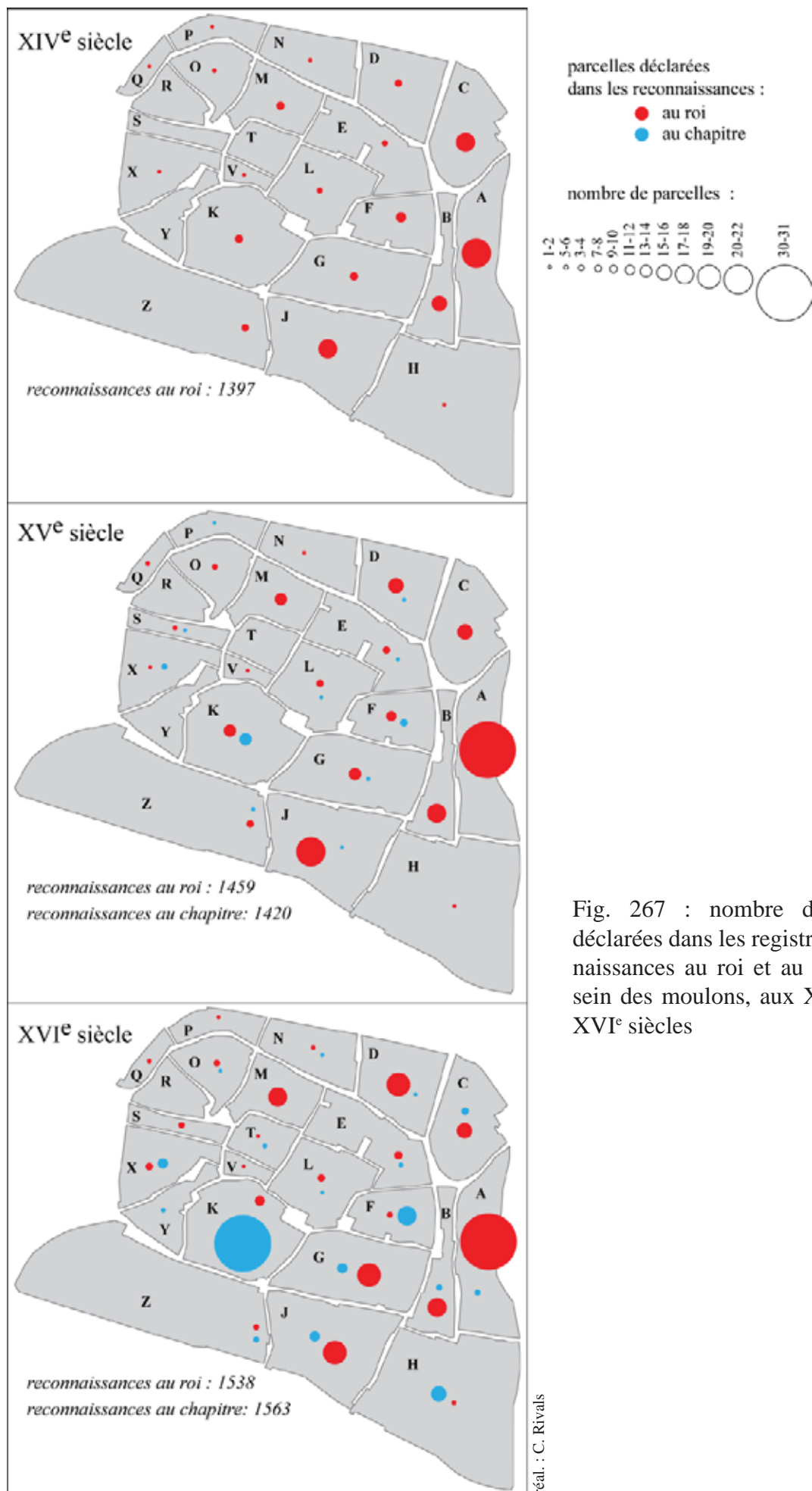
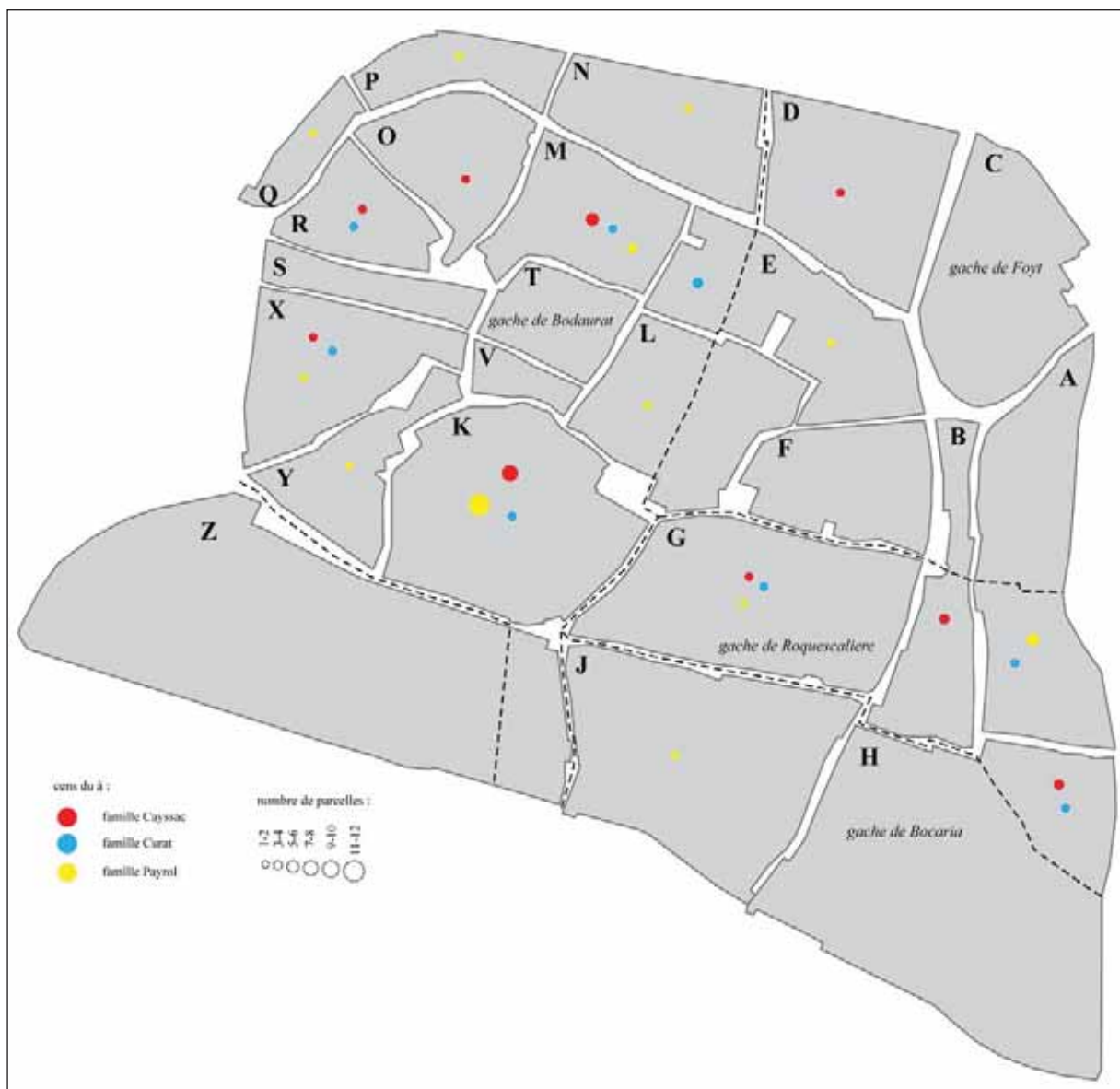


Fig. 267 : nombre de parcelles déclarées dans les registres de reconnaissances au roi et au chapitre, au sein des moulons, aux XIV<sup>e</sup>, XV<sup>e</sup> et XVI<sup>e</sup> siècles

<b>famille</b>	<b>nombre de parcelles chargées d'un cens</b>	<b>famille</b>	<b>nombre de parcelles chargées d'un cens</b>
Agens	3	Hebrard	1
Armel	1	Joguet	1
Baudus	2	Just	1
Bérail	1	Latreille	2
Bories	1	Mandi	3
Bousquet	3	Montagne	2
Bouysset	6	Montaigu	1
Brunenchou	2	Nissolières	12
Cagnac	5	Paillayrols	7
Cassapeyre	1	Payrol	80
Cayssac	57	Pénavaire	2
Cluzel	3	Popie	3
Colombier	2	Regourt	3
Court	1	Reynes	1
Coustillères	2	Rouquier	2
Curat	31	Saint-Cirq	2
Delchier	1	Saint-Just	1
Delscamps	10	Saint-Privat	4
Demetge	1	Saint-Sulpice	5
Donzel	1	Sancery	4
Duel	2	Sauzet	2
Faugère	1	Savignac	2
Fournier	1	Sérignac	2
Gardes	18	Sérignac	1
Gimbal	1	Taurines	2
Grimal	3	Villeneuve	4

Fig. 268 : famille laïques recevant un cens, mentionnées dans le registre des *Manifests* de 1500





réal. : C. Rivals

Fig. 269 : répartition par moulin des parcelles dont le cens est du aux trois familles laïques les plus possessionnées en ville, d'après les *Manifests* de 1500

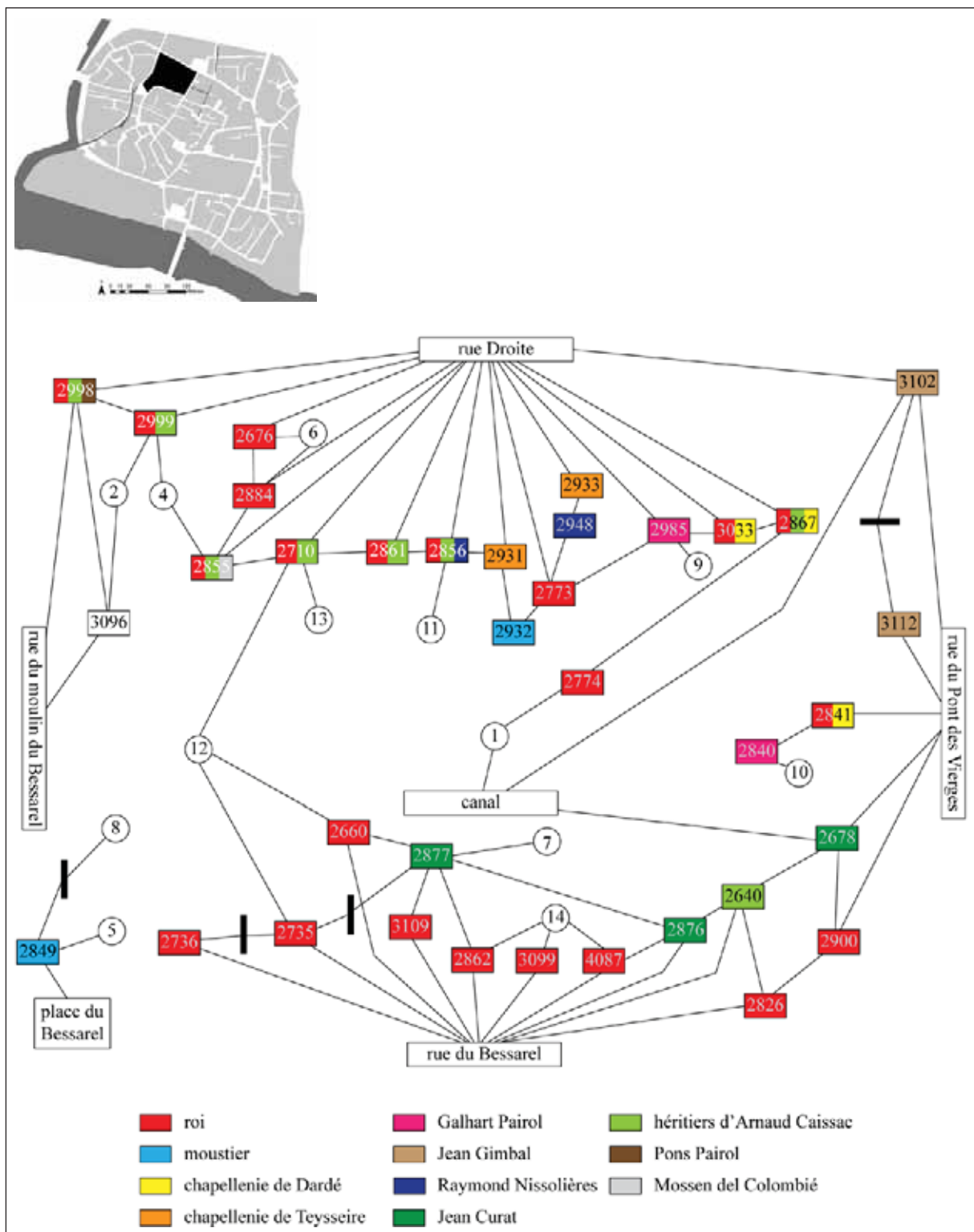


Fig. 270 : seigneur auquel les propriétaires des parcelles du moulon M doivent un cens, sur le graphe parcellaire issu des *Maniffests* de 1500

réal. : C. Rivals





réal. : C. Rivals

Fig. 271 : fiefs de l'îlot E7 au Moyen Âge et à la période moderne  
D'après Cécile Gloriès, « Un exemple d'analyse de parcellaire urbain... », *op. cit.*, p. 79.

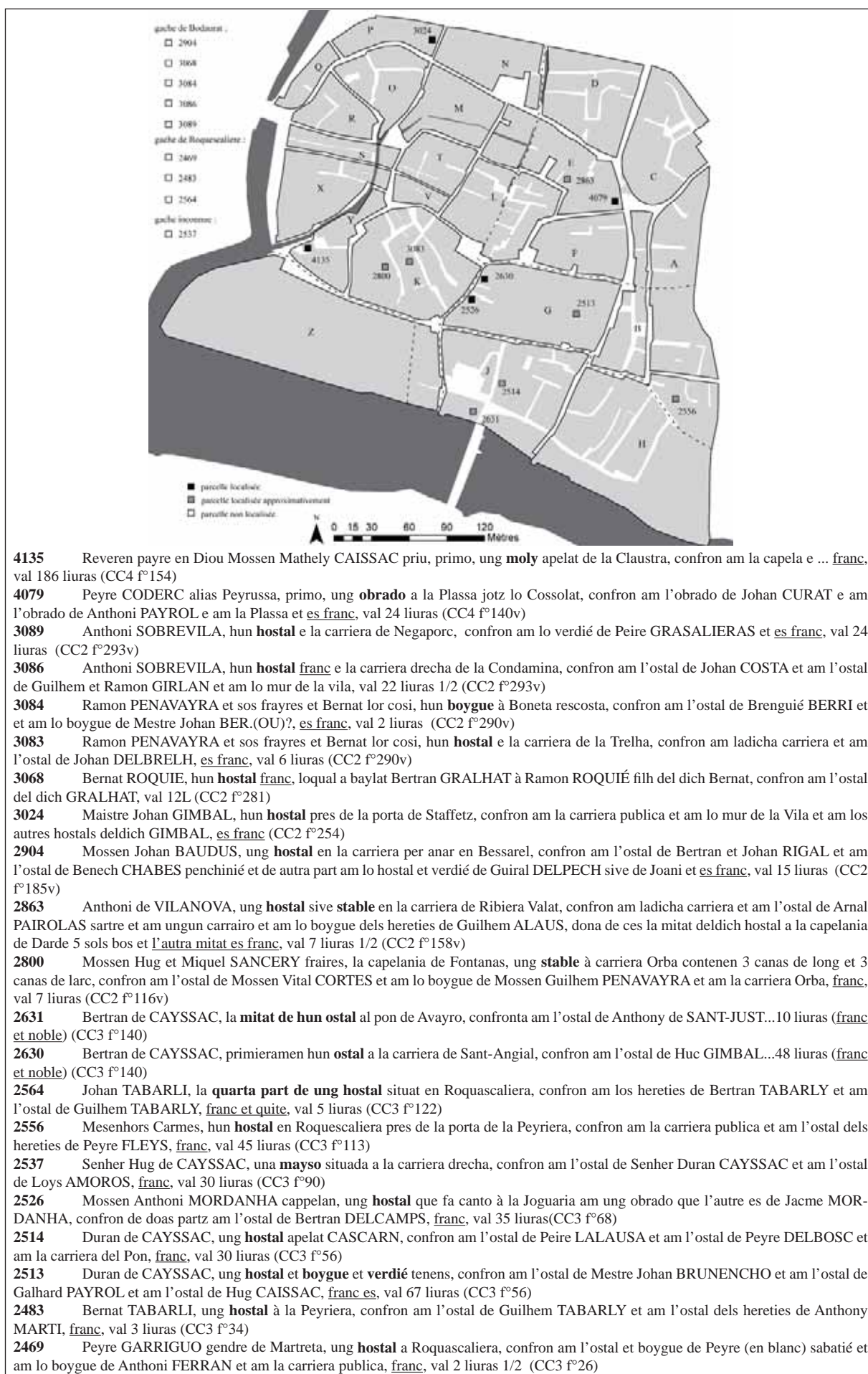


Fig. 272 : parcelles déclarées franchises dans le registre des *Manifests* de 1500

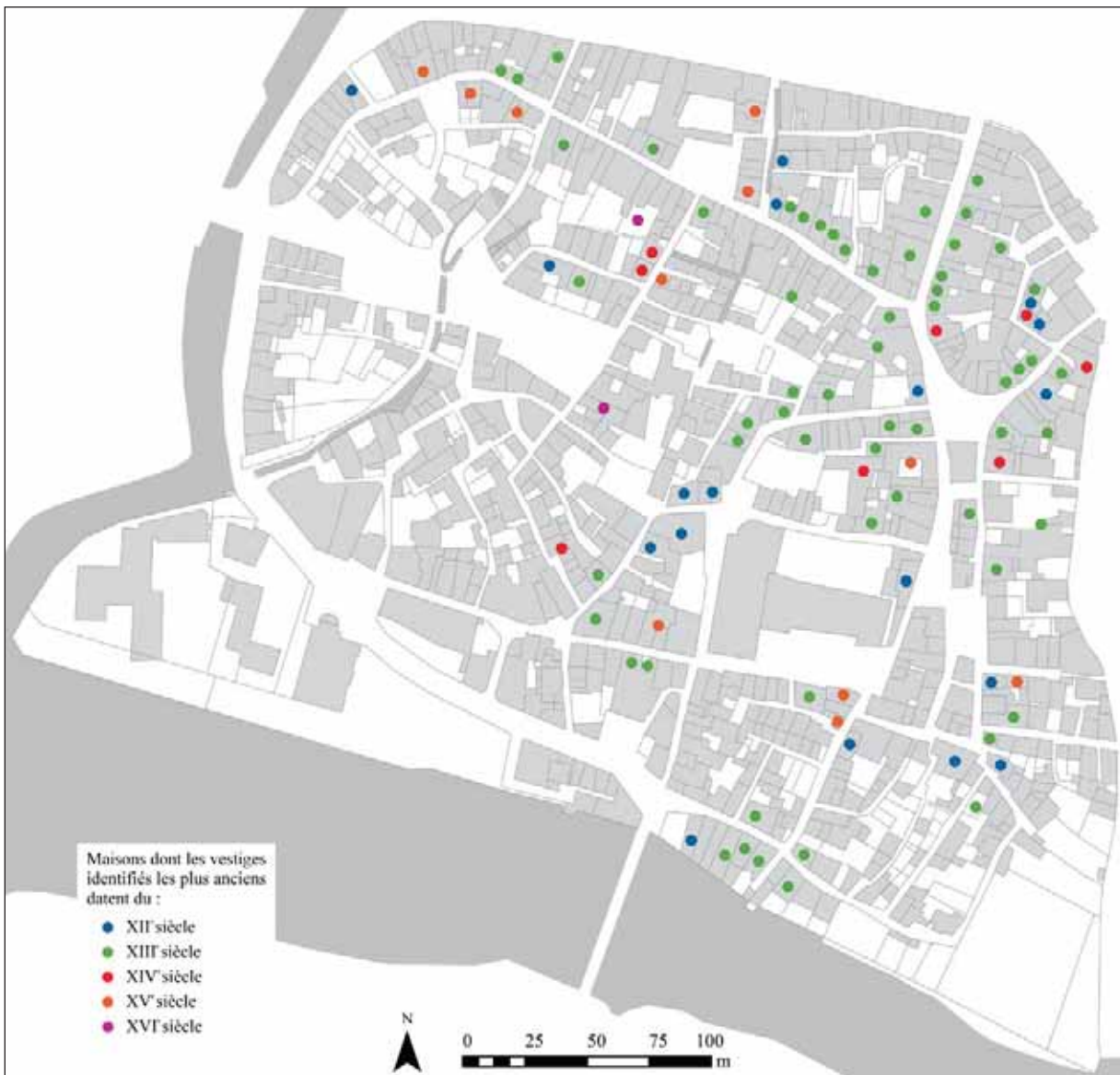
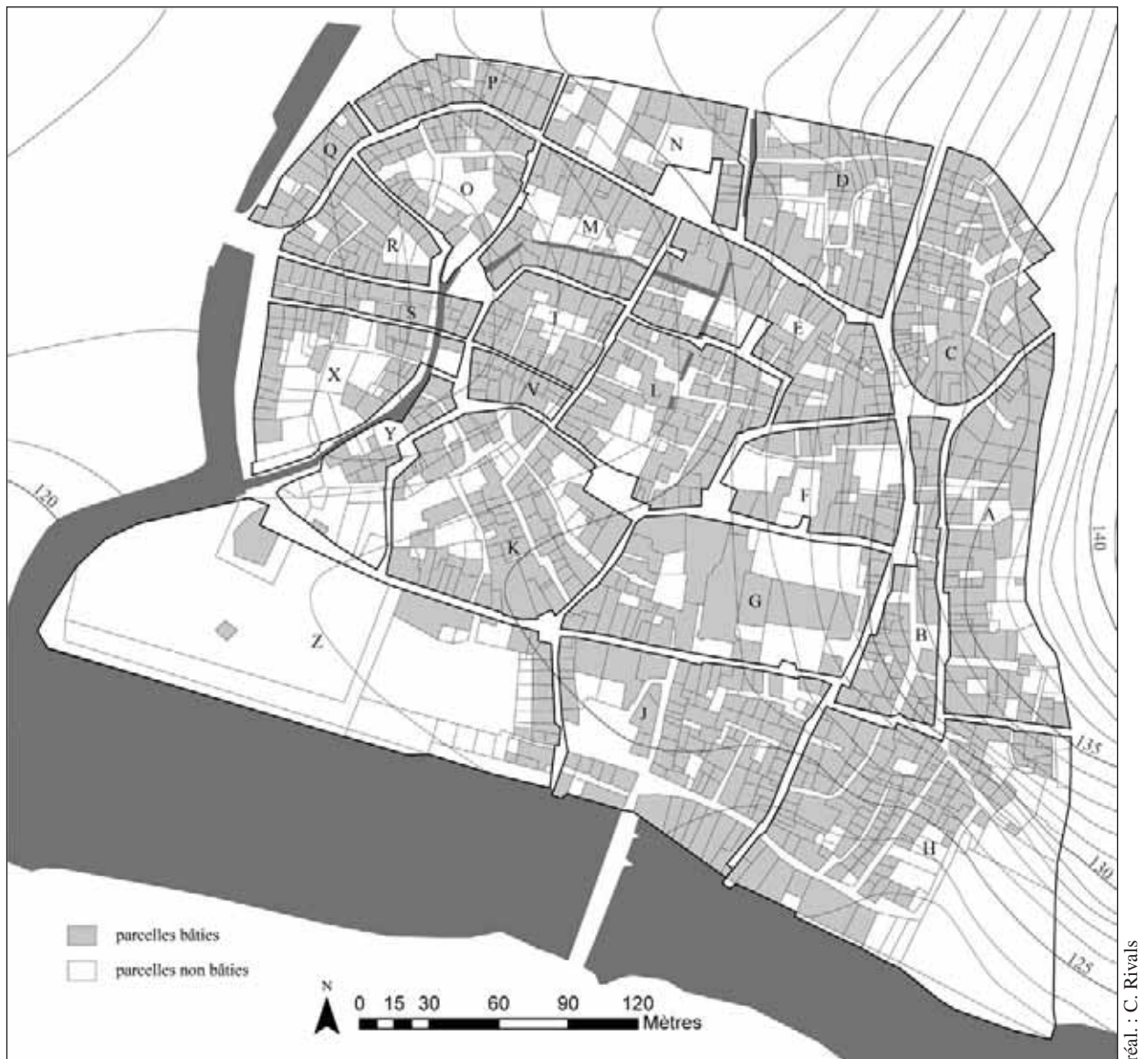


Fig. 273 : datation des vestiges identifiés dans les maisons de Saint-Antonin-Noble-Val





réal. : C. Rivals

Fig. 274 : parcellaire du cadastre napoléonien



Fig. 275 : îlots du cadastre napoléonien

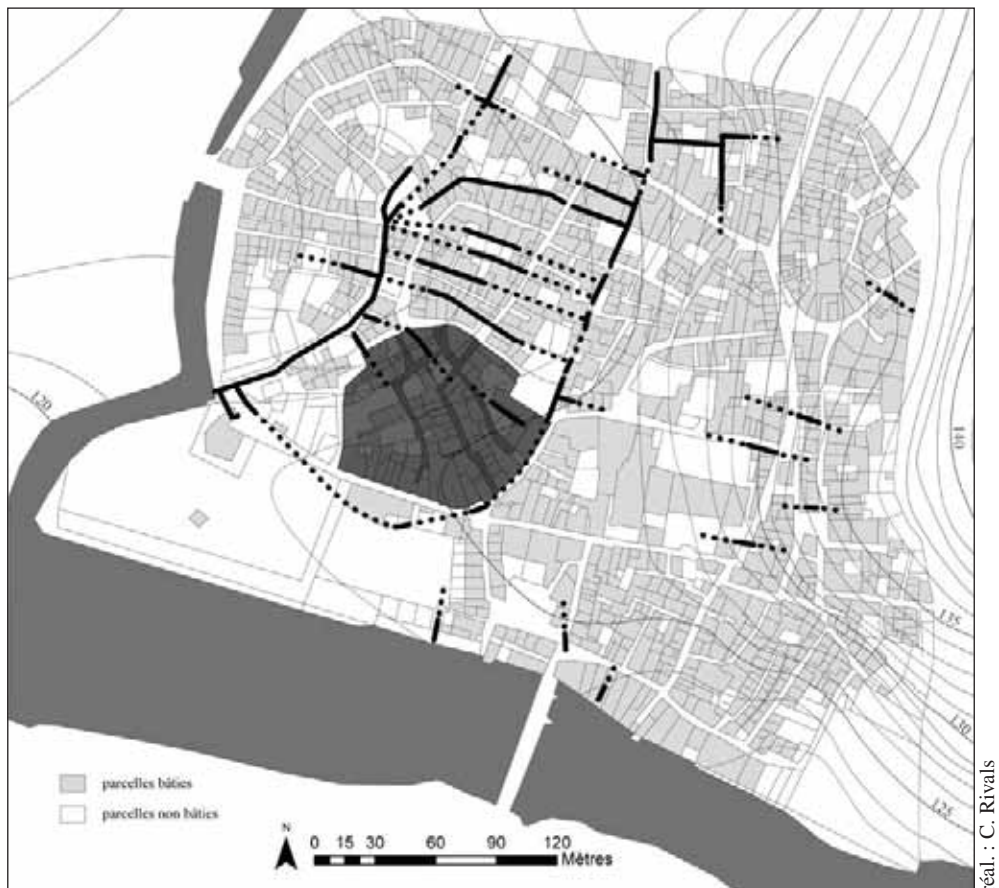


Fig. 276 : le moulin K, noyau primitif de l'agglomération ?





Fig. 277 : les chemins qui mènent à Caylus (1) et en direction de Villefranche-de-Rouergue (2), responsables de la forme atypique du moulon C (3), sur fond de cadastre actuel

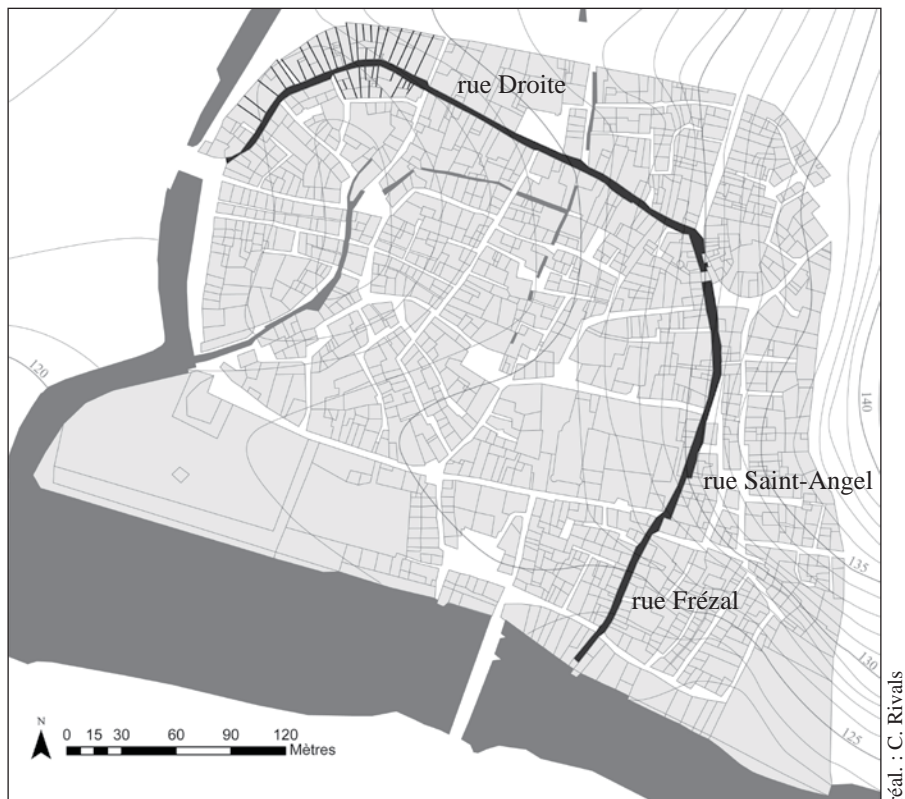


Fig. 278 : deux secteurs fortement contraints par la présence des fortifications, les moulons P et Q





Fig. 279 : répartition des espaces bâtis et non bâtis d'après le plan de 1782

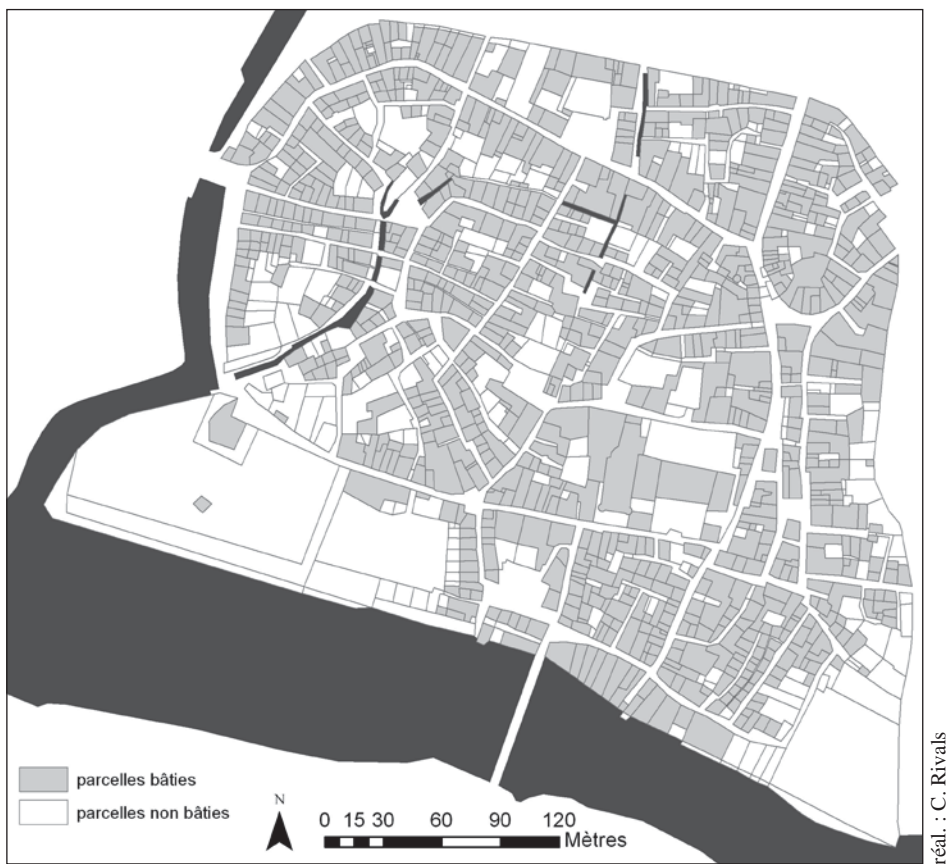


Fig. 280 : répartition des espaces bâtis et non bâtis d'après le cadastre napoléonien



Fig. 281 : surfaces des parcelles *intra muros* d'après le plan de 1782

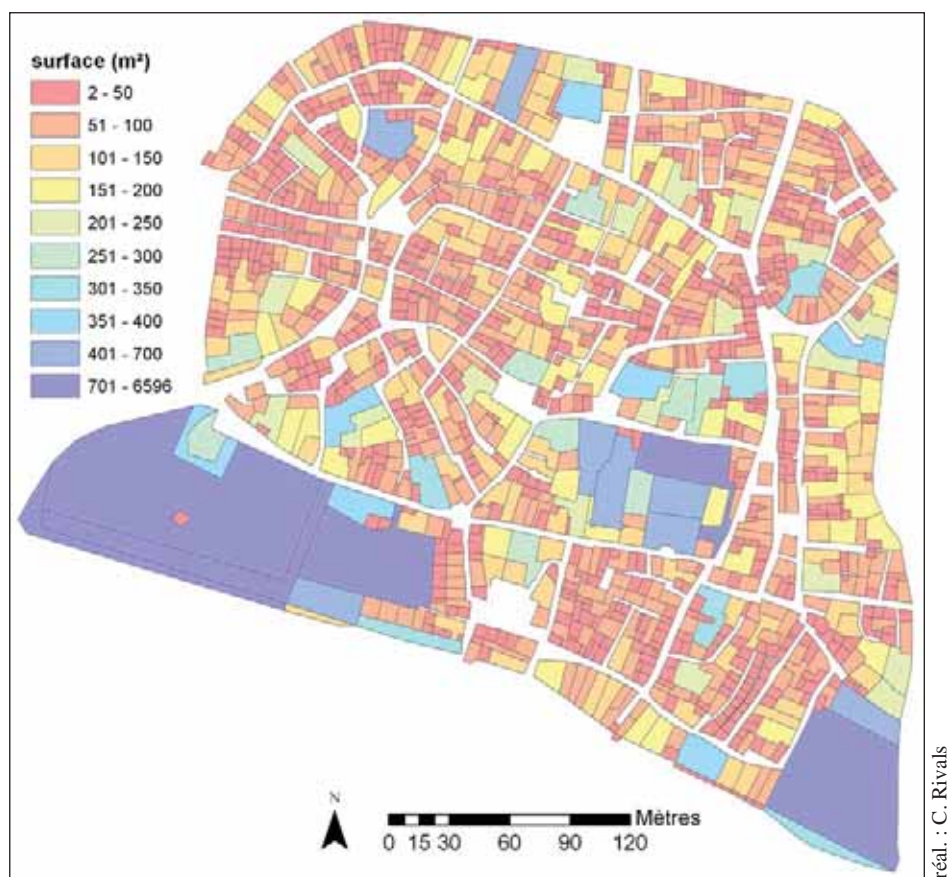


Fig. 282 : surfaces des parcelles *intra muros* d'après le cadastre napoléonien

	ville	Bocaria	Bodaurat	Foyt	Roquescaliere
<b>1500</b>					
parcelles bâties			80,6%		83,9%
parcelles non bâties			9,0%		5,7%
parcelles mixtes			15,5%		10,4%
<b>1670</b>					
parcelles bâties	65,0%	71,4%	59,3%	71,0%	60,0%
parcelles non bâties	11,4%	16,0%	10,4%	7,2%	14,4%
parcelles mixtes	23,6%	12,6%	30,2%	20,8%	23,2%
<b>1782</b>					
parcelles bâties	79,4%	85,0%	76,5%	80,9%	78,7%
parcelles non bâties	11,3%	11,4%	13,7%	6,0%	13,9%
parcelles mixtes	9,3%	3,6%	9,8%	13,2%	7,4%
<b>1814</b>					
parcelles bâties	75,7%	76,5%	76,1%	71,3%	74,5%
parcelles non bâties	24,3%	22,1%	22,1%	27,4%	25,5%

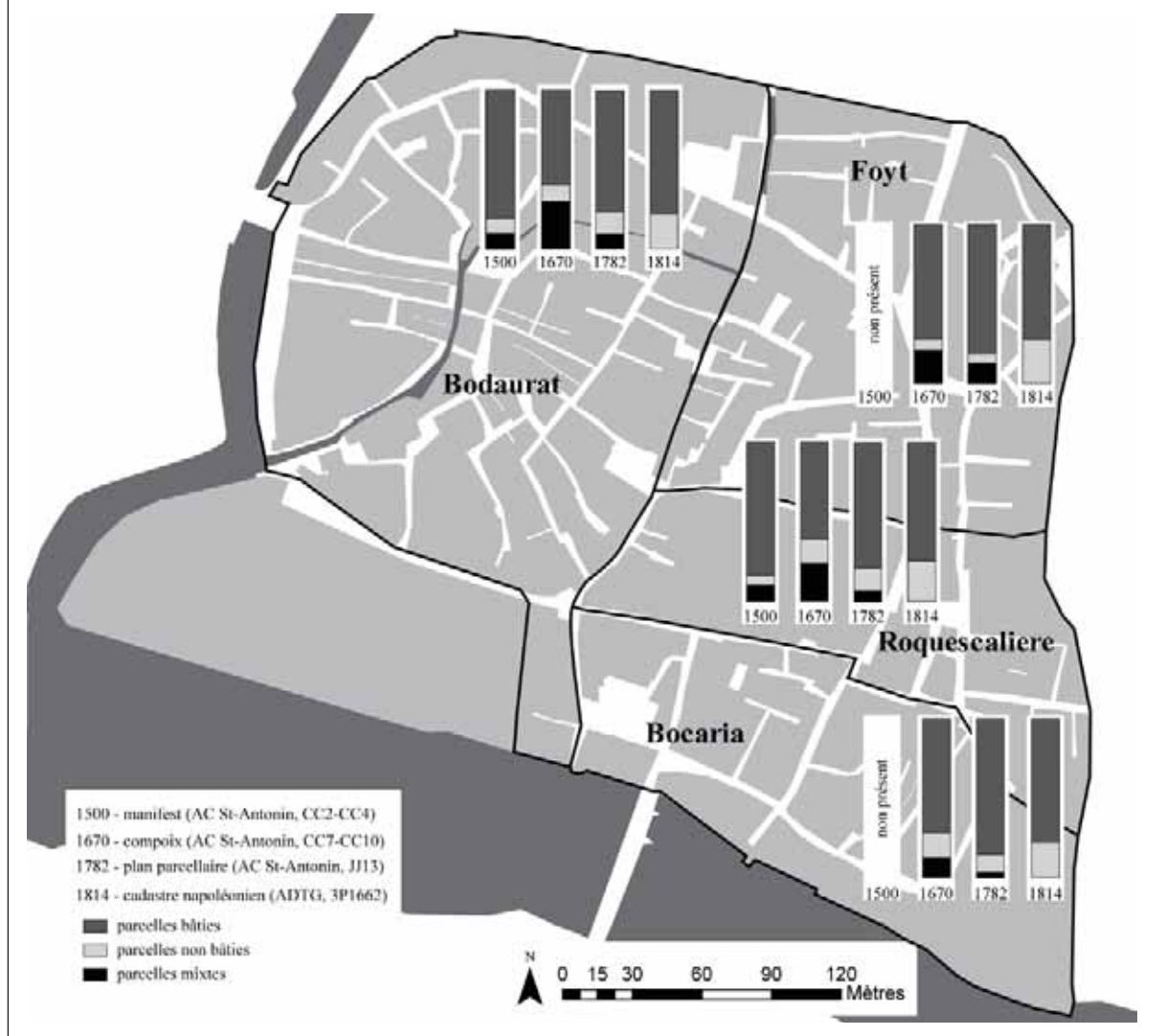
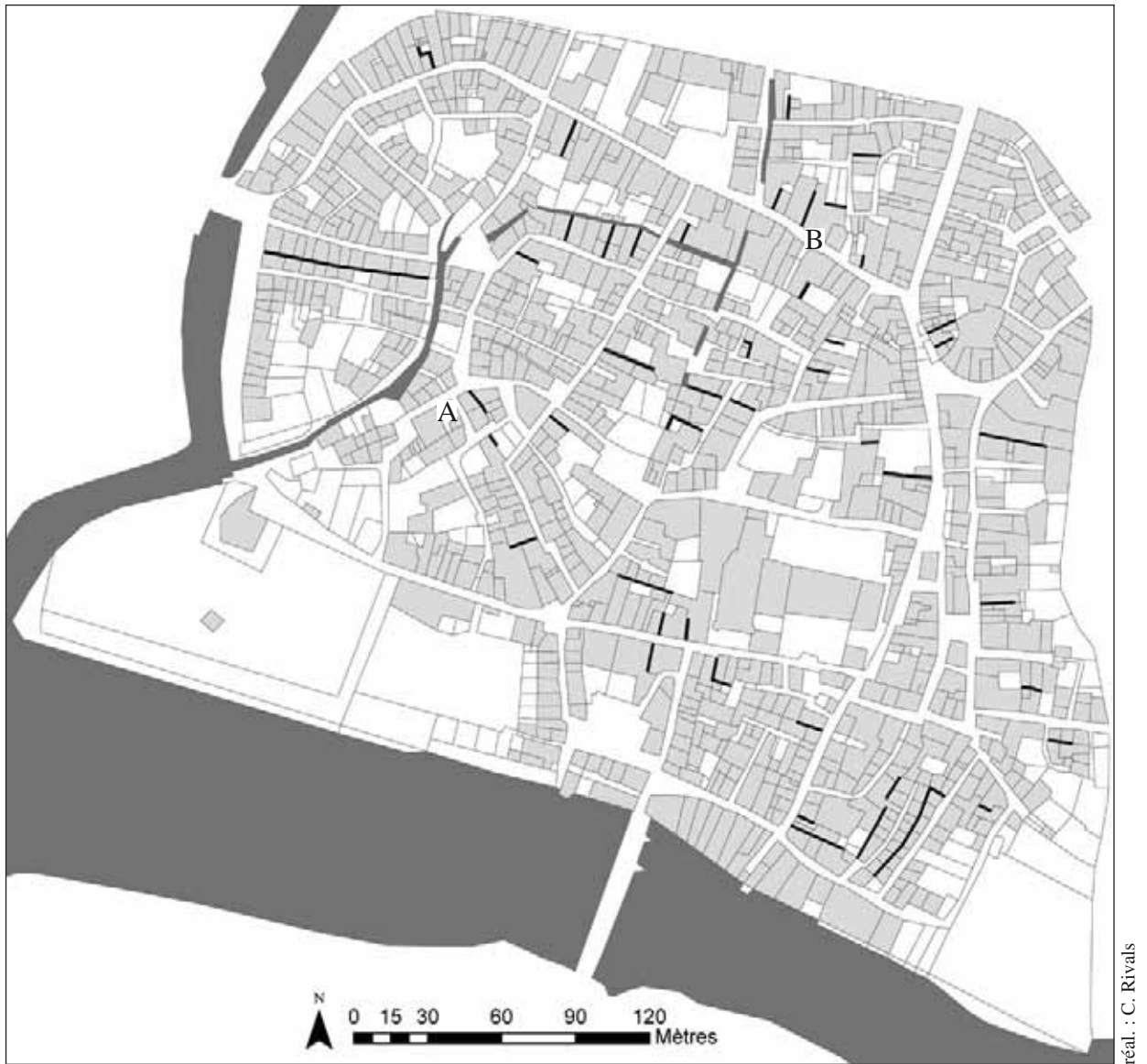


Fig. 283 : proportion de parcelles bâties, mixtes et non bâties par gaches d'après le registre des *Manifests* de 1500, le compoix de 1670, le plan parcellaire de 1782 et le cadastre napoléonien de 1814

Les valeurs sont exprimées en pourcentage du nombre de parcelles par gache.





réal. : C. Rivals

Fig. 284 : emplacement des venelles connues d'après les plans anciens et les vestiges, sur fond de cadastre napoléonien



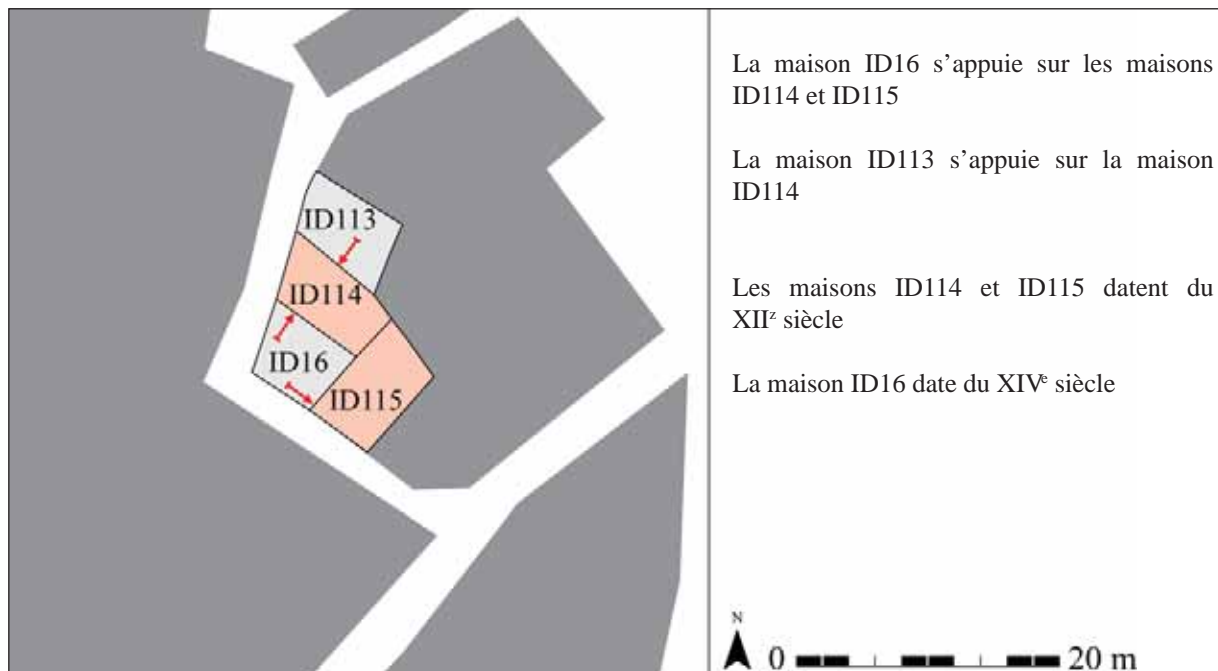
cliché : C. Rivals

Fig. 285 : venelle rue des Claustres (A)



cliché : C. Rivals

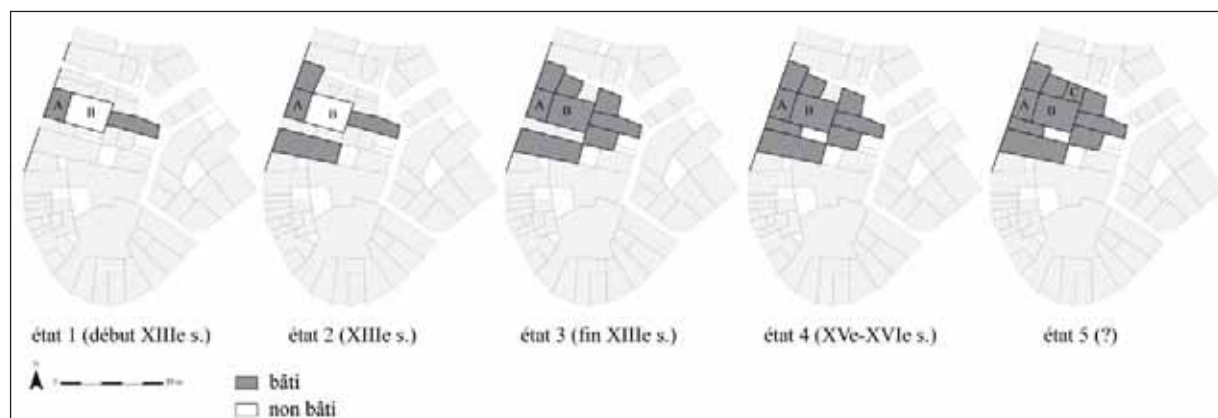
Fig. 286 : venelle rue Droite, à l'est de la maison ID32 (B)



Relations de chronologie relative entre les maisons ID16, 113, 114 et 115.

réal. : C. Rivals

Fig. 287 : organisation du tissu urbain à l'est de la rue de la Bride



réal. : C. Rivals

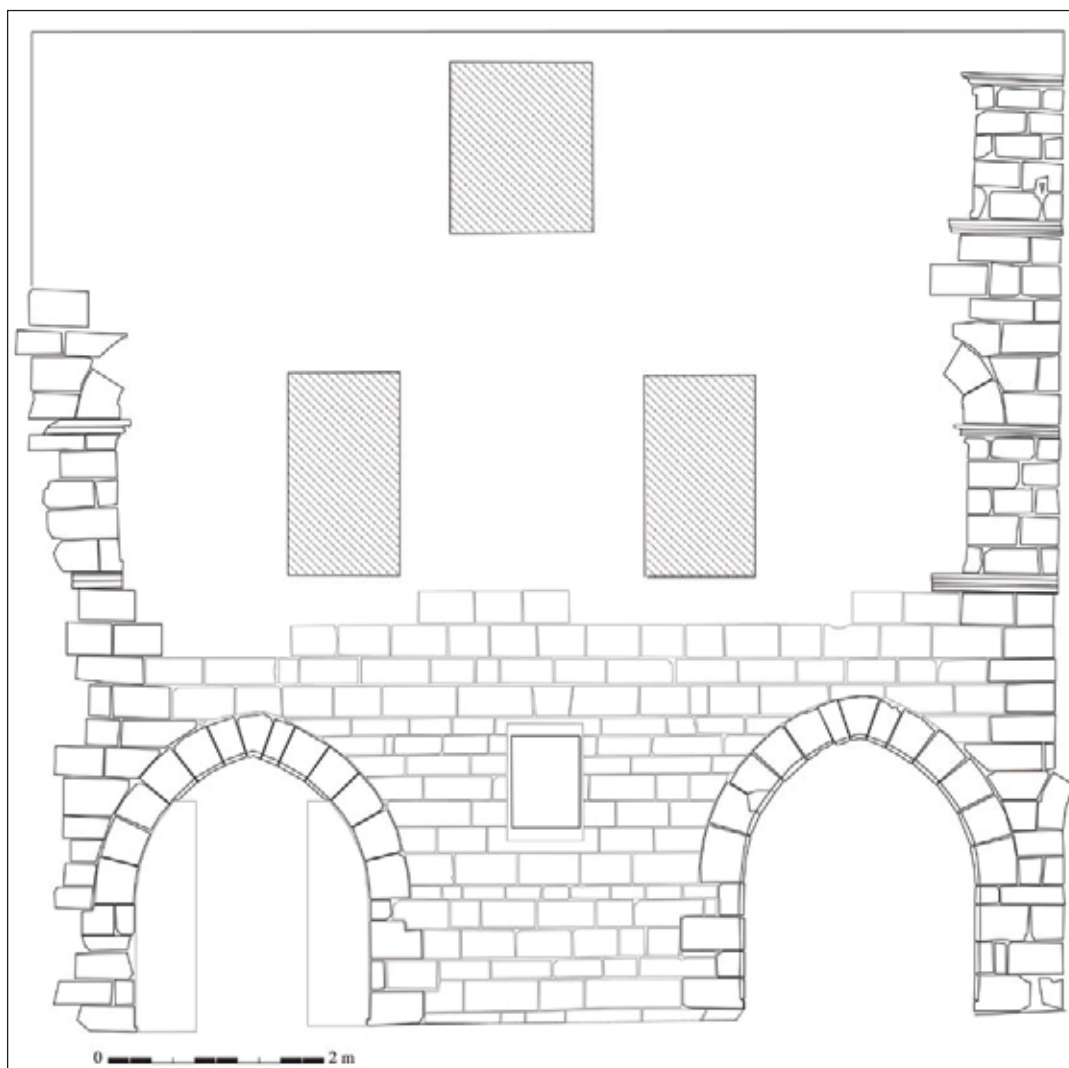
Fig. 288 : reconstitution hypothétique de la densification du bâti autour de la maison ID109, constituée des corps de bâtiments A, B et C





1. rue de Somart
2. rue des Grandes Boucheries
3. rue de la Treille

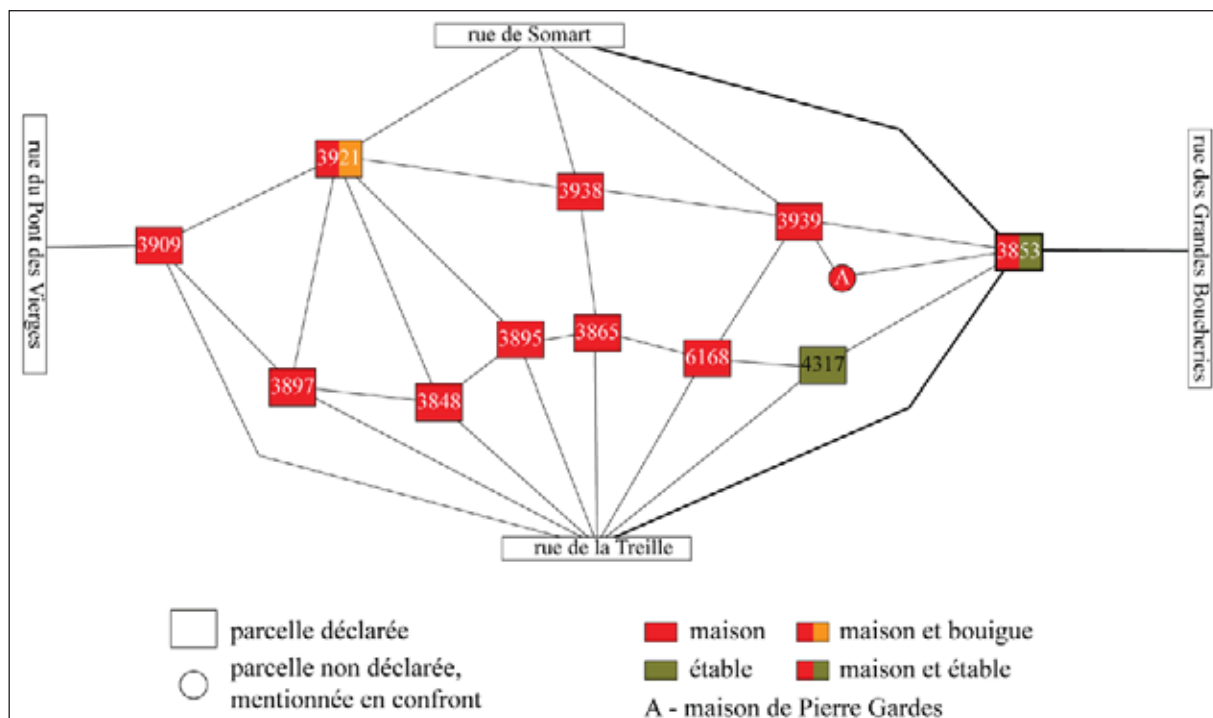
Fig. 289 : détail du plan de 1782 (AC Saint-Antonin, JJ13).



réal. : J. Labussière, C. Rivals

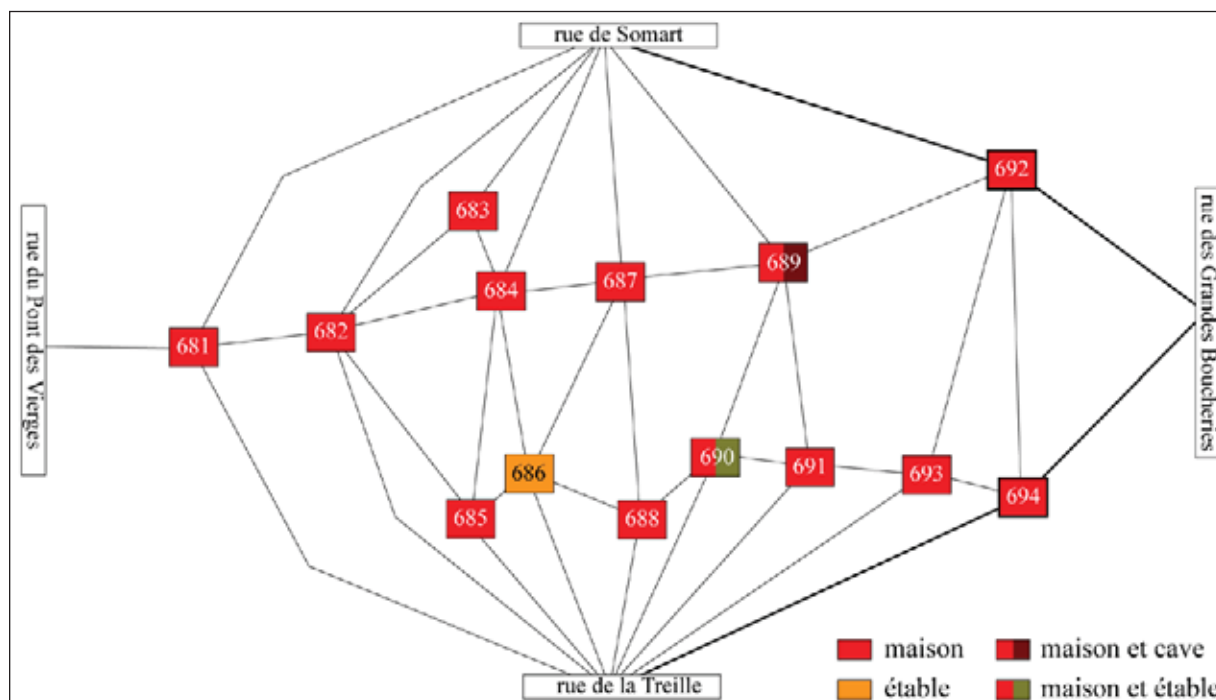
Fig. 290 : maison ID151, élévation sur la rue des Grandes Boucheries  
L'extrémité sud (à gauche) indique que la façade en moyen appareil se poursuivait vers le sud.





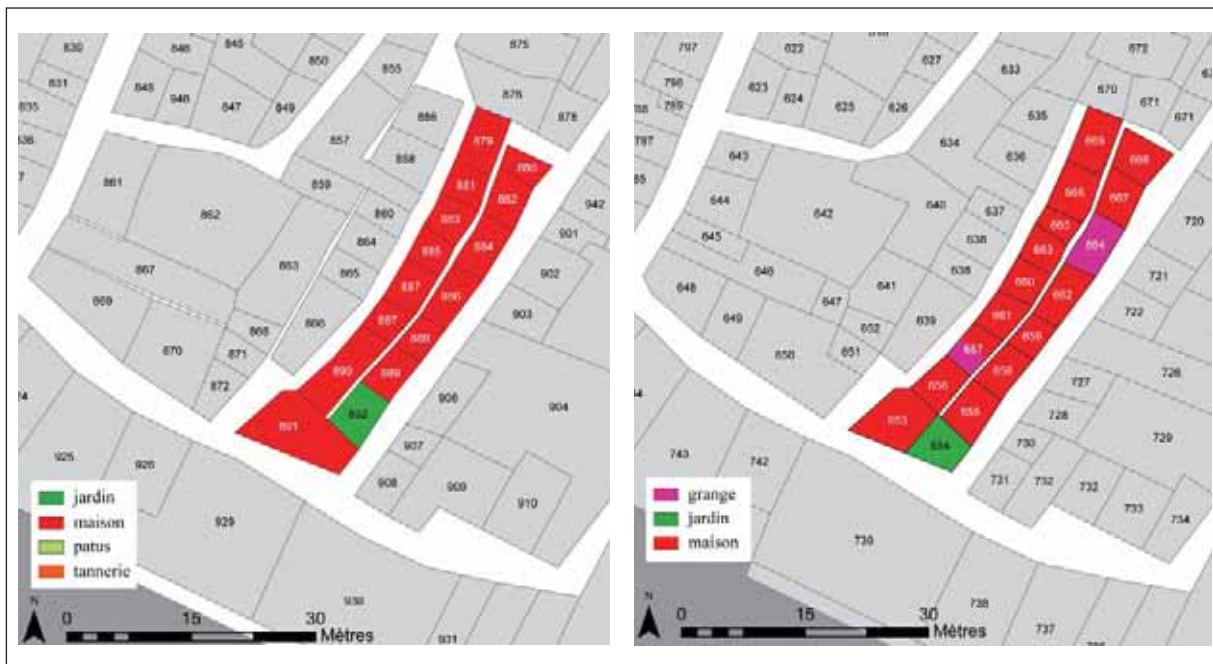
réal. : C. Rivals

Fig. 291 : graphe de l'îlot K5 d'après le compoix de 1670  
 Une seule parcelle se trouve à l'angle des rues de la Treille, des Grandes Boucheries et de Somart (parcelle n°3853). Elle est repérable par la présence de chemins de longueur 2.



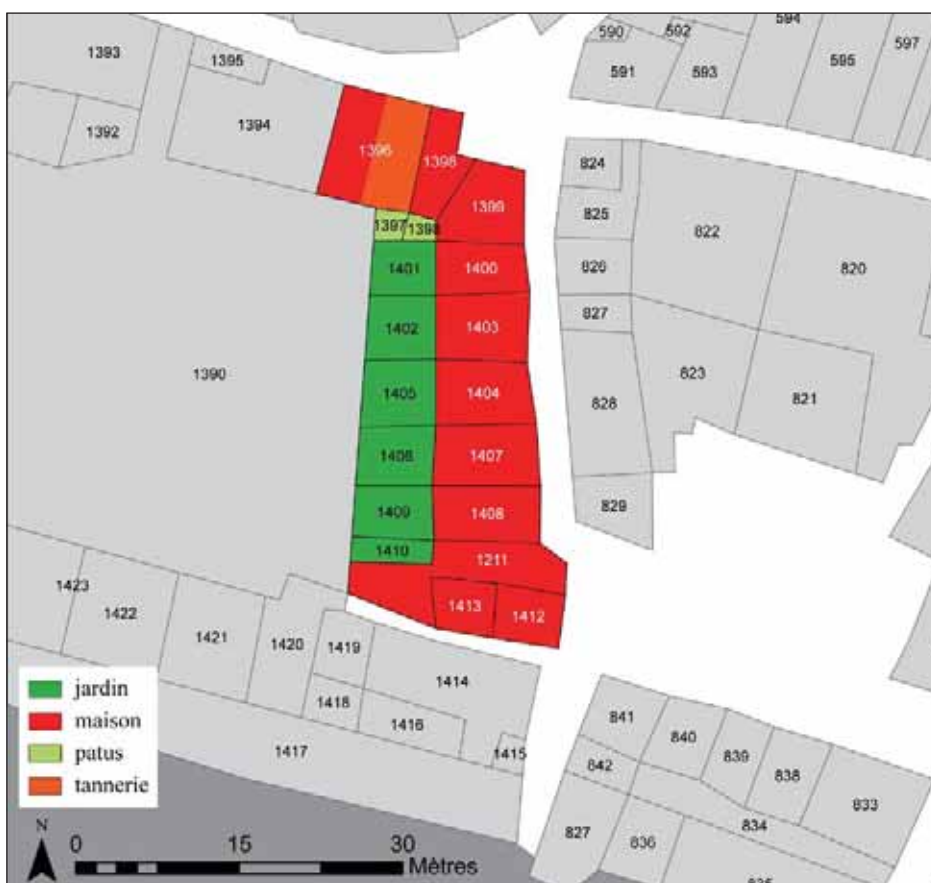
réal. : C. Rivals

Fig. 292 : graphe de l'îlot K5 d'après le plan de 1782  
 Deux parcelles se trouvent à l'angle des rues de la Treille, des Grandes Boucheries et de Somart (parcelles n°692 et 694).



réal. : C. Rivals

Fig. 293 : parcellaire régulier de l'îlot H3



réal. : C. Rivals

Fig. 294 : nature des parcelles du lotissement dans la partie orientale du moulin Z sur le cadastre napoléonien

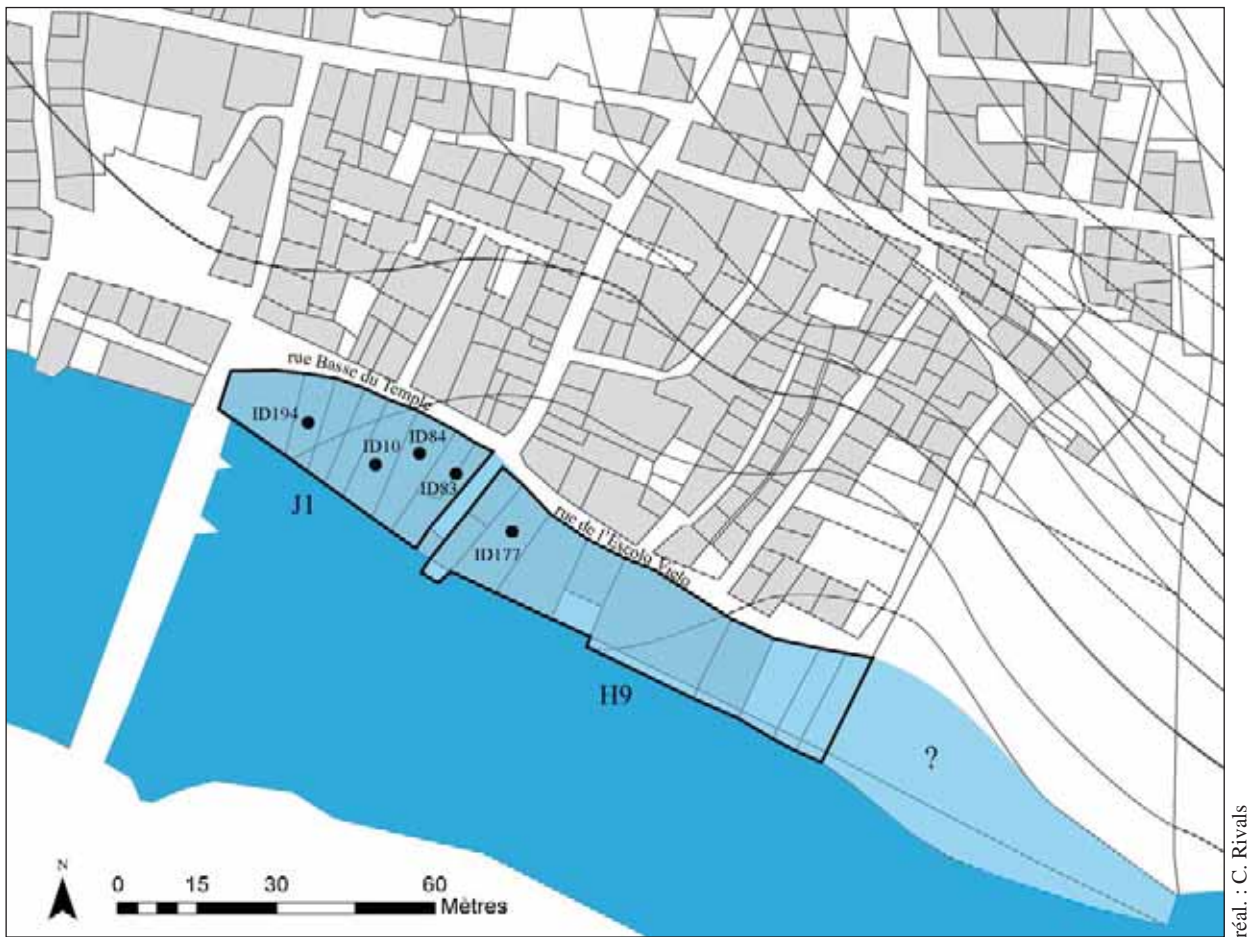


Fig. 295 : parcellaire laniéré des îlots J1 et H9 correspondants à un gain de rive, sur fond de cadastre napoléonien





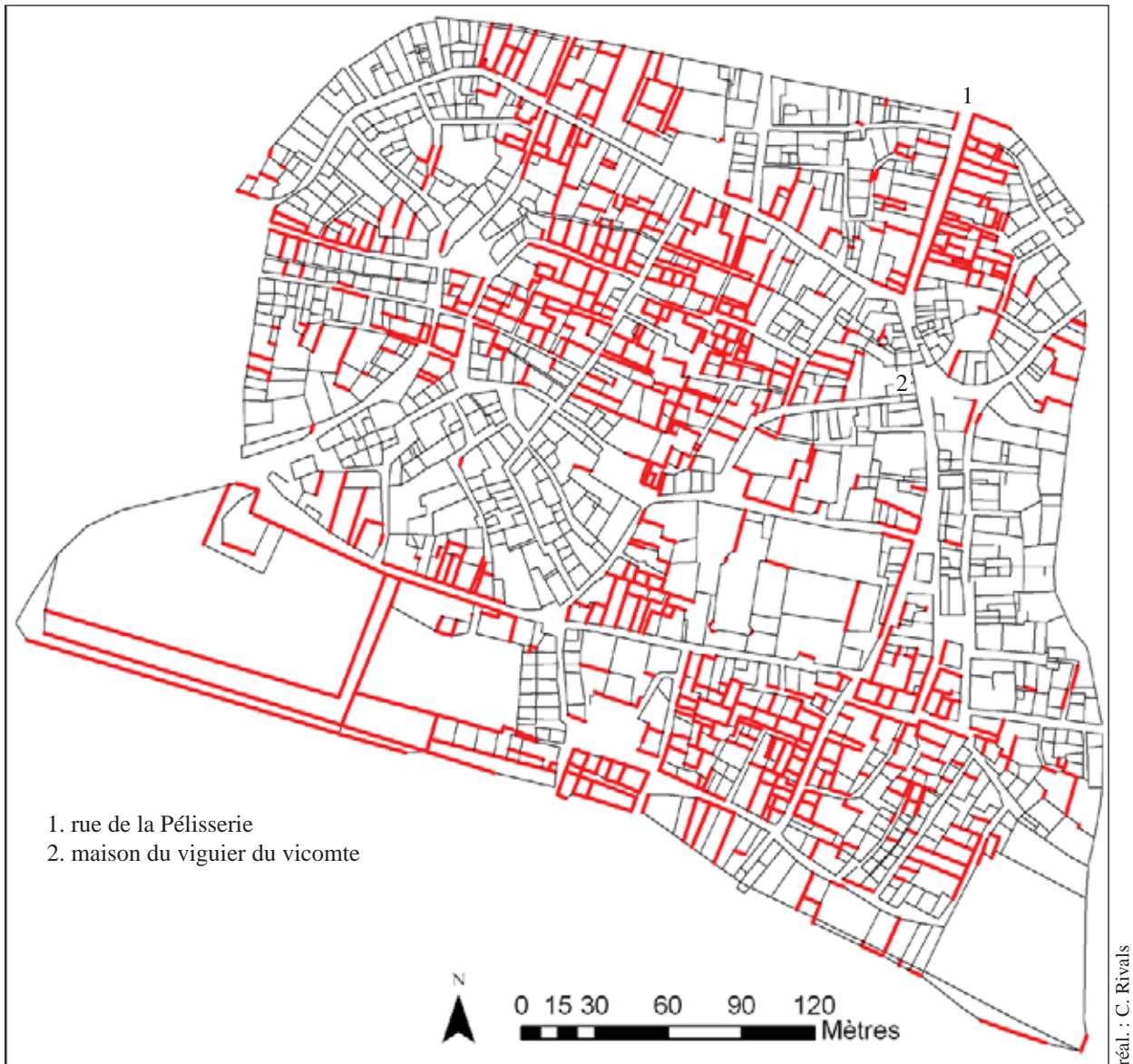


Fig. 297 : orientations dominantes des limites de parcelles, dont le gisement est compris entre 15° et 25°

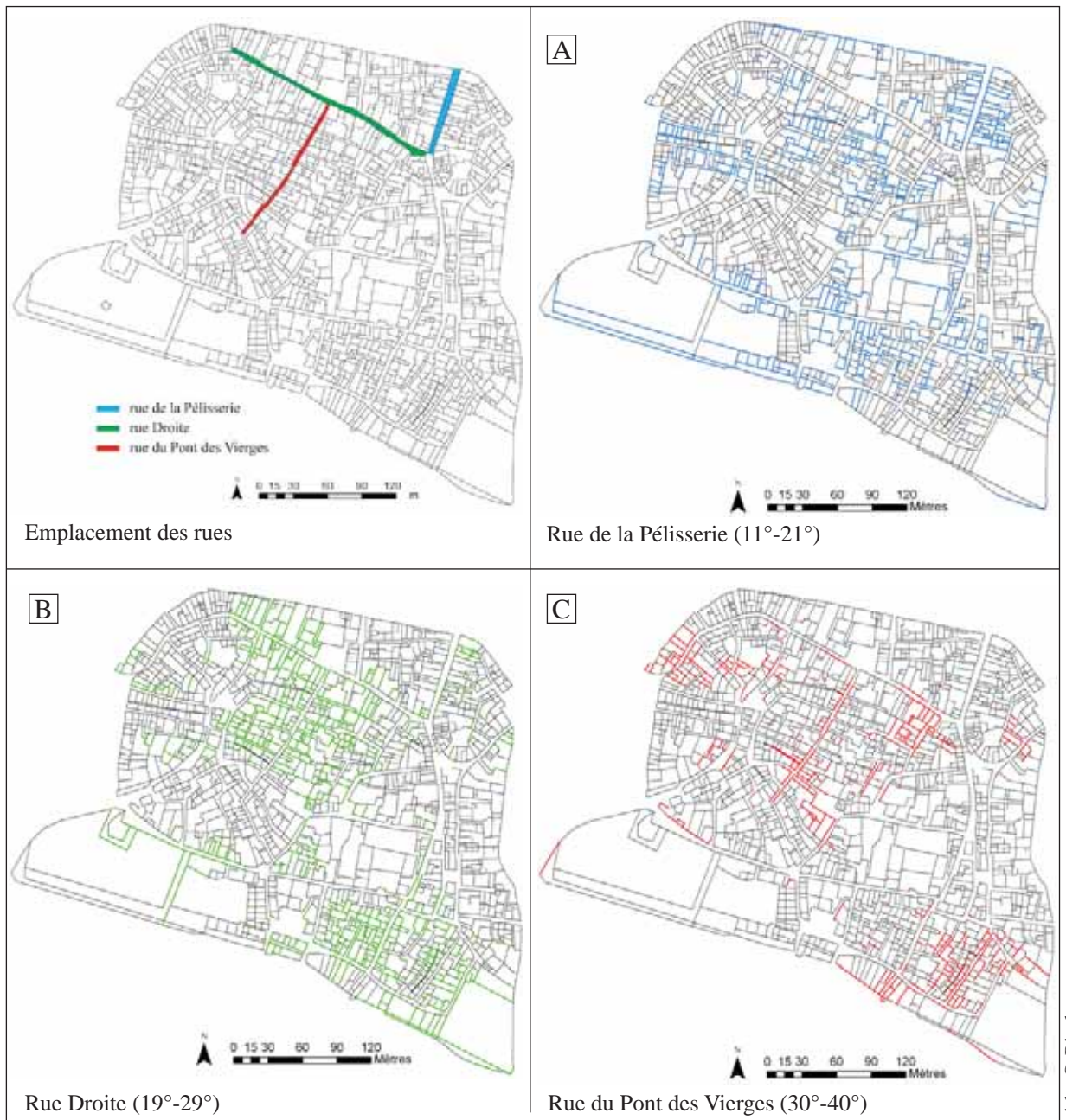
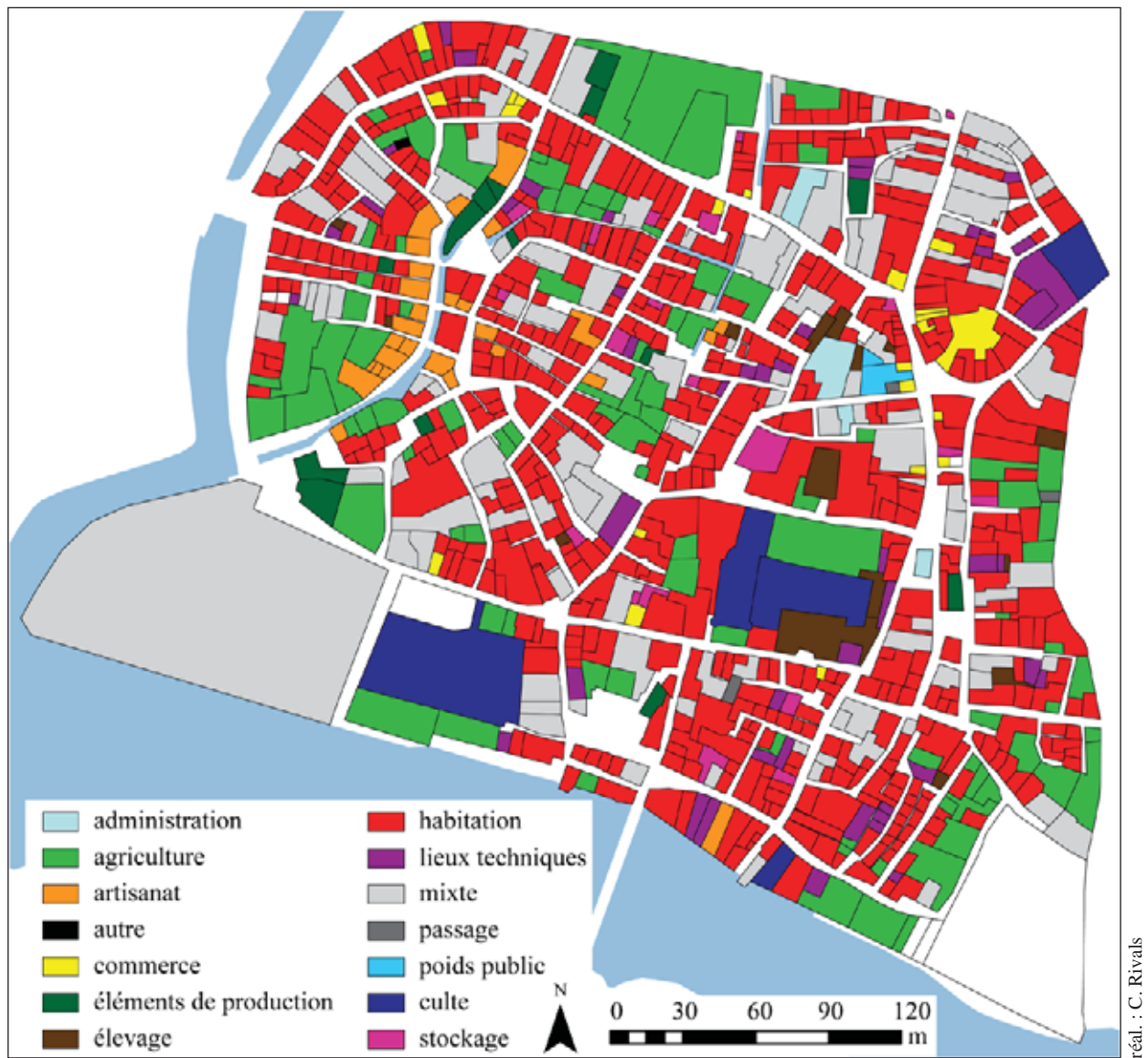


Fig. 298 : orientations parcellaires basées sur quelques rues remarquables





Fig. 299 : orientations parcellaires basées sur quelques maisons des XII<sup>e</sup> et XIII<sup>e</sup> siècles  
 Les maisons du XII<sup>e</sup> siècle sont en rose, celles du XIII<sup>e</sup> siècle sont en vert. La parcelle sur laquelle est basé l’affichage d’orientation est en bleu.



réal. : C. Rivals

Fig. 300 : catégories de natures des parcelles d'après le plan de 1782

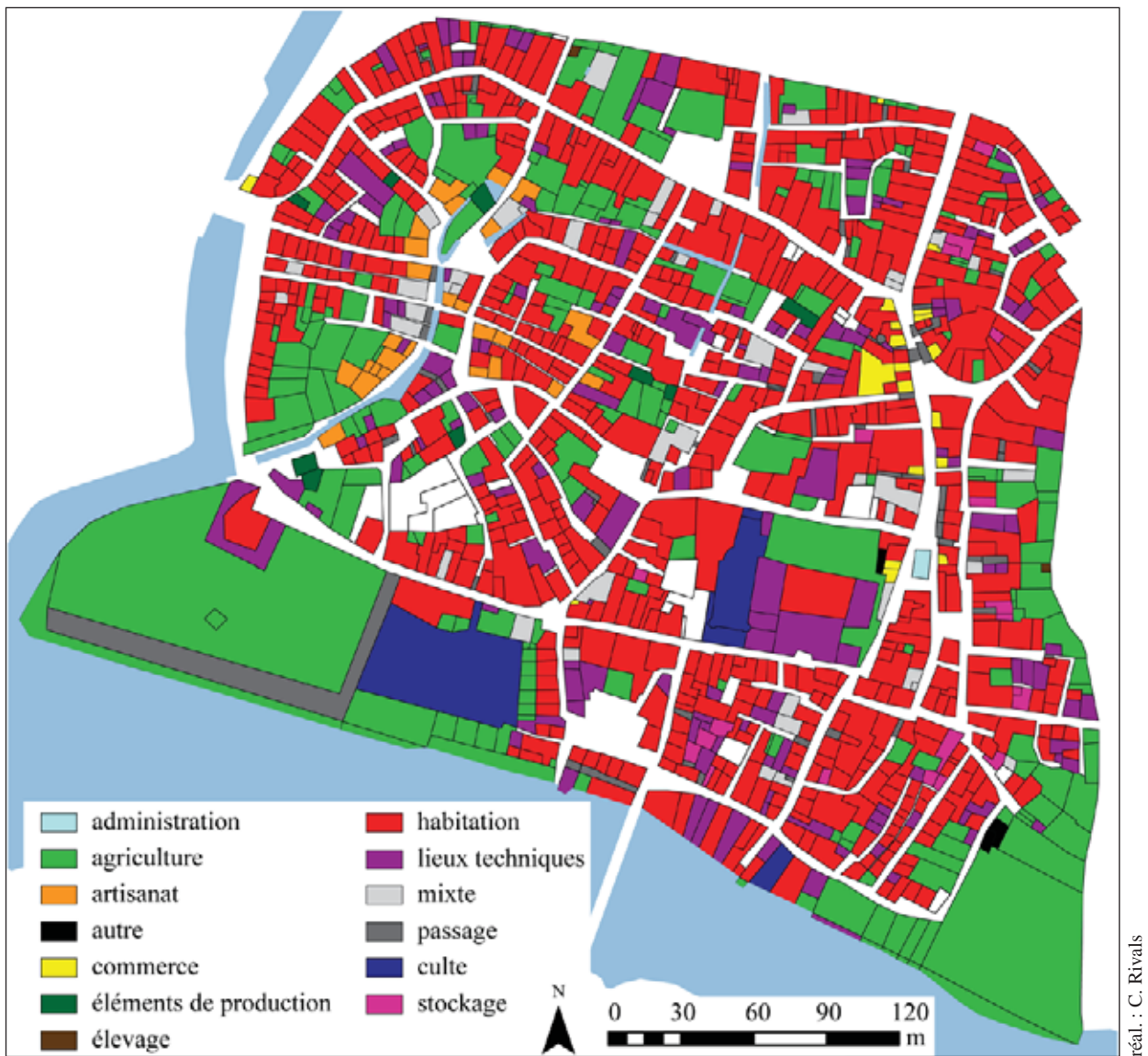
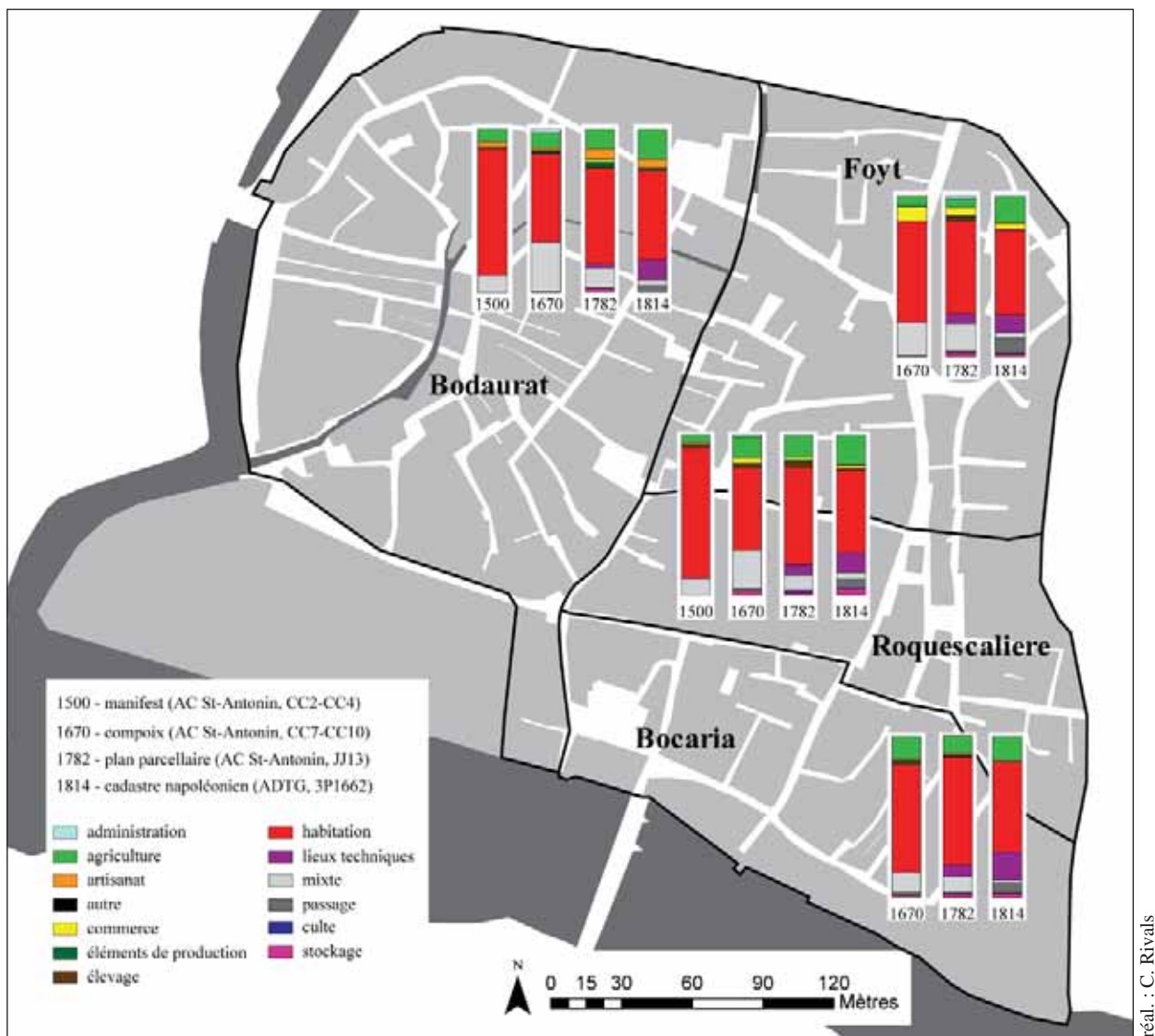


Fig. 301 : catégories de natures des parcelles d'après le cadastre napoléonien de 1814



VALEURS RELLES															
	administration	agriculture	artisanat	autre	commerce	éléments de production	élevage	habitation	lieux techniques	mixte	passage	religion	stockage	NR	total
<b>Bocaria</b>															
1670		24			2	2	3	117		22	4		1		175
1782		18	1		1	1	1	111	13	16	1	1	3		167
1814		34		1				125	38	4	14	1	6	3	226
<b>Bodaurat</b>															
1500		43	15		4	2	1	414		55					534
1670	2	36	5	2		2	3	202		110		2			364
1782		49	25	1	8	11	3	239	12	48	1		9	2	408
1814		98	27		1	8	1	289	66	18	21			10	539
<b>Foyt</b>															
1670		13		1	18	1		128		43				2	206
1782	5	11	2		11	1	7	134	15	39	2	1	6	1	235
1814		55	1		14	1		175	37	11	32		6	5	337
<b>Roquescalière</b>															
1500		10	2		1		2	156	1	20					192
1670	1	16			4	1	3	63		29	2		3	3	125
1782	1	14			2	1	4	65	7	10		2	1	1	108
1814	1	24		1	3		1	70	17	6	7	2	5		137
<b>POURCENTAGES</b>															
<b>Bocaria</b>															
1670		13,7%			1,1%	1,1%	1,7%	66,9%		12,6%	2,3%				0,6%
1782		10,8%	0,6%		0,6%	0,6%	0,6%	66,5%	7,8%	9,6%	0,6%	0,6%			1,8%
1814		15,0%		0,4%				55,3%	16,8%	1,8%	6,2%	0,4%			2,7%
<b>Bodaurat</b>															
1500		8,1%	2,8%		0,7%	0,4%	0,2%	77,5%		10,3%					
1670	0,5%	9,9%	1,4%	0,5%		0,5%	0,8%	55,5%		30,2%		0,5%			
1782		12,0%	6,1%	0,2%	2,0%	2,7%	0,7%	58,6%	2,9%	11,8%	0,2%				2,2%
1814		18,2%	5,0%		0,2%	1,5%	0,2%	53,6%	12,2%	3,3%	3,9%				
<b>Foyt</b>															
1670		6,3%		0,5%	8,7%	0,5%		62,1%		20,9%					
1782	2,1%	4,7%	0,9%		4,7%	0,4%	3,0%	57,0%	6,4%	16,6%	0,9%	0,4%			2,6%
1814		16,3%	0,3%		4,2%	0,3%		51,9%	11,0%	3,3%	9,5%				1,8%
<b>Roquescalière</b>															
1500		5,2%	1,0%		0,5%		1,0%	81,3%	0,5%	10,4%					
1670	0,8%	12,8%			3,2%	0,8%	2,4%	50,4%		23,2%	1,6%				2,4%
1782	0,9%	13,0%			1,9%	0,9%	3,7%	60,2%	6,5%	9,3%		1,9%			0,9%
1814	0,7%	17,5%	0,0%	0,7%	2,2%	0,0%	0,7%	51,1%	12,4%	4,4%	5,1%	1,5%			3,6%

Fig. 302 : natures des parcelles dans les sources fiscales, en valeurs réelles et en pourcentage du nombre total de parcelles par gache



réal. : C. Rivals

Fig. 303 : natures des parcelles dans les gaches d'après le registre des *Manifests* de 1500, le compoix de 1670, le plan parcellaire de 1782 et le cadastre napoléonien de 1814  
 Les valeurs sont exprimées en pourcentage du nombre total de parcelles par gache (fig. 302).  
 Les volumes du registre des *Manifests* de 1500 concernant les gaches de Foyt et Bocaria n'ont pas été conservés.



Fig. 304 : distribution spatiale des catégories de parcelles dans les rues de la ville d'après le compoix de 1670



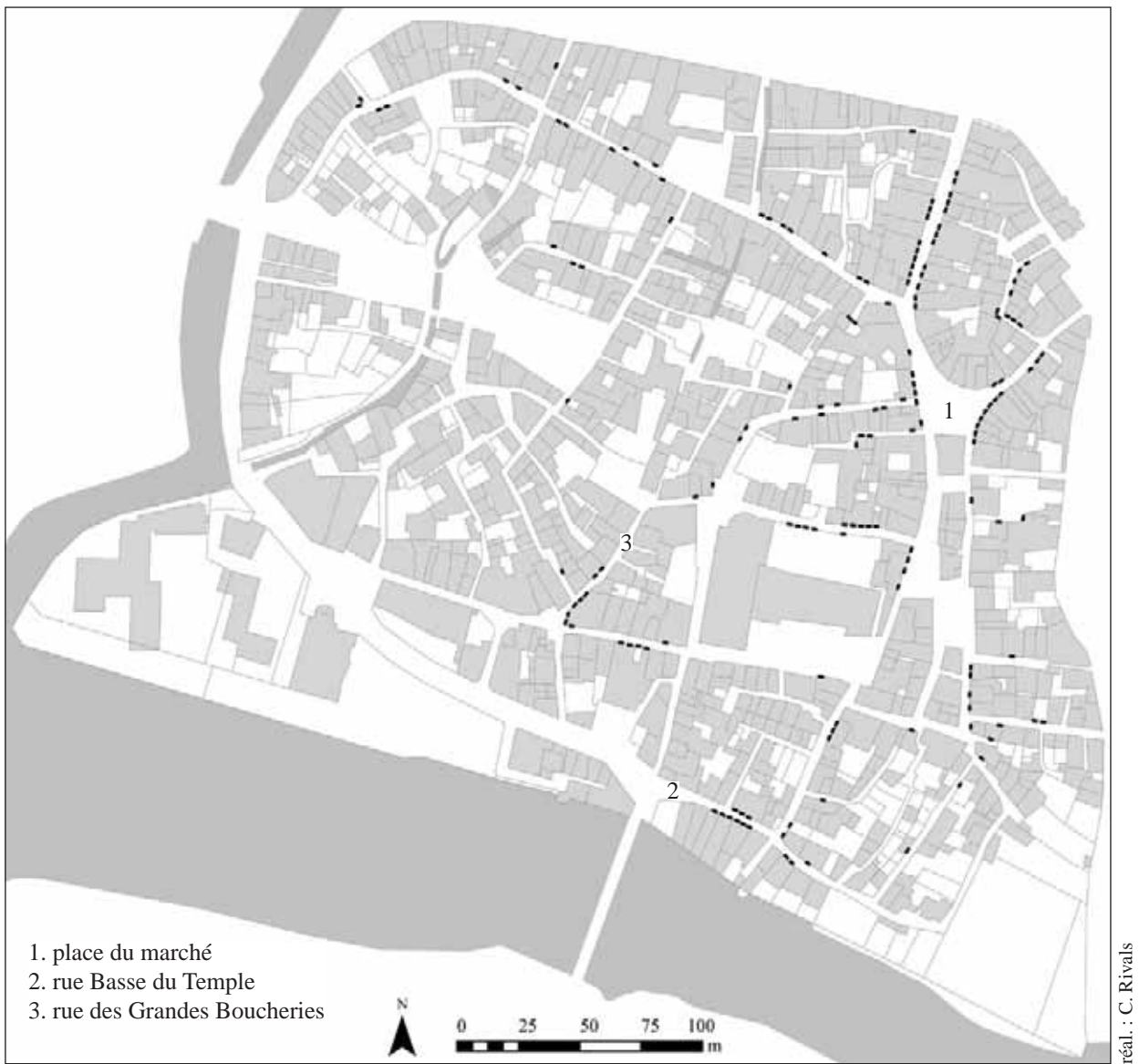
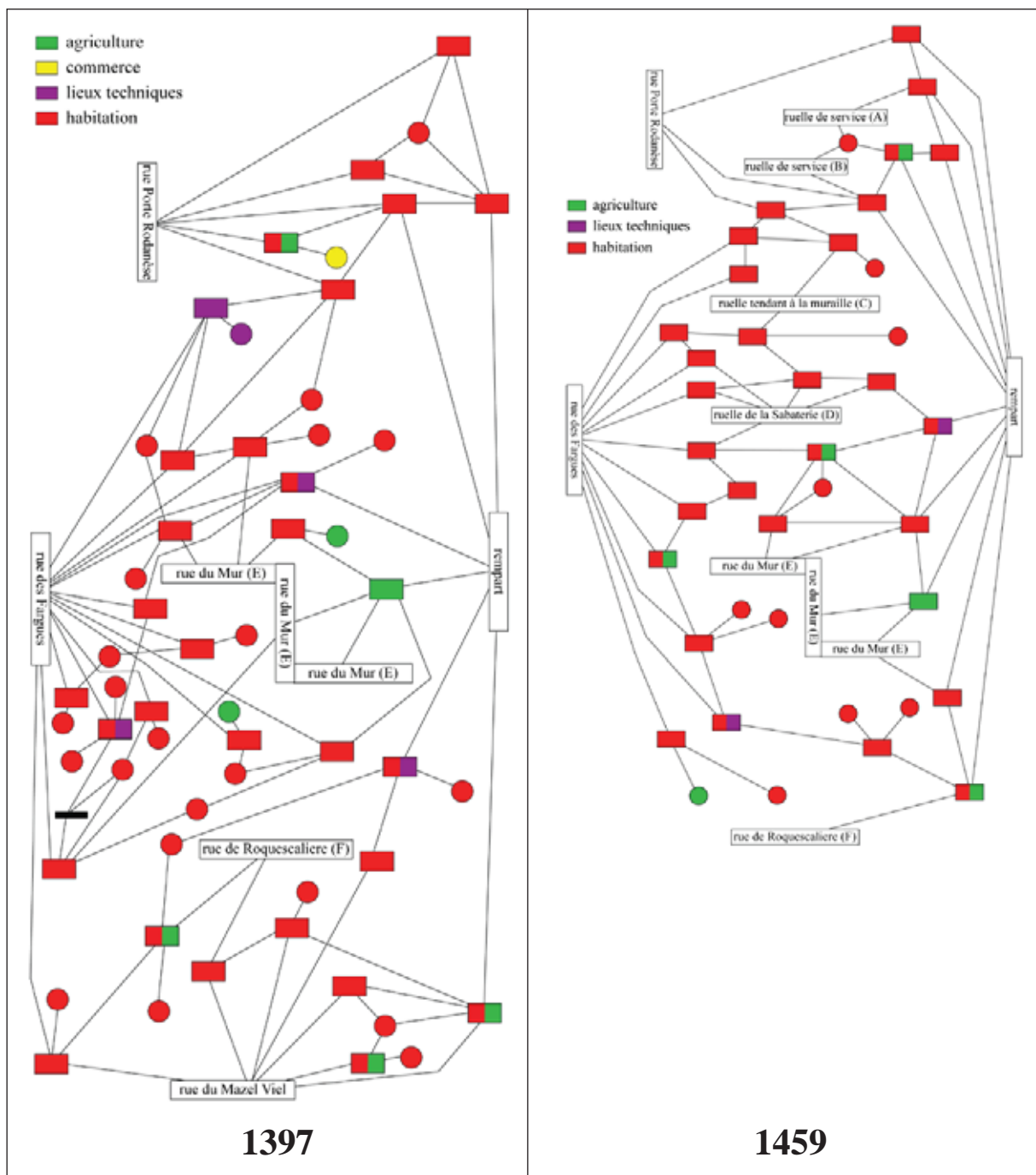
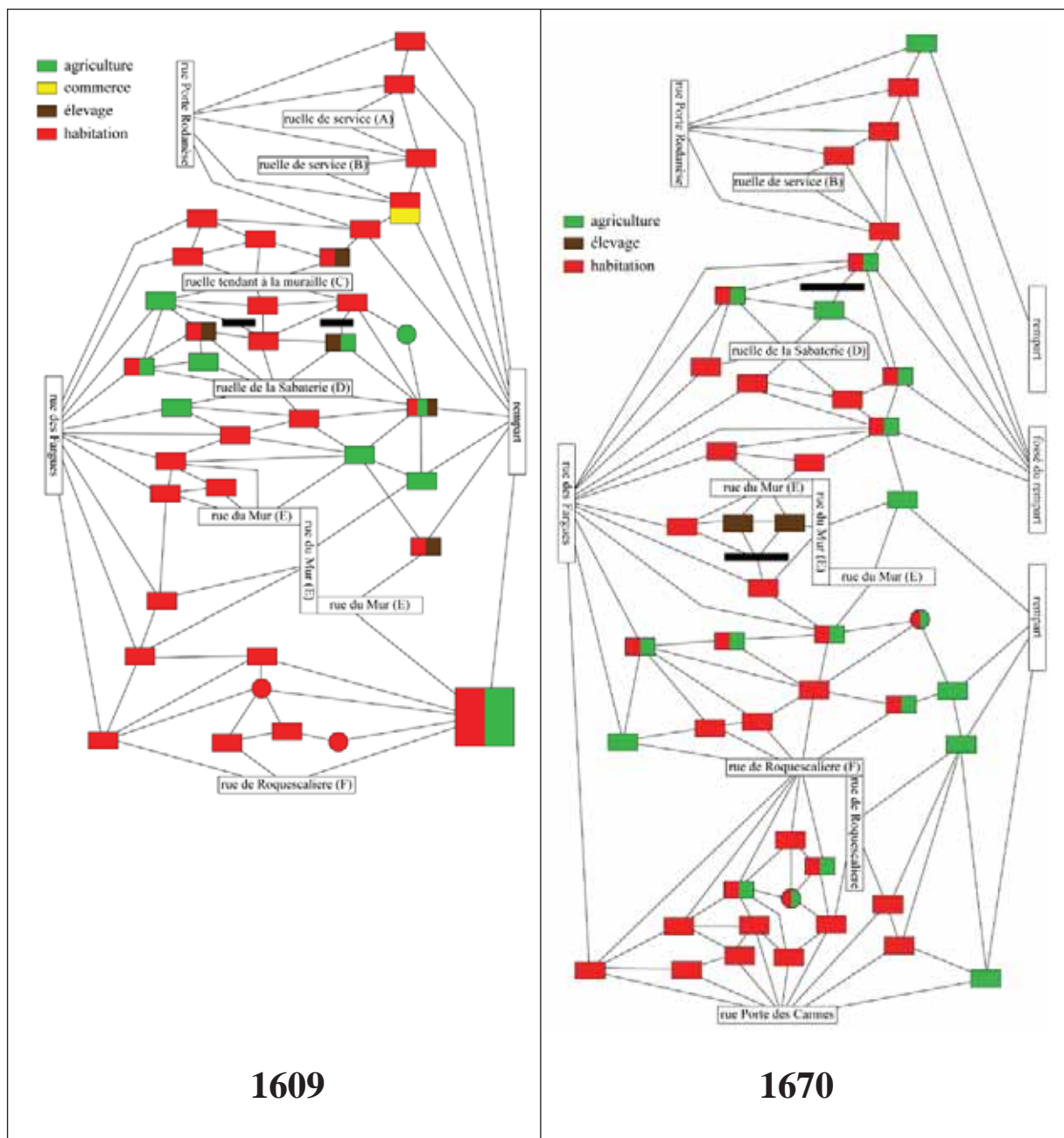


Fig. 305 : répartition des grandes arcades en arc brisé médiévales repérées dans l'espace *intra-muros*



réal. : C. Rivals

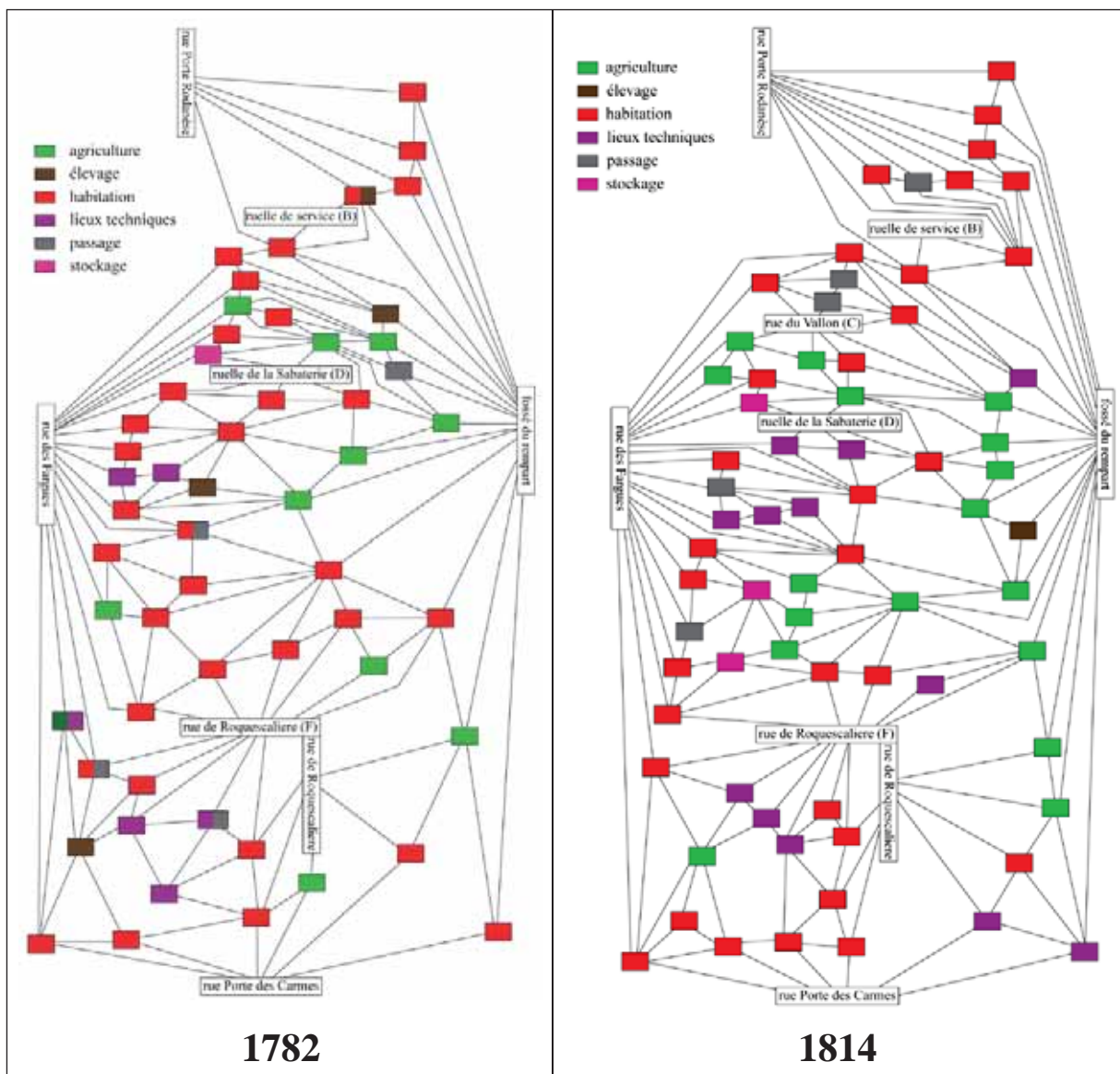
Fig. 306 : natures des parcelles sur les graphes du moulon A, d'après les terriers de 1397 et 1459



réal. : C. Rivals

Fig. 307 : natures des parcelles sur les graphes du moulin A, d'après le terrier de 1609 et le compoix de 1670





réal. : C. Rivals

Fig. 308 : natures des parcelles sur les graphes du moulin A, d'après les plans de 1782 et 1814



Fig. 309 : le moulin M sur le cadastre actuel



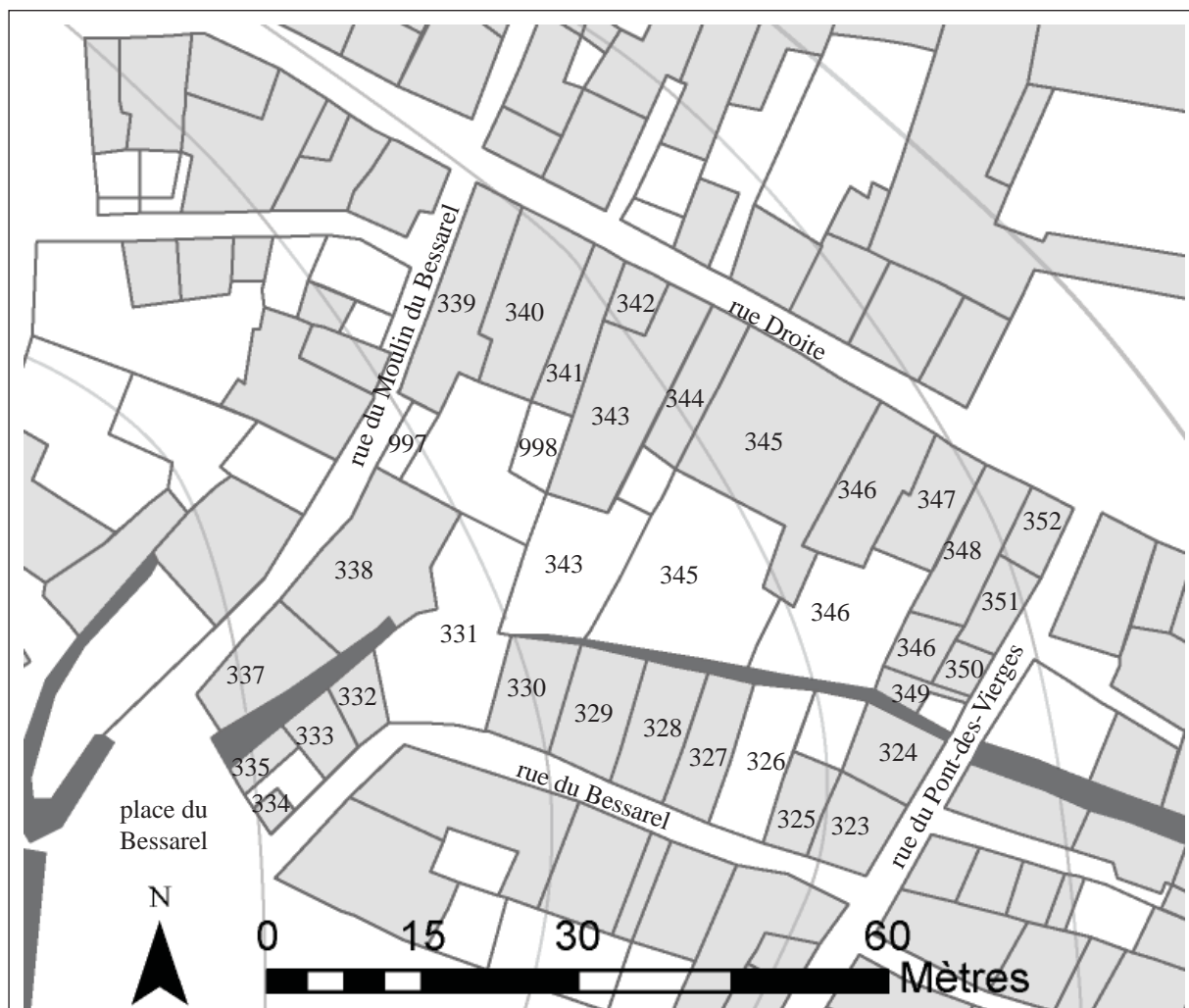
réal. : C. Rivals

Fig. 310 : orientations des parcelles du moulin M sur le plan de 1782 (1) et le cadastre napoléonien (2)

En bleu, limites parcellaires dont le gisement est compris entre  $21^\circ$  et  $31^\circ$

En rouge, limites parcellaires dont le gisement est compris entre  $10^\circ$  et  $20^\circ$ .





largeur des parcelles sur la rue Droite :

- parcelle n°339\_6,3 m
- parcelle n°340\_7,1 m
- parcelle n°341\_3,6 m
- parcelle n°342\_5,3 m
- parcelle n°343\_4,8 m
- parcelle n°344\_4,8 m
- parcelle n°345\_13,8 m
- parcelle n°346\_6,1 m
- parcelle n°347\_5,7 m
- parcelle n°348\_5,6 m
- parcelle n°352\_4 m

largeur des parcelles sur la rue du Bessarel :

- parcelle n°330\_6,6 m
- parcelle n°329\_5,1 m
- parcelle n°328\_7,1 m
- parcelle n°327\_4,5 m
- parcelle n°326\_5,1 m
- parcelle n°325\_4,9 m
- parcelle n°323\_7,5 m

réal. : C. Rivals

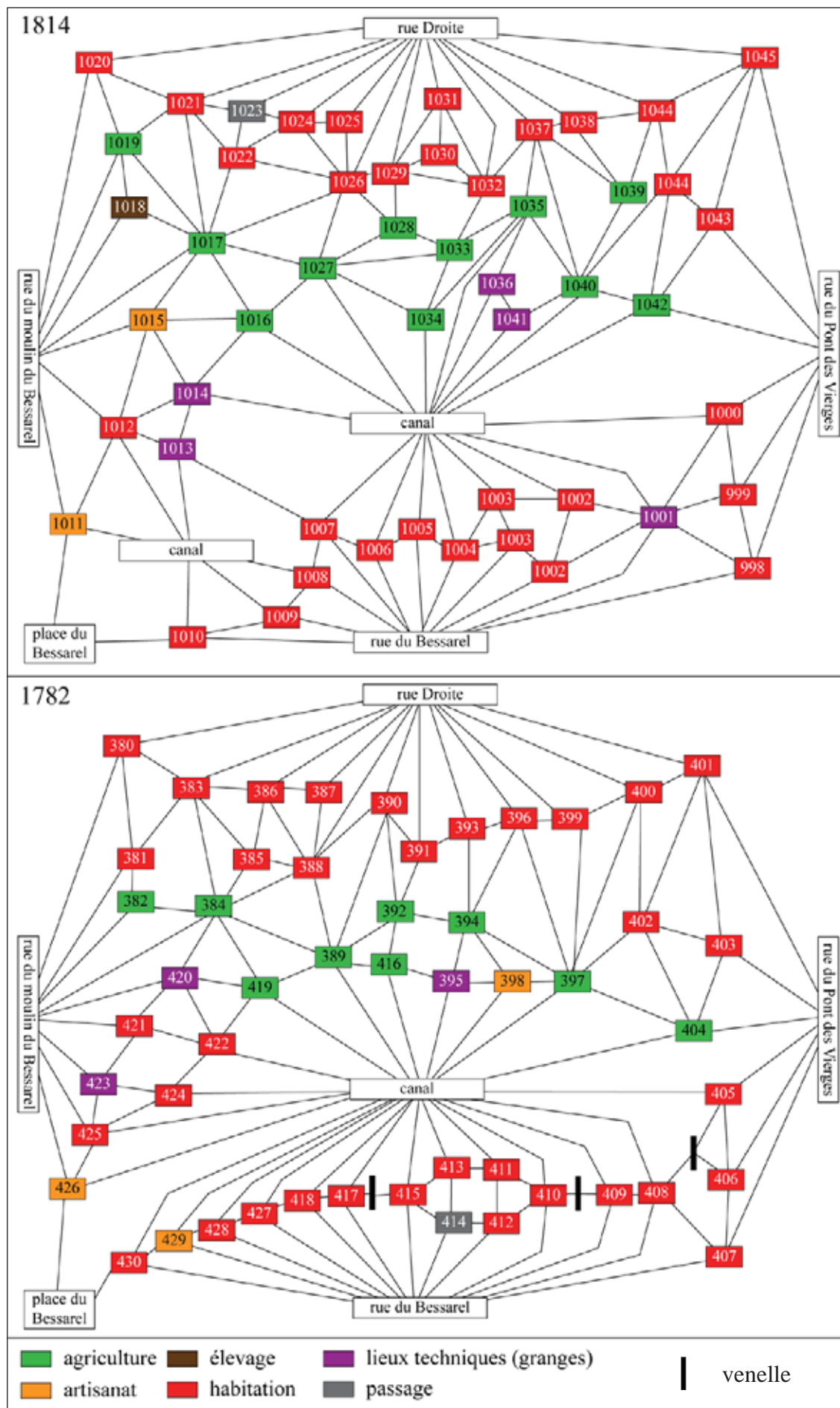
Fig. 311 : largeur des parcelles du moulon M sur les rues Droite et du Bessarel, sur fond de cadastre actuel.

Les mesures ont été prises sur place.



réal. : C. Rivals

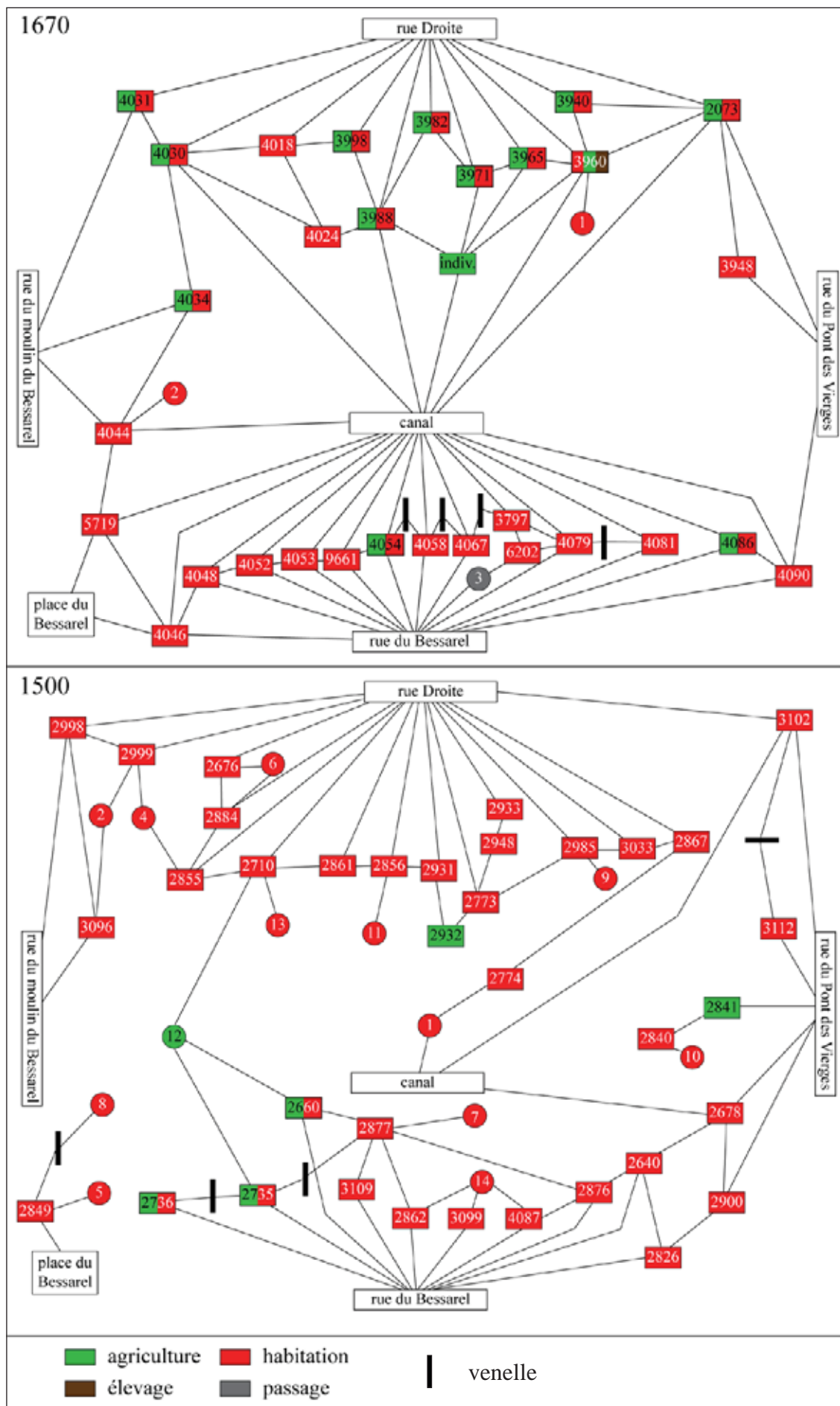
Fig. 312 : nature des parcelles du moulin M d'après le plan de 1782 (1) et le cadastre napoléonien (2)



réal. : C. Rivals

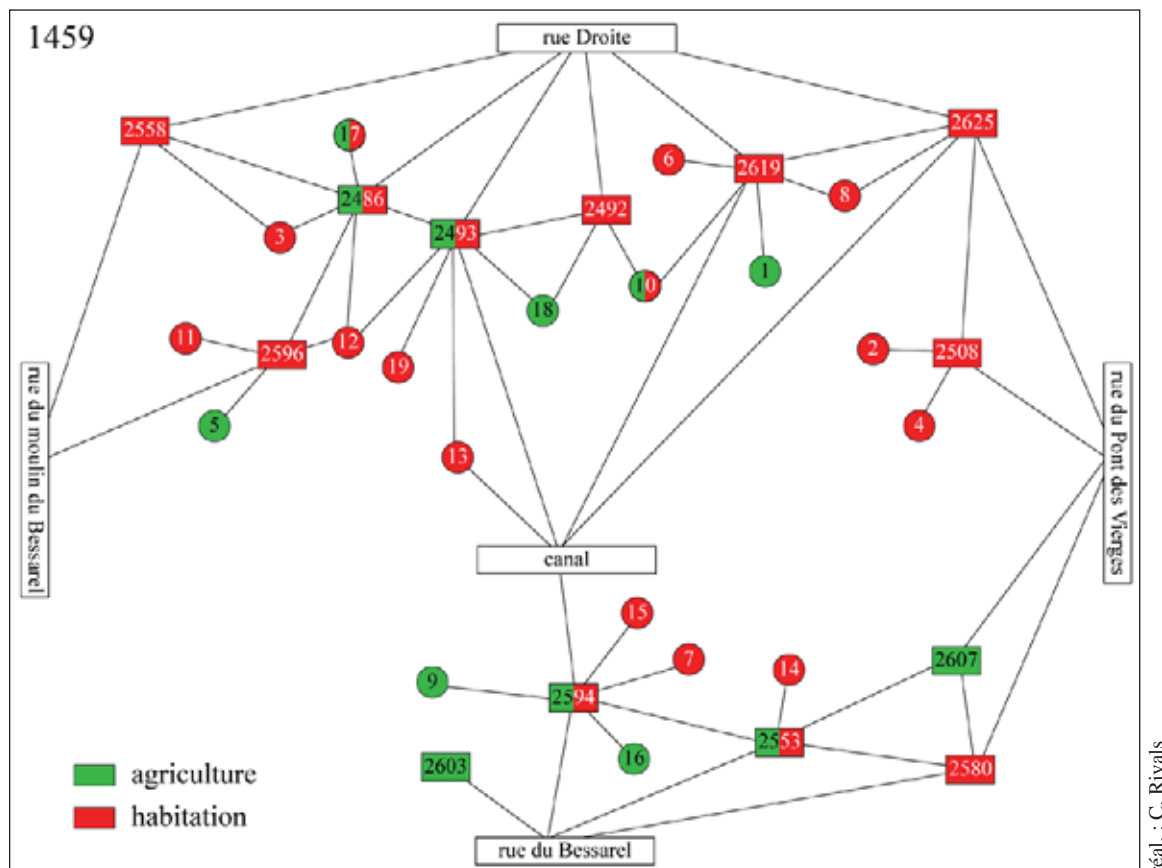
Fig. 313 : natures des parcelles du moulin M sur les graphes parcellaires issus du cadastre napoléonien et du plan de 1782





réal. : C. Rivals

Fig. 314 : natures des parcelles du moulin M sur les graphes parcellaires issus du compoix de 1670 et des *Manifestes* de 1500



réal. : C. Rivals

Fig. 315 : natures des parcelles du moulin M sur le graphe parcellaire issu du terrier de 1459



cliché : C. Rivals

Fig. 316 : maison du XIII<sup>e</sup> siècle, sur la rue Droite dans le moulin M (ID36)



cliché : C. Rivals

Fig. 317 : venelle visible dans la rue du Bessarel, entre les parcelles n° 330 et 329 du cadastre actuel



réal. : C. Rivals

Fig. 318 : le parcellaire autour de la rue de la Pélisserie sur le plan de 1782 (1) et le cadastre napoléonien (2).

Les parcelles qui ont une façade sur cette rue sont en gris foncé. Les traits noirs épais correspondent aux limites de fond de parcelles





largeur des façade côté pair (est) :

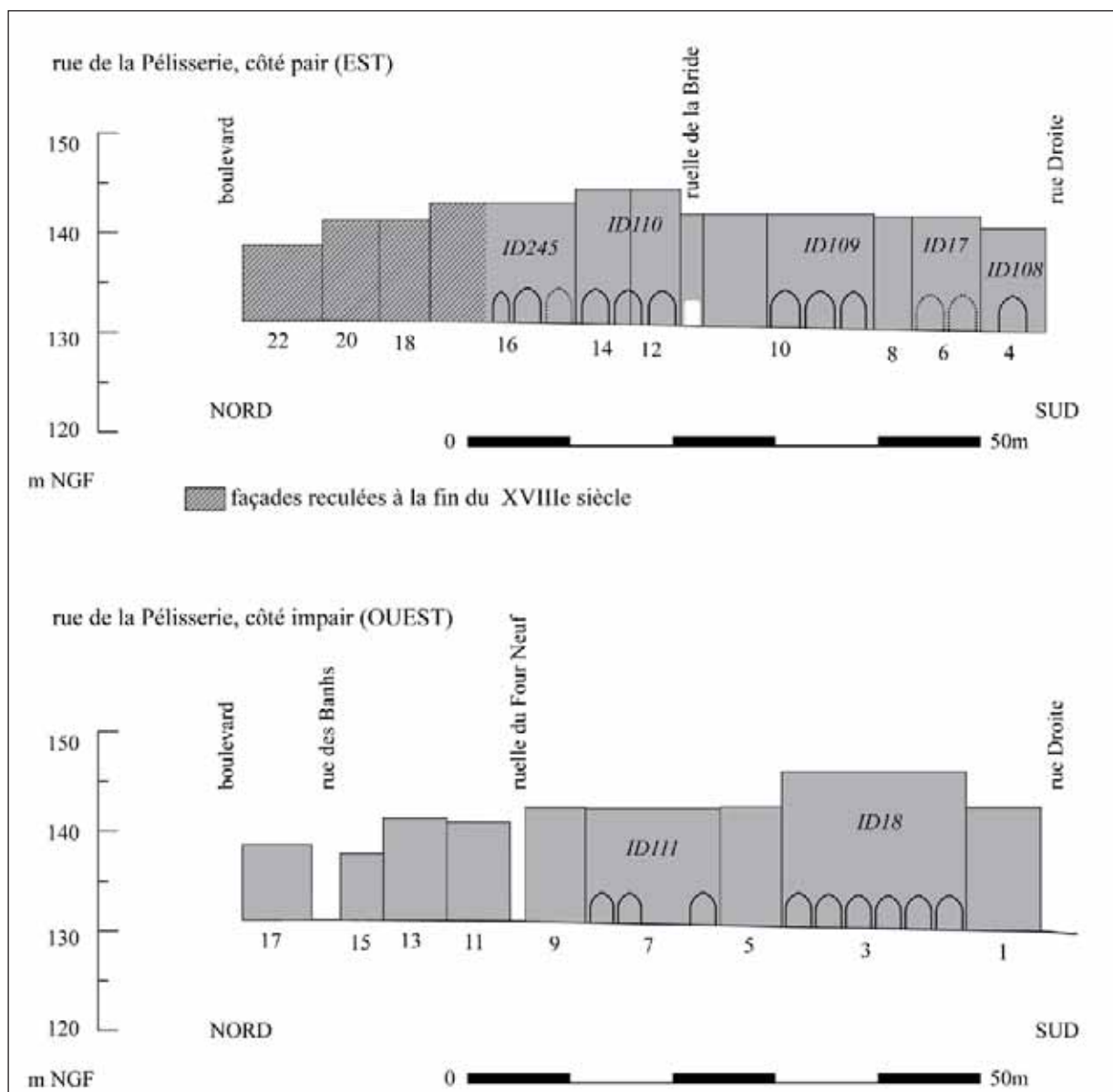
- maison n°22\_parce n°1007\_ **7,1 m**
- maison n°20\_parce n°1006\_ **4,7 m**
- maison n°18\_parce n°916\_ **5 m** (3 toises)
- maison n°16\_parce n°812\_ **13.1 m** (8 toises)
- maison n°14\_parce n°811\_ **5 m** (3 toises)
- maison n°12\_parce n°810\_ **5,1 m** (3 toises)
- maison n°10\_parce n°796\_ **16 m**
- maison n°8\_parce n°1095\_ **3,6 m** (2 toises)
- maison n°6\_parce n°794\_ **6,7 m** (4 toises)
- maison n°4\_parce n°793\_ **5,8 m**

largeur des façades côté impair (ouest) :

- maison n°17\_parce n°387\_ **6,7 m** (4 toises)
- maison n°15\_parce n°388\_ **4,2 m**
- maison n°13\_parce n°390\_ **6,4 m**
- maison n°11\_parce n°391\_ **5,9 m**
- maison n°9\_parce n°392\_ **5,9 m**
- maison n°7\_parce n°410\_ **13,1 m**
- maison n°5\_parce n°411\_ **5,4 m**
- maison n°3\_parce n°1021\_ **18,7 m** (11 toises)
- maison n°1\_parce n°960\_ **7 m** (4 toises)

réal. : C. Rivals

Fig. 319 : largeur des parcelles de la rue de la Pélisserie, sur fond de cadastre actuel  
Les mesures ont été prises sur place.



réal. : C. Rivals, N. Clément

Fig. 320 : croquis à l'échelle des élévations des maisons sur la rue de la Pélisserie



cliché : C. Rivals

Fig. 321 : rue de la Pélisserie vue depuis le sud



3 rue de la Pélisserie (ID18)



7 rue de la Pélisserie (ID111)

clichés : C. Rivals

Fig. 322 : maisons médiévales du côté impair (ouest) de la rue de la Pélisserie



cliché : C. Rivals

Fig. 323 : maisons médiévales du côté pair (est) de la rue de la Pélisserie





4 rue de la Pélisserie (ID108)



6 rue de la Pélisserie (ID17)



10 rue de la Pélisserie (ID109)



12 et 14 rue de la Pélisserie (ID110)



16 rue de la Pélisserie (ID245)

clichés : C. Rivals

Fig. 324 : maisons médiévales du côté pair (est) de la rue de la Pélisserie

Fig. 325 : porte bannes formé d'un anneau surmonté de trois antennes, placé dans le joint au-dessus du trumeau des baies géminées du second étage de la maison ID 17



cliché : C. Rivals

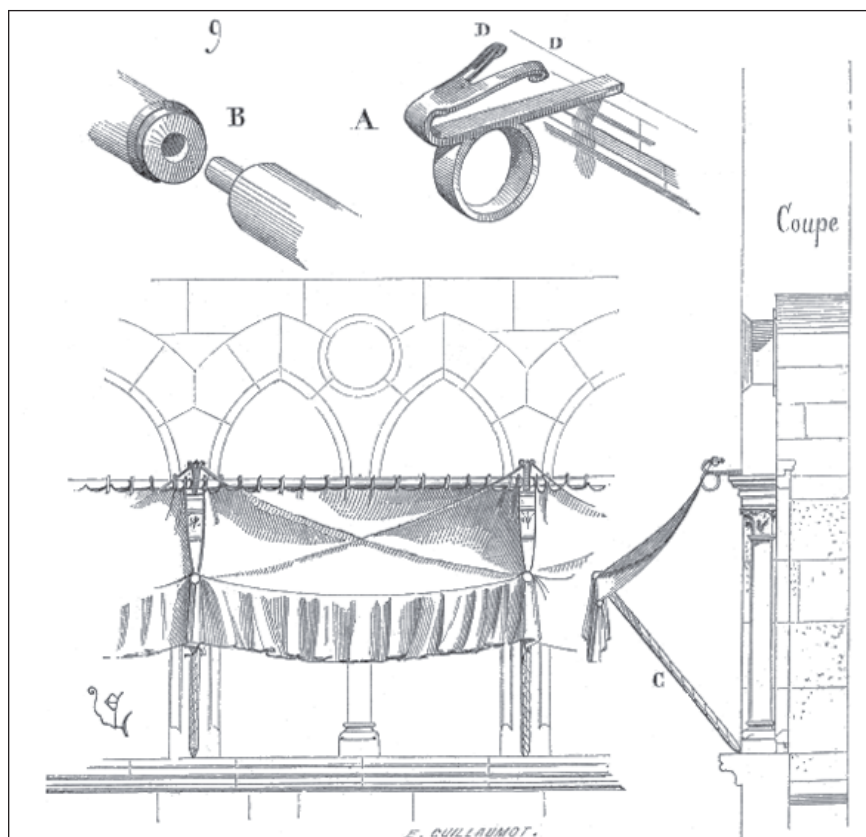


Fig. 326 : dessin de Eugène Viollet-le-Duc, illustrant l'utilisation des portes bannes de la maison ID110

Tiré de E. Viollet-le-Duc, *Dictionnaire raisonné de l'architecture...op. cit.*, article « maison », p. 555, fig. 9).

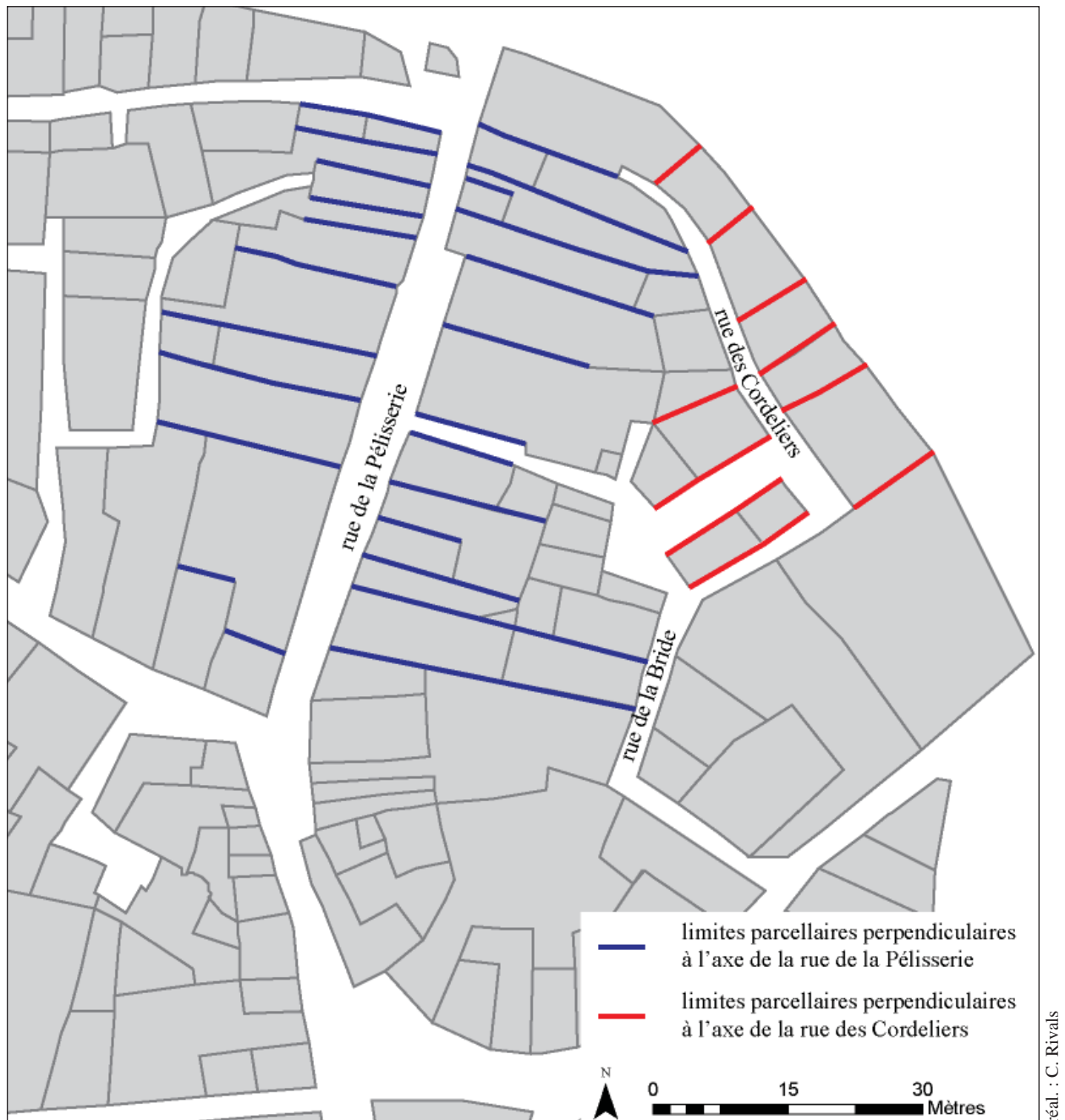
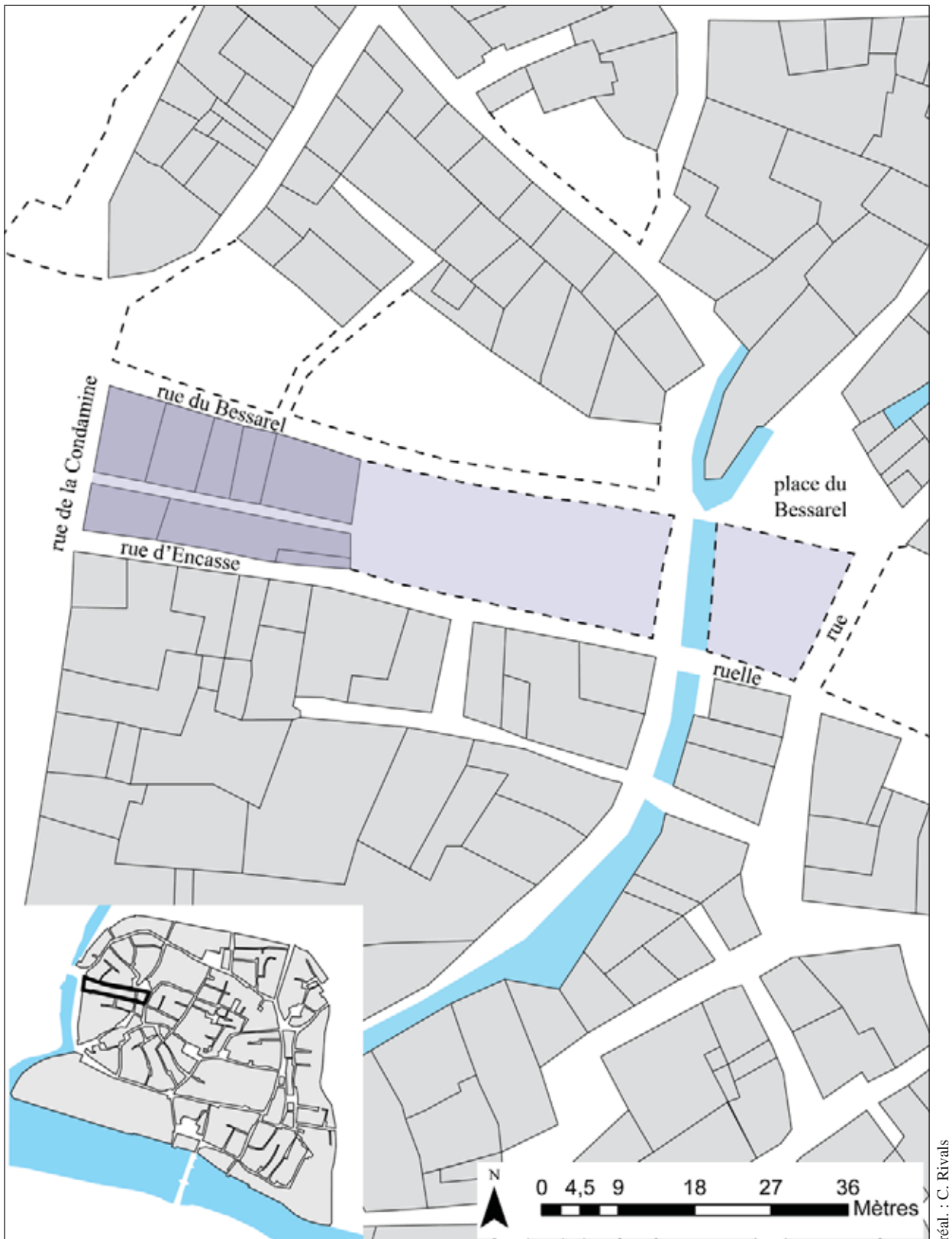


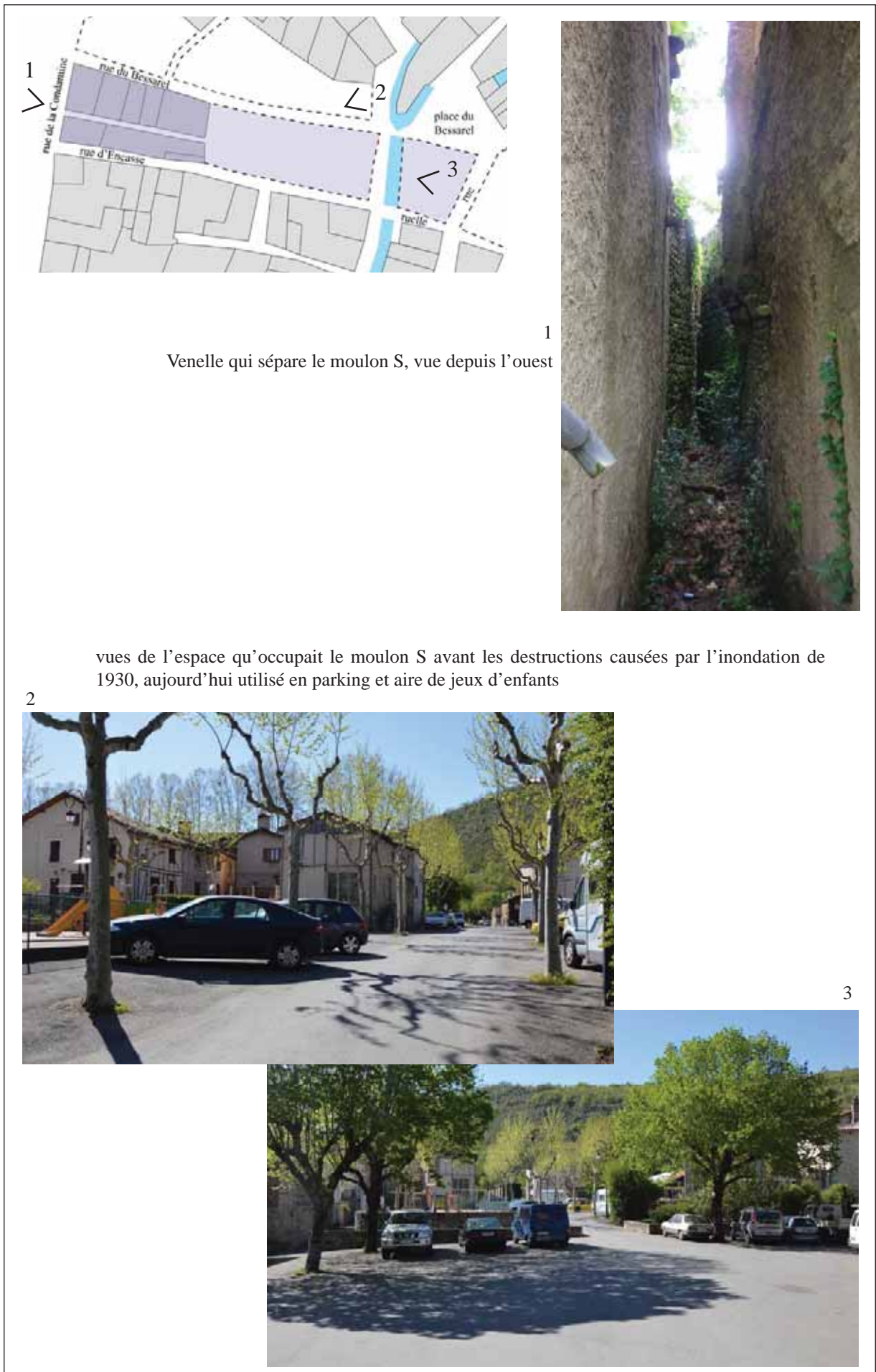
Fig. 327 : orientations des limites parcellaires autour des rues de la Pélisserie et des Cordeliers, d'après le plan cadastral de 1782





réal. : C. Rivals

Fig. 328 : emplacement du moulin S (en violet) sur fond de cadastre actuel  
 Une grande partie des parcelles de ce secteur n'a pas été reconstruite après l'inondation de 1930 (en pointillés).



1 Venelle qui sépare le moulin S, vue depuis l'ouest

2 vues de l'espace qu'occupait le moulin S avant les destructions causées par l'inondation de 1930, aujourd'hui utilisé en parking et aire de jeux d'enfants

Fig. 329 : le moulin S aujourd'hui

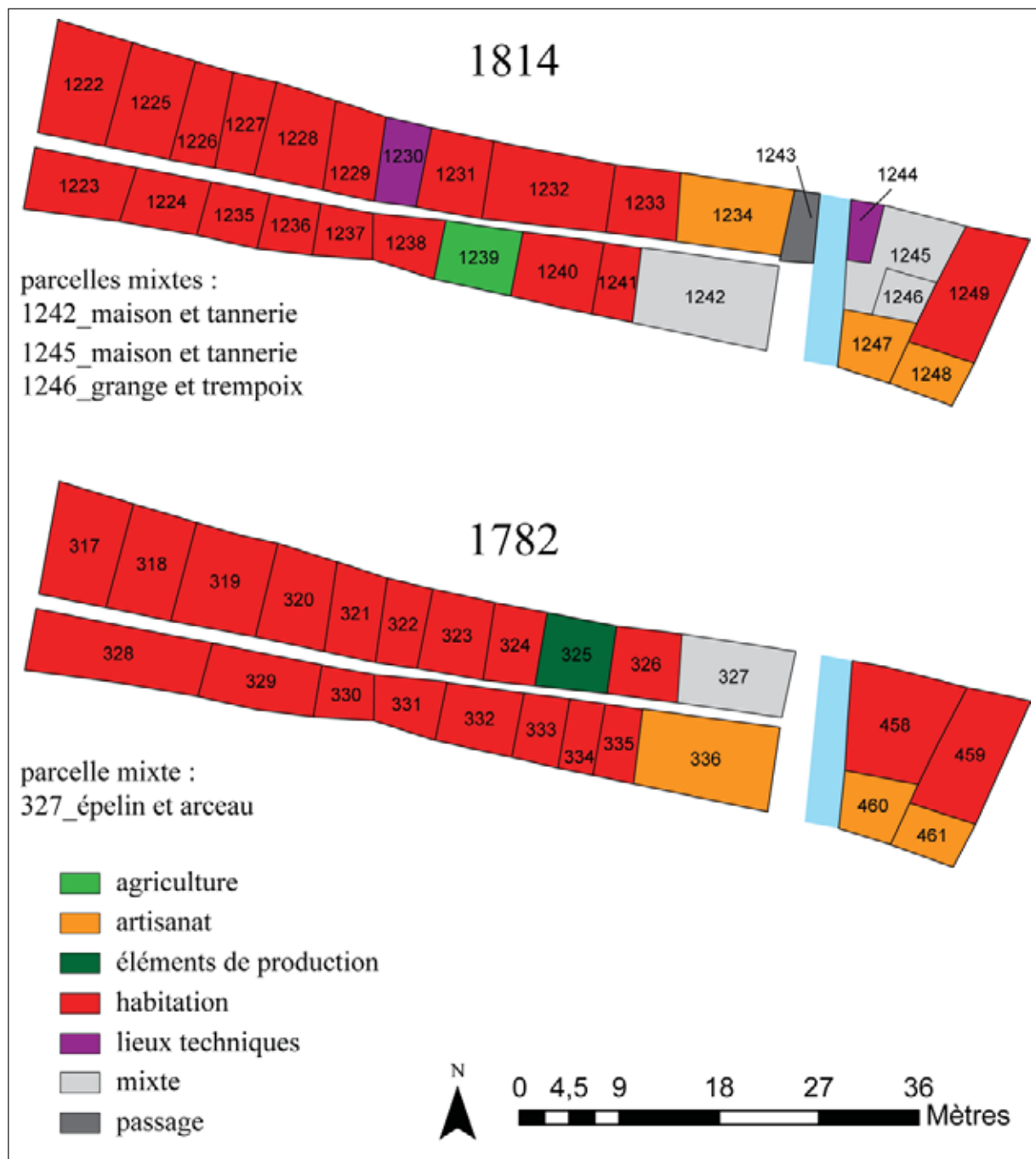
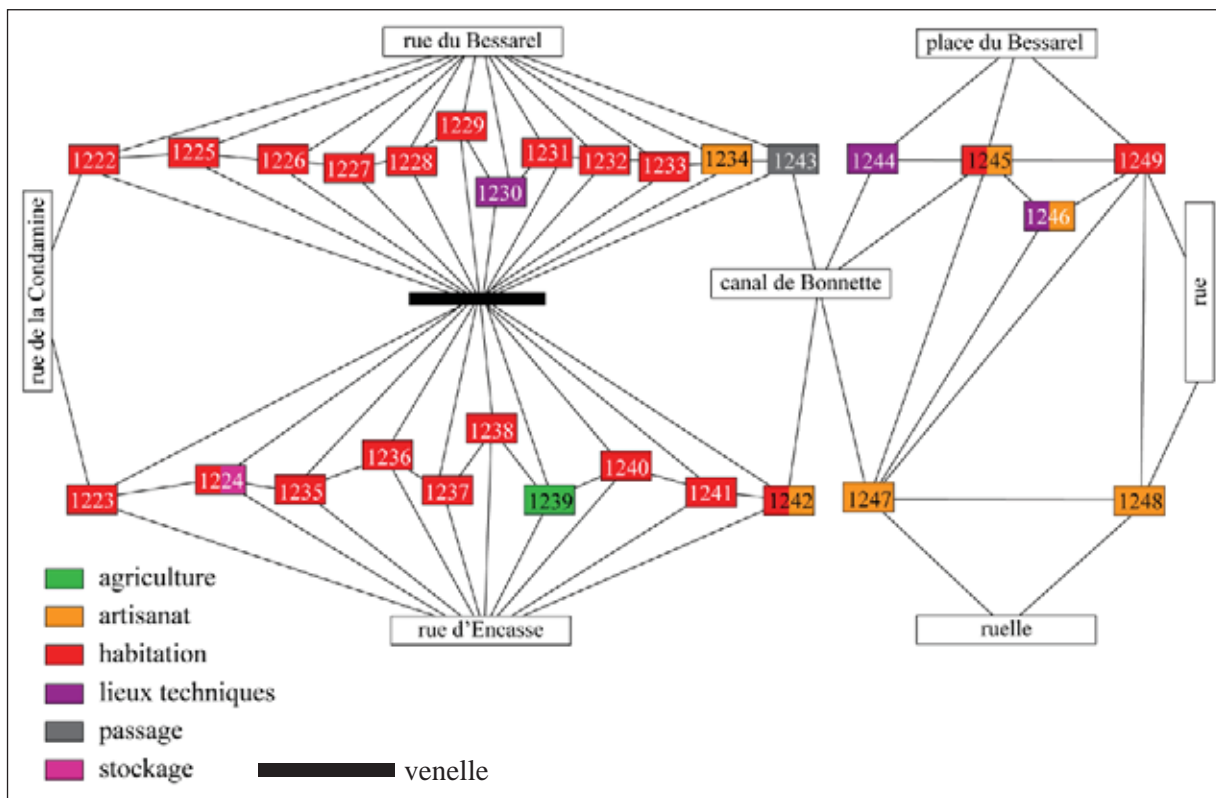


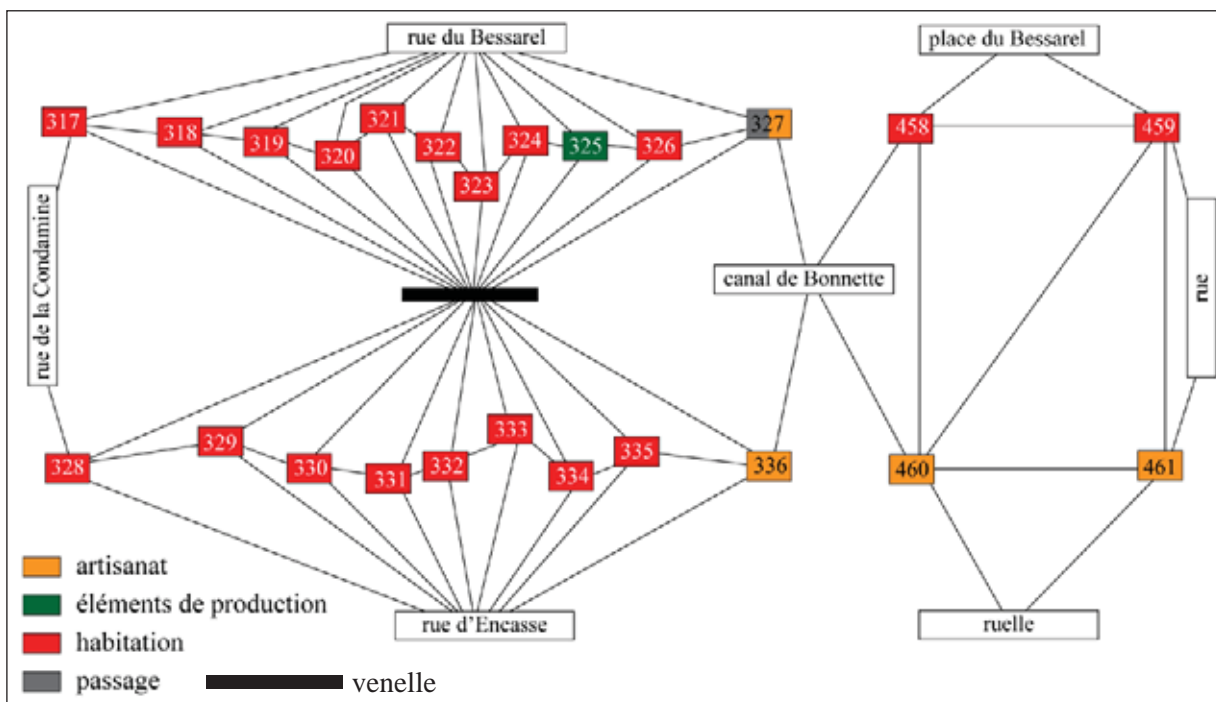
Fig. 330 : les parcelles du moulin S sur les plans parcellaires de 1814 et 1782





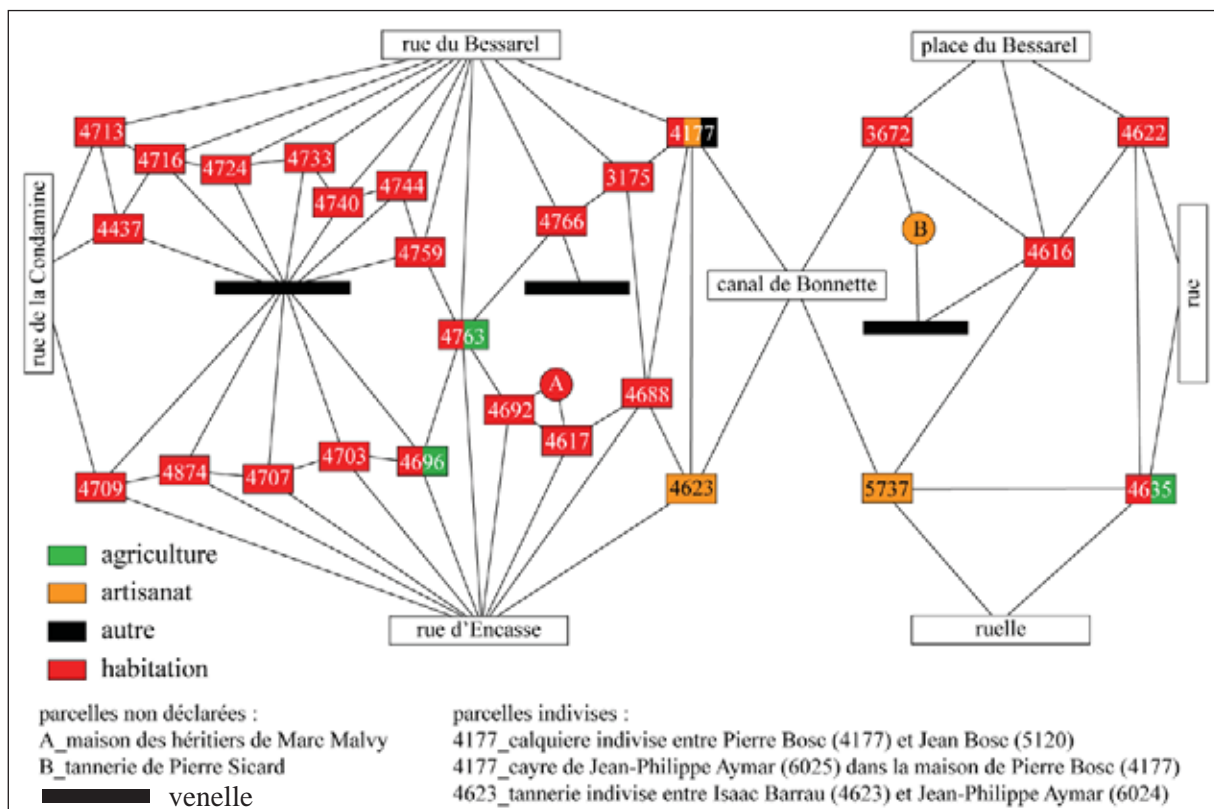
réal. : C. Rivals

Fig. 331 : natures des parcelles du moulin S sur le graphe du plan de 1814



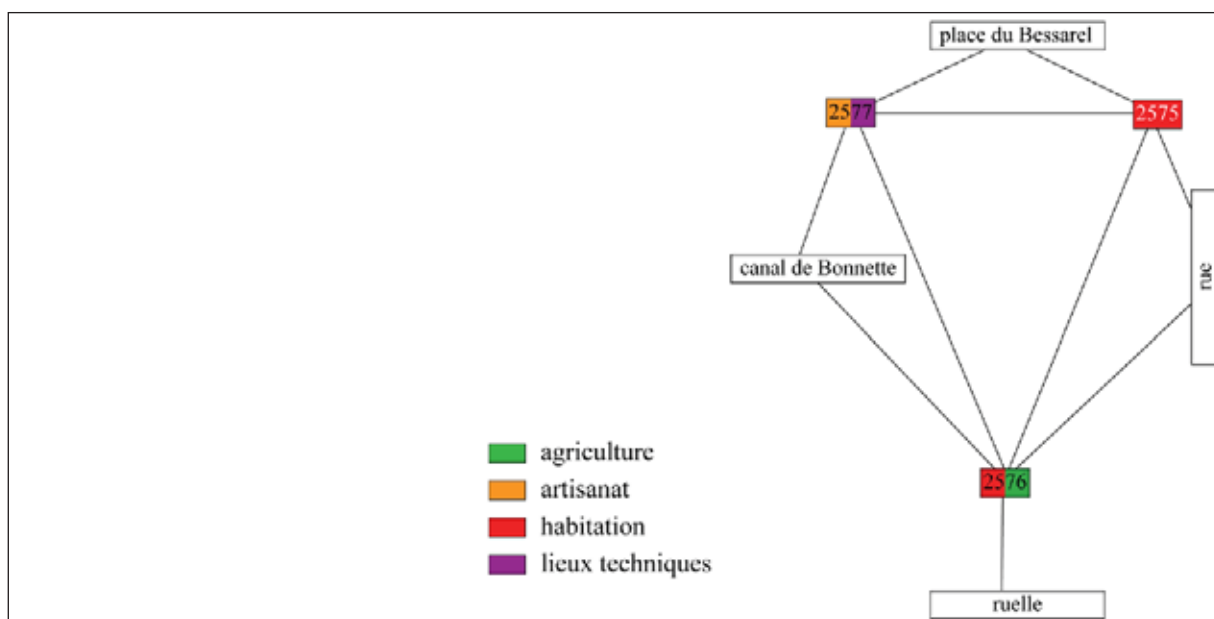
réal. : C. Rivals

Fig. 332 : natures des parcelles du moulin S sur le graphe du plan de 1782



réal. : C. Rivals

Fig. 333 : natures des parcelles du moulon S sur le graphe du compoix de 1670



réal. : C. Rivals

Fig. 334 : natures des parcelles du moulon S sur le graphe du terrier de 1459

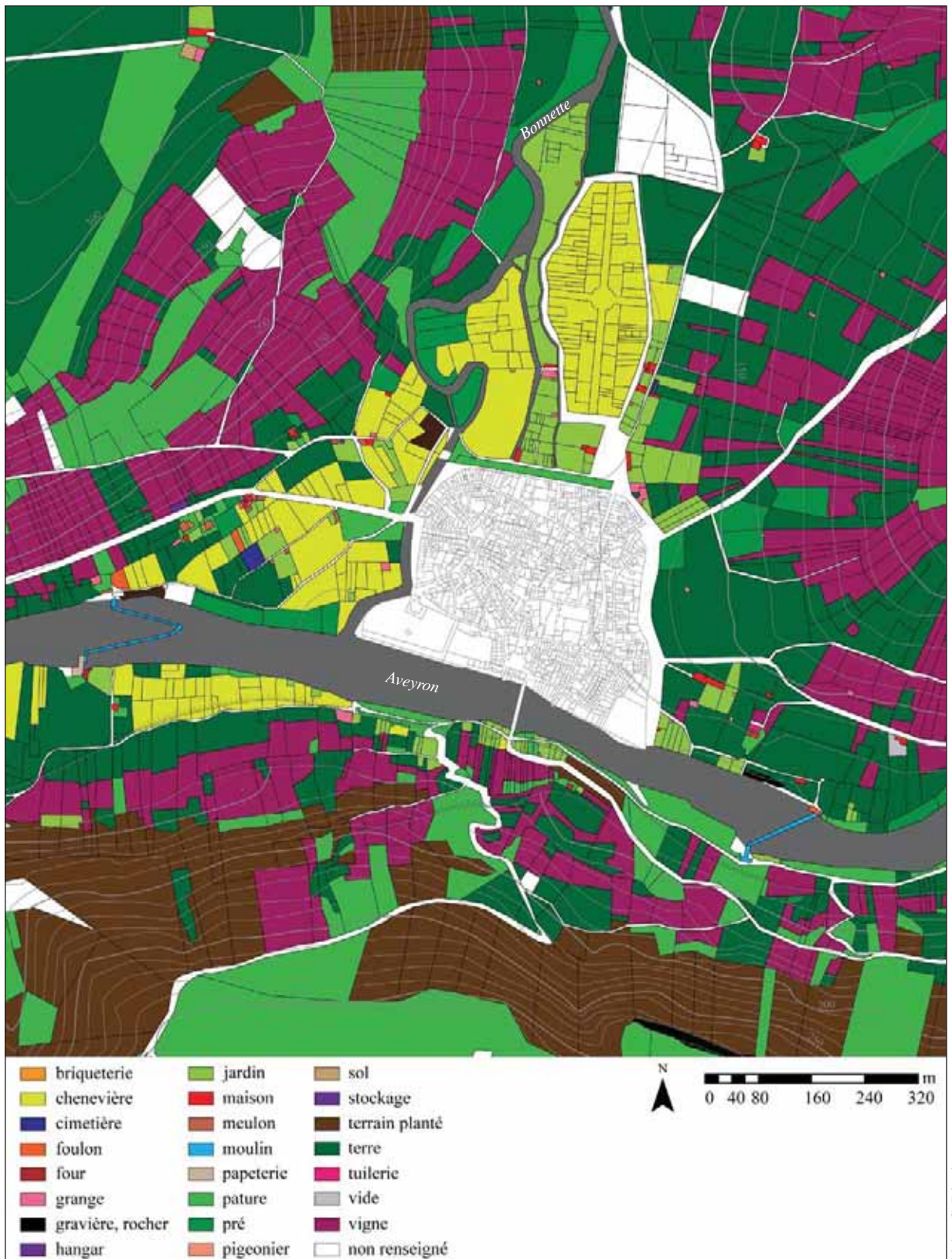


Fig. 335 : natures des parcelles aux portes de la ville d'après le cadastre napoléonien



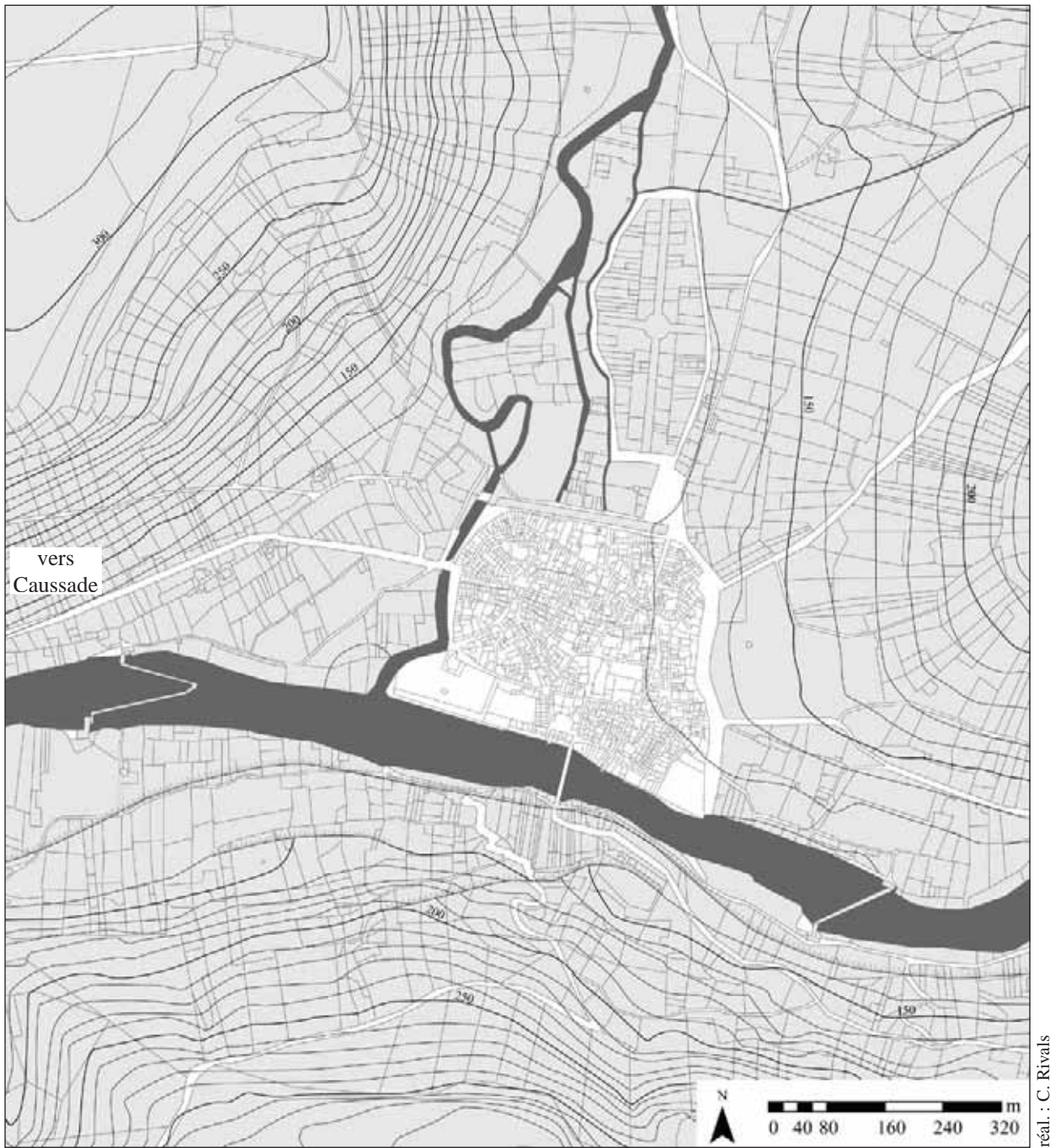


Fig. 336 : le parcellaire autour de la ville d'après le cadastre napoléonien

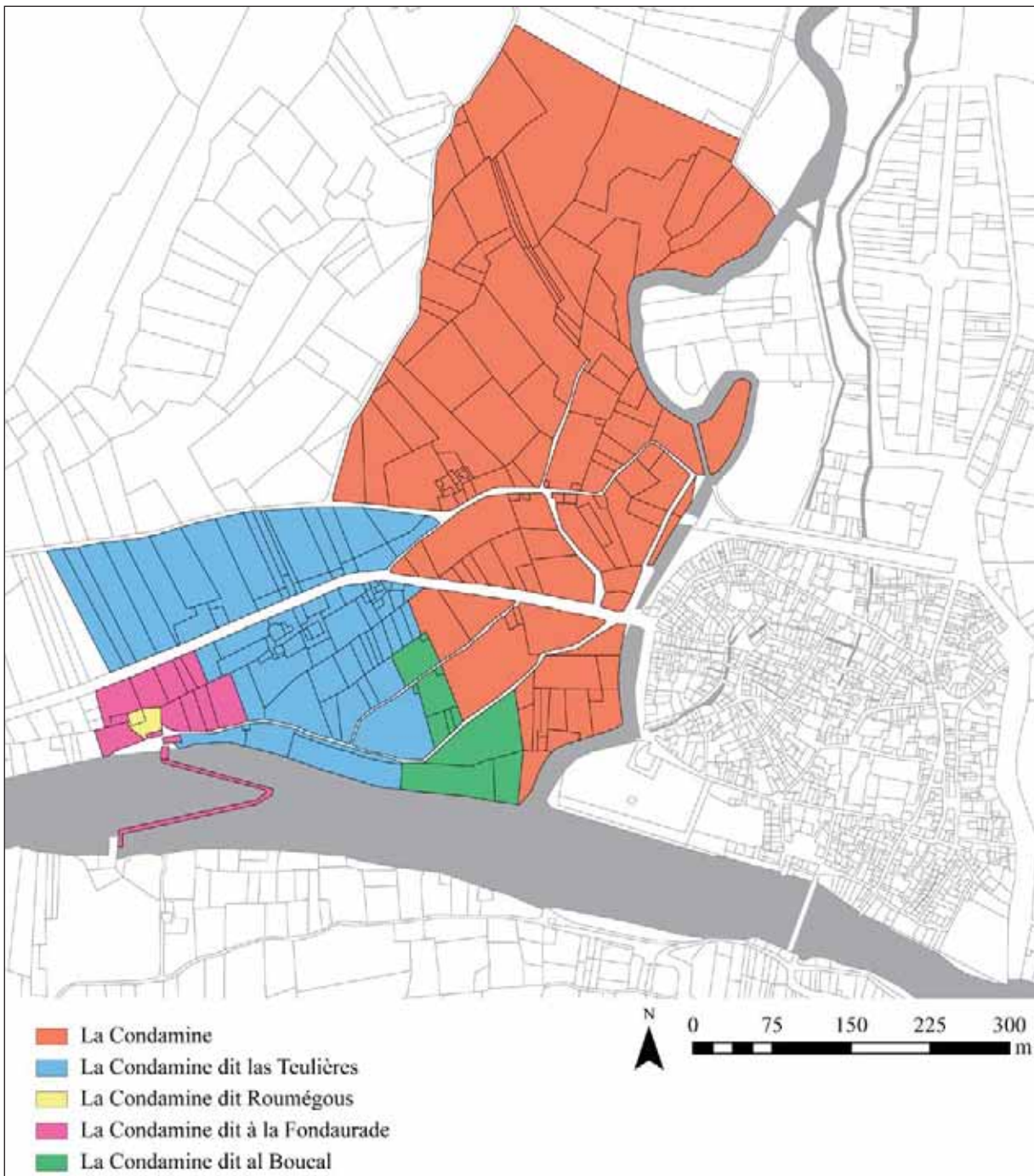


réal. : C. Rivals

Fig. 337 : localisation des faubourgs de Saint-Antonin, sur fond de cadastre napoléonien

1. pont de la Condamine
2. pont des Estafets
3. enclos des Capucins (XVII<sup>e</sup> siècle)
4. Pré Commun
5. porte du Pré





réal. : C. Rivals

Fig. 338 : localisation des toponymes de la Condamine d'après le cadastre napoléonien



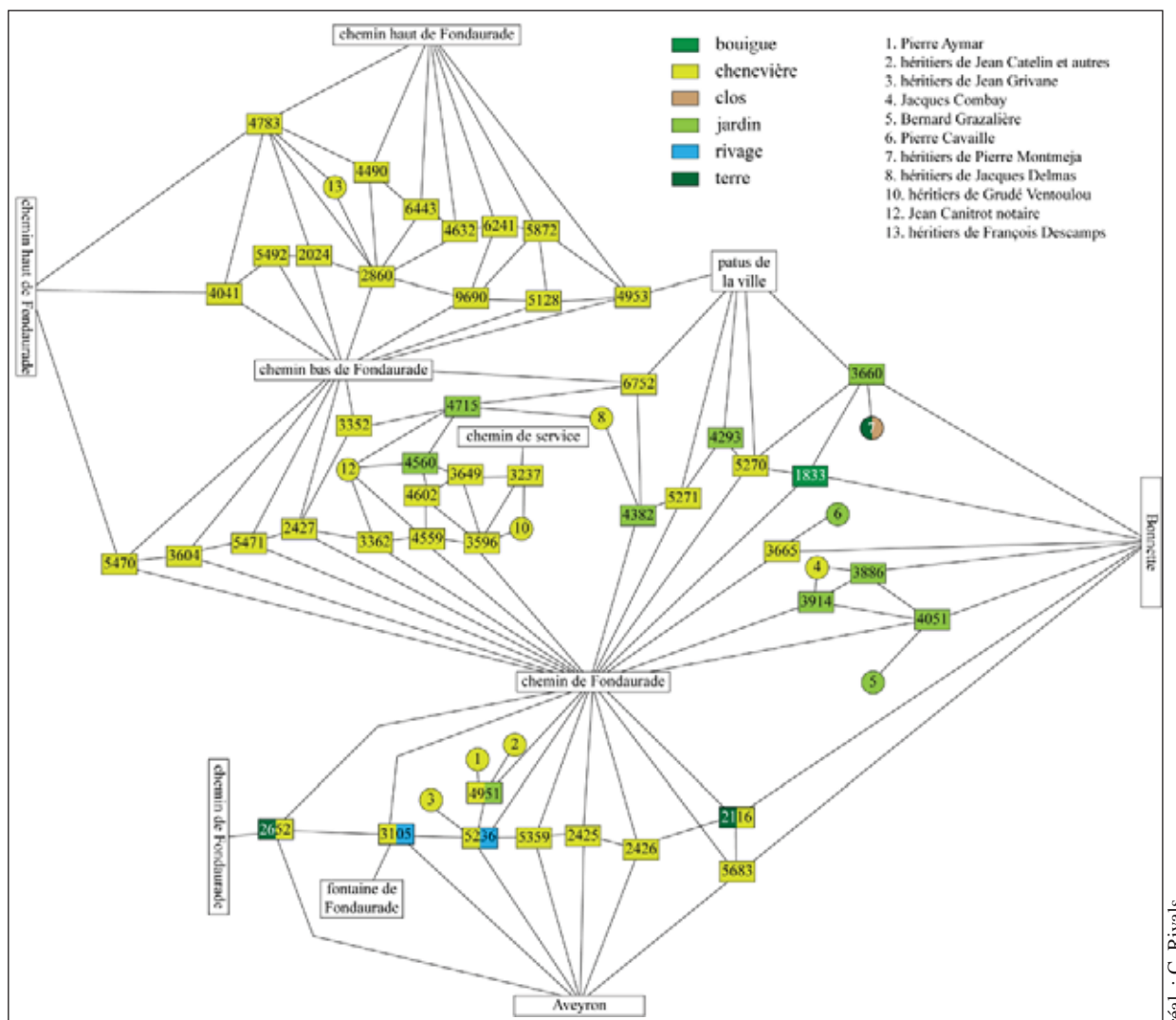
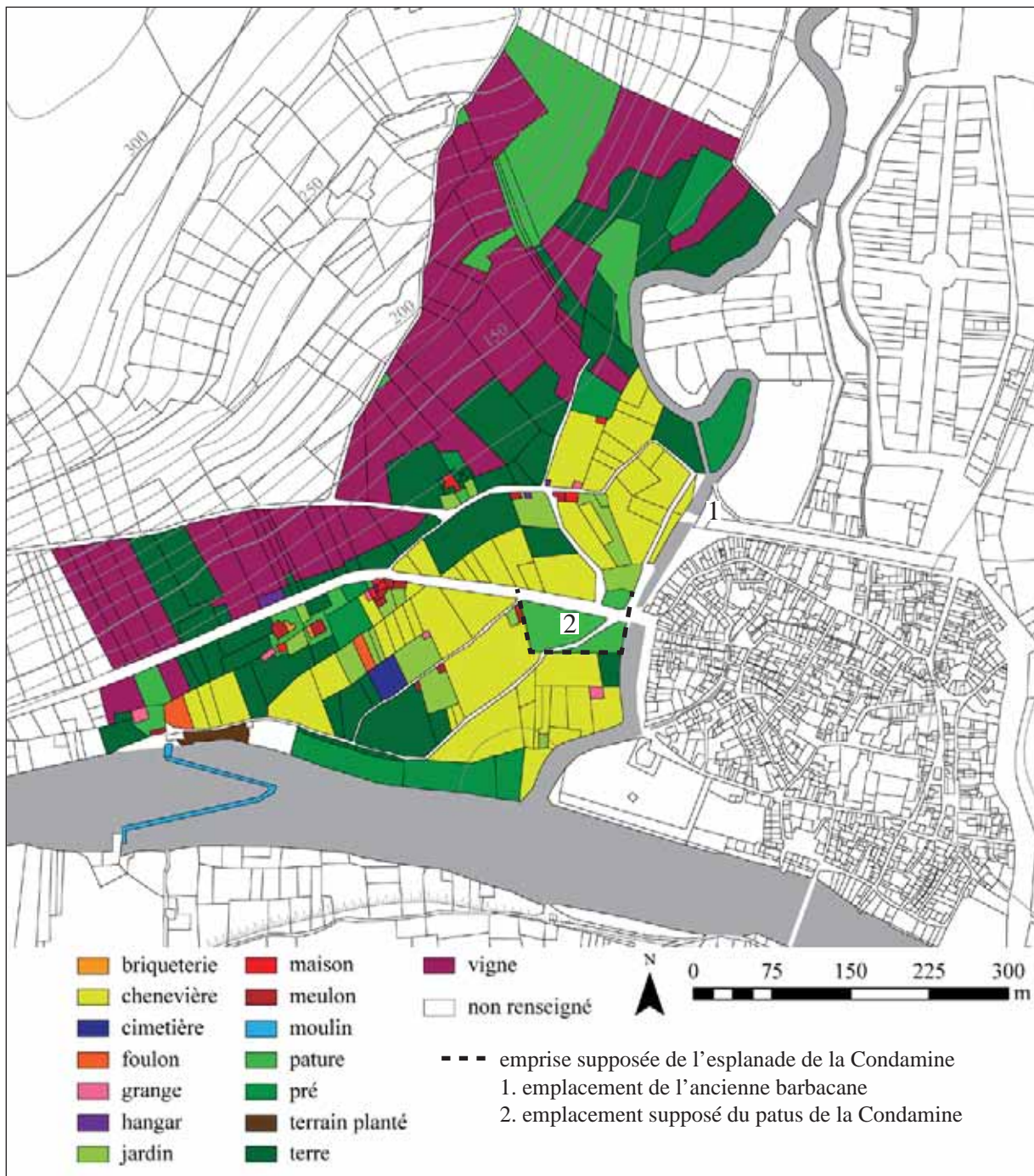


Fig. 339 : nature des parcelles sur le graphe du secteur de la Condamine d'après le compoix de 1670



réal. : C. Rivals

Fig. 340 : natures des parcelles du lieu-dit la Condamine d'après le cadastre napoléonien

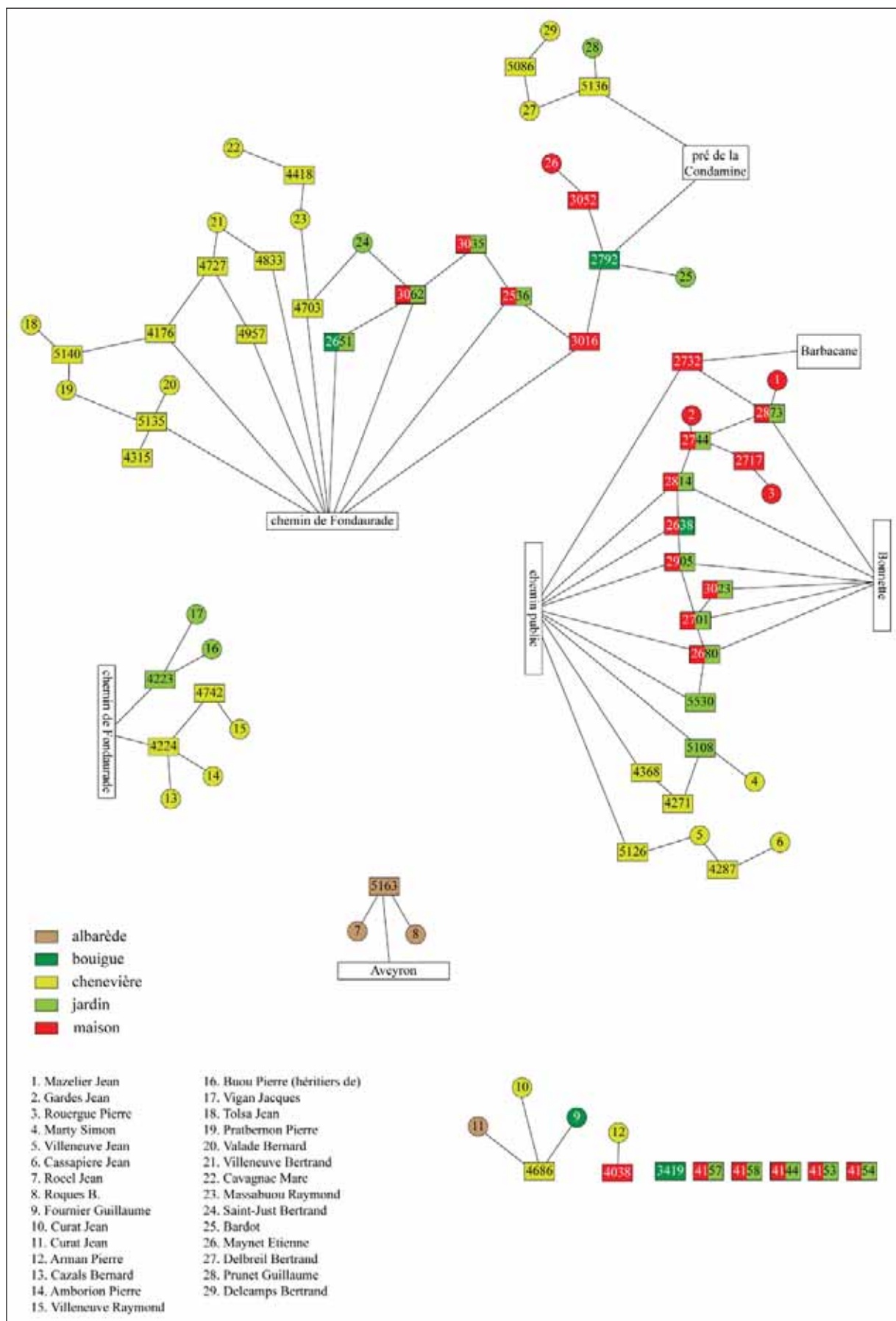
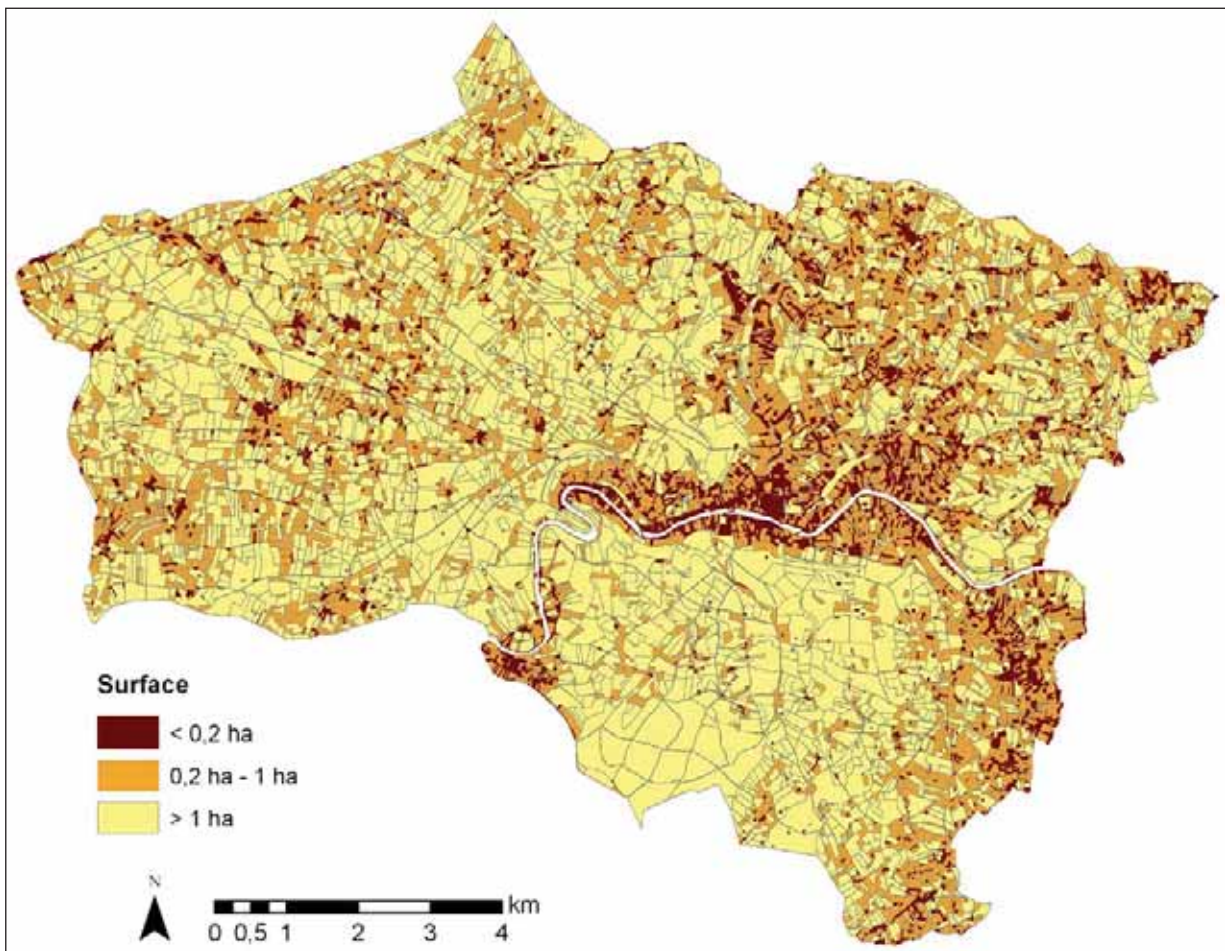


Fig. 341 : nature des parcelles sur le graphe du secteur de la Condamine d'après les *Maniffests* de 1500

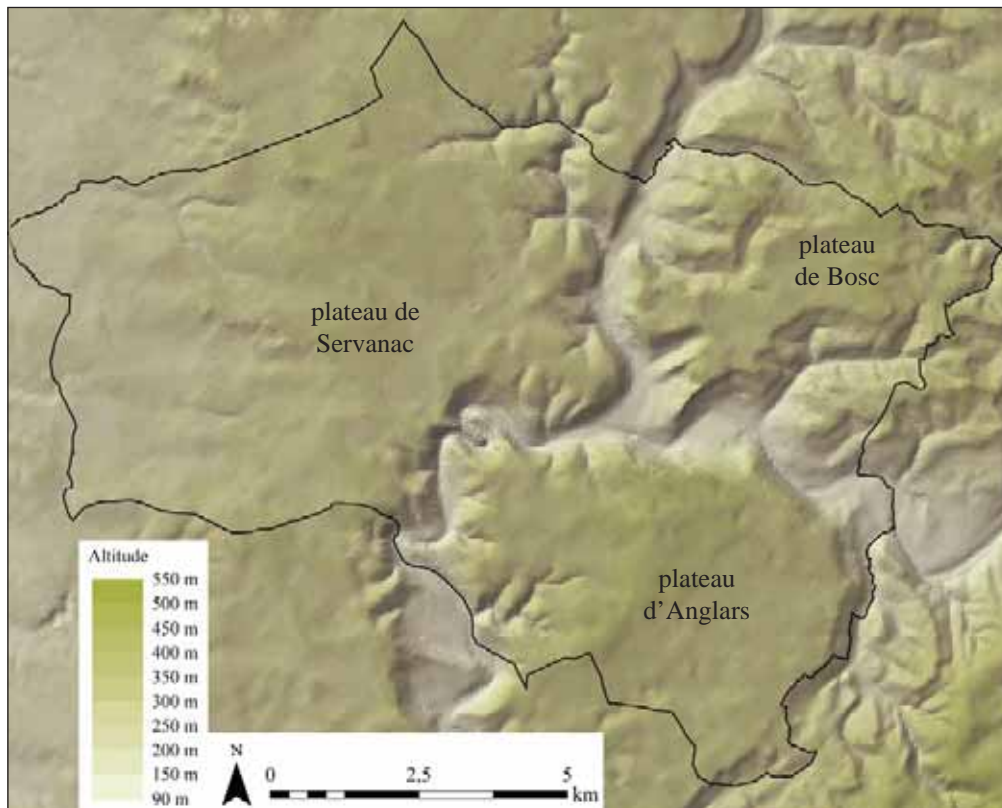
réal. : C. Rivals





réal. : C. Rivals

Fig. 342 : surfaces des parcelles de la juridiction de Saint-Antonin d'après le cadastre napoléonien  
Les surfaces des parcelles ont été calculées sur le logiciel ArcGis.



réal. : C. Rivals

Fig. 343 : relief de la commune de Saint-Antonin

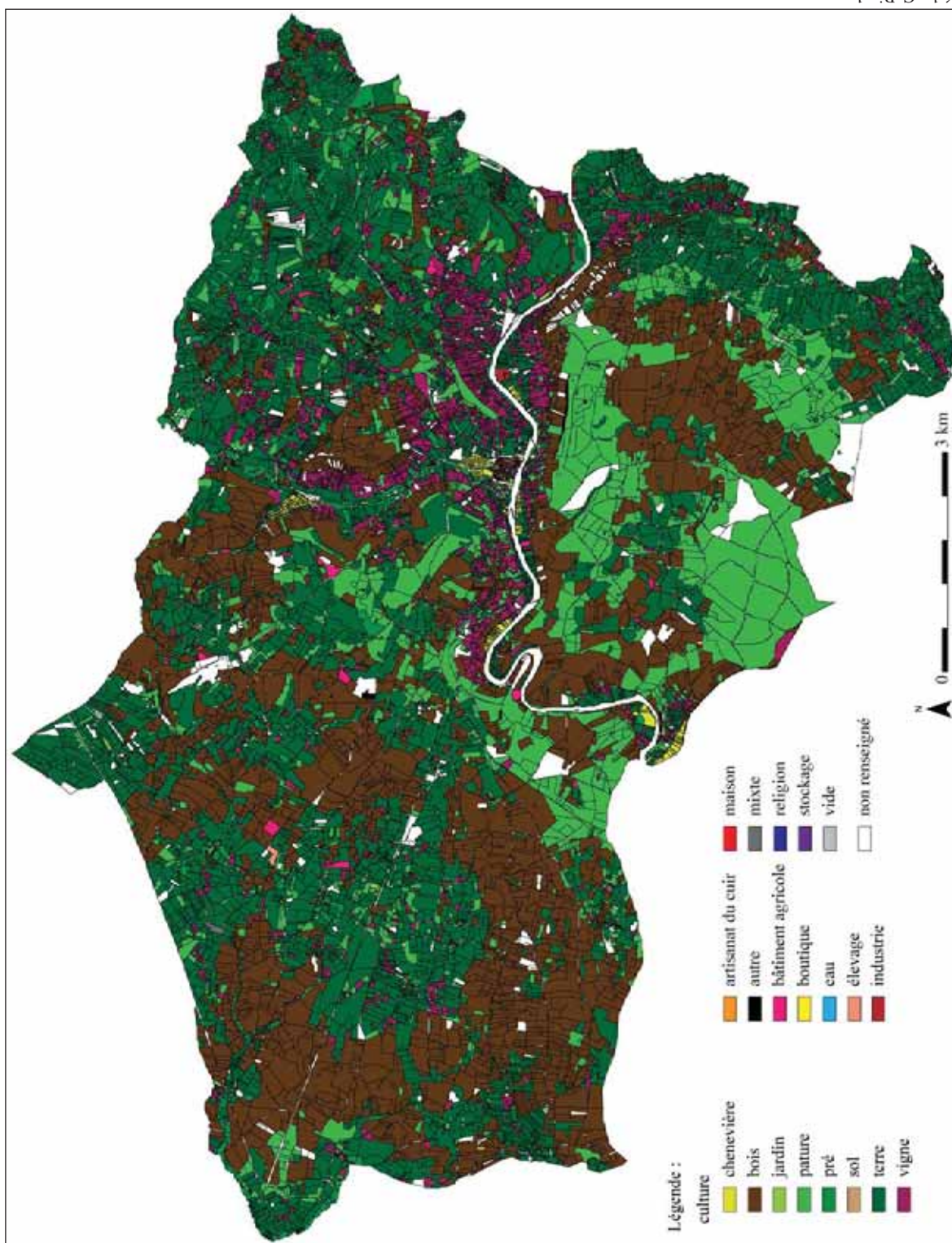
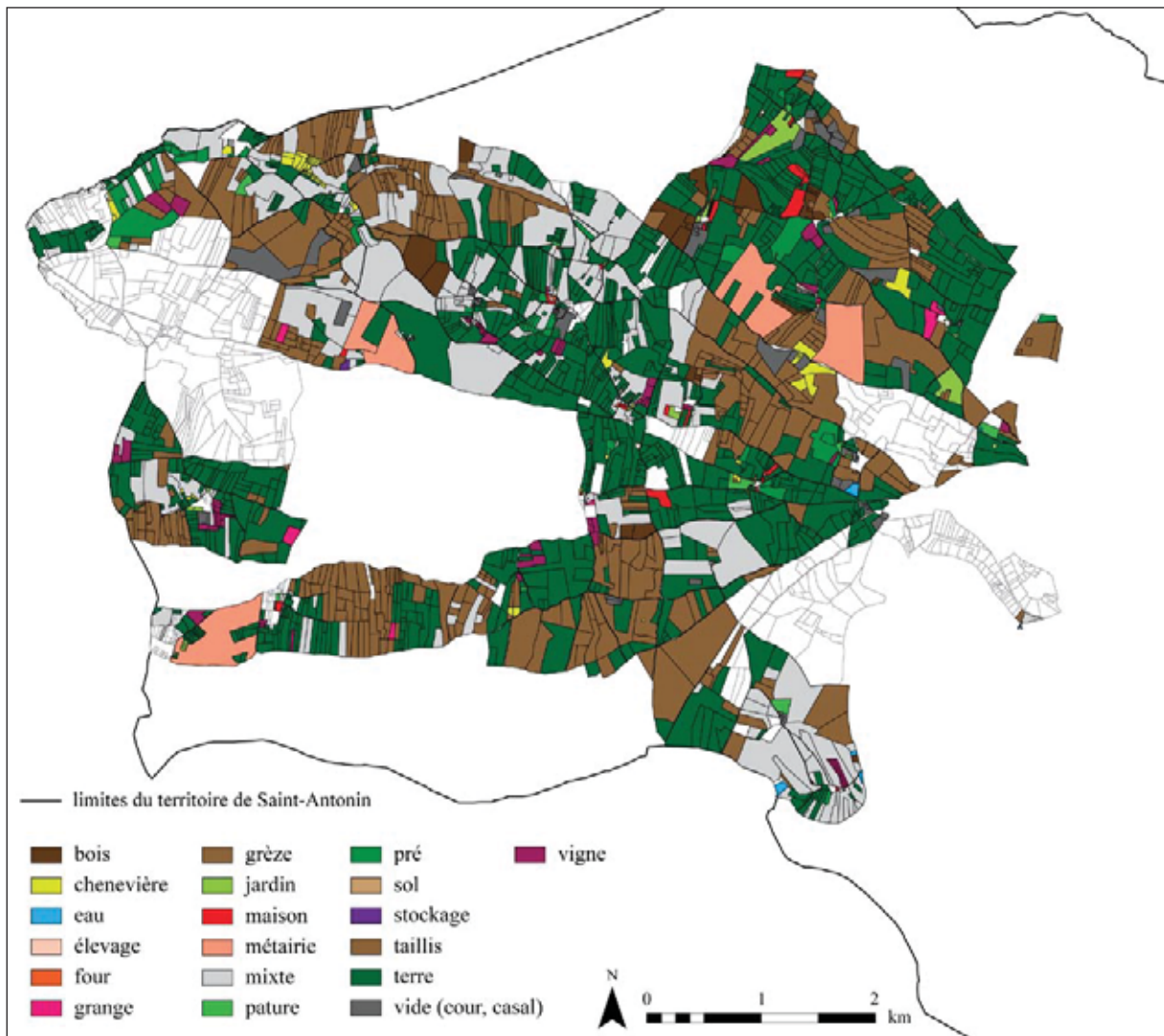


Fig. 344 : natures des parcelles de la juridiction de Saint-Antonin d'après le cadastre napoléonien





réal. : C. Rivals

Fig. 345 : natures des parcelles, d'après le terrier de 1688  
 Les parcelles blanches sont celles pour lesquelles la jointure n'a pu être effectuée.



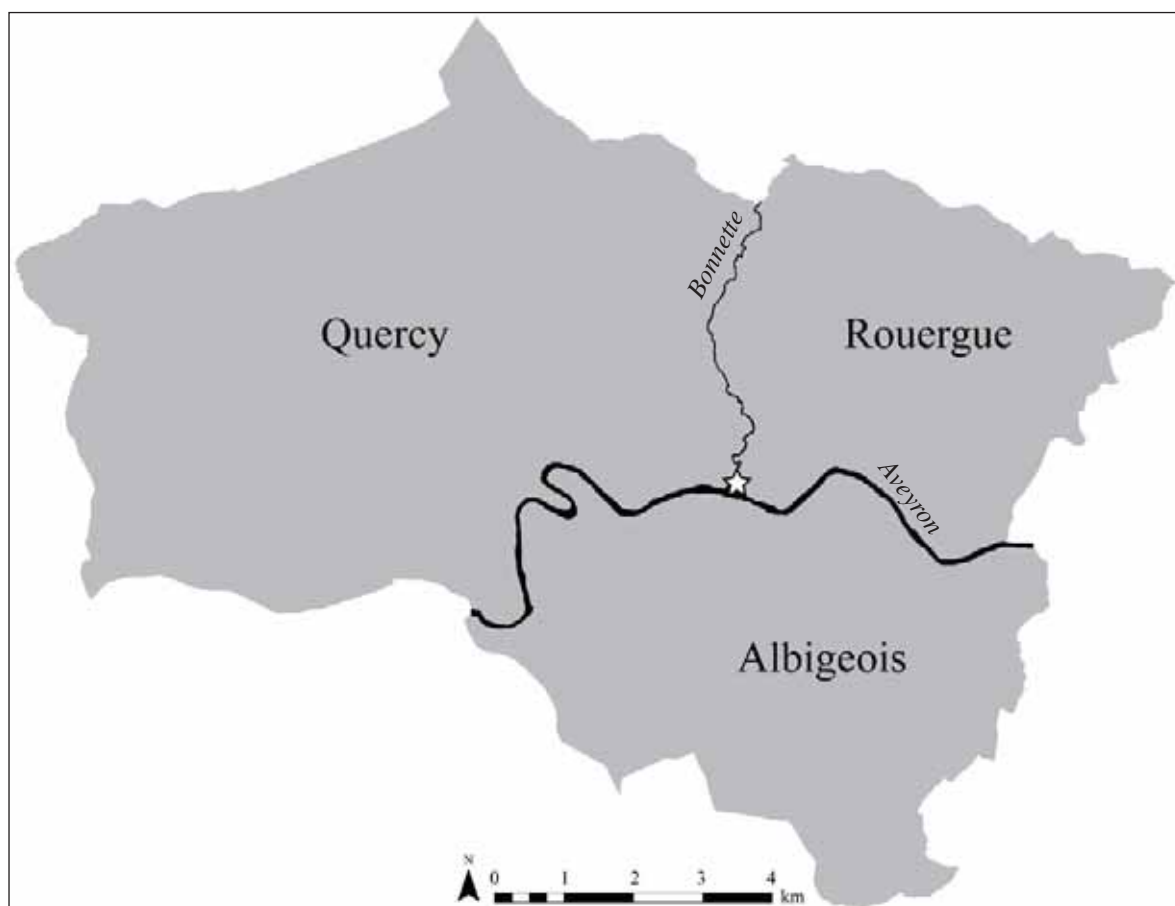


Fig. 346 : découpage du territoire de Saint-Antonin en quartier ruraux

	nombre de parcelles rurales appartenant à des propriétaires urbains	% du nombre de parcelles rurales appartenant à des propriétaires urbains	nombre total de parcelles	% du nombre de parcelles rurales appartenant à des propriétaires urbains par rapport au nombre total de parcelles
Albigeois	255	14,3%	353	72,2%
Quercy	616	34,6%	761	80,9%
Rouergue	911	51,1%	998	91,3%
total	1782		2113	

Fig. 347 : proportion de parcelles rurales appartenant à des propriétaires résidant en ville d'après les *Manifests* de 1500

	nombre de parcelles rurales appartenant à des propriétaires urbains	% du nombre de parcelles rurales appartenant à des propriétaires urbains	nombre total de parcelles	% du nombre de parcelles rurales appartenant à des propriétaires urbains par rapport au nombre total de parcelles
Albigeois	936	24,8%	3341	28%
Quercy	1300	34,5%	4837	27%
Rouergue	1531	40,6%	2895	53%
total	3767		11073	

Fig. 348 : proportion de parcelles rurales appartenant à des propriétaires résidant en ville d'après le compoix de 1670

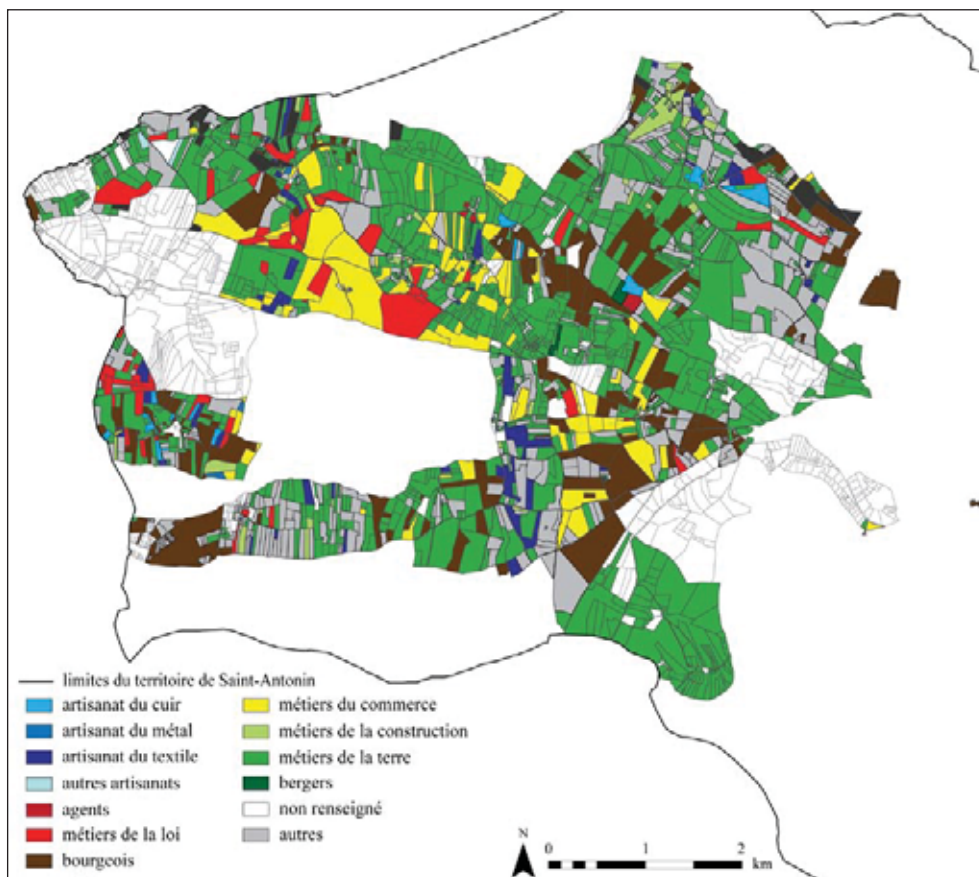
	nombre de parcelles rurales appartenant à un propriétaire urbain				% du nombre de parcelles rurales appartenant à un propriétaire urbain			
	total	Albigeois	Quercy	Rouergue	total	Albigeois	Quercy	Rouergue
agents	56	9	8	39	1,5%	1,0%	0,6%	2,5%
artisanat du cuir	142	37	48	57	3,8%	4,0%	3,7%	3,7%
artisanat du métal	16	4	4	8	0,4%	0,4%	0,3%	0,5%
artisanat du textile	330	64	150	116	8,8%	6,8%	11,5%	7,6%
autres	72	25	35	12	1,9%	2,7%	2,7%	0,8%
autres artisans	16	10	4	2	0,4%	1,1%	0,3%	0,1%
bourgeois	331	80	143	108	8,8%	8,5%	11,0%	7,1%
fonctionnaires	25	6	13	6	0,7%	0,6%	1,0%	0,4%
métiers de la construction	73	27	11	35	1,9%	2,9%	0,8%	2,3%
métiers de la loi	380	43	161	176	10,1%	4,6%	12,4%	11,5%
métiers de la médecine	112	8	26	78	3,0%	0,9%	2,0%	5,1%
métiers de la terre	923	307	248	368	24,5%	32,8%	19,1%	24,0%
métiers de l'alimentation	58	18	25	15	1,5%	1,9%	1,9%	1,0%
métiers de l'hébergement	28	3	10	15	0,7%	0,3%	0,8%	1,0%
métiers du commerce	718	177	312	229	19,1%	18,9%	24,0%	15,0%
nobles	54	9	0	45	1,4%	1,0%	0,0%	2,9%
religieux	45	10	3	32	1,2%	1,1%	0,2%	2,1%
NR	388	99	99	190	10,3%	10,6%	7,6%	12,4%
total	3767	936	1300	1531				

Fig. 349 : métiers des propriétaires résidant en ville et possédant des parcelles à la campagne d'après le compoix de 1670

	nombre de parcelles rurales appartenant à un propriétaire urbain	% nombre de parcelles rurales appartenant à un propriétaire urbain
artisanat du cuir	12	4,0%
artisanat du textile	22	7,4%
bourgeois	102	34,3%
métiers de la loi	9	3,0%
métiers de la terre	7	2,4%
métiers du commerce	107	36,0%
religieux	9	3,0%
NR	29	9,8%
total	297	

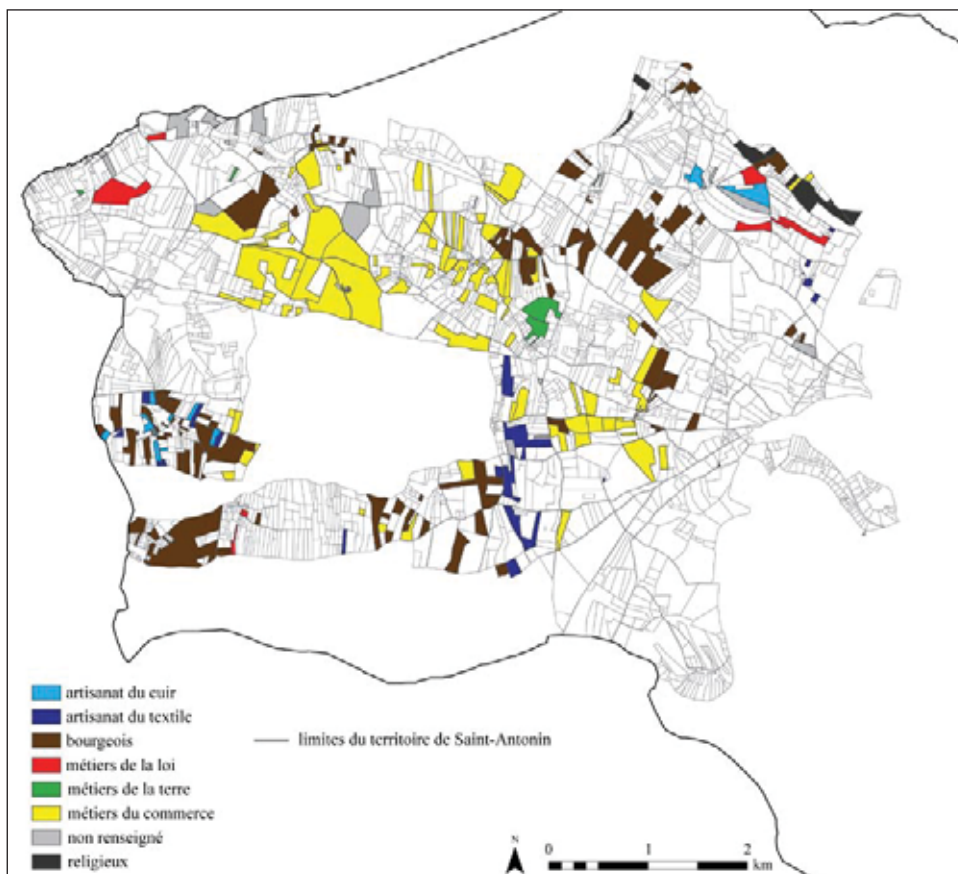
Fig. 350 : métiers des propriétaires résidant en ville et possédant des parcelles à la campagne d'après le terrier de 1688

Le registre de 1688 ne rassemble que des parcelles situées dans le quartier rural du Quercy.



réal. : C. Rivals

Fig. 351 : professions des propriétaires des parcelles, d'après le terrier de 1688  
Les parcelles blanches sont celles pour lesquelles la jointure n'a pu être effectuée.



réal. : C. Rivals

Fig. 352 : professions des propriétaires des parcelles résidant en ville, d'après le terrier de 1688



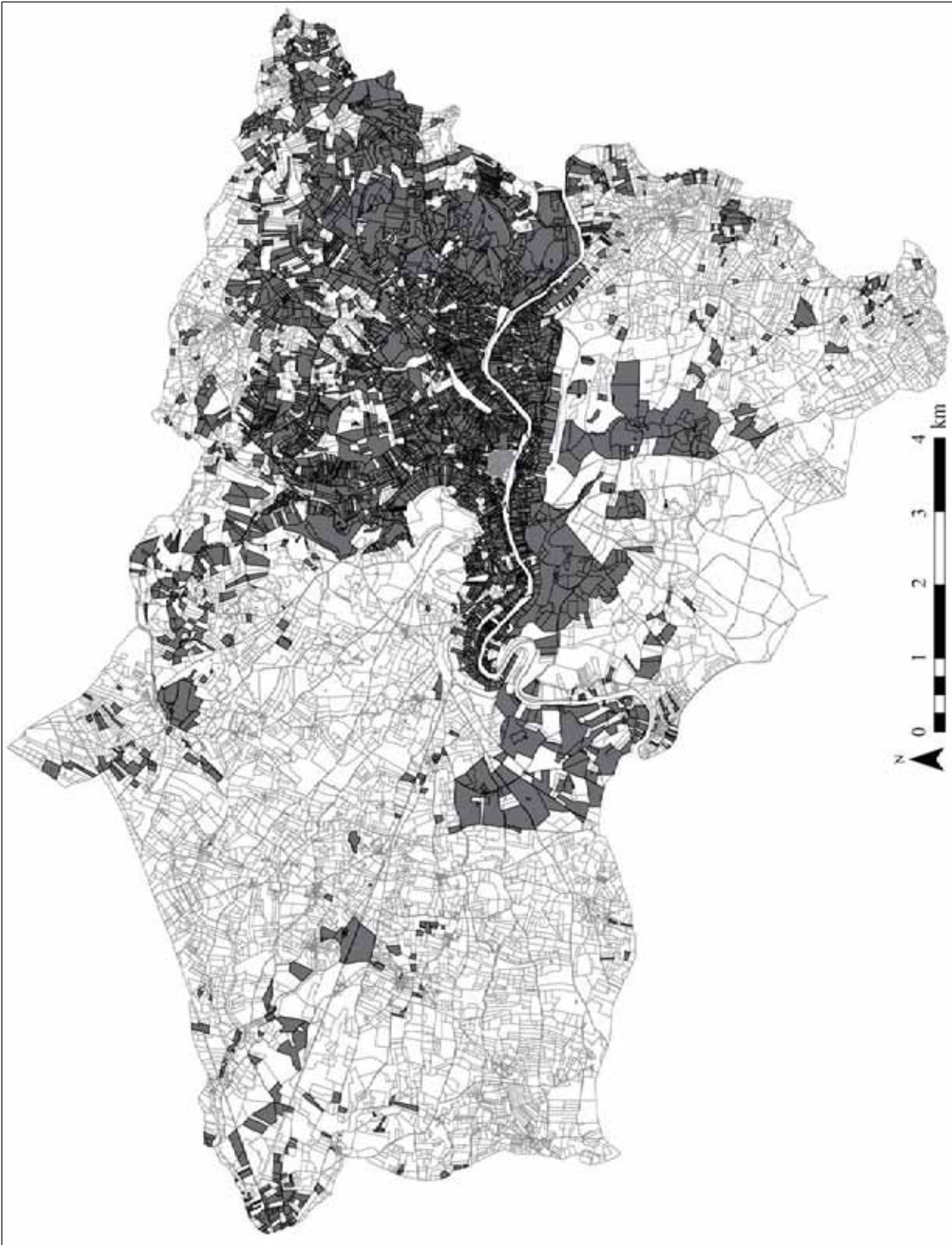
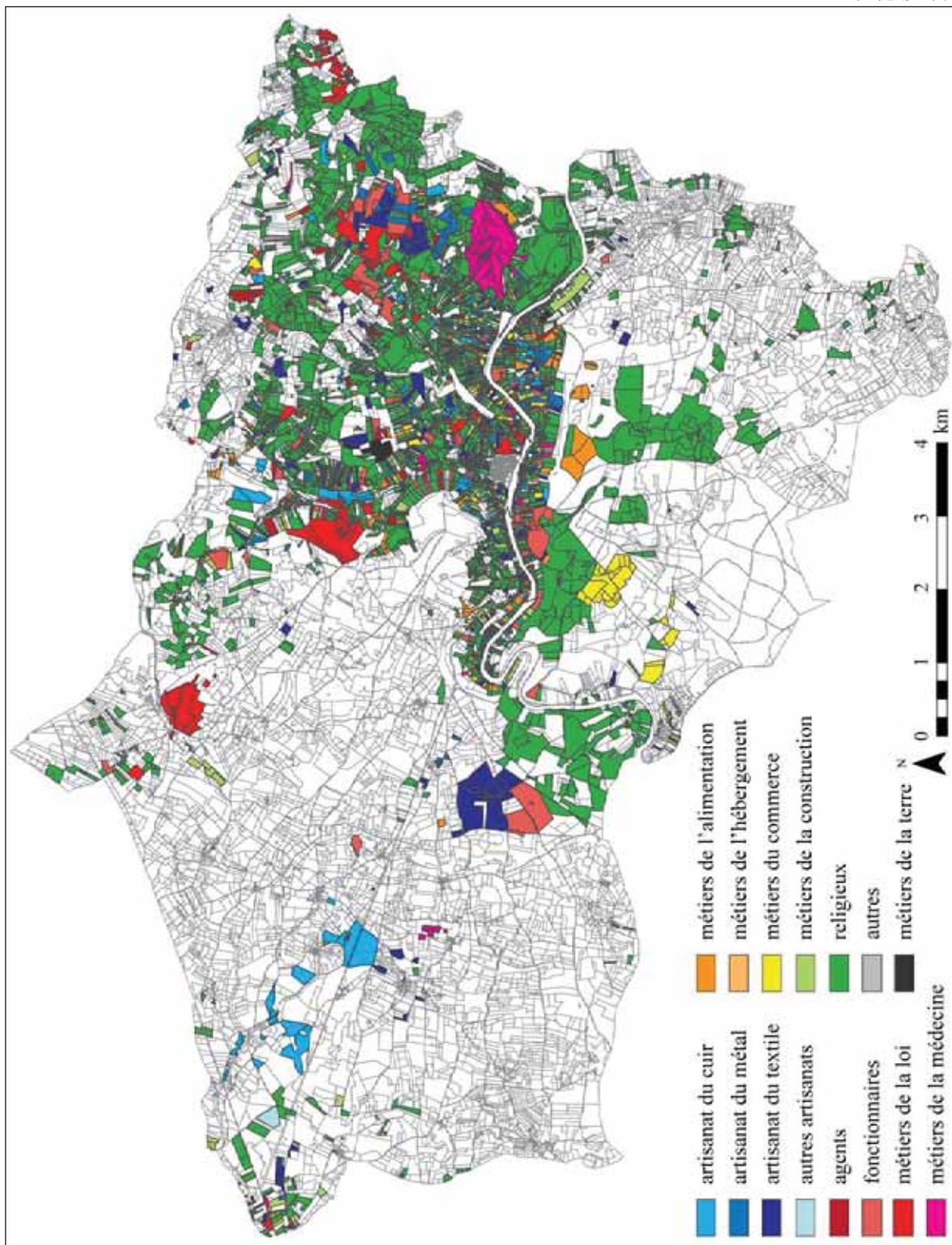


Fig. 353 : localisation des parcelles dont le propriétaire réside en ville (en gris), d'après le cadastre napoléonien



réal. : C. Rivals

Fig. 354 : professions des propriétaires qui résident en ville, d'après le cadastre napoléonien

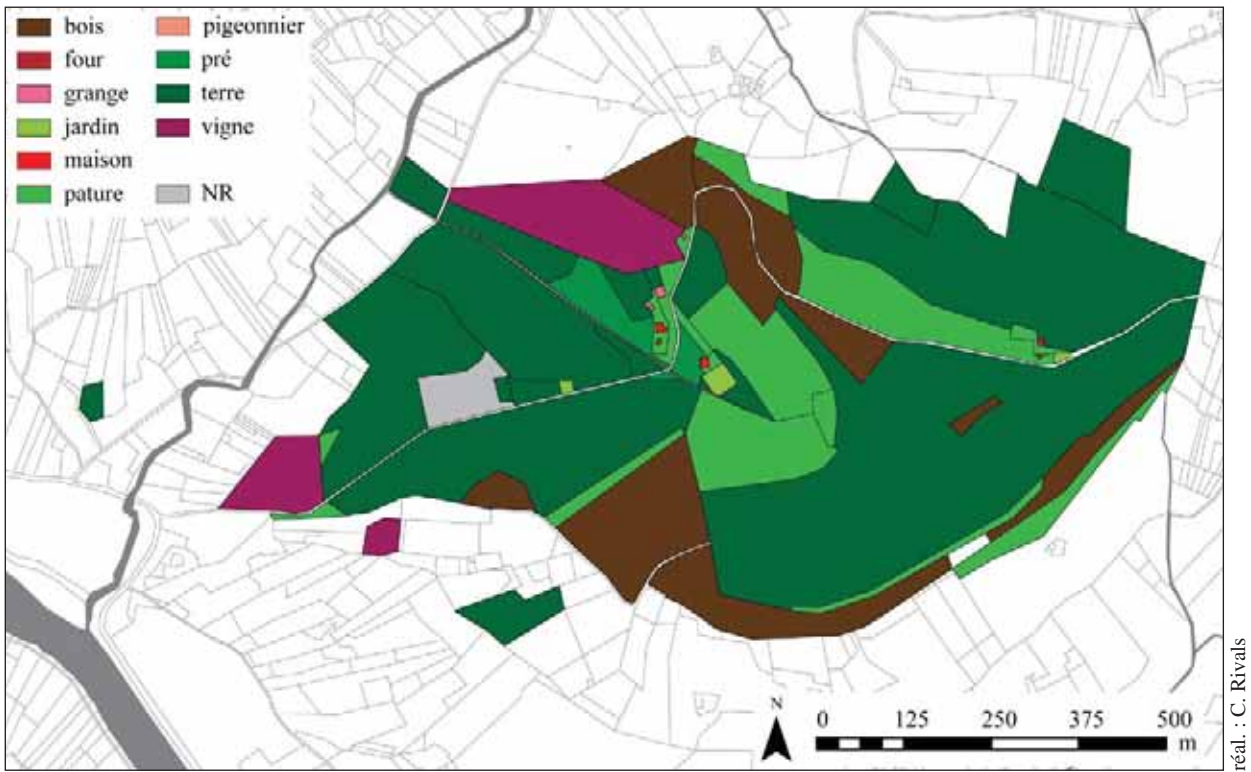


Fig. 355 : possessions rurales de Guillaume Lacombe, d'après le cadastre napoléonien



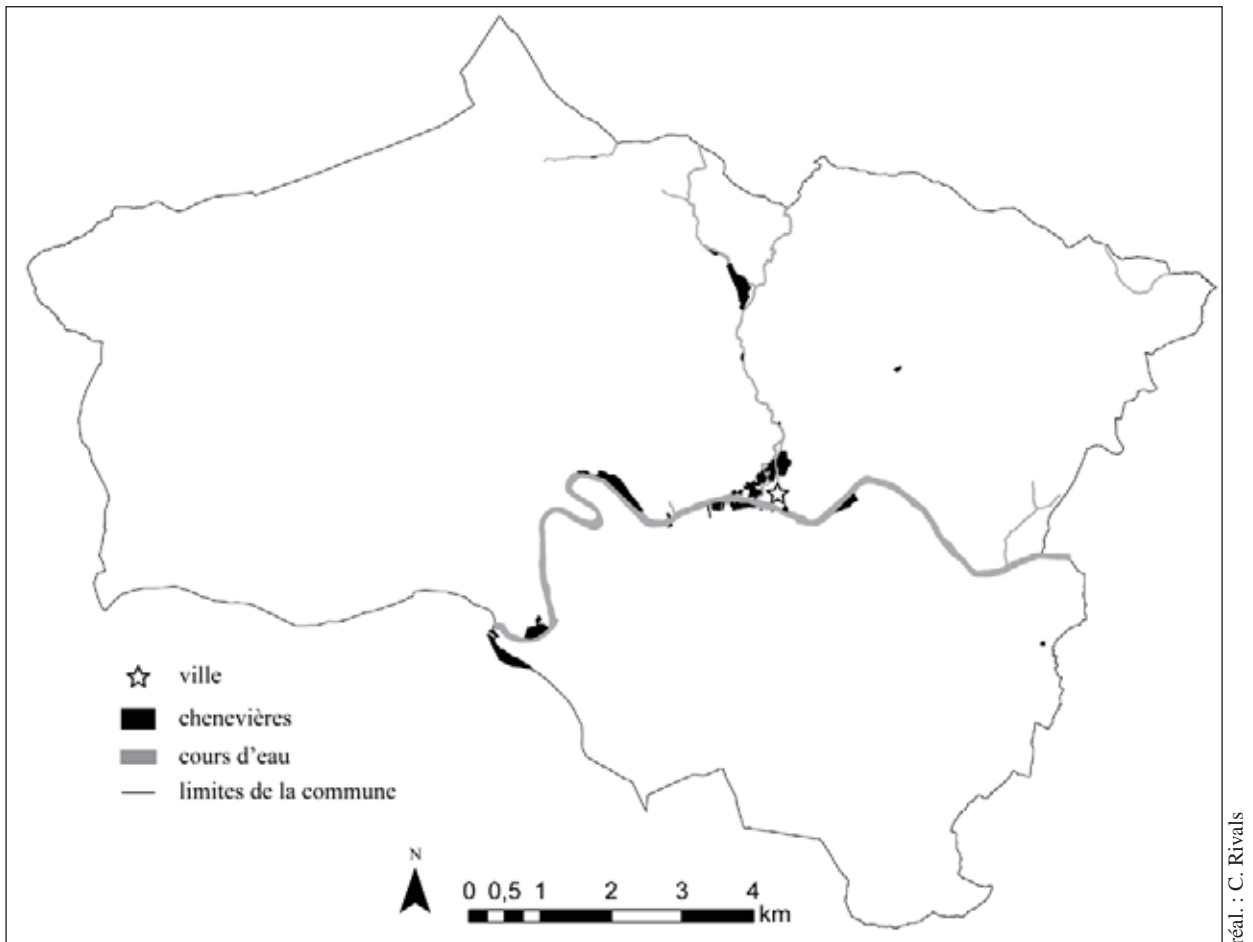


Fig. 356 : localisation des chenevières sur le territoire de la commune de Saint-Antonin, d'après le cadastre napoléonien

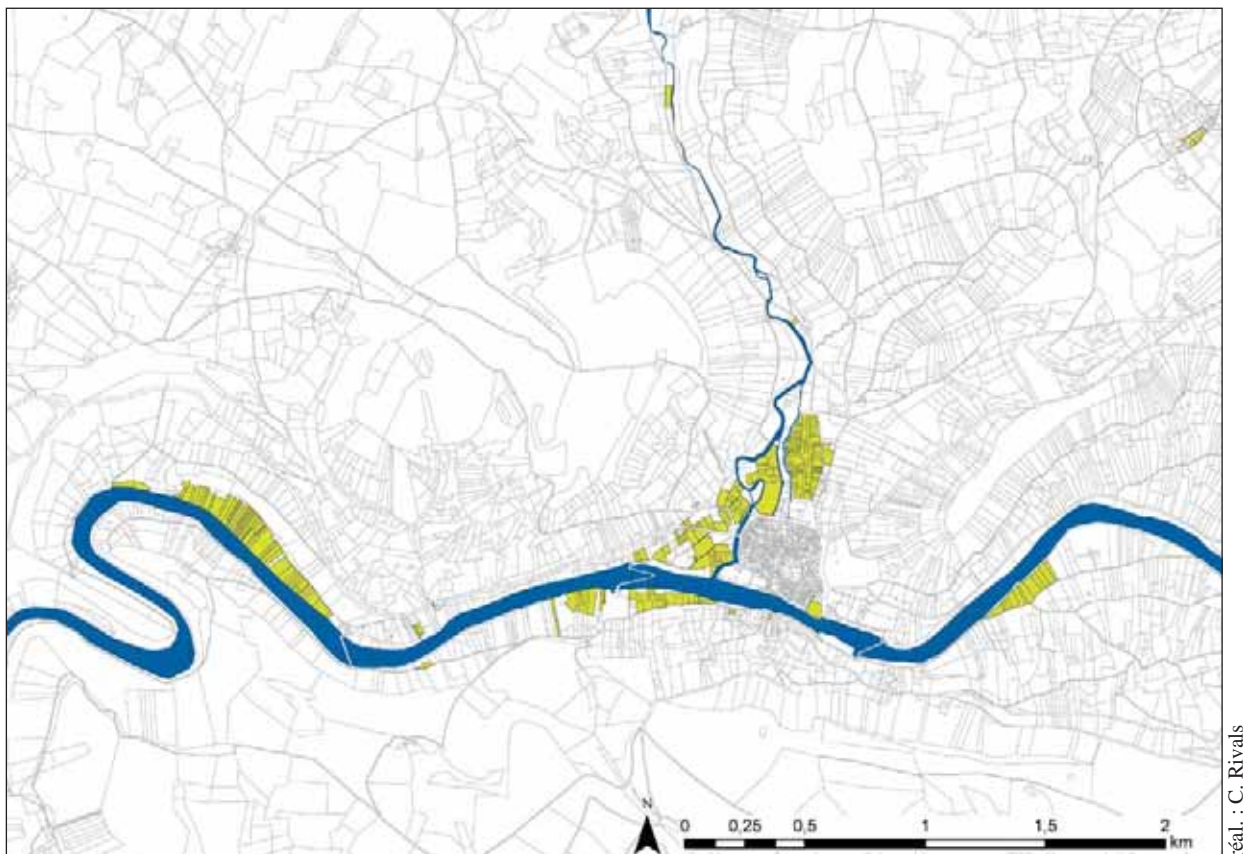


Fig. 357 : localisation des chenevières (en jaune) autour de la ville d'après le cadastre napoléonien

Volume 2 - Illustrations

catégorie	profession	nombre de propriétaire qui possède une ou plusieurs chenevières
agents		13
autre		2
bourgeois		13
maréchal		4
métiers de l'alimentation		5
métiers de l'hébergement		8
métiers de la construction		11
métiers de la loi		17
métiers de la médecine		11
métiers du commerce		41
meunier		4
noble		2
religieux		2
verrier		2
NR		86
artisanat du cuir	cordonnier	11
	sellier	1
	tanneur	6
artisanat du textile	chaussatier	1
	espardilleur	1
	foulon de draps	1
	passementier	1
	peigneur	2
	peigneur de laine	6
	sarger	10
	tailleur	12
	teinturier	3
	tisserand	9
métiers de la terre	brassier	107
	laboureur	102
total		494

Fig. 358 : profession des propriétaires de chenevières d'après le compoix de 1670

	nombre de têtes		% du nombre total de têtes	
	année 1455-56	année 1464-65	année 1455-56	année 1464-65
<b>cheptel bovin</b>	1134	1327	11,4%	12,8%
<b>cheptel ovin</b>	8165	8348	81,8%	80,8%
<b>cheptel porcin</b>	679	656	6,8%	6,3%

Fig. 359 : cheptel vif mentionné dans les registres de rôles de la taille du milieu du XV<sup>e</sup> siècle

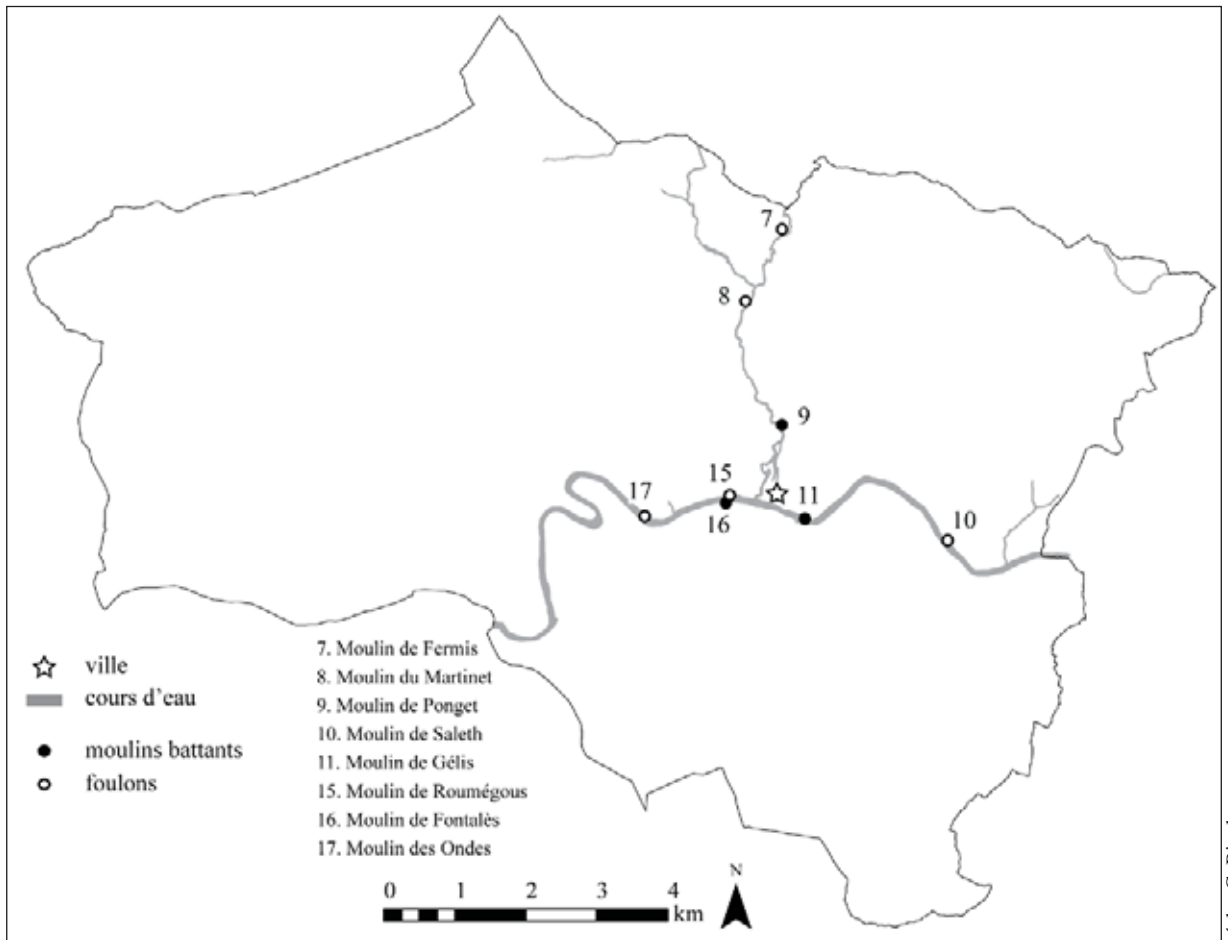
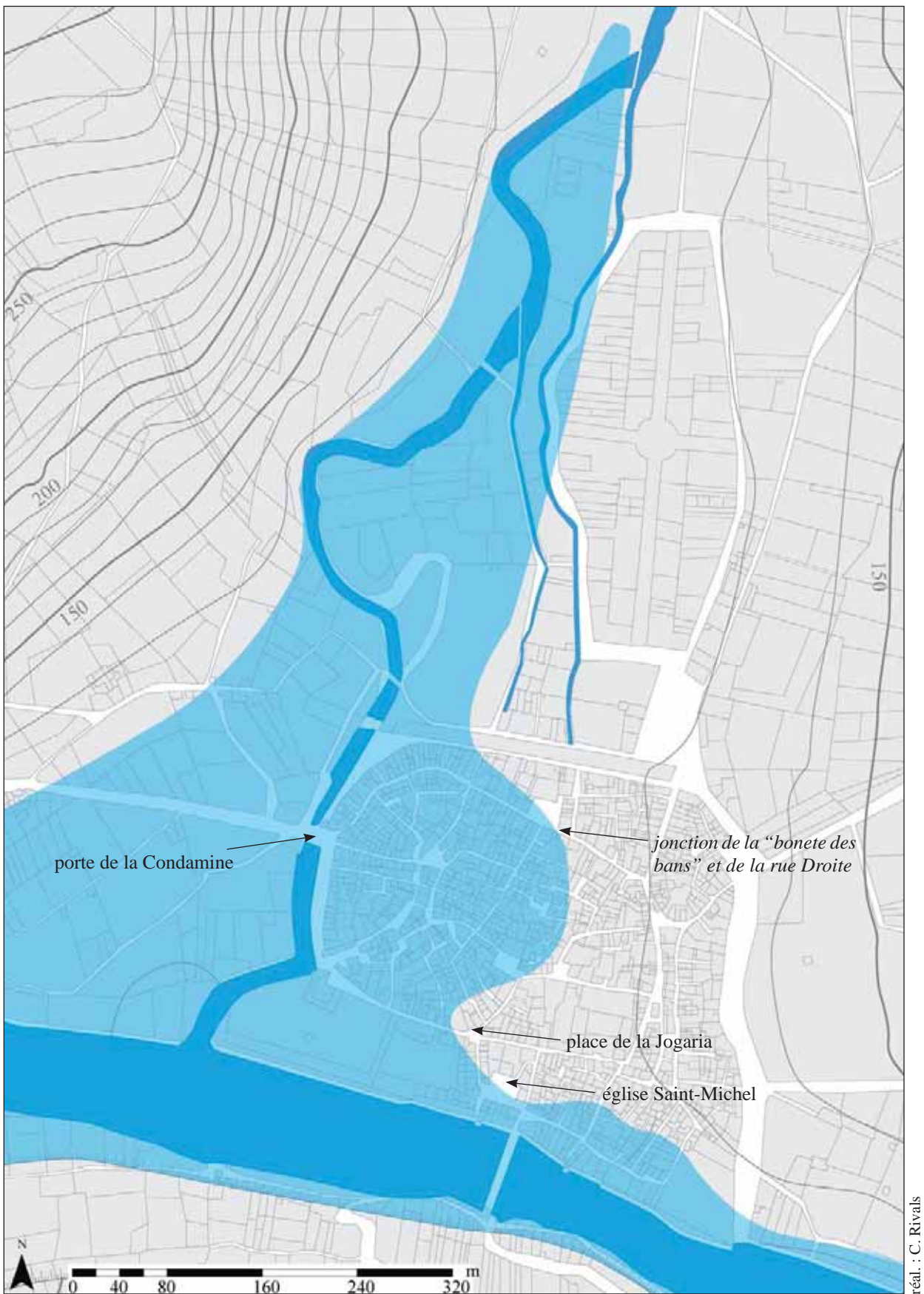


Fig. 360 : localisation des moulins battants et des foulons mentionnés dans le compoix de 1670





réal. : C. Rivals

Fig. 361 : restitution d'une inondation jusqu'à la cote 125 m NGF, soit celle environ atteinte par les crues de 1394, 1618, 1906 1940 et 1981

année	référence
1394	AC Saint-Antonin, AA4, fol. 38
<i>1405</i>	AC Saint-Antonin, AA4, fol. 14
1412	ADTG, G988
<i>1418</i>	AC Saint-Antonin, AA4, fol. 14
<i>1419</i>	AC Saint-Antonin, AA4, fol. 14
1532	AC Saint-Antonin, AA4, fol. 29
<i>1546</i>	AC Saint-Antonin, AA4, fol. 19
1552	AC Saint-Antonin, AA4, fol. 31
1571	AC Saint-Antonin, BB1, fol. 242
1572	AC Saint-Antonin, BB1, fol. 278
1618	AC Saint-Antonin, AA4, fol. 13
1686	AC Saint-Antonin, DD13
1688	AC Saint-Antonin, BB12
1696	AC Saint-Antonin, BB13
1711	AC Saint-Antonin, BB15
1723	AC Saint-Antonin, BB16
1728	AC Saint-Antonin, BB17
1732	AC Saint-Antonin, CC143

Fig. 362 : mentions de crues et de tempêtes (en italique) relevées dans la documentation saint-antoninoise jusqu'au XVIII<sup>e</sup> siècle

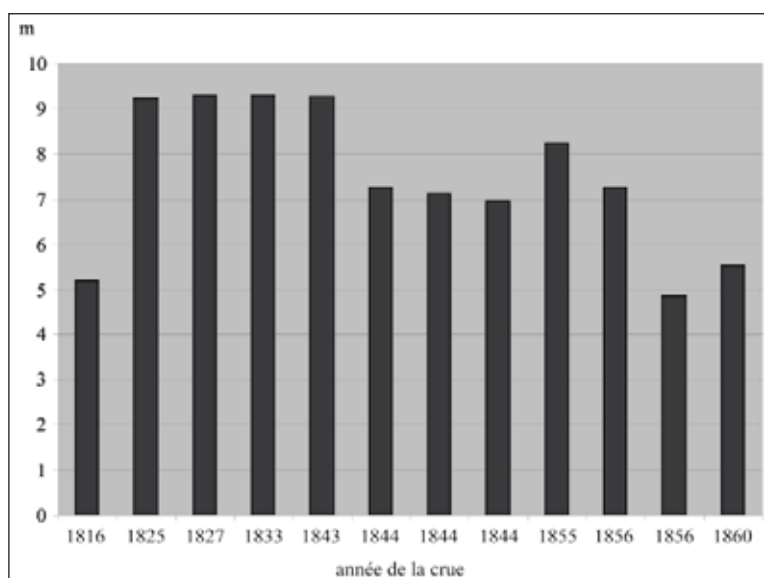


Fig. 363 : histogramme du niveau de l'eau mesuré à Monttricoux lors des crues du XIX<sup>e</sup> siècle  
D'après *Les inondations en France...op. cit.*, tome IV, pièce justificative n° 281.

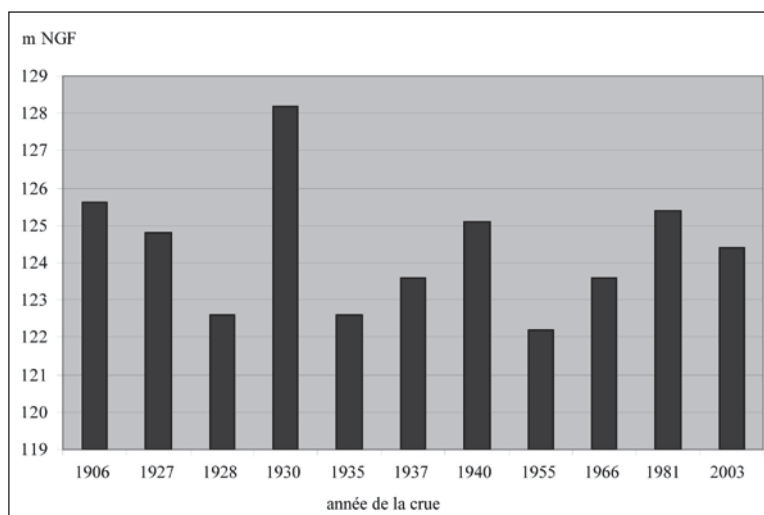


Fig. 364 : histogramme de l'altitude du niveau de l'eau à Saint-Antonin lors des crues du XX<sup>e</sup> siècle  
Les cotes de ces crues ont été relevées par le service de l'équipement sur l'échelle située au niveau du pont sur l'Aveyron. La partie basse de cette échelle se situe à 118.2 m NGF.



Inondation de 1930,  
Rue Droite  
Parcelle n°148 du cadastre actuel



Inondation de 1906  
“L’EAU LE 11 DEC 1906”  
Rue du Moulin du Bessarel  
Parcelle n°118 du cadastre actuel



Inondation de 1930,  
Plaque officielle  
Rue des Claustres  
Parcelle n°202 du cadastre actuel



Inondation de 1906  
“EAU 14 XBRE 1906”  
Rue de l’Hospitalet  
Parcelle n°310 du cadastre actuel

clichés : C. Rivals

Fig. 365 : exemples de marques apposées sur les façades pour se remémorer le niveau des principales crues du XX<sup>e</sup> siècle





Fig. 366 : vue du quartier du Bessarel lors de la décrue en 1927 (AC Saint-Antonin, non côté)



Fig. 367 : vue du pont sur l'Aveyron depuis l'ouest, lors de la crue de 1981 (AC Saint-Antonin, non côté)



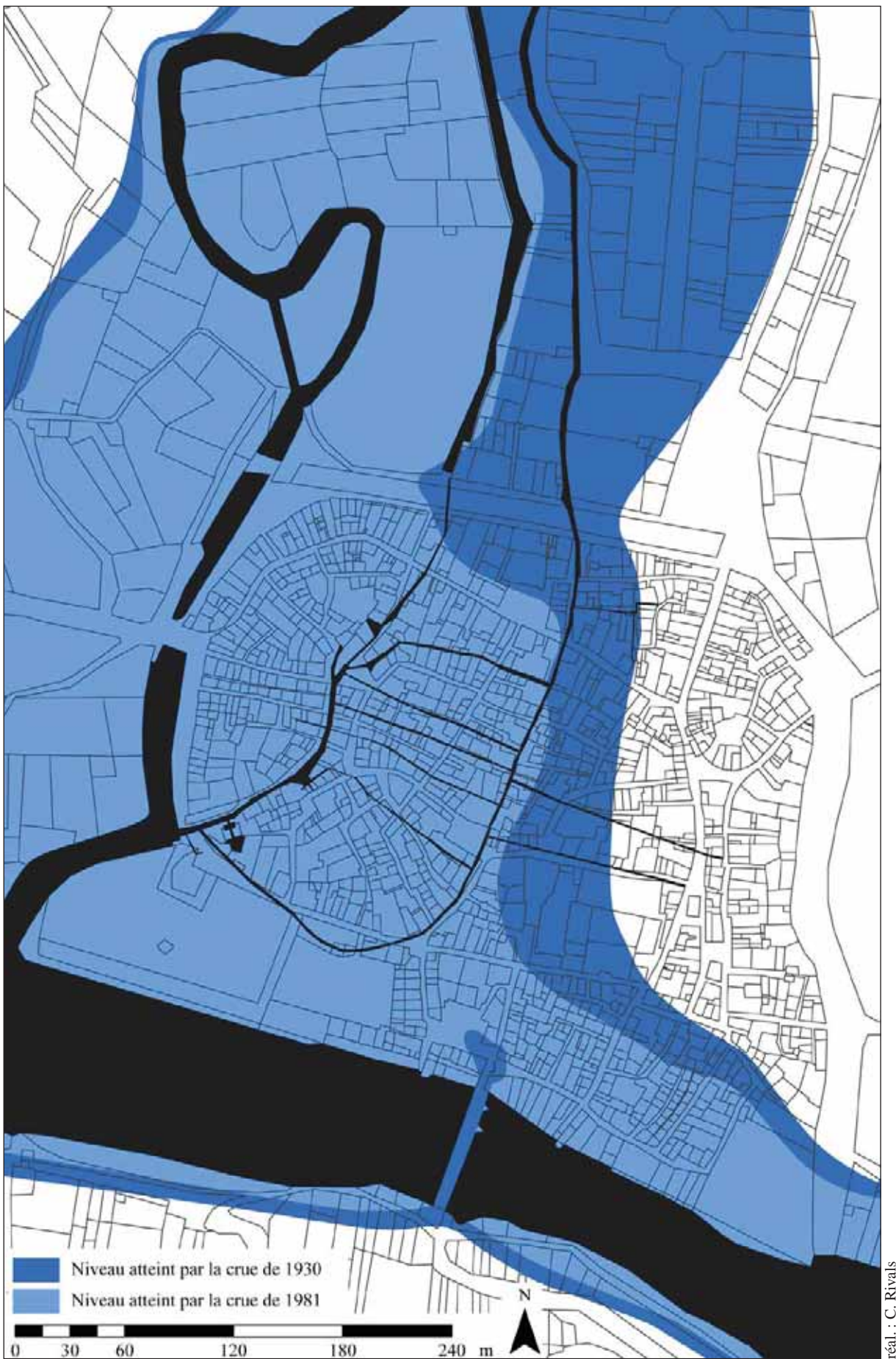


Fig. 368 : représentation du niveau de l'eau atteint par les crues de 1930 et 1981 sur fond de cadastre napoléonien

D'après Julien G., "L'inondation du 14 décembre 1981", BSAVSA, 1981, p. 18



Fig. 369 : coupes nord / sud et nord-ouest / sud-est de la ville avec la restitution du niveau de l'eau atteint par les crues de 1930 et 1981



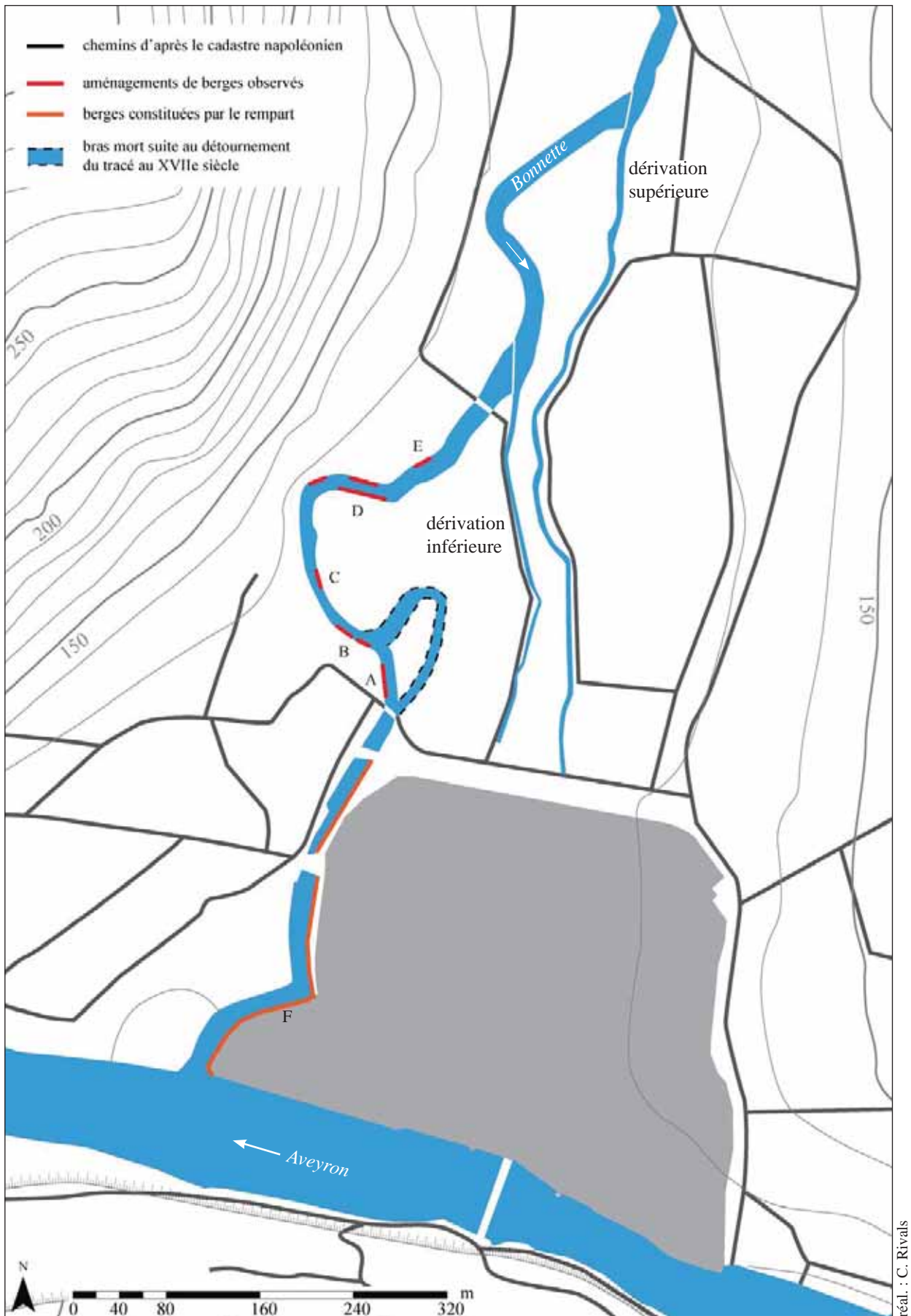


Fig. 370 : localisation des aménagements sur la Bonnette  
 Les lettres correspondent aux prises de vue des figures suivantes.  
 Le cours de la Bonnette n'a pas été observé finement au-delà de la digue de la dérivation inférieure. D'autres aménagements pouvaient se trouver en amont.



cliché : C. Rivals

Fig. 371 : aménagement de berge correspondant à la lettre D sur la figure 370



cliché : C. Rivals

Fig. 372 : aménagement de berge correspondant à la lettre B sur la figure 370





cliché : C. Rivals

Fig. 373 : aménagement de berge correspondant à la lettre C sur la figure 370



cliché : C. Rivals

Fig. 374 : aménagement de berge correspondant à la lettre E sur la figure 370



cliché : C. Rivals

Fig. 375 : aménagement de berge correspondant à la lettre D sur la figure 370





cliché : C. Rivals

Fig. 376 : aménagement de berge correspondant à la lettre F sur la figure 370



cliché : C. Rivals

Fig. 377 : aménagement de berge correspondant à la lettre A sur la figure 370, construit au XVII<sup>e</sup> siècle en vue d'assécher le méandre

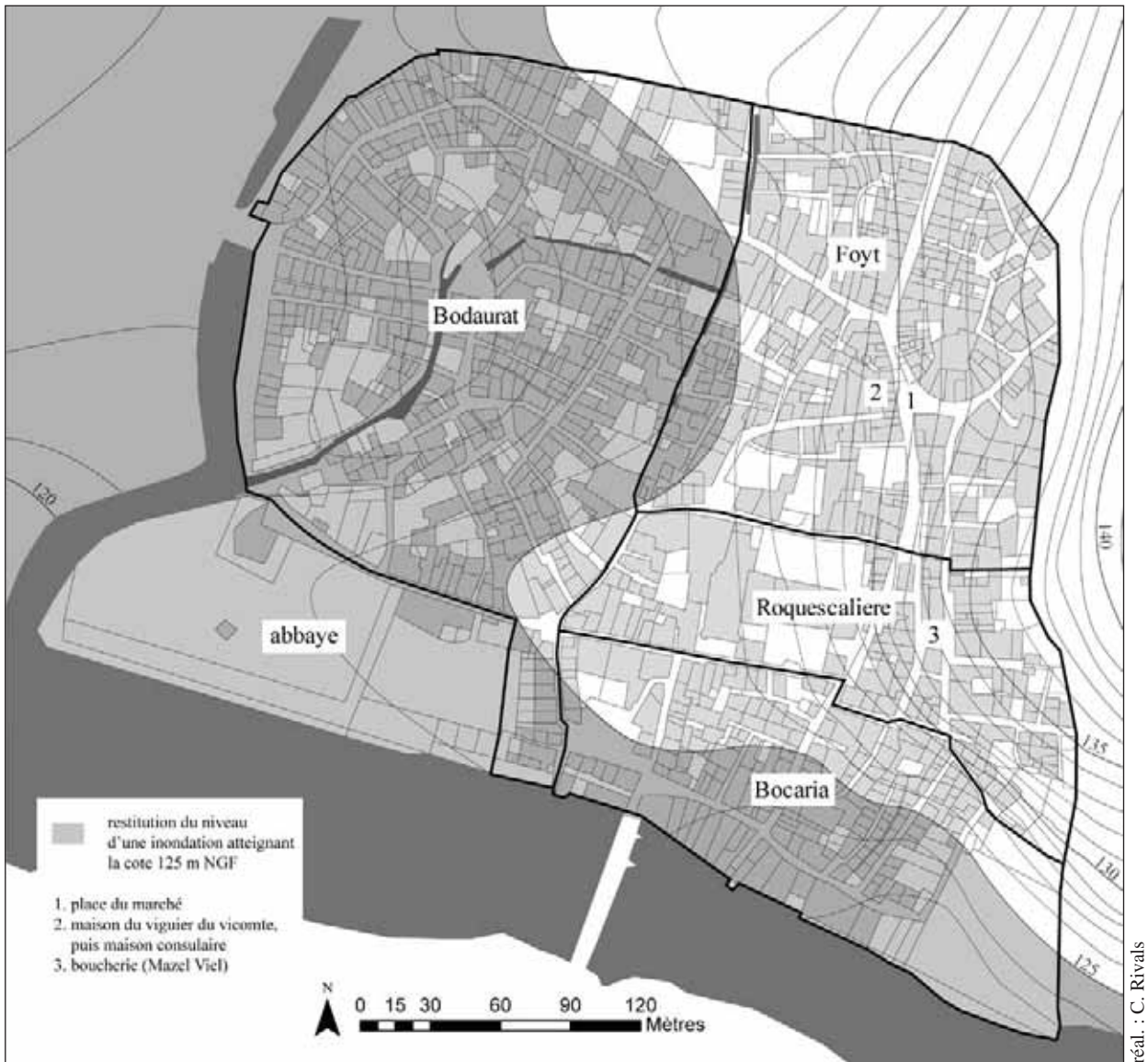


Fig. 378 : secteurs touchés par une inondation atteignant la cote 125 m NGF



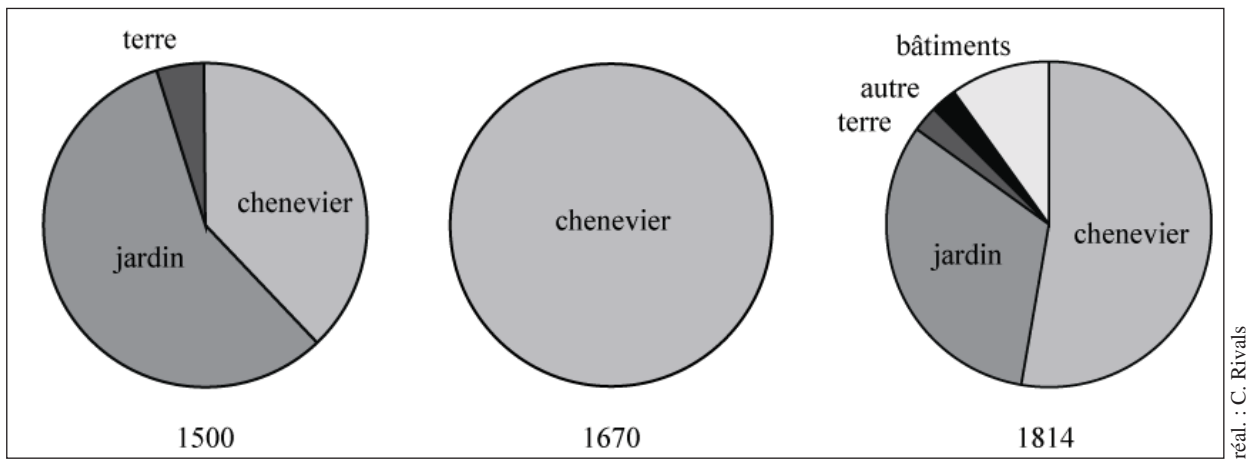


Fig. 379 : nature des parcelles situées au lieu-dit Entre Deux Eaux, au nord de la ville, d'après le registre des *Maniffests* de 1500, le compoix de 1670 et le cadastre napoléonien de 1814

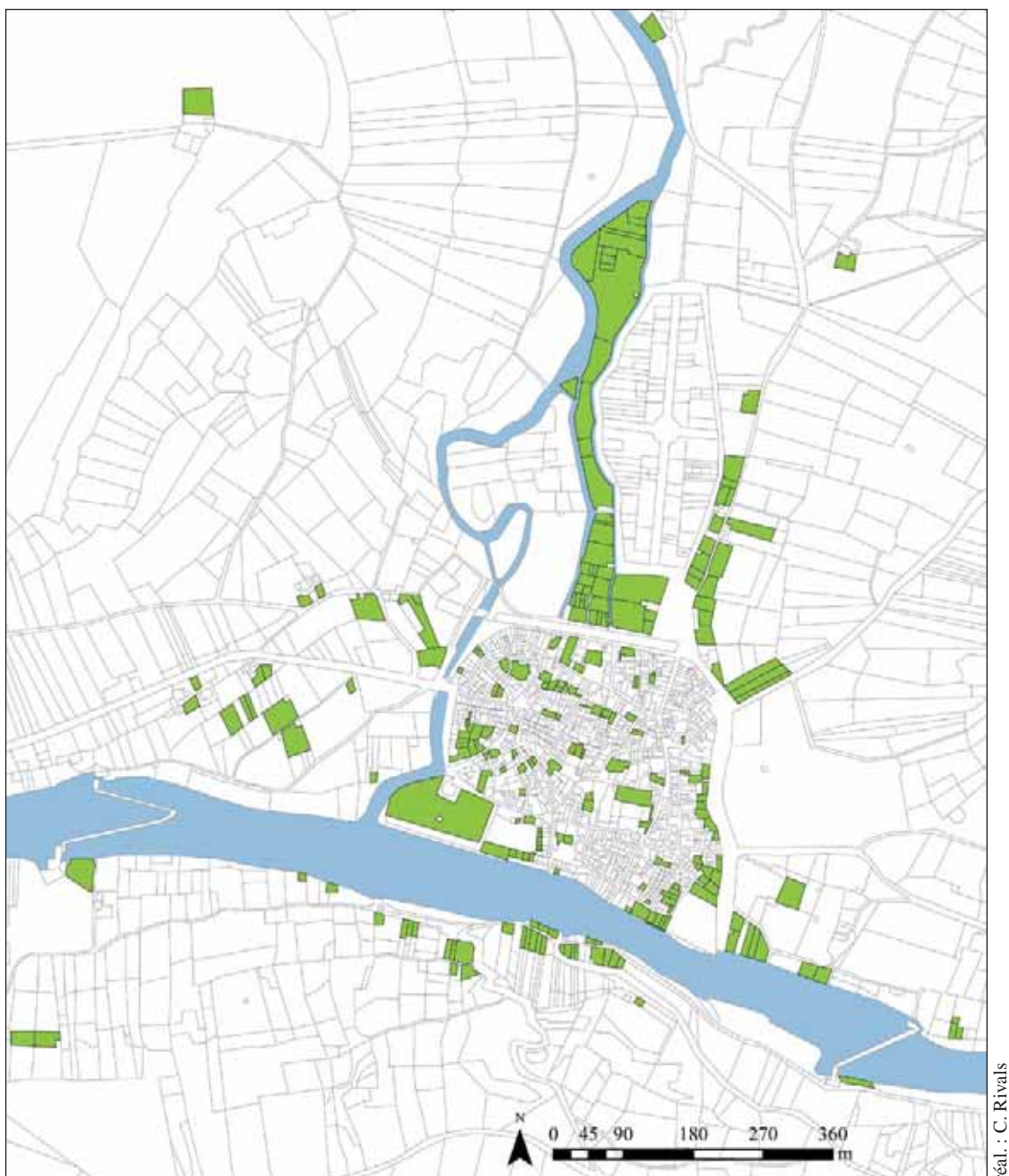


Fig. 380 : parcelles de jardin sur le cadastre napoléonien de 1814



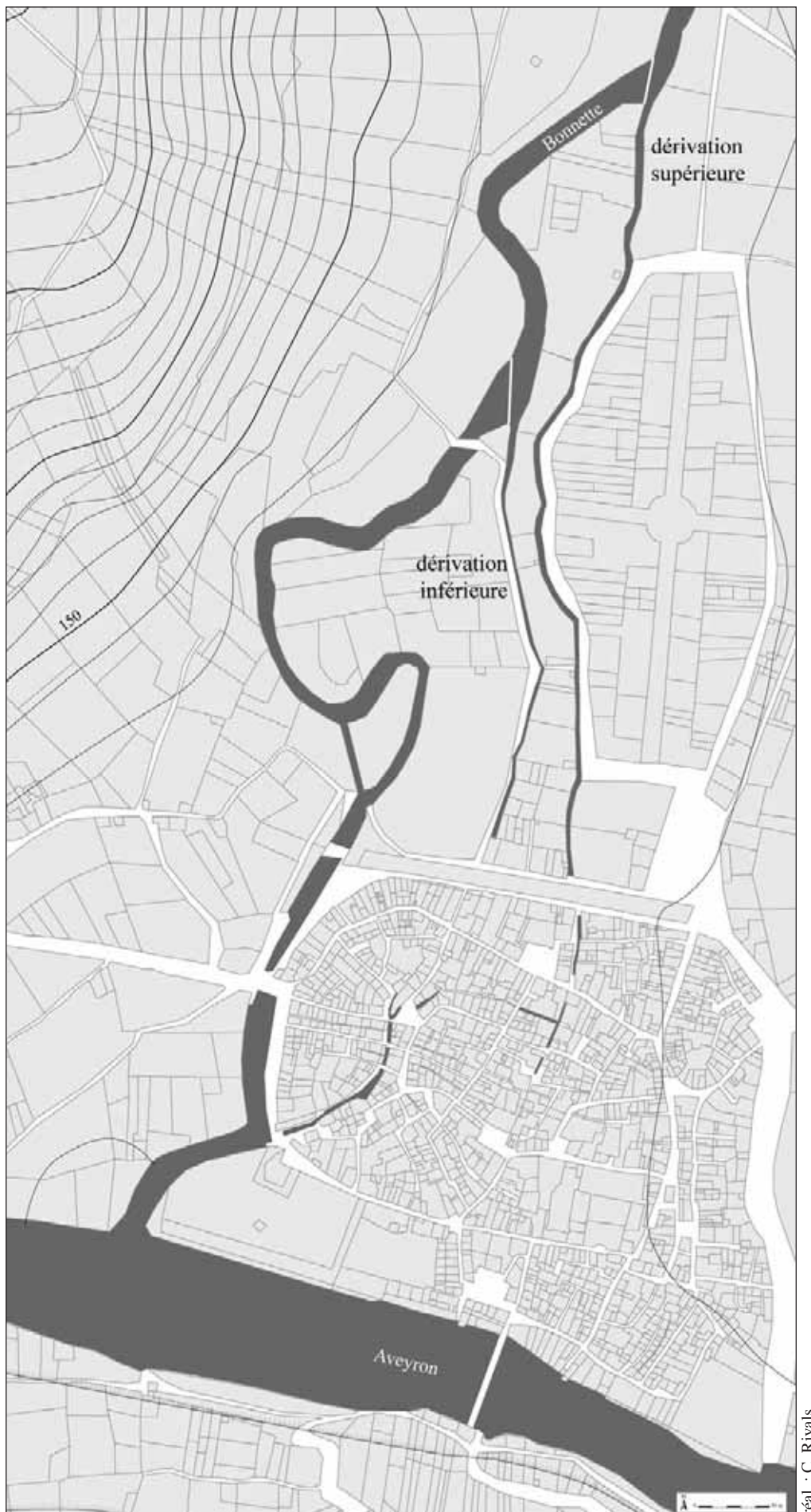


Fig. 381 : dérivations hors les murs sur fond de cadastre napoléonien



Géoportail

Fig. 382 : vue aérienne de Saint-Antonin et des dérivations hors les murs  
Les flèches rouges indiquent les prises d'eau des dérivations





cliché : C. Rivals

Fig. 383 : digue de la dérivation supérieure, vue depuis le nord-ouest  
La flèche rouge indique le départ du canal de dérivation.



clichés : C. Rivals

Fig. 384 : canal de la dérivation supérieure en dehors de la ville, vu depuis le nord





cliché : C. Rivals

Fig. 385 : dige de la dérivation inférieure, vu depuis le sud-est



Fig. 386 : canaux de dérivation *extra-muros* sur le cadastre napoléonien (ADTG, 3P2457, feuille 79).

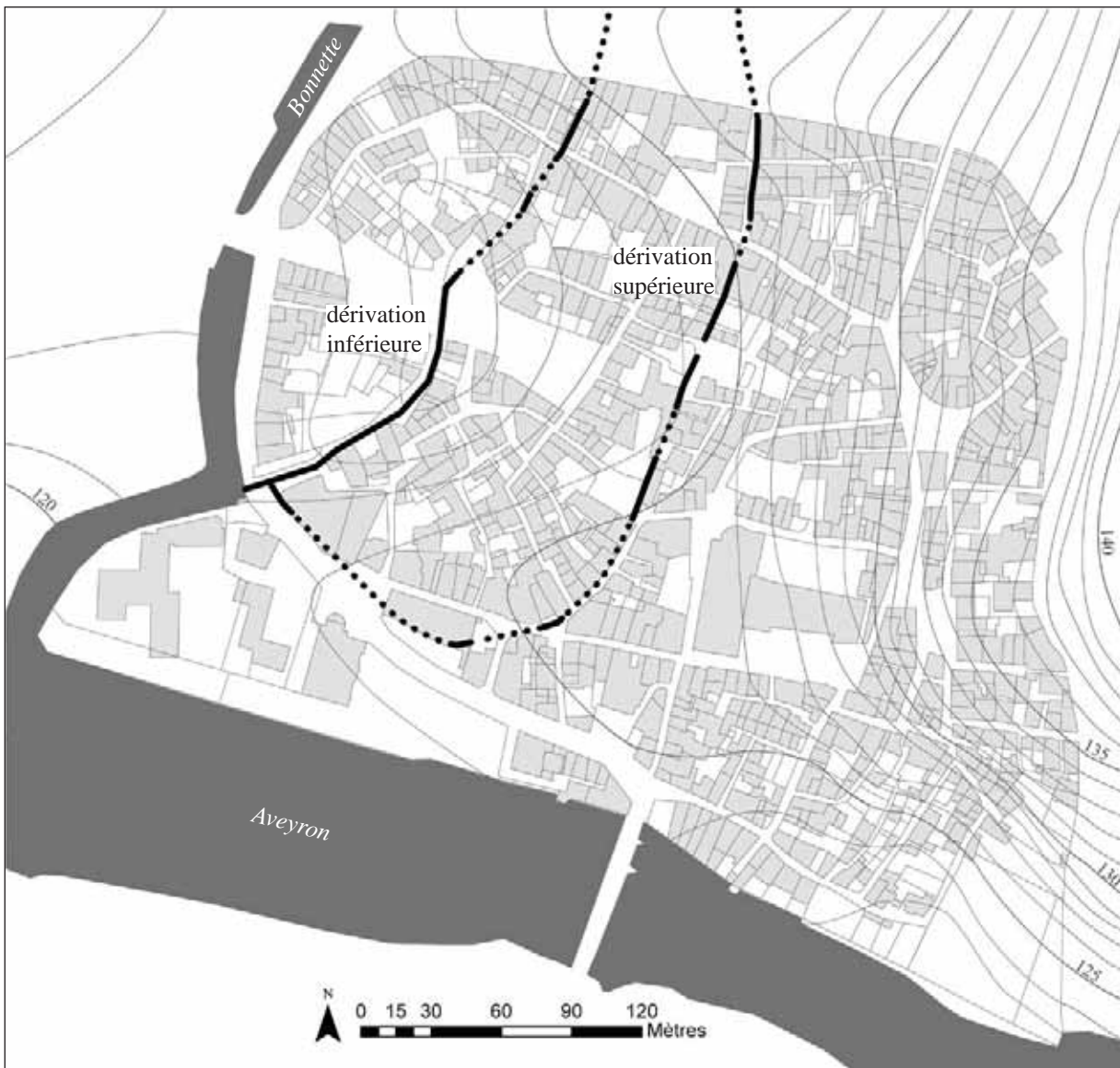


Fig. 387 : dérivations de la Bonnette en ville sur fond de cadastre actuel





Fig. 388 : canal de la dérivation supérieure avant son entrée en ville, au niveau du boulevard



cliché : C. Rivals



cliché : C. Rivals

Fig. 389 : canal de la dérivation supérieure sous le boulevard





cliché : C. Rivals

Fig. 390 : partie sud du canal de la dérivation supérieure sous le boulevard, vue depuis le sud



cliché : C. Rivals



Fig. 391 : détail de la partie souterraine du canal de la dérivation supérieure sous le boulevard





cliché : C. Rivals

Fig. 392 : canal de la dérivation supérieure dans la rue Rive Valat, vu depuis le nord



cliché : C. Rivals

Fig. 393 : canal de la dérivation supérieure dans la rue Rive Valat, vu depuis le sud





cliché : C. Rivals

Fig. 394 : pont au-dessus du canal de la dérivation supérieure, reliant la rue du Four Neuf à la rue Rive Valat, vu depuis le nord



cliché : C. Rivals

Fig. 395 : départ de la partie souterraine du canal de la dérivation supérieure dans la rue Rive Valat, vu depuis le nord





clichés : C. Rivals

Fig. 396 : canal de la dérivation supérieure, place Mazerac, vu depuis le sud

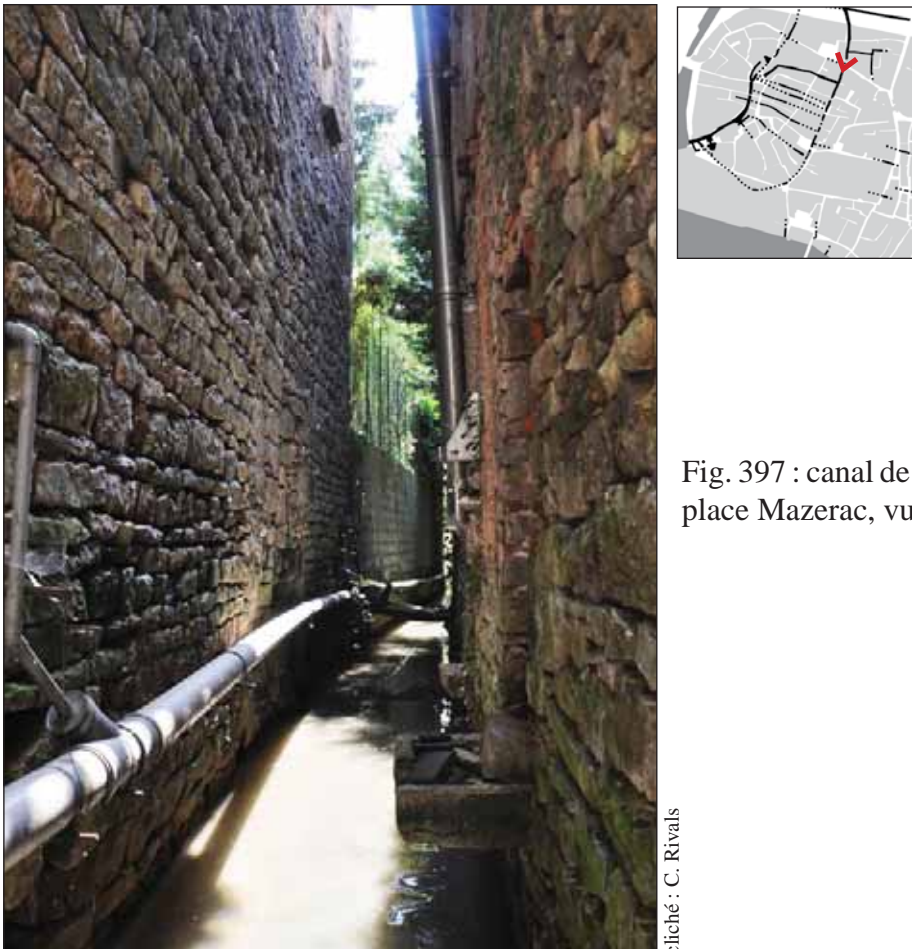


Fig. 397 : canal de la dérivation supérieure, place Mazerac, vu depuis le nord

cliché : C. Rivals



cliché : C. Rivals

Fig. 398 : canal de la dérivation supérieure, vu depuis le sud dans la maison ID228



cliché : C. Rivals

Fig. 399 : canal de la dérivation supérieure, vu depuis le nord dans la maison ID228





cliché : C. Rivals

Fig. 400 : couverture du canal de la dérivation supérieure dans la maison ID228



cliché : C. Rivals

Fig. 401 : bloc servant de couverture au canal de la dérivation supérieure dans la maison ID228





cliché : C. Rivals



cliché : F. Boyer

Fig. 402 : regard place du Timplé

Fig. 403 : canal de la dérivation supérieure, observé dans le regard place du Timplé



cliché : F. Boyer

Fig. 404 : canal de la dérivation supérieure, observé dans le regard place du Timplé



Fig. 405 : regard situé place de la Jogaria



Fig. 406 : canal de la dérivation supérieure, observé dans le regard situé place de la Jogaria, vers l'amont

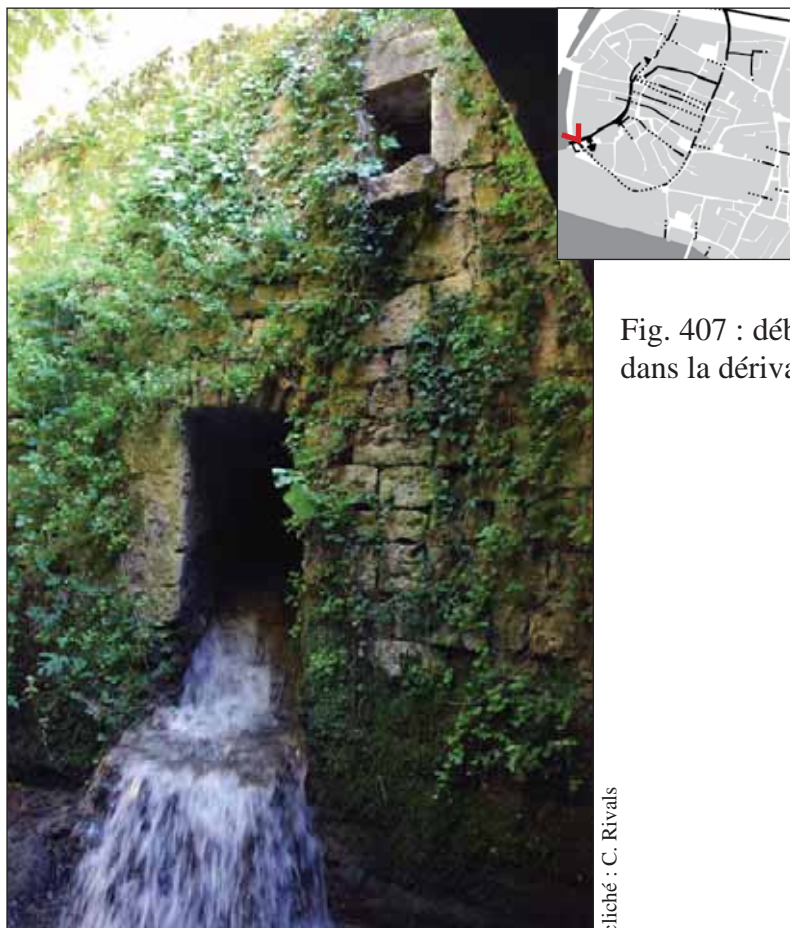


Fig. 407 : débouché de la dérivation supérieure dans la dérivation inférieure





Canal de la dérivation inférieure vu depuis le nord

Canal de la dérivation inférieure vu depuis le sud



Accès au canal depuis le rez-de-chaussée



clichés : C. Rivals

Fig. 408 : accès au canal de la dérivation inférieure depuis le rez-de-chaussée de la maison ID133, rue du Moulin du Bessarel



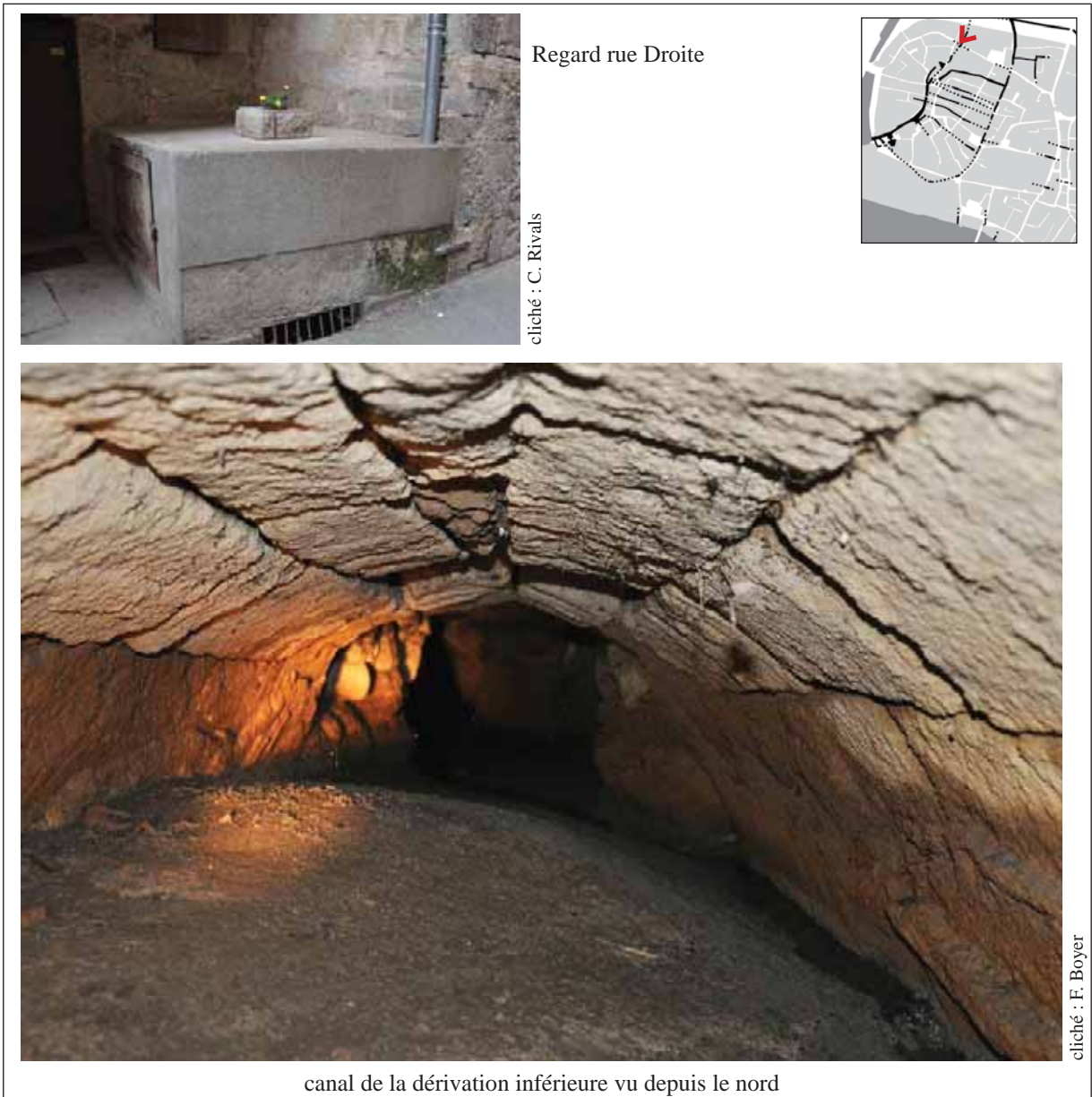


Fig. 409 : canal de la dérivation inférieure, observé au niveau du regard rue Droite

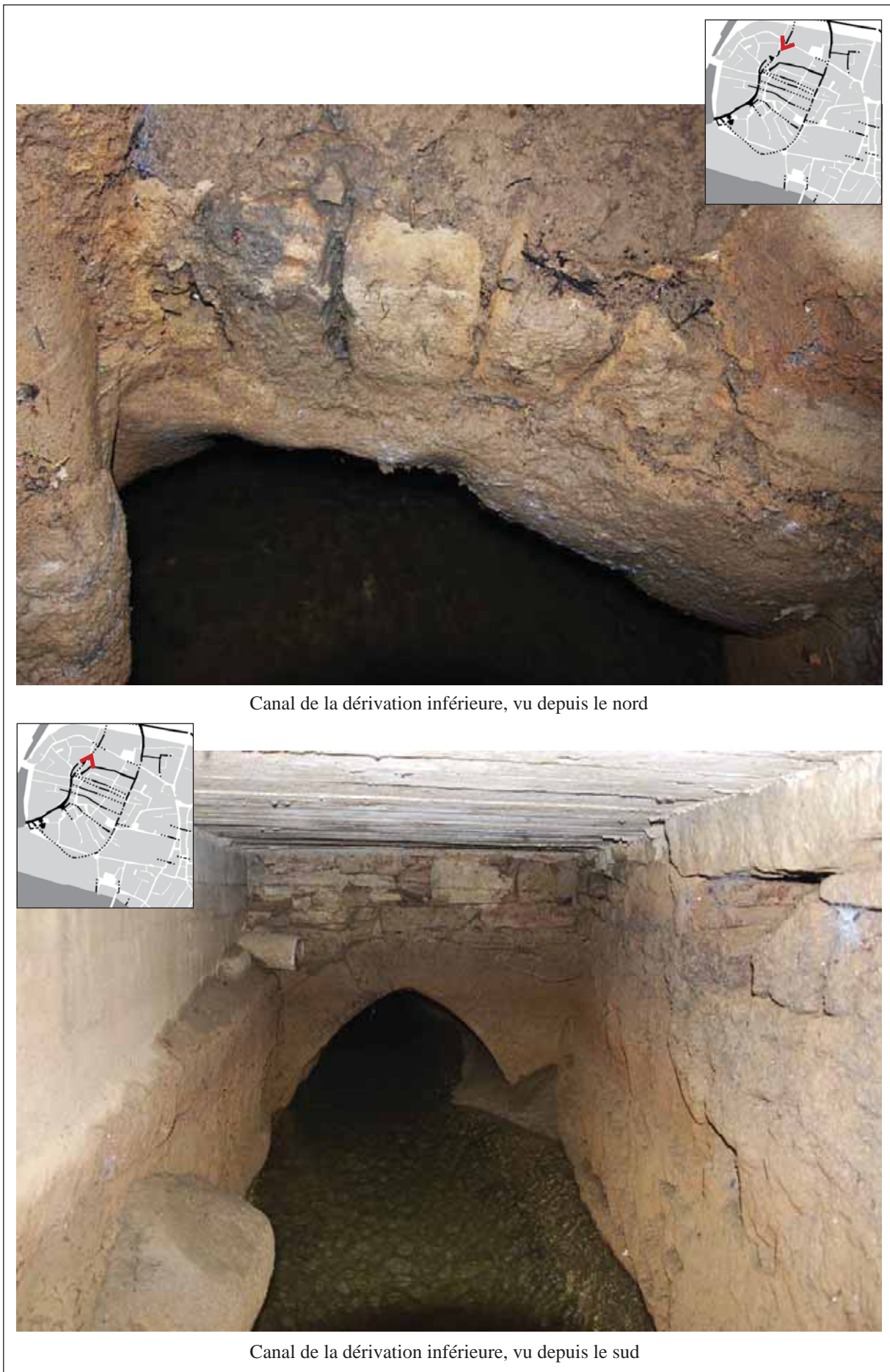


Fig. 410 : canal de la dérivation inférieure, observé au niveau du regard rue du Moulin du Bessarel





Fig. 411 : réunion de plusieurs canaux secondaires dans le canal de la dérivation inférieure





Fig. 412 : canal de la dérivation inférieure dans le quartier du Bessarel, vu depuis le sud

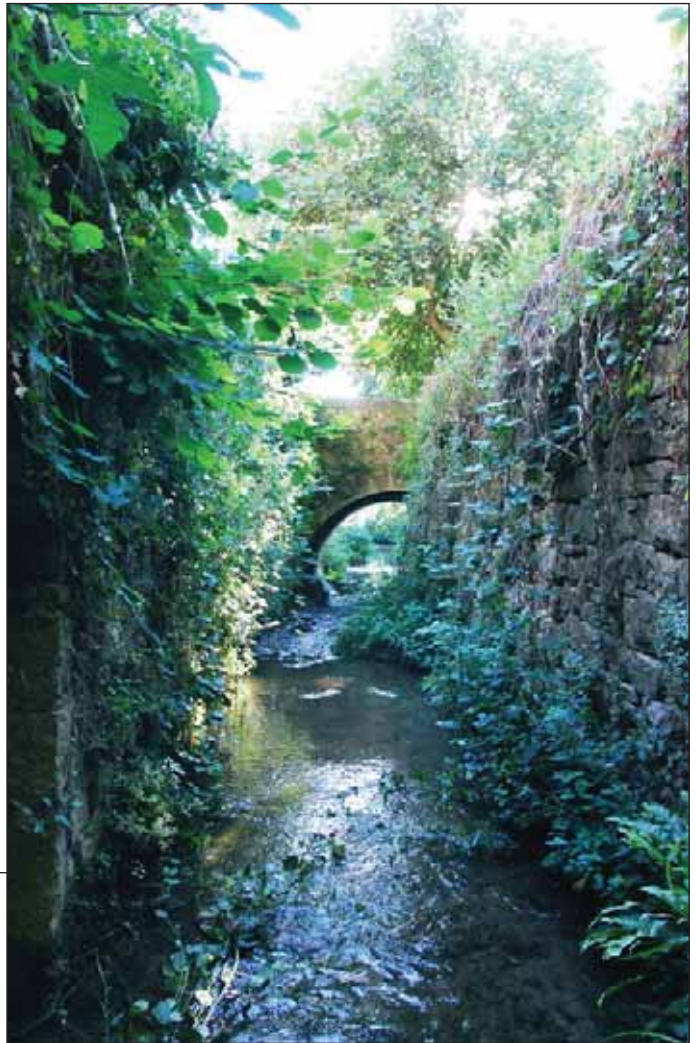


Fig. 413 : canal de la dérivation inférieure dans le quartier du Bessarel, vu depuis le nord





Fig. 414 : canal de la dérivation inférieure, vu depuis le Nord



cliché : C. Rivals

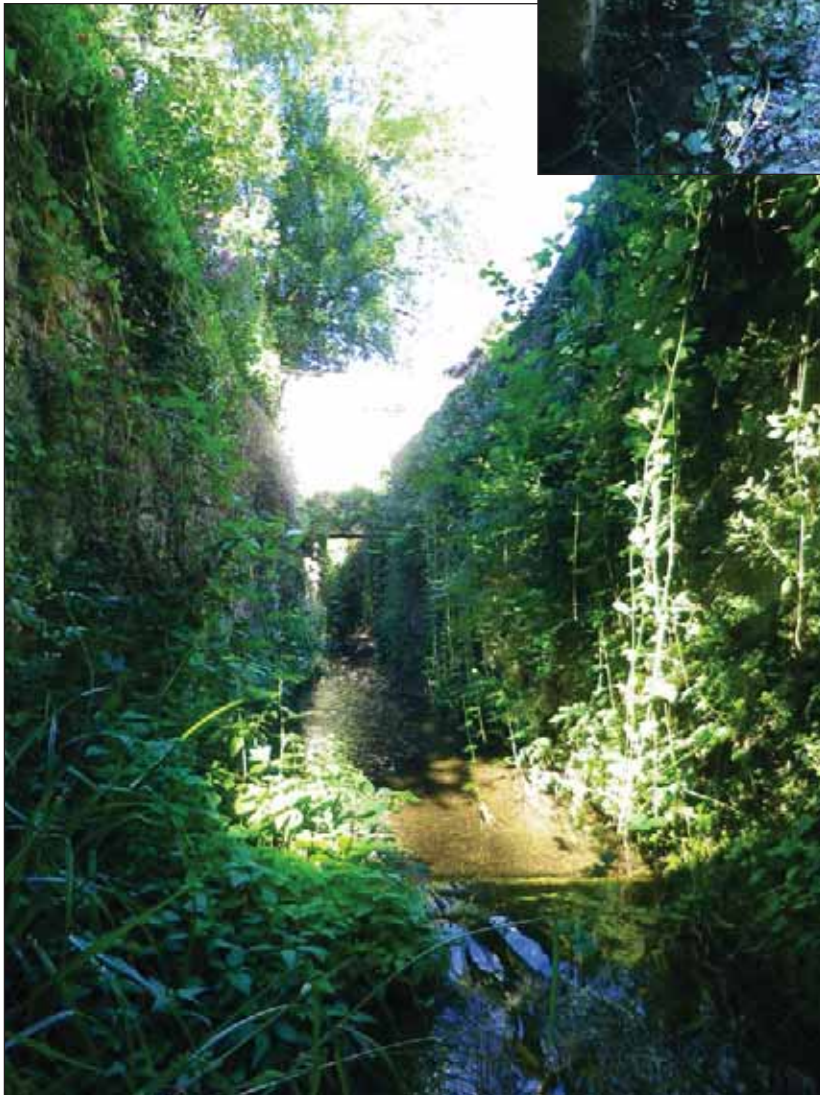


Fig. 415 : canal de la dérivation inférieure, vu depuis le Sud

cliché : C. Rivals



cliché : C. Rivals

Fig. 416 : confluence de la Bonnette et de la dérivation inférieure (signalée par la flèche rouge)



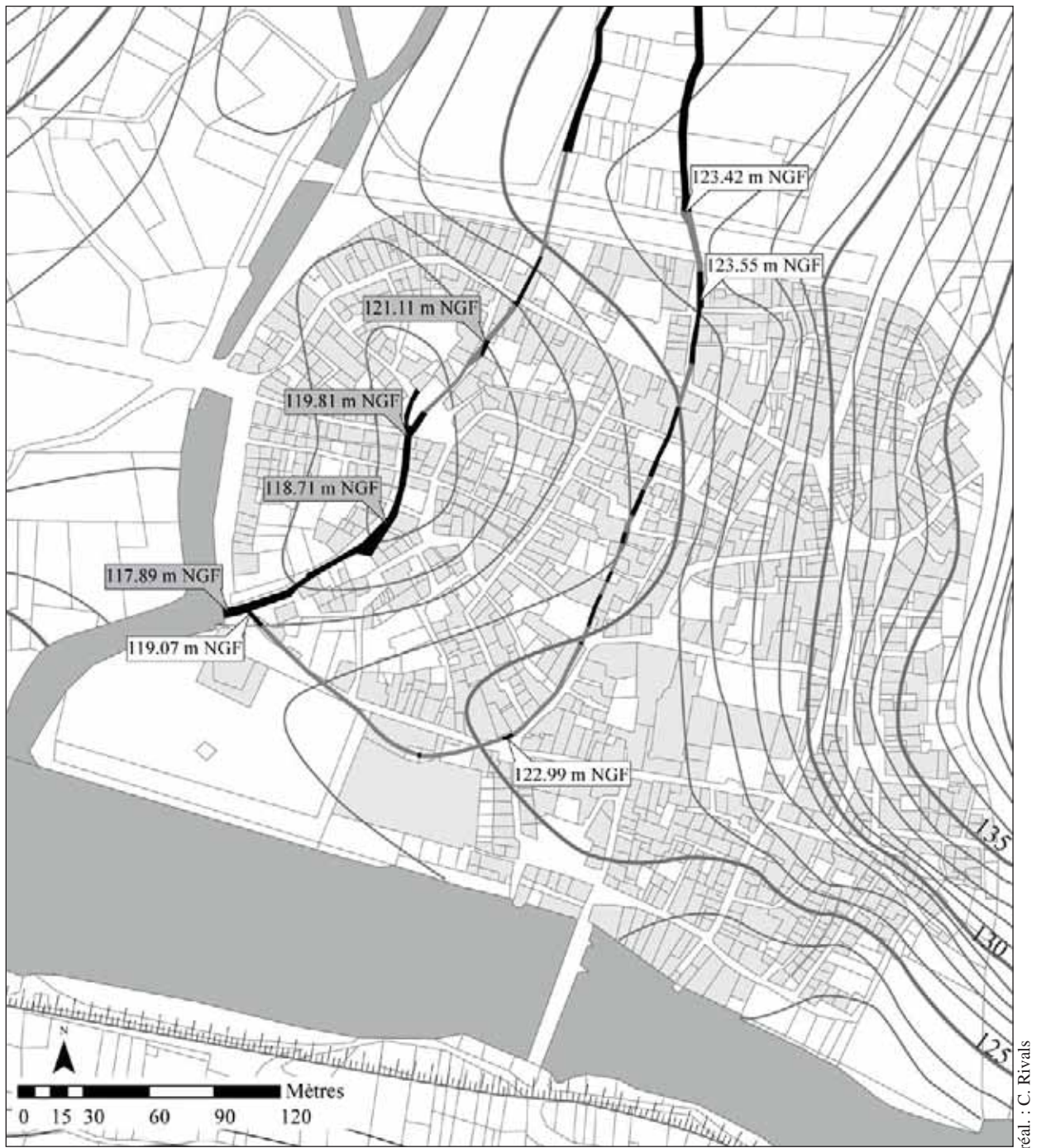


Fig. 417 : altitude du fond des canaux de dérivation de la Bonnette en ville, sur fond de cadastre napoléonien





cliché : C. Rivals

Fig. 418 : accès au canal de la dérivation inférieure depuis la rue Orbe



cliché : C. Rivals

Fig. 419 : ancien accès au canal de la dérivation inférieure



cliché : C. Rivals

Fig. 420 : accès au canal de la dérivation inférieure et débouchés de canaux secondaires, vus depuis l'ouest



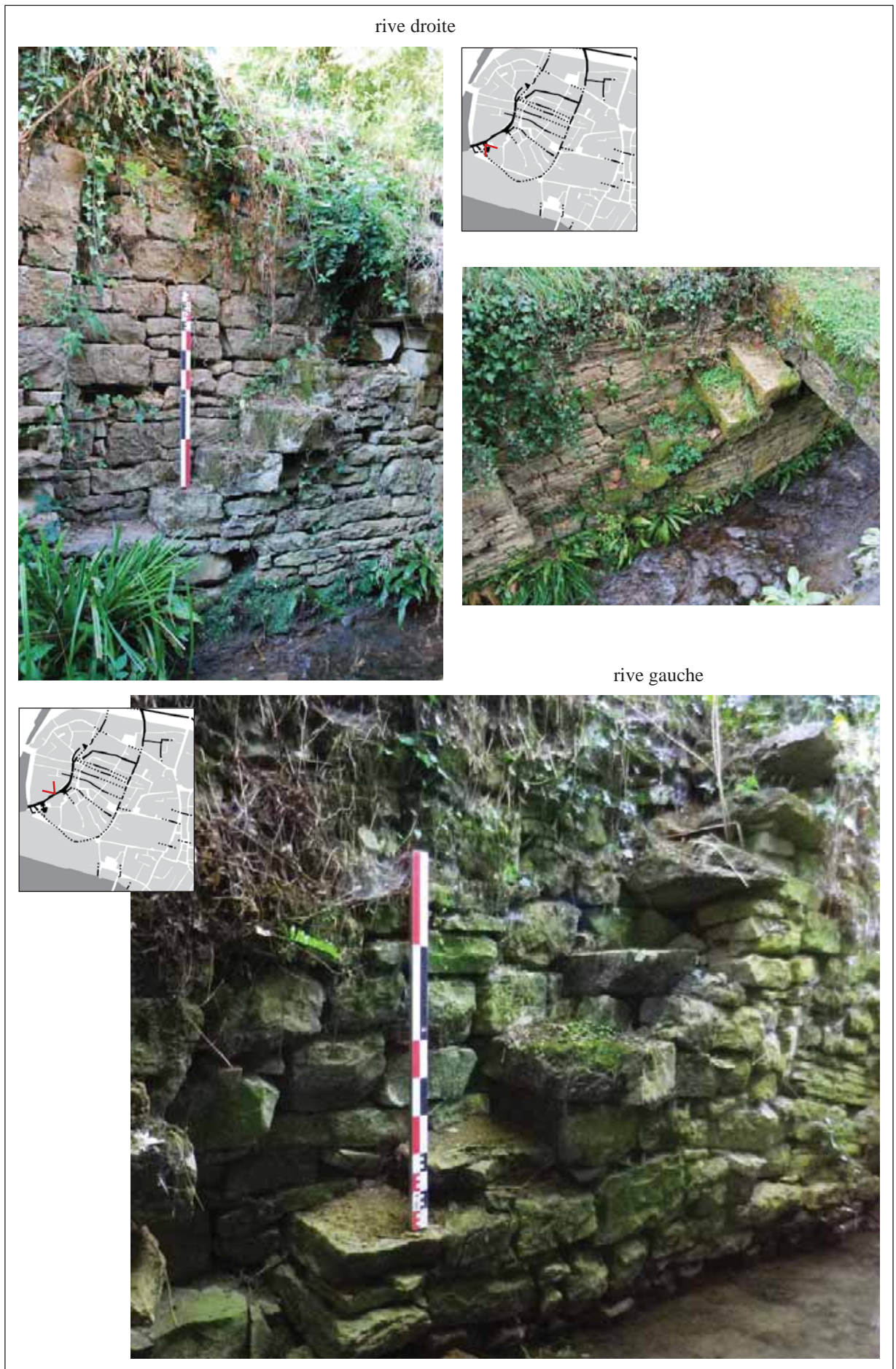


Fig. 421 : escaliers d'accès au canal de la dérivation inférieure



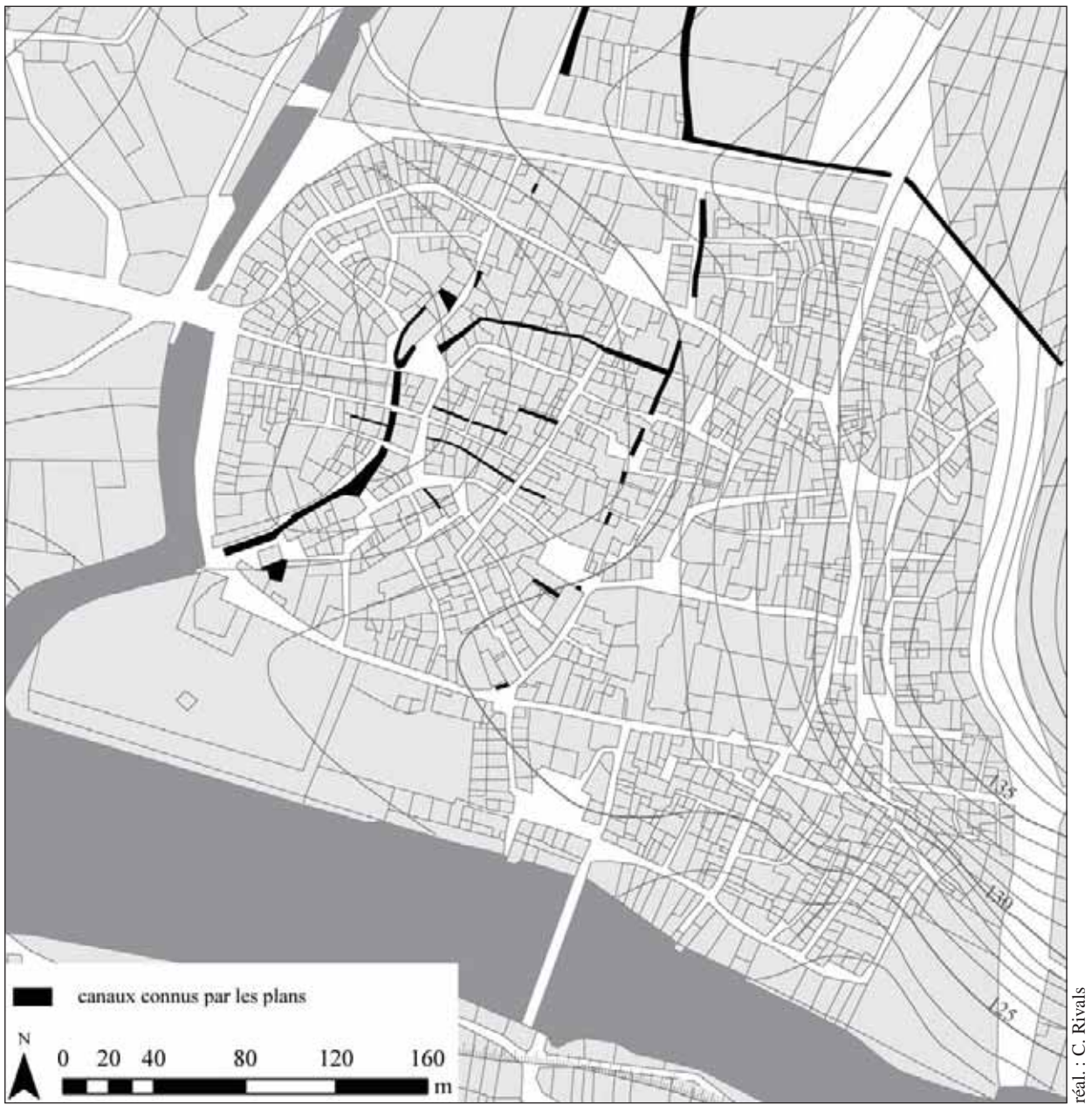


Fig. 422 : canaux connus par les plans cadastraux, sur fond de cadastre napoléonien

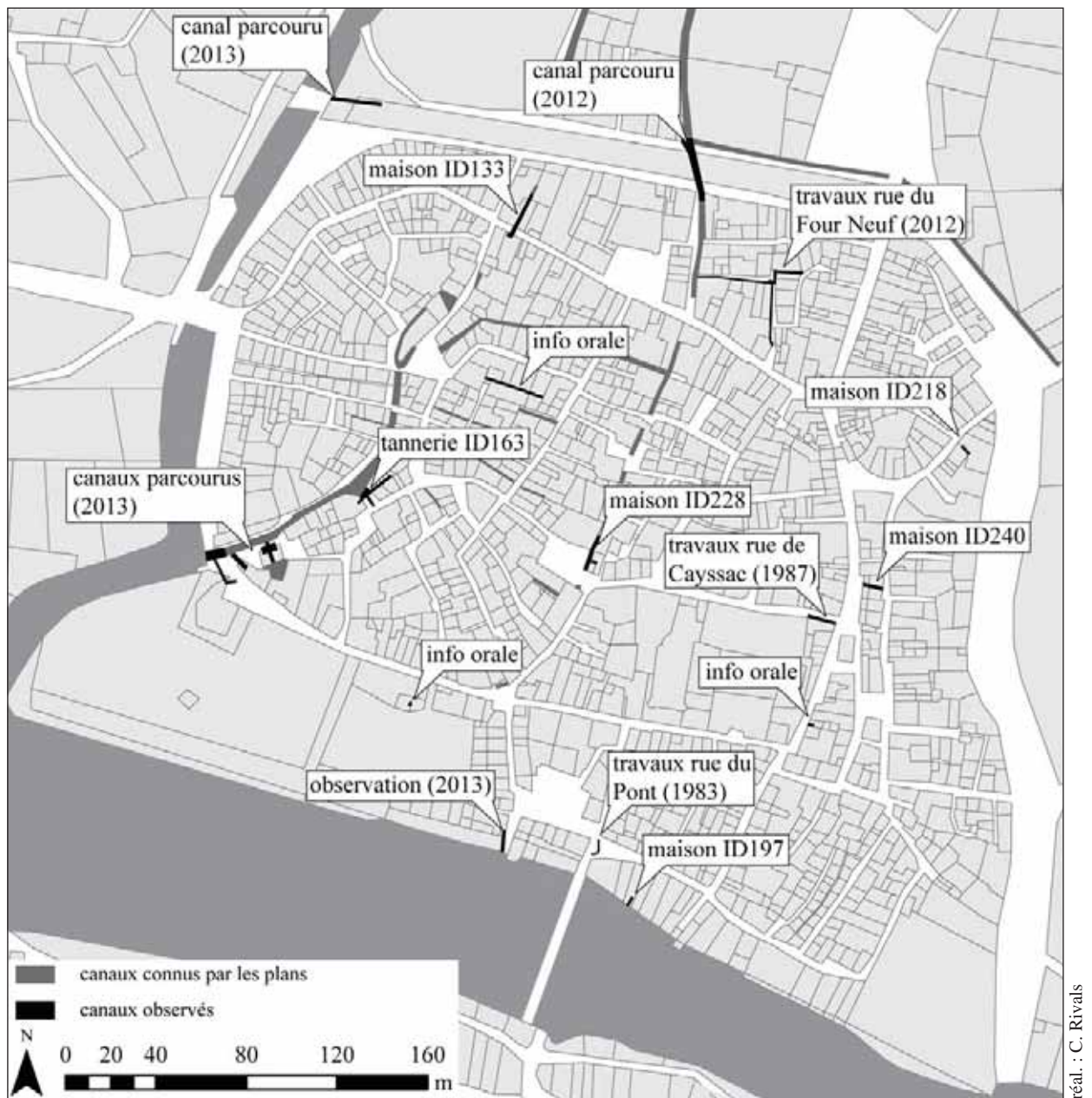


Fig. 423 : canaux connus par les observations faites sur le terrain, sur fond de cadastre napoléonien



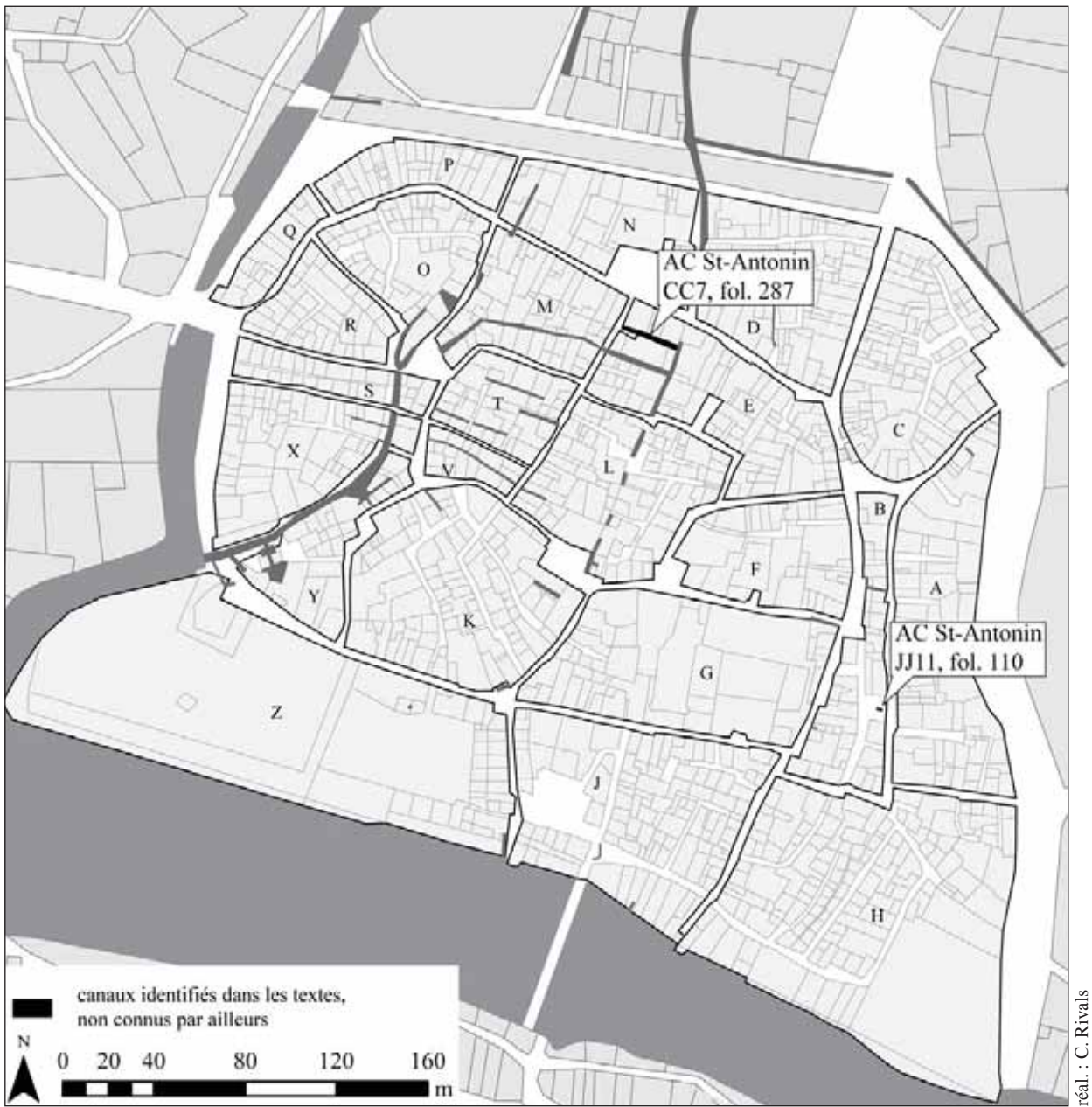


Fig. 424 : canaux mentionnés dans les textes et non identifiés sur les plans et le terrain

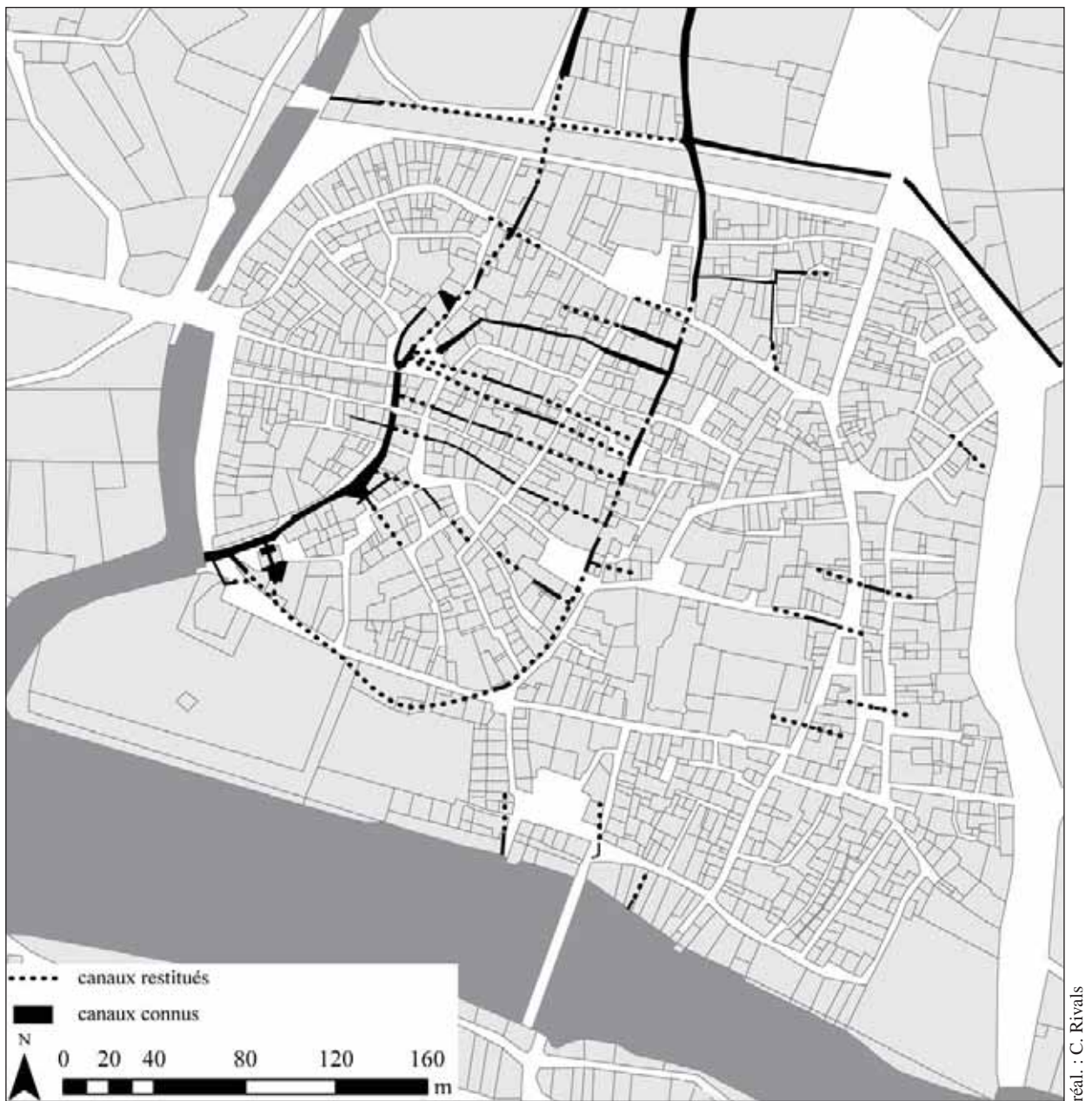
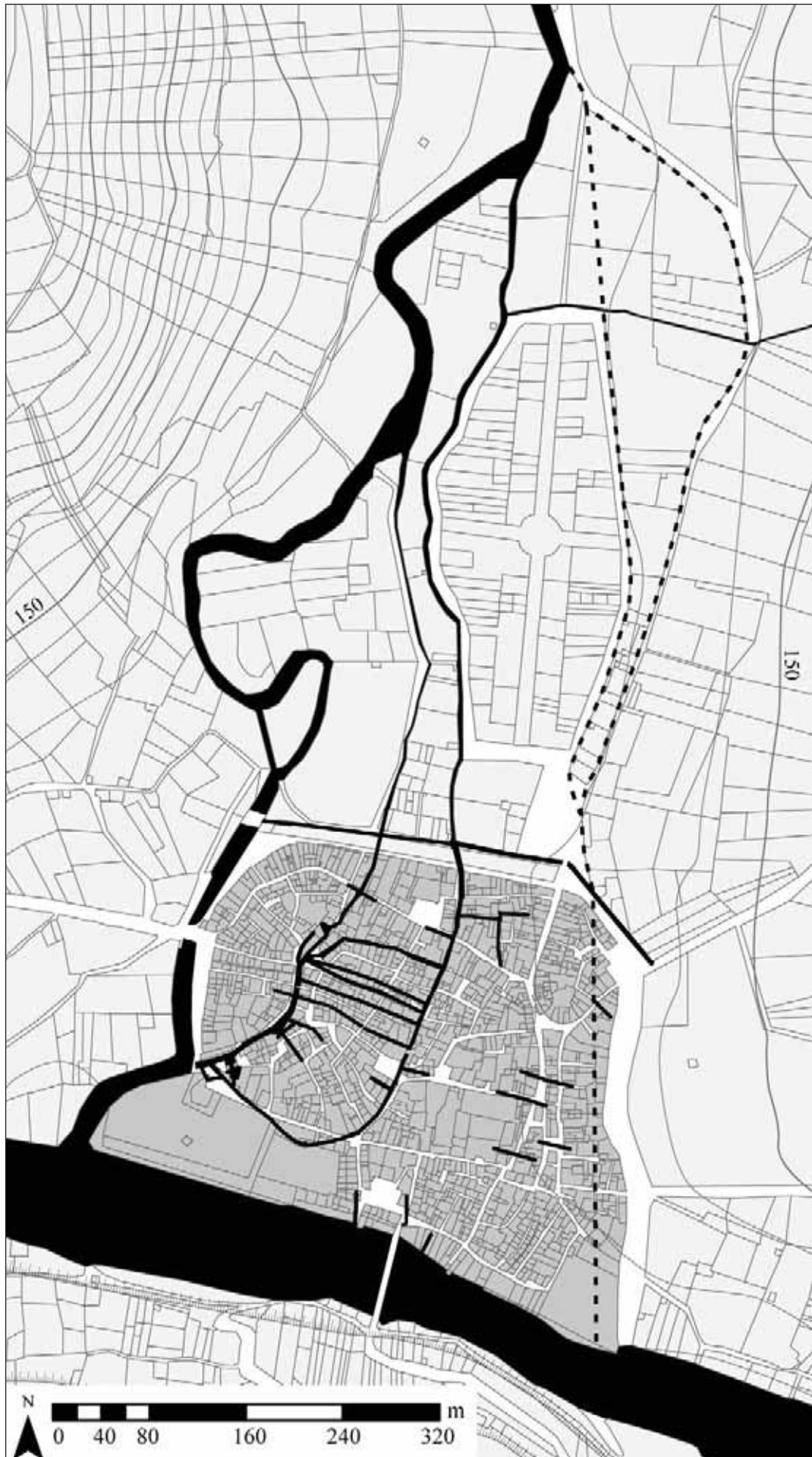


Fig. 425 : proposition de restitution du réseau de canaux à partir des tracés connus par les plans cadastraux et les observations faites sur le terrain, sur fond de cadastre napoléonien





réal. : C. Rivals

Fig. 426 : hypothèses de l'emplacement d'une troisième dérivation

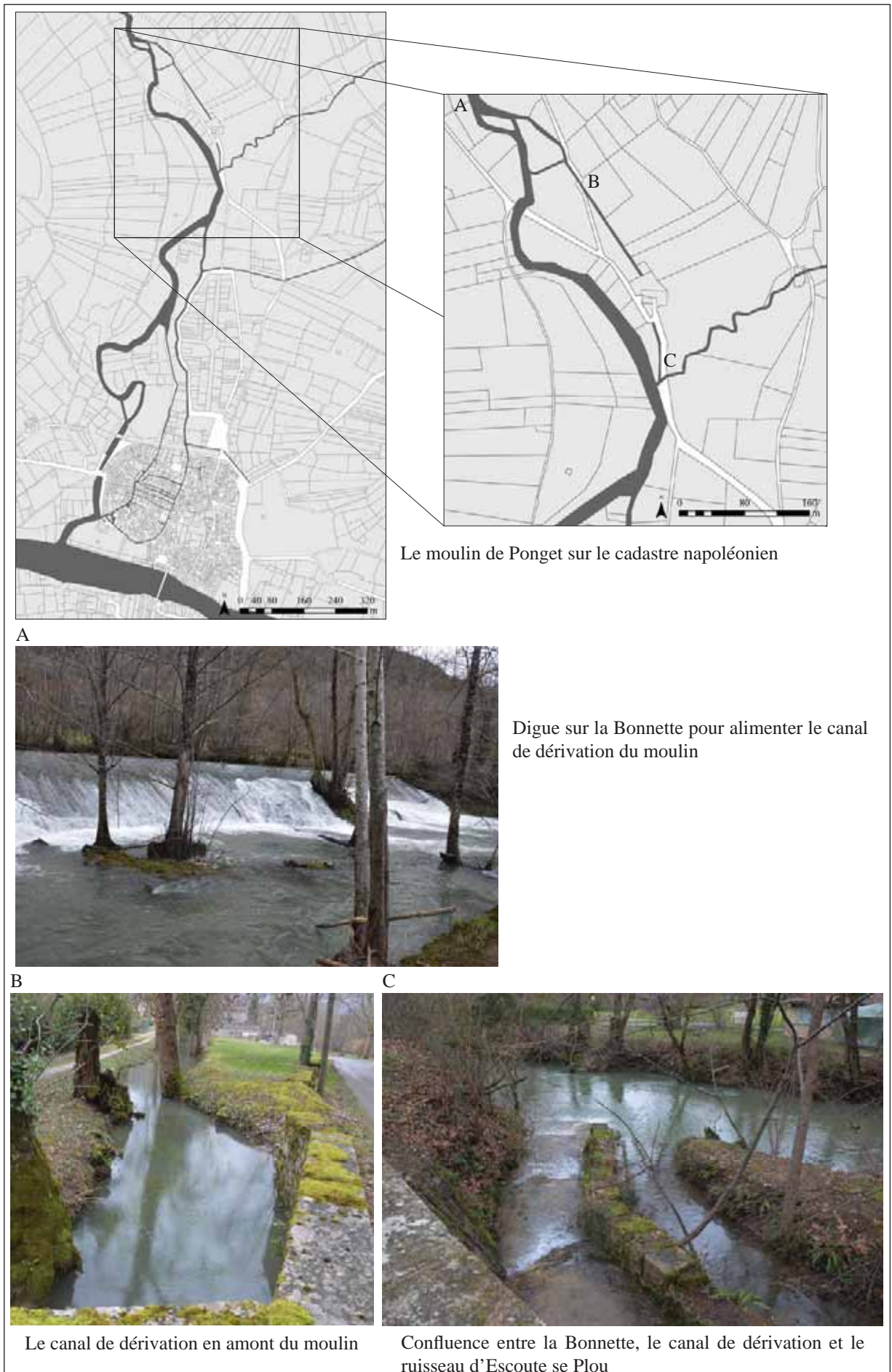
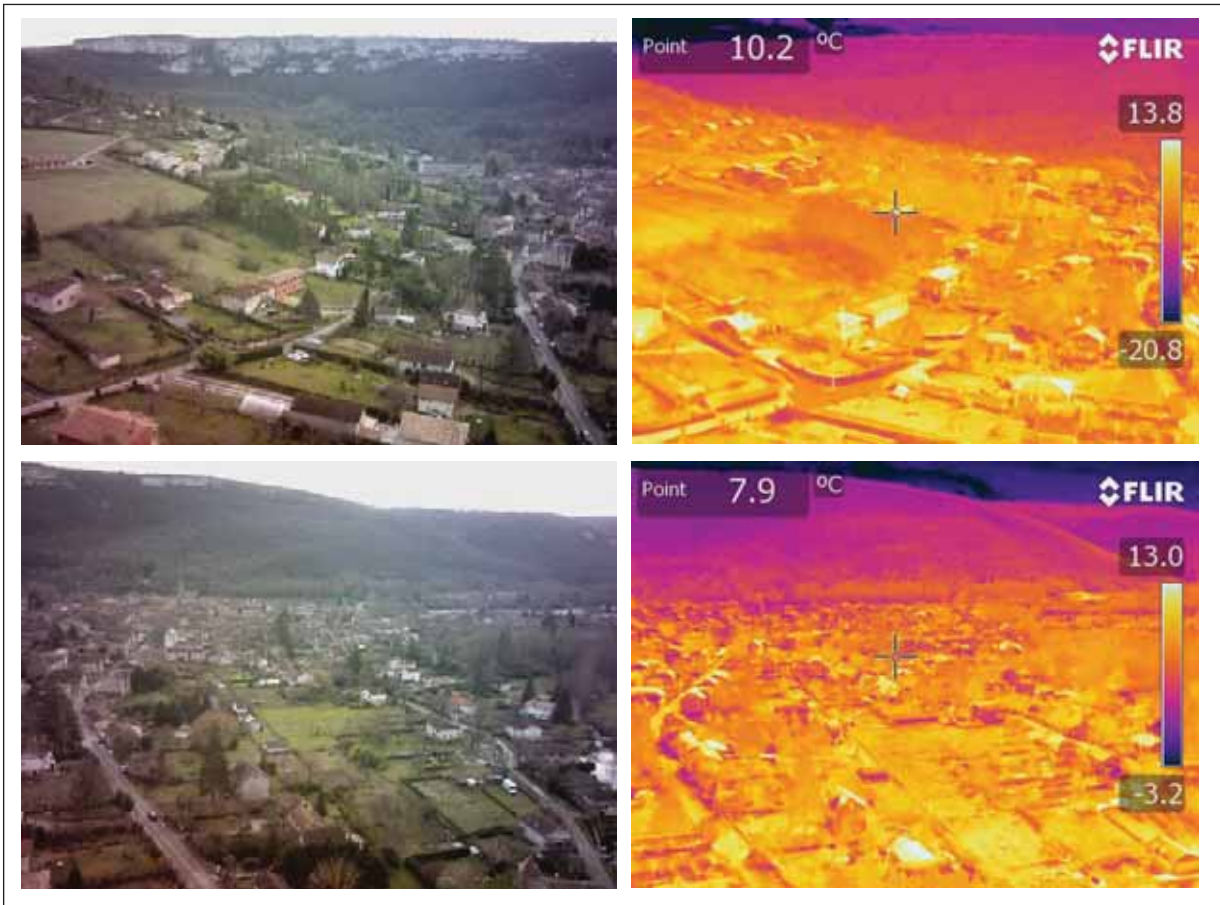


Fig. 427 : dérivation de la Bonnette pour le moulin de Ponget au nord de la ville





clichés : N. Poirier, C. Calastrenc

Fig. 428 : clichés classiques et thermiques du secteur au nord de la ville.  
Aucun indice révélant la présence d'une troisième dérivation n'a été décelé.



Fig. 429 : canal transversal à ciel ouvert dans le moulin M





clichés : C. Rivals

Fig. 430 : vestiges d'un système de vannes au niveau du canal transversal à ciel ouvert dans le moulon M





Fig. 431 : canal secondaire souterrain, orienté est-ouest débouchant dans le canal de dérivation inférieur, observé au niveau du regard rue Droite



Fig. 432 : collecteur de canaux secondaires débouchant dans la dérivation inférieure





sortie du canal transversal sur le canal de la dérivation inférieure



tronçon nord-sud



tronçon est-ouest

clichés : C. Rivals

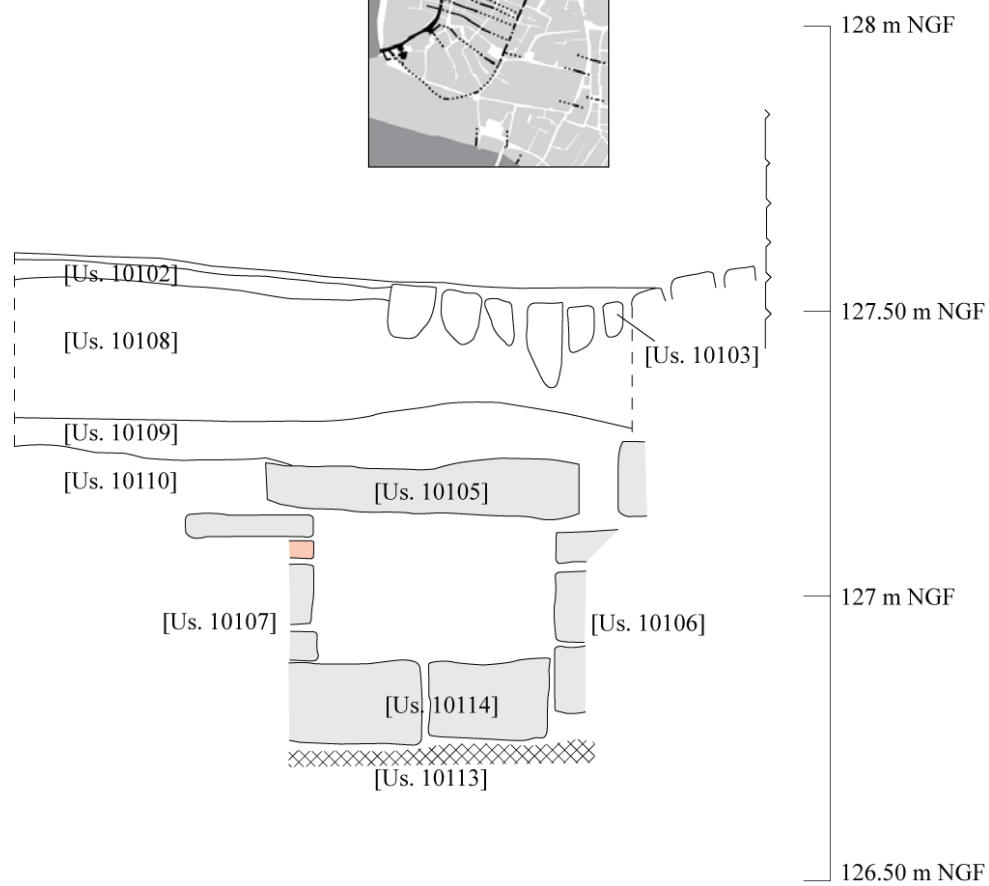
Fig. 433 : canal transversal débouchant dans la dérivation inférieure  
Il forme un angle droit vers le nord et était probablement relié à la dérivation supérieure.



clichés : C. Rivals

Fig. 434 : canal orienté est-ouest mis au jour dans la section septentrionale de la rue du Four Neuf en 2012





relevé : N. Clément, C. Rivals ; DAO, cliché : C. Rivals

Fig. 435 : canal orienté nord-sud mis au jour dans la section orientale de la rue du Four Neuf en 2012



Fig. 436 : canal transversal observé dans la cave de la maison ID240

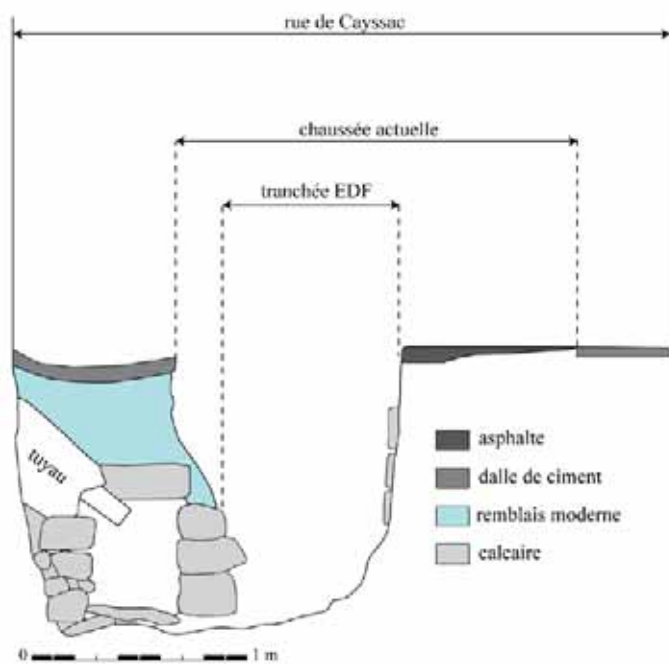


Fig. 437 : canal orienté est-ouest, vu vers l'est, se jettant dans le canal de la dérivation supérieure, observé dans la maison ID228

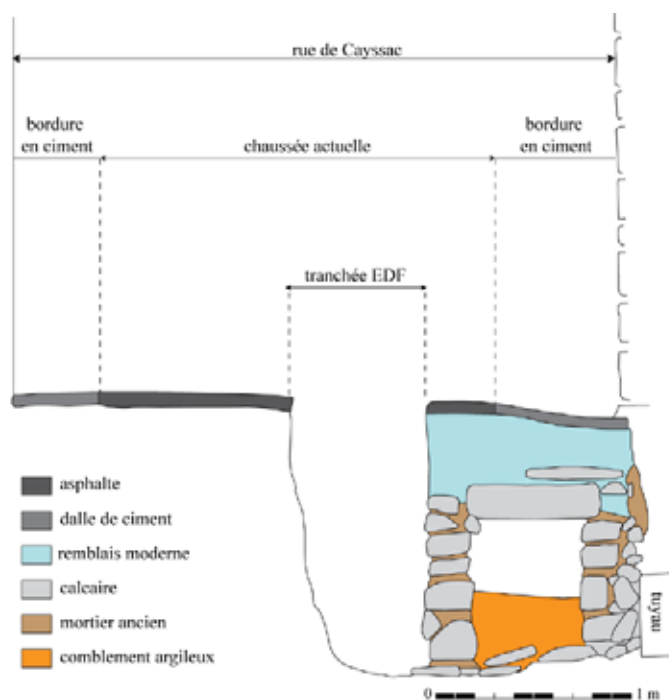




canal de la rue Cayssac vu de l'est



canal de la rue Cayssac vu de l'ouest



relevés et clichés : S. Robert, DAO : C. Rivals

Fig. 438 : canaux mis au jour lors de travaux rue Cayssac par Serge Robert



clichés : C. Rivals

Fig. 439 : canal transversal observé au niveau de la sixième arche du pont sur l'Aveyron



cliché : C. Rivals

Fig. 440 : sortie d'un canal dans l'Aveyron



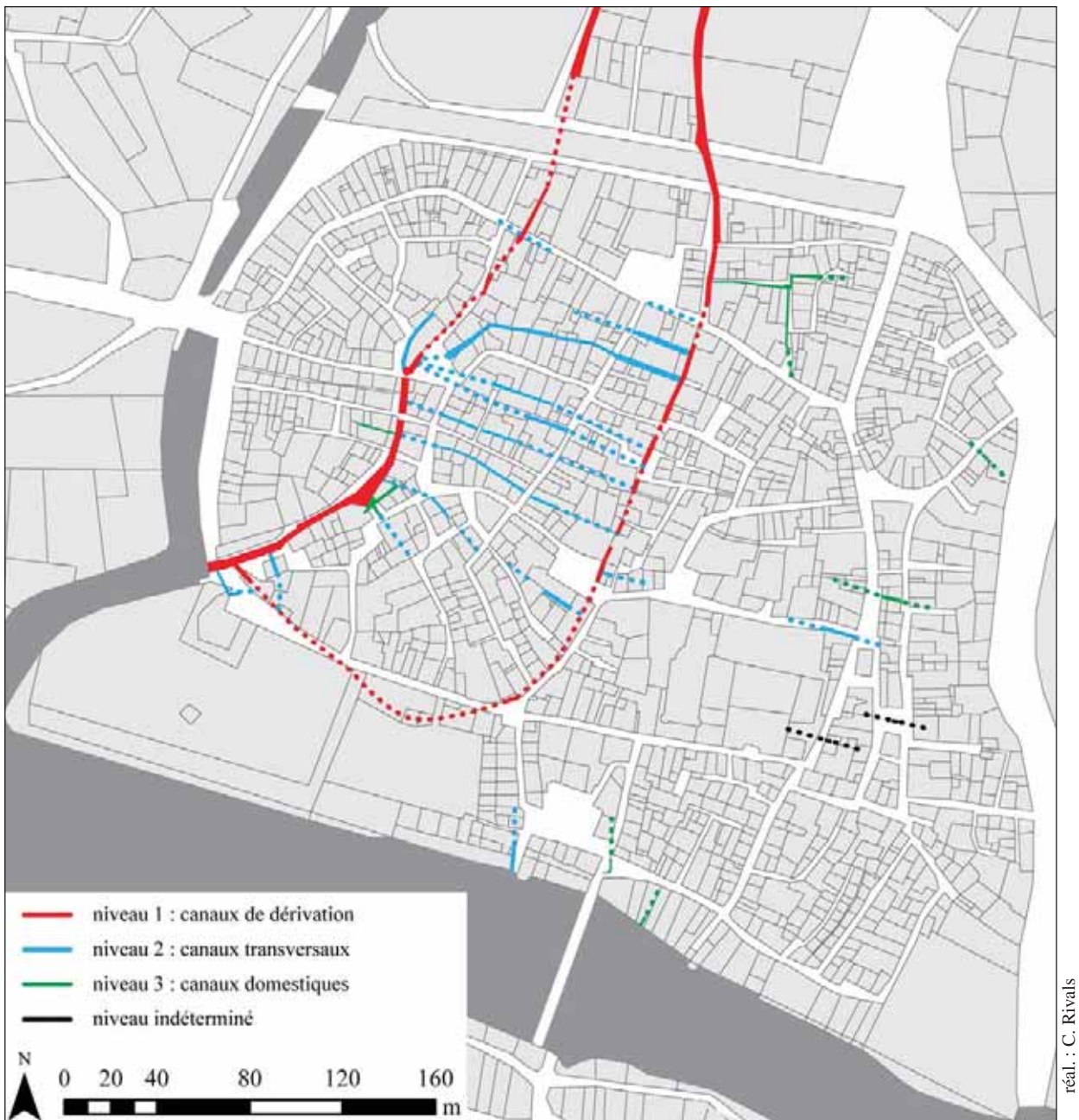
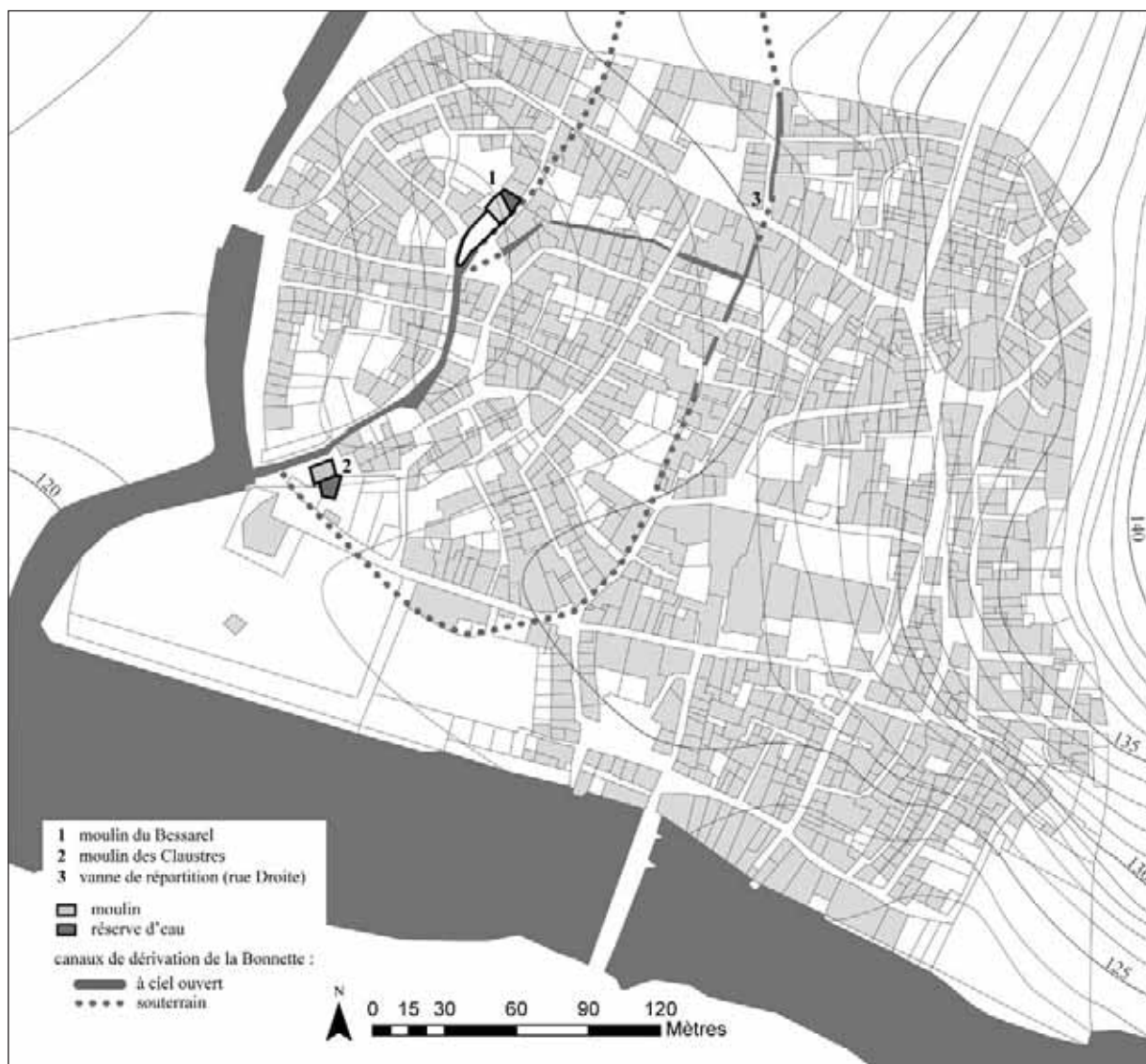


Fig. 441 : hiérarchie des canaux *intra-muros*



réal. : C. Rivals

Fig. 442 : localisation des moulins *intra-muros*

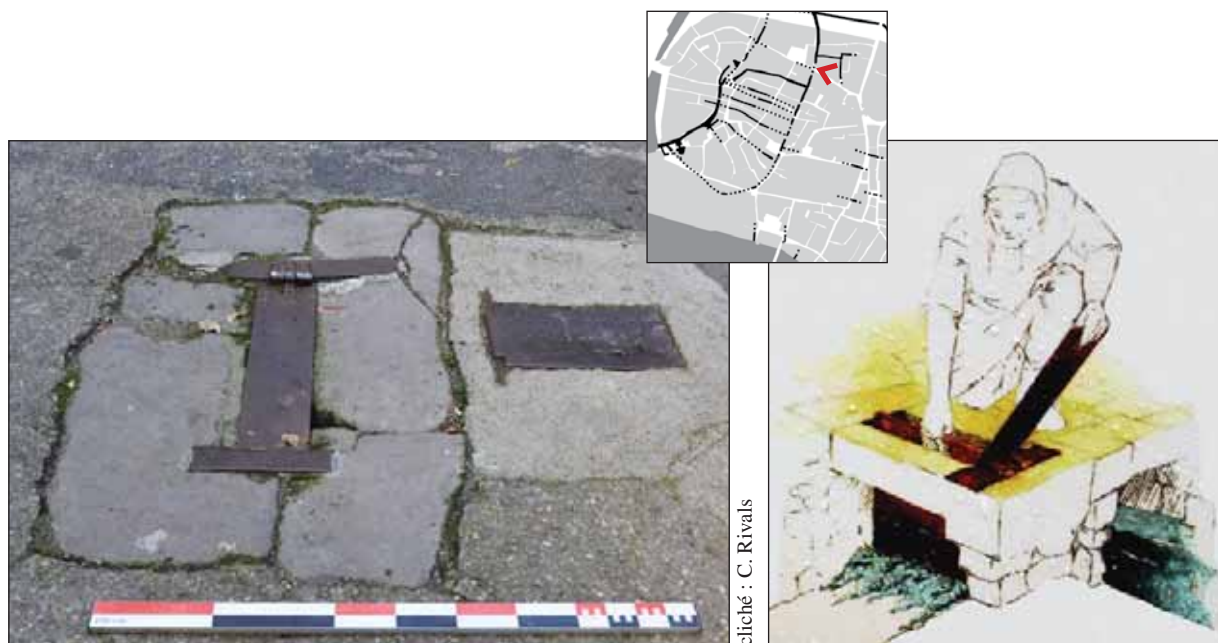
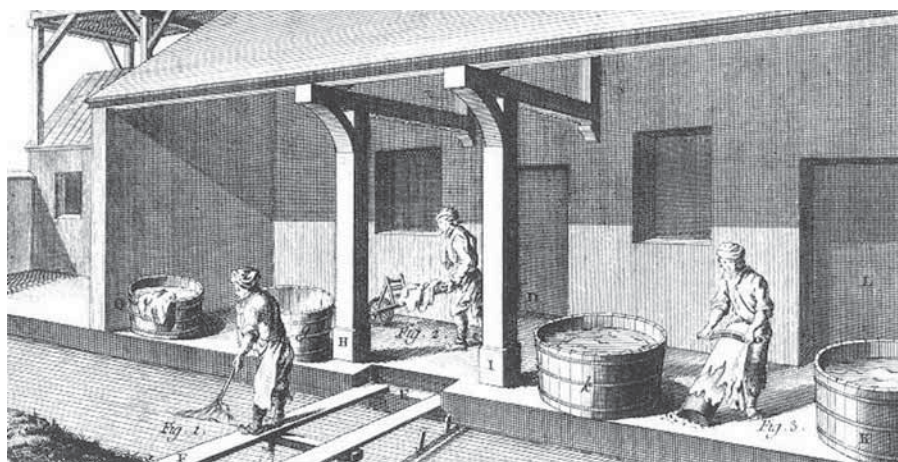


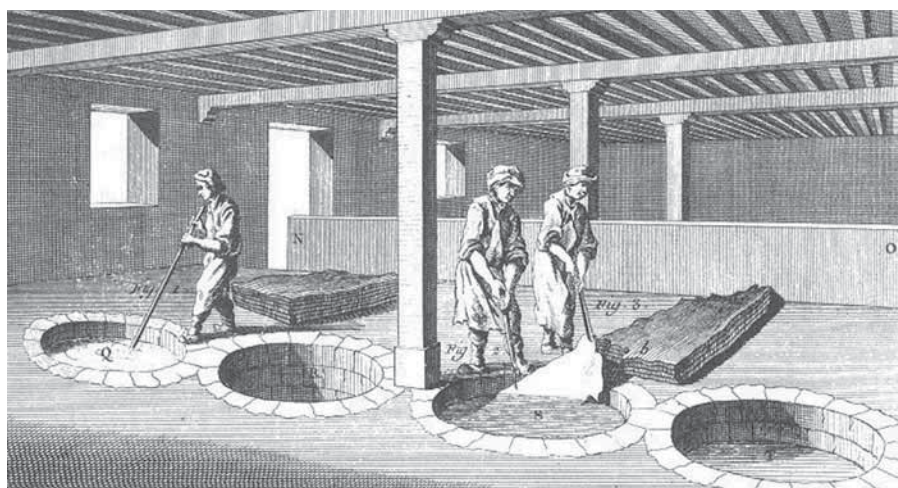
Fig. 443 : vanne de répartition dans la rue Droite, permettant de réguler le débit du canal de la dérivation supérieure

Fig. 444 : restitution de l'utilisation de la vanne de répartition





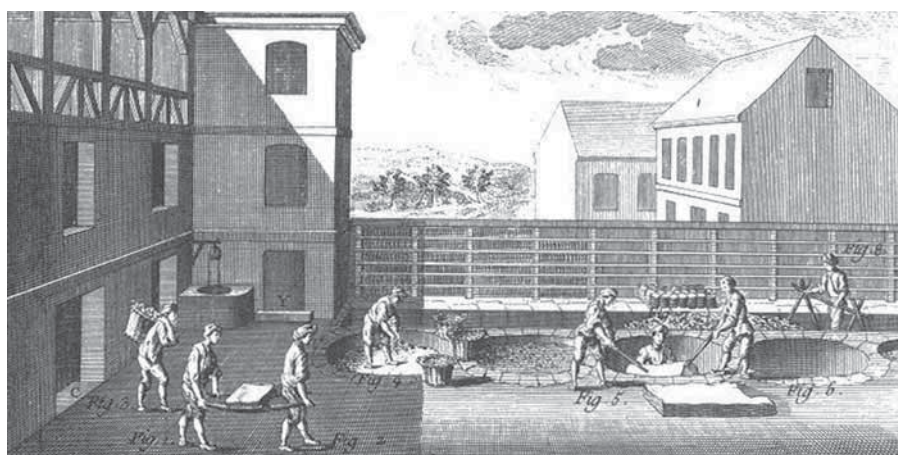
travail de rivière



travail des pleins



travail des passements



travail des fosses

Fig. 445 : planches de l'Encyclopédie de Diderot et D'Alembert, article "Tanner"

année	registre	<i>affacharia</i>	tannerie	<i>calquiere</i>	<i>épin</i>	<i>trempoix</i>	pelerie	pelisserie	pressoir à écorce	moulin à écorce
1397	terrier	2								
1459	terrier			4						
1500	<i>Maniffests</i>	18		4						
1538	terrier			2						
1563	terrier	12		4						
1609	terrier		1	1						
1668	terrier			1						
1670	compoix		13	3		1				
1782	plan parcellaire		15		8	7			4	
1814	plan cadastral		18			10	3	4		3

Fig. 446 : mentions d'ateliers et d'équipements liés à l'artisanat du cuir dans les registres et plans fiscaux  
Les termes sont définis dans le glossaire

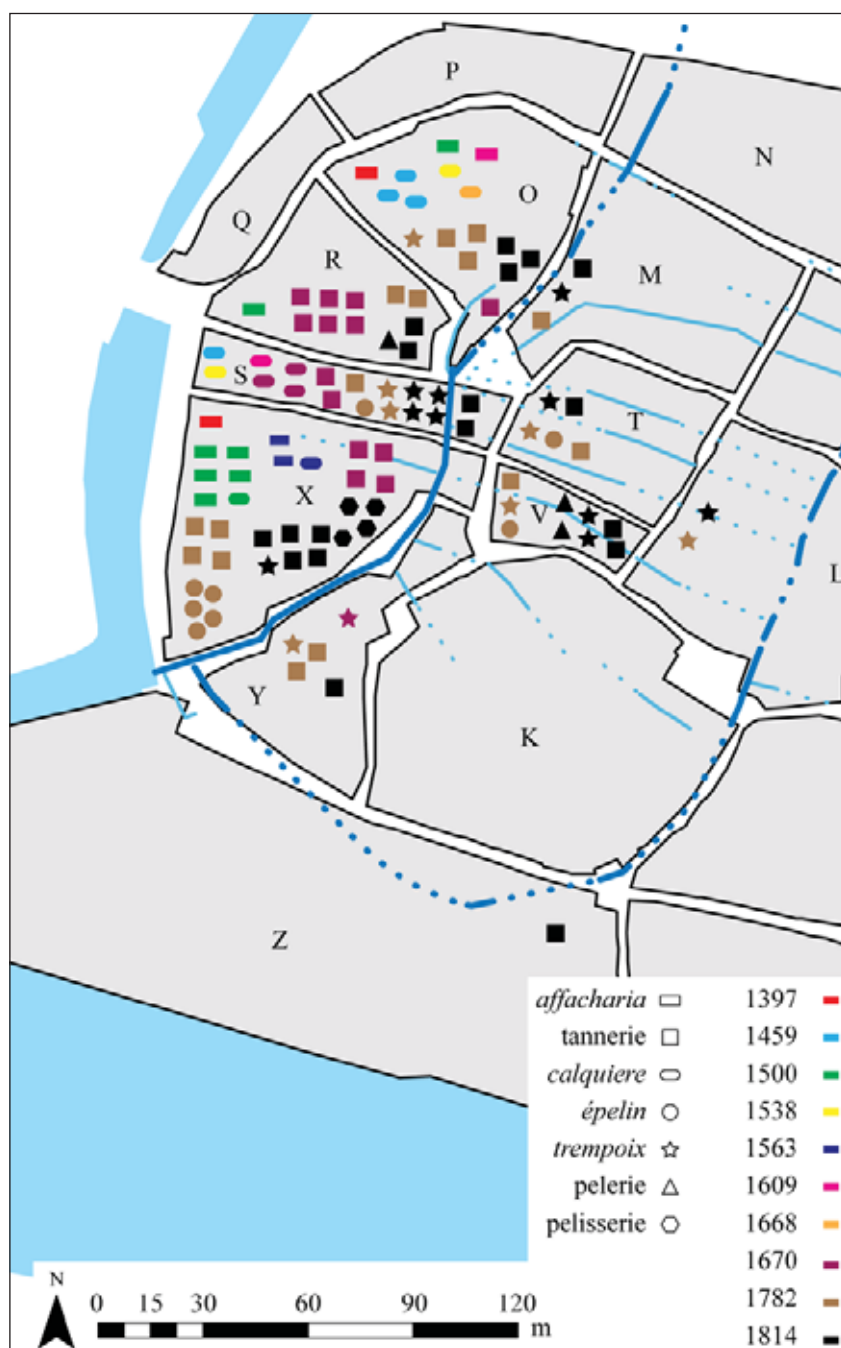


Fig. 447 : répartition des ateliers et équipements liés à l'artisanat du cuir par moulon, d'après les registres et plans fiscaux  
Les symboles n'indiquent pas la position exacte des ateliers dans le parcellaire, mais uniquement leur présence au sein des moulons.



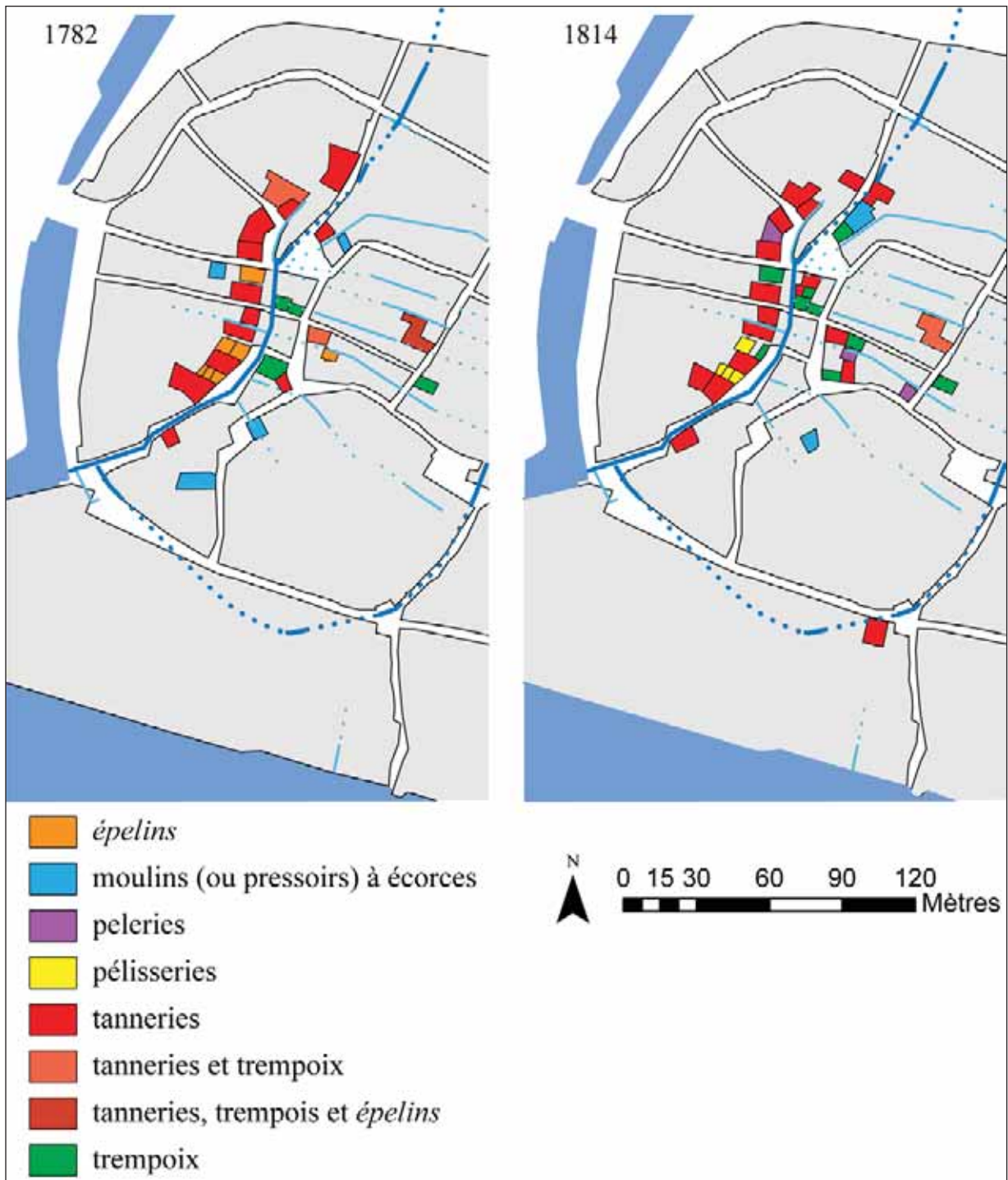


Fig. 448 : localisation des ateliers liés au travail du cuir d'après le plan de 1782

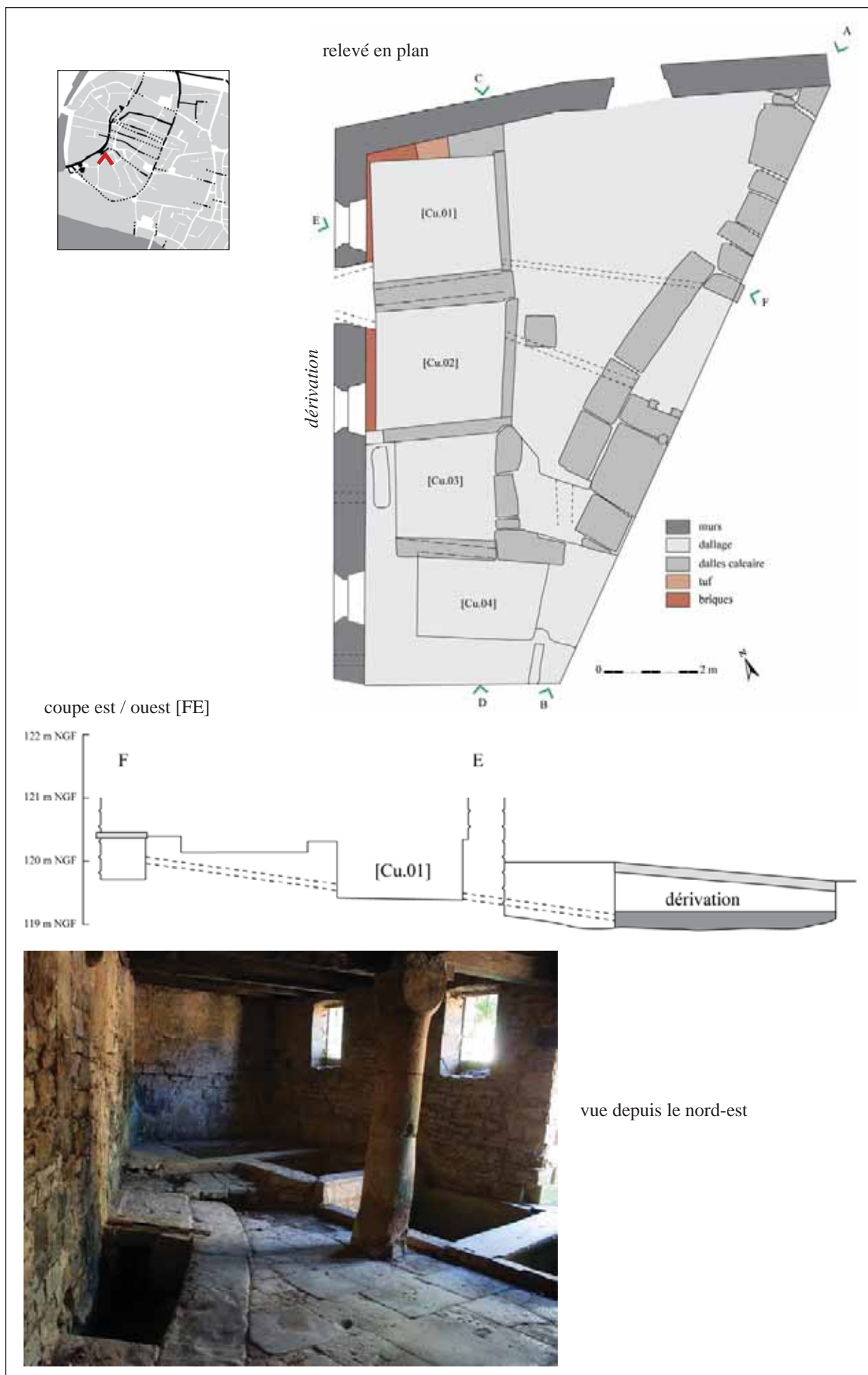
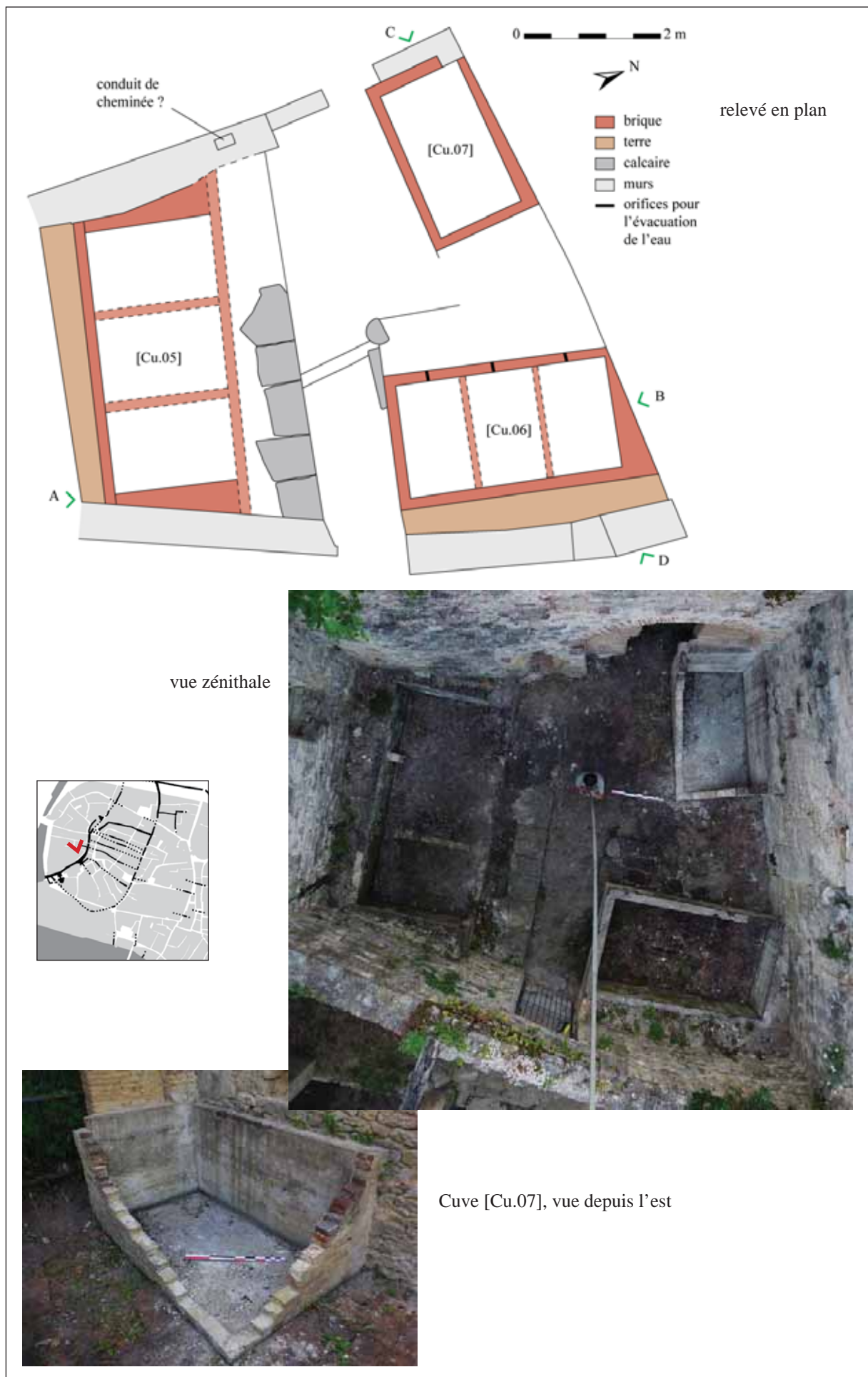


Fig. 449 : vestiges de la tannerie ID163





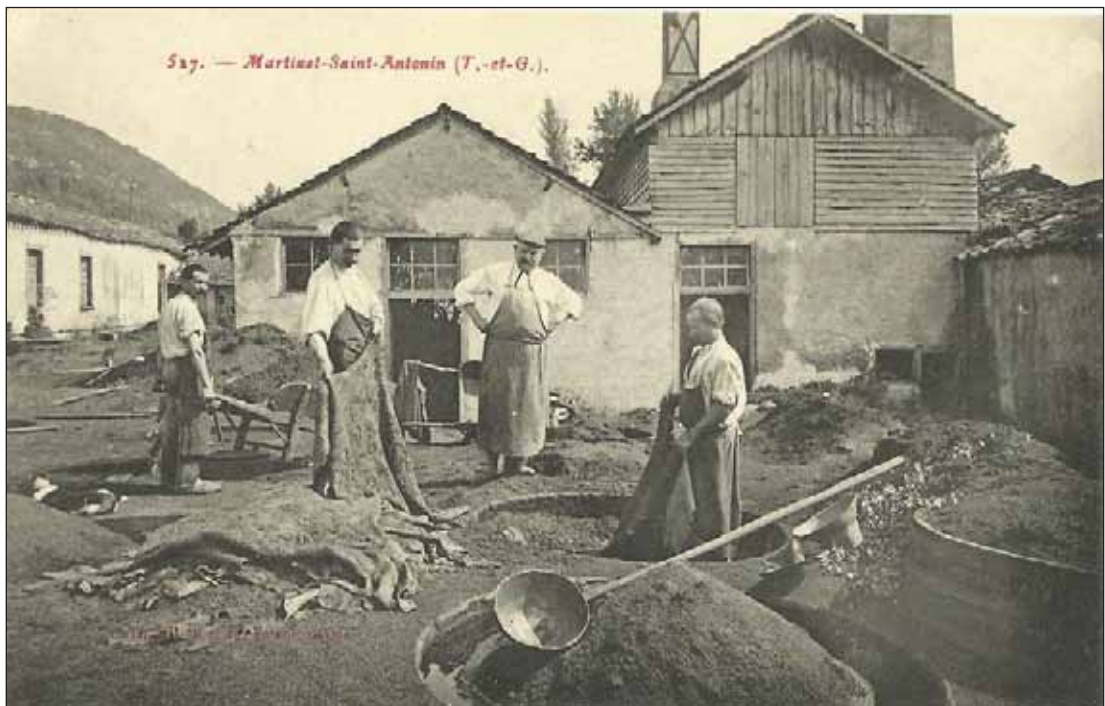
réal. : C. Rivals, N. Clément

Fig. 450 : vestiges de la tannerie ID164



clichés : C. Rivals

Fig. 451 : vestiges d'une tannerie du XIX<sup>e</sup> siècle dans le moulin M



collection personnelle

Fig. 452 : tannerie du Martinet qui a fonctionné jusqu'en 1925 sur une carte postale du début du XX<sup>e</sup> siècle





collection P. Barthelet

vu depuis le sud



collection personnelle

vu depuis le sud



collection P. Barthelet

vu depuis le nord



collection personnelle

vu depuis le nord

Fig. 453 : le quartier du Bessarel au début du XX<sup>e</sup> siècle

	Terrier royal	Reconnaissances au chapitre	Terrier royal	Manifestes	Terrier royal	Rôle de taille	Reconnaissances au chapitre	Rôle de taille	Terrier royal	Rôle de taille	Rôle de taille	Terrier royal	Compoix	Rôle de taille	Plan parcellaire	Cadastre napoléonien
	1397	1420	1459	1500	1538	1559	1563	1585	1609	1628	1652	1668	1670	1722	1782	1814
<i>affachator</i>					1											
<i>affanator</i>	1		6		81											
<i>affaneyre</i>				2			4									
<i>bastier</i>	1	1	1	1									3		1	1
<i>blanchier</i>							1						1			
<i>bottier</i>								1								
<i>chaussatier</i>				1	4								1			
<i>cordonnier</i>					35		1	31	1	6	12	9	28	25	23	31
<i>couroyeur</i>												1				
<i>gantier</i>													1			
<i>hongroyeur</i>					1											
<i>maroquinier</i>								1								
<i>ongeyre</i>				2	1		4									
<i>parcheminier</i>				1			1									
<i>pelliparius</i>			3													
<i>pélissier</i>						1		1								
<i>pélagier</i>								1								
<i>sabaterius</i>	2		3													
<i>sabatier</i>				10		31	18	1							4	5
<i>savetier</i>						3										
<i>semellator</i>			20													
<i>semallié</i>													1			
<i>sutor</i>	4															
<i>tanneur</i>				1		1	4	4		2	3	4	12	12	16	24
<b>total</b>	<b>8</b>	<b>1</b>	<b>33</b>	<b>18</b>	<b>123</b>	<b>36</b>	<b>33</b>	<b>40</b>	<b>1</b>	<b>8</b>	<b>15</b>	<b>14</b>	<b>47</b>	<b>37</b>	<b>44</b>	<b>61</b>

Fig. 454 : occurrences des métiers du cuir dans les sources fiscales

**lexique des métiers de la peau :**

*affachator, affanator, affaneyre* : tanneur

*bastier* : bourrelier

*blanchier* : tanneur

*couroyeur* : corroyeur (artisan chargé des étapes de la finition des cuirs tannés)

hongroyeur, *ongeyre* : artisan qui pratique le tannage minéral

*pelliparius, pélissier, pélagier* : pelletier

*sabaterius, sabatier, savetier, semellator,*

*semallié, sutor* : cordonnier

métier	allivrement moyen par contribuable en sous	nombre de contribuable par métier
<i>bastier</i>	5,99	3
<i>blanchier</i>	5,71	1
<i>chaussetier</i>	43,50	1
<i>cordonnier</i>	11,63	28
<i>gantier</i>	1,25	1
<i>semallier</i>	1,83	1
<i>tanneur</i>	13,10	12

**classe 1** : allivrement inférieur à 10 sous  
**classe 2** : allivrement entre 10 et 40 sous  
**classe 3** : allivrement supérieur à 40 sous

Fig. 455 : allivrement moyen par contribuable pour chaque métier du cuir en 1670



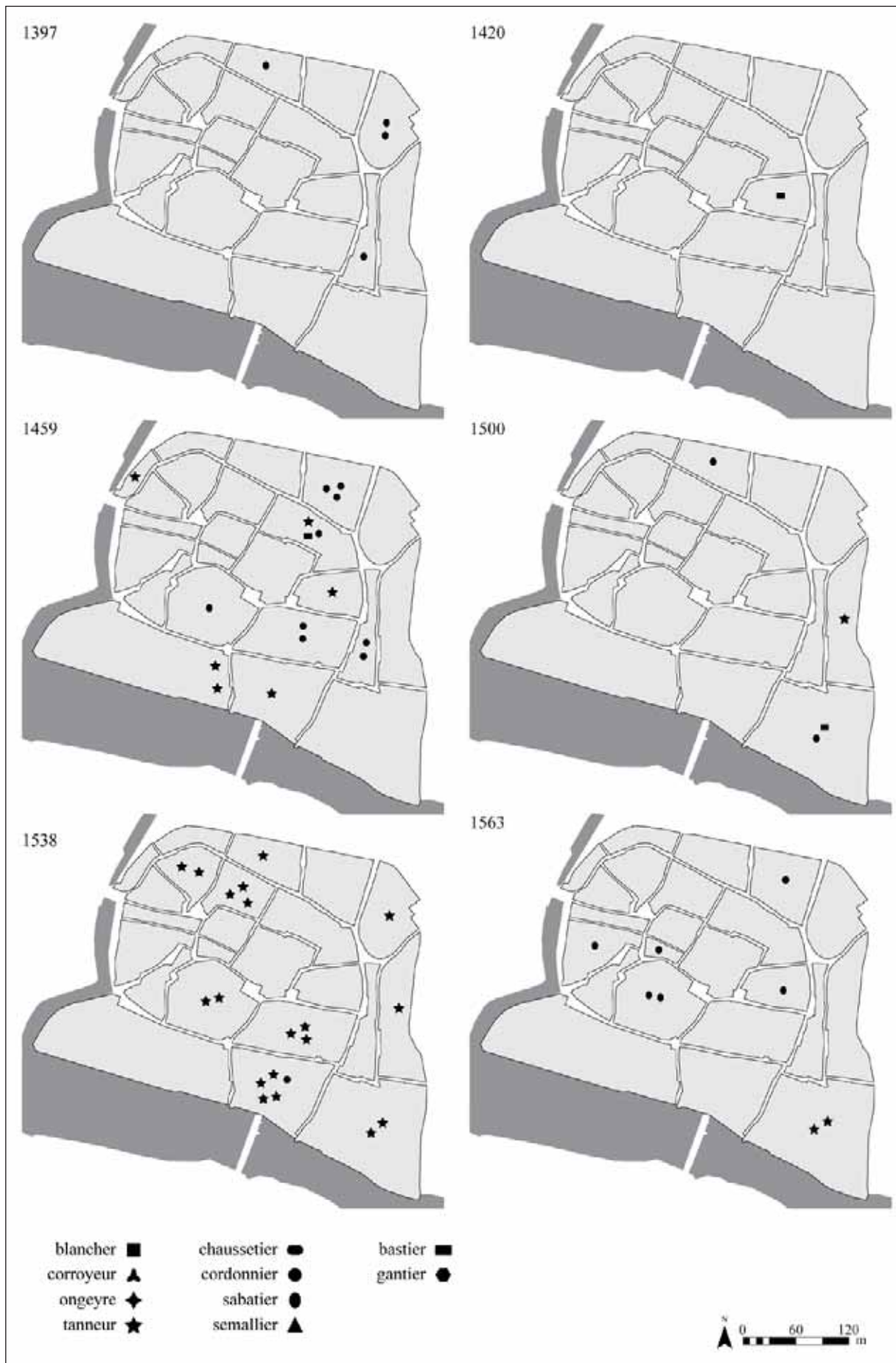
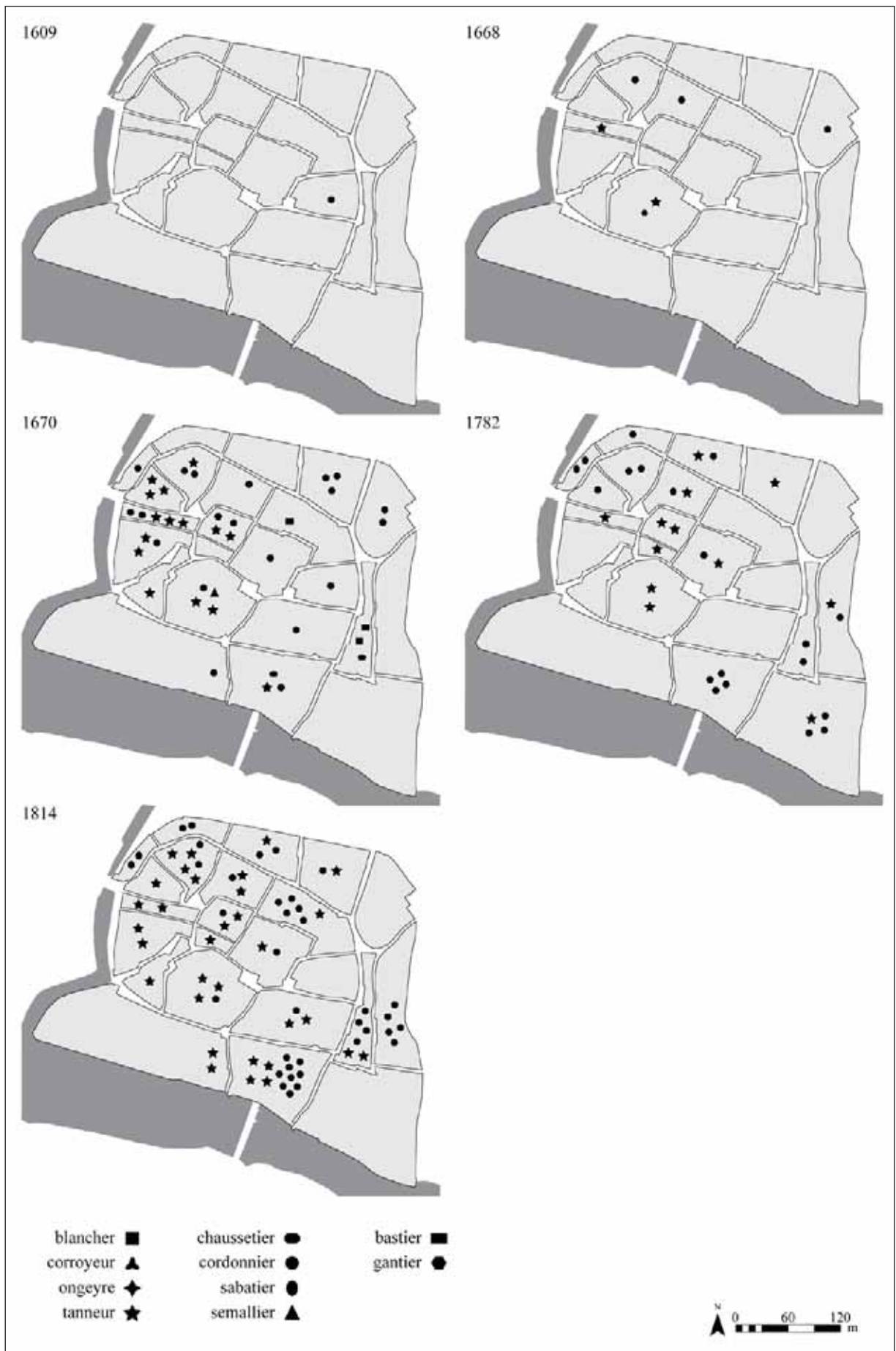


Fig. 456 : répartition des maisons détenues par des artisans du cuir entre 1397 et 1563



réal. : C. Rivals

Fig. 457 : répartition des maisons détenues par des artisans du cuir entre 1609 et 1814



Volume 2 - Illustrations

propriétaire	nombre de parcelles urbaines	nombre de parcelles rurales	natures des parcelles
BOSC Pierre (ID652)	6	0	calquiere (1), jardin (1), maison (3), tannerie (1)
DARDENNE Antoine (ID669)	1	0	maison (1)
DARDENNE Barthélémy (ID690)	3	6	maison (3), terre (1), rivage (1), chenevier (2), devèze (1), vigne (1)
RESSEGUIER Isaac (ID720)	3	2	bouissière (1), île (1), maison (1), grèze (1), tannerie (1)
BARRAU Isaac (ID724)	3	14	chenevier (4), devèze (3), grèze (1), maison (2), prunierette (1), tannerie (1), terre (2), vigne (3)
TABARLY Antoine (h) (ID734)	3	5	bouigue (1), bouissière (1), chenevier (1), jardin (1), grèze (1), maison (1), tannerie (1), vigne (1)
BENECH Jean (h) (ID735)	2	1	maison (1), tannerie (1), vigne (1)
LOUVERS Pierre (ID751)	2	25	bouissière (1), chenevier (5), devèze (1), four (1), grèze (2), jardin (2), maison (1), rive (1), terre (8), travers (1), vigne (4)
AYMAR Jean-Philippe (ID914)	5	8	bois (1), bouigue (1), cayre (1), chenevier (1), jardin (1), maison (2), pigeonnier (1), tannerie (2), terre (1), vigne (2)
BENECH Antoine (ID1022)	0	2	chenevier (1), terre (1)
SICARD Pierre (ID1025)	0	3	chenevier (2), terre (1)
DARDENNE Henry (ID1041)	0	1	pré (1)

Fig. 458 : localisation des parcelles dont le propriétaire exerce la profession de tanneur, d'après le compoix de 1670

Les chiffres entre parenthèses correspondent au nombre de parcelle de chaque nature. Les parcelles à nature multiple ont été dissociées.

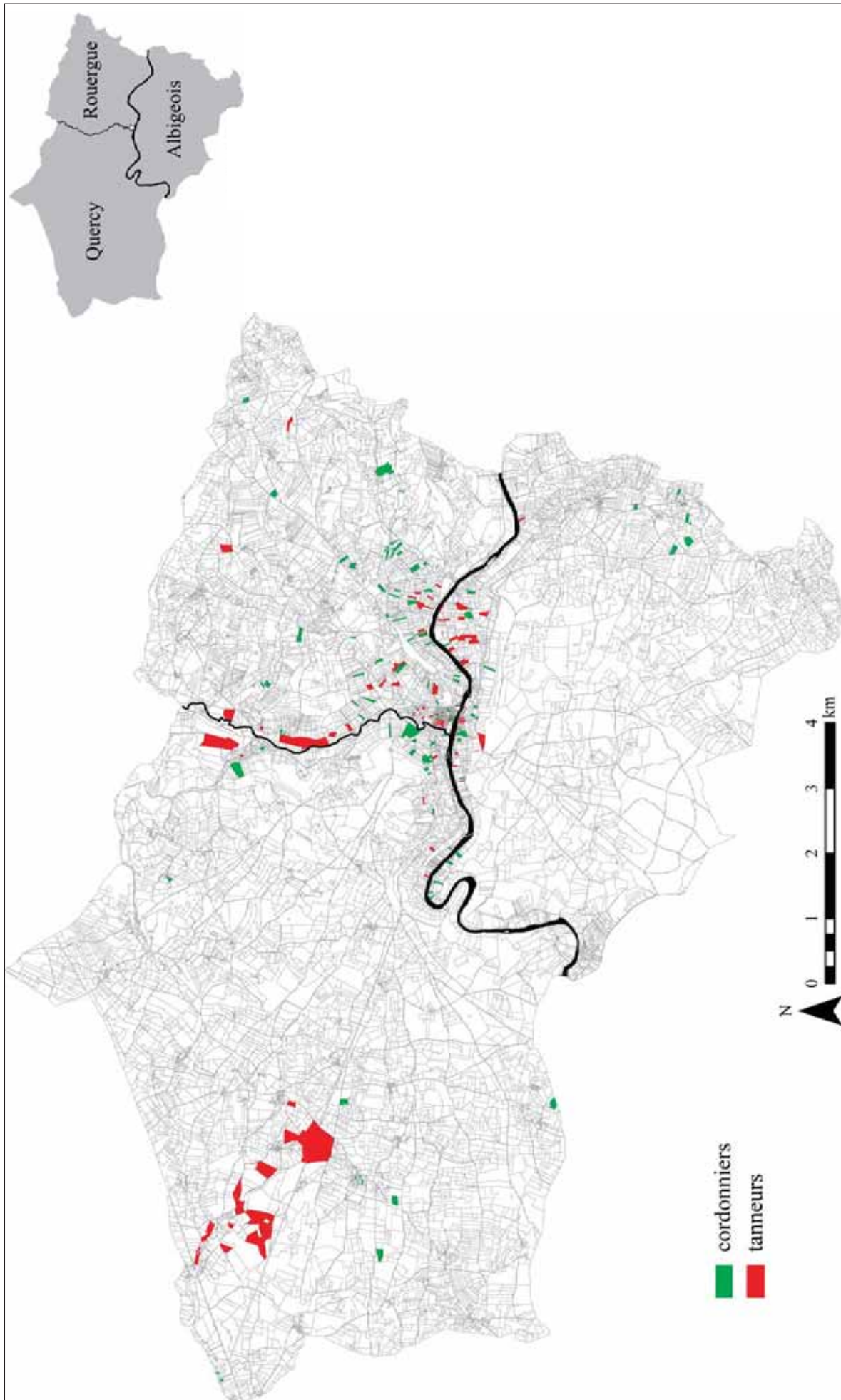


Fig. 459 : localisation des parcelles dont le propriétaire exerce une profession liée à l'artisanat du cuir d'après le cadastre napoléonien



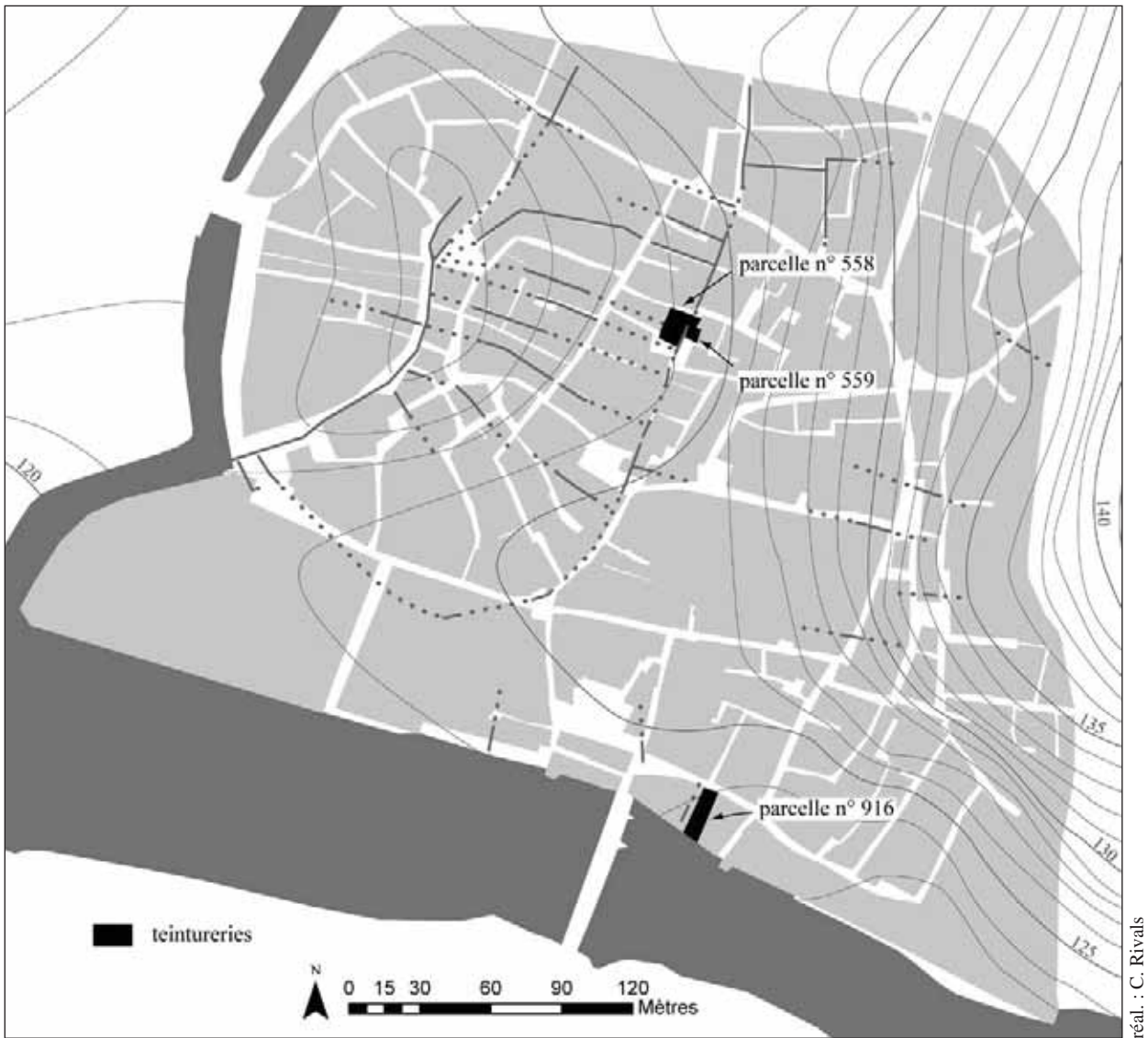


Fig. 460 : localisation des teintureries mentionnées sur le plan parcellaire de 1782

	Terrier royal	Reconnaisances au chapitre	Terrier royal	<i>Manifests</i>	Terrier royal	Rôle de taille	Reconnaisances au chapitre	Rôle de taille	Rôle de taille	Rôle de taille	Terrier royal	Compoix	Rôle de taille	Plan parcellaire	Cadastré napoléonien
	1397	1420	1459	1500	1538	1559	1563	1585	1628	1652	1668	1670	1722	1782	1814
fabrication de tissu															
cardeur				3			1	1	2			1	11		1
drapier															12
<i>espardilleur</i>												2	4		
<i>foulancier</i>									1						
fouleur									1	1		2	2		
lainier									1						
marchand drapier															2
<i>parator pannorum</i>			18												
pareur				2	6		1								
peigneur				1	3							2			
peigneur de chanvre											1				5
peigneur de laine										1	4	14	3	11	34
<i>penchenié</i>				1											
teinturier			2		1					1		4	4	5	5
<i>textor</i>	5		1		3										
<i>textor pannorum</i>			9												
<i>textor telarum</i>			6												
tisserand				6	8	5	6	15	9	8	4	36	30	22	49
confection de vêtements															
bonnetier												1	1		
brodeur												1	1		
brodeur boutonnier												1			
<i>cousatier</i>									1						
couturier								2	3	2					1
facturier															1
marchand brodeur											1				
passementier												1	1		
<i>sartre</i>	2	1	11	8	5		5								
tailleur									7	9	6	27	22	6	
tailleur d'habits															14
<b>total</b>	<b>7</b>	<b>1</b>	<b>47</b>	<b>21</b>	<b>26</b>	<b>5</b>	<b>13</b>	<b>18</b>	<b>25</b>	<b>22</b>	<b>16</b>	<b>92</b>	<b>79</b>	<b>44</b>	<b>124</b>

Fig. 461 : occurrences des métiers du textile dans les sources fiscales, en ville et à la campagne



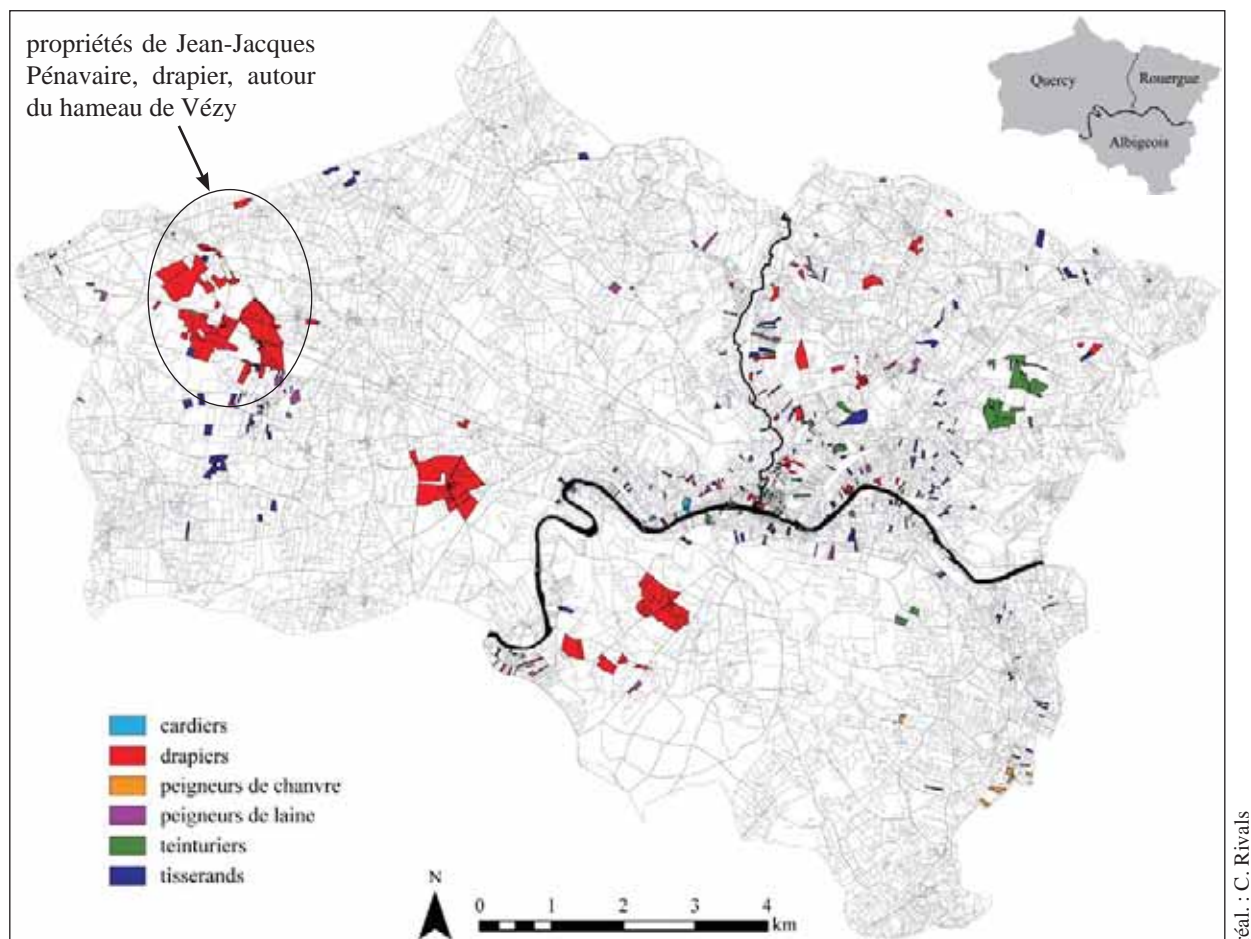


Fig. 462 : localisation des parcelles dont le propriétaire exerce une profession liée à la fabrication de tissu, d'après le cadastre napoléonien

métier	allivrement moyen par métier en sous	nombre de tenancier par métier
cardeur	1,25	1
<i>espardilleur</i>	2,94	2
foulon de draps	11,30	2
peigneur	11,11	2
peigneur de laine	11,91	14
teinturier	12,13	4
tisserand	6,97	30

classe 1 : allivrement inférieur à 10 sous  
 classe 2 : allivrement entre 10 et 40 sous  
 classe 3 : allivrement supérieur à 40 sous

Fig. 463 : allivrement moyen par contribuable pour chaque métier du cuir en 1670.

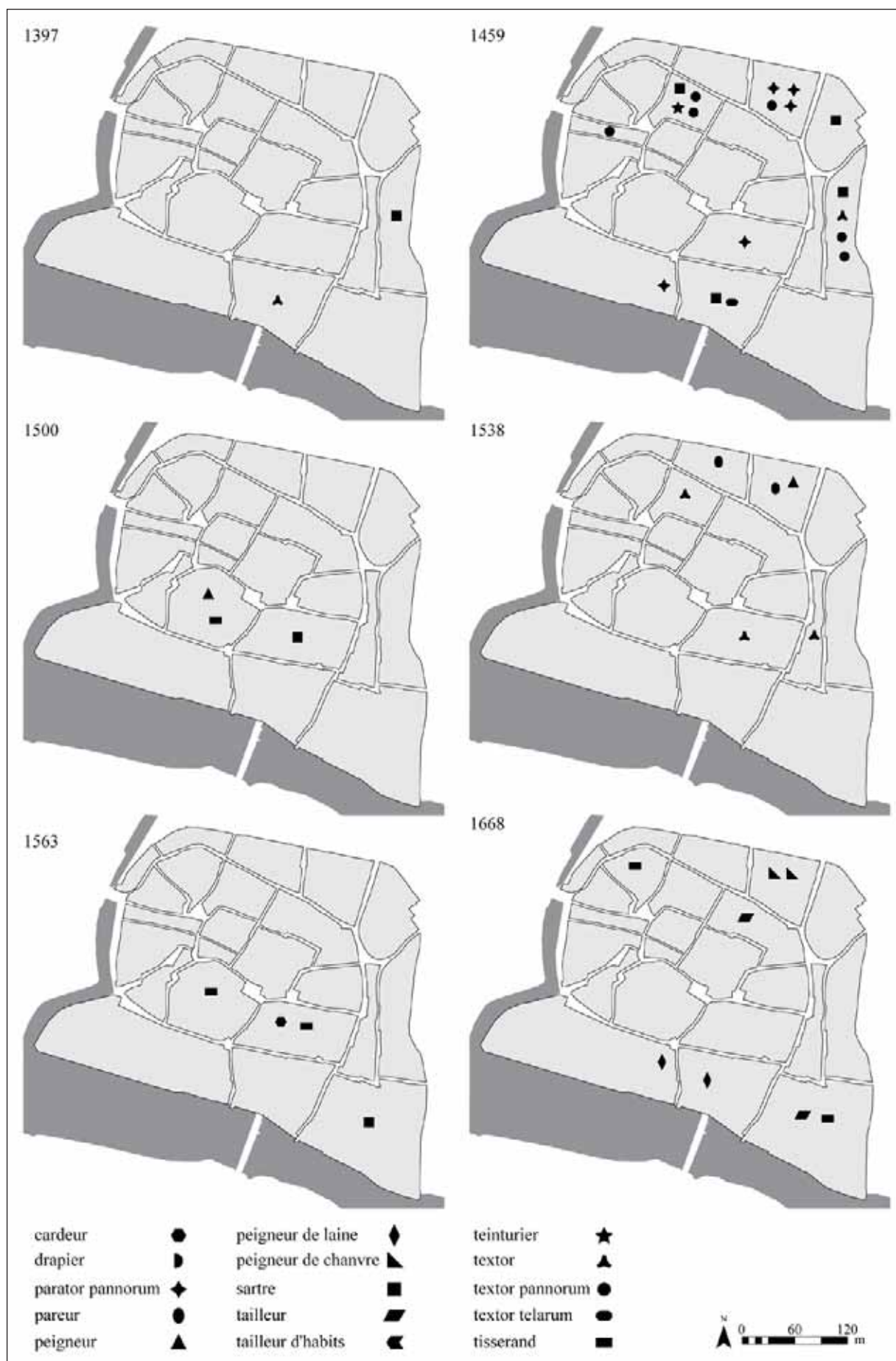


Fig. 464 : répartition des maisons détenues par des artisans du textile entre 1397 et 1668



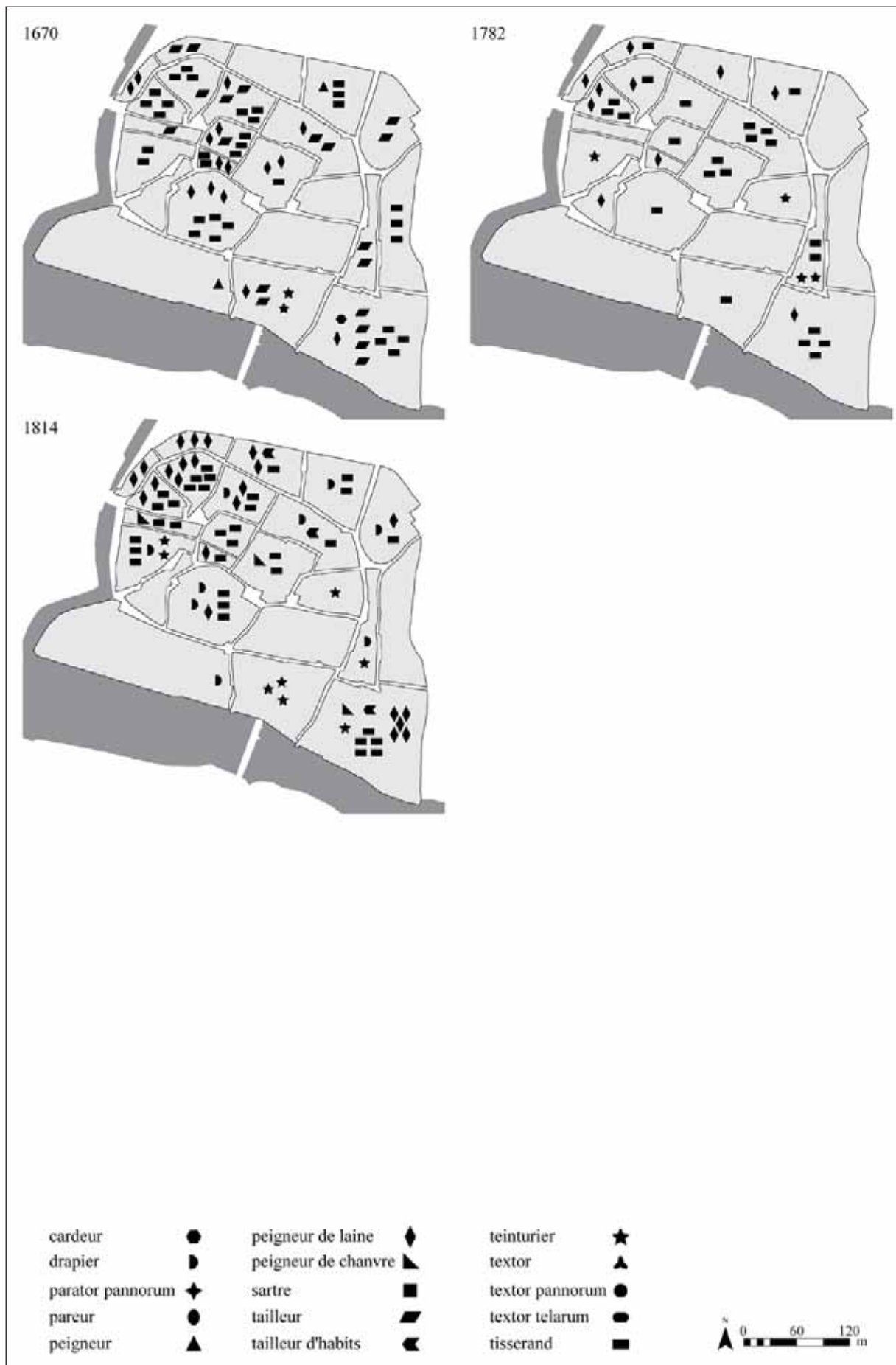
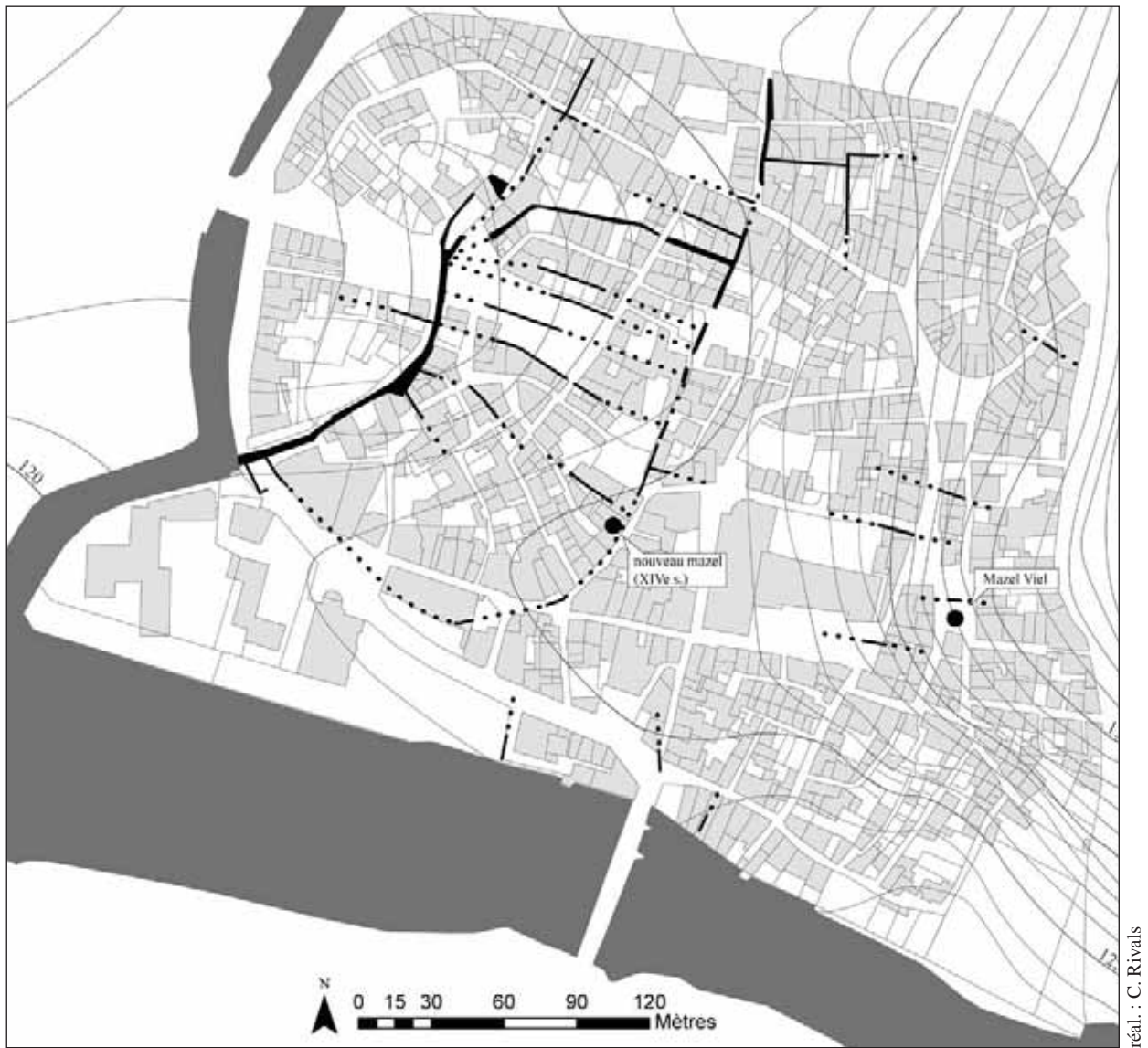


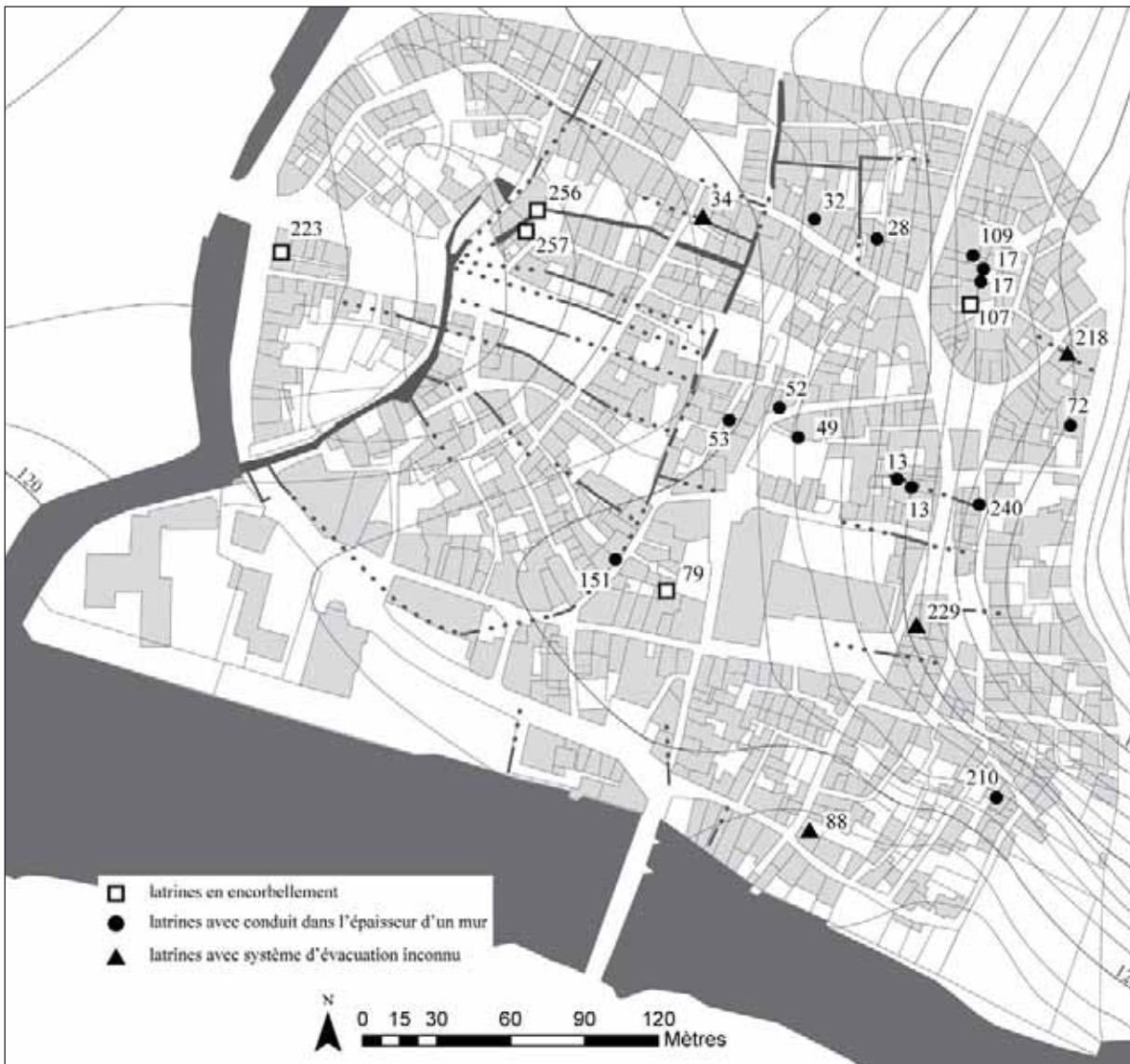
Fig. 465 : répartition des maisons détenues par des artisans du textile entre 1670 et 1814



réal. : C. Rivals

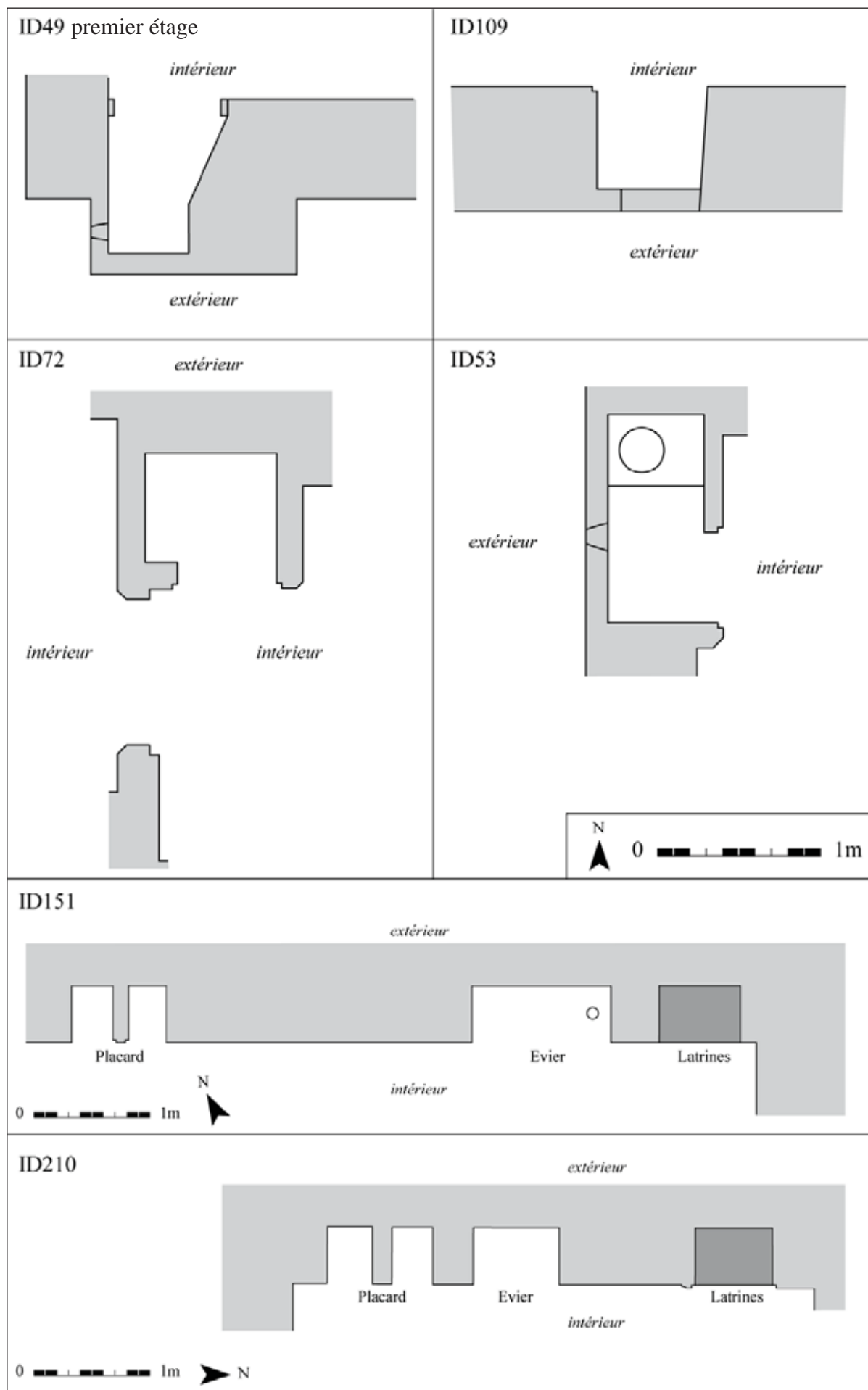
Fig. 466 : localisation des boucheries sur fond de cadastre actuel





réal. : C. Rivals

Fig. 467 : localisation des latrines, sur fond cadastral actuel  
Les numéros correspondent aux identifiants des maisons



réal. : C. Rivals

Fig. 468 : croquis à l'échelle de six latrines médiévales de Saint-Antonin





Fig. 469 : latrines des maisons ID 28, 109, 240 et 13



Fig. 470 : latrines des maisons ID17, 53 et 49





clichés : C. Rivals

Fig. 471 : latrines des maisons 32, 72, 210 et 109



Fig. 472 : latrines vues de l'extérieur



Fig. 473 : conduits d'évacuation de latrines insérés dans la maçonnerie des maisons ID 17 et 53





clichés : C. Rivals

Fig. 474 : latrines en encorbellement au-dessus d'un canal ou d'une venelle

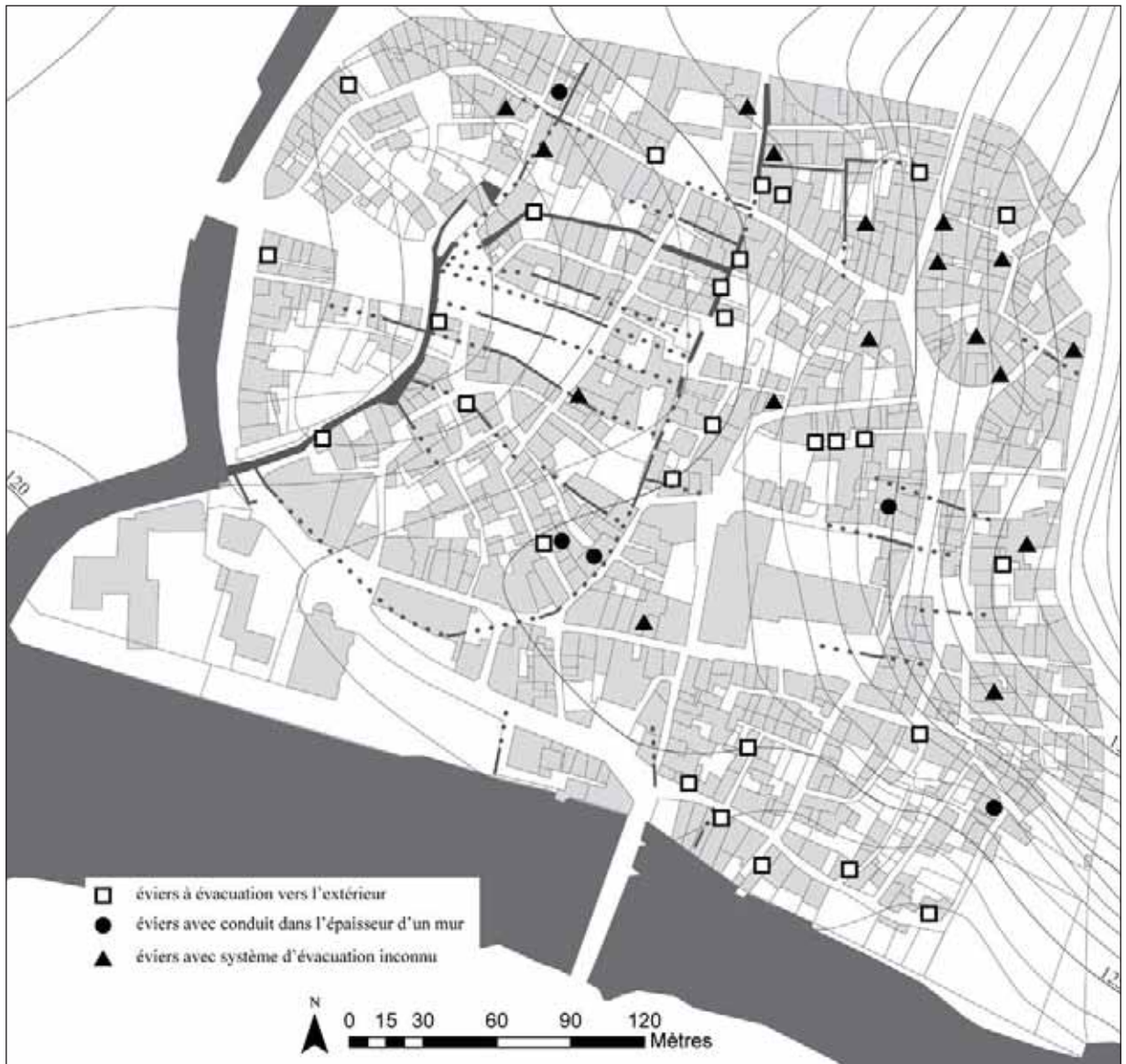


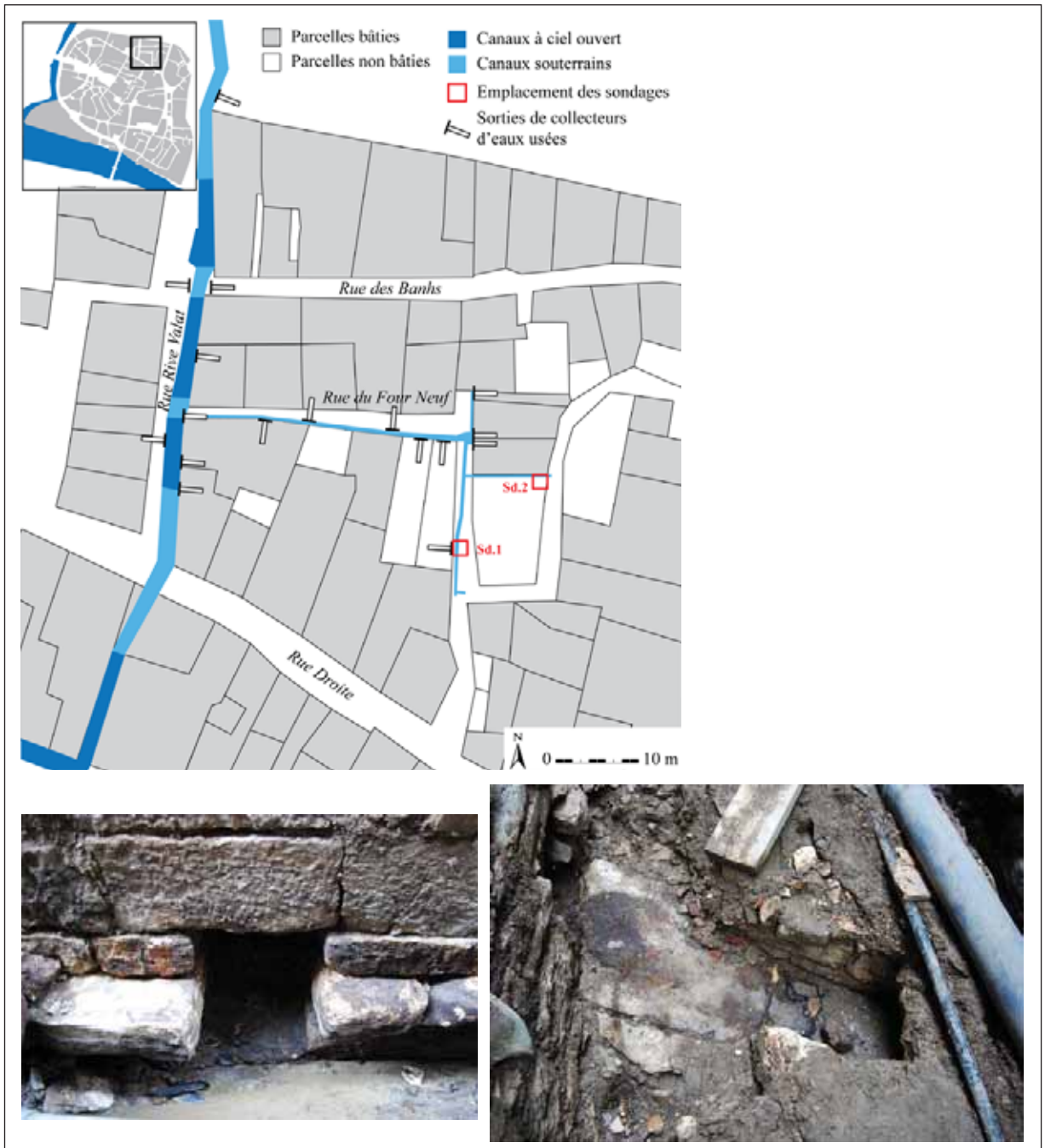
Fig. 475 : localisation des éviars conservés, sur fond cadastral actuel





clichés : C. Rivals

Fig. 476 : exemples d'éviers observés à Saint-Antonin



réal. : C. Rivals

Fig. 477 : collecteurs d'eaux usées provenant de maisons et se déversant dans un canal transversal dans la rue du Four Neuf



Fig. 478 : canalisation insérée dans la maçonnerie de la maison ID94

réal. : C. Rivals



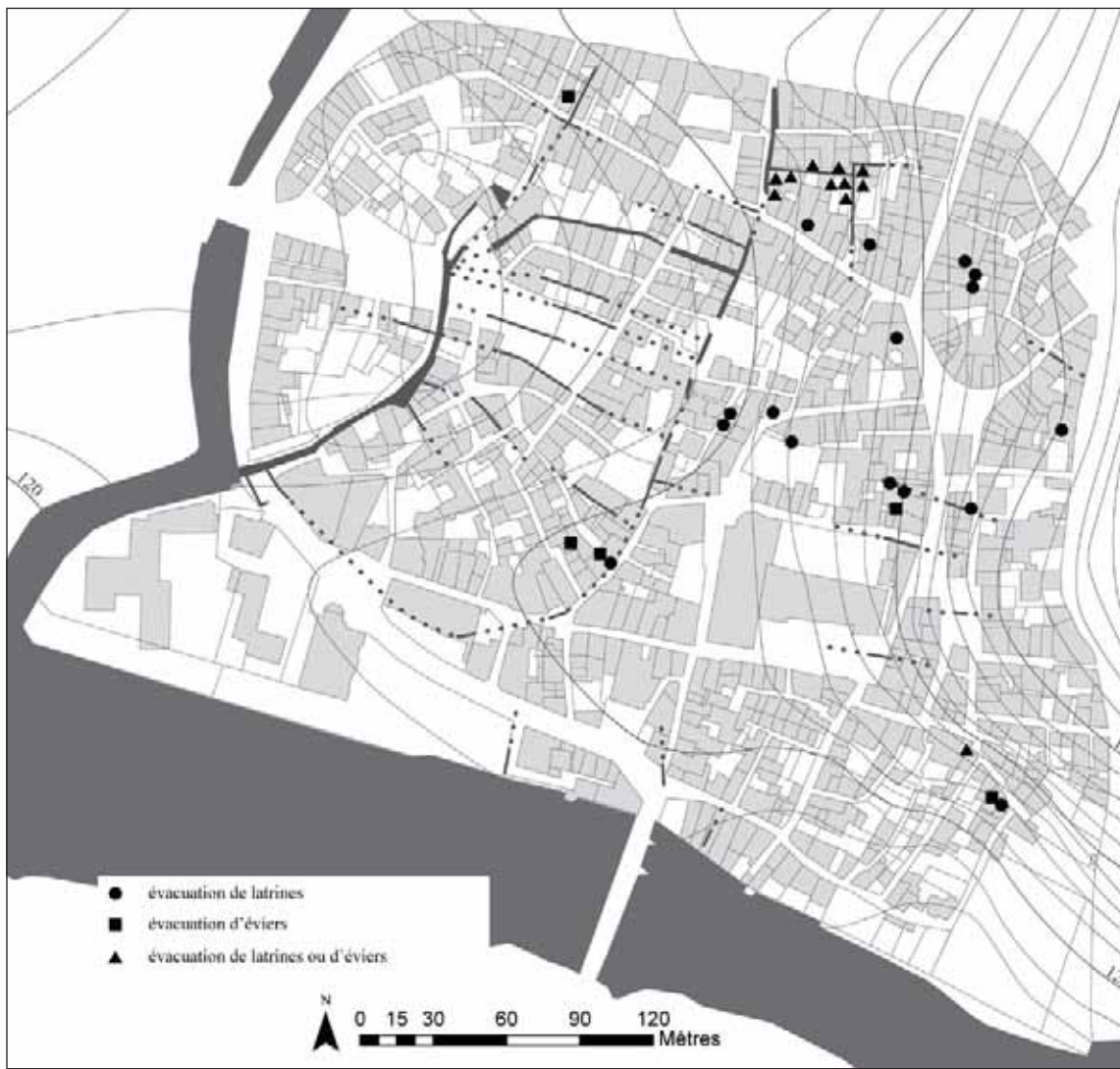
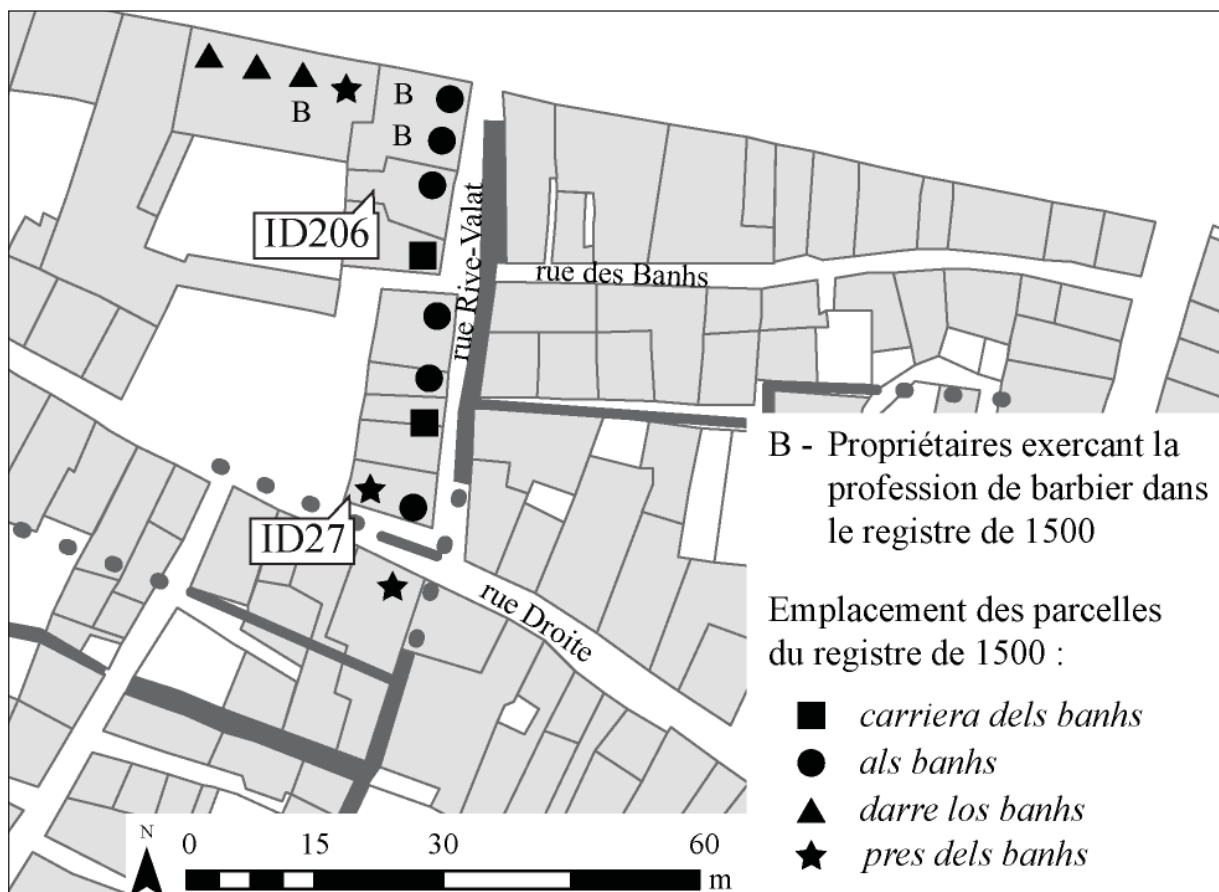


Fig. 479 : synthèse des évacuations dans des égouts souterrains, sur fond cadastral actuel



Fig. 480 : lien entre les hôpitaux *intra-muros* et le réseau hydrographique



réal. : C. Rivals

Fig. 481 : le secteur des bains

D'après l'illustration de J.-L. Laborie dans "Les rues des Bains à Montauban et Saint-Antonin et les bains médiévaux", *BSATG*, n°135, 2010, p. 79



cliché : C. Rivals

Fig. 482 : clé de l'arcade du rez-de-chaussée de la maison ID27





Fig. 483 : ouverture percée dans la voûte au rez-de-chaussée de la maison ID 206, rue Rive Valat



cliché : C. Rivals



Enluminure réalisée vers 1470 en Belgique illustrant l'épisode où Médée rajeunit Aeson (*Histoire de Jason* par Raoul Lefèvre, BnF, ms français, 331, fol. 132). La scène de gauche montre l'intérieur d'un établissement de bain, dans lequel un bassin en bois est surmonté d'un dais fixé au plafond.

Enluminure réalisée vers 1480 en France illustrant le traitement des furoncles dans un bassin en bois surmonté d'un dais fixé au plafond (*De proprietatibus rerum*, de Barthélemy l'Anglais, BnF, ms français, 9140, fol.150v).



Fig. 484 : enluminures de la fin du Moyen Âge illustrant l'utilisation de ciels dans des bains



réal. : C. Rivals

Fig. 485 : localisation des puits connus, sur fond cadastral actuel  
 Les numéros correspondent aux identifiants des maisons, les lettres correspondent à des puits connus par des mentions orales ou écrites.

	maison	diamètre intérieur	profondeur	hauteur de l'eau	hauteur margelle
puits avec margelle	ID14	0,67	3,20	1,70	0,77
	ID18				
	ID72				
	ID133	0,59	4,14	1,16	0,60
	ID239	0,60	5,80	3,78	0,60
puits au niveau du sol	ID149	0,86	5,50	1,00	
	ID212	0,90	5,80	3,50	
	ID232	0,70	2,70	0,80	
	ID233	1,00			
puits bouchés	ID241	0,70			
	ID76				
	ID94				
	ID156				
	ID237				

Fig. 486 : tableau des dimensions des puits observés, en mètres  
 La profondeur est mesurée à partir du sommet de la margelle lorsqu'elle est conservée, ou de la dernière assise conservée lorsqu'il n'y a plus de margelle. La hauteur de l'eau est mesurée par rapport au fond.



ID 14



ID 72



ID 133



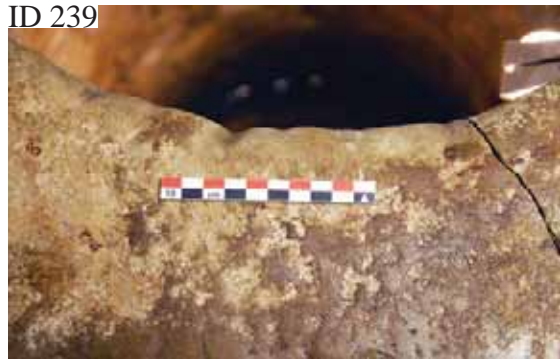
ID 133



ID 239



ID 239



clichés : C. Rivals

Fig. 487 : puits des maisons ID14, 72,133 et 239



ID 232

ID 149

ID 212

ID 212

altitude du fond du puits : 119.463 m NGF

Photographie d'Amélie Galup, 1897 (GLP00048).

clichés : C. Rivals, A. Galup

Fig. 488 : puits des maisons ID 232, 149 et 212





système d'évacuation des eaux de toiture de la maison romane ID 4, place de la Halle



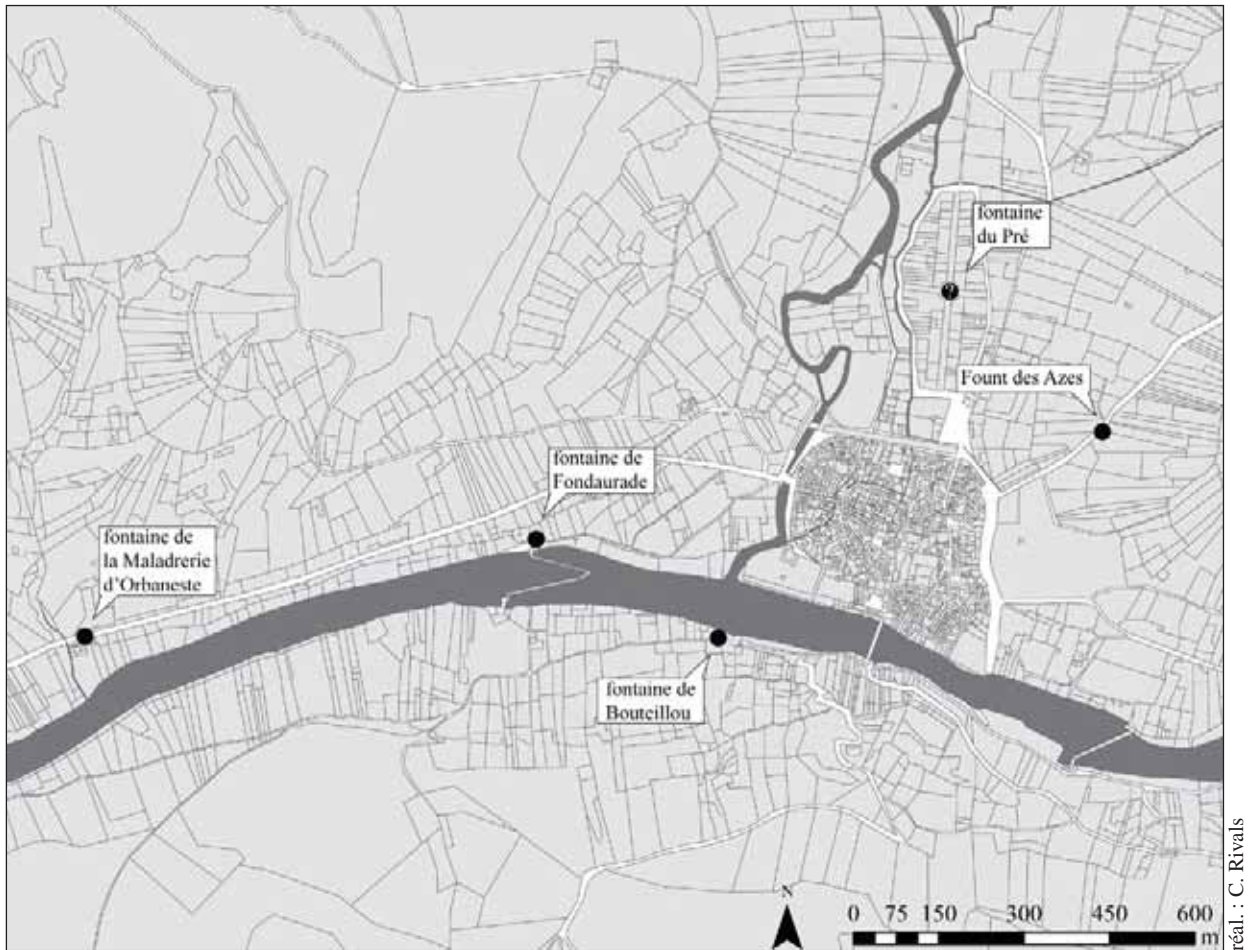
exutoire sud de la maison ID 17, rue de la Pélisserie



chêneau déposé dans la maison ID 17, rue de la Pélisserie

clichés : C. Rivals

Fig. 489 : exemples de systèmes d'évacuation de l'eau de pluie



réal. : C. Rivals

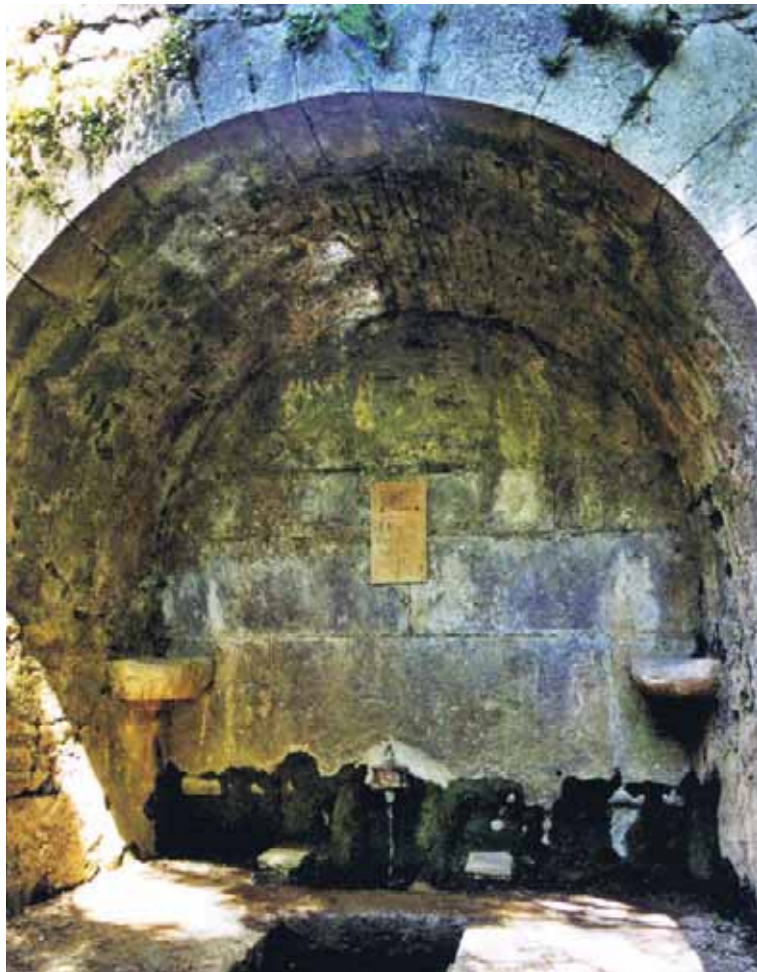
Fig. 490 : localisation des fontaines hors les murs



cliché. : C. Rivals

Fig. 491 : fontaine de la Maladrerie d'Orbaneste





clichés : C. Rivals

Fig. 492 : fontaine de Fondaurade, au moulin de Roumégous





cliché : A. Galup, MAP, GLP00098

La fontaine en 1899



cliché : C. Rivals

La fontaine aujourd'hui

Fig. 493 : fontaine de Bouteillou



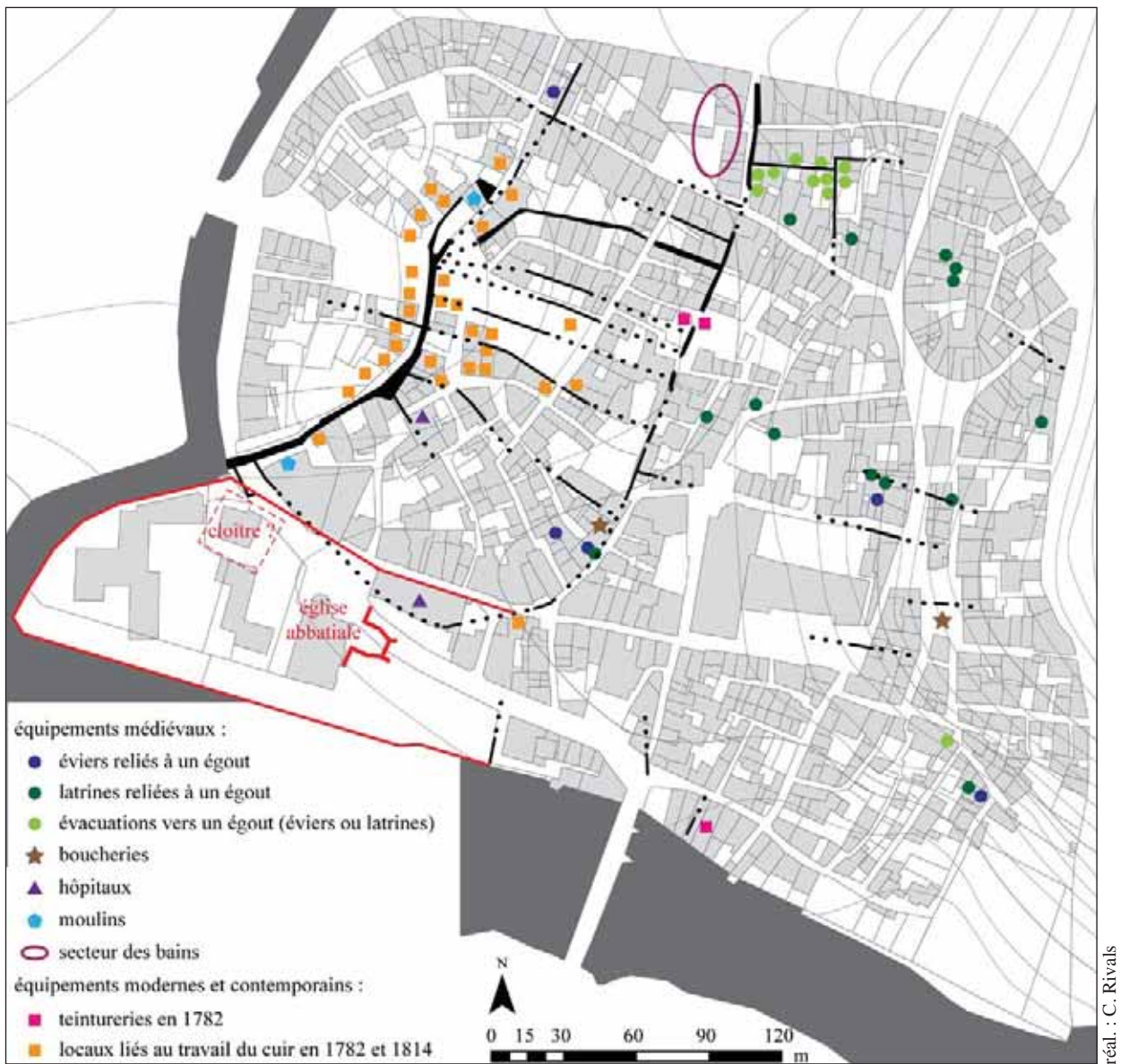
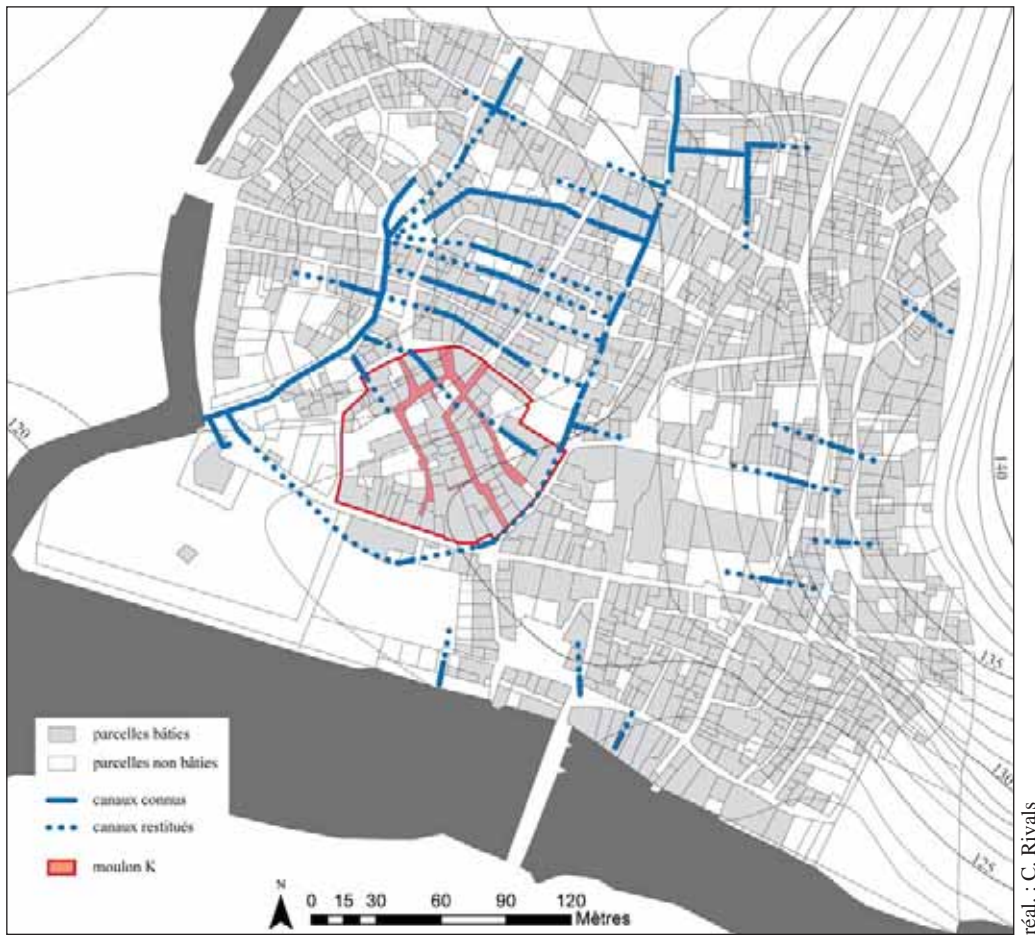
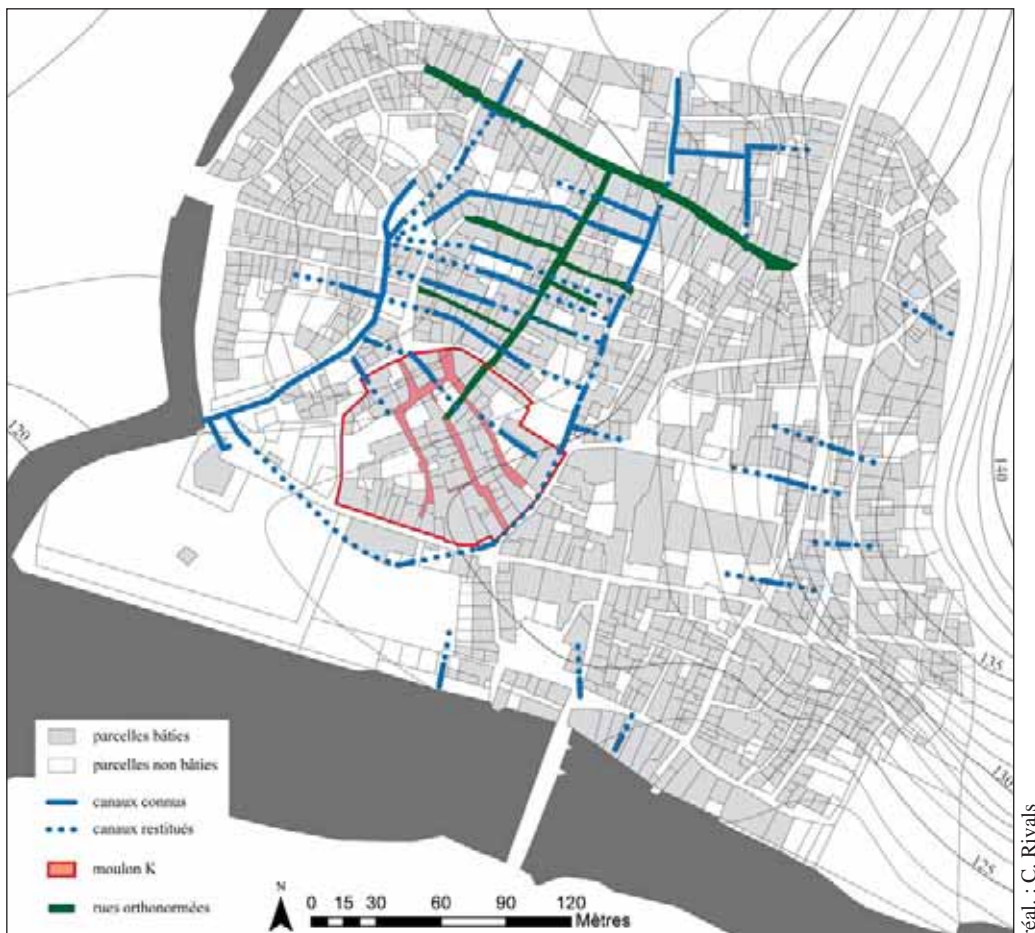


Fig. 494 : synthèse des équipements liés à la présence de canaux au Moyen Âge et à la période moderne, sur fond de cadastre actuel



réal. : C. Rivals

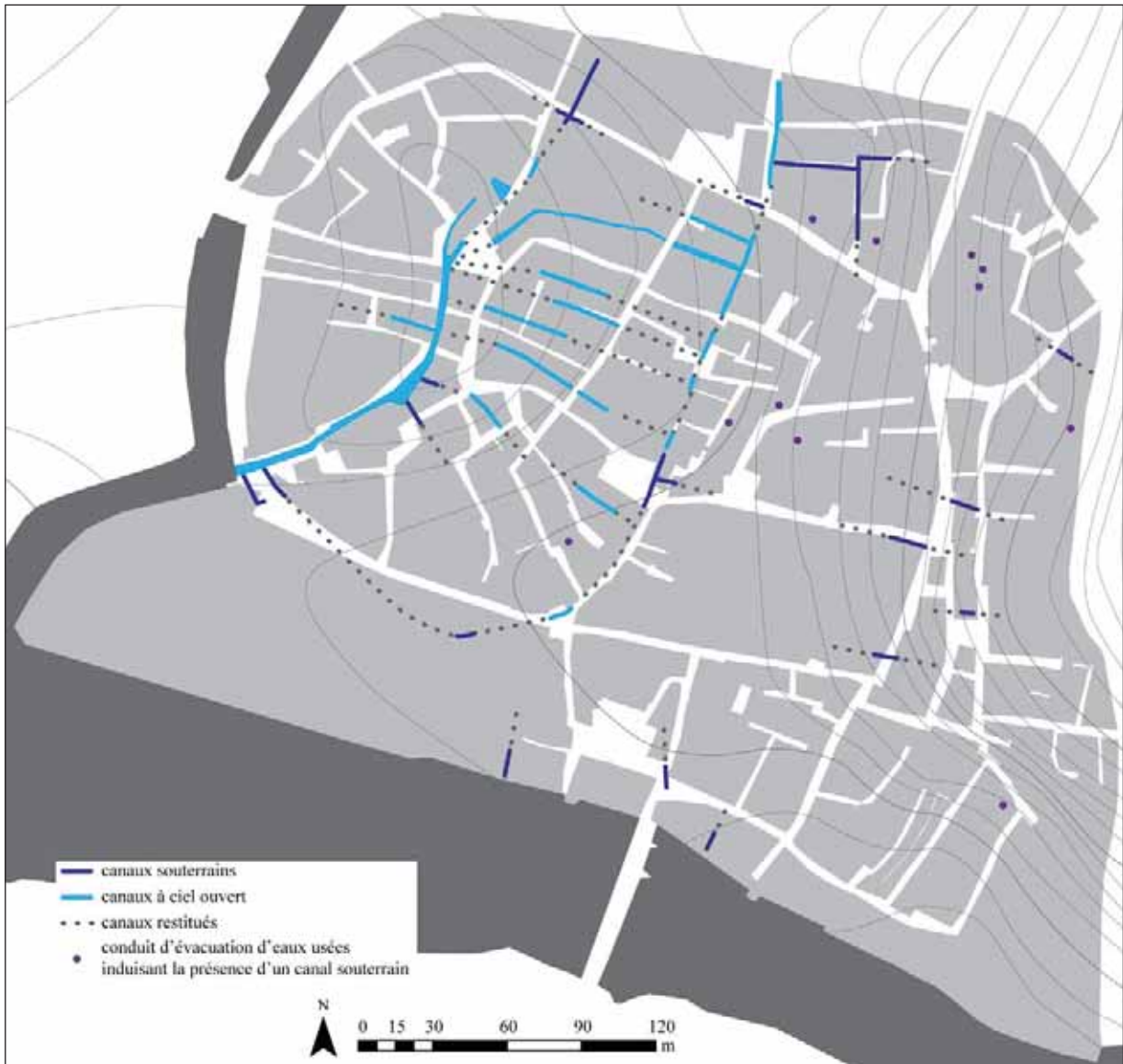
Fig. 495 : le moulin K, inséré entre les deux canaux de dérivation



réal. : C. Rivals

Fig. 496 : réseau viaire orthogonormé et canaux transversaux





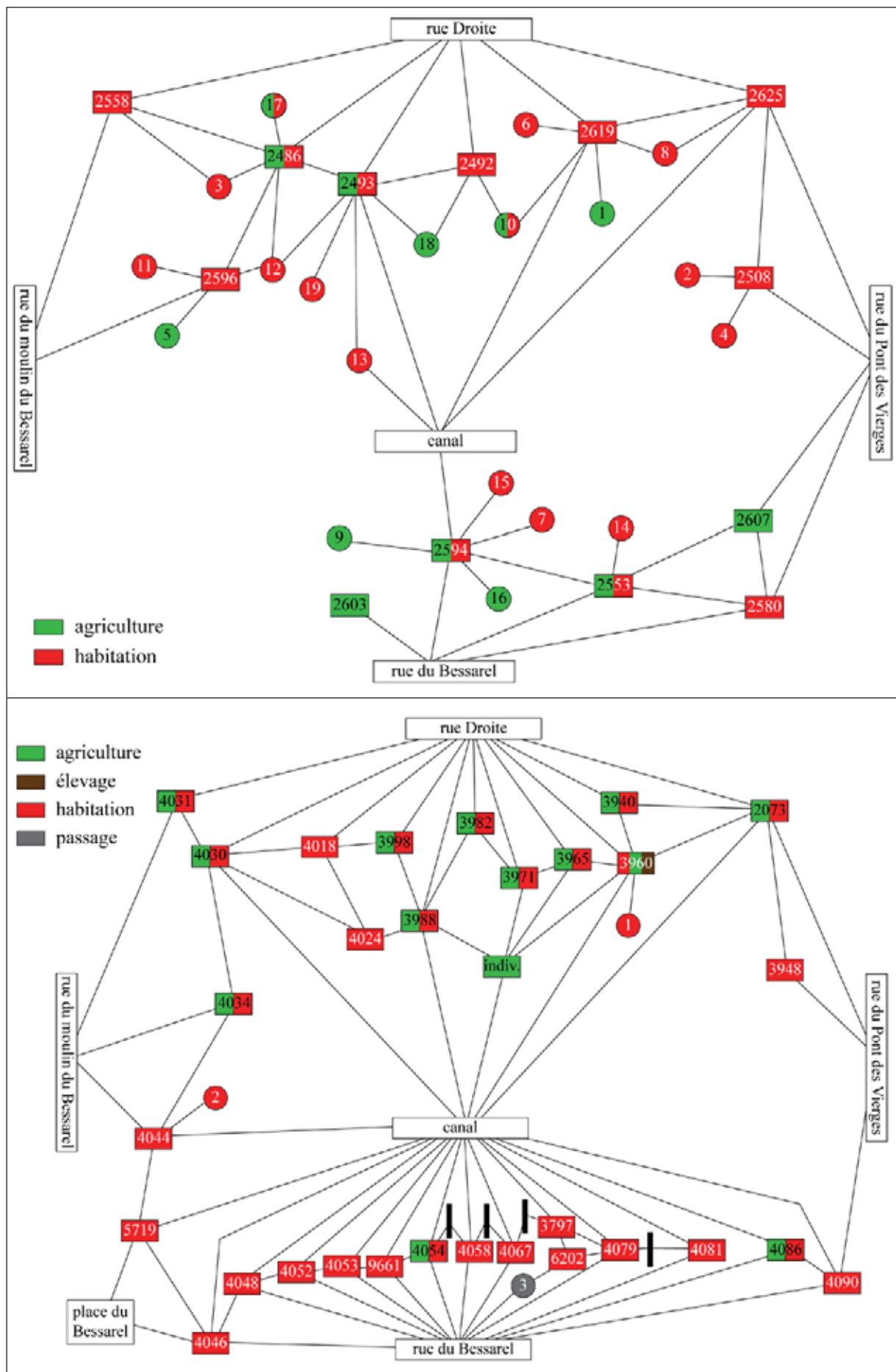
réal. : C. Rivals

Fig. 497 : réseau hydrographique souterrain et à ciel ouvert



Fig. 498 : nature des parcelles du moulin M d'après les plans de 1782 et 1814





réal. : C. Rivals

Fig. 499 : nature de parcelles du moulin M sur les graphes parcellaires issus du compoix de 1670 et du terrier royal de 1459

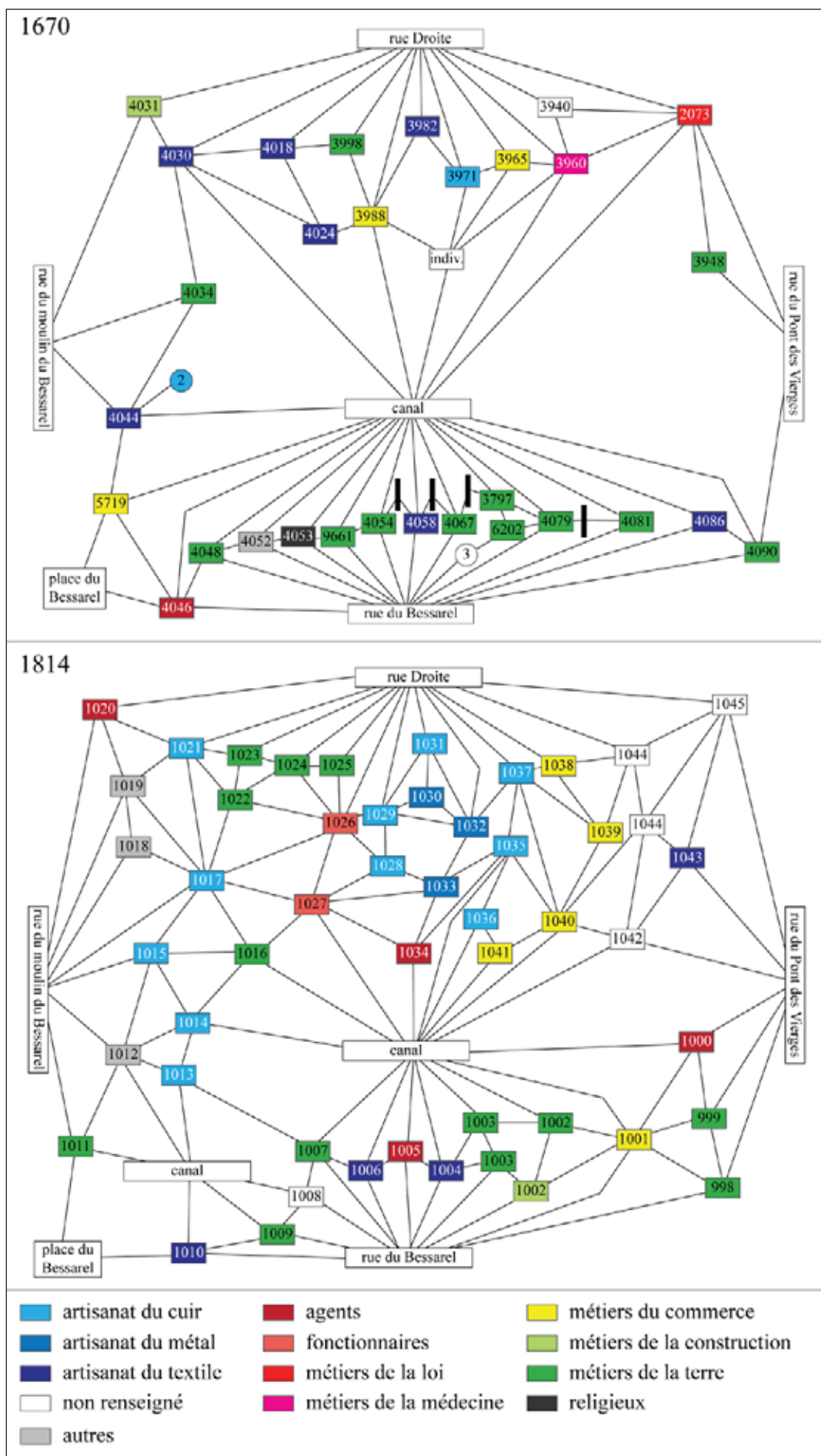


Fig. 500 : répartition des professions des propriétaires des parcelles du moulin M sur les graphes parcellaires issus du compoix de 1670 et du cadastre napoléonien



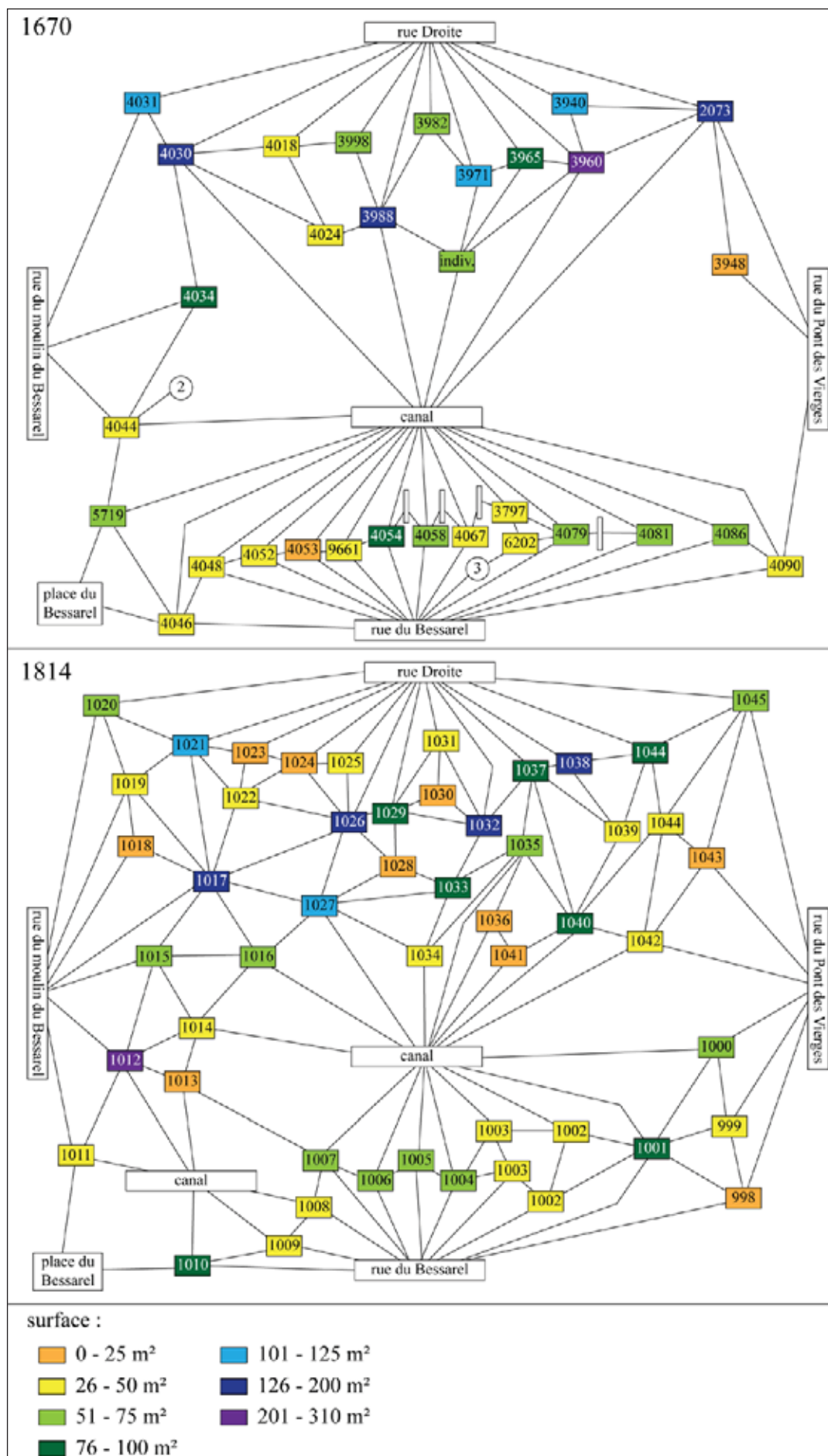
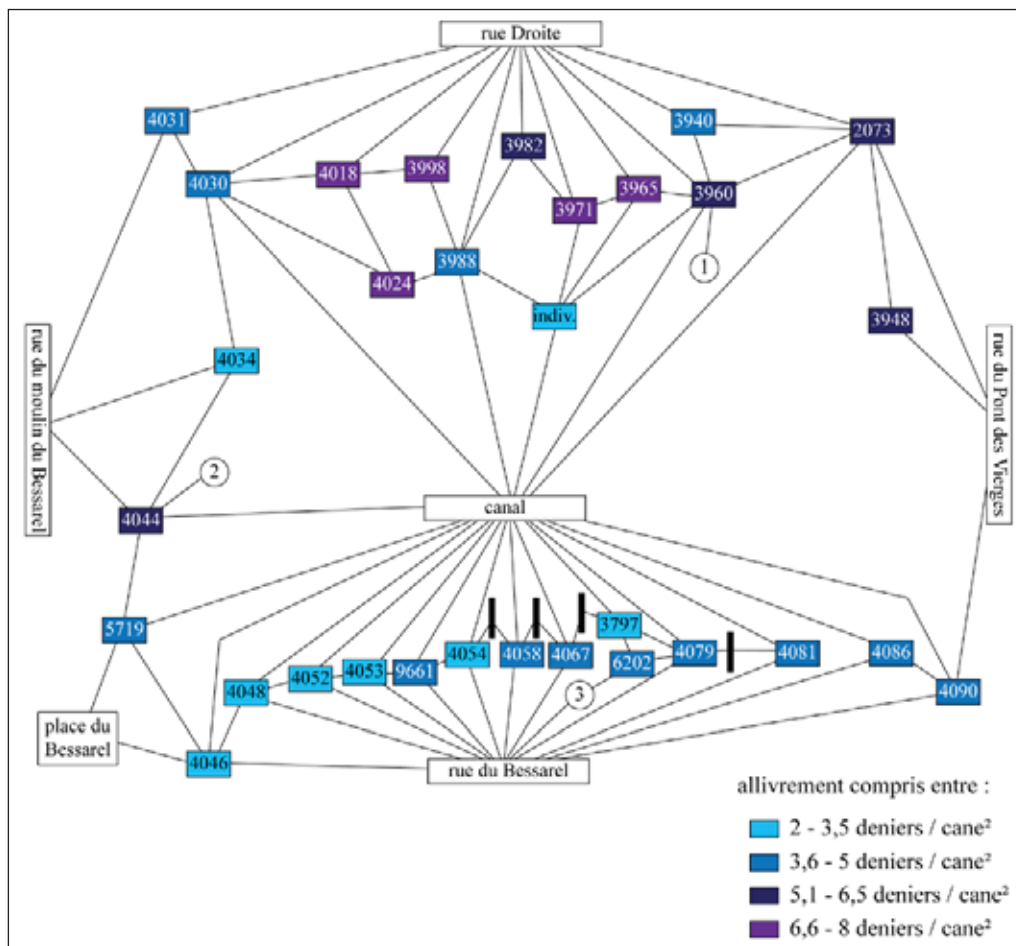
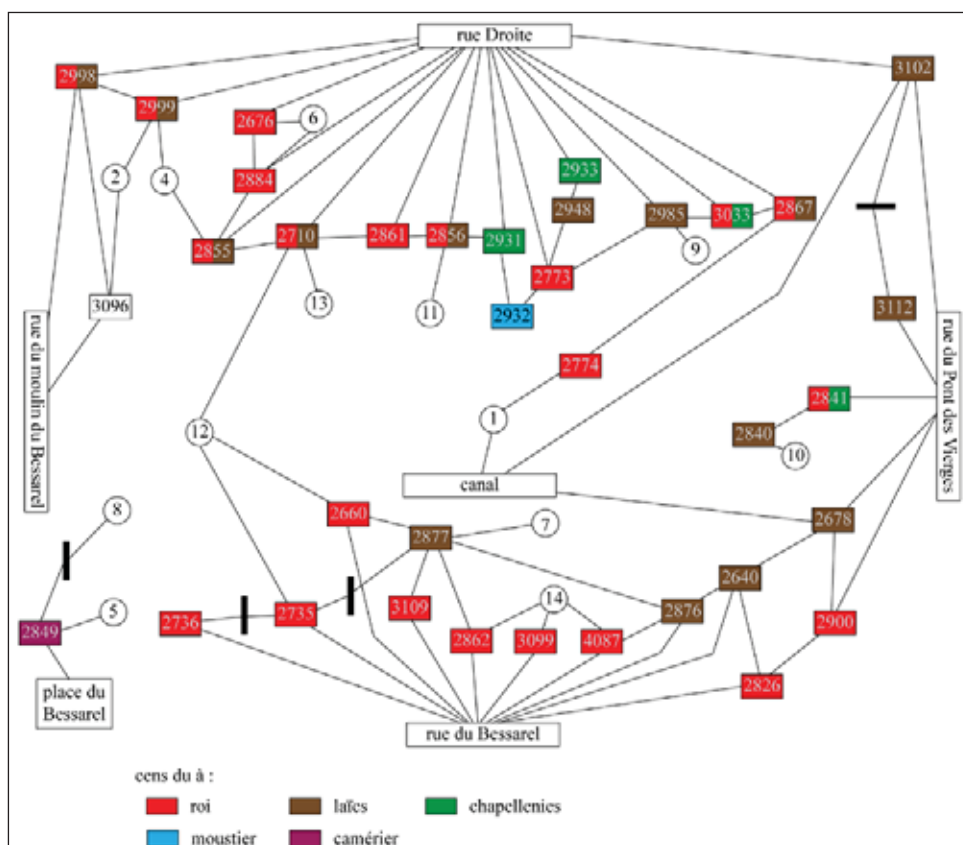


Fig. 501 : surfaces des parcelles du moulin M sur les graphes parcellaires issus du compoix de 1670 et du cadastre napoléonien



réal. : C. Rivals

Fig. 502 : répartition du montant de l'allivrement rapporté à la cane<sup>2</sup> des parcelles du moulin M sur le graphe parcellaire issu du compoix de 1670



réal. : C. Rivals

Fig. 503 : entité à laquelle les propriétaires des parcelles du moulin M doivent un cens, sur les graphes parcellaires issus des *Manifests* de 1500



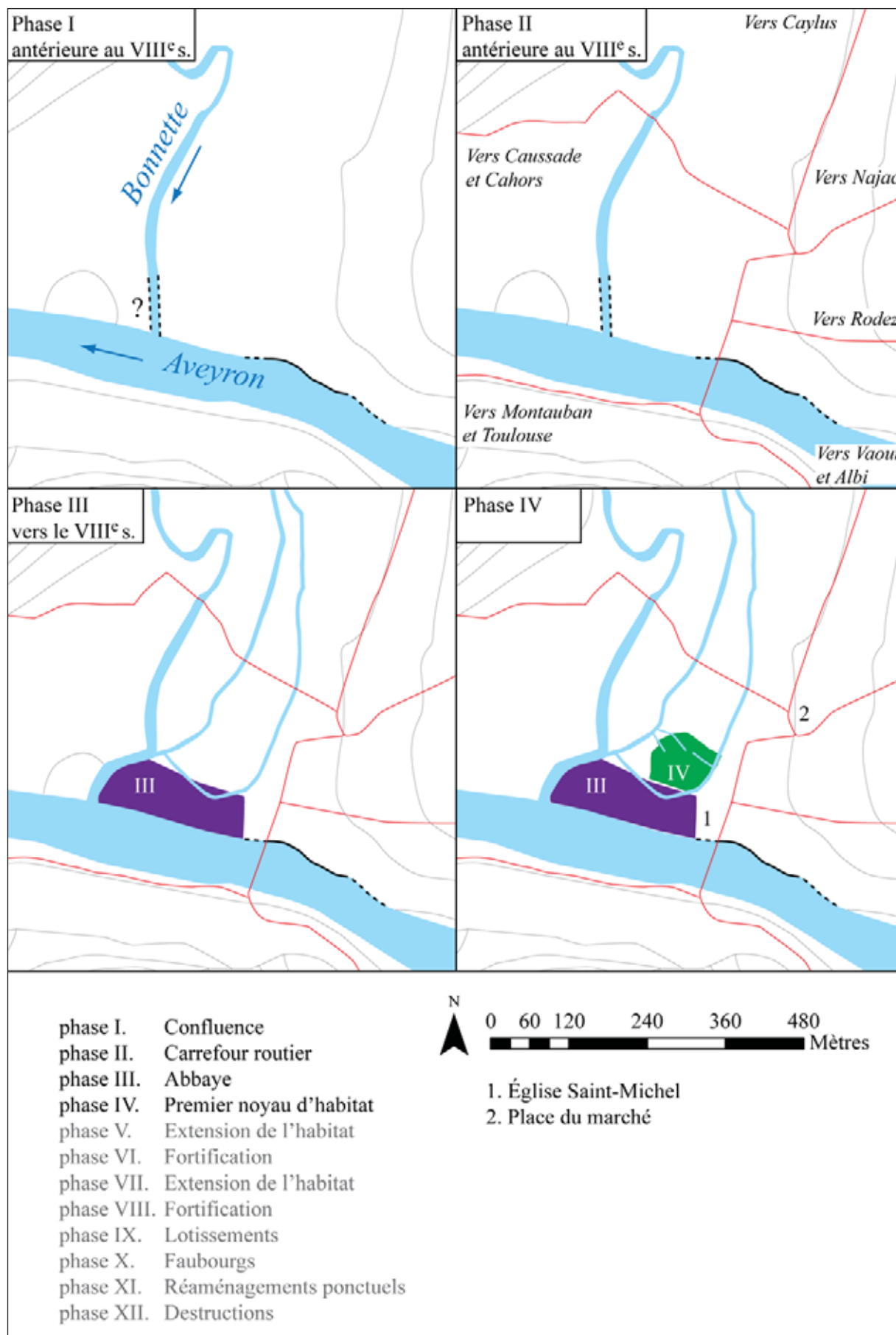


Fig. 504 : synthèse de la construction de la ville, phases I à IV

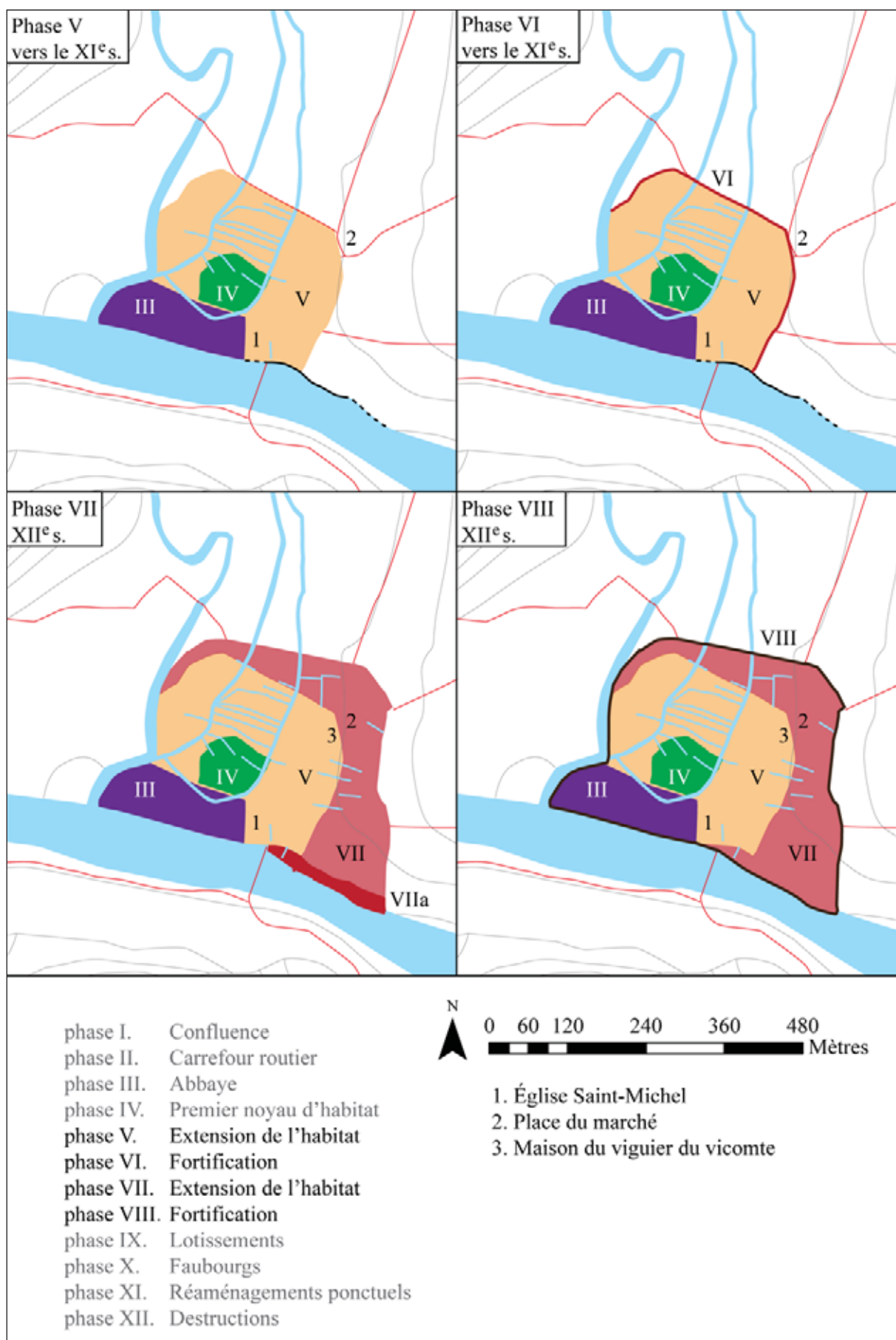


Fig. 505 : synthèse de la construction de la ville, phases V à VIII



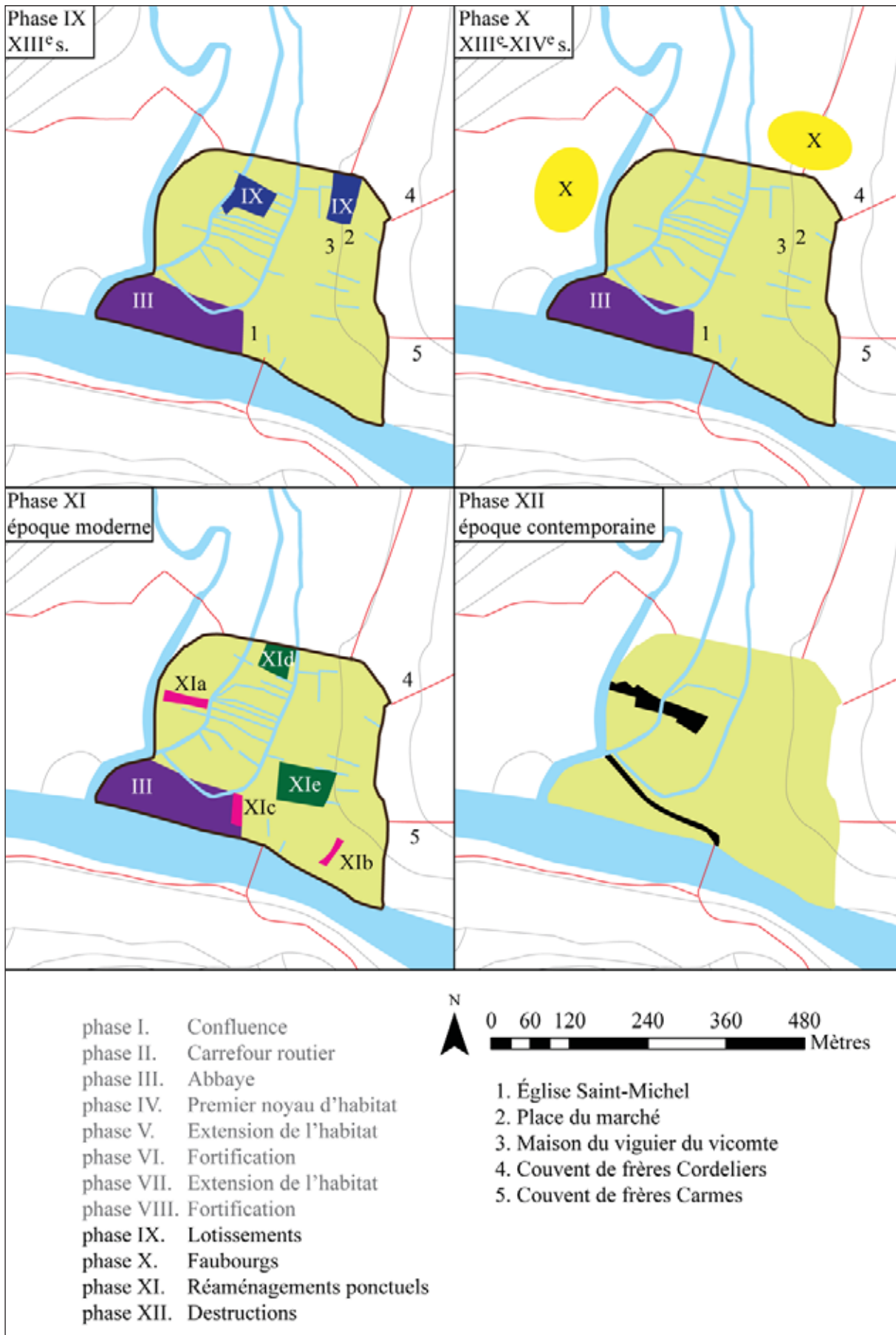


Fig. 506 : synthèse de la construction de la ville, phases IX à XII

